

Katalog grodzisk Warmii i Mazur

pod redakcją
Rafała Soleckiego

Tom 3

Katalog grodzisk Warmii i Mazur

Tom 3

Instytut Archeologii
Uniwersytetu Kardynała Stefana Wyszyńskiego w Warszawie

**Katalog grodzisk Warmii i Mazur
pod redakcją Rafała Soleckiego**

Tom 3

Autorzy

Anna Lejzerowicz, Bartosz Nowacki, Kamil Rabiega,
Daniel Skoczylas, Rafał Solecki, Dariusz Wach,
Fabian Welc, Katarzyna Zdeb, Magdalena Żurek

Warszawa 2022

Katalog grodzisk Warmii i Mazur. Część 2. Warmia Wschodnia i Natangia Tom 3

Publikacja recenzowana do druku przez
dr. Arkadiusza Koperkiewicza
i dr. Marka Jagodzińskiego

Redakcja: Rafał Solecki
Projekt książki: Bartłomiej Gruszka
Skład: Rafał Solecki
Korekty: Bartosz Nowacki
Projekt okładki: Rafał Solecki

© Copyright by Wydawnictwo Uniwersytetu Kardynała Stefana Wyszyńskiego,
Warszawa 2022

ISBN 978-83-8281-287-9 (wersja drukowana)
ISBN 978-83-8281-199-5 (wersja elektroniczna)

Publikacja naukowa finansowana w ramach programu
Ministra Nauki i Szkolnictwa Wyższego pod nazwą
„Narodowy Program Rozwoju Humanistyki” w latach 2018–2023,
nr projektu 11H 18 0117 86, kwota finansowania 1 346 853 zł



**NARODOWY PROGRAM
ROZWOJU HUMANISTYKI**

Wydawnictwo:
Wydawnictwo Naukowe
Uniwersytetu Kardynała Stefana Wyszyńskiego w Warszawie
ul. Dewajtis 5, domek nr 2
01-815 Warszawa
+48 22 561 89 23 (wew. 323)
wydawnictwo@uksw.edu.pl

SPIS TREŚCI

Wprowadzenie	7
GMINA OSTRÓDA	
Ornowo, st. 3	9
Wysoka Wieś, st. 7	47
Wysoka Wieś, st. 8	55
Wysoka Wieś, st. 9	65
GMINA MIŁOMŁYN	
Winiec, st. 2	99
GMINA MORĄG	
Słonecznik, st. 1	133
Wenecja, st. 2	145
GMINA ZALEWO	
Boreczno, st. 4	185
Boreczno, st. 8	191
GMINA WILCZĘTA	
Gładysze, st. 1	215
Gładysze, st. 3	245
GMINA GÓROWO IŁAWECKIE	
Piasty Wielkie, st. 3	259
Wiewiórki, st. 1	273
Augamy, st. 1	291
Wokiele, st. 1	339
Woryny, st. 1	363
WERYFIKACJE NEGATYWNE	
Nowa Wieś Iławecka, st. 1, gm. Górowo Iławeckie	389
Zielenica, st. 15, gm. Górowo Iławeckie	397
Piaseczno, st. 1, gm. Górowo Iławeckie	407
Zamkowa Góra w Leśnictwie Orsy, gm. Górowo Iławeckie	415
Wykaz cytowanej literatury	426

WPROWADZENIE

RAFAŁ SOLECKI

W 2017 roku zakończyła się realizacja projektu *Katalog grodzisk Warmii i Mazur. Część 1. Pomezania, Pogezania i Warmia*, finansowanego przez Narodowy Program Rozwoju Humanistyki, a prowadzonego przez Instytut Archeologii Uniwersytetu Kardynała Stefana Wyszyńskiego w Warszawie we współpracy z innymi instytucjami naukowymi, przede wszystkim z Instytutem Archeologii i Etnologii Polskiej Akademii Nauk. Efektem tego projektu, kierowanego przez prof. dr. hab. Zbigniewa Kobylińskiego, były dwa tomy katalogu, w których znalazła się szczegółowa dokumentacja dotycząca 31 grodzisk z obszaru gmin Kisielice, Susz, Iława, Godkowo, Miłakowo, Morąg, Zalewo, Ostróda i Łukta¹. Ponadto opublikowano dwa tomy z materiałami pokonferencyjnymi, związanymi z realizacją projektu oraz z badaniami archeologicznymi grodzisk z obszaru Warmii i Mazur². Uzupełnieniem wyników badań realizowanych w ramach projektu była też monografia autorstwa Magdaleny Żurek *Boreczno i Bałoszycze. Archeologia dworów wczesnonowożytnych w Górnym Prusach*, wydana w 2021 roku, a prezentująca wyniki badań archeologicznych dwóch dworów, które miały być zbudowane na starszych założeniach grodowych³.

We wprowadzeniu do pierwszego tomu *Katalogu* prof. Zbigniew Kobyliński napisał: „Mam nadzieję, że prace nad pełnym katalogiem grodzisk Warmii i Mazur będą mogły być kontynuowane w kolejnych latach”⁴. Dzięki pozytywnej ocenie eksperckiej założeń projektu *Katalog grodzisk Warmii i Mazur. Część 2. Warmia Wschodnia i Natangia*, Narodowy Program Rozwoju Humanistyki przyznał fundusze na jego realizację. Projekt rozpoczął się w 2019 roku i w latach 2019–2021 kierowany był przez Zbigniewa Kobylińskiego, a w 2021 roku kierownikiem został Rafał Solecki. W ra-

mach tego projektu mają zostać skatalogowane grodziska znajdujące się na obszarze gmin Wilczęta, Górowo Iławskie, Pieniężno, Lelkowo, Orneta, Lubomino i Płoskinia, ale włączone mają być także nowo odkryte i zweryfikowane pozytywnie stanowiska z gmin Ostróda, Miłomłyn, Zalewo i Morąg. Niniejszy, trzeci z kolei, tom *Katalogu grodzisk Warmii i Mazur* zawiera opracowania 17 grodzisk z obszaru gmin Ostróda, Miłomłyn, Zalewo, Morąg, Susz, Wilczęta i Górowo Iławskie.

Ponadto do prezentowanego tomu dodano wyniki badań weryfikacyjnych czterech stanowisk, które w ewidencji zabytków archeologicznych i/lub w literaturze przedmiotu były uważane za grodziska, a które w wyniku przeprowadzonego rozpoznania okazały się nie być wcale stanowiskami archeologicznymi lub były stanowiskami o innej funkcji niż obronna. W dwóch pierwszych tomach *Katalogu* przyjęta była inna forma – znajdowały się tam jedynie grodziska potwierdzone badaniami. Wyniki weryfikacji negatywnych zebrano w jednym artykule, który ukazał się w tomie pokonferencyjnym związanym z projektem⁵. Zawarcie w tomie trzecim, obok grodzisk potwierdzonych, także wyników badań negujących istnienie części stanowisk, funkcjonujących w obiegu naukowym, miało na celu ułatwienie poszukiwania źródeł. Teraz w jednej publikacji będzie można znaleźć materiały dotyczące zasobu grodzisk z danej gminy – zarówno tych potwierdzonych, jak również zweryfikowanych negatywnie.

Przy tej okazji należy nadmienić, że po zakończeniu pierwszej części projektu *Katalog grodzisk Warmii i Mazur* ukazało się kilkanaście publikacji naukowych, które odnosiły się do tematyki stanowisk obronnych na obszarze Warmii i Mazur, w tym często były to prace przedstawiające nowo odkryte stanowiska. Dlatego też warto je w tym miejscu w skrócie przedstawić, gdyż mogą one służyć jako przyczynowe uzupełnienie *Katalogu*. Jedną z prac, o których należy wspomnieć, jest monografia z 2021 roku pod redakcją Rafała Soleckiego, zatytułowana *Interdyscyplinar-*

¹ Kobyliński 2017a; Kobyliński 2017b.

² Kobyliński 2013; Kobyliński 2016a.

³ Żurek 2021.

⁴ Kobyliński 2017c: 6.

⁵ Kobyliński et al. 2016.

ne badania wielofazowych osiedli obronnych z Pojezierza Iławskiego i Garbu Lubawskiego⁶. Prezentuje ona wyniki badań na sześciu stanowiskach: Stańkowo, st. 1, gm. Prabuty, Stary Folwark, st. 2, gm. Kisielice, Radomno, st. 1, gm. Nowe Miasto Lubawskie, Wysoka Wieś, st. 7 i 8, gm. Ostróda oraz Dylewo, st. 1, gm. Grunwald. Część z nich była już znana z weryfikacji z przełomu XIX i XX wieku, bądź obecnych (grodzisko w Starym Folwarku, st. 2 było już skatalogowane w pierwszym tomie *Katalogu*). Jednak trzy – dwa w Wysokiej Wsi i jedno w Dylewie – to stanowiska do niedawna nieznane i nigdy wcześniej nie badane. Ponadto ukazały się artykuły sprawozdające wyniki badań archeologicznych na grodziskach w Barczewku, gm. Barczewo⁷, Boronitach, gm. Pieniężno⁸, Pasymiu, gm. Pasym⁹, Perłach, gm. Węgorzewo¹⁰, Porębku, gm. Kętrzyn¹¹ oraz wyniki badań archeologicznych, lub archeologiczno-architektonicznych zamków w Brodnicy, gm. Brodnica, Bratianie, Kuźnicy, Lubawie, gm. Nowe Miasto Lubawskie i Działdowie, gm. Działdowo¹².

To zainteresowanie tematyką ośrodków grodowych, widoczne w tematyce badań naukowych ostatnich lat, także w innych częściach Polski¹³, pozwoli z czasem na wypełnienie białych plam na mapie osadniczej Polski. Warto zatem z niecierpliwością wyczekiwać kolejnych tomów katalogów prezentujących pełne i rzetelne opracowania tych szczególnych stanowisk archeologicznych, jakimi są grodziska.

Na zakończenie pozwolę sobie złożyć podziękowania: Wojewódzkiemu Urzędowi

⁶ Solecki 2021.

⁷ Biermann, Herrmann i Koperkiewicz 2019; Koperkiewicz 2019.

⁸ Wadyl, Martyka i Malarczyk 2018; Wadyl i Martyka 2019.

⁹ Wadyl 2017a; 2019.

¹⁰ Wadyl 2018.

¹¹ Wadyl 2017b; Wadyl 2020.

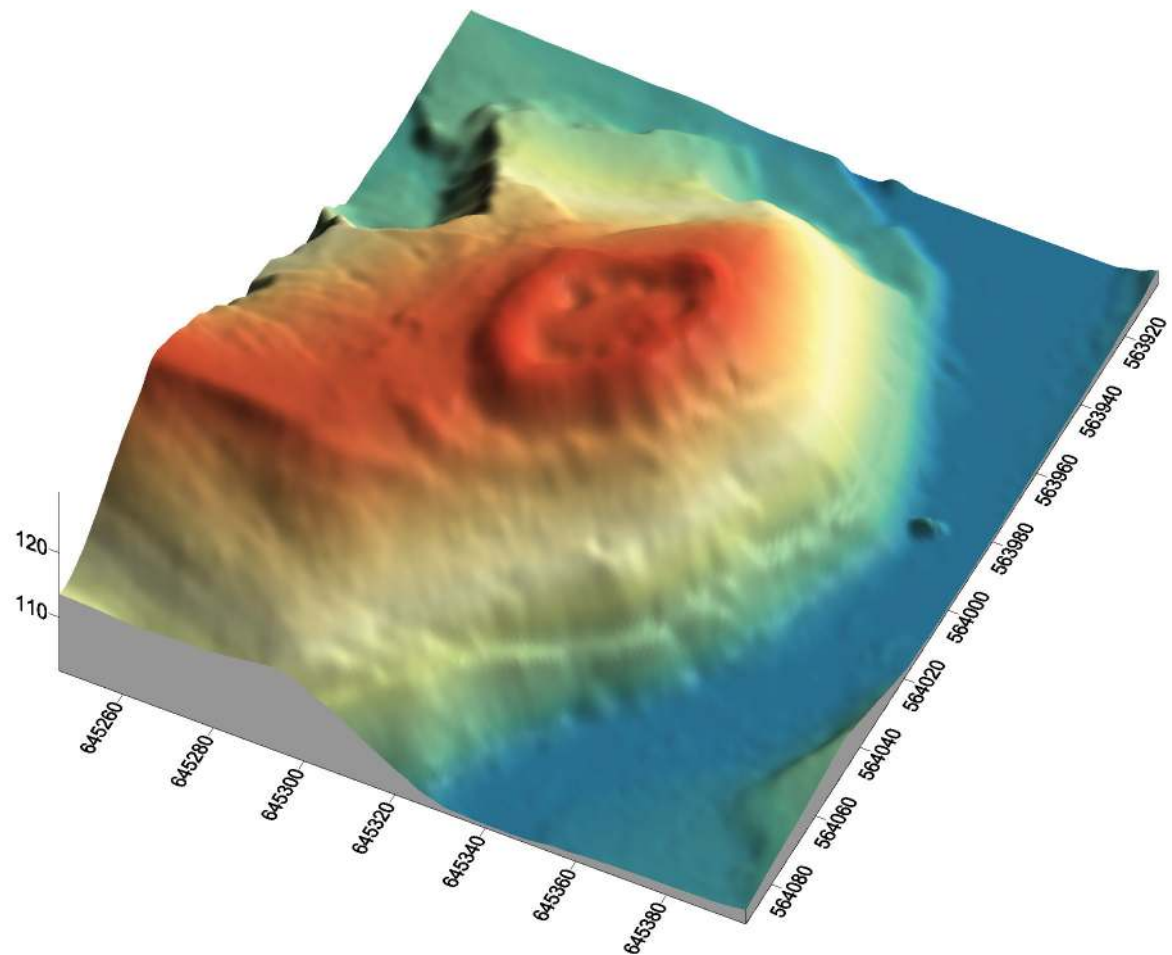
¹² Grążawski 2019; Kaczyński, Mackiewicz i Zduńska 2018.

¹³ Tu należy wymienić monografie wydane w ramach projektu *Atlas grodzisk wczesnośredniewiecznych z obszaru Polski*, w tym obejmujące powiaty położone przy granicy województwa warmińsko-mazurskiego: toruński (Chudziak i Weinkauf 2019) i bydgoski (Chudziak i Bojarski 2019). Tematycznie bliski *Katalogowi grodzisk Warmii i Mazur* jest *Atlas grodzisk Jaćwieży* (Engel i Sobczak 2019).

Ochrony Zabytków w Olsztynie i jego Delegaturze w Elblągu, Nadleśnictwom w Górowie Iławskim, Miłomłynie, Młynarach, Olsztyńku, Ornecie i Zaporowie, Regionalnej Dyrekcji Ochrony Środowiska w Olsztynie, Państwowemu Muzeum Archeologicznemu w Warszawie, Muzeum Warmii i Mazur w Olsztynie, Muzeum Archidiecezji Warmińskiej im. bpa Jana Obłaka w Olsztynie i Muzeum Archeologiczno-Historycznemu w Elblągu za formalną pomoc i wsparcie przy realizacji projektu. Podziękowania należą się także: Annie Platte z Agroturystyki Plattówka w Gierzwałdzie, Wiesławie i Irminie Troszczyńskim z restauracji „Natangia” w Górowie Iławskim, zgromadzeniu Misyjnego Seminarium Duchownego Księży Werbistów w Pieniężnie oraz zgromadzeniu zakonnemu św. Katarzyny Dziewicy i Męczennicy w Ornecie za gościnność podczas prowadzenia badań terenowych. Ukłony również dla Alicji Dobrosielskiej z Towarzystwa Naukowego Pruthenia za przeprowadzenie kwerendy źródłowej oraz dla *Museum für Vor- und Frühgeschichte* w Berlinie i *Bildarchiv Ostpreußen* za udostępnienie materiałów źródłowych do publikacji. W archeologicznych badaniach terenowych wzięło udział wielu archeologów i specjalistów innych dyscyplin: prof. ucz. dr hab. Fabian Welc, dr Anna Lejzerowicz, dr Katarzyna Zdeb, dr Kamil Rabega, mgr Daniel Skoczyłas, mgr Bartosz Nowacki, mgr Piotr Szkiłdż, mgr Konrad Szosteck, mgr Jakub Woreta, mgr Monika Bartosiewicz, mgr Magdalena Antos, mgr Jakub Świda, mgr Denis Kamyshan, mgr Mateusz Kulesza, mgr Jacek Adamiec, mgr Bartłomiej Karch, mgr inż. Jan Baszyński, Dariusz Wach, Jakub Makowski, Wojciech Głuchowski, Aleksandra Wołk, Diana Święcka, Kacper Tokarczyk, Vladyslav Chuikov, Bartłomiej Szwajger, Filip Zoń, Krystyna Dudź, Magdalena Rejmer i Tomasz Ciszek. Ostatnie podziękowania chciałbym skierować do prof. Zbigniewa Kobylińskiego, który był pomysłodawcą i inicjatorem tego projektu, który przez wiele lat nim kierował i który nakreślił kierunek, jak ten projekt powinien się rozwijać. Jestem wdzięczny za doświadczenie, którym dzielił się przez osiem lat wspólnej pracy nad *Katalogiem* i za rady, które przekazał, gdy rezygnował z kierowania projektem. Mam nadzieję, że w odczuciu czytelników niniejszy tom, pomimo niewielkich różnic w formie wobec dwóch pierwszych, będzie godną kontynuacją rozpoczętego przez prof. Kobylińskiego dzieła.

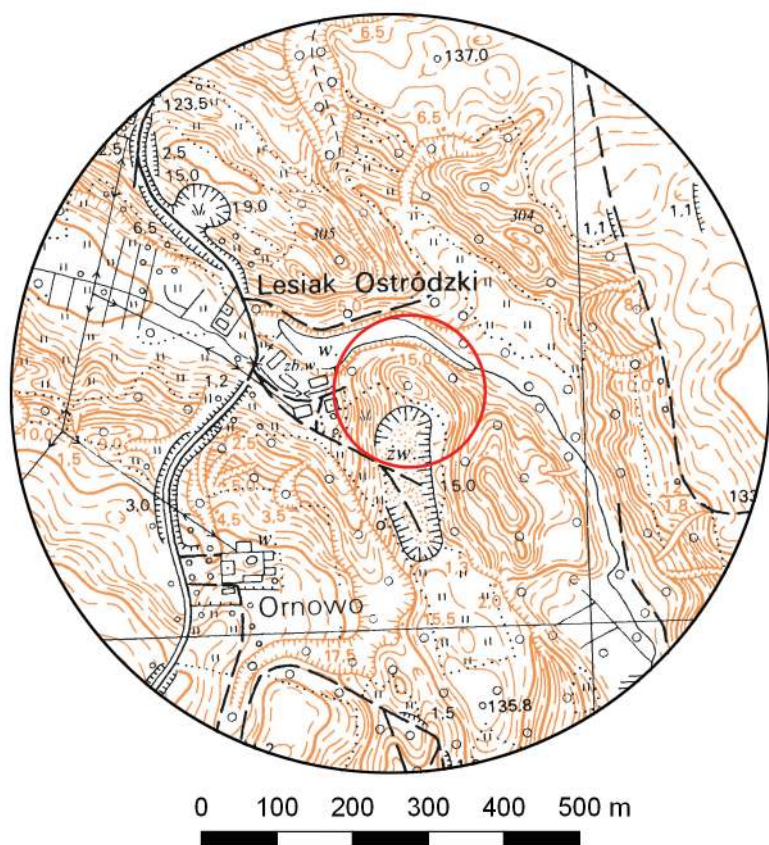
Ornowo, st. 3

Gmina Ostróda
Powiat ostródzki
AZP 25-56/16
Współrzędne geograficzne:
N $53^{\circ} 40' 07''$
E $19^{\circ} 58' 08''$





Ryc. 1. Grodzisko w Ornowie, st. 3 na mapie w skali 1:25 000 (na podstawie materiałów GUGiK, oprac. R. Solecki)



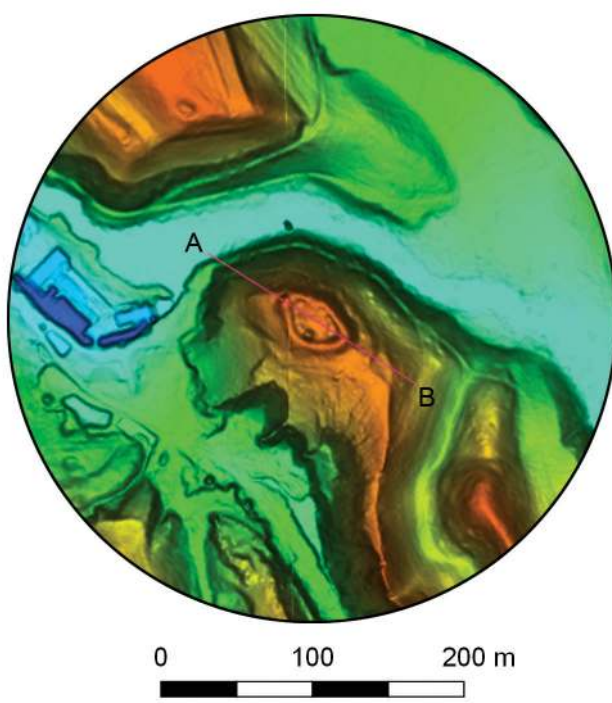
Ryc. 2. Grodzisko w Ornowie, st. 3 na mapie w skali 1:10 000 (na podstawie materiałów GUGiK, oprac. R. Solecki)

POŁOŻENIE GRODZISKA I JEGO FORMA

RAFAŁ SOLECKI

Grodzisko w Ornowie (niem. *Arnau*), st. 3, położone jest w odległości około 3,5 km na południe od centrum Ostródy. Zajmuje północną krawędź wysokiego, cyplowatego wyniesienia, które od północy opływa potok Morlińska Struga, łączący jeziora Cibory (inne nazwy to Sędziowskie i Szędziowskie) i Morliny (ryc. 1–2). Wypiętrzenie to jest wydłużone po osi zbliżonej do północ-południe, a sam koniec skręca w kierunku północno-zachodnim. Różnica wysokości pomiędzy dnem doliny na wysokości stanowiska a szczytem wyniesienia dochodzi do około 25 m. Najwyższy zanotowany punkt, znajdujący się w linii wału grodziska osiąga poziom około 129,5 m n.p.m. Nabylenie stoku wyniesienia od strony doliny ma kąt około 35°.

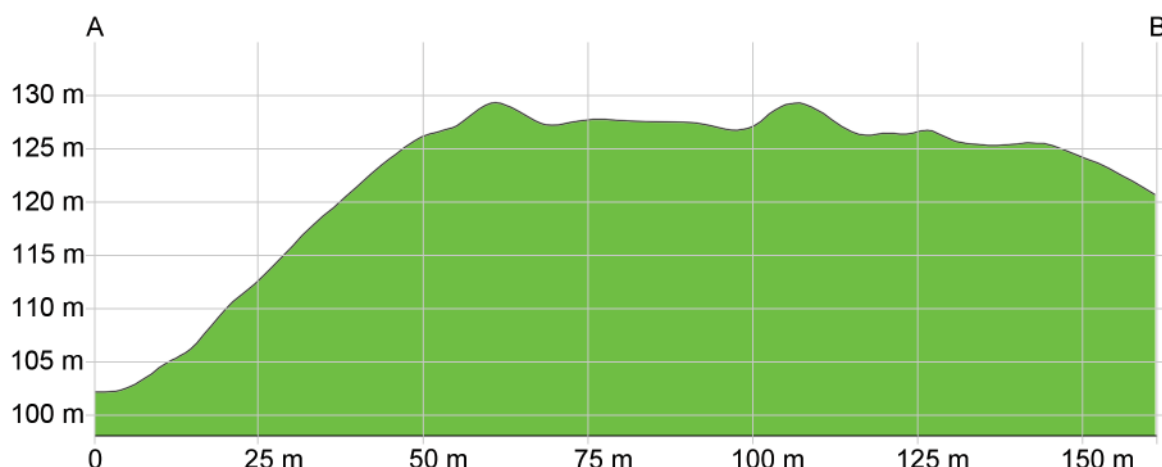
Majdan jest owalny i wydłużony po osi północny zachód – południowy wschód. Jego średnice zawierają się w przedziale 25–45 m, obwód liczący po linii podstawy wału wynosi około 95 m, a powierzchnia około 0,06 ha. Majdan otoczony jest dobrze zachowanym wałem, którego szerokość u podstawy dochodzi do 13 m, a wysokość do 2,7 m. W odległości około 12 m na wschód i południowy wschód od głównego wału czytelny jest w terenie i widoczny na obrazowaniu danych ALS, silnie wyerodowany drugi wał (ryc. 3–6). Jego zachowana długość to około 41 m, szerokość u podstawy dochodzi do 7,5 m, a wysokość do 0,4 m. Jeszcze dalej na południowy wschód, w odległości około 14 m od drugiego wału widoczny jest relikt najprawdopodobniej trzeciego wału. Jest on silnie zniszczony, jego zachowana długość to około 19 m, szerokość u podstawy dochodzi do 8 m, a wysokość do 0,15 cm.



Ryc. 3. Grodzisko w Ornowie, st. 3 na zobrazowaniu ALS (na podstawie materiałów GUGiK, oprac. R. Solecki)

(u dołu)

Ryc. 4. Przekrój grodziska w Ornowie, st. 3 uzyskany z danych ALS (na podstawie materiałów GUGiK, oprac. R. Solecki)





Ryc. 5. Ornowo, st. 3. Widok na taras pomiędzy wałem otaczającym majdan (po lewej) i wałem zewnętrznym (po prawej) w północno-zachodniej części grodziska (fot. R. Solecki)



Ryc. 6. Ornowo, st. 3. Widok na majdan grodziska od strony północno-zachodniej (fot. J. Wysocki)

ŚRODOWISKO FIZYCZNOGEOGRAFICZNE ANNA LEJZEROWICZ

Według podziału fizycznogeograficznego Polski J. Kondrackiego, stanowisko znajduje się w makroregionie Pojezierze Mazurskie, w mezoregionie Pojezierze Olsztyńskie. W nowym podziale z 2018 roku jest to mezoregion Równina Olsztynka¹.

Na tym obszarze dominuje wyrównana rzeźba terenu, która to jest związana z występowaniem rozległych równin wodnolodowcowych, jak również wysoczyzny morenowej falistej, na której znajduje się stanowisko. Opisywany obszar jest miejscami porozcinany przez system rynien jeziornych o orientacji północny zachód – południowy wschód². Układ tych rynien odzwierciedla schemat drenażu subglacjalnego, kształtującego się podczas recesji lądolodu zlodowacenia Wisły.

Na szkicu geomorfologicznym zaznaczają się również ozy i formy akumulacji szczelinowej, zorientowane wzduż kierunków północny zachód – południowy wschód. Powstały one wzduż linii odpływu wód rozto-

powych z lodowca w rozpadlinach i szczelinach, które istniały w martwym i stagnującym lodzie. Ozy te, powstałe najprawdopodobniej w warunkach subglacjalnych, towarzyszą rynnom jeziora Morliny i Smordy (Jakuba). Na jednej z takich form szczelinowych o rozciągłości północny zachód – południowy wschód zlokalizowane jest omawiane stanowisko. Oz, na którym znajduje się stanowisko nazywany jest ozem ornowskim i widoczne są w nim struktury sedimentacyjne wskazujące na dużą dynamikę przepływu wód subglacjalnych z topniejącego lodowca. Według Szczegółowej Mapy Geologicznej Polski w skali 1:50 000 (arkusz Ostróda) (ryc. 7) oz ten zbudowany jest z piasków, żwirów i glin zwałowych³. Według Mapy Geologicznej Polski w skali 1:500 000 stanowisko Ornowo znajduje się na obszarze występowania glin zwałowych, ich zwietrzelin oraz piasków i żwirów lodowcowych z okresu zlodowacenia północnopolskiego⁴.

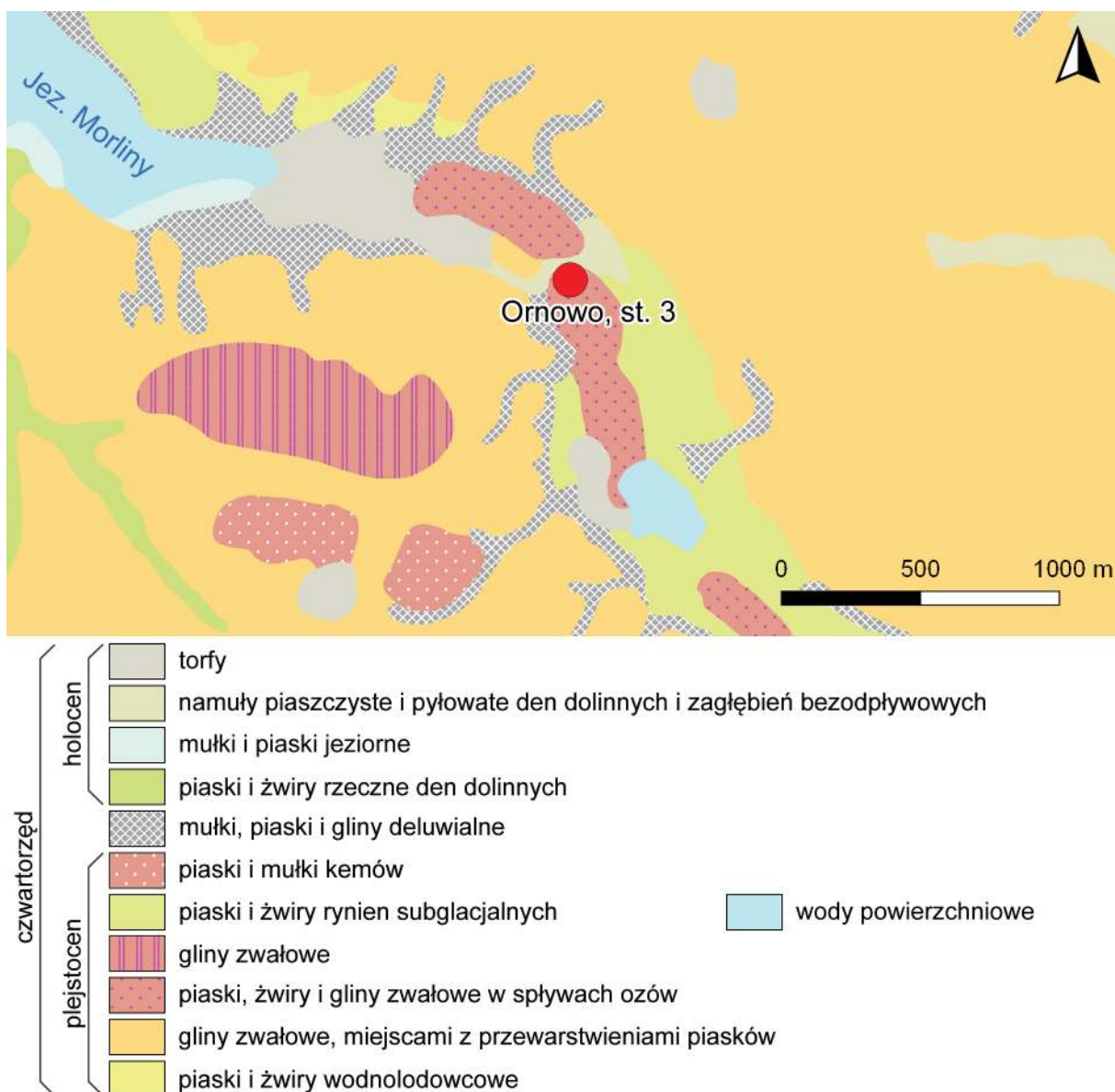
Na podstawie wykonanych wierceń (ryc. 8) stworzony został schematyczny przekrój geologiczny przez stanowisko (ryc. 9). Przekrój

³ Pikies 2014.

⁴ Mapa Geologiczna Polski w skali 1:500 000 (<https://geolog.pgi.gov.pl>).

¹ Kondracki 2002; Solon et al. 2018.

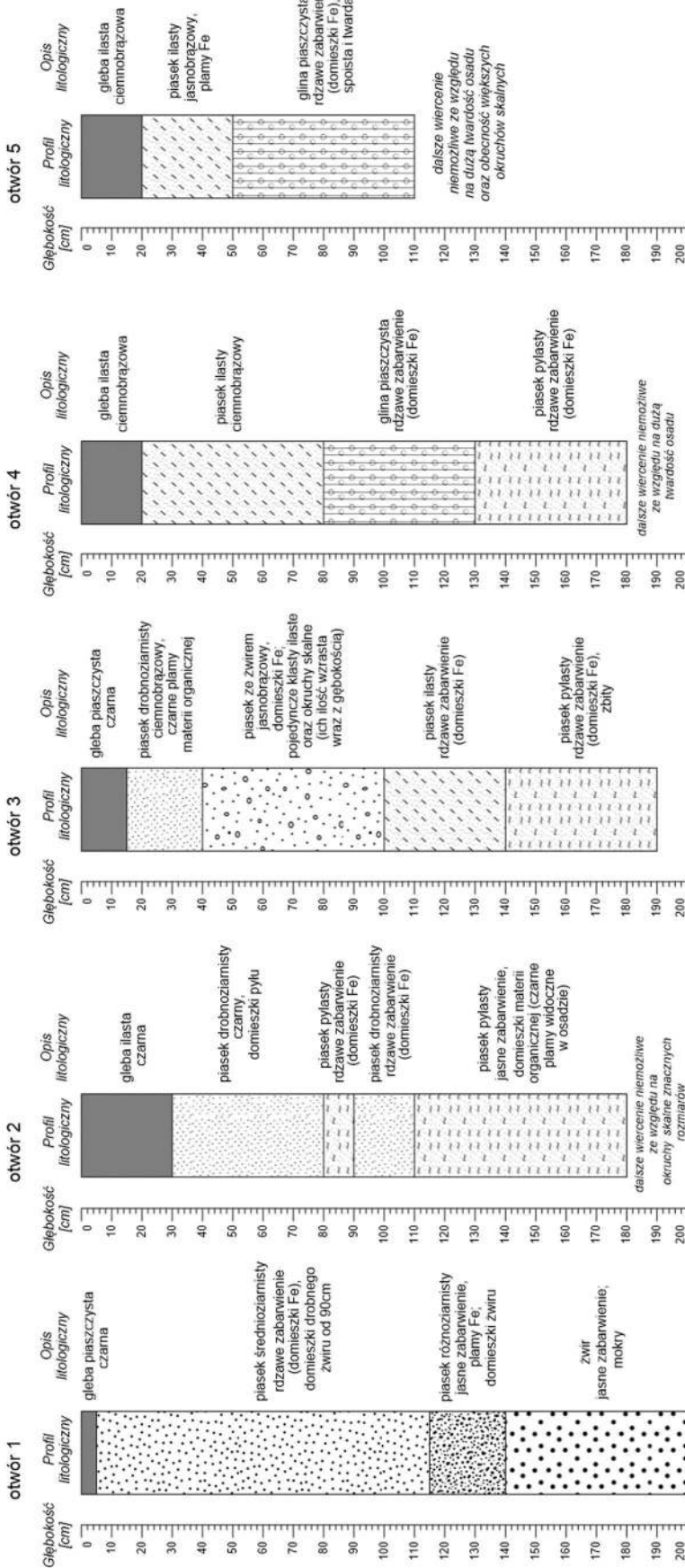
² Pikies 2014.



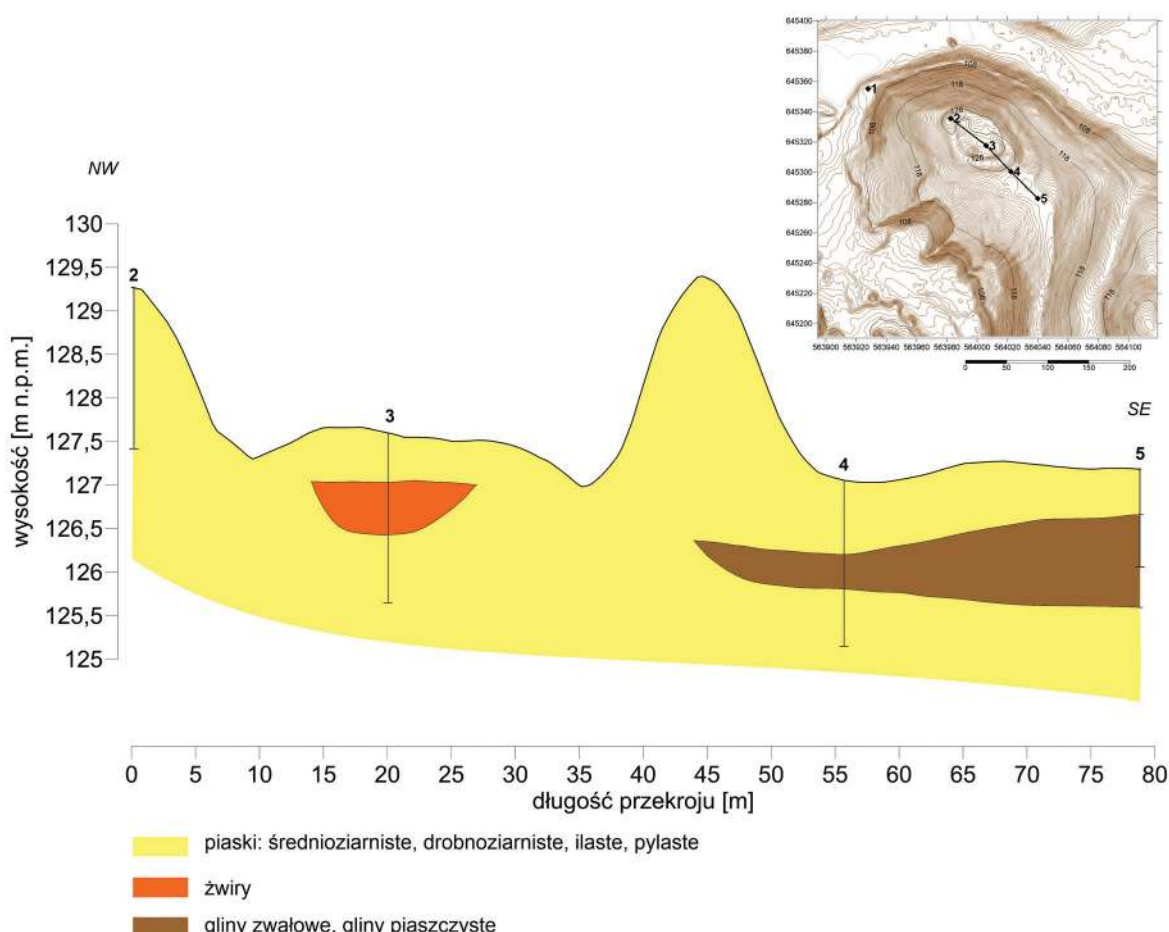
Ryc. 7. Wycinek arkusza Szczegółowej Mapy Geologicznej Polski z zaznaczonym stanowiskiem w Ornowie, st. 3
 (źródło: www.cbdgmapa.pgi.gov.pl/arcgis/services/kartografia/smfp50k/MapServer/WMServer,
 oprac. A. Lejzerowicz i R. Solecki)

nie uwzględnia wiercenia nr 1 ze względu na jego położenie, na tarasie rzecznym przy podstawie ozu. W wiercenach uwzględnionych na przekroju zaobserwowano występowanie osadów piaszczystych (piaski: średnio- i drobnoziarniste, pylaste, ilaste), żwirowych jako samodzielnich warstw lub domieszkę w osadach piaszczystych oraz glin zwałowych/piaszczystych. Wiele z tych osadów charakteryzowało się obecnością związków żelaza nadających im rdzawe zabarwienie. Obecne na stanowisku gliny charakteryzowały się znaczną spoistością. W niektórych warstwach zaobserwować można również mniejsze okruchy skalne. Szczegółowa litologia została opisana na profilach wierceń na ryc. 8.

Obecnie stanowisko stanowi wyraźne wybrzeże w terenie, o stromych stokach. Pagórek zbudowany jest z osadów głównie piaszczysto-żwirowych i powstał jako forma akumulacji szczelinowej o przebiegu południkowym. Wał widoczny w części centralnej zbudowany jest z osadów piaszczystych, głównie z bardzo zbitych piasków pylastycznych. Stanowisko otoczone jest od północy i północnego wschodu tarasem rzecznym Ornowskiej Strugi zbudowanym z osadów piaszczystych i żwirowych (ryc. 8, otwór 1) z płytka położonym zwierciadłem wody gruntowej. Od południa pagórek został wybrany (żwirownia), nastąpiła eksploatacja materiału piaszczysto-żwirowego.



Ryc. 8. Profile litologiczne odwiertów wykonanych na obszarze grodziska w Ornowie, st. 3
(oprac. A. Lejzerowicz)



Ryc. 9. Schematyczny przekrój geologiczny przez grodzisko w Ornowie, st. 3 (oprac. A. Lejzerowicz)

BADANIA ARCHEOLOGICZNE RAFAŁ SOLECKI

Historia badań

Stanowisko było już znane co najmniej w XIX wieku. Pierwszy, jeszcze w latach dwudziestych XIX wieku, jego dokumentację przeprowadził Johann Michael Guise⁵. W swej pracy z 1887 roku stanowisko wymienia Abraham Lissauer, który przypisuje je do miejscowości *Lischaken, Kr. Osterode* i określa chronologię jako wcześnieśredniowieczną⁶. W 1908 roku Emil Hollack opisuje je jako *Leschaken, Kr. Osterode*⁷, a w 1937 roku tak samo nazywa je Hans Crome, określając chronologię jako staropruską. Ten ostatni podaje też nazwy miejscowe stanowiska: *Schwedenschanze* i *Schneckenberg*⁸. W międzyczasie jest ono także wizytowane i opisane przez Wilhel-

ma Gaerte⁹. W 1950 roku charakteryzuje je w swej pracy Jerzy Antoniewicz, przypisując do wsi Kajkowo, przysiółka Lesiak. Wśród podanych przez niego informacji znajduje się wzmianka, że stanowisko nie było dotąd badane, że występująca na nim warstwa kulturowa jest „mało intensywna”, ale w dużych ilościach występują ślady węgla¹⁰.

Pierwsze badania wykopaliskowe przeprowadzone zostały w latach 1965–1966, pod kierownictwem Romualda Odoja i Bogusławy Wawrzykowskiej. Ciekawym odkryciem z tamtych badań było odsłonięcie spalonej konstrukcji drewnianej w obrębie południowo-zachodniego odcinka wału oraz znajdującego się pod wałem bruku kamiennego. Pozyskany wtedy materiał zabytkowy pozwolił określić chronologię stanowiska na okres od około VIII po XII wiek¹¹.

Kolejne badania realizował w latach 2011–2012 Instytut Archeologii UMK w Toruniu.

⁵ Sajkowski 2007: 305.

⁶ Lissauer 1887: 190.

⁷ Hollack 1908: 87.

⁸ Crome 1937: 121.

⁹ Gaerte i Toschke 1927: 298.

¹⁰ J. Antoniewicz 1950: 70.

¹¹ Mirkowska 2004: 281; Wadyl 2012: 118.

Celem badań było między innymi zweryfikowanie wielofazowej struktury osadnictwa grodziska w Ornowie¹². Przeprowadzone badania potwierdziły średniowieczną chronologię nawarstwień w obrębie wału otaczającego majdan, którą zawężono do okresu od ostatnich dekad X, po połowę XI wieku. Wykazano, że rdzeń wału był gliniano-ziemny, szerokości około 3,5 m i wysokości około 1,5 m. Na jego szczytce znajdowały się dodatkowe umocnienia wykonane w konstrukcji przekładkowej, drewniano-ziemnej. Drewniane elementy konstrukcji wału na odcinku południowym i zachodnim uległy spaleniu i osunęły się na stoki wału. Po tym wydarzeniu gród nie został już odbudowany. Poniżej nawarstwień wiązanych z konstrukcją wału w jego części południowej odkryto relikt obiektu, który powią-

zano z osadnictwem ludności kultury lużyckiej. Z kolei poniżej nawarstwień wiązanych z wałem, w jego części zachodniej, odsłonięto bruk kamienny. Na podstawie materiału zabytkowego, w tym kamiennej siekierki, powiązano go z osadnictwem ludności neolitycznej kultury amfor kulistych¹³.

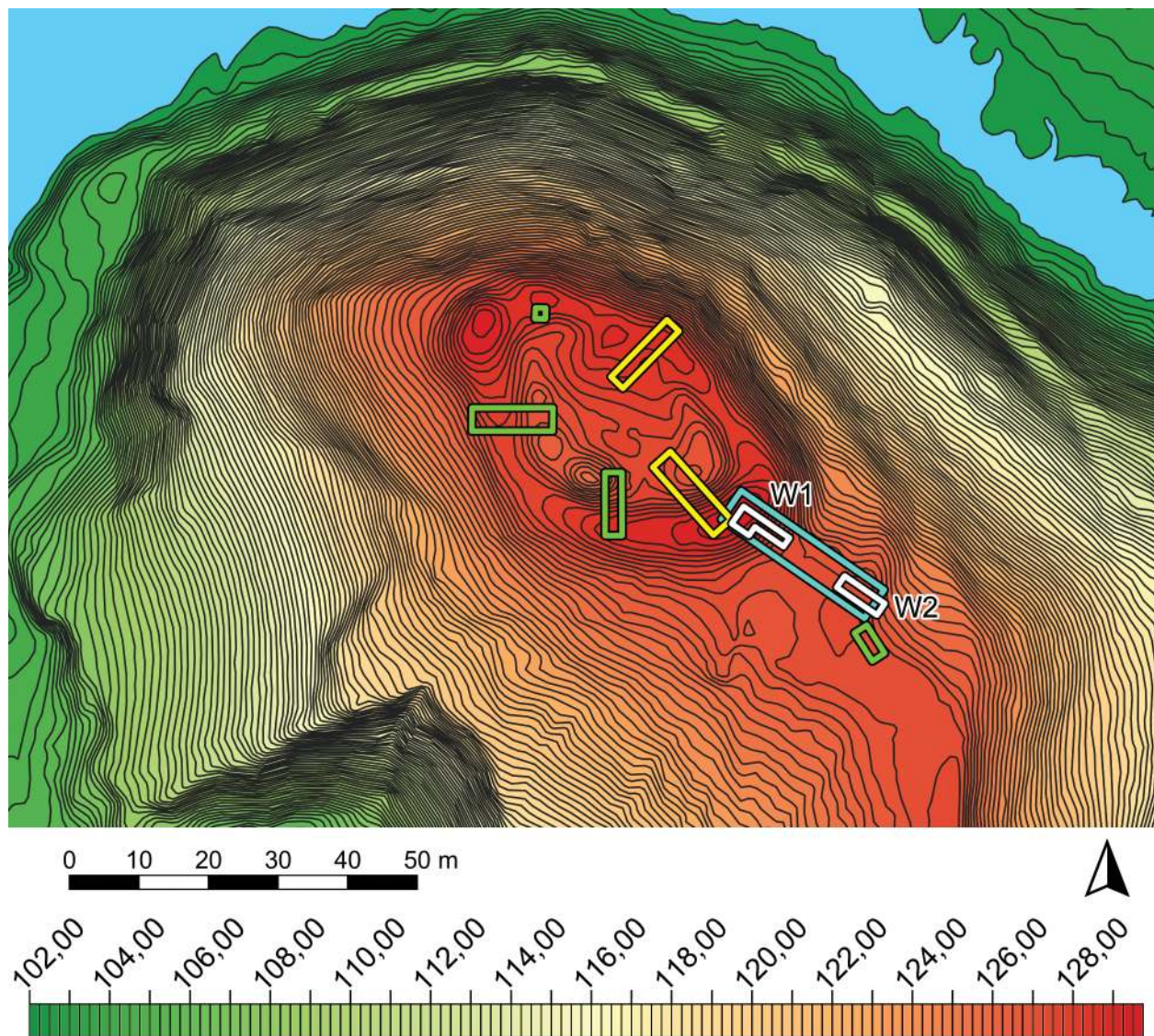
Stanowisko jest skatalogowane w ramach AZP pod nr 26-56/16, nr 3 w miejscowości Ornowo-Lesiak Ostródzki i opisane jako wcześnieśredniowieczne¹⁴. Jako wcześnieśredniowieczne opisują je także Adam Mackiewicz i Mirosław J. Hoffmann¹⁵.

¹² Wadyl 2012: 118.

¹³ Wadyl 2012: 119–121; 2013: 114–123.

¹⁴ Informacja z Karty Ewidencji Stanowiska Archeologicznego, Archiwum NID.

¹⁵ Hoffmann i Mackiewicz 2004: 16.



Ryc. 10. Plan sytuacyjno-wysokościowy grodziska w Ornowie, st. 3 z rozmieszczeniem wykopów z obecnych badań (kolor biały), wykopów z lat 1965-1966 (kolor żółty), wykopów z lat 2011-2012 (kolor zielony) i zaznaczonym na niebiesko obszarem badań nieinwazyjnych (na podstawie materiałów CODGiK, oprac. R. Solecki)

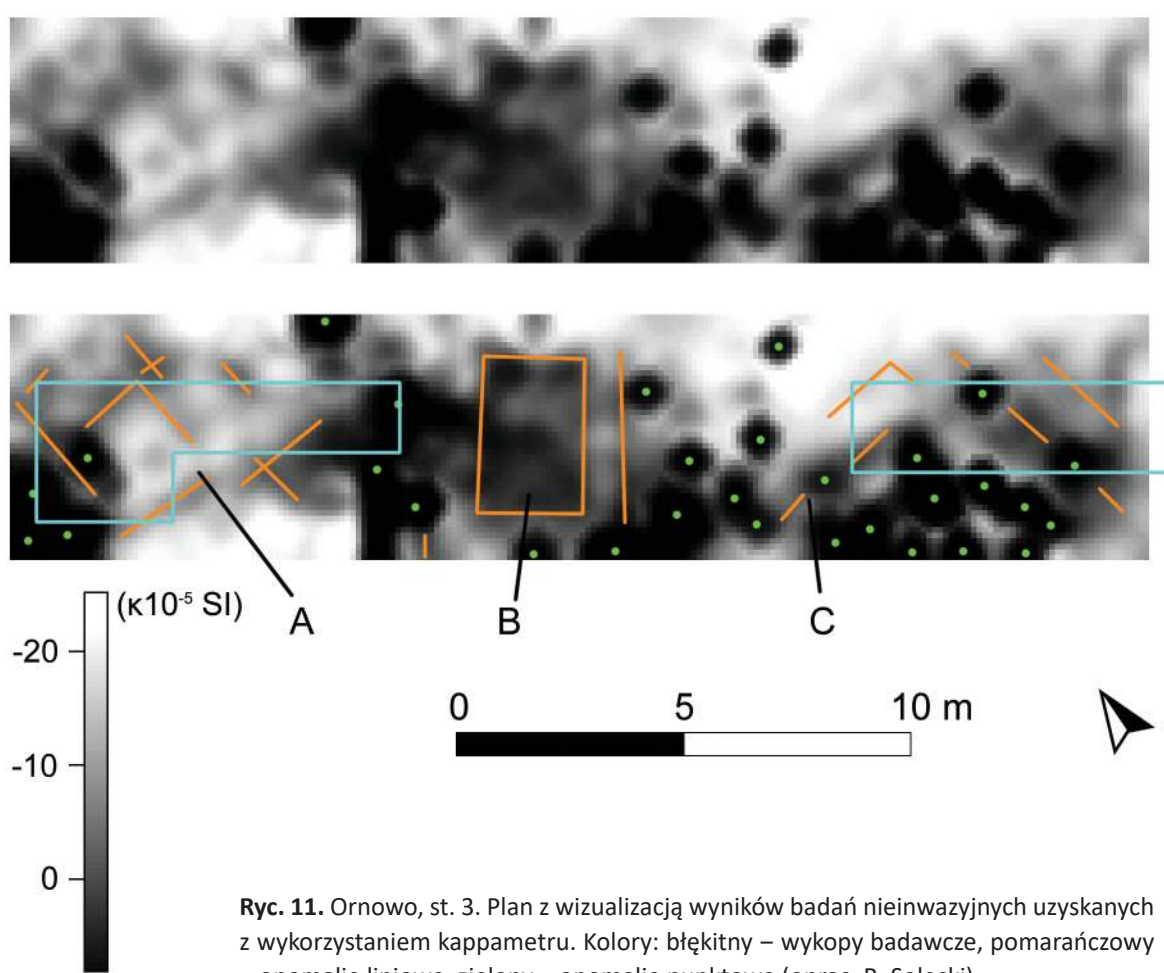
Przebieg badań terenowych

Dotychczasowe badania potwierdziły, że stanowisko było użytkowane w okresie wcześniego średniowiecza i faza ta została dobrze rozpoznana w licznych wykopach zlokalizowanych na obszarze majdanu. Celem badań przeprowadzonych w 2020 roku było zweryfikowanie śladów starszego osadnictwa, ustalenie chronologii zewnętrznego wału oraz pobranie prób do badań radiowęglowych. W tym celu wytyczono dwa wykopy badawcze. Wykop 1 miał nieregularny kształt o wymiarach $1,5\text{--}3 \times 8$ m i powierzchni $16,5 \text{ m}^2$. Znajdował się na zewnętrznym stoku wału otaczającego majdan. Wykop 2 o wymiarach 2×7 m i powierzchni 14 m^2 wytyczono tak, by przecinał wał zewnętrzny (ryc. 10).

Przystępując do badań przeprowadzono rozpoznanie nieinwazyjne z wykorzystaniem kappametru firmy Bartington model MS3 z sondą MS2D pracującą z częstotliwością $950 \pm 60 \text{ Hz}$ i przeznaczoną do płytkiego pomiaru podatności magnetycznej gruntu (Bartington Instruments Ltd.). Prospekcji poddano obszar o powierzchni 125 m^2 (ryc. 10 i 11). War-

tość odczytów mieści się w zakresie od -30,58 do $72,71 \text{ } \mu\text{SI}$. Średnia wartość odczytów wynosi -7,98 a odchylenie standardowe 14,3 ($\text{ } \mu\text{SI}$).

Na planie z wizualizacją wyników pomiarów czytelne są trzy zgrupowania anomalii liniowych (ryc. 11:A-C). Zgrupowanie opisane literą „A” zidentyfikowano na szczytce wału i może być to ślad po spalonej konstrukcji drewnianej, którą zbadano w trakcie badań w latach 1965–1966 i 2011–2012. Zgrupowanie opisane literą „B” wykryto w obrębie suchej fosy okalającej od południowego wschodu wał wokół majdanu. Zgrupowanie opisane literą „C” to zespół słabo czytelnych, krótkich, liniowych anomalii w obrębie zewnętrznego wału. Bardziej precyzyjna interpretacja jest trudna do przeprowadzenia z powodu licznych, punktowych zakłóceń oznaczonych na ryc. 11 kolorem zielonym. W ten sposób uwidaczniały się silne, przypowierzchniowe sygnały wywoływane przez współczesne przedmioty metalowe, ale także niektóre kamienie bogate w minerały ferromagnetyczne.



Stratygrafia stanowiska

W trakcie omawianych badań archeologicznych wydzielono łącznie 47 jednostek stratygraficznych (tabela 1). Jednostki te reprezentują okres poprzedzający działalność człowieka (warstwy naturalne) i osiem faz antropogenicznych, z których pięć można traktować jako fazy użytkowe stanowiska: faza I – neolit, kultura amfor kulistych, faza II – wczesna epoka brązu, faza III – późna epoka brązu, kultura lużycka, faza IV (A-B) – wczesna epoka żelaza, kultura kurhanów zachodniobałtyjskich, faza VI (A-B) – wczesne średniowiecze. Diagram Harrisa dla wydzielonych jednostek stratygraficznych przedstawia ryc. 12.

Warstwy naturalne

W trakcie badań jako jednostkę naturalną wydzielono zwarte, twardy piasek z żelazistymi wytrąceniami 28.

Faza I

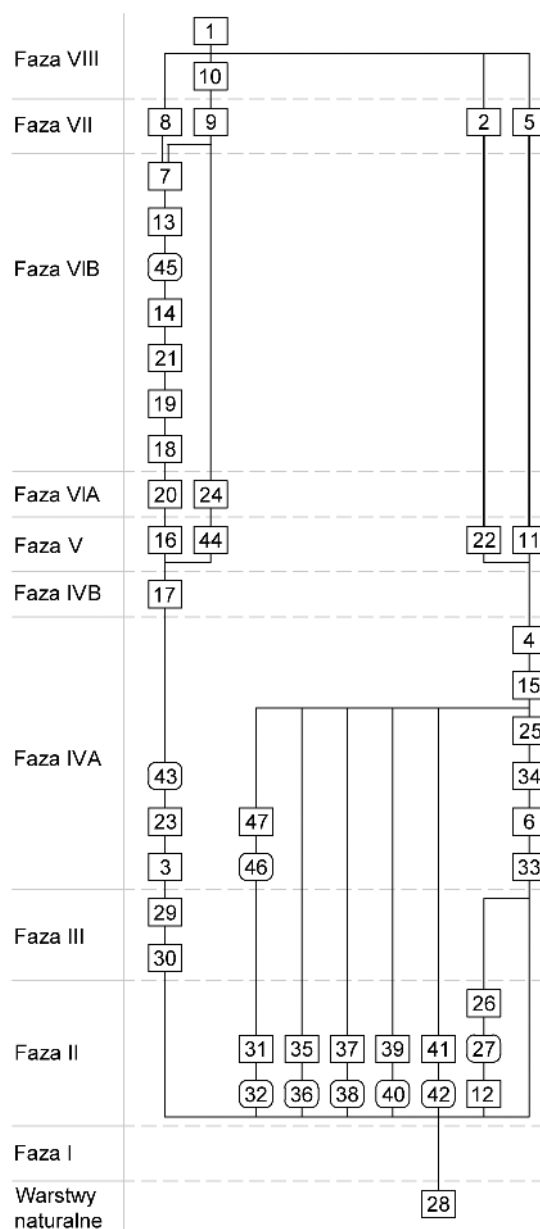
Fazę tę należy wiązać z osadnictwem ludności neolitycznej kultury amfor kulistych. W trakcie obecnych badań nie zidentyfikowano żadnej jednostki stratygraficznej, którą można by wiązać z tym okresem, ale na wtórnym złóżu znalezione dwa fragmenty ceramiki, która pochodzi najpewniej ze zniszczonej warstwy kulturowej. Obiekt wiązany z tą kulturą archeologiczną zadokumentowano w Ornowie w trakcie badań w latach 2011–2012¹⁶.

Faza II

Fazę tę można datować na wczesną epokę brązu. Obiekty i nawarstwienia, które łączą się z tą fazą zidentyfikowano jedynie w pobliżu wału zewnętrznego, stratygraficznie poniżej nawarstwień z nim związanych. Zostały one silnie zniszczone w wyniku procesów erozyjnych oraz młodszych prac ziemnych.

Pięć spośród sześciu obiektów to doły posłupowe:

- wkop 32, koliste w planie, prostokątny w przekroju; zanotowane wymiary to średnica około 40 cm i głębokość do 45 cm; wypełniskiem był pylasty piasek z silnymi, żelazistymi wytrąceniami 31,
- wkop 36, koliste w planie, U-kształtny w przekroju, z kamieniem średnicy 25 cm na dnie; zanotowane wymiary to średnica około 40 cm i głębokość do 30 cm; wypełniskiem był piasek pylasty 35;



Ryc. 12. Ornowo, st. 3. Diagram relacji stratygraficznych (oprac. R. Solecki)

- wkop 38, koliste w planie, prostokątny w przekroju, z kamieniem średnicy 10 cm na dnie; zanotowane wymiary to średnica około 30 cm i głębokość do 25 cm; wypełniskiem był piasek pylasty 37;
- wkop 40, koliste w planie, nieckowaty w przekroju, z kamieniem średnicy 15 cm na dnie; zanotowane wymiary to średnica około 40 cm i głębokość do 15 cm; wypełniskiem był pylasty piasek 39;
- wkop 42, koliste w planie, prostokątny w przekroju; zanotowane wymiary to średnica około 40 cm i głębokość do 30 cm; wypełniskiem był pylasty piasek z żelazistymi wytrąceniami 41.

¹⁶ Kurzyk i Wadyl 2015.

Ostatni obiekt 27 miał w planie kształt nie-regularnie liniowy, w przekroju V-kształtny. Jego wymiary to długość 210 cm, szerokość do 40 cm i głębokość do 40 cm. Wypełniskiem był pylasty piasek 26 z bardzo dużą domieszką węgli drzewnych i pojedynczymi kamieniami średnicy do 15 cm.

Jako relikt poziomu użytkowego z tego okresu można traktować pylasty piasek 12 z licznymi kamieniami średnicy do 15 cm, który w postaci wąskiego pasa miąższości do 30 cm zachował się w otoczeniu obiektu 27.

Z warstwy 26, będącej wypełniskiem obiektu 27, pobrano próbę węgla do analizy radiowęglowej. Wynik tej analizy dał po kalibracji przedział lat 1738–1532 p.n.e. z prawdopodobieństwem 95,4%¹⁷. Obiekt ten funkcjonował zatem w II Okresie Epoki Brązu według podziału chronologicznego zaproponowanego przez Jana Dąbrowskiego dla północno-wschodniej Polski¹⁸, lub na przełomie I i II Okresu Epoki Brązu w podziale zaproponowanym przez Carla Engla¹⁹. Na obszarze tym, we wskazanym czasie występowało osadnictwo o trudnej do określenia afiliacji kulturowej²⁰.

Faza III

Fazę tę można datować na późną epokę brązu. Dwie jednostki związane z tą fazą odkryto poniżej nasypu wału otaczającego majdan. Pierwsza jednostka to piaszczysta ziemia z dużą domieszką węgli drzewnych 29, której miąższość dochodzi do 40 cm. Jest to najpewniej relikt poziomu użytkowego. W obrębie tej jednostki wydzielono grupę dużych kamieni średnicy do 40 cm, układających się w nieregularny pas 30. Z względu na jedynie fragmentaryczne odsłonięcie konstrukcji, jej interpretacja nie jest możliwa.

Z warstwy 29, będącej poziomem kulturowym, pobrano próbę węgla do analizy radiowęglowej. Wynik tej analizy dał po kalibracji przedział lat 1010–853 p.n.e. z prawdopodobieństwem 95,4%²¹. Poziom ten był zatem użytkowany w IV–V Okresie Epoki Brązu według wspomnianego wcześniej podziału J. Dą-

browskiego²². Jest to okres, kiedy na obszarze Warmii i Mazur zaczyna pojawiać się osadnictwo ludności kultury lużyckiej, którą określa się jako grupę mazursko-warmińską. Charakterystyczne dla tej grupy są osady otwarte²³.

Faza IV

Fazę tę należy datować na wczesną epokę żelaza. W okresie tym stanowisko zostaje zajęte przez ludność kultury kurhanów zachodniobałtyjskich, która założyła w tym miejscu osiedle obronne. Na podstawie stratygrafii zadokumentowanych jednostek wydzielono dwie podfazy – A i B.

Do podfazy IVA w wykopie 1 zaliczono nasyp wału, który tworzą naprzemianległe lamineacje piasku i ziemi z obfitą domieszką żwiru i drobnych kamieni 3. Charakterystyczna forma nasypu wału – naprzemianległe warstwy ziemi i piasku – jest najpewniej efektem wykorzystania do jego stworzenia starszego poziomu użytkowego (warstwy 29) oraz piasku calcowego (warstwy 28). W wyniku wybierania calca powstało koryto suchej fosy 43 po zewnętrznej stronie tworzonego wału. Na odsłoniętym odcinku wał ten miał szerokość u podstawy dochodzącą do 500 cm i wysokość do 100 cm. Oś wału z tej fazy nie pokrywała się z osią młodszego wału średniowiecznego. Na szczytce i stokach tego wału zalegała piaszczysta ziemia z dużą domieszką węgli drzewnych 23, której miąższość dochodziła do 35 cm. Jest to zapewne relikt poziomu użytkowego z tego okresu. Z warstwy tej pobrano próbę węgla do analizy radiowęglowej. Wynik tej analizy dał po kalibracji przedział lat 389–201 p.n.e. z prawdopodobieństwem 95,4%²⁴. Odpowiada to wczesnemu i środkowemu okresowi lateńskiego, w trakcie którego na omawianym obszarze rozwijało się osadnictwo ludności grupy zachodniomazurskiej kultury kurhanów zachodniobałtyjskich²⁵.

Do podfazy IVA w wykopie 2 zaliczono jednostki tworzące nasyp wału zewnętrznego: przemieszany piasek, pylasty 30, ziemisty piasek z dość dużą domieszką drobnych węgli drzewnych 34, ziemisty piasek 25 z licznymi kamieniami średnicy do 30 cm i ziemisty

¹⁷ Analiza przeprowadzona w Poznańskim Laboratorium Radiowęglowym, próba nr Poz-130294.

¹⁸ Dąbrowski 1997: 88–92.

¹⁹ J. Okulicz 1973: 165–166.

²⁰ J. Okulicz 1973: 168–173.

²¹ Analiza przeprowadzona w Poznańskim Laboratorium Radiowęglowym, próba nr Poz-130448.

²² Dąbrowski 1997: 88.

²³ Gedl 1975: 160–161; Dąbrowski 1997: 98.

²⁴ Analiza przeprowadzona w Poznańskim Laboratorium Radiowęglowym, próba nr Poz-134174.

²⁵ Ł. Okulicz 1970: 90–96.

Tabela 1. Ornowo, st. 3. Katalog warstw i obiektów zbadanych w 2020 roku oraz ich zależności stratygraficznych (oprac. R. Solecki)

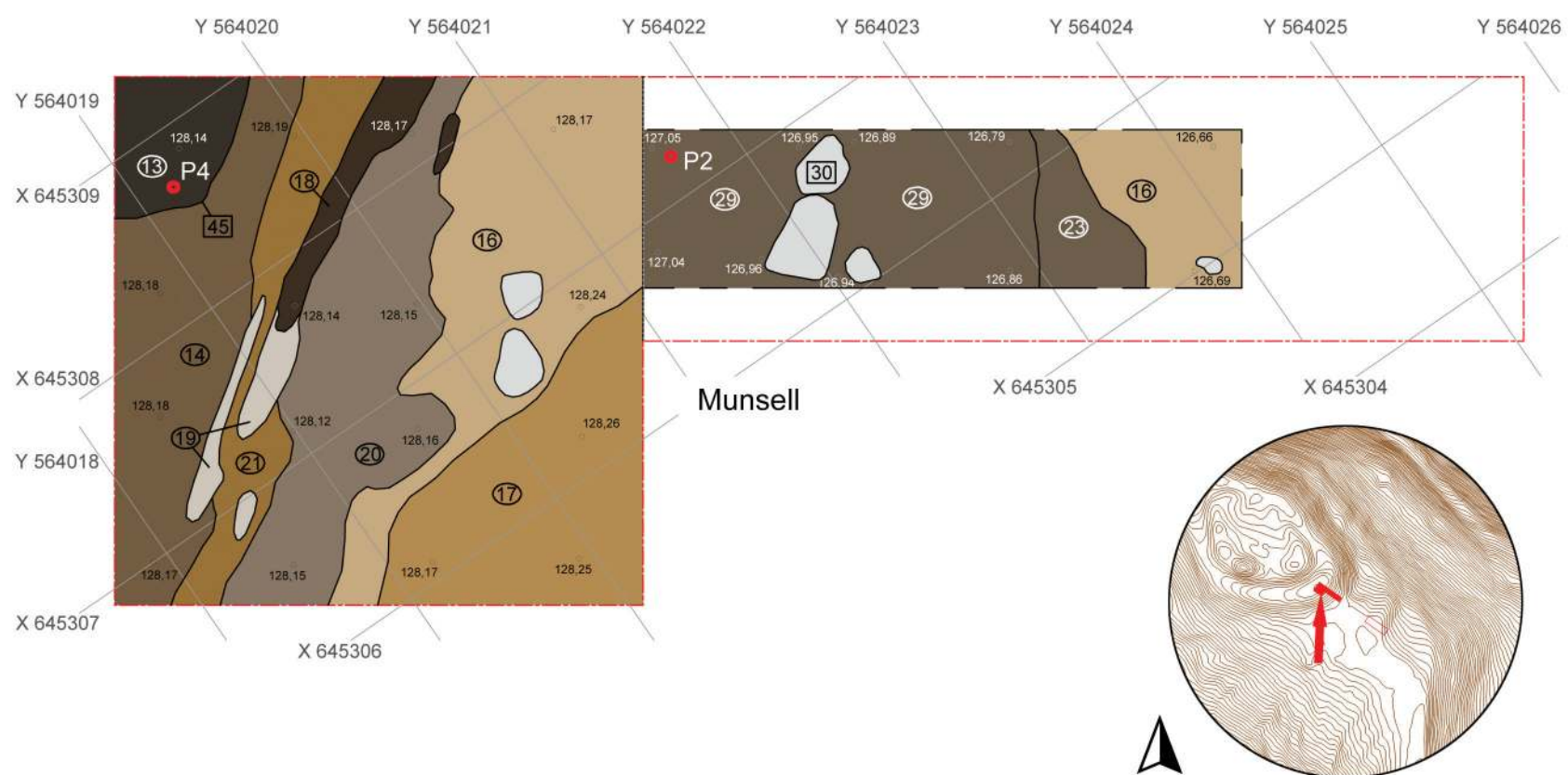
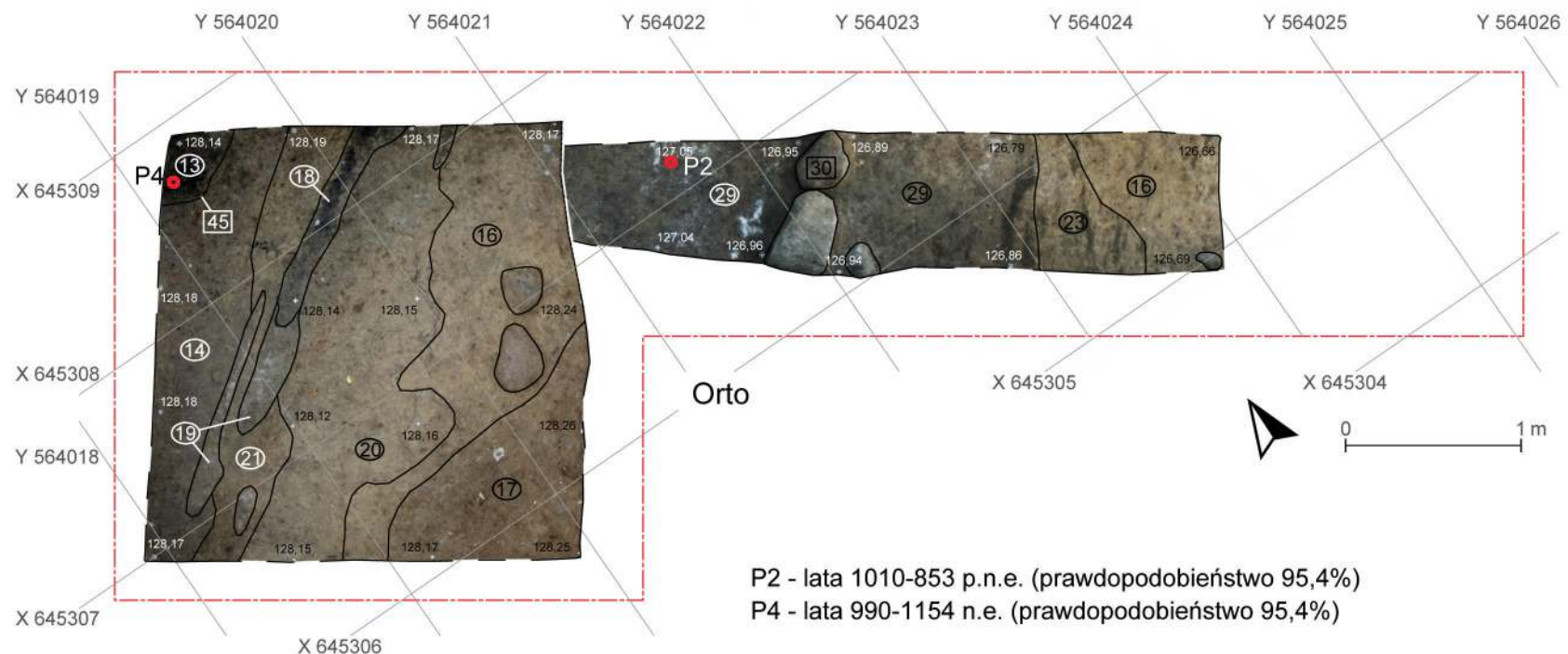
Numer jednostki	Numer obiektu	Numer wykopu	Polozenie w obrębie stanowiska	Współrzędne siatki (PUWG 1992)	Opis jednostki stratygraficznej	Barwa	Pozycja stratygraficzna	
							Znajduje się pod	Znajduje się nad
1	-	1, 2	Cała powierzchnia stanowiska	X=645293-645310; Y=564017-564040	Ciemna, piaszczysta, organiczna ziemia silnie poprzerastana korzeniami. Średnia miąższość 20 cm. Humus leśny - współczesny poziom użytkowy	10YR 3/2	-	7, 8, 9, 10
2	-	2	Wał II	X=645295.4-645299.4; Y=564032.6-564037.2	Przemieszana, pylasta ziemia; miąższość do 20 cm. Warstwa erozyjna powstała po opuszczeniu stanowiska w średniowieczu	10YR 4/1	1	22
3	-	1	Wał I	X=645303.6-645305.5; Y=564023.9-564025.9	Naprzmanielegie laminacje piasku i ziemi z obfitą domieszką żwiru i drobnych kamieni; miąższość do 100 cm. Nasyp wału ze starszej fazy wczesnożelaznej	5YR 4/3	16, 17, 23	29
4	-	2	Wał II	X=645294.5-645297.0; Y=564035.3-564037.8	Ziemisty piasek z licznymi kamieniami średnicą do 30 cm; miąższość do 30 cm. Nasyp wału związany z wczesnożelazną fazą użytkową stanowiska	10YR 3/3	2, 5	25
5	-	2	Wał II	X=645293.8-645299.4; Y=564036.2-564039.6	Przemieszana, pylasta ziemia; miąższość do 25 cm. Warstwa erozyjna powstała po opuszczeniu stanowiska w średniowieczu	10YR 4/2	1	4, 11
6	-	2	Wał II	X=645295.3-645298.3; Y=564035.4-564037.9	Nieregulany pas ułożony z kamieni średnicą do 60 cm. Element konstrukcyjny wału związany z wczesnożelazną fazą użytkową stanowiska	-	25, 33	28
7	-	1	Szczyt Wału I	X=645305.2-645309.4; Y=564017.5-564021.9	Piaszczysta, lekko pylasta ziemia z drobinami węgli drzewnych i pojedynczymi kamieniami średnicą do 15 cm; miąższość do 45 cm. Warstwa rumoszu po zawaleniu się wczesnośredniowiecznej drewniano-ziemnej konstrukcji wału	10YR 4/1	8, 9	13, 14, 21
8	-	1	Szczyt Wału I	X=645305.2-645309.4; Y=564017.5-564021.5	Pylasty, lekko ziemisty piasek, miejscami zwarte; miąższość do 30 cm. Warstwa erozyjna powstała po opuszczeniu stanowiska w średniowieczu	10YR 4/4	1	7
9	-	1	Zewnętrzny stok Wału I	X=645303.7-645307.9; Y=564020.7-564025.7	Lekko ziemisty piasek z pojedynczymi kamieniami średnicą do 20 cm; miąższość do 25 cm. Warstwa erozyjna powstała po opuszczeniu stanowiska w średniowieczu	5YR 5/8	1, 10	7, 16, 17, 20, 21, 24
10	-	1	Zewnętrzne podnóżie Wału I	X=645303.6-645305.5; Y=564023.9-564025.9	Luźna, lekko przemieszana ziemia i piasek. Prawdopodobnie ślad po spróchniałym pniu	10YR 4/4	1	9
11	-	2	Wał II	X=645293.8-645296.5; Y=564036.8-564039.6	Lekko ziemisty piasek z pojedynczymi kamieniami średnicą do 15 cm; miąższość do 30 cm. Warstwa erozyjna powstała po opuszczeniu stanowiska we wczesnej epoce żelaza	10YR 5/6	5	4, 12, 25
12	-	2	Wał II	X=645293.8-645296.5; Y=564036.8-564039.6	Pylasty piasek z licznymi kamieniami średnicą do 15 cm; miąższość do 30 cm. Poziom użytkowy związany z osadnictwem ludności kultury rzucewskiej	10YR 6/4	25	28
13	45	1	Szczyt Wału I	X=645308.5-645309.4; Y=564018.8-564020.4	Duże fragmenty spalonych bierwion obtoczone w piasku. Wypełnisko obiektu 45	10YR 2/1	7	14, 45
14	-	1	Szczyt Wału I	X=645305.4-645309.4; Y=564017.5-564022.0	Piaszczysta ziemia z pojedynczymi żwirkami i drobnymi kamyczkami oraz z domieszką węgli drzewnych; miąższość do 60 cm. Warstwa rumoszu po zawaleniu się wczesnośredniowiecznej drewniano-ziemnej konstrukcji wału	10YR 4/3	7, 13, 45	18, 20, 21
15	-	2	Wał II	X=645295.6-645299.4; Y=564032.6-564036.8	Pylasty piasek z pojedynczymi kamieniami średnicą do 20 cm; miąższość do 20 cm. Poziom użytkowy związany z wczesnożelazną fazą użytkową stanowiska	10YR 6/6	2	25, 28, 35, 36, 37
16	-	1	Wał I	X=645305.6-645308.7; Y=564018.4-564022.1	Sypki, lekko pylasty piasek z pojedynczymi, drobnymi kamyczkami; miąższość do 20 cm. Warstwa erozyjna powstała po opuszczeniu stanowiska we wczesnej epoce żelaza	10YR 7/4	9, 20	3, 17, 23

Tabela 1. Ciąg dalszy

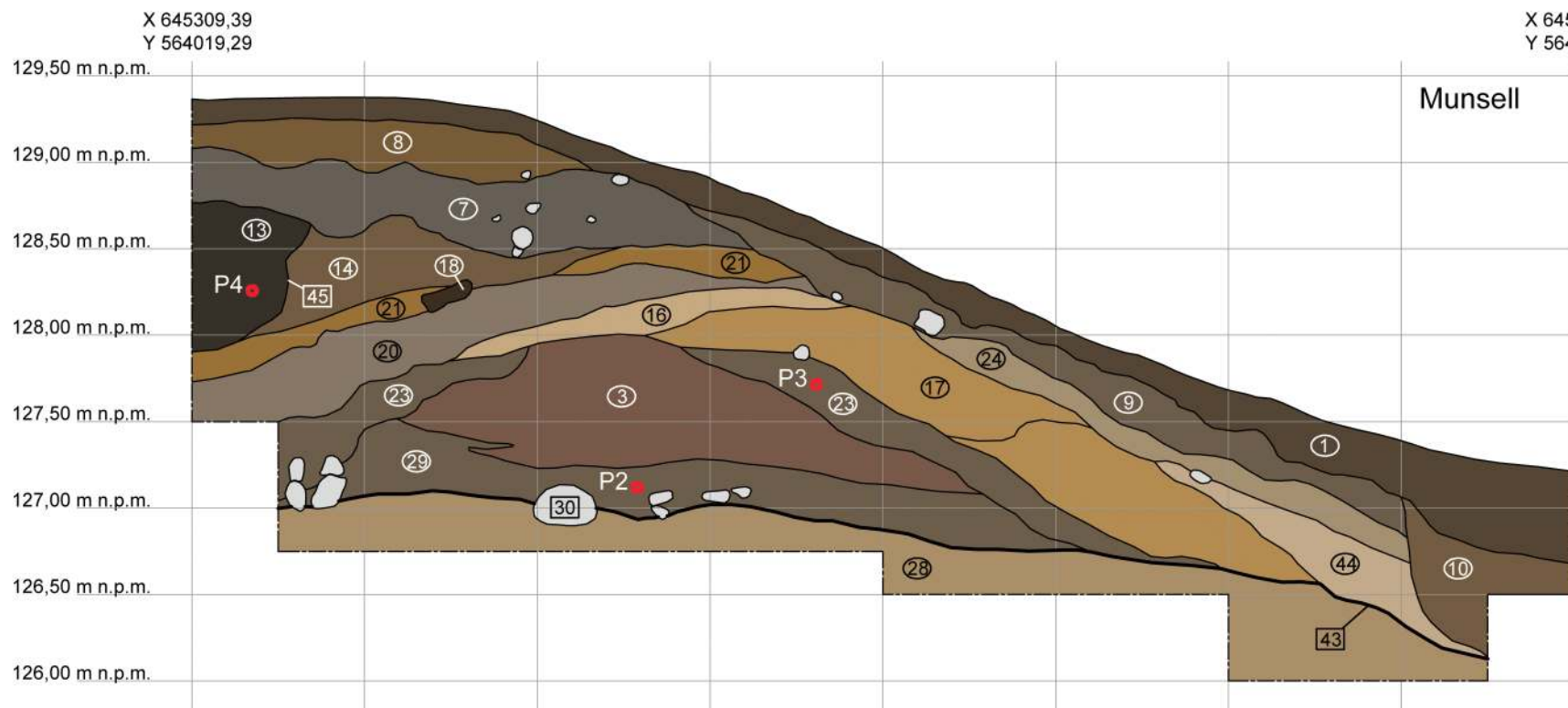
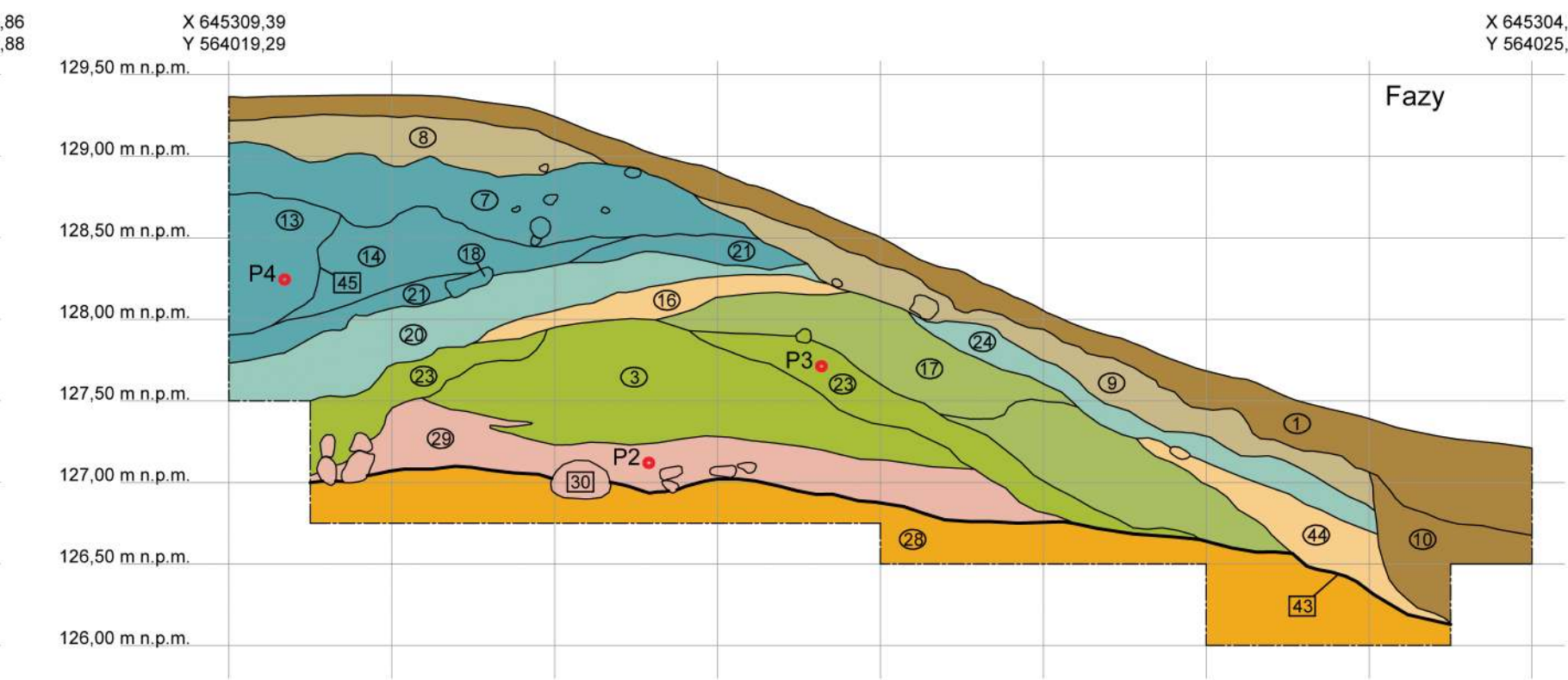
Numer jednostki	Numer obiektu	Numer wykopu	Położenie w obrębie stanowiska	Współrzędne siatki (PUWG 1992)	Opis jednostki stratygraficznej	Barwa	Pozycja stratygraficzna	
							Znajduje się pod	Znajduje się nad
17	-	1	Zewnętrzny stok Wału I	X=645304,5-645308,0; Y=564018,0-564024,7	Zwarty, gruboziarnisty piasek z obfitym żwirem i drobnymi kamykami; miąższość do 60 cm. Nasyp wału z młodszej fazy wczesnożelaznej	10YR 6/6	16, 24, 43, 44	3, 23
18	-	1	Wał I	X=645306,5-645309,4; Y=564017,5-564020,9	Zwęglone fragmenty desek; w przekroju prostokątne o wymiarach do 30x10 cm. Fragmenty zniszczonej konstrukcji drewnianej z młodszej fazy średniowiecznej	10YR 2/2	14, 21	20
19	-	1	Szczyt Wału I	X=645306,5-645309,4; Y=564017,5-564020,9	Wyrażona gлина występująca wokół zwęglonych desek 18. Prawdopodobnie warstwa licząca drewnianą konstrukcję 18	10YR 8/1	12, 21	20
20	-	1	Szczyt Wału I	X=645305,4-645309,4; Y=564017,5-564022,4	Przemieszany, ziemisty piasek z dużą domieszką węgli drzewnych i licznymi żwirkami i drobnymi kamykami; miąższość do 50 cm. Nasyp wału ze starszej, średniowiecznej fazy użytkowania stanowiska	10YR 5/2	14, 18, 21	16, 23
21	-	1	Szczyt Wału I	X=645305,4-645309,4; Y=564017,5-564022,2	Piasek z licznymi drobinami węgli drzewnych; miąższość do 20 cm. Warstwa rumoszu po zawaleniu się wczesnośredniowiecznej drewniano-ziemnej konstrukcji wału	10YR 5/6	7, 14	18, 20
22	-	2	Wał II	X=645295,4-645299,4; Y=564032,6-564037,2	Ziemisty piasek z pojedynczymi kamieniami średnicy do 25 cm; miąższość do 25 cm. Warstwa erozyjna powstała po opuszczeniu stanowiska we wczesnej epoce żelaza	10YR 4/6	2	15
23	-	1	Wał I	X=645305,1-645309,4; Y=564017,6-564024,2	Piaszczysta ziemia z dużą domieszką węgli drzewnych, miąższość do 35 cm. Poziom użytkowy ze starszej fazy wczesnożelaznej	10YR 4/2	16, 17, 20	3, 29
24	-	1	Zewnętrzny stok Wału I	X=645303,6-645307,2; Y=564021,8-564025,9	Lekko piaszczysta ziemia; miąższość do 25 cm. Zewnętrzny płaszcz Wału I ze starszej, średniowiecznej fazy użytkowania stanowiska	10YR 6/3	9	17, 44
25	-	2	Wał II	X=645294,3-645298,2; Y=564035,2-564039,0	Ziemisty piasek z licznymi kamieniami średnicy do 30 cm; miąższość do 40 cm. Nasyp wału związany z wczesnożelazną fazą użytkową stanowiska	10YR 4/4	4, 15	28, 33, 34
26	27	2	Wał II	X=645294,3-645296,3; Y=564037,0-564038,6	Pylasty piasek z bardzo dużą domieszką węgli drzewnych i pojedynczymi kamieniami średnicy do 15 cm. Wypełnisko obiektu 27	10YR 2/2	25	12, 27
27	27	2	Wał II	X=645294,3-645296,3; Y=564037,0-564038,6	Wkop, w planie nieregularnie liniowy, w przekroju V-kształtny; długość 210 cm, szerokość do 40 cm, głębokość do 40 cm. Obiekt związany z osadnictwem ludności kultury rzucewskiej	-	26	12
28	-	1, 2	Cała powierzchnia stanowiska	X=645293-645310; Y=564017-564040	Zwarty, twardy piasek z żelazistymi wytrąceniami. Warstwa naturalna	10YR 6/4 / 10YR 7/3	12, 17, 23, 29, 30	-
29	-	1	Wał I	X=645304,9-645309,2; Y=564017,6-564023,5	Piaszczysta ziemia z dużą domieszką węgli drzewnych, miąższość do 40 cm. Poziom użytkowy związany z osadnictwem ludności kultury lużyckiej	10YR 4/2	3, 23	30
30	-	1	Wał I	X=645305,3-645308,3; Y=564020,7-564022,5	Duże kamienie średnicy do 40 cm układające się w nieregularny pas. Konstrukcja związana z osadnictwem ludności kultury lużyckiej	-	29	28
31	32	2	Wal II	X=645297,9-645298,4; Y=564035,0-564035,6	Pylasty piasek z silnymi, żelazistymi wytrąceniami. Wypełnisko obiektu 32	10YR 4/6	15, 34, 46	32
32	32	2	Wał II	X=645297,9-645298,4; Y=564035,0-564035,6	Wkop, kolisty w planie, prostokątny w przekroju; średnica około 40 cm, głębokość do 45 cm. Wypełniskiem jest warstwa 31. Dół postupowy związany z osadnictwem ludności kultury rzucewskiej	-	31	28

Tabela 1. Ciąg dalszy

Numer jednostki	Numer obiektu	Numer wykopu	Polożenie w obrębie stanowiska	Współrzędne siatki (PUWG 1992)	Opis jednostki stratygraficznej	Barwa	Pozycja stratygraficzna	
							Znajduje się pod	Znajduje się nad
33	-	2	Wał II	X=645295,3-645298,3; Y=564035,4-564037,9	Przemieszany piasek, pylasty; miąższość do 35 cm. Wypełnisko obiektu 34. Nasyp wału związany z wczesnożelazną fazą użytkową stanowiska	10YR 5/3	25, 34	6, 28
34	-	2	Wał II	X=645297,5-645298,4; Y=564035,1-564036,0	Ziemisty piasek z dość dużą domieszką drobnych węgli drzewnych; miąższość do 25 cm. Nasyp wału związany z wczesnożelazną fazą użytkową stanowiska	10YR 2/2	15, 25	33
35	36	2	Wał II	X=645297,1-645297,7; Y=564033,1-564033,7	Piasek, pylasty. Wypełnisko obiektu 36	10YR 6/2	15	28, 36
36	36	2	Wał II	X=645297,1-645297,7; Y=564033,1-564033,7	Wkop, kolisty w planie, U-kształtny w przekroju, z kamieniem średnicy 25 cm na dnie; średnica około 40 cm, głębokość do 30 cm. Wypełniskiem jest warstwa 35. Dół posłupowy związany z osadnictwem ludności kultury rzucewskiej	-	35	28
37	38	2	Wał II	X=645296,7-645297,3; Y=564033,7-564034,3	Piasek, pylasty. Wypełnisko obiektu 38	10YR 5/4	15	28, 38
38	38	2	Wał II	X=645296,7-645297,3; Y=564033,7-564034,3	Wkop, kolisty w planie, prostokątny w przekroju, z kamieniem średnicy 10 cm na dnie; średnica około 30 cm, głębokość do 25 cm. Wypełniskiem jest warstwa 37. Dół posłupowy związany z osadnictwem ludności kultury rzucewskiej	-	37	28
39	40	2	Wał II	X=645296,2-645296,8; Y=564034,4-564035,1	Piasek, pylasty. Wypełnisko obiektu 40	10YR 4/4	15	28, 40
40	40	2	Wał II	X=645296,2-645296,8; Y=564034,4-564035,1	Wkop, kolisty w planie, nieckowaty w przekroju, z kamieniem średnicy 15 cm na dnie; średnica około 40 cm, głębokość do 15 cm. Wypełniskiem jest warstwa 39. Dół posłupowy związany z osadnictwem ludności kultury rzucewskiej	-	39	28
41	42	2	Wał II	X=645298,8-645299,4; Y=564033,5-564034,2	Pylasty piasek z żelazistymi wytrąceniami. Wypełnisko obiektu 42	10YR 4/4	15	42
42	42	2	Wał II	X=645298,8-645299,4; Y=564033,5-564034,2	Wkop, kolisty w planie, prostokątny w przekroju; średnica około 40 cm, głębokość do 30 cm. Wypełniskiem jest warstwa 41. Dół posłupowy związany z osadnictwem ludności kultury rzucewskiej	-	41	28
43	44	1	Zewnętrzne podnóże Wału I	X=645303,6-645306,2; Y=564022,7-564025,9	Wyprowadzenie tworzące fosę po zewnętrznej stronie wału wewnętrznego. Umocnienie ze starszej fazy wczesnożelaznej	-	17	44
44	44	1	Zewnętrzne podnóże Wału I	X=645303,6-645306,2; Y=564022,7-564025,9	Zwarty, lekko pylasty piasek z pojedynczymi, małymi kamyczkami; miąższość do 35 cm. Warstwa erozyjna powstała po opuszczeniu stanowiska we wczesnej epoce żelaza	10YR 7/3	17, 43	24
45	45	1	Szczyt Wału I	X=645308,5-645309,4; Y=564018,8-564020,4	Uchwycony fragmentarnie wkop; dostępne wymiary - szerokość do 80 cm, głębokość do 85 cm. Fragment konstrukcji drewnianej z wczesnośredniowiecznej fazy użytkowania stanowiska	-	13	14
46	46	2	Wał II	X=645297,9-645298,4; Y=564035,0-564035,6	Wkop, kolisty w planie, U-kształtny w przekroju; średnica około 25 cm, głębokość do 50 cm. Wypełniskiem jest warstwa 47. Dół posłupowy związany z wczesnożelazną fazą stanowiska	-	47	28, 31
47	46	2	Wał II	X=645297,9-645298,4; Y=564035,0-564035,6	Pylasty piasek z pojedynczymi drobinami węgli drzewnych. Wypełnisko obiektu 46	10YR 4/2	15	46



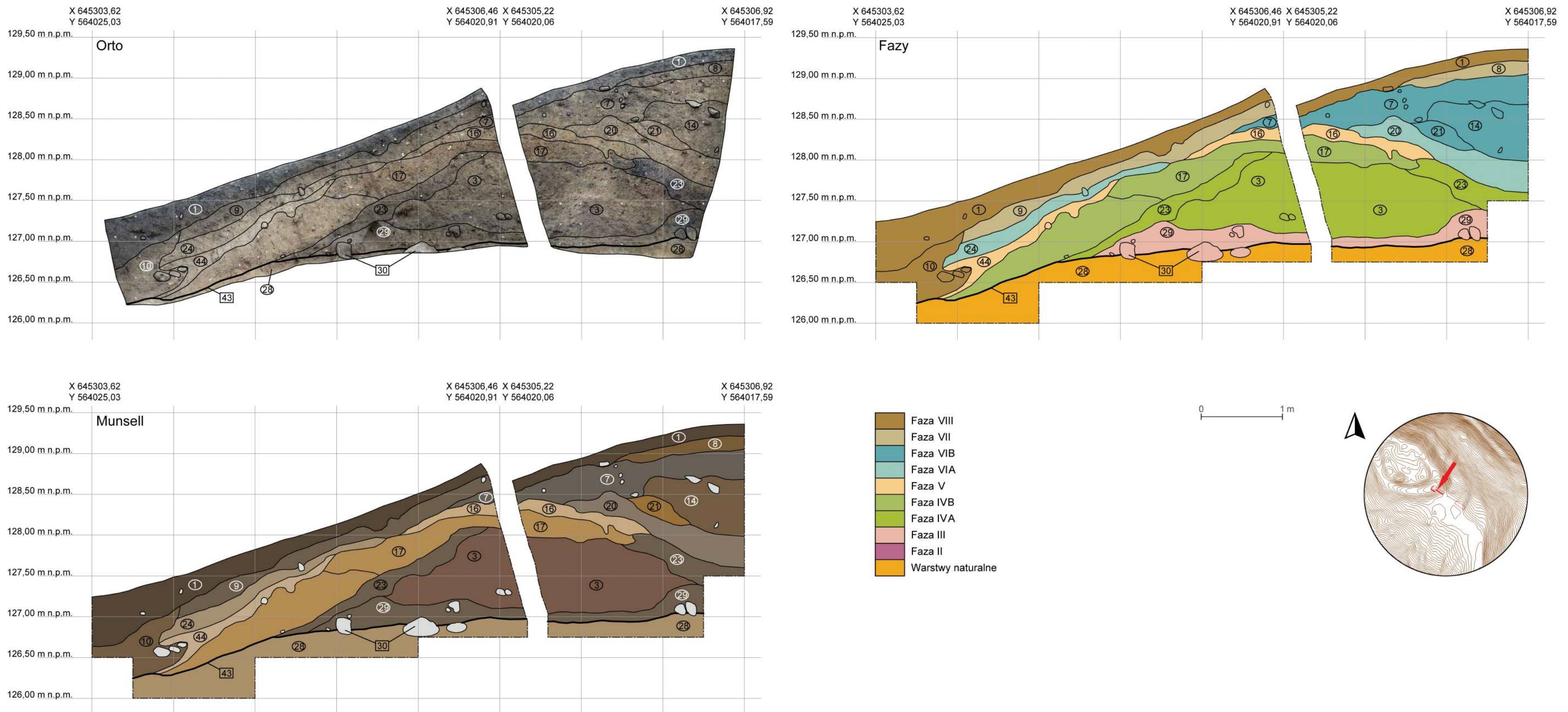
Ryc. 13. Ornowo, st. 3. Stratygrafia nawarstwień południowego odcinka wału grodziska – wykop 1 (oprac. R. Solecki)



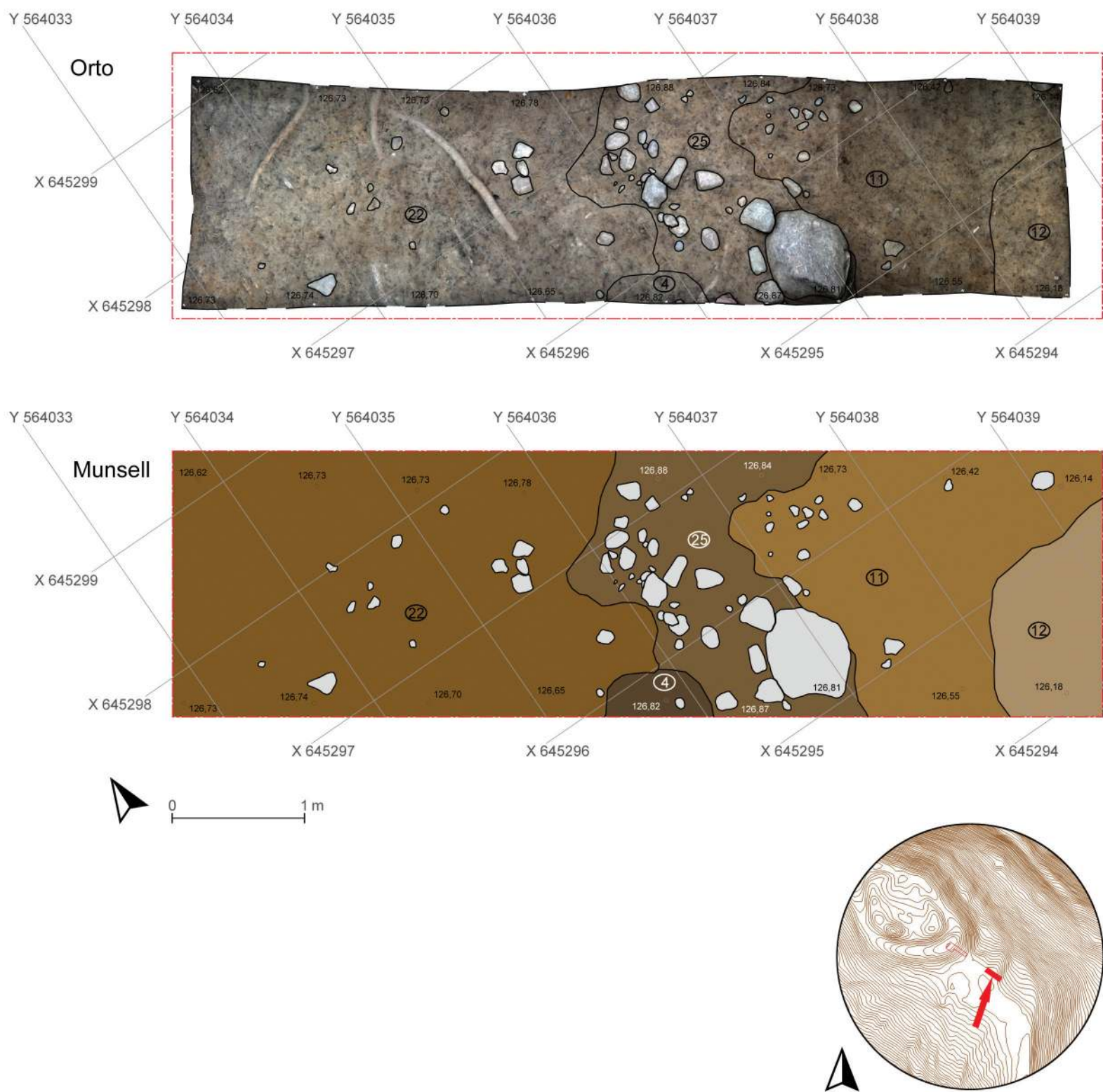
	Faza VIII
	Faza VII
	Faza VI B
	Faza VI A
	Faza V
	Faza IV B
	Faza IV A
	Faza III
	Faza II
	Warstwy naturalne

P2 - lata 1010-853 p.n.e. (prawdopodobieństwo 95,4%)
P3 - lata 389-201 p.n.e. (prawdopodobieństwo 95,4%)
P4 - lata 990-1154 n.e. (prawdopodobieństwo 95,4%)

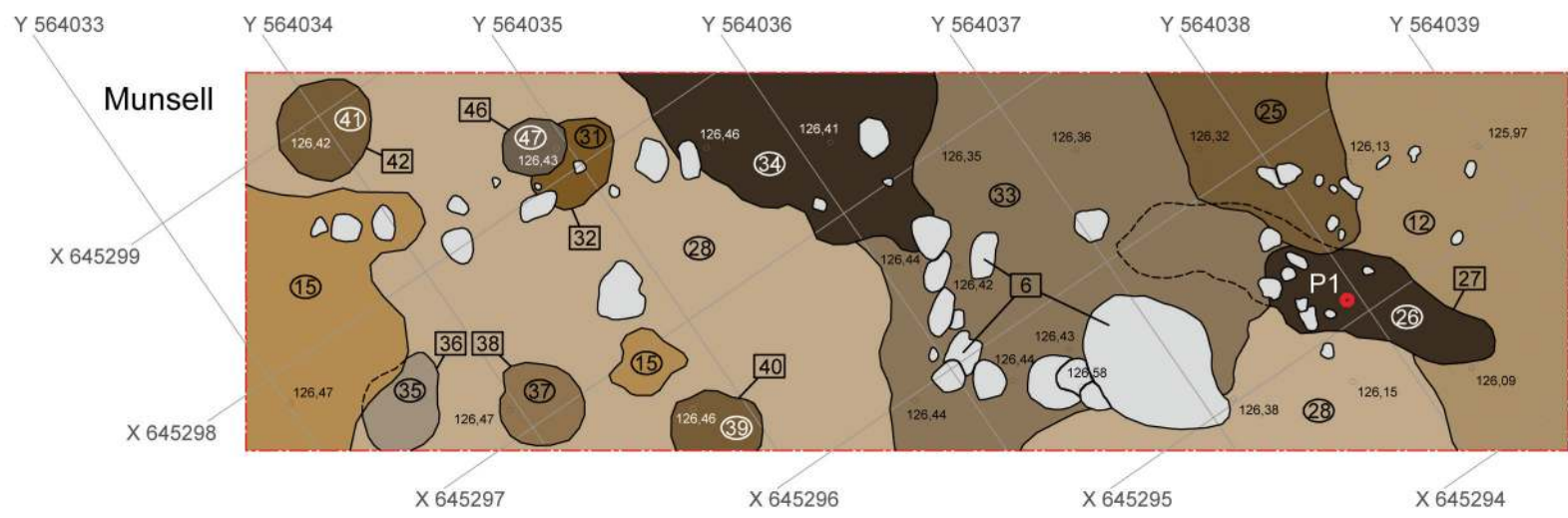
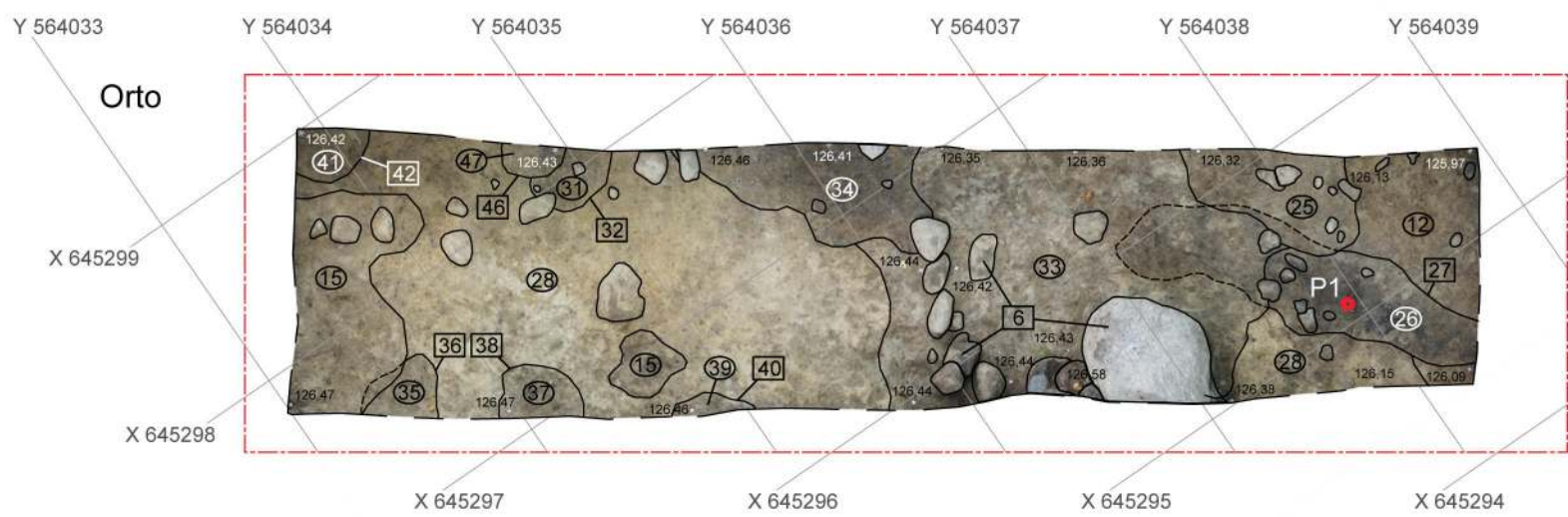
Ryc. 14. Ornowo, st. 3. Stratygrafia nawarstwień południowego odcinka wału grodziska – wykop 1 (oprac. R. Solecki)



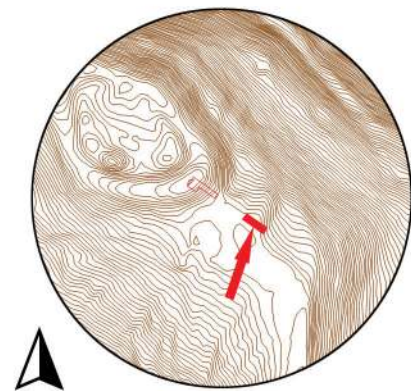
Ryc. 15. Ornowo, st. 3. Stratygrafia nawarstwień południowego odcinka wału grodziska – wykop 1 (oprac. R. Solecki)



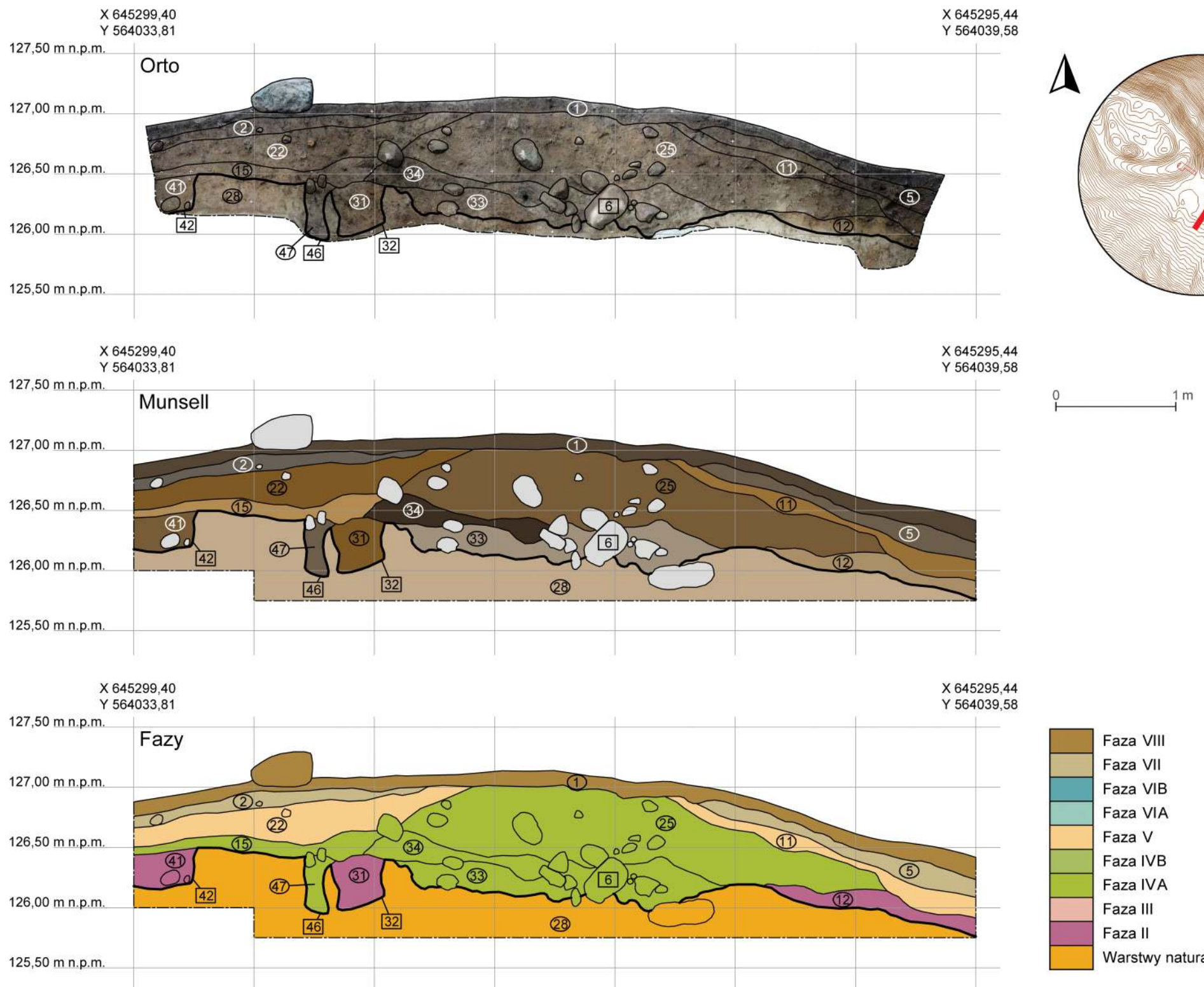
Ryc. 16. Ornowo, st. 3. Stratygrafia nawarstwień zewnętrznego wału grodziska – wykop 2 (oprac. R. Solecki)



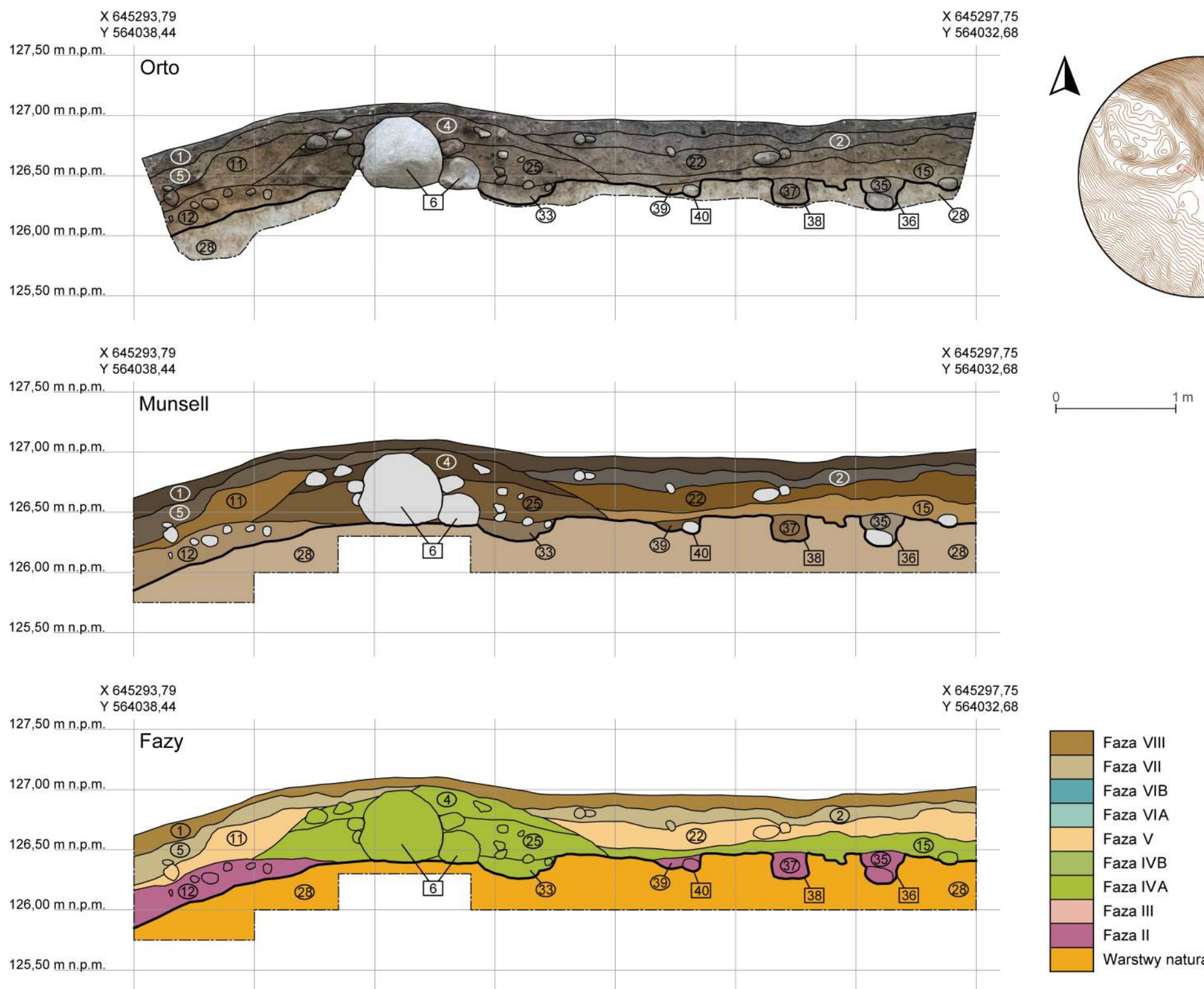
P1 - lata 1738-1532 p.n.e. (prawdopodobieństwo 95,4%)



Ryc. 17. Ornowo, st. 3. Stratygrafia nawarstwień zewnętrznego wału grodziska – wykop 2 (oprac. R. Solecki)



Ryc. 18. Ornowo, st. 3. Stratygrafia nawarstwień zewnętrznego wału grodziska – wykop 2 (oprac. R. Solecki)



Ryc. 19. Ornowo, st. 3. Stratygrafia nawarstwień zewnętrznych wału grodziska – wykop 2 (oprac. R. Solecki)

piasek 4 z licznymi kamieniami średnicy do 30 cm. Rdzeń wału tworzył nieregulany pas 6 ułożony z kamieni średnicy do 60 cm, który stratygraficznie znajdował się pomiędzy jednostkami 33 i 34. Wał zewnętrzny mógł być zaopatrzony w konstrukcję drewnianą, za czym przemawia duża ilość węgli drzewnych w jednostce 34 oraz dół posłupowy zadokumentowany przy linii wału: wkop 46, kolisty w planie, U-kształtny w przekroju, zanotowane wymiary to średnica około 25 cm i głębokość do 50 cm, którego wypełniskiem był pylasty piasek 47 z pojedynczymi drobinami węgli drzewnych. Poziom użytkowy tworzył pylasty piasek 15 z pojedynczymi kamieniami średnicy do 20 cm, o miąższości do 20 cm, odsłonięty na obszarze pomiędzy wałem okalającym majdan a wałem zewnętrznym.

Jednostką, którą przypisano do podfazy IVB, był zwarty, gruboziarnisty piasek z obficie występującym żywrem i drobnymi kamykami 17, który zidentyfikowano na zewnętrznym stoku wału okalającego majdan, ponad warstwą 23. Jednostka ta jest najpewniej nadsypaniem wału, w celu jego umocnienia i podwyższenia. Utworzono ją pogłębiając suchą fosę 43.

Faza V

Do fazy tej zaliczono jednostki powstałe w wyniku procesów erozyjnych, które zachodziły w okresie po opuszczeniu stanowiska we wczesnej epoce żelaza. W wykopie 1 były to: sypki, lekko pylasty piasek z pojedynczymi, drobnymi kamykami 16 i zwarty, lekko pylasty piasek z pojedynczymi, małymi kamykami 44, a w wykopie 2 lekko ziemisty piasek 11 z pojedynczymi kamieniami średnicy do 15 cm i ziemisty piasek 22 z pojedynczymi kamieniami średnicy do 25 cm.

Faza VI

Fazę tę należy łączyć z ponownym zajęciem stanowiska w okresie wczesnego średniowiecza. Jednostki tej fazy odsłonięto tylko w wykopie 1, a na podstawie zadokumentowanej stratygrafia wydzielono dwie podfazy – A i B.

Do podfazy VIA zaliczono przemieszany, ziemisty piasek z dużą domieszką węgli drzewnych oraz licznymi żywirkami i drobnymi kamykami 20, a także lekko piaszczystą ziemię 24. Warstwy te formowały na nowo wał ziemny okalający majdan. Na szczycie tego wału wznieciona została dodatkowa konstrukcja drewniano-ziemna.

Do podfazy VIB zaliczono jednostki będące destruktem wspomnianej konstrukcji drewniano-ziemnej, która spłonęła i zawaliła się. W kolejności stratygraficznej są to: zwięzłe fragmenty desek 18, w przekroju prostokątnych o wymiarach do 10×30 cm, wyprażona glina 19 występująca wokół zwięzłych desek 18, piasek z licznymi drobinami węgli drzewnych 21, piaszczysta ziemia z pojedynczymi żywirkami i drobnymi kamykami oraz z domieszką węgli drzewnych 14, a także piaszczysta, lekko pylasta ziemia 7 z drobinami węgli drzewnych i pojedynczymi kamieniami średnicy do 15 cm. Stratygraficznie pomiędzy warstwą 14 i 7 wydzielono obiekt 13/45, będący dużym fragmentem zwięzłej konstrukcji drewnianej. Z warstwy 13 pobrano próbę węgla do analizy radiowęglowej. Wynik tej analizy dał po kalibracji przedział lat 990–1154 n.e. z prawdopodobieństwem 95,4%²⁶, co potwierdza chronologię fazy wczesnośredniowiecznej określoną na podstawie badań w latach 2011–2012.

Faza VII

Do fazy tej zaliczono jednostki powstałe w wyniku procesów erozyjnych, które zachodziły w okresie po opuszczeniu stanowiska we wczesnym średniowieczu. W wykopie 1 były to: miejscami zwarty, pylasty, lekko ziemisty piasek 8 i lekko ziemisty piasek 9 z pojedynczymi kamieniami średnicy do 20 cm, a w wykopie 2 przemieszana, pylasta ziemia 2 i przemieszana, pylasta ziemia 5.

Faza VIII

Współczesny poziom użytkowy tworzy ciemna, piaszczysta, organiczna ziemia silnie porzeraстana korzeniami 1, pokrywająca cały obszar stanowiska. Dodatkowo, w wykopie 1, u samej podstawy wału, zanotowano luźną, lekko przemieszaną ziemię i piasek 10. Jest to najpewniej ślad po rozkładającym się systemie korzeniowym, niedawno obumarłego drzewa.

²⁶ Analiza przeprowadzona w Poznańskim Laboratorium Radiowęglowym, próba nr Poz-134331.

ZNALEZISKA

RAFAŁ SOLECKI

Na materiał zabytkowy pozyskany w trakcie badań archeologicznych grodziska w Ornowie, st. 3, w 2020 roku składa się zbiór fragmentów ceramiki oraz zabytki wydzielone.

Ceramika

Łącznie pozyskano 226 fragmentów ceramiki. W wyniku analizy określono, że 65 fragmentów można przypisać do okresu wcześnieśredniowiecznego, a 125 fragmentów to ceramika pradziejowa. 36 fragmentów, ze względu na niewielki rozmiar i złym stanem zachowania, nie udało się przypisać do żadnej z wydzielonych grup. Fragmenty ceramiki pozyskano z jednostek stratygraficznych przypisanych do pięciu faz funkcjonowania stanowiska, z czego trzy to fazy zinterpretowane, jako użytkowe, jedna to faza po opuszczeniu stanowiska we wcześniej epoce żelaza, kiedy działały procesy erozyjne, a ostatnia to współczesny poziom użytkowy. Na podstawie technologii produkcji i form naczyń wydzielono 4 grupy technologiczno-surowcowe. Częścią analizy materiału ceramicznego było także przeprowadzenie zestawienia ilościowego (tabela 2) oraz określenie jego fragmentacji i erozji (tabela 3).

Ceramika neolityczna

W grupie ceramiki pradziejowej wydzielono dwa fragmenty, które można wiązać z kulturą amfor kulistych lub kulturą ceramiki sznurowej. Były to fragmenty brzuśca o wyciągniętej powierzchni, z których pierwszy zdobiony był charakterystycznym ornamentem pionowych karbów tworzących poziomy pas (tabl. 1:1). Na powierzchni drugiego znajdował się odcisk cienkiego sznurka w nieregularnym układzie poziomym (tabl. 1:2). Motywów tego typu są często spotykane na powierzchniach naczyń obu kultur²⁶.

Ceramika z wcześniej epoki brązu

Kolejne sześć fragmentów ceramiki można wiązać z osadnictwem ludności we wcześniej epoce brązu. Powierzchnia dwóch z nich pokryta była zdobieniem. W jednym przypadku były to dwie grupy trzech rytych linii skośnych lub falistych (tabl. 1:3) a w drugim płytki dołki wycięnięte w powierzchniach

ni naczynia tworzące linię w układzie poziomym (tabl. 1:4). Podobne zdobienia znane są z miejscowości Suchacz, pow. elbląski, z zespołu ceramiki noszącego cechy „iwieńsko-trzcinieckie”²⁷.

Ceramika z wcześniej epoki żelaza

Najliczniejszą grupę ceramiki pradziejowej, liczącą 117 fragmentów (51,8% całego zbioru; 61,6% zbioru z elementami diagnostycznymi) można wiązać z kulturą kurhanów zachodniobałtyjskich. Ceramika ta wykonana była ze słabo wyrobionej, w większości przypadków źle przesortowanej masy ceramicznej z dużą ilością drobno- i średnioziarnistej domieszki schudzającej – piasku, drobin starego granitu, rzadko miki. Grubość ścianki wahala się od 4 do 16 mm (średnio ok. 8 mm). Wypał był utleniający. Kolor ścian jest najczęściej brązowy, beżowy i pomarańczowy. Powierzchnia zewnętrzna była najczęściej gładka (56 fragmentów, 47,9% analizowanej grupy), w tym na 22 fragmentach zanotowano ślady wyściecania. Rzadziej notuje się powierzchnię intencjonalnie chropowatą (38 fragmentów, 32,5% analizowanej grupy) i szorstką (23 fragmenty, 19,6% analizowanej grupy). W analizowanej grupie znalazło się 25 fragmentów wylewów (21,4% analizowanej grupy), 89 fragmentów brzuśca (76,1% analizowanej grupy) oraz trzy fragmenty części dennich (2,5% analizowanej grupy).

Poddając analizie kształt wylewów można wydzielić pięć, które wpisują się do kategorii naczyń wazowatych lub dwustożkowych, grup III–IV (tabl. 1:5–9), które Mirosław J. Hoffmann datuje od okresu La Tène A/B po wcześnie okres przedrzymski²⁸. Cztery z nich mają gładką powierzchnię, o mniejszej lub bardziej wyprofilowanej i wywiniętej szyjce. Najlepiej zachowane naczynie tego typu ma średnicę wylewu około 18 cm i charakterystyczny ornament w formie pojedynczego pasa ząbków paznokciem wykonany poniżej szyjki (tabl. 1:5). Naczynia o takiej formie odkryte w Łęczynie Starym, pow. mławski, Łucja Okulicz datuje ogólnie na wcześnie epokę żelaza. Tam są one jednak elementem inwentarza grobowego²⁹. Naczynie o podobnej formie pochodzące z badań osady, znane jest ze Sztumu, pow. loco, gdzie datowane jest na okres

²⁷ Manasterski 2011: 151–165.

²⁸ Hoffmann 2000: 296–297 (ryc. 35–36).

²⁹ Ł. Okulicz 1970: 180, 239.

Tabela 2. Zestawienie ilościowe fragmentów ceramiki z grodziska w Ornowie, st. 3 z badań w roku 2020 (oprac. R. Solecki)

Faza	Liczba fragmentów naczyni	SEN (procent obwodu)	Liczba fragmentów	Szyjki	Ornamentowane	Ucha	Część przydennie	Liczba fragmentów	SEN (procent obwodu)	Wkładka	Plaskie	Rozta	Dna	Fragmenty przepalone	Powierzchni	Neoitt i Wczesna epoka brązu	Wczesna Epoka Żelaza	Średniowiecze	Chronologia	Nieokreślone						
I	26	1	1		1	1		3	2	1	1										1	2				
VII	3	2						6	1	2	3	1									1	4				
III/A	4	5						2		2	1										2	1				
III/A	15	3	2	1	5			2		2	1										7	29				
III/A	23	29	4	4	26	1		25	7	5	5	12	2													
VII	25	1	1	3				1													1					
III/A	33	3	3					3	1		2										2	1				
III/B	17	3	2					3		2	1										2	1				
IV	11	30	18	8	44			22	7	13	5	4	1	3						2	21	2				
IV	16	1	1					1	1												1					
IV	22	11	7					10	6		4	1	1							1	1	2				
VA	20	2	1					2		2											2					
VA	24	2	1					2		2											2					
VB	7	22	11	3	17			18	6	13	3									1	7	13				
VB	13	5	3	1	2			3		3	2									1	3	1				
VB	14	15	7	1	2			14	7	5	3									2	12	1				
VI	2	35	15	6	22	1		26	2	21	1	10	1	1	1	1	1	1	1	3	14	11				
VI	5	23	16	3	16	1		19	4	8	3	7	1	1						1	11	6				
VI	9	2	2	1	3	1		1												1						
VII	1	23	19	2	5			20	2	10		11		3						1	2	4				
VII	10	1	1																		1					
VII	hafta	5	4	1	4			3	1	1										1	4					
Suma	226	126	32	149	4			184	39	95	22	66	4	13	2	3	5	46	1	1	3	19	8	117	65	36

Tabela 3. Fragmentacja i erozja fragmentów ceramiki z grodziska w Ornowie, st. 3 z badań w roku 2020 (oprac. R. Solecki)

Faza	Jedn. strat.	Kategorie wielkościowe (cm)										Stopień erozji			Suma	
		1	2	3	4	5	6	7	8	9	10≤	0	1	II	III	
I	26			1										1	1	1
IIIA	3		1		2									3	3	3
IIIA	4		1	1	1	3						3	2	1	6	6
IIIA	15		2			1						2	1		3	3
IIIA	23		5	3	8	4	3	3	3	3	16	13		29	29	
IIIA	25			1								1		1	1	1
IIIA	33			1						1	1		3		3	3
IIIB	17							2	1			3			3	3
IV	11		4	7	5	8	4	1	1	1	1	20	9		30	30
IV	16					1						1		1	1	1
IV	22		5	3	3							11		11	11	11
V A	20							1	1			2		2	2	2
V A	24				1	1						2			2	2
VB	7		1	5	8	6	1	1				17	4	1	22	22
VB	13		2	1	1		1					3	2		5	5
VB	14		5	4	4	1		1			1	9	5		15	15
VI	2		8	10	13	3	1					18	17		35	35
VI	5		4	3	5	4	6		1			14	9		23	23
VI	9			1		1						1	1		2	2
VII	1		2	8	5	6	1	1				13	10		23	23
VII	10							1				1		1	1	1
VII	halda		1		2				1			3	2		5	5
Suma		36	51	53	44	19	10	5	4	2	127	95	2	226		

La Tène A³⁰. Piąte naczynie, o chropowaczej powierzchni (tabl. 1:9) ma wyraźnie większą średnicę około 36 cm i krótszą szyjkę, w której znajduje się otwór, być może do przewleczenia sznura.

Kolejną podgrupę tworzy zespół sześciu fragmentów wylewów naczyń o formie jajowej (tabl. 1:10–15) według klasyfikacji M.J. Hoffmanna³¹. W jednym przypadku możliwe było określenie średnicy wylewu na około 16 cm (tabl. 1:10). Na jednym fragmencie zanotowano także zdobienie krawędzi wykonane zaszczypywaniem (tabl. 1:15).

Ostatnią podgrupę tworzy zespół ośmiu fragmentów wylewów naczyń o formie mis (tabl. 1:15–21) i/lub czarek (tabl. 1:22–23) według klasyfikacji M.J. Hoffmanna³². Jednoznaczne przypisanie do określonej formy nie jest możliwe ze względu na zbyt duże rozdrobnienie analizowanych czerepów. Na jednym z fragmentów zaobserwowano zgrubienie krawędzi wylewu ozdobione pojedynczym zaszczypnięciem (tabl. 1:18). Do podgrupy tej można zaliczyć także jeden fragment dna o zaakcentowanej krawędzi i średnicy około 4 cm (tabl. 1:24).

Ceramika wczesnośredniowieczna

Do grupy technologiczno-surowcowej charakterystycznej dla okresu wczesnego średniowiecza zaliczono 65 fragmentów (28,8% całego zbioru; 34,2% zbioru z elementami diagnostycznymi). Ceramika wykonana była ze słabo wyrobionej, niezbyt dobrze przesortowanej masy ceramicznej z niedużą ilością drobno- i średnioziarnistej domieszki schudzającej – piasku, drobin startego granitu. Podczas formowania naczyń ich powierzchnię obtaczano, najczęściej całkowicie. Grubość ścianki waha się od 4 do 11 mm (średnio ok. 7,4 mm). Wypał był utleniający. Kolor ścian jest najczęściej brązowy, rzadziej szary i pomarańczowy. Powierzchnia zewnętrzna była najczęściej gładka (40 fragmentów, 60% analizowanej grupy), rzadziej szorstka (26 fragmentów, 40% analizowanej grupy).

W analizowanej grupie znalazło się 6 fragmentów wylewów (9,2% analizowanej grupy), 55 fragmentów brzuśca (83,1% analizowanej grupy) z czego dwa z fragmentami ucha (tabl. 2:18–19) oraz pięć fragmentów dna lub

ewidentnych części przydennych (7,7% analizowanej grupy). Krawędzie wszystkich wylewów były silnie wywinięte na zewnątrz i pochodziły od form esowatych (tabl. 2:1–5). Pierwszy fragment dna był zapewne częścią dzbana (tabl. 2:20), drugi pochodzi z naczynia zapewne o formie baniastej (tabl. 2:21).

Na 15 fragmentach (23,1% analizowanej grupy) zaobserwowano ślady zdobień. Najczęściej były to dookolne żłobki (występujące na 15 fragmentach), które występowały zarówno, jako pojedyncze żlobienia, ale też jako pasy żlobień (tabl. 2:6–17). Występowały zarówno bezpośrednio poniżej wylewu (tabl. 2:1), jak i w części przydennej naczynia (tabl. 2:20). Odnotowano także ornamentowanie za pomocą stempla wielodzielnego (występujące na czterech fragmentach) (tabl. 2:1, 2:8–10) i wykonane za pomocą wielozębennego narzędzia grzebykowego (występujące na dwóch fragmentach) (tabl. 2:6–7), a także pojedynczy odcisk paznokcia (tabl. 2:11). W każdym z tych przypadków zdobienie współwystępowało z dookolnymi żłobkami.

Grupa ta w pełni oddaje charakterystykę wczesnośredniowiecznego materiału ceramicznego pozyskanego w trakcie badań grodziska w Ornowie w latach 1965–1966 i 2011–2012, który wydawano na okres od końca X po około połowę XI wieku³³.

Zabytki wydzielone

Do grupy zabytków wydzielonych zakwalifikowano 6 zabytków metalowych i 2 krzemienie. Zabytki metalowe pozyskano w trakcie przygotowywania obszaru badań dla badań nieinwazyjnych. Wszystkie zostały pozyskane z warstwy humusu i domierzone z wykorzystaniem tachimetru laserowego.

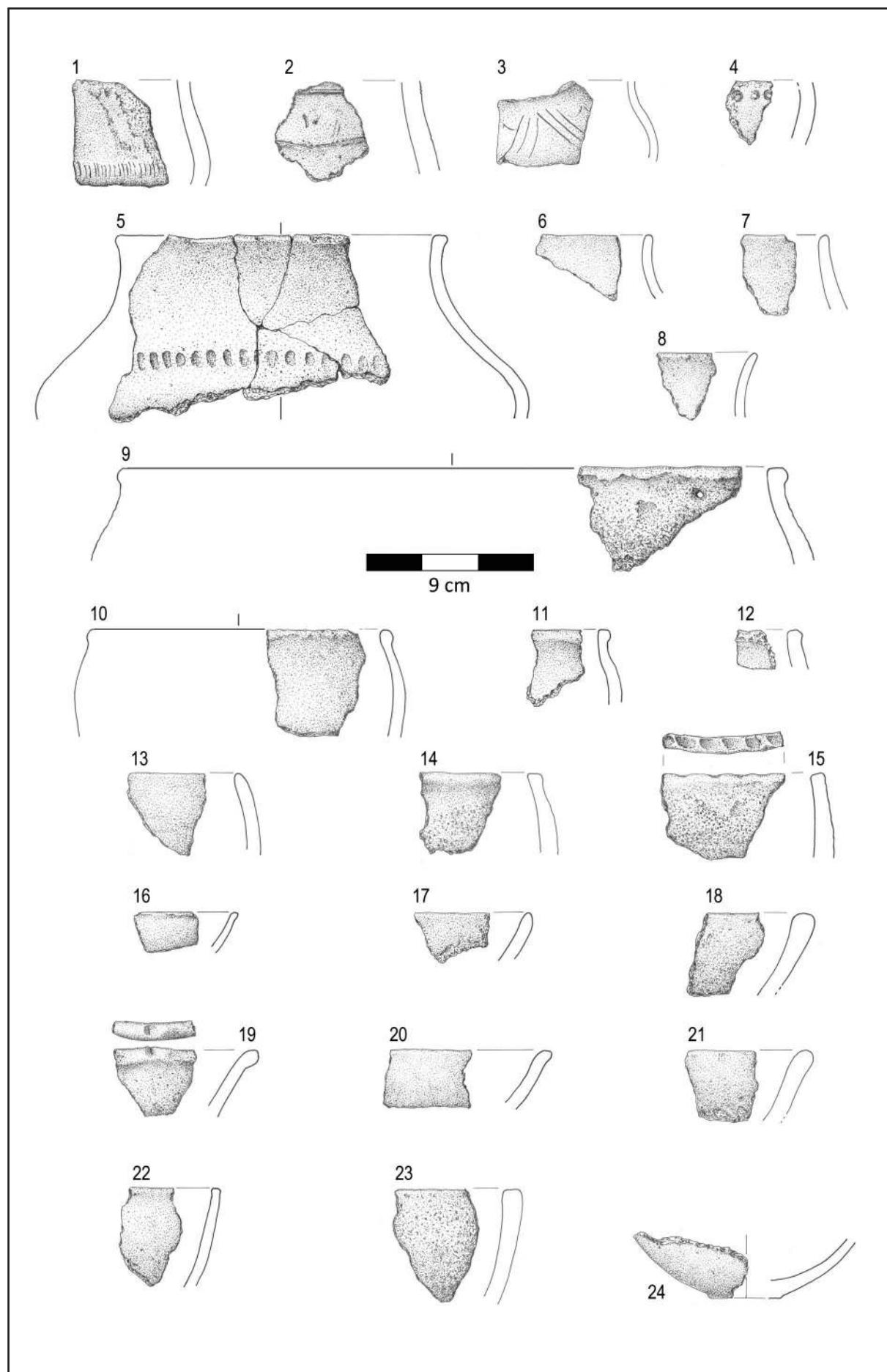
Dwa pierwsze zabytki żelazne związane są z oporządzeniem końskim. Pierwszy to fragment wędzidła w formie lekko, łukowato wygiętego pręta długości 80 mm i średnicy 9–13 mm z kółkiem o średnicy wewnętrznej 50 mm wykonanym z pręta o średnicy 4 mm (tabl. 3:1). Na podstawie budowy można szacować, że jest to zabytek nowożytny. Drugi przedmiot to żelazne, owalne ognisko o średnicy wewnętrznej 35–45 mm wykonane z pręta o średnicy 4–6 mm (tabl. 3:2). Jest to prawdopodobnie kółko od wędzidła. Trzeci zabytek to żelazna klamerka paska w kształcie prostokąta o wymiarach wewnętrznych 15×25 mm wykonana z kwadratowego prę-

³⁰ Hoffmann 1999: 169, 364.

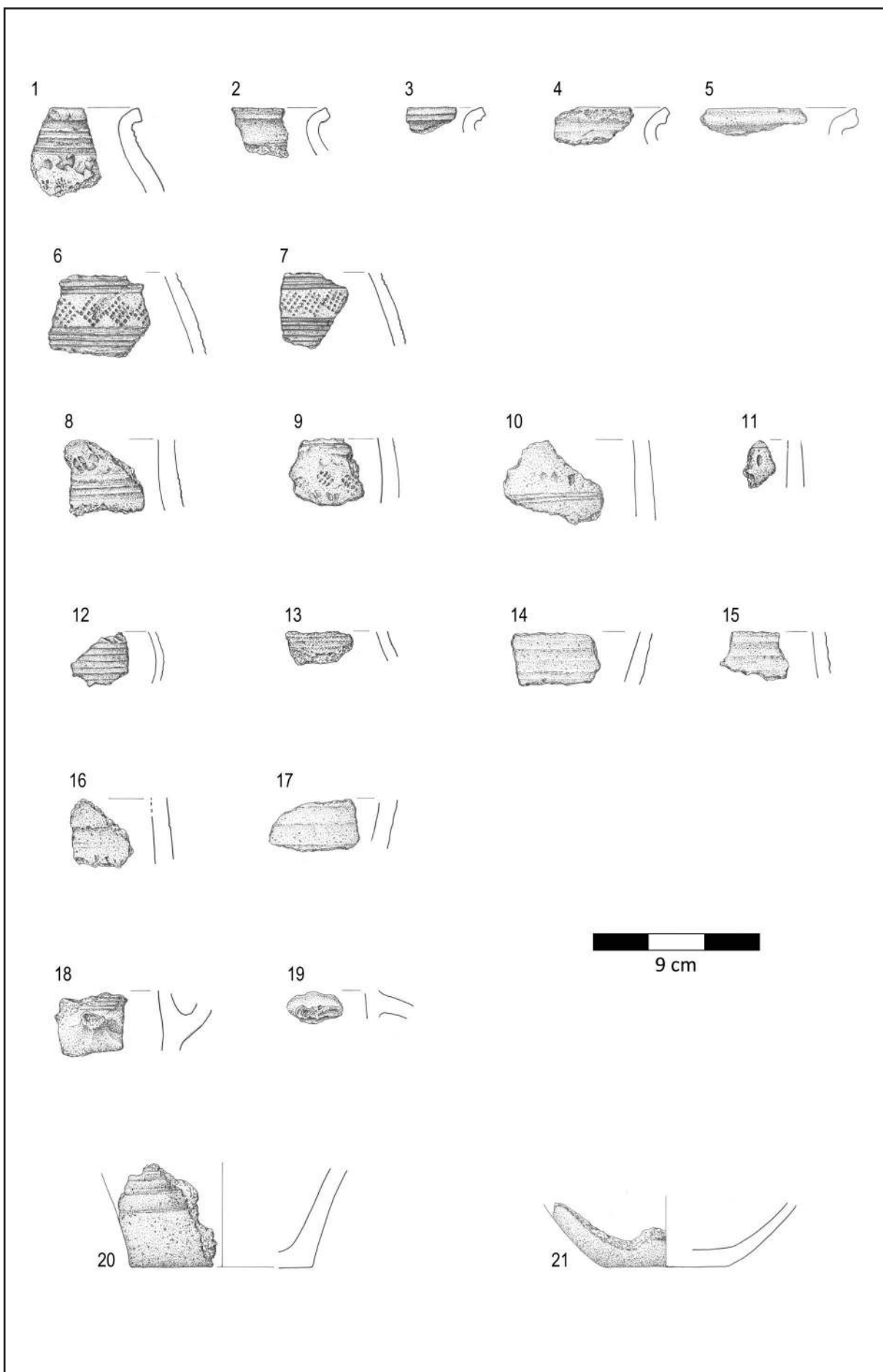
³¹ Hoffmann 2000: 299 (ryc. 38).

³² Hoffmann 2000: 300–301 (ryc. 39–40).

³³ Wadyl 2012: 122–134; 2019: 71–82.



Tablica 1. Ornowo, st. 3. Ceramika pradziejowa (rys. B. Karch)



Tablica 2. Ornowo, st. 3. Ceramika wczesnośredniowieczna (rys. B. Karch)



Tablica 3. Ornowo, st. 3. Zabytki wydzielone (fot. R. Solecki)

ta o grubości 3 mm (tabl. 3:3). Jest toabytek o powtarzalnej formie i przez to trudnej do określenia chronologii. Ostatni zabytek żelazny to fragment gwoździa (tabl. 3:4) typu D wg typologii zaproponowanej przez Łukasza Siczka. Są to gwoździe o „wyraźnie uformowanej główce” z dwustronnie wyprofilowanym wysunięciem, wykorzystywane m.in. do łączenia elementów drewnianych, do okuwania mebli, ale także jako tzw. podkowiaki³⁴.

Zabytki wykonane ze srebra to kolczyk w formie ażurowego guza zdobionego motywem kwiatowym (tabl. 3:8), prawdopodobnie nowożytny lub współczesny oraz moneta, 1/3 talara Fryderyka II z 1773 roku, wybita w mennicy we Wrocławiu (tabl. 3:7) – awers: „FRIDERICUS BORUSSORUM REX”, rewers: „3 EINEN REICHS THALER 1773 B”.

W trakcie badań wykopaliskowych w wykopie 2 pozyskano dwa fragmenty krzemienia narzutowych, kredowych, noszących ślady odbić. Pierwszy (tabl. 3:5) to prawdopodobnie rdzeń inicialny z surową piętą. Drugi (tabl. 3:6) to łuszczeń bipolarny. Na podstawie zaobserwowanych cech można je datować na epokę brązu lub wcześnieą epokę żelaza³⁵.

CHRONOLOGIA I DZIEJE GRODZISKA W ORNOWIE, ST. 3

RAFAŁ SOLECKI

Grodzisko w Ornowie, st. 3 było już w przeszłości badane i jego chronologia została już wstępnie określona w oparciu o analizę materiału zabytkowego. Obecnie przeprowadzone badania potwierdziły wcześniejsze ustalenia dotyczące datowania średniowiecznej fazy użytkowej, którą można odnieść do XI–XIII wieku. Wyniki badań radiowęglowych poszerzyły natomiast wiedzę w zakresie intensywności osadnictwa i chronologii wcześniejszych okresów użytkowania stanowiska.

Najstarsze ślady osadnictwa odkryte na terenie stanowiska w Ornowie, pochodzą z badań przeprowadzonych w latach 2011–2012. Natrafiono wtedy na warstwę kulturową, którą na podstawie analizy materiału zabytkowego, w tym dwóch kamiennych siekierek, powiązano z osadnictwem ludności neolitycznej kultury amfor kulistych³⁶.

³⁴ Siczek 2016: 173.

³⁵ Ekspertyza zabytków krzemiennych przeprowadzona przez Michała Szubskiego.

³⁶ Wadyl 2012: 119–121; 2013: 114–123.

W trakcie przeprowadzonych badań, najstarsze ślady wiążane z osadnictwem człowieka odkryto w wykopie 2. Był to zespół pięciu dołów posłupowych i wkopu w kształcie wąskiego korytka, które można interpretować, jako fragment domostwa wzniesionego w konstrukcji słupowej. Analiza radiowęglowa próby węgla pobranego z jednego z tych obiektów dała po kalibracji przedział lat 1738–1532 p.n.e. z prawdopodobieństwem 95,4%³⁷, co oznacza że obiekt ten funkcjonował w II Okresie Epoki Brązu według podziału chronologicznego zaproponowanego przez J. Dąbrowskiego dla północno-wschodniej Polski³⁸, lub na przełomie I i II Okresu Epoki Brązu w podziale zaproponowanym przez Carla Engla³⁹. Na okres ten można datować pojawienie się osadnictwa wiązanego z ludnością kultur wcześniej epoki brązu, ale nie dających się jednoznacznie sklasyfikować⁴⁰.

Kolejny uchwycony horyzont chronologiczny to dość młodsza warstwa kulturowa związana z osadnictwem późnej epoki brązu, którą odsłonięto poniżej nasypów tworzących główny wał grodziska w Ornowie. Z warstwy tej pobrano próbę węgla do analizy radiowęglowej, której wynik po kalibracji dał przedział lat 1010–853 p.n.e. z prawdopodobieństwem 95,4%⁴¹. Poziom ten był zatem użytkowany w IV–V Okresie Epoki Brązu⁴². Jest to okres, kiedy na obszarze Warmii i Mazur zaczyna pojawiać się osadnictwo ludności kultury łużyckiej⁴³.

W takim przypadku mielibyśmy w granicach grodziska w Ornowie odkryte ślady trzech, następujących po sobie fal osadnictwa ludności pradziejowej, która użytkowała ten obszar. Na obecnym etapie badań trudno jest jednoznacznie stwierdzić, jaką formę to osadnictwo przybierało. Zadokumentowane schyłkowo neolityczne bruki wraz z ceramiką i siekierkami zostały zinterpretowane jako relikt obiektu obrzędowego⁴⁴. Z kolei zespoły dołów posłupowych, będących zapew-

³⁷ Analiza przeprowadzona w Poznańskim Laboratorium Radiowęglowym, próba nr Poz-130294.

³⁸ Dąbrowski 1997: 88.

³⁹ J. Okulicz 1973: 165–166.

⁴⁰ J. Okulicz 1973: 162–173.

⁴¹ Analiza przeprowadzona w Poznańskim Laboratorium Radiowęglowym, próba nr Poz-130448.

⁴² Dąbrowski 1997: 88.

⁴³ Gedl 1975: 160–161; Dąbrowski 1997: 98.

⁴⁴ Kurzyk i Wadyl 2015: 90.

ne reliktem domostwa wczesnobrązowego i wyraźna późnobrązowa warstwa kulturowa, mogą sugerować, że w tych przypadkach były to osady, zapewne o formie otwartej.

Najstarsze ślady wznoszenia umocnień należy wiązać z wczesnożelaznym horyzontem osadniczym. Na ten okres można datować relikty dwóch wałów. Pierwszy, zbudowany w konstrukcji ziemnej, uchwycono w wykopie 1 poniżej młodszego wału średniowiecznego. Na jego stokach uchwycono wyraźną warstwę kulturową, która na pewnym etapie została nadrysana ziemią, zapewne w celu zwiększenia właściwości obronnych wału. Relikty drugiego wału, zbudowanego w konstrukcji kamienno-ziemnej, odsłonięto w wykopie 2. Był może był on także wzmacniony nieokreślona konstrukcją, na co może wskazywać zadokumentowany bezpośrednio przy wale dół posłupowy. Z warstwy kulturowej zalegającej na szczycie pierwszego wału pobrano próbę węgla do analizy radiowęglowej. Wynik tej analizy dał po kalibracji przedział lat 389–201 p.n.e. z prawdopodobieństwem 95,4%⁴⁵, co odpowiada wczesnemu i środkowemu okresowi lateńskiemu (La Tène A/B i C). W okresie tym, na omawianym obszarze, rozwijało się osadnictwo ludności grupy zachodniomazurskiej kultury kurhanów zachodniobałtyjskich⁴⁶.

Kolejna czytelna faza osadnicza nastąpiła w okresie wczesnego średniowiecza. W tym czasie, ponad starszym wałem wczesnożelaznym, usypany został nowy wał, na którego szczycie wzniesiona została dodatkowo konstrukcja drewniano-ziemna. Umocnienia te miały w rzucie poziomym kształt ovalu wydzielającego regularny majdan. Relikty tych umocnień są czytelne do dziś. Grodzisko to

było najpewniej stale zasiedlone, na co wskazują wyniki badań z lat 2011–2012. Ustalono wtedy, że charakterystyczne osiem zagłębień występujących na krawędzi majdanu i u podnóża wewnętrznej części wału, to relikty domostw. Analiza materiału z dawnych badań pozwoliła na zawężenie chronologii stanowiska na okres od ostatnich dekad X po około połowę XI wieku⁴⁷. Niemalże takie samo datowanie uzyskano na podstawie analizy radiowęglowej próbki węgla pobranej ze spalonej konstrukcji wału. Wynik tej analizy dał po kalibracji przedział lat 990–1154 n.e. z prawdopodobieństwem 95,4%, a przy prawdopodobieństwie 70% zawierał się on pomiędzy latami 990 i 1050⁴⁸.

Stanowisko zostało zniszczone i opuszczone najpewniej w połowie XI wieku. W zado- kumentowanych jednostkach stratygraficznych brak jest śladów dłuższego użytkowania obszaru stanowiska po tym wydarzeniu. Jednakże w materiale zabytkowym widoczne są młodsze zabytki wskazujące, że relikty grodziska były często odwiedzane w późnym średniowieczu i czasach nowożytnych.

Podsumowując należy zaznaczyć, że stanowisko w Ornowie jest niezwykle ciekawym z naukowego punktu widzenia obiektem o rozbudowanej chronologii obejmującej okresy od neolitu, przez wczesną i późną epokę brązu, wczesną epokę żelaza, aż po wczesne średniowiecze, przy czym dla dwóch najmłodszych okresów można mówić już o obiekcie umocnionym. Dodatkowo badania stanowiska dostarczają interesującego materiału zabytkowego, ważnego dla badaczy różnych okresów dziejów Warmii i Mazur.

⁴⁵ Analiza przeprowadzona w Poznańskim Laboratorium Radiowęglowym, próba nr Poz-134174.

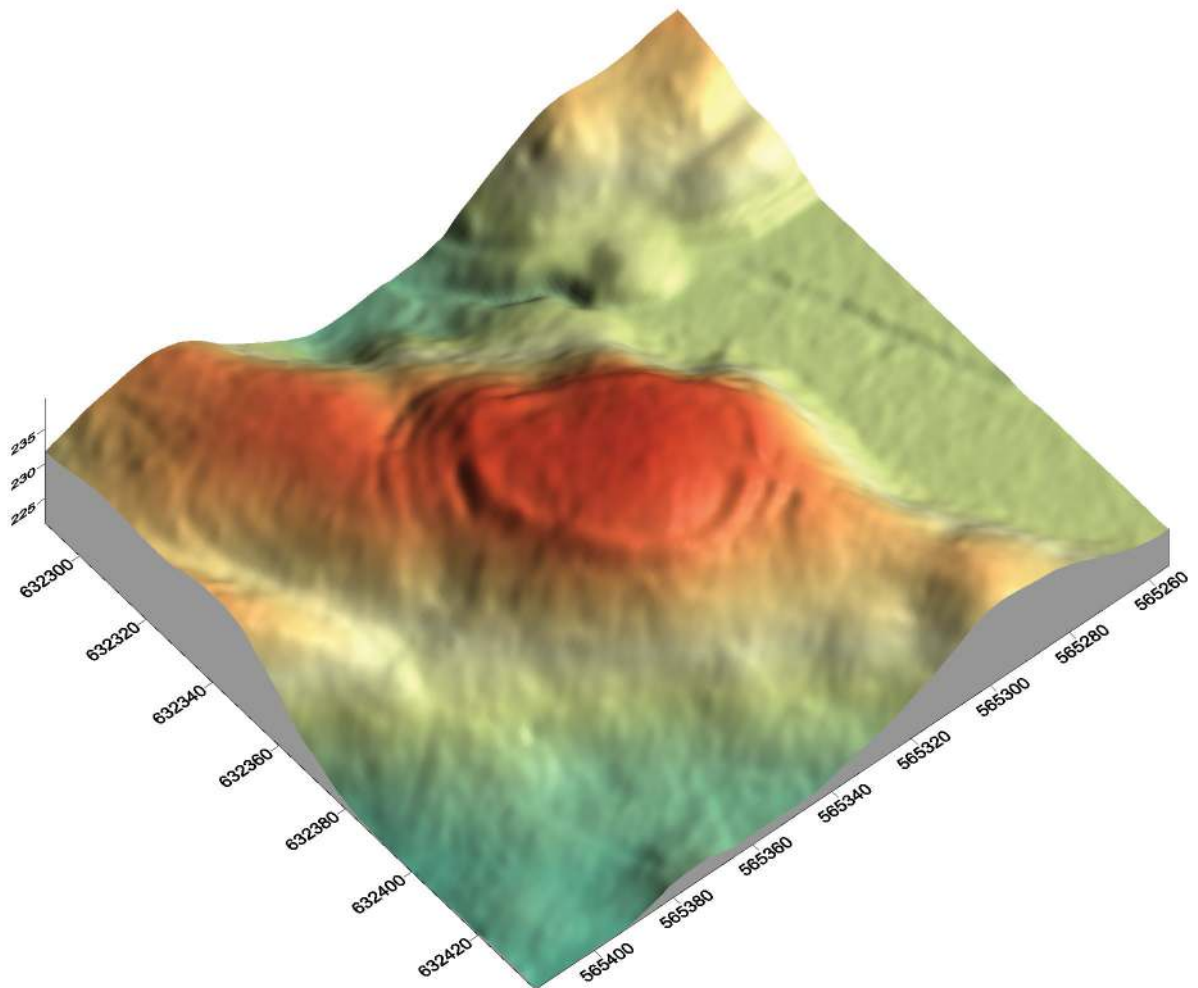
⁴⁶ Ł. Okulicz 1970: 90–96.

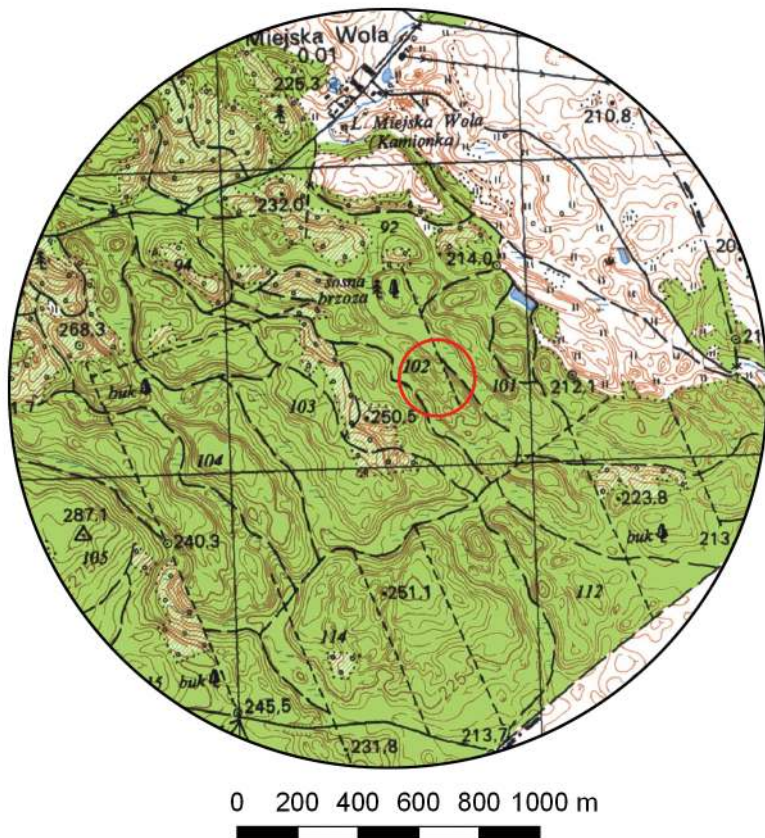
⁴⁷ Wadyl 2012: 126–127.

⁴⁸ Analiza przeprowadzona w Poznańskim Laboratorium Radiowęglowym, próba nr Poz-134331.

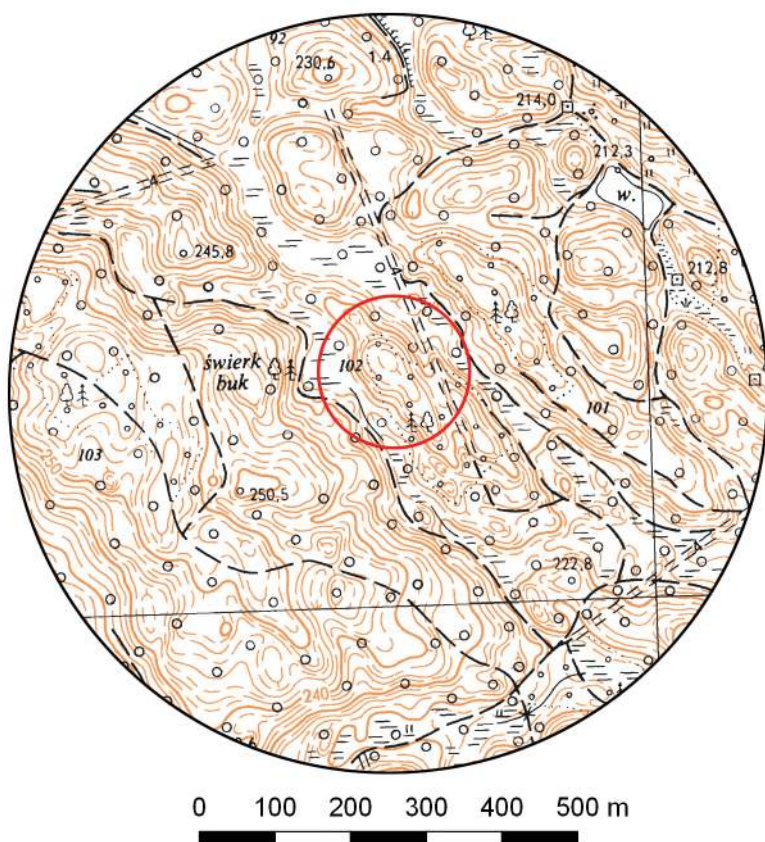
Wysoka Wieś, st. 7

Gmina Ostróda
Powiat ostródzki
AZP 29-56/26
Współrzędne geograficzne:
N 53° 33' 07"
E 19° 59' 11"





Ryc. 1. Grodzisko w Wysokiej Wsi, st. 7
na mapie w skali 1:25 000
(na podstawie materiałów GUGiK,
oprac. R. Solecki)



Ryc. 2. Grodzisko w Wysokiej Wsi, st. 7
na mapie w skali 1:10 000
(na podstawie materiałów GUGiK,
oprac. R. Solecki)

POŁOŻENIE GRODZISKA

I JEGO FORMA

RAFAŁ SOLECKI, FABIAN WELC
I BARTOSZ NOWACKI

Grodzisko w Wysokiej Wsi (niem. *Kernsdorf*), skatalogowane w ramach AZP pod numerem 29-56/26, nr 7 w miejscowości, położone jest około 3,5 km na wschód od centrum wsi. Blisko znajduje się miejscowość Miejska Wola (niem. *Steinfließ*), oddalona o 0,9 km na północ od stanowiska.

Grodzisko zostało po raz pierwszy opisane przez Wiesława Skrobuta w 2015 roku¹. W 2018 roku było badane wykopaliskowo przez zespół archeologów z Instytutu Archeologii UKSW w Warszawie. Wyniki tych badań zostały zaprezentowane w artykule opublikowanym w 2019 roku w *Wiadomościach Archeologicznych*² oraz w monografii *Interdyscyplinarne badania wielofazowych osiedli obronnych z Pojezierza Helskiego i Garbu Lubawskiego* z 2021 roku³.

Stanowisko położone jest we wschodniej części Parku Krajobrazowego Wzgórz Dylewskich. Jego powierzchnię porasta las mieszańczy z dominującymi gatunkami brzozy, dębu, sosny i buku. Grodzisko zajmuje część szczytową garbu ułożonego na linii zbliżonej do

¹ Skrobot 2015: 123.

² Solecki, Welc i Nowacki 2019.

³ Solecki, Welc i Nowacki 2021.

północny-zachód / południowy-wschód. Najwyższy punkt w graniach osiąga poziom około 239 m n.p.m. Majdan jest owalnego kształtu (ryc. 3), wydłużony po osi garbu, o średnicy w przedziale 35–50 m i powierzchni około 15,3 ara. Otoczony jest Wałem I długości 150 m. Wzdłuż Wału I od strony majdanu widoczne jest zagłębienie przywałowe. Pozostałe umocnienia w postaci fos i wałów czytelne są tylko od strony północnej i południowej.

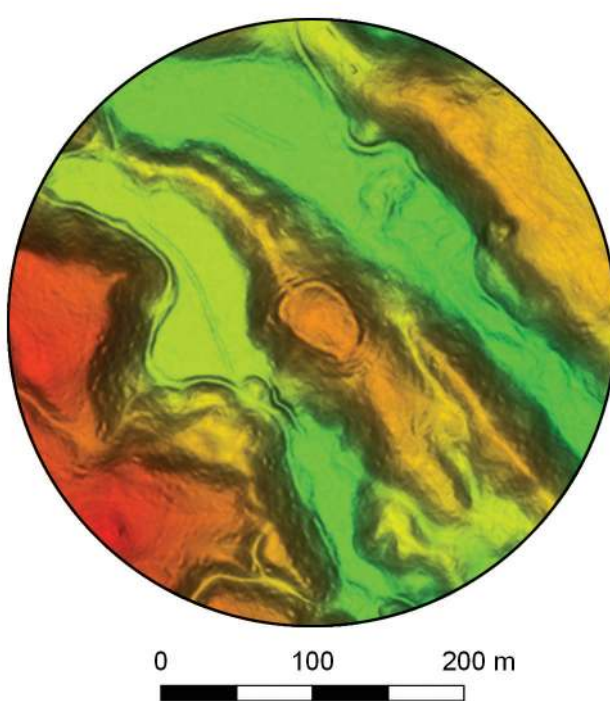
Od strony północnej są to:

- Fosa I,
- Wał II (długości 25 m),
- Fosa II,
- Wał III (długości 18 m),
- Fosa III.

Od strony południowej są to:

- Fosa I,
- Wał II (długości 40 m),
- Fosa II,
- Wał III (długości 28 m),
- Fosa III,
- Wał IV (długości 48 m),
- Fosa IV.

Widoczne w terenie relikty umocnień nie są masywne – średnia szerokość Wału I wynosi około 4 m, przy wysokości do 0,15 m. Taki stan zachowania jest najpewniej wynikiem intensywnej gospodarki leśnej. Na powierzchni majdanu czytelne są ślady po orce leśnej. Dodatkowo przy krawędziach majdanu od strony jarów uchwytnie są ślady erozji.



(po lewej)

Ryc. 3. Grodzisko w Wysokiej Wsi, st. 7 na zobrazowaniu ALS (na podstawie materiałów GUGiK, oprac. R. Solecki)

ŚRODOWISKO FIZYCZNOGEOGRAFICZNE ANNA LEJZEROWICZ

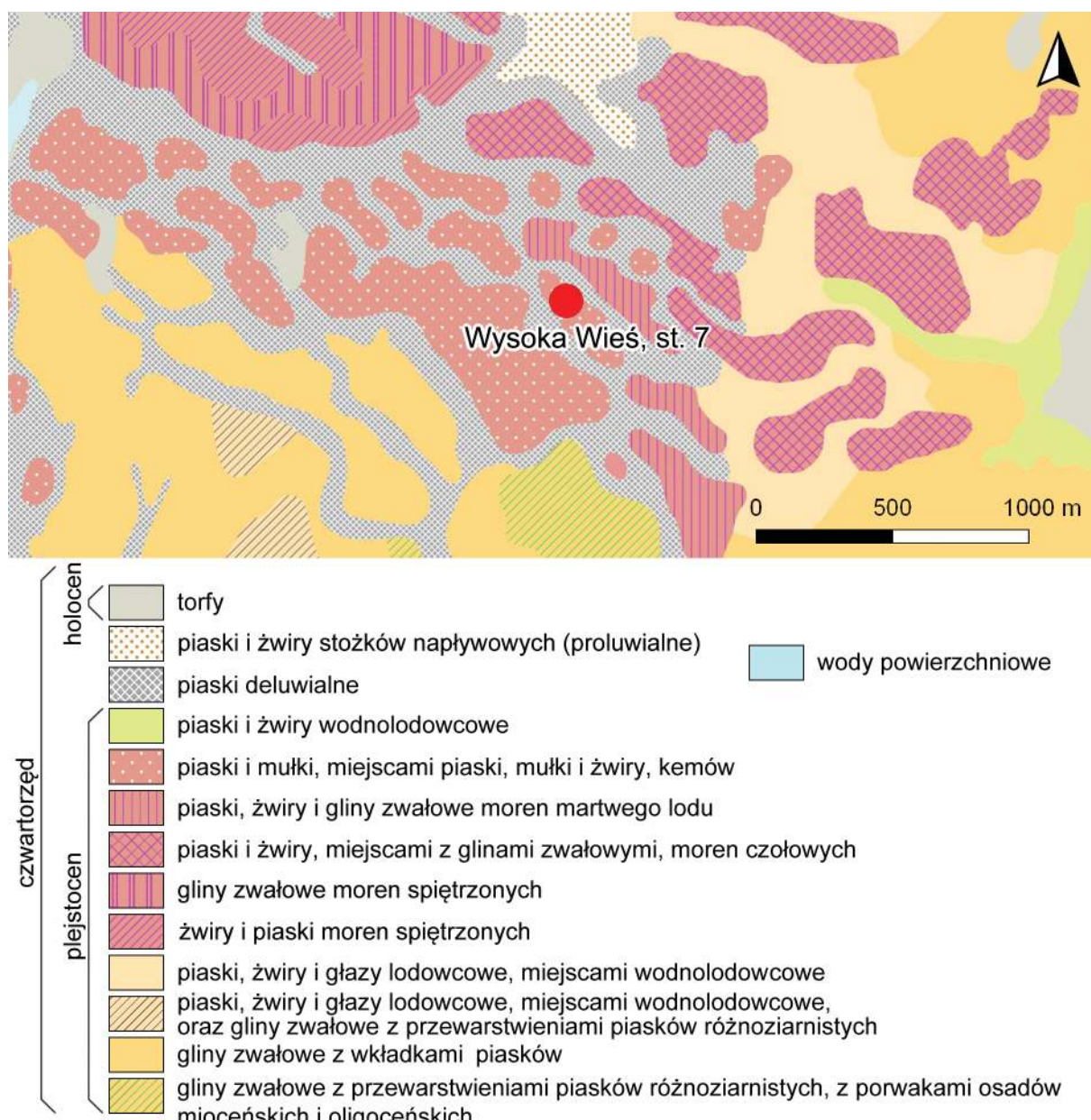
Według podziału fizycznogeograficznego Polski Jerzego Kondrackiego, grodzisko w Wysokiej Wsi, stan. 9, znajduje się w mezoregionie Garb Lubawski⁴. Według *Szczegółowej Mapy Geologicznej Polski* w skali 1:50 000 (arkusz Lubawa) (ryc. 4) na obszarze grodziska w Wysokiej Wsi, st. 7, występują piaski i mułki, miejscami piaski, mułki i żwiry kemów⁵, według *Mapy Geologicznej Polski* w skali

⁴ Kondracki 2002: 46, 91–92.

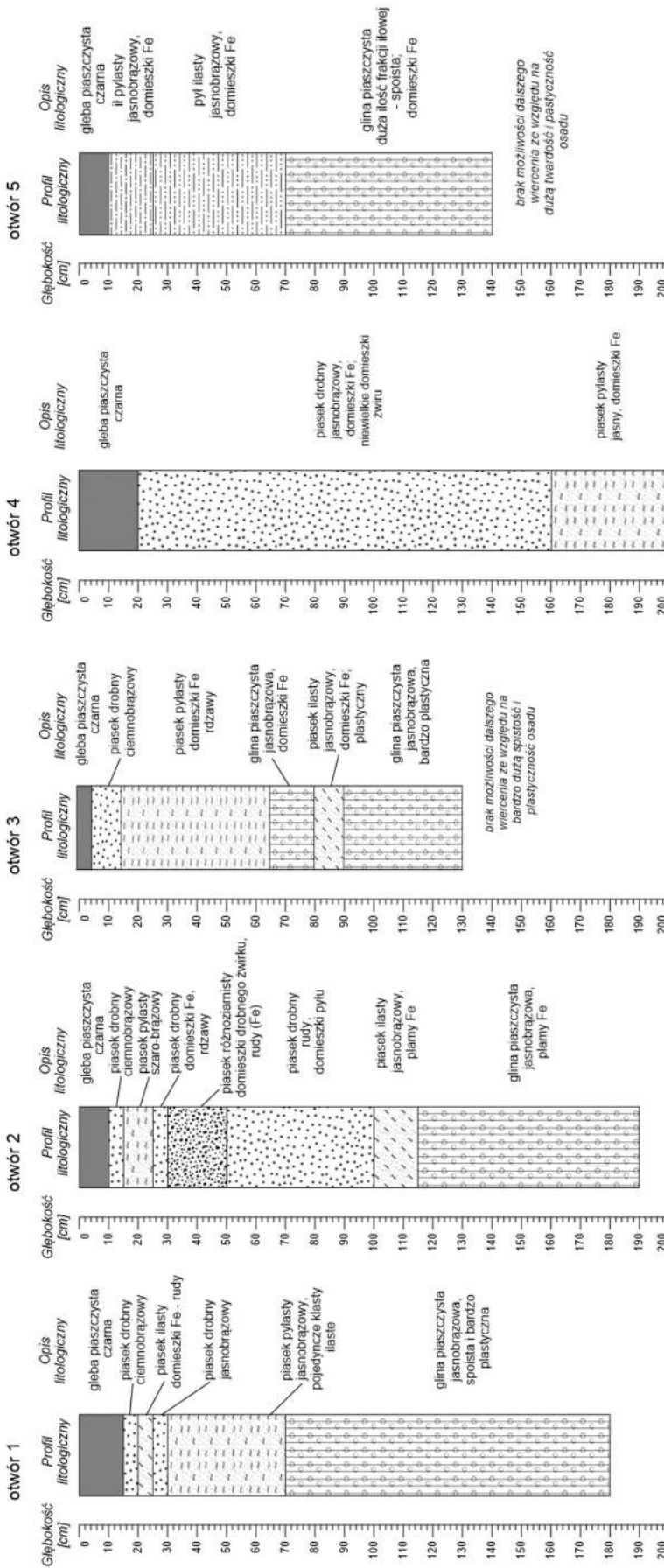
⁵ Gałażka 2009.

1: 500 000 stanowisko znajduje się na obszarze występowania żwirów, piasków, głazów i glin moren czołowych, a *Mapa Litogenetyczna Polski* w skali 1:50 000 wskazuje, że stanowisko znajduje się na obszarze występowania piasków pyłowych pochodzenia jeziorno-lodowcowego. Duża zmienność opisu litologii na różnych mapach wynika z niejasnej genezy pagórków występujących na tym obszarze. Najprawdopodobniej są to pagórki kemo-we powstałe na wysoczyźnie morenowej fali-stej podczas deglacacji lądolodu.

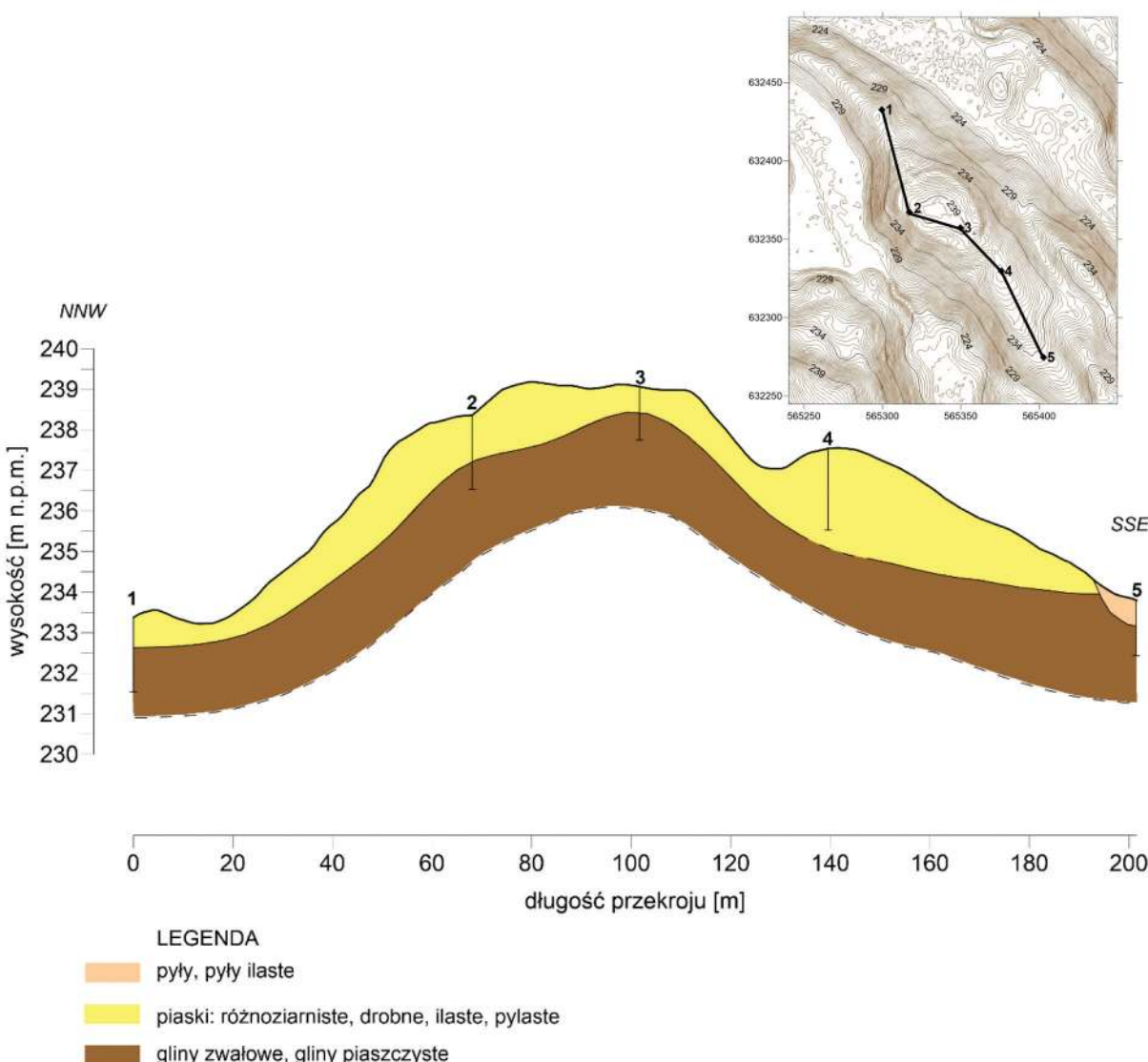
Pod względem formy morfologicznej jest to obszar wysoczyzny polodowcowej powsta-łej w okresie recesji lądolodu stadiału górnego zlodowacenia Wisły. Widoczne w terenie



Ryc. 4. Wycinek arkusza Szczegółowej Mapy Geologicznej Polski z zaznaczonym stanowiskiem w Wysokiej Wsi, st. 7 (źródło: www.cbdgmapa.pgi.gov.pl/arcgis/services/kartografia/smgp50k/MapServer/WMS, oprac. A. Lejzerowicz)



Ryc. 5. Profile litologiczne odwiertów wykonanych na obszarze grodziska w Wysokiej Wsi, st. 7 (oprac. A. Lejzerowicz)



Ryc. 6. Schematyczny przekrój geologiczny przez grodzisko w Wysokiej Wsi, st. 7 (oprac. A. Lejzerowicz)

potężne moreny spiętrzone pochodzą z fazy poznańskiej zlodowacenia Wisły. Utwory te są głównym wyznaczniem zasięgu tej fazy zlodowacenia na tym terenie⁶. Ponadto czytelne są także powierzchnie wysoczyzny morenowej falistej z różnorodnymi formami akumulacyjnymi i zagłębienniami bezodpływowymi (ryc. 4). Stanowisko znajduje się na terenie występowania zespołu kilkunastu form kremowych i samo zajmuje szczyt jednej z nich. Rzeźba terenu jest wyjątkowo żywa – w nie dużej odległości od siebie występuje kilka stromych i kopulastych wzgórz⁷.

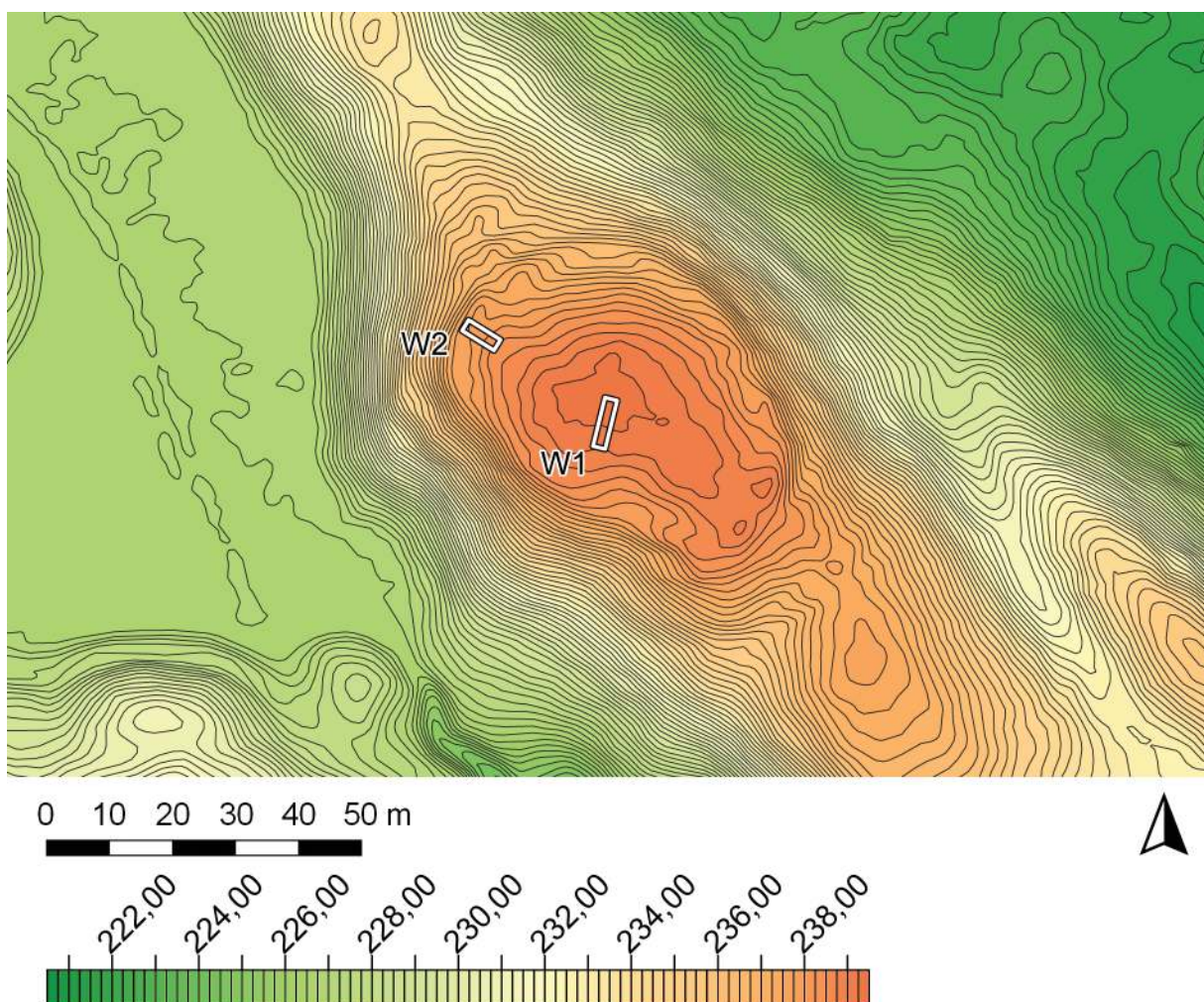
Stanowisko archeologiczne zajmuje szczyt wyraźnego wyniesienia w terenie (pagórka), otoczonego stromymi skarpami od strony północno-wschodniej i południowo-zachodniej (ryc. 3). W obu tych kierunkach widoczna

jest obecność terenów podmokłych, częściowo wypełnionych wodą oraz materią organiczną. Od strony północno-zachodniej i południowo-wschodniej znajdują łagodniejsze stoki ułatwiające wejście na szczyt wzniesienia.

Na obszarze grodziska wykonano 5 wierceń sondą ręczną do głębokości 2 m, w celu rozpoznania budowy geologicznej (ryc. 5). Na podstawie wykonanych wierceń stworzony został schematyczny przekrój geologiczny przez stanowisko (ryc. 6). W wiercenach zaobserwowano występowanie osadów piaszczystych (piaski różnoziarniste, drobnoziarniste, ilaste) oraz pylastych, jak również nawiązujące osady ilaste (gliny piaszczyste) charakteryzujące się dużą spoistością i plastycznością, co niejednokrotnie uniemożliwiło głębsze wiercenie. W obniżeniach terenu zaobserwowano osady pochodzenia organicznego.

⁶ Gałązka 2009: 11.

⁷ Gałązka 2009: 14.



Ryc. 7. Wysoka Wieś, st. 7. Plan grodziska z naniesionymi wykopami archeologicznymi (oprac. R. Solecki)

BADANIA ARCHEOLOGICZNE, ZNALEZISKA ORAZ CHRONOLOGIA GRODZISKA W WYSOKIEJ WSI, ST. 7

RAFAŁ SOLECKI, FABIAN WELC
I BARTOSZ NOWACKI

Na obszarze stanowiska przeprowadzono badania nieinwazyjne z wykorzystaniem gradientometru, które wykazały obecność struktur antropogenicznych w obrębie majdanu i umocnień. Na podstawie tych badań wytyczono dwa wykopy (ryc. 7). Wykop 1 (W1), o wymiarach 2×8 m, miał na celu rozpoznać układ nawarstwień stratygraficznych w obrębie centralnej części majdanu. Wykop 2 (W2), o wymiarach 2×6 m, przecinał Wał I i zagłębienie przywałowe⁸.

W trakcie prowadzenia badań wydzielono łącznie 18 jednostek stratygraficznych, które przypisano do trzech faz użytkowych stanowiska. Najstarsza faza (Faza I) związana jest z budową umocnień osiedla obronnego

we wczesnej epoce żelaza. Rozpoznany Wał I miał konstrukcję ziemną, ale w jego nasypie natrafiono na bezładnie występujące kamienie i głazy. Na szczytce nasypu wału zdokumentowano pojedynczy, zniszczony dół posłupowy – kolisty w planie, U-kształtny w profilu – którego średnica miała 60 cm, a głębokość dochodziła do 20 cm. Wzdłuż linii Wału I od strony majdanu znajdowało się zagłębienie przywałowe (ryc. 8), na którego dnie odsłonięto bruk ułożony z kamieni i głazów. Stratygraficznie ponad brukiem występowała warstwa kulturowa, którą należy wiązać z okresem funkcjonowania grodziska. Z warstwy tej pobrano próbę węgla do analizy radiowęglowej. Wynik analizy dał przedział lat 728–397 p.n.e. z prawdopodobieństwem 95,4%. Zmniejszając prawdopodobieństwo do 91,3%, przedział zawężił się do przedziału 542–397 p.n.e. Kolejna faza (Faza II) wyznacza okres po opuszczeniu grodziska, które nastąpiło najpewniej jeszcze we wczesnej epoce żelaza. Rozpoczęło się wtedy niszczenie stanowiska w wyniku działania proce-

⁸ Solecki, Welc i Nowacki 2021: 119–122.



Ryc. 8. Wysoka Wieś, st. 7.
Zdjęcie poglądowe W2
przedstawiające widok ze szczytu
Wału I na zagłębienie przywałowe
i występującą tam warstwę
kulturową (fot. R. Solecki)

sów erozyjnych. Już współcześnie (Faza I), do naturalnych czynników niszczących dołączyła działalność człowieka – przez środek stanowiska poprowadzono ścieżkę, która potwierdzona jest na mapach już w XIX wieku, a w okresie powojennym na stanowisku rozpoczęto gospodarkę leśną⁹.

W trakcie omawianych badań pozyskano zbiór 23 fragmentów ceramiki. Tylko dwa z nich były diagnostyczne i nosiły cechy, które można łączyć z kulturą kurhanów zachodniobałtyjskich. Ponadto z osadnictwem z tego okresu można łączyć fragment granitowego żarna nieckowatego, które znaleziono w warstwie humusu na powierzchni majdanu. Zostało ono wyciągnięte na powierzchnię w wyniku orki leśnej¹⁰.

Do grupy zabytków o młodszej chronologii zaliczono dwa guziki. Mniejszy, o średnicy 16 mm, był w przekroju płasko-wypukły, wykonany z dwóch, najpewniej srebrnych blaszek, z motywem geometrycznym na awersie. Większy, o średnicy 23 mm, był w przekroju płaski, wykonany prawdopodobnie z mosiądzu, na awersie symbol tarczy z or-

łem, ponad którą znajdowała się korona. Guziki tego typu noszone były przez urzędników pruskich w XIX i na początku XX wieku. Znaleziono także fragment żelaznego gwoździa, długości 40 mm, którego kolec był w przekroju prostokątny, o wymiarach 4×7 mm¹¹.

Grodzisko w Wysokiej Wsi, stan. 7, pomimo znacznego zniszczenia jego powierzchni, dostarczyło źródeł pozwalających na określenie jego prawdopodobnej chronologii oraz afiliacji kulturowej ludności, która je zamieszkiwała. Chronologię stanowiska oparto w dużej mierze na wynikach badań radiowęglowych – po kalibracji przedział lat 542–397 p.n.e. z prawdopodobieństwem 91,3%. Uzyskany przedział lat odpowiada przełomowi okresów halsztackiego D i wczesnolateńskiego. Taką samą chronologię przypisano dwóm diagnostycznym fragmentom ceramiki. Te wstępne wnioski i obiecujące wyniki badań nieinwazyjnych, które sugerują obecność obiektów kulturowych na obszarze majdanu, są pozytywnym prognostykiem dla dalszych badań tego stanowiska¹².

⁹ Solecki, Welc i Nowacki 2021: 123–128.

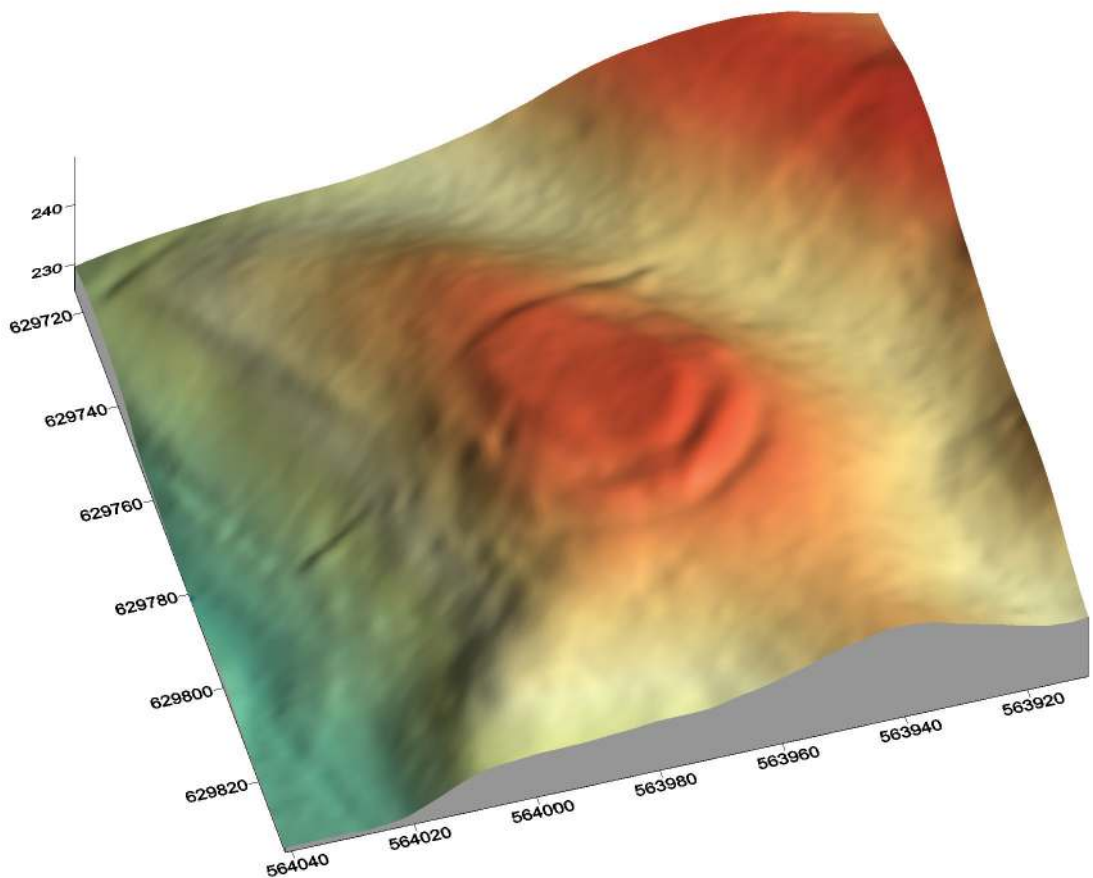
¹⁰ Solecki, Welc i Nowacki 2021: 123–128.

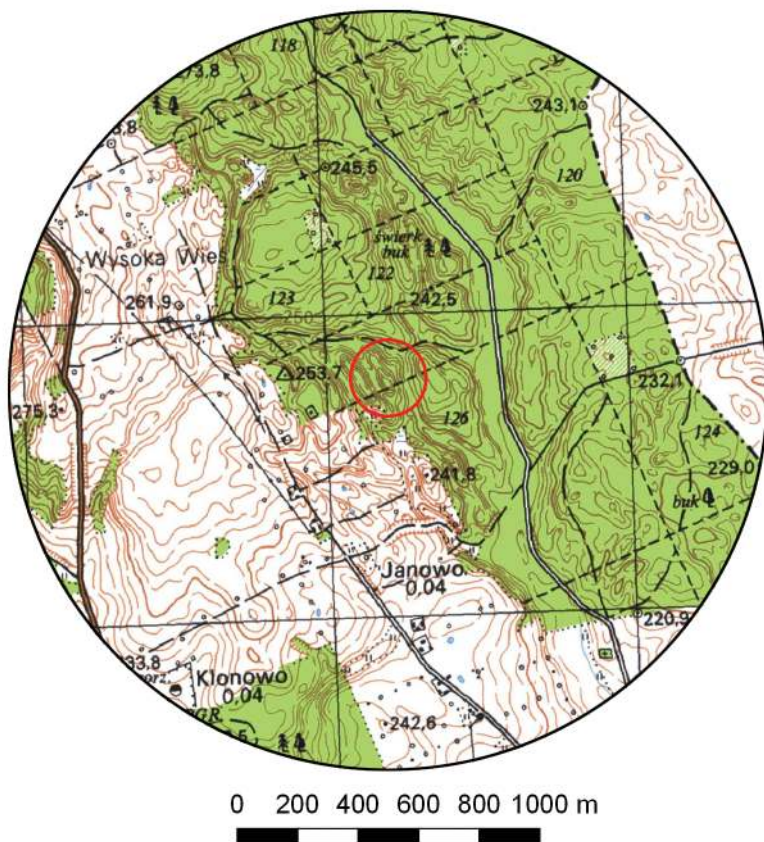
¹¹ Solecki, Welc i Nowacki 2021: 131–132.

¹² Solecki, Welc i Nowacki 2021: 119–122, 132.

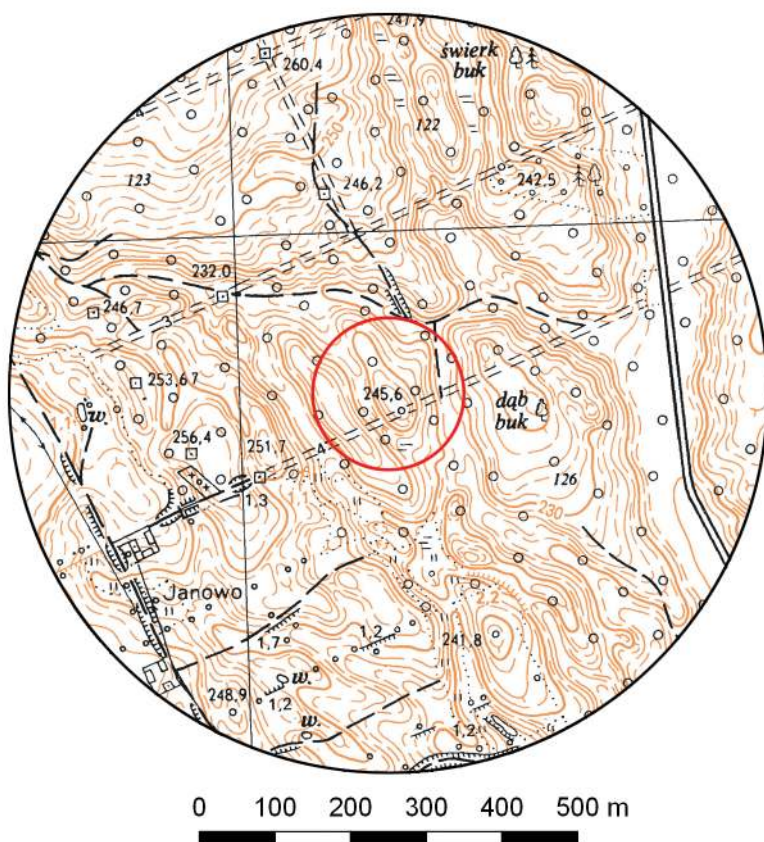
Wysoka Wieś, st. 8

Gmina Ostróda
Powiat ostródzki
AZP 29-56/27
Współrzędne geograficzne:
N 53° 31' 44"
E 19° 57' 55"





Ryc. 1. Grodzisko w Wysokiej Wsi, st. 8
na mapie w skali 1:25 000
(na podstawie materiałów GUGiK,
oprac. R. Solecki)



Ryc. 2. Grodzisko w Wysokiej Wsi, st. 8
na mapie w skali 1:10 000
(na podstawie materiałów GUGiK,
oprac. R. Solecki)

POŁOŻENIE GRODZISKA

I JEGO FORMA

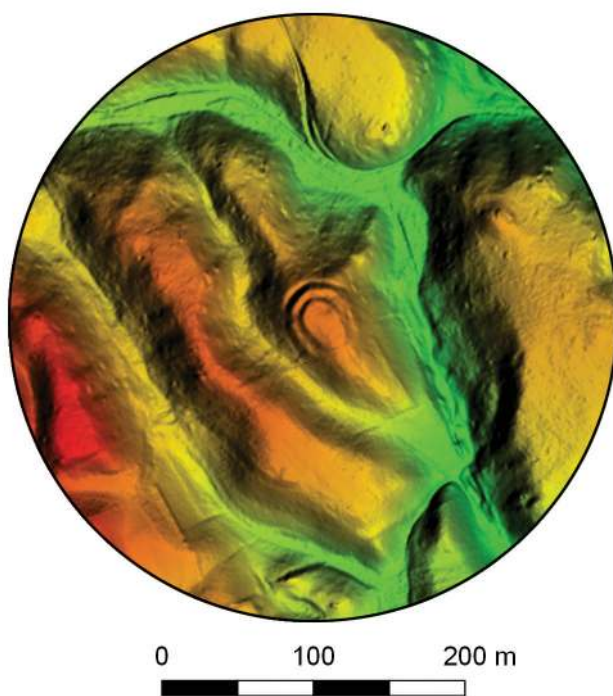
KAMIL RABIEGA, FABIAN WELC,
RAFAŁ SOLECKI I BARTOSZ NOWACKI

Grodzisko w Wysokiej Wsi (niem. *Kernsdorf*), skatalogowane w ramach AZP pod numerem 29-56/27, nr 8 w miejscowości, położone jest około 3 km na południowy-wschód od centrum wsi. Blżej znajduje się wieś Janowo (niem. *Johannisberg*), położona 850 m na południe od stanowiska (ryc. 2–3). Do 2018 roku stanowisko nie było zewidencjonowane, ani badane.

W 2018 roku zespół archeologów z Instytutu Archeologii UKSW w Warszawie przeprowadził archeologiczne badania nieinwazyjne i wykopaliskowe stanowiska. Wyniki tych badań zostały zaprezentowane w opublikowanej w 2019 roku w monografii *Interdyscyplinarne badania wielofazowych osiedli obronnych z Pojezierza Hławskiego i Garbu Lubawskiego*¹.

Stanowisko położone jest w centralnej części Parku Krajobrazowego Wzgórz Dylewskich. Jego powierzchnię porasta las liściasty z dominującymi gatunkami dębu, buku i brzozy. Grodzisko zajmuje szczyt niewielkiego pagórka wydłużonego po osi zbliżonej do północ-południe (ryc. 3). Jego południowa część jest silnie zniszczona przez współ-

¹ Rabiega et al. 2021.



czesną gospodarkę leśną. Majdan ma kształt owalny o przekątnych w zakresie 20–34 m i powierzchni około 6,4 ara. Najwyższy punkt zanotowany w jego granicach osiąga poziom około 247,0 m n.p.m. Majdan otoczony jest przez słabo zachowany wał (Wał I). Po jego zewnętrznej stronie, szczególnie po stronie północnej, widoczne są kolejno: Fosa I, Wał II, Fosa II i Wał III. Zachowane długości nasypów wałów wynoszą odpowiednio:

- Wał I – 94 m,
- Wał II – 105 m,
- Wał III – 58 m.

Widoczne w terenie pozostałości umocnień są słabo zachowane. Przykładowo, średnia szerokość Wału I wynosi około 5 m, przy wysokości do 0,4 m.²

ŚRODOWISKO FIZYCZNOGEOGRAFICZNE

ANNA LEJZEROWICZ

Według podziału fizycznogeograficznego Polski Jerzego Kondrackiego, grodzisko w Wysokiej Wsi, st. 8, znajduje się w mezoregionie Garb Lubawski³.

Morfologicznie jest to obszar wysoczyzny polodowcowej, która powstała w czasie receji lądolodu, w górnym stadiale zlodowacenia Wisły. Występują tu także masywne mo-

² Rabiega et al. 2021: 91–93.

³ Kondracki 2002: 46, 91–92.

(po lewej)

Ryc. 3. Grodzisko w Wysokiej Wsi, st. 8 na zobrazowaniu ALS (na podstawie materiałów GUGiK, oprac. R. Solecki)

reny spiętrzone pochodzące z fazy poznańska zlodowacenia Wisły. Są one głównym wyznacznikiem zasięgu tej fazy zlodowacenia na tym terenie⁴. Dominują tutaj powierzchnie wysoczyzny morenowej falistej z różnorodnymi formami akumulacyjnymi i zagłębieniami bezodpływowymi (ryc. 4).

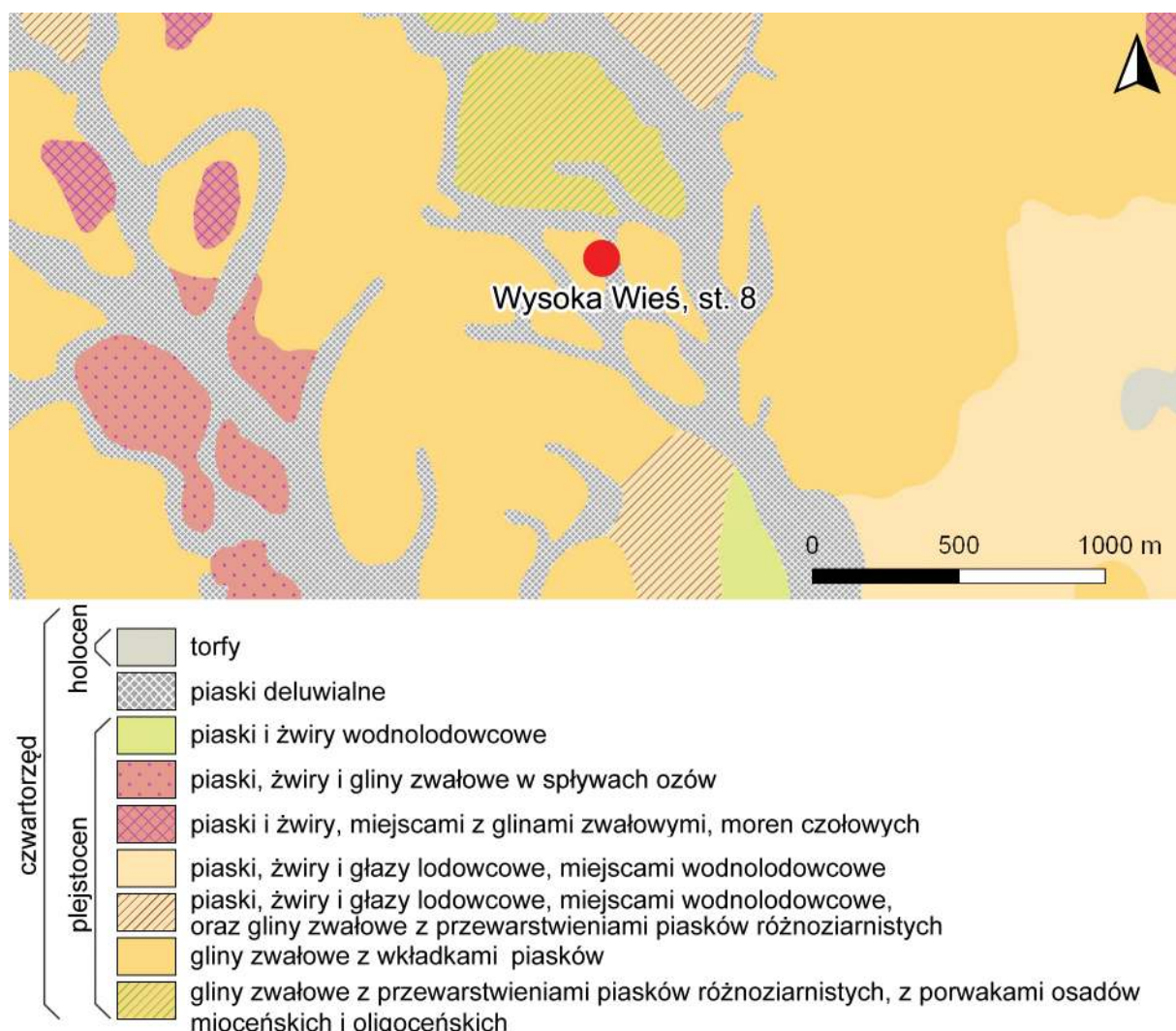
Grodzisko znajduje się na szczytce wyraźnego wyniesienia w terenie (pagórkę), rozciągającego się wzdłuż osi północny zachód – południowy wschód i otoczonego stromymi skarpami od strony północno-wschodniej i południowo-zachodniej. Dookoła stanowiska widać wiele podobnych wzgórz, wyraźnie dominujących w krajobrazie. Pomiędzy poszczególnymi pagórkami zaznaczają się obniżenia o podobnym przebiegu, w których gromadzą się osady spływające ze wzgórz. Dokładną morfologię obszaru można zaobserwować na przekroju morfologicznym (ryc. 6), jak rów-

nież na Numerycznym Modelu Terenu (ryc. 3).

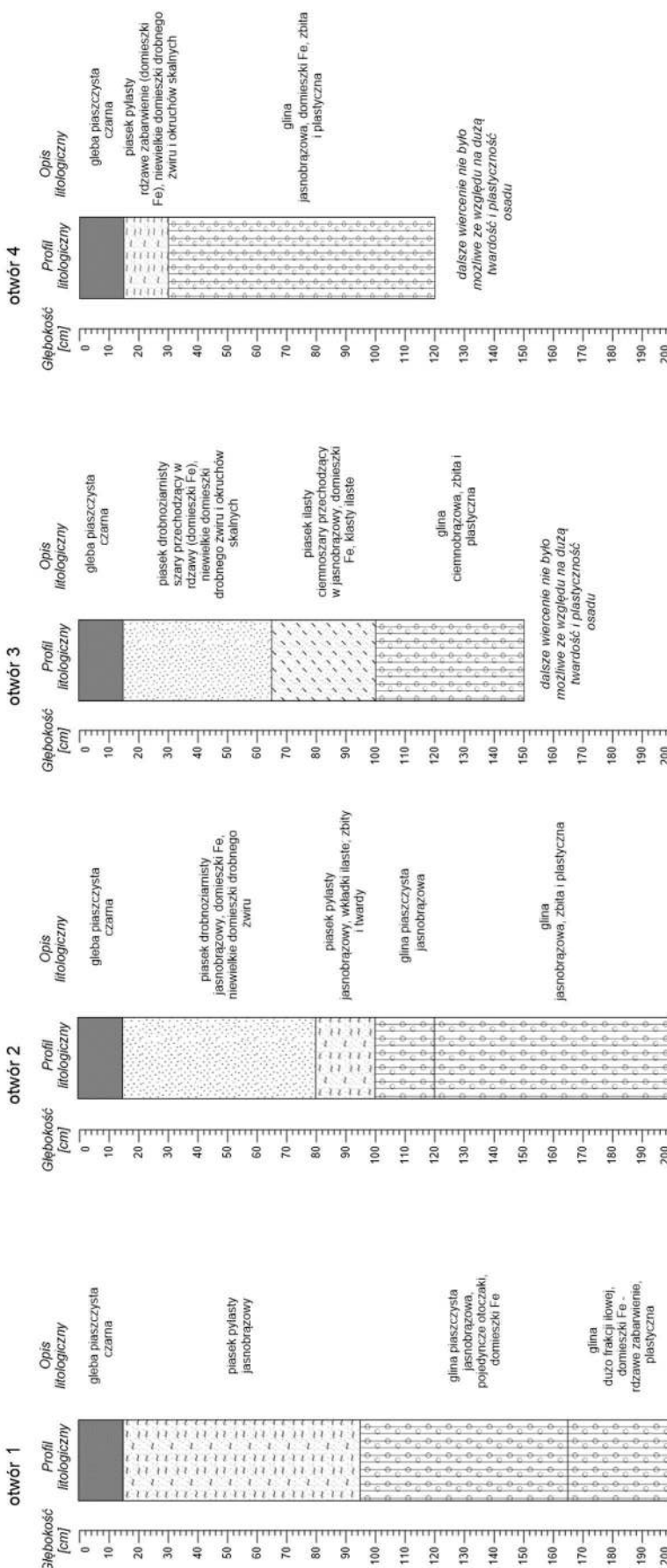
Na obszarze stanowiska wykonano 6 wiercenie sondą ręczną do maksymalnej głębokości 2 m, w celu rozpoznania budowy geologicznej (ryc. 5). Na podstawie wykonanych wierceń stworzony został schematyczny przekrój geologiczny przez stanowisko (ryc. 6). W wierceniach zaobserwowano występowanie osadów piaszczystych (piaski różnoziarniste, drobnoziarniste, pylaste oraz ilaste), jak również nawiercono gliny zwałowe – gliny piaszczyste charakteryzujące się dużą spoistością i plastycznością, co niejednokrotnie uniemożliwiło głębsze wiercenie. Szczegółowa litologia jest widoczna oraz została opisana na poszczególnych profilach wierceń (ryc. 5).

Według *Szczegółowej Mapy Geologicznej Polski* w skali 1:50 000 (arkusz Lubawa) (ryc. 4) na obszarze grodziska w Wysokiej Wsi, st. 8, występują gliny zwałowe z wkładkami

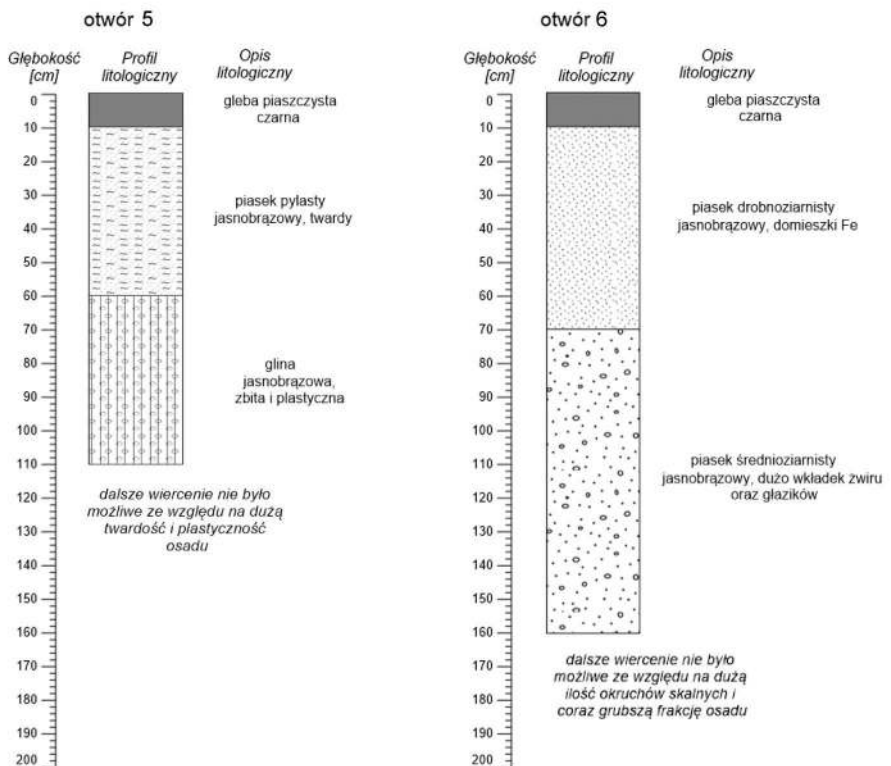
⁴ Gałązka 2009: 11.



Ryc. 4. Wycinek arkusza Szczegółowej Mapy Geologicznej Polski z zaznaczonym stanowiskiem w Wysokiej Wsi, st. 8 (źródło: www.cbdgmapa.pgi.gov.pl/arcgis/services/kartografia/smgp50k/MapServer/WMServer, oprac. A. Lejzerowicz)



Ryc. 5. Profile litologiczne odwiertów wykonanych na obszarze groduiska w Wysokiej Wsi, st. 8
(oprac. A. Lejzerowicz)



Ryc. 5. Ciąg dalszy

piasków⁵. Wykonane wiercenia potwierdziły obecność osadów polodowcowych, wykształconych w postaci piasków średnioziarnistych (lokalnie z domieszkami drobnych żwirów), drobnoziarnistych, pylastycznych i ilastycznych oraz glin zwałowych (polodowcowych). Gliny zawierają związki żelaza, co nadaje im rdzawie zabarwienie. Nawiercone gliny charakteryzują się dużą plastycznością ze względu na wysoką zawartość frakcji ilowej, co utrudniało, lub niejednokrotnie wręcz uniemożliwiało wiercenie. W niektórych warstwach zaobserwowano również okruchy skalne.

BADANIA ARCHEOLOGICZNE, ZNALEZISKA ORAZ CHRONOLOGIA GRODZISKA W WYSOKIEJ WSI, ST. 8

KAMIL RABIEGA, FABIAN WELC,
RAFAŁ SOLECKI I BARTOSZ NOWACKI

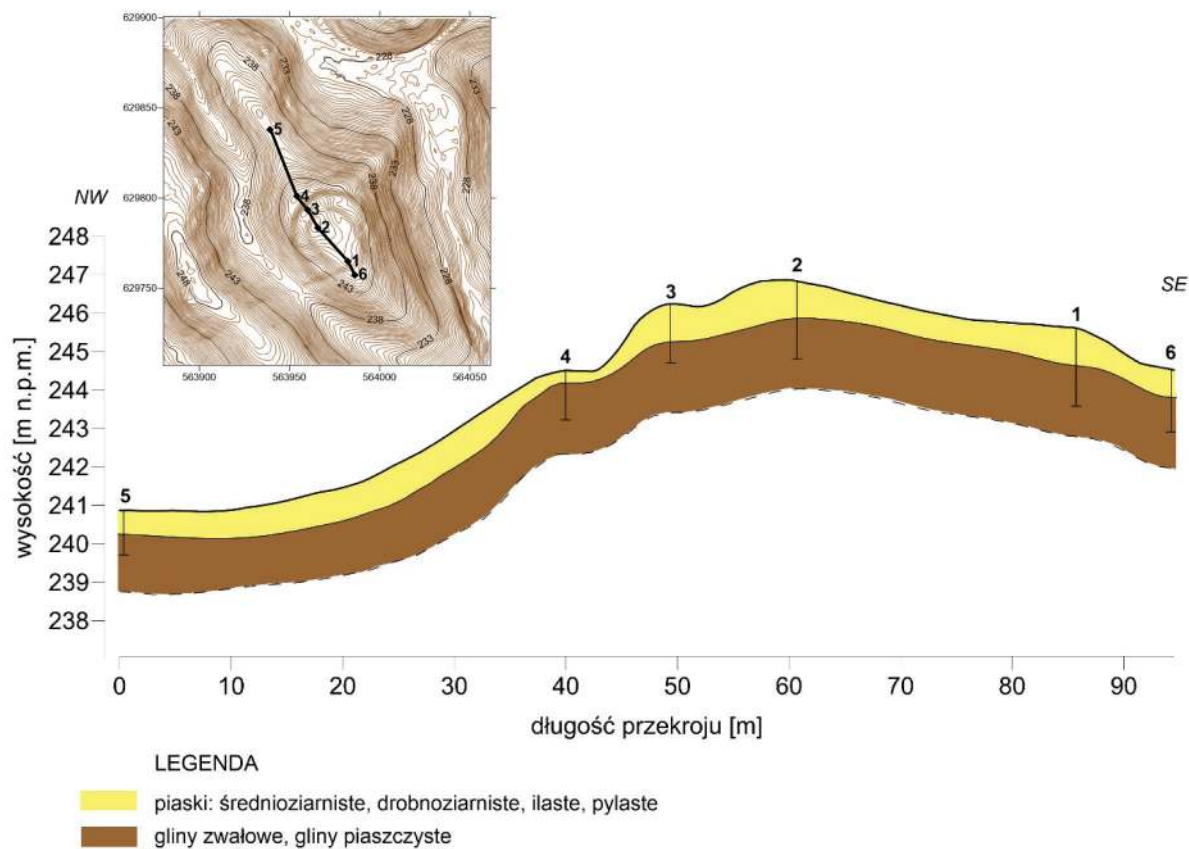
Na obszarze stanowiska przeprowadzono badania nieinwazyjne z wykorzystaniem gradientometru, które wykazały obecność struktur antropogenicznych w obrębie majdanu i umocnień. Na podstawie tych badań wyty-

czono dwa wykopy (ryc. 7 i 8). Wykop 1 (W1), o wymiarach 2×10 m, znajdował się w północnej części stanowiska i przecinał pod kątem prostym Wał I, Fosę I i Wał II. Wykop 2 (W2), o wymiarach 3×6 m, znajdował się południowo-zachodniej części majdanu. W jego granicach znajdowało się zagłębienie przywałowe oraz szereg anomalii magnetycznych, wykrytych w trakcie nieinwazyjnych badań geofizycznych⁶.

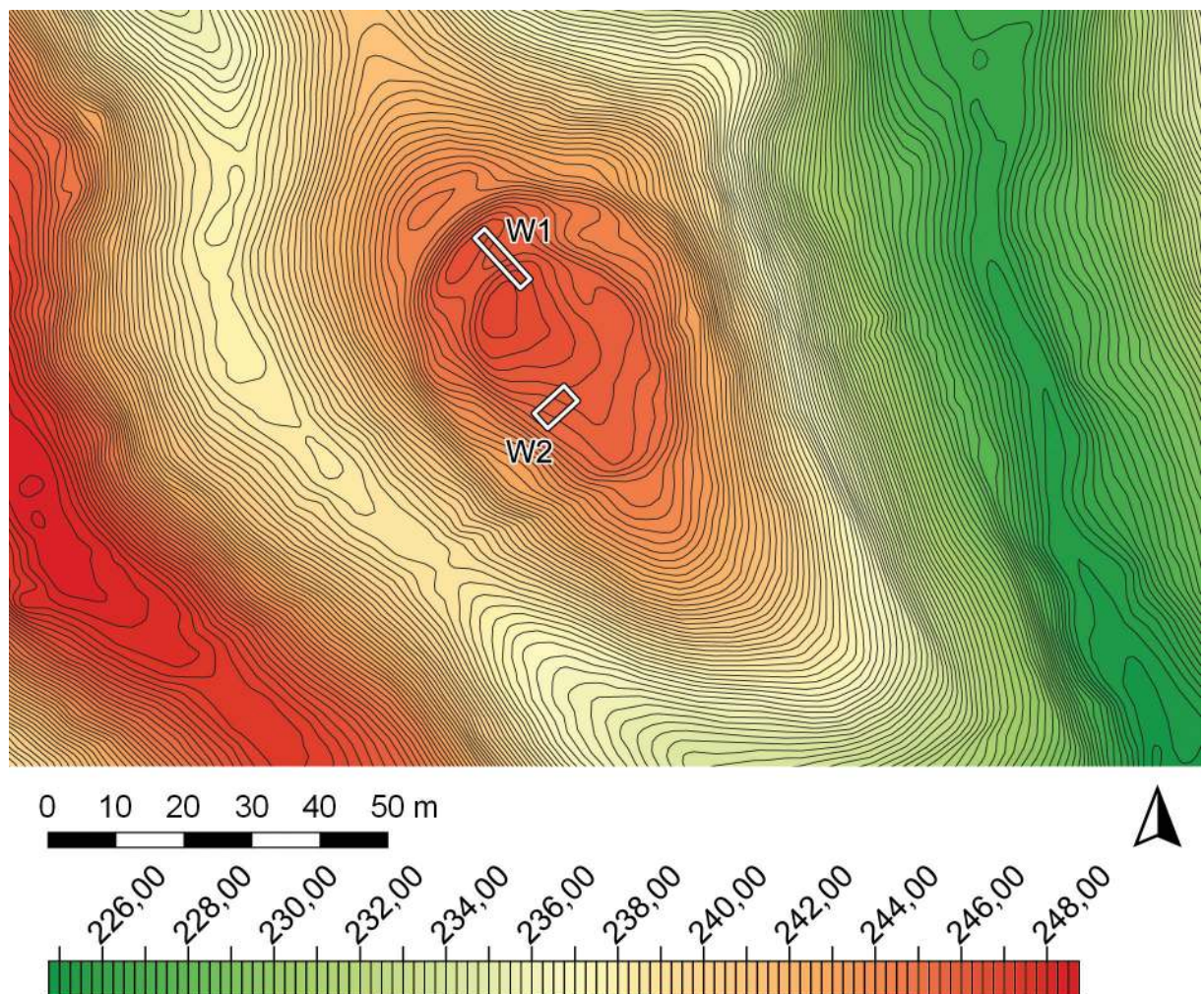
W trakcie omawianych badań wydzielono łącznie 57 jednostek stratygraficznych, które przypisano do trzech faz użytkowych stanowiska. Najstarsza faza (Faza I) związana była z budową umocnień i użytkowaniem osiedla obronnego we wczesnej epoce żelaza. Badania wykazały, że wały miały konstrukcję ziemną z miejscowo występującymi skupiskami kamieni. Zarówno w linii szczytu Wału I, jak i Wału II zanotowano obecność łącznie czterech dołów posłupowych, które to obiekty są prawdopodobnie reliktami palisad wieńczących wały (ryc. 9). Śladami użytkowania obszaru majdanu, wałów i fosy, w tej fazie są liczne obiekty zapewne o funkcji gospodarczej, doły posłupowe i palenisko. Z miąż-

⁵ Gałażka 2009.

⁶ Rabiega et al. 2021: 93–96.



Ryc. 6. Schematyczny przekrój geologiczny przez grodzisko w Wysokiej Wsi, st. 8 (oprac. A. Lejzerowicz)



Ryc. 7. Wysoka Wieś, st. 8. Plan grodziska z naniesionymi wykopami archeologicznymi (oprac. R. Solecki)



Ryc. 8. Wysoka Wieś, st. 8. Zdjęcie poglądowe grodziska z widocznym majdanem oraz Wałem I i II (fot. J. Woreta)

szej warstwy kulturowej w obrębie zagłębia przywałowego pozyskano próbę węgla, które oddano do analizy radiowęglowej. Wynik po kalibracji wskazał przedział lat 373–201 p.n.e z prawdopodobieństwem 95,4%. Faza II wyznacza okres po opuszczeniu grodziska we wczesnej epoce żelaza. Z fazą tą powiązano warstwy erozyjne uchwycone w obrębie fosy, zagłębienia przywałowego i na stokach wałów. W czasie tej fazy wytworzyła się również warstwa bielicowa, widoczna poniżej współczesnego humusu, a ponad wcześnieozłaznymi warstwami kulturowymi. Najmłodszy okres (Faza I) wiąże się z nowożytnym i współczesnym, gospodarczym wykorzystaniem powierzchni dawnego grodziska⁷.

W trakcie omawianych badań pozyskano zbiór 269 fragmentów ceramiki, których stan zachowania był zły, gdyż dłuższy wymiar aż 210 fragmentów miał 4 cm, lub mniej. W jednym przypadku udało się określić prawdopodobny kształt naczynia – jajowate lub beczulkowate. Miało ono ścianki zacykle do wnętrza i średnicę wylewu około 19 cm. Mirosław J. Hoffmann naczynia o takiej formie wiąże z II fazą osadniczą w stworzonej przez siebie klasyfikacji, która obejmuje okres lat 550–120 p.n.e. Na trzech fragmentach zaobserwowano zdobienia powierzchni – w dwóch przypadkach było to zaszczypwanie krawędzi wylewu, a raz zespół krótkich, przecinających się wzajemnie kresek odciśniętych na po-

wierzchni brzuśca. Zaobserwowane podczas analizy ceramiki cechy diagnostyczne, poparte datowaniem radiowęglowym kontekstu z którego pochodzi część zbioru, pozwalają na wiązanie badanego zespołu z ludnością kultury kurhanów zachodniobałtyjskich⁸.

Do zabytków wydzielonych zaliczono fragment żelaznego wędzidła o prawdopodobnie nowożytej chronologii, fragment żelaznego ogniska (znaleziony obok wędzidła i być może z nim związany), monetę (1 Pfenning z 1864 roku) łuskę naboju (prawdopodobnie z okresu II wojny światowej) oraz pięć krzemieni, z których jeden można interpretować, jako wiór. Najciekawszymi zabytkami są jednak dwa fragmenty kamieni żarnowych o formie nieckowej, które odnaleziono w wypełniskach dołów posłupowych, gdzie wtórnie wykorzystano je do stabilizowania pali⁹.

Grodzisko w Wysokiej Wsi, st. 8, pomimo że jest dość dobrze czytelne w terenie, do niedawna nie było znane, a co za tym idzie zewidencjonowane w ramach AZP. Przeprowadzone archeologiczne badania nieinwazyjne i wykopaliskowe potwierdziły, że grodzisko powstało i było użytkowane we wczesnej epoce żelaza. Taką chronologię, oprócz materiału ceramicznego, potwierdzają wyniki badań radiowęglowych, które po kalibracji wskazały przedział lat 373–201 p.n.e z prawdopo-

⁸ Rabiega et al. 2021: 111–114; Hoffmann 2000: 60–61, 220; Ł. Okulicz 1970: 30.

⁹ Rabiega et al. 2021: 111–114.

⁷ Rabiega et al. 2021: 96–115.



Ryc. 9. Wysoka Wieś, st. 8. Zdjęcie poglądowe Wykopu 1 z widocznym dołem posłupowym, w którym znajdują się kamienie stabilizujące zdegradowany już pal (fot. K. Rabiega)

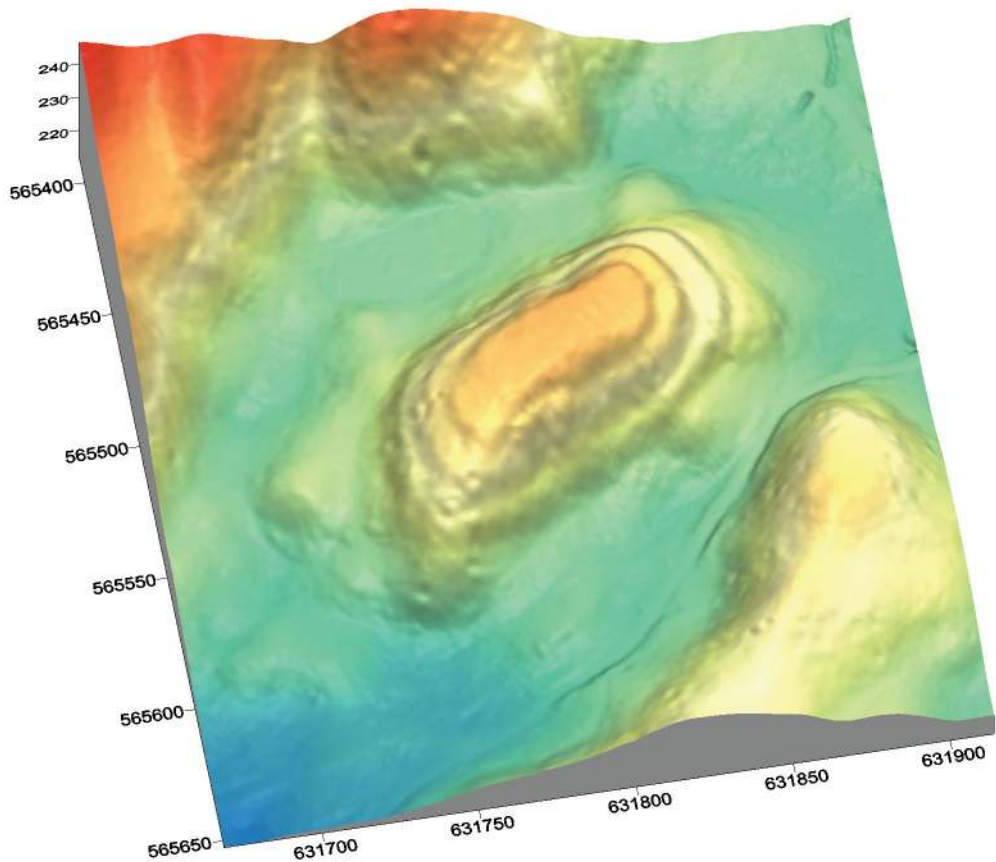
dobieństwem 95,4%. Na intensywność osadnictwa może wskazywać znalezienie na małym obszarze badań, wynoszącym 38 m², relatywnie dużej liczby fragmentów ceramiki i dwóch kamiennych żaren nieckowatych. Po opuszczeniu grodziska we wczesnej epoce żelaza, miejsce to nie było już stale zamieszkiwane i nie pełniło funkcji obronnych. Pojedyncze ślady bytności człowieka, które można datować na okres nowożytny i współczesny, należy wiązać z gospodarczym wykorzystaniem tego obszaru.

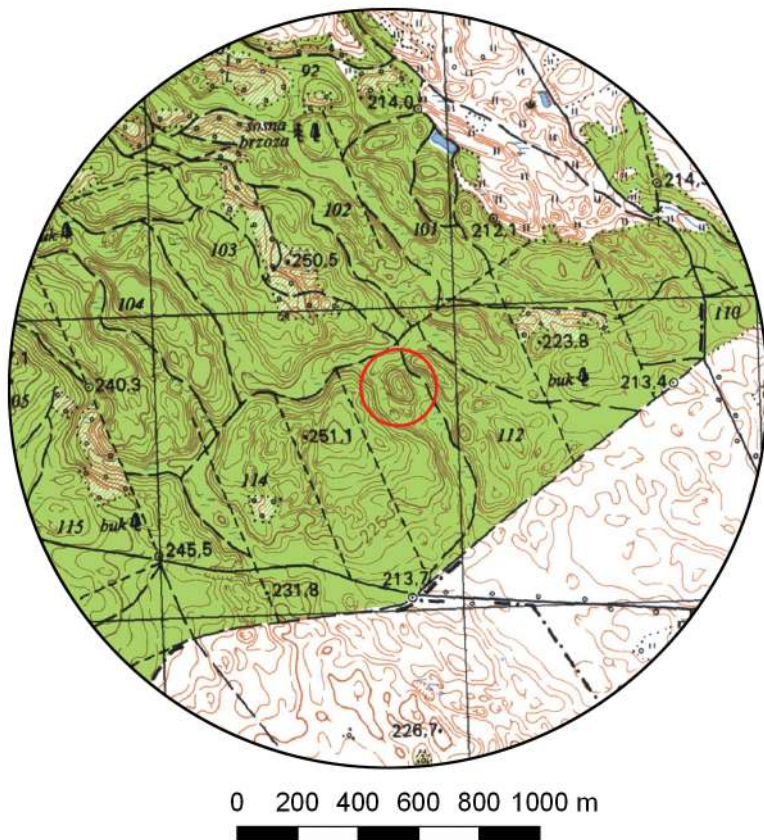
Okres, w którym istniało omawiane grodzisko, pokrywa się z chronologią określono-

ną dla grodziska w Wysokiej Wsi, st. 9 (opisane w tym tomie), a najpewniej też grodziska w Wysokiej Wsi, st. 7 (również opisane w tym tomie). Nieduża odległość pomiędzy wymienionymi grodziskami, nieprzekraczająca 3 km, może wskazywać, że tworzyły one jeden większy zespół osadniczy. Dalsze badania powinny pozwolić określić charakter tego osadnictwa, jego zasięg, a także wskazać inne elementy (np. cmentarzyska), które z tym zespołem można wiązać.

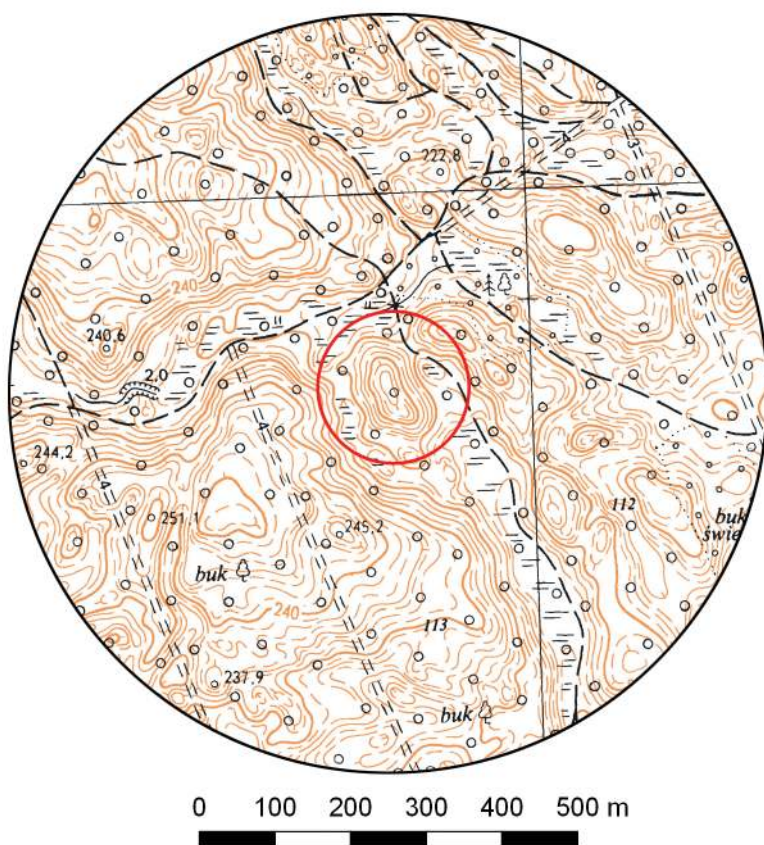
Wysoka Wieś, st. 9

Gmina Ostróda
Powiat ostródzki
AZP 29-56/28
Współrzędne geograficzne:
N 53° 32' 49"
E 19° 59' 20"





Ryc. 1. Grodzisko w Wysokiej Wsi, st. 9
na mapie w skali 1:25 000
(na podstawie materiałów GUGiK,
oprac. R. Solecki)



Ryc. 2. Grodzisko w Wysokiej Wsi, st. 9
na mapie w skali 1:10 000
(na podstawie materiałów GUGiK,
oprac. R. Solecki)

POŁOŻENIE GRODZISKA I JEGO FORMA

RAFAŁ SOLECKI I DANIEL SKOCZYLAS

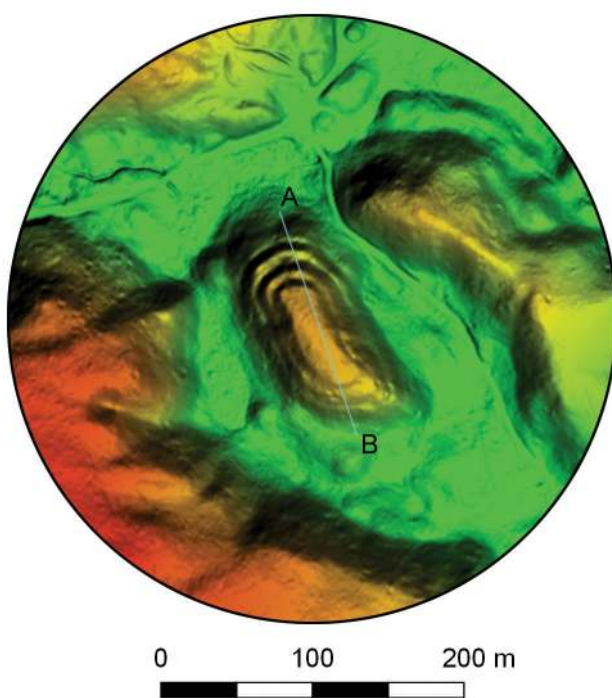
Grodzisko w Wysokiej Wsi (niem. *Kernsdorf*), gm. Ostróda, st. 9, nie było do tej pory badane. Znalazł je i skrótnie opisał w 2015 roku Wiesław Skrobot, przypisując mu wczesnośredniowieczną metrykę i wiążąc z plemieniem Sasinów¹.

Stanowisko położone jest we wschodniej części Parku Krajobrazowego Wzgórz Dylewskich. Administracyjnie przynależy do Wysokiej Wsi, która jest oddalona od niego o około 3,5 km na zachód. Znacznie bliżej położona jest wieś Miejska Wola (niem. *Steinfliess*), gm. Ostróda, oddalona o 1,5 km na północ i Dylewo (niem. *Döhlau*), gm. Grunwald, oddalone o 2 km na południowy-wschód. Obszar stanowiska porasta las mieszany z dominującymi gatunkami buku i brzozy a w mniejszym stopniu jaworu i świerku.

¹ Gałązka, Skrobot, Szarzyńska 2015: 142.

Stanowisko zajmuje całe odseparowane wypiętrzenie położone w obrębie doliny niewielkiego bezimennego strumienia (ryc. 1–2). Wypiętrzenie to jest u podstawy ovalne, wyciągnięte po osi północ-południe, o średnicach w przedziale 100–180 m. Różnica wysokości pomiędzy dnem doliny na wysokość stanowiska a szczytem wyniesienia wynosi około 19,5 m. Najwyższy zanotowany punkt wyniesienia osiąga poziom około 236,7 m n.p.m. Nachylenie stoków wyniesienia osiąga miejscami kąt około 40°.

Majdan grodziska zajmuje cały szczyt wyniesienia. Jest ovalny i wyciągnięty po osi północ-południe. Jego średnice zawierają się w przedziale 22–75 m, obwód wynosi około 176 m, a powierzchnia około 0,15 ha. Poniżej majdanu, w stokach wyniesienia zostały wyprofilowane dwa tarasy, doskonale widoczne na Numerycznym Modelu Terenu (ryc. 3–4). W terenie są one obecnie najlepiej czytelne od północnej i zachodniej strony grodziska (ryc. 5). Strony południowa i wschodnia są za-

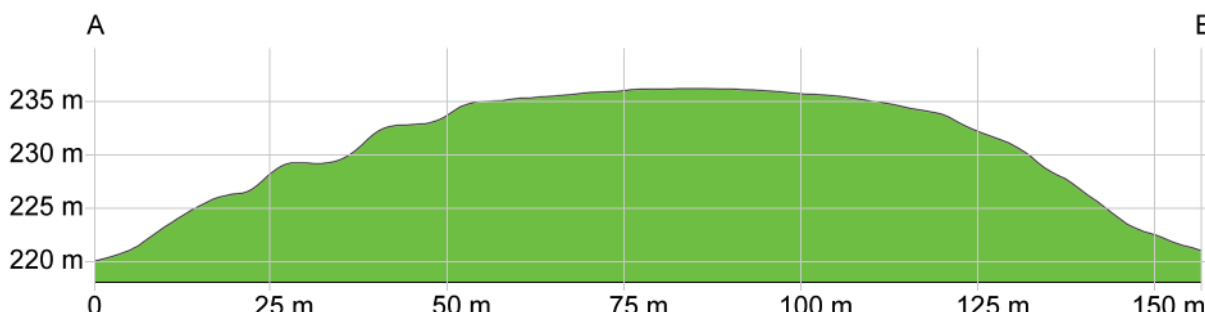


(po lewej)

Ryc. 3. Grodzisko w Wysokiej Wsi, st. 9 na zobrazowaniu ALS (na podstawie materiałów GUGiK, oprac. R. Solecki)

(poniżej)

Ryc. 4. Przekrój grodziska w Wysokiej Wsi, st. 9 uzyskany z danych ALS (na podstawie materiałów GUGiK, oprac. R. Solecki)



burzone, prawdopodobnie z powodu działania czynników erozyjnych (ryc. 6). Szerokość tarasów waha się od 2 do 7 m. Obwód wyższego – Tarasu I – wynosi około 242 m, a obwód niższego – Tarasu II – wynosi około 310 m.

ŚRODOWISKO FIZYCZNOGEOGRAFICZNE

ANNA LEJZEROVICZ

Według podziału fizycznogeograficznego Polski Jerzego Kondrackiego, grodzisko w Wysokiej Wsi, st. 9, znajduje się w mezoregionie Garb Lubawski².

Morfologicznie jest to obszar wysoczyzny polodowcowej powstały w okresie退却 of stadia górnego zlodowacenia Wisły oraz obszar potężnych moren spiętrzonych pochodzących z fazy poznańskiej zlodowacenia Wisły, które są głównym wyznacznikiem zasięgu tej fazy zlodowacenia na tym terenie³.

² Kondracki 2002: 46, 91–92.

³ Gałazka 2009: 11.

Przeważają tutaj powierzchnie wysoczyzny morenowej falistej z różnorodnymi formami akumulacyjnymi i zagłębieniami bezodpływowymi, z których śladową część zajmują niewielkie zbiorniki wodne (ryc. 7). Stanowisko znajduje się na terenie występowania zespołu kilkunastu form kemowych, a samo zajmuje jedną z nich. Formy te na omawianym obszarze dochodzą do wysokości 270 m n.p.m. przy wysokości względnej dochodzącej do 20 m. Obszar ten charakteryzuje się wyjątkowo żywą rzeźbą, gdzie obok siebie występuje kilka stromych i kopulastych wzgórz⁴.

Na obszarze grodziska w wykonano pięć wierceń sondą ręczną do głębokości 2 m, w celu rozpoznania budowy geologicznej (ryc. 8). Na podstawie wykonanych wierceń stworzony został schematyczny przekrój geologiczny przez stanowisko (ryc. 9). W wierceniach zaobserwowano występowanie osadów piaszczystych (piaski drobnoziarniste) oraz pylastych, jak również nawiercono osady ilaste czasami z większymi okruchami skalnymi.

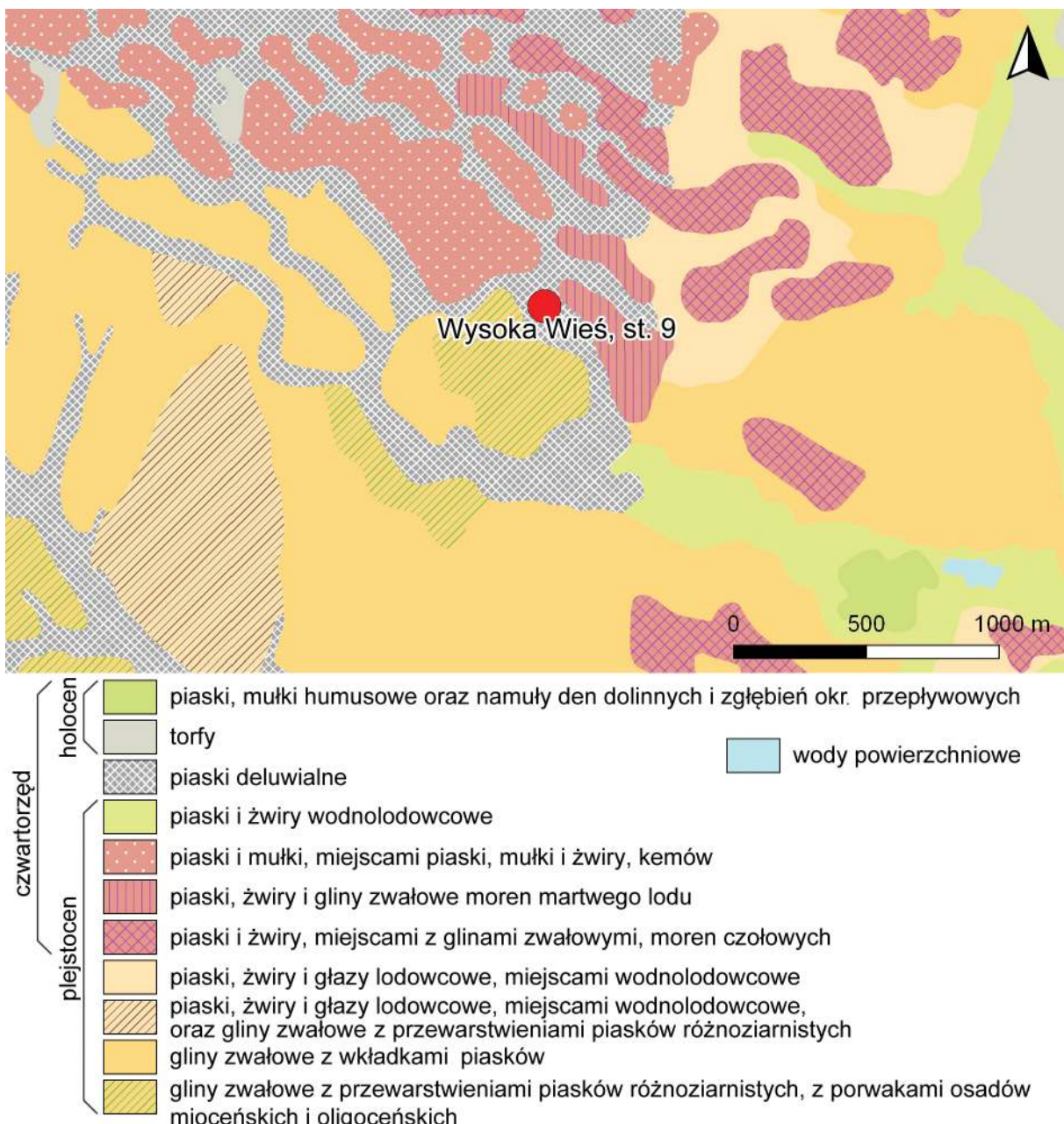
⁴ Gałazka 2009: 14.



Ryc. 5. Wysoka Wieś, st. 9. Widok na Taras I w północno-zachodniej części grodziska (fot. R. Solecki)



Ryc. 6. Wysoka Wieś, st. 9. Widok od strony południowej na grodzisko (fot. R. Solecki)



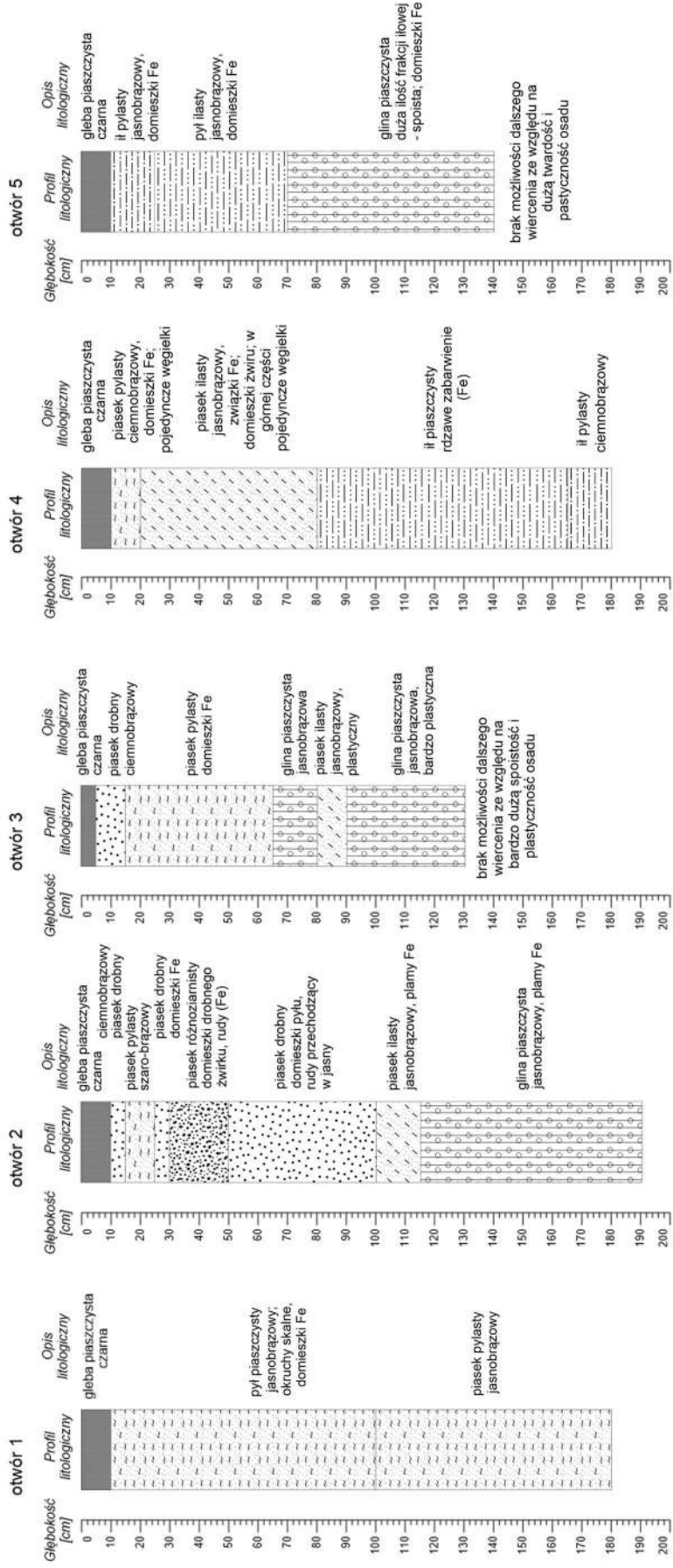
Ryc. 7. Wycinek arkusza Szczegółowej Mapy Geologicznej Polski z zaznaczonym stanowiskiem w Wysokiej Wsi, st. 9 (źródło: www.cbdgmapa.pgi.gov.pl/arcgis/services/kartografia/smgp50k/MapServer/WMServer, oprac. A. Lejzerowicz)

mi, które uniemożliwiały głębsze wiercenie. W obniżeniach terenu nawiercono osady pochodzenia organicznego. Szczegółowa litologia jest widoczna oraz została opisana na poszczególnych profilach wierceń (ryc. 8).

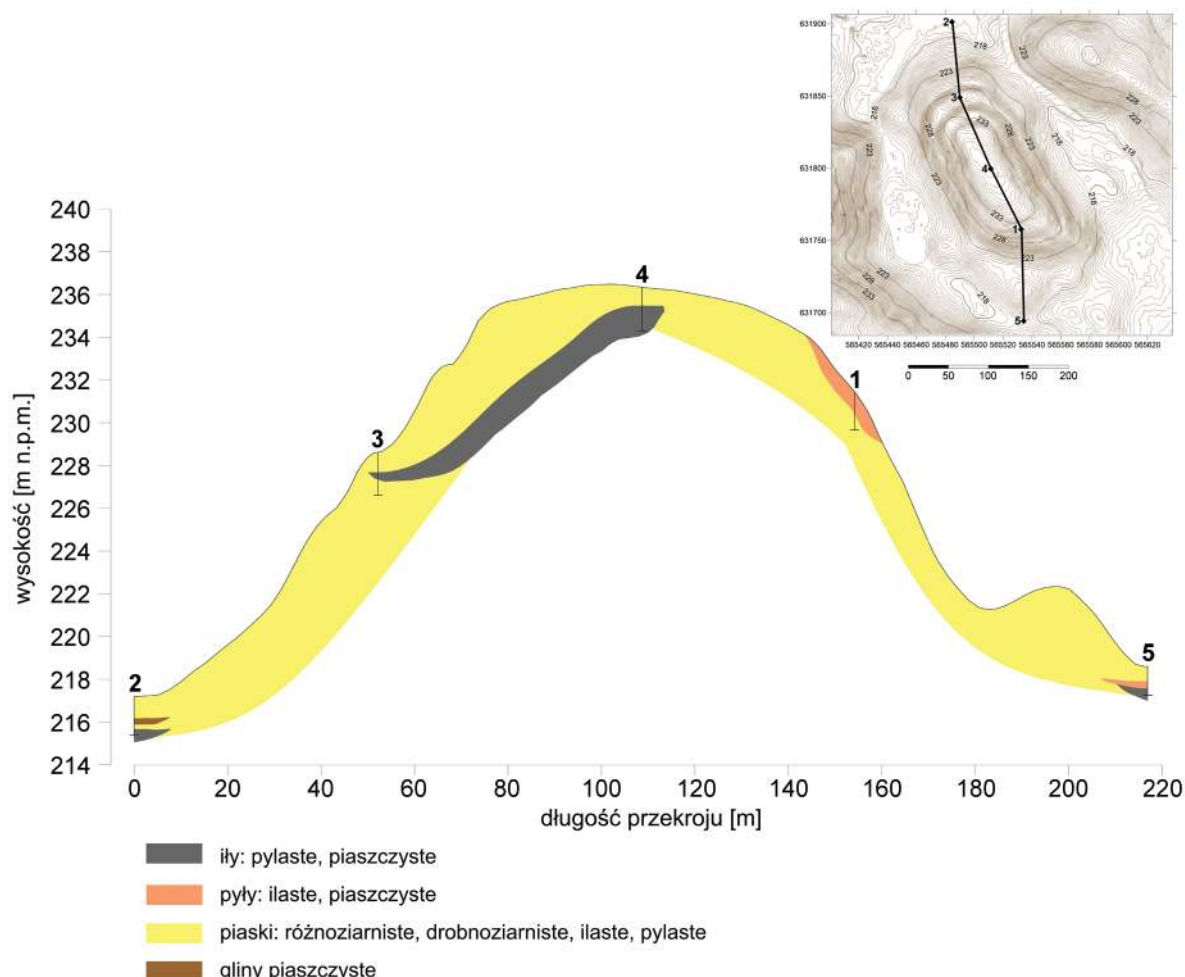
Według *Mapy Geologicznej Polski* w skali 1:500 000 stanowisko znajduje się na obszarze występowania żwirów, piasków, głązów i glin moren czołowych. Według *Szczegółowej Mapy Geologicznej Polski* w skali 1:50 000 (arkusz Lubawa) na obszarze stanowiska występują piaski i mułki, miejscami piaski, mułki i żwiry kemów⁵. Według *Mapy Litogenetycz-*

nej Polski w skali 1:50 000 stanowisko znajduje się na obszarze występowania piasków pyłówatych pochodzenia jeziorno-lodowcowego. Duża zmienność opisu litologii na różnych mapach wynika zapewne z niejasnej genezy pagórków występujących na tym obszarze. Najprawdopodobniej są to jednak pagórki kemowe powstałe na wysoczyźnie morenowej falistej podczas deglacacji lądolodu. Wykonane wiercenia potwierdzają obecność piaszczystych oraz pyłówatych frakcji na badanym stanowisku; występują również przewarstwienia osadów ilastych.

⁵ Gałążka 2009.



Ryc. 8. Profile litologiczne otworów wykonanych na obszarze grodziska w Wysokiej Wsi, st. 9 (oprac. A. Lejzerowicz)



Ryc. 9. Schematyczny przekrój geologiczny przez grodzisko w Wysokiej Wsi, st. 9 (oprac. A. Lejzerowicz)

BADANIA ARCHEOLOGICZNE RAFAŁ SOLECKI I DANIEL SKOCZYLAS

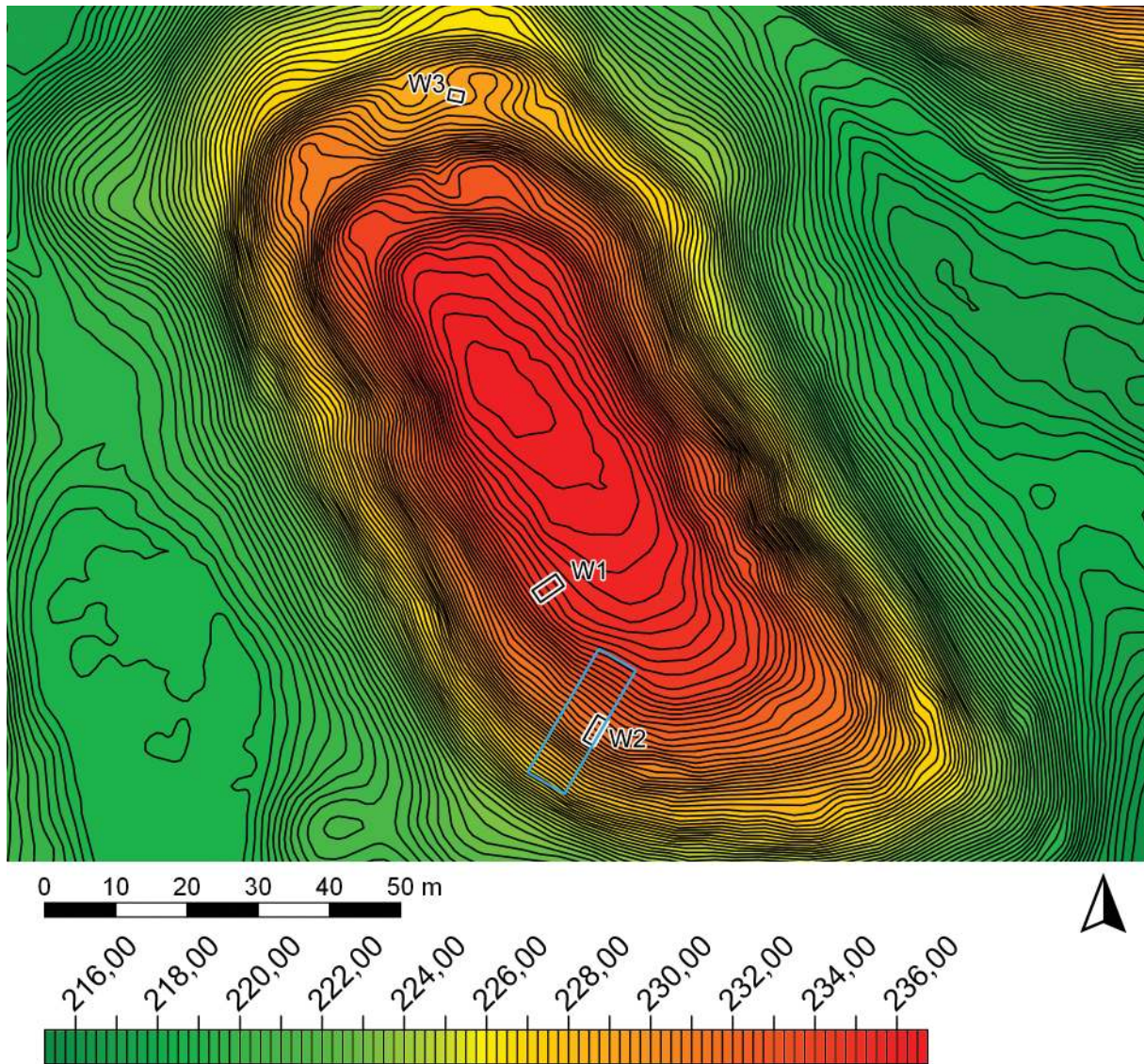
Przebieg badań terenowych

Ze względu na fakt, że stanowisko znajduje się na obszarze lasu, miejscami dość gęsteego z rozbudowanym podszytem, obszar planowanych badań był ograniczony. Optymalne warunki występowały na stokach od strony północnej i południowej, gdzie możliwe było wytyczenie wykopów, które pozwoliłyby na rozpoznanie nawarstwień kulturowych na tarasach. Wykop W2, o wymiarach $1,5 \times 4$ m, znajdował się na Tarasie I, a W3, o wymiarach $1,5 \times 2$ m, na Tarasie II. Pomimo silnego zadrzewienia samego szczytu udało się tam wyznaczyć jeden niewielki wykop W1, o wymiarach 2×4 m, który swą powierzchnią obejmował majdan i domniemany wał otaczający majdan (ryc. 10).

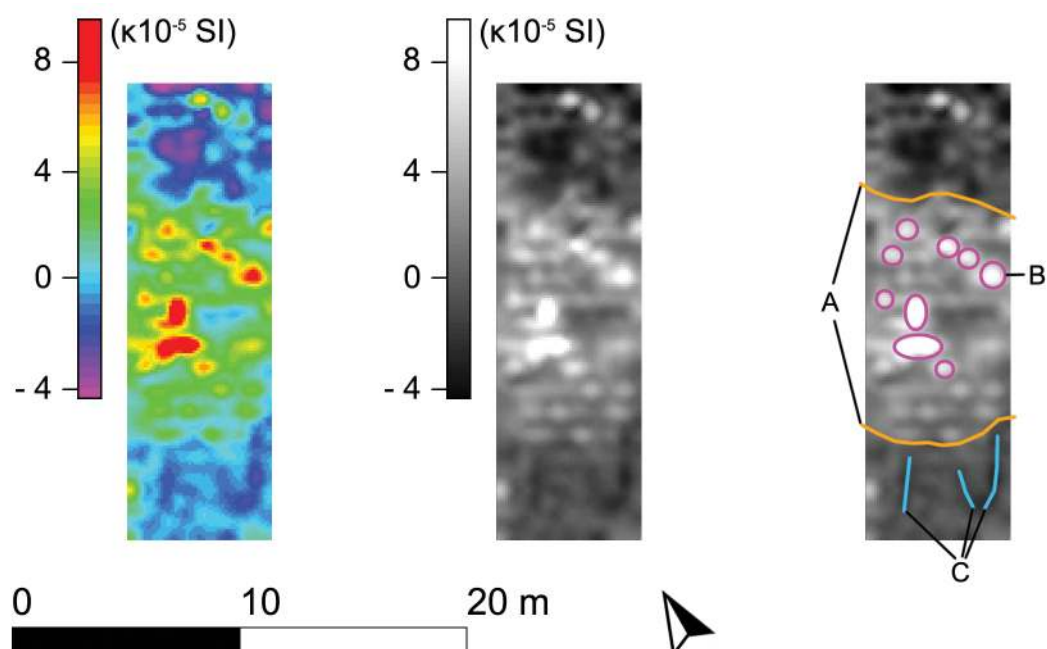
Przystępując do wytyczania wykopów zdecydowano się na przeprowadzenie geofizycznych badań nieinwazyjnych na wyty-

powanym obszarze. Badania przeprowadzono z wykorzystaniem kappametru firmy Bartington model MS3 z sondą MS2D pracującą z częstotliwością 950 ± 60 Hz i przeznaczoną do płytkego pomiaru podatności magnetycznej gruntu (Bartington Instruments Ltd.). Prospekcji poddano obszar o powierzchni 120 m^2 (ryc. 10 i 11). Wartość odczytów mieści się w zakresie od $-4,89$ do $20,47 \text{ k}10^{-5}$ SI. Średnia wartość odczytów wynosi $1,53$ a odchylenie standardowe $3,00 (\text{k}10^{-5} \text{ SI})$.

Na planie z wizualizacją wyników pomiarów czytelny jest pas szerokości około 9 m układający się w poprzek obszaru badań (ryc. 11:A). Jest to najpewniej ślad po nawarstwieniach odkładających się na Tarasie I grodziska. W obrębie tego pasa widoczne są wyraźne punktowe anomalie układające się w regularny, zbliżony do prostokąta kształt o wymiarach $3 \times 4,5$ m. Jedna z tych anomalii, oznaczona jako B (ryc. 11:B), znalazła się w granicach wykopu archeologicznego W2. W jej miejscu natrafiono na granitowy ka-



Ryc. 10. Wysoka Wieś, st. 9. Plan grodziska z naniesionymi wykopami archeologicznymi i obszarem badań nieinwazyjnych (kolor niebieski) (oprac. R. Solecki)

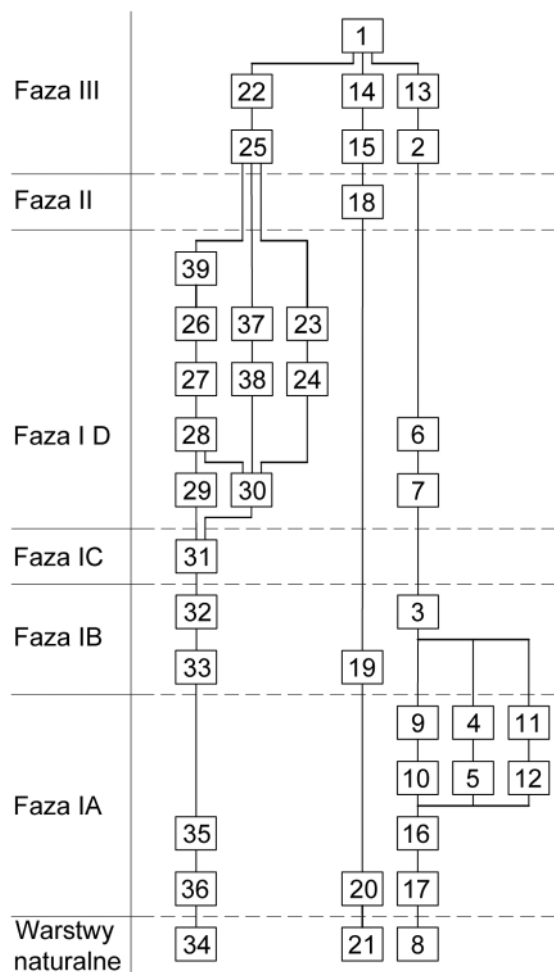


Ryc. 11. Wysoka Wieś, st. 9. Plany z różnymi typami wizualizacji wyników badań nieinwazyjnych. Interpretacja:
 A) pas wyznaczający szerokość Tarasu I, B) punktowe anomalie układające się w regularny kształt,
 C) linie układające się równolegle do kierunku upadu stoku (oprac. R. Solecki)

mień średnicy około 35–40 cm. Poniżej tara- su, widoczne są trzy linie ułożone równolegle do kierunku spadku stoku (ryc. 11:C). Linie te były widoczne także na powierzchni gruntu i są wynikiem osuwania się pni drzew.

Stratygrafia stanowiska

W trakcie omawianych badań archeologicznych wydzielono łącznie 39 jednostek stratygraficznych (tabela 1). Możliwe było ich rozdzielenie pomiędzy warstwy naturalne i trzy fazy „użytkowe”, z czego dla Fazy I wydzielono jeszcze cztery mniejsze podfazy A–D. Diagram Harrisa dla wydzielonych jednostek stratygraficznych przedstawia ryc. 12. Zadokumentowane powierzchnie to: plan W1 (ryc. 13), profil północny W1 (ryc. 14), profil południowy W1 (ryc. 15), plan W2 (ryc. 16), profil zachodni W2 (ryc. 17), profil wschodni W2 (ryc. 18), plan 1. i 2. W3 (ryc. 19), plan 3. i 4. W3 (ryc. 20), profil wszystkich ścian W3 (ryc. 21).



Ryc. 12. Wysoka Wieś, st. 9. Diagram relacji stratygraficznych (oprac. R. Solecki)

Warstwy naturalne

W trakcie badań, jako jednostkę naturalną wydzielono żwarty, twardy piasek o frakcji od drobno- do gruboziarnistej, który w W1 otrzymał numer 8, w W2 numer 21, a w W3 numer 34.

Faza I A–D

Faza ta, datowana na wczesną epokę żelaza, wyznacza okres pojawienia się osadnictwa na omawianym obszarze, zaadaptowania go do pełnienia funkcji osiedla obronnego oraz użytkowania. Wydzielenie podfaz a nie niezależnych faz wynika z faktu, że datowanie radiowęglowe kolejnych nawarstwień przypisanych do tej fazy daje bardzo zbliżony wynik. Podobnie rzeczą ma się z materiałem zabytkowym, a w szczególności z ceramiką naczyniową, która generalnie reprezentuje jedną grupę technologiczno-surowcową. Można więc założyć, że wydzielone podfazy wyznaczają zmiany w aranżacji stanowiska, które następowaly po sobie w relatywnie niedługich odstępach czasu.

W W1 do Fazy IA przypisano relikt nasyłu 17, który w świetle wykopu miał szerokość około 140 cm. Nasyp wykonany był z sypkiego, lekko ilastego piasku 16, o frakcji od drobno- do gruboziarnistej z pojedynczymi kamieniami średnicy do 10 cm, a jego największa zachowana wysokość dochodziła do 30 cm. Z warstwy 16 pobrano próbę węgla do analizy radiowęglowej. Wynik analizy dał przedział lat 356–61 p.n.e. z prawdopodobieństwem 95,4%⁶. W zniszczonym stropie warstwy 16 zadokumentowano 3 dołki posłupowe:

- wkop 5, nieregularnie ovalny w planie, U-kształtny w profilu; zanotowane wymiary to średnica 30–45 cm i głębokość do 40 cm; wypełniskiem był lekko ziemisty piasek 4;
- wkop 10, uchwycony fragmentarycznie, nieregularnie ovalny w planie, U-kształtny w profilu; zanotowane wymiary to średnica do 15 cm i głębokość do 20 cm; wypełniskiem był lekko ziemisty piasek 9 z kamieniem średnicy około 15 cm w części spągowej;
- wkop 12, nieregularnie ovalny w planie, U-kształtny w profilu; zanotowane wymiary to średnica 25–40 cm i głębokość do 20 cm; wypełniskiem był lekko ziemisty piasek 11.

⁶ Analiza przeprowadzona w Poznańskim Laboratorium Radiowęglowym, próba nr Poz-121175.

Dwa dołki posłupowe znajdowały się blisko krawędzi nasypu 17, od strony majdanu, w odległości około 100 cm od siebie, a jeden już w obrębie nasypu.

W W2 do Fazy IA zaliczono sypki piasek 20 z domieszką węgli drzewnych, który zinterpretowano, jako relikt poziomu użytkowego. Z warstwy tej pobrano próbę węgla do analizy radiowęglowej. Wynik analizy dał przedział lat 395–206 p.n.e. z prawdopodobieństwem 95,4%⁷.

W W3 do Fazy IA zaliczono z kolei uchwycony fragmentarnie, rowkowy, nieckowaty w profilu wkop 36, którego zanotowane wymiary to szerokość do 25 cm i głębokość do 20 cm. Jego wypełniskiem był ilasty piasek 35 z pojedynczymi kamieniami średnicą do 20 cm i drobinami węgli drzewnych. Obiekt ten położony był równolegle do osi tarasu, przy jego krawędzi i być może można go interpretować, jako pozostałość umocnień. Zwłaszcza, że wspomniane drobiny węgla występujące w wypełnisku tworzą zgrupowania, sugerujące że są śladami po spalonych, ustawionych pionowo słupach. Z warstwy 35 pobrano próbę węgla do analizy radiowęglowej. Wynik analizy dał przedział lat 384–204 p.n.e. z prawdopodobieństwem 95,4%⁸.

Fazę IB uchwycono we wszystkich trzech wykopach w postaci poziomu użytkowego o miąższości dochodzącej do 35 cm. W W1 poziom ten tworzył luźny piasek 3 o frakcji od drobno- do gruboziarnistej, z domieszką ilów i licznymi kamieniami średnicą do 20 cm, w W2 sypki piasek 19 o frakcji od drobno- do gruboziarnistej z pojedynczymi kamieniami średnicą do 15 cm, a w W3 ilasty piasek 33 z pojedynczymi kamieniami średnicą do 30 cm i zalegający ponad nim cienki pokład lekko ilastego piasku 32 z domieszką węgli drzewnych. Warstwę 32 zaobserwowano niemalże bezpośrednio ponad obiektem 36 z Fazy IA i występujące w niej licznie węgle drzewne są być może destruktem konstrukcji drewnianej związanej z tamtym obiektem.

Fazę IC wydzielono tylko w W3, a tworzą ją lekko ilasty piasek 31 z pojedynczymi kamieniami średnicą do 10 cm, będący zapewne jednym z poziomów użytkowych.

Do fazy ID przypisano uchwycony fragmentarnie w W1 nieregularnie ovalny w planie, trapezowy w profilu wkop 7, któ-

⁷ Analiza przeprowadzona w Poznańskim Laboratorium Radiowęglowym, próba nr Poz-121177.

⁸ Analiza przeprowadzona w Poznańskim Laboratorium Radiowęglowym, próba nr Poz-118399.

rego zanotowane wymiary to średnica 115 cm i głębokość do 45 cm. Jego wypełniskiem był lekko przemieszany, pylasty piasek 6 z domieszką materii organicznej i drobnymi węgielkami. Być może był to dół zasobowy, gdyż pomimo upływu lat ilość substancji organicznych w tym obiekcie nadal była znaczna. W W3 fazę tę reprezentują warstwy sypkiego piasku 29 z dużą domieszką węgli drzewnych i lekko ilastego piasku 30 z domieszką substancji organicznych i pojedynczymi kamieniami średnicą do 10 cm, tworzące poziom użytkowy. Z warstwy 29 pobrano próbę węgla do analizy radiowęglowej. Wynik analizy dał przedział lat 388–204 p.n.e. z prawdopodobieństwem 95,4%⁹. Ze stropu tego poziomu wyprowadzono trzy wkopy:

- wkop 38, uchwycony fragmentarnie, zapewne ovalny w planie, U-kształtny w profilu; zanotowane wymiary to średnica do 25 cm i głębokość do 20 cm; wypełniskiem był lekko ilasty piasek 37; funkcja to zapewne dołek posłupowy;
- wkop 24, uchwycony fragmentarnie, prawdopodobnie nieregularnie ovalny w planie, nieckowaty w profilu; zanotowane wymiary to szerokość do 100 cm i głębokość do 30 cm; wypełniskiem była humusowa, piaszczysta ziemia 23 z bardzo dużą domieszką węgli drzewnych, zwłaszcza w części centralnej i przy powierzchni; funkcja to zapewne palenisko;
- wkop 28, uchwycony fragmentarnie, zapewne ovalny w planie, U-kształtny w profilu; wymiary to szerokość do 85 cm i głębokość do 60 cm; wypełniskiem były lekko ilasty piasek 27 z pojedynczymi kamieniami średnicą do 10 cm i ilasty piasek 26 z domieszką substancji organicznych i pojedynczymi kamieniami średnicą do 10 cm; zapewne obiekt gospodarczy.

Przy stropie warstwy [26], na poziomie warstw [29] i [30] zanotowano niewielkie – średnice około 80 cm – luźne skupisko kamieni o średnicy do 20 cm.

Faza II

Faza ta wyznacza poziom silnej erozji i destrukcji powierzchni osiedla w jego południowej części, która nastąpiła najpewniej po opuszczeniu stanowiska. Reprezentuje tę fazę tylko jedna jednostka: sypki piasek 18 o frakcji od drobno- do gruboziarnistej z licznymi kamieniami średnicą do 10 cm.

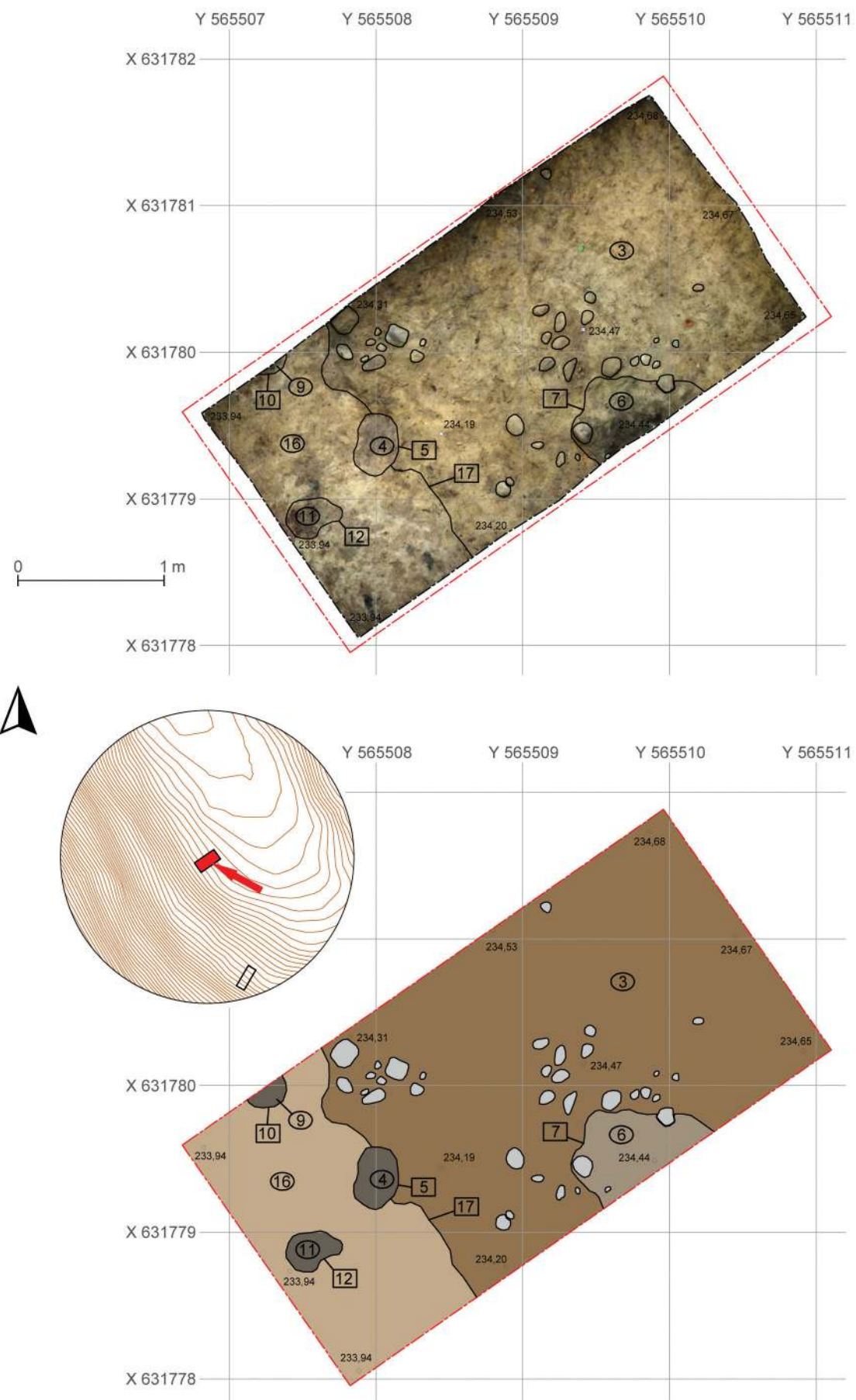
⁹ Analiza przeprowadzona w Poznańskim Laboratorium Radiowęglowym, próba nr Poz-118433.

Tabela 1. Wysoka Wieś, st. 9. Katalog warstw i obiektów oraz ich zależności stratygraficznych (oprac. R. Solecki)

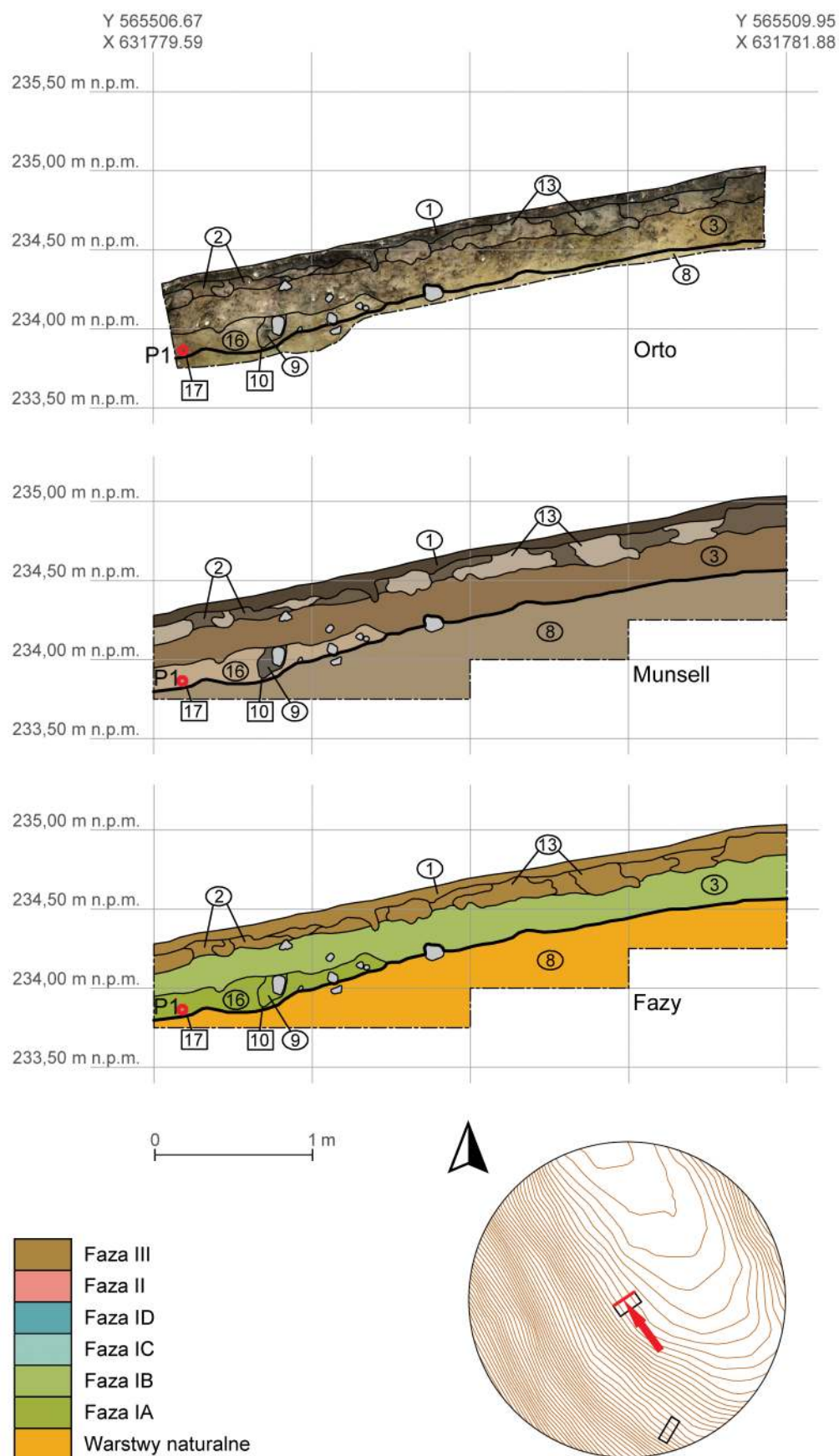
Numer jednostki	Numer obiektu	Numer wykopu	Polożenie w obrębie stanowiska	Współrzędne siatki (PUWG 1992)	Opis jednostki stratygraficznej	Barwa (Munsell)	Pozycja stratygraficzna	
							Znajduje się pod	Znajduje się nad
1	-	1, 2, 3	Cała powierzchnia stanowiska	X=631757-631850; Y=565494-565518	Piaszczysta, humusowa ziemia; miąższość do 20 cm; humus leśny	10YR 3/2	-	2, 13
2	-	1	Majdan	X=631777-631782; Y=565506-565512	Luźny, sypki piasek z dużą domieszką substancji organicznych; miąższość do 15 cm; warstwa erozyjna na powierzchni majdanu	10YR 4/2	1, 13	3, 9
3	-	1	Majdan	X=631777-631782; Y=565506-565512	Luźny piasek o frakcji od drobno- do gruboziarnistej, z domieszką ilów i licznymi kamieniami średnicą do 20 cm; miąższość do 30 cm; zniszczony poziom użytkowy z czasów funkcjonowania osiedla	10YR 5/4	2, 13	8, 16
4	5	1	Majdan	X=631779-631780; Y=565507-565509	Lekko ziemisty piasek; wypełnisko dolka postępowego 5	10YR 4/4	2	3, 5, 16
5	5	1	Majdan	X=631779-631780; Y=565507-565509	Nieregularnie owalny w planie, U-kształtny w profilu wkop; zanotowane wymiary to średnica 30-45 cm i głębokość do 40 cm; dół postępowy	-	4	3, 16
6	7	1	Majdan	X=631779-631780; Y=565509-565511	Lekko przemieszany płyasty piasek z domieszką materii organicznej i drobnymi węgielkami; wypełnisko obiektu 7	10YR 3/1	2, 13	3, 7, 8
7	7	1	Majdan	X=631779-631780; Y=565509-565511	Uchwycony fragmentarnie wkop, nieregularnie owalny w planie, trapezowy w profilu; zanotowane wymiary to średnica 115 cm i głębokość do 45 cm; dół zasobowy?	-	6	3, 8
8	-	1	Majdan	X=631777-631782; Y=565506-565512	Zwarty, twardy piasek frakcji od drobno- do gruboziarnistej; warstwa naturalna	10YR 6/3	3, 16	-
9	10	1	Majdan	X=631779-631780; Y=565507-565508	Lekko ziemisty piasek z kamieniem średnicą około 15 cm w części spągowej; wypełnisko dolka postępowego 10	10YR 4/1	3	10, 16
10	10	1	Majdan	X=631779-631780; Y=565507-565508	Uchwycony fragmentarnie wkop, nieregularnie owalny w planie, U-kształtny w profilu; zanotowane wymiary to średnica do 15 cm i głębokość do 20 cm; dół postępowy	-	9	16
11	12	1	Majdan	X=631778-631779; Y=565507-565508	Lekko ziemisty piasek; wypełnisko dolka postępowego 12	10YR 4/4	3	11, 16
12	12	1	Majdan	X=631778-631779; Y=565507-565508	Nieregularnie owalny w planie, U-kształtny w profilu wkop; zanotowane wymiary to średnica 25-40 cm i głębokość do 20 cm; dół postępowy	-	11	16
13	-	1	Majdan	X=631777-631782; Y=565506-565512	Gleba bielicowa; miąższość do 20 cm; erozyjna na powierzchni majdanu	7.5YR 6/2	1	2, 3
14	-	2	Taras I	X=631757-631763; Y=565513-565518	Luźny, sypki piasek z dużą domieszką substancji organicznych; miąższość do 10 cm; warstwa erozyjna na powierzchni Tarasu I	5YR 5/2	1	15, 18
15	-	2	Taras I	X=631757-631763; Y=565513-565518	Gleba bielicowa; miąższość do 25 cm; warstwa erozyjna na powierzchni Tarasu I	7.5YR 6/2	1, 14	18
16	17	1	Majdan	X=631777-631781; Y=565506-565509	Sypki, lekko ilastny piasek o frakcji od drobno- do gruboziarnistej z pojedynczymi kamieniami średnicą do 10 cm; być może relikt umocnień – nasypy – z czasów funkcjonowania osiedla	10YR 4/3	3	8, 17
17	17	1	Majdan	X=631777-631781; Y=565506-565509	Fragmentarnie uchwycony obiekt, szerokość do 140 cm; być może relikt umocnień majdanu	-	16	8
18	-	2	Taras I	X=631757-631763; Y=565513-565518	Sypki piasek o frakcji od drobno- do gruboziarnistej z licznymi kamieniami średnicą do 10 cm; miąższość do 25 cm; warstwa erozyjna na powierzchni Tarasu I	10YR 5/4	1, 14, 15	19, 21
19	-	2	Taras I	X=631760-631763; Y=565515-565518	Sypki piasek o frakcji od drobno- do gruboziarnistej z pojedynczymi kamieniami średnicą do 15 cm; miąższość do 35 cm; zniszczony poziom użytkowy z czasów funkcjonowania osiedla	10YR 7/2	18	20, 21
20	-	2	Taras I	X=631760-631763; Y=565515-565518	Sypki piasek z domieszką węgli drzewnych; miąższość do 10 cm; być może poziom użytkowy z czasów funkcjonowania osiedla	10YR 5/2	18, 19	21

Tabela 1. Ciąg dalszy

Numer jednostki	Numer obiektu	Numer wykopu	Położenie w obrębie stanowiska	Współrzędne siatki (PUWG 1992)	Opis jednostki stratygraficznej	Barwa (Munsell)	Pozycja stratygraficzna	
							Znajduje się pod	Znajduje się nad
21	-	2	Taras I	X=631757-631763; Y=565513-565518	Zwarty, twardy piasek frakcji od drobno- do gruboziarnistej; warstwa naturalna	10YR 6/4	18, 19, 20	-
22	-	3	Taras II	X=631848-631850; Y=565494-565498	Piaszczysta, lekko humusowa ziemia; miąższość do 20 cm; warstwa erozyjna na powierzchni Tarasu II	10YR 4/2	1	23, 25, 30,
23	24	3	Taras II	X=631848-631850; Y=565494-565496	Humusowa, piaszczysta ziemia z bardzo dużą domieszką węgli drzewnych, zwłaszcza w części centralnej i przy powierzchni; wypełnisko obiektu 24	10YR 2/1	22, 25	24, 30, 31
24	24	3	Taras II	X=631848-631850; Y=565494-565496	Uchwycony fragmentarycznie, prawdopodobnie nieregularnie owalny w planie, nieckowy w profilu wkop; zanotowane wymiary to szerokość do 100 cm i głębokość do 30 cm; palenisko?	-	23	30, 31
25	-	3	Taras II	X=631848-631850; Y=565494-565498	Gleba bielicowa; miąższość do 15 cm; warstwa erozyjna na powierzchni Tarasu II	7.5YR 6/2	22	23, 26, 30, 31, 37
26	28	3	Taras II	X=631849-631850; Y=565494-565498	Ilasty piasek z domieszką substancji organicznych i pojedynczymi kamieniami średnicymi do 10 cm; wypełnisko obiektu 28	10YR 5/4	25, 39	27, 29, 30, 31
27	28	3	Taras II	X=631849-631850; Y=565494-565498	Lekko ilasty piasek z pojedynczymi kamieniami średnicymi do 10 cm; wypełnisko obiektu 28	10YR 6/4	26	28, 31, 32, 33, 34
28	28	3	Taras II	X=631849-631850; Y=565494-565498	Uchwycony fragmentarycznie, prawdopodobnie owalny w planie, U-kształtny w profilu wkop; zanotowane wymiary to szerokość do 85 cm i głębokość do 60 cm; obiekt gospodarczy?	-	27	29, 30, 31, 32, 33, 34
29	-	3	Taras II	X=631848-631850; Y=565495-565498	Sypki piasek z dużą domieszką węgli drzewnych; miąższość do 10 cm; poziom użytkowy z okresu funkcjonowania osiedla	10YR 3/1	25, 26, 28, 39	31
30	-	3	Taras II	X=631848-631850; Y=565495-565498	Lekko ilasty piasek z domieszką substancji organicznych i pojedynczymi kamieniami średnicymi do 10 cm; miąższość do 10 cm; poziom użytkowy z okresu funkcjonowania osiedla	10YR 4/6	22, 23, 24, 25, 26, 28, 37, 38, 39	31
31	-	3	Taras II	X=631848-631850; Y=565494-565498	Lekko ilasty piasek z pojedynczymi kamieniami średnicymi do 10 cm; miąższość do 20 cm; poziom użytkowy z okresu funkcjonowania osiedla	10YR 5/6	23, 29, 30, 39	32, 33
32	-	3	Taras II	X=631848-631850; Y=565495-565498	Lekko ilasty piasek z domieszką węgli drzewnych; miąższość do 10 cm; poziom użytkowy z okresu funkcjonowania osiedla	10YR 4/1	31	33
33	-	3	Taras II	X=631848-631850; Y=565494-565498	Ilasty piasek z pojedynczymi kamieniami średnicymi do 30 cm; miąższość do 25 cm; poziom użytkowy z okresu funkcjonowania osiedla	10YR 7/4	23, 24, 31, 32	34, 35
34	-	3	Taras II	X=631848-631850; Y=565494-565498	Zwarty, twardy piasek frakcji od drobno- do gruboziarnistej; warstwa naturalna	10YR 7/6	27, 28, 33, 35, 36	-
35	36	3	Taras II	X=631848-631840; Y=565495-565498	Ilasty piasek z pojedynczymi kamieniami średnicymi do 20 cm i drobinami węgli drzewnych; wypełnisko obiektu 36	10YR 6/3	33	34, 36
36	36	3	Taras II	X=631848-631840; Y=565495-565498	Uchwycony fragmentarycznie, rowkowaty wkop, nieckowy w profilu; zanotowane wymiary to średnica do 25 cm i głębokość do 20 cm; być może relikt umocnień Tarasu II	-	33, 35	34
37	38	3	Taras II	X=631848-631849; Y=565495-565497	Lekko ilasty piasek; wypełnisko obiektu 38	10YR 6/4	25	30, 31, 37
38	38	3	Taras II	X=631848-631849; Y=565495-565497	Uchwycony fragmentarycznie, prawdopodobnie owalny w planie, U-kształtny w profilu wkop; zanotowane wymiary to średnica do 25 cm i głębokość do 20 cm; dolek posuwowy	-	37	30, 31
39	-	3	Taras II	X=631848-631850; Y=565495-565497	Nieduże, luźne skupisko, średnicy około 80 cm, kamieni o średnicy do 20 cm; z okresu funkcjonowania osiedla	-	25	26, 29, 30, 31

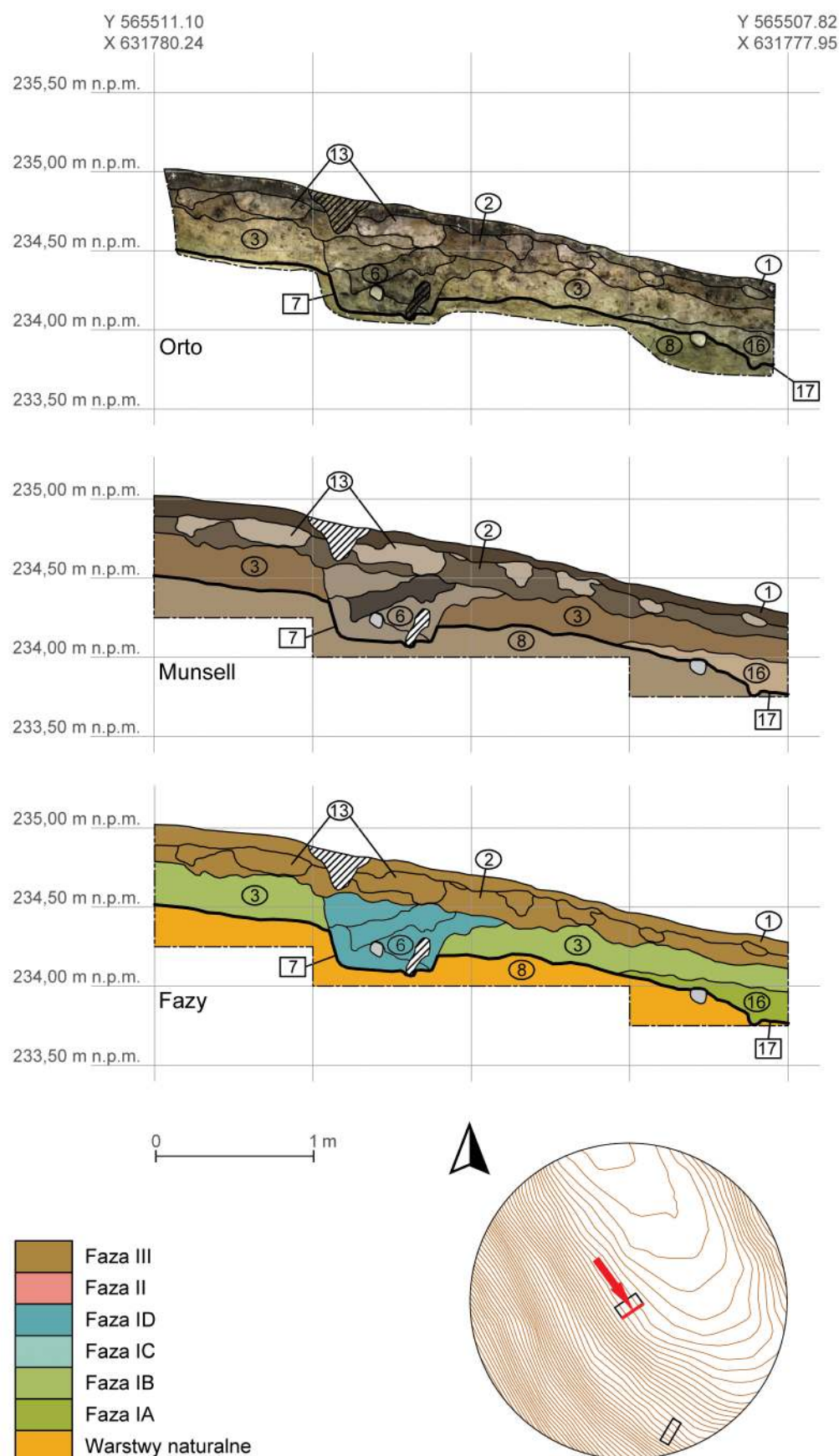


Ryc. 13. Wysoka Wieś, st. 9. Stratygrafia nawarstwień na obszarze majdanu – wykop 1 (oprac. R. Solecki)

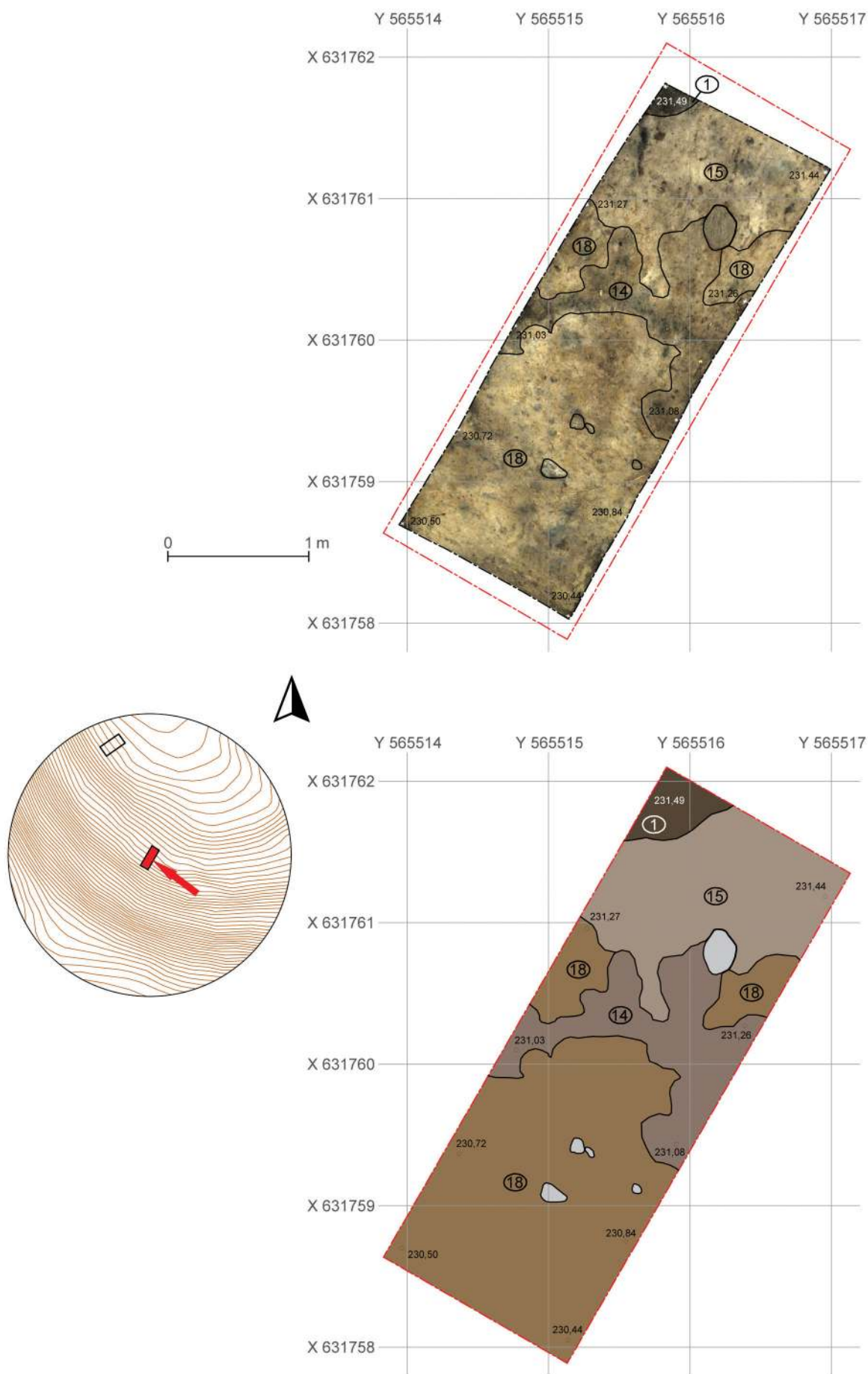


P1 - lata 356-61 p.n.e. (prawdopodobieństwo 95,4%)

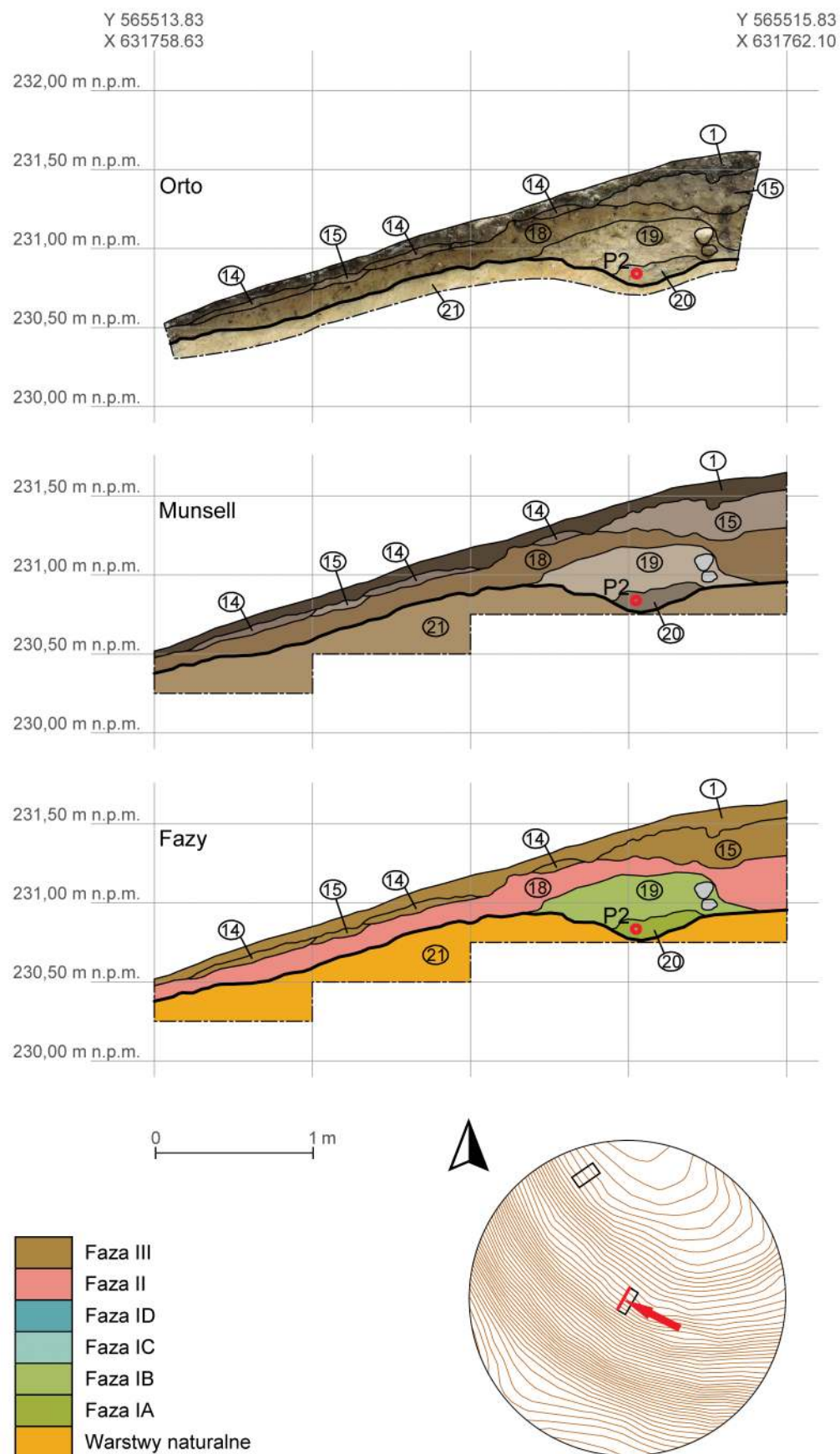
Ryc. 14. Wysoka Wieś, st. 9. Stratygrafia nawarstwień na obszarze majdanu – wykop 1 (oprac. R. Solecki)



Ryc. 15. Wysoka Wieś, st. 9. Stratygrafia nawarstwień na obszarze majdanu – wykop 1 (oprac. R. Solecki)

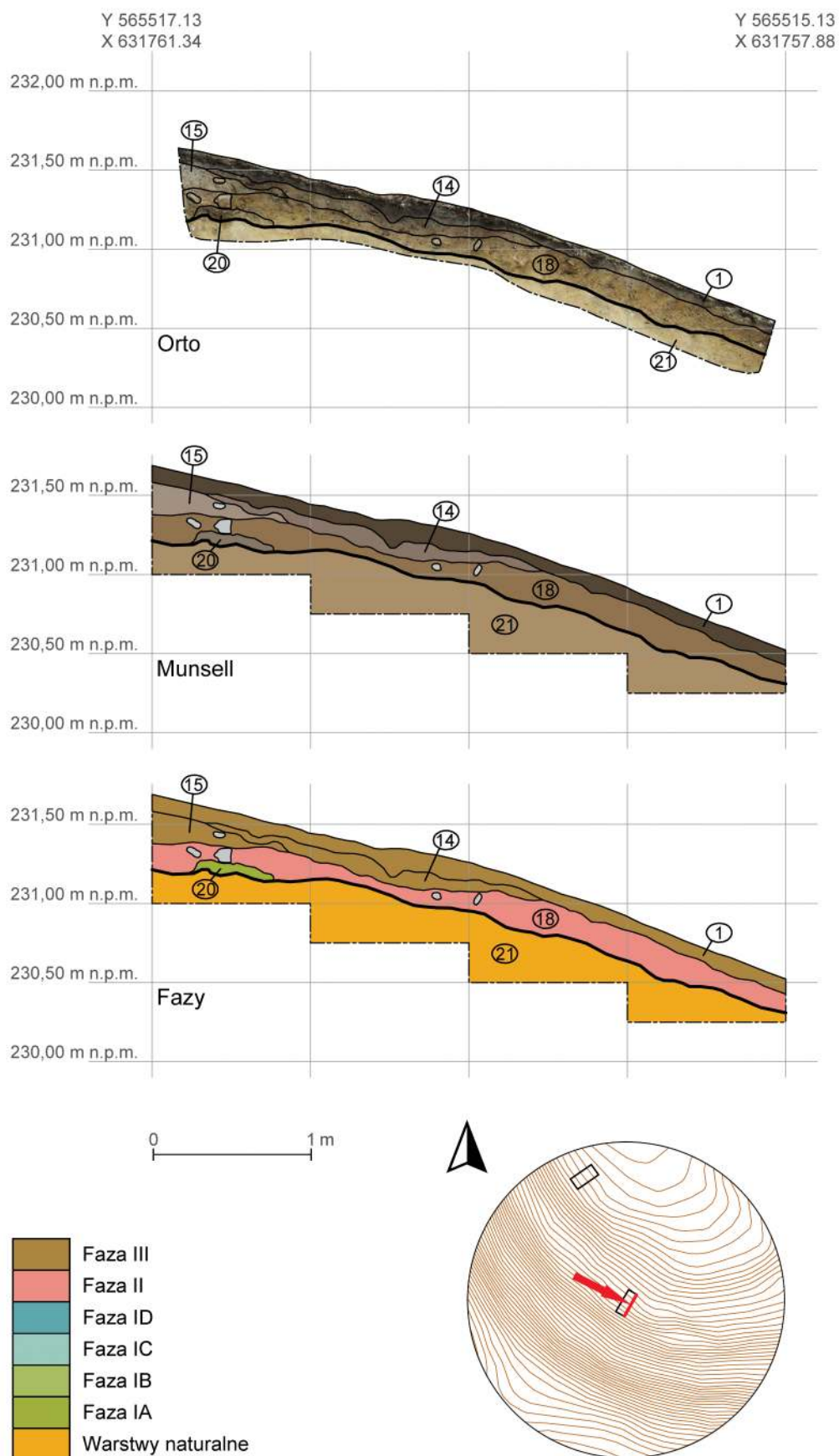


Ryc. 16. Wysoka Wieś, st. 9. Stratygrafia nawarstwień na obszarze Tarasu I – wykop 2 (oprac. R. Solecki)

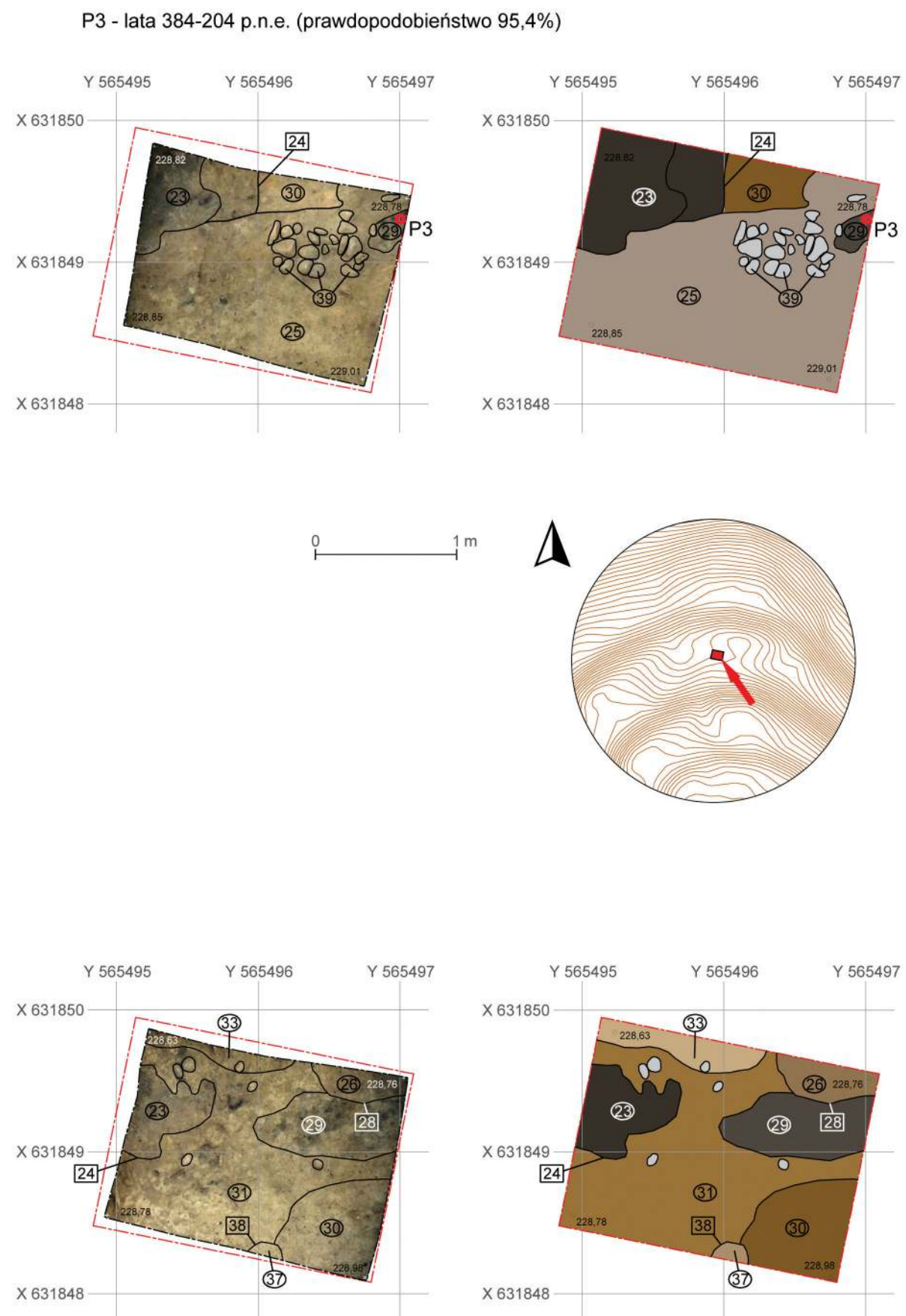


P2 - lata 395-206 p.n.e. (prawdopodobieństwo 95,4%)

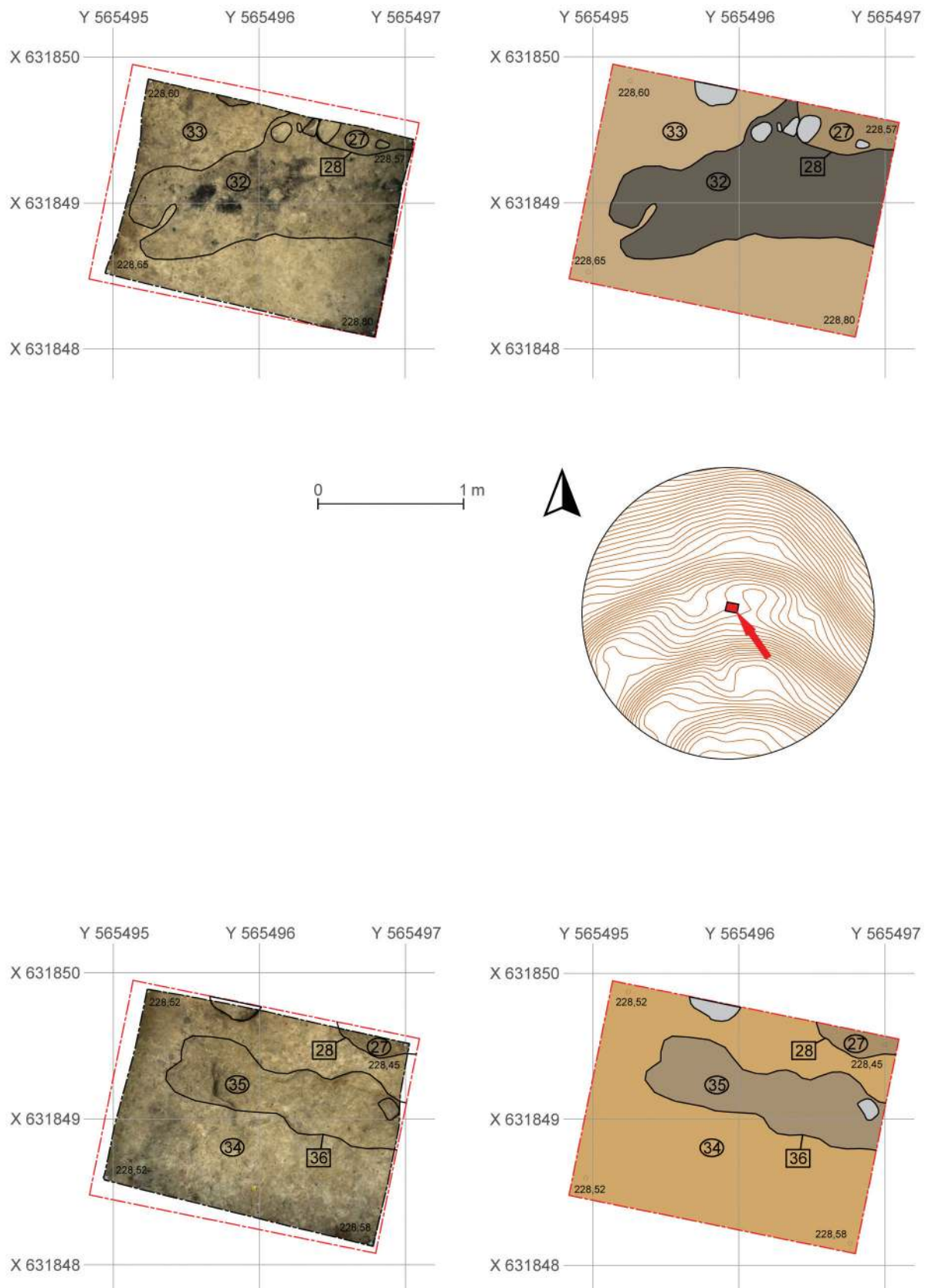
Ryc. 17. Wysoka Wieś, st. 9. Stratygrafia nawarstwień na obszarze Tarasu I – wykop 2 (oprac. R. Solecki)



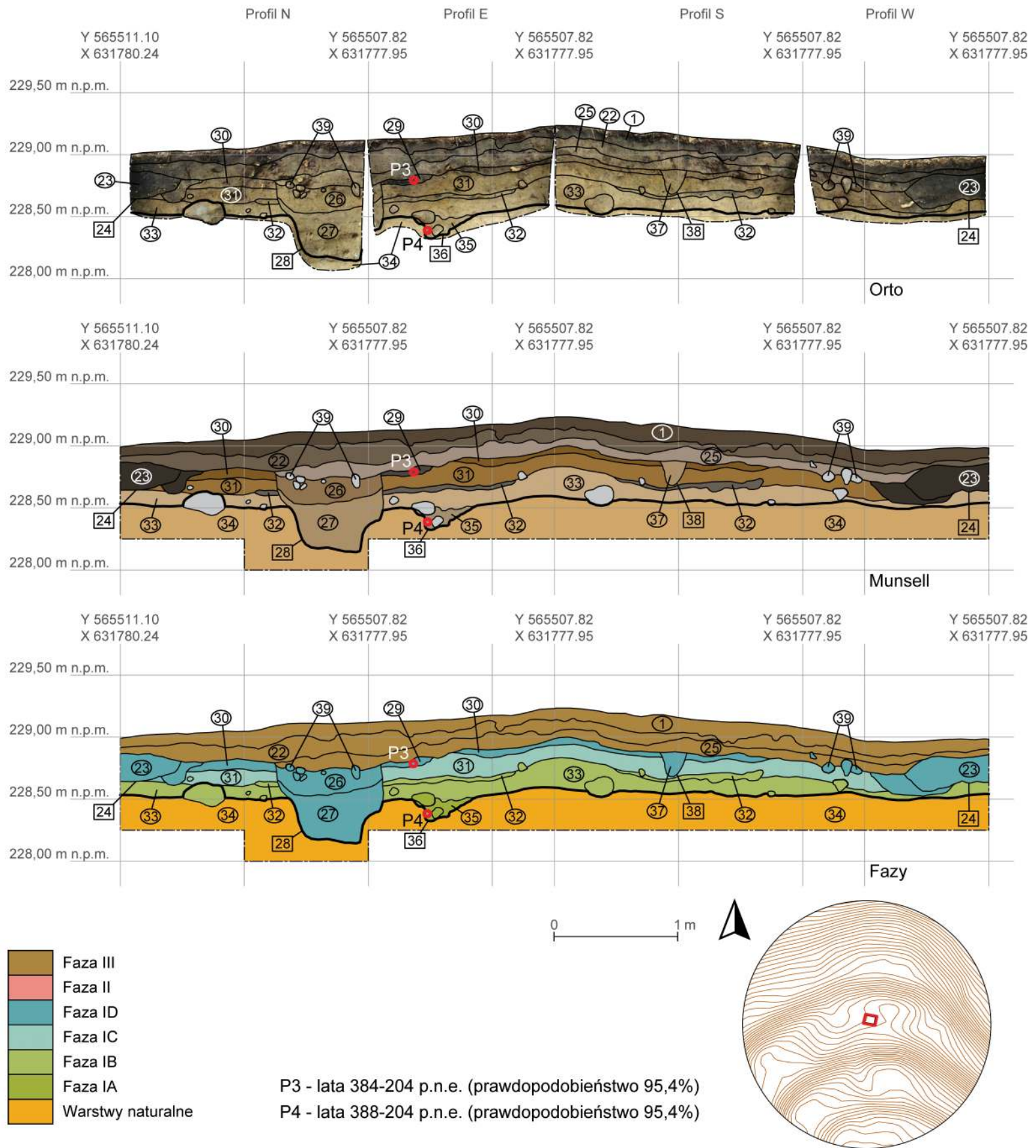
Ryc. 18. Wysoka Wieś, st. 9. Stratygrafia nawarstwień na obszarze Tarasu I – wykop 2 (oprac. R. Solecki)



Ryc. 19. Wysoka Wieś, st. 9. Stratygrafia nawarstwień na obszarze Tarasu II – wykop 3 (oprac. R. Solecki)



Ryc. 20. Wysoka Wieś, st. 9. Stratygrafia nawarstwień na obszarze Tarasu II – wykop 3 (oprac. R. Solecki)



Ryc. 21. Wysoka Wieś, st. 9. Stratygrafia nawarstwień na obszarze Tarasu II – wykop 3 (oprac. R. Solecki)

Faza III

Procesy erozyjne w ograniczonej formie trwają na obszarze stanowiska, a zwłaszcza w jego południowej części do chwili obecnej. Jednak możliwe jest wydzielenie wyraźnego poziomu narastania gleby i jej bielicowania. W W1 proces ten reprezentuje luźny, sypki piasek 2 z dużą domieszką substancji organicznych i gleba bielicowa 13, w W2 są to odpowiednio luźny, sypki piasek 14 z dużą domieszką substancji organicznych i gleba bielicowa 15, a w W3 piaszczysta, lekko humusowa ziemia 22 i gleba bielicowa 25.

Współczesny poziom użytkowy stanowiska, który utworzył się zapewne w ciągu ostatnich 100 lat, wyznacza piaszczysta, humusowa ziemia 1.

ZNALEZISKA

RAFAŁ SOLECKI

Na materiał zabytkowy pozyskany w trakcie badań archeologicznych grodziska w Wysokiej Wsi, st. 9, składa się zbiór fragmentów ceramiki (tabela 2 i 3) (tabl. 1 i 2) pozyskany w trakcie badań wykopaliskowych w W1, W2 i W3 oraz zabytki metalowe (tabl. 3–5) znalezione w warstwie humusu w trakcie przygotowywania powierzchni stanowiska do geofizycznych badań nieinwazyjnych.

Ceramika

W trakcie badań pozyskano 337 fragmentów ceramiki. Ich stan zachowania można określić jako zadowalający. Przeważają co prawda skorupy małe, których największy wymiar mieści się w przedziale 1–4 cm (188 fragmentów; 55,8% zbioru), ale średnie, w rozmiarze 5–7 cm (137 fragmentów; 40,6% zbioru) i duże, w rozmiarze powyżej 8 cm (12 fragmentów; 3,6% zbioru) stanowią prawie połowę zbioru. Dość liczna próba małych skorup może wynikać z faktu, że aż 282 fragmenty (83,6% zbioru) pochodzą z warstw erozyjnych zakwalifikowanych do II i III Fazy funkcjonowania stanowiska.

Wszystkie fragmenty reprezentują generalnie jedną grupę technologiczno-surowcową. Biorąc pod uwagę to i fakt, że na stanowisku nie wydzielono innych faz użytkowych niż wczesnożelazna, materiał ceramiczny pochodzący z warstw kulturowych zostanie opracowany łącznie z tym pochodzącym z warstw erozyjnych.

Naczynia wykonane były z dość dobrze wyrobionej gliny z dodatkiem kruszonego granitu, piasku, rzadziej miki i być może szamotu. Powierzchnia zewnętrzna naczyni była najczęściej gładka, niewyściecana (160 fragmentów; 47,5% całego zbioru), rzadziej szorstka (91 fragmentów; 27% całego zbioru) lub intencjonalnie chropowacia (53 fragmenty; 15,7% całego zbioru) (tabl. 1:11). W 33 przypadkach (9,8% całego zbioru) nie udało się określić typu powierzchni. Na kilku fragmentach możliwe było zaobserwowanie, że górna powierzchnia naczynia była gładka a dolna chropowacia (tabl. 2:20, 28). Zdobienia zaobserwowano tylko na siedmiu fragmentach (2% całego zbioru). W trzech przypadkach zdobienie wystąpiło na krawędzi wylewu, a w czterech na powierzchni brzuśca.

W omawianym zbiorze zanotowano 39 fragmentów (11,6% całego zbioru) naczyni ceramicznych z zachowaną krawędzią wylewu. Niestety ze względu na ich w większości nieduży rozmiar tylko w kilku przypadkach możliwe było szacunkowe określenie formy. Najlepiej zachowany był nieduży kubek z dość wysoką szyjką, wyraźnym, wydętym brzuścem i taśmowatym uchem łączącym krawędź wylewu i brzusiec w miejscu jego największej wydętości (tabl. 1:5). Łucja Okulicz zakwalifikowała naczynia o takiej formie do typu VIII – kubki¹⁰, a Mirosław Hoffmann do grupy II typu VII – kubki¹¹. Średnica wylewu tego naczynia miała 9 cm. Brzusiec ozdobiony był dwoma pasami linii falistej, z czego każdy pas tworzyły trzy równoległe ryte linie (tabl. 1:6). Być może fragmentem podobnego naczynia jest ten na tabl. 1:4. Kubek o analogicznej formie znany jest z odległego o około 34 km osiedla obronnego w Starzykowie Małym, gm. Iława, datowanego na wczesny okres lateński¹² oraz z odległego o około 43 km w linii prostej osiedla obronnego w Starym Folwarku, gm. Kisielice, st. 1, datowanego na IV–III wiek p.n.e.¹³

Fragmenty o zachylonej do wnętrza krawędzi wylewu, bez wyraźnie wydzielonej szyjki mogą pochodzić od naczyni o formie jajowej (typ I i II wg klasyfikacji Ł. Okulicz¹⁴ i gru-

¹⁰ Ł. Okulicz 1970 : 32–36.

¹¹ Hoffmann 2000: 89–91, ryc. 41.

¹² Antoniewicz 1964: 133–138, Tablica XXXIV/f

¹³ Chojnacka-Banaszkiewicz 2017a: 157, 164–167; Chojnacka-Banaszkiewicz 2017b: 193.

¹⁴ Ł. Okulicz 1970: 24–25.

Tabela 2. Zestawienie ilościowe fragmentów ceramiki z grodziska w Wysokiej Wsi, st. 9 (oprac. R. Solecki)

Faza	Jednostka stratygraficzna	Liczba różnych naczyń	Liczba fragmentów naczyni	SEN (procent obwodu)	Ornamentowane	Wyświecane	Szerokie	Rodzaj powierzchni	Brzusze	Ucha	Części przydeline	Liczba fragmentów	SEN (procent obwodu)	Wkleiste	Lekko wkleiste	Płaskie	Fragmenty przepalone	Fragmenty o wyplukanej powierzchni
IA	4	9	4				9	8										
IA	9	3	2	1	6		2	1	2									
IA	11	2	2	1	3		1		2									
IA	20	3	1	1	15		2											
IA	35	7	6	2	13		5	1	4									
IB	3	27	15	3	16		24	8	6									
IB	33	4	4	1	8		2		1									
II	18	33	24	4	22		28	6	19									
III	1	34	20	3	34		27	4	13									
III	2	133	30	12	49		104	19	66									
III	14	27	20				27	15										
III	15	5	3				5		1									
III	hafta	50	40	11	48	3	33	14	23	8	5	1	4	26		4		
Suma	337	171	39	214	3	269	53	160	91	33	5	4	1	24	77	3	17	1

Tabela 3. Fragmentacja i erozja fragmentów ceramiki z grodziska w Wysokiej Wsi, st. 9 (oprac. R. Solecki)

Faza	Jedn. strat.	Kategorie wielkościowe (cm)						Stopień erozji			Suma
		1	2	3	4	5	6	7	8	9	
IA	4			4	1	2	2				9
IA	9				1	2				6	3
IA	11		2							3	3
IA	20	1					1			2	2
IA	35		1			3	3			3	3
IB	3		13	6	4	2	1	1		7	7
IB	33			1	2	1				25	2
II	18		9	13	6	4	1			4	4
III	1	2	11	5	4	1	9	2		31	2
III	2	1	22	37	29	28	9	5	1	101	25
III	14	1	15	5	4	2				25	2
III	15	1	1	3						5	5
III	halda		10	20	14	3	2	1		42	5
Suma		6	89	93	69	46	22	9	2	1	285
										42	10
											337

pa II typ IV wg klasyfikacji M. Hoffmanna¹⁵). Na podstawie nieco lepiej zachowanych fragmentów możliwe było odtworzenie trzech naczyń tego typu o średnicy wylewu wynoszącej 12 cm (tabl. 1:3), 14 cm (tabl. 2:17) i 21 cm (tabl. 1:1). Być może fragmentem podobnego naczynia jest ten na tabl. 2:12.

Fragmenty o silnie wychylonych na zewnątrz krawędziach należały zapewne do mis (tabl. 1:7, 12; tabl. 2:1–2) lub czarek (tabl. 1:2, 8, 13; tabl. 2:3–7). Misy o takiej formie to typ VI wg klasyfikacji Ł. Okulicz¹⁶ i grupa II typ VI wg klasyfikacji M. Hoffmanna¹⁷, a czarki to typ X wg klasyfikacji Ł. Okulicz¹⁸ i grupa II typ V wg klasyfikacji M. Hoffmanna¹⁹,

Dość charakterystyczne są także naczynia o profilu zbliżonym do esowatego (tabl. 2:18) występujące z zaszczypywaniem na krawędzi wylewu (tabl. 2:19–21). Grupę naczyń o takim kształcie wylewu M. Hoffmann zaliczył do grupy II typu I odmiany 3 i 4, które datuje na okres La Tène A-B oraz młodszy okres przedrzymski²⁰.

Część fragmentów wylewów (tabl. 1:9–10, 14; tabl. 2:8–11, 13–16) była zachowana w zbyt niewielkim stopniu, by możliwe było ich precyzyjne scharakteryzowanie.

W omawianym zbiorze znajduje się 269 fragmentów brzuśców (79,8% całego zbioru). Tylko na pięciu z nich zanotowano ślady zdobień. Dwa fragmenty znajdowały się na opisanym już kubku – dwa pasy linii falistej, każdy składający się z trzech linii rytych, wykonanych najpewniej grzebykiem, pokrywały górną część brzuśca (tabl. 1:5–6). O ile, jak już to zostało wspomniane, forma naczynia jest dość częsta o tyle zdobienie już nie. Pozostałe fragmenty pokryte były motywami zdecydowanie charakterystycznymi dla kultury kurhanów zachodniobałtyjskich. Dwa fragmenty zdobione były pojedynczym pasem z pionowo ułożonych załuskiwań wykonanych paznokciem. Pierwszy z nich znajdował się w górnej partii brzuśca i oddzielał powierzchnię gładką powyżej, od chropowatowej poniżej (tabl. 2:28), drugi był płystszy i znajdował się zapewne na poziomie największej wydętości brzuśca (tabl. 1:15). Na ostatnim frag-

mencie zanotowano dwie ryte, równoległe względem siebie kreski (tabl. 2:27). Ł. Okulicz zauważa, że ornamentyka wykorzystująca grupy kresek w różnym układzie upowszechnia się w wydzielonej przez badaczkę grupie II ceramiki²¹.

Fragmenty uch zanotowano w liczbie sześciu. Dwa z nich (tabl. 1:5 i 23:22) były częściami większych fragmentów i w tabeli 2 zakwalifikowano je do grupy brzuśców. Samodzielnego fragmentu ucha wydzielono cztery (1,2% całego zbioru) (tabl. 2:23–26). W każdym przypadku są to ucha w formie taśmy szerokości w przedziale 2,1–3,4 cm.

Części przydenne lub dna wystąpiły w liczbie 25 (7,4% całego zbioru). Tylko pojedyncze pozwoliły na zaobserwowanie charakterystycznych cech. Możliwe było wydzielenie dwóch typów. Pierwszy to dna słabo wyodrębnione, płynnie przechodzące w ścianę naczynia (tabl. 1:16–18) o zanotowanej średnicy 7, 8 i 12 cm. Drugi to dna czytelnie wyodrębnione (tabl. 1:19–20) o zanotowanej średnicy 15 cm. W przypadku 20 fragmentów możliwe było stwierdzenie formy dna – w 17 przypadkach dno było płaskie, a w trzech przypadkach lekko wklęsłe. Forma lekko wklęsła notowana była tylko w dnach czytelnie wyodrębnionych.

Zaprezentowany i omówiony zbiór ceramiki powiela formy znane z pobliskich stanowisk ludności kultury kurhanów zachodniobałtyjskich, które datowane są na okres La Tène A-B i częściowo na młodszy okres przedrzymski.

Zabytki wydzielone

Liczną grupę tworzą zabytki metalowe lub ich fragmenty, których zadokumentowano 16. Tylko jeden znaleziono w granicach wykopu badawczego. Pozostałe pozyskano z warstwy humusu w trakcie przygotowywania powierzchni stanowiska do badań wykopaliskowych i nieinwazyjnych badań geofizycznych. Lokalizację zabytków przedstawia ryc. 22.

W zbiorze tym znajdują się dwa zabytki z brązu. Pierwszy z nich to fragment długości 3 cm prawdopodobnie naszyjnika (tabl. 3:1) wykonanego z taśmy brązowej szerokości około 2 cm i zdobionego grupami skośnych względem siebie kresek. Jedna krawędź taśmy jest prosta, a druga lekko falista. Wzdłuż pofałowanej krawędzi poprowadzone są dwa, równoległe względem siebie żlobki szero-

¹⁵ Hoffmann 2000: 89–90, ryc. 38.

¹⁶ Ł. Okulicz 1970: 25.

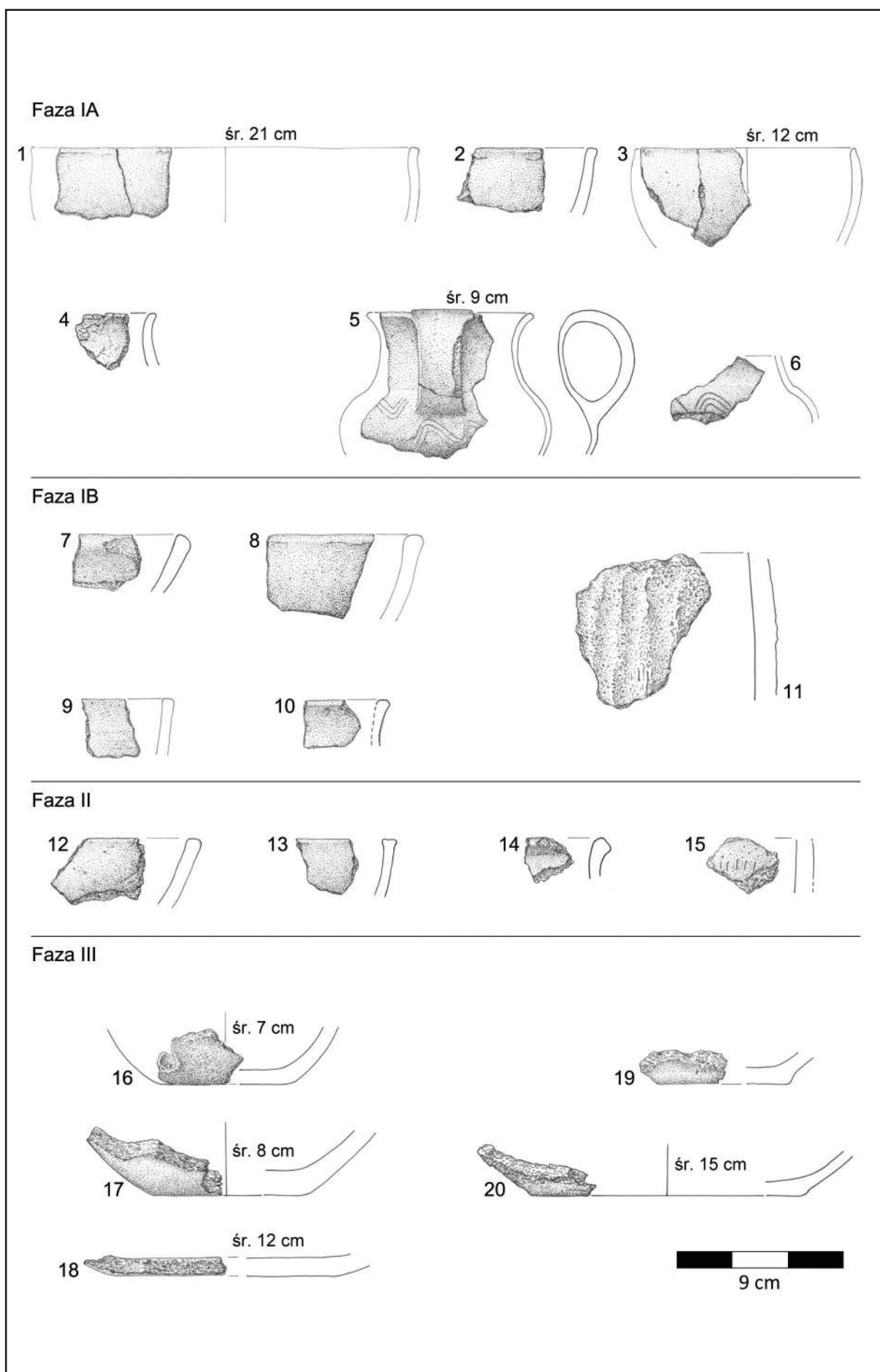
¹⁷ Hoffmann 2000: 89–91, ryc. 40.

¹⁸ Ł. Okulicz 1970: 33–39.

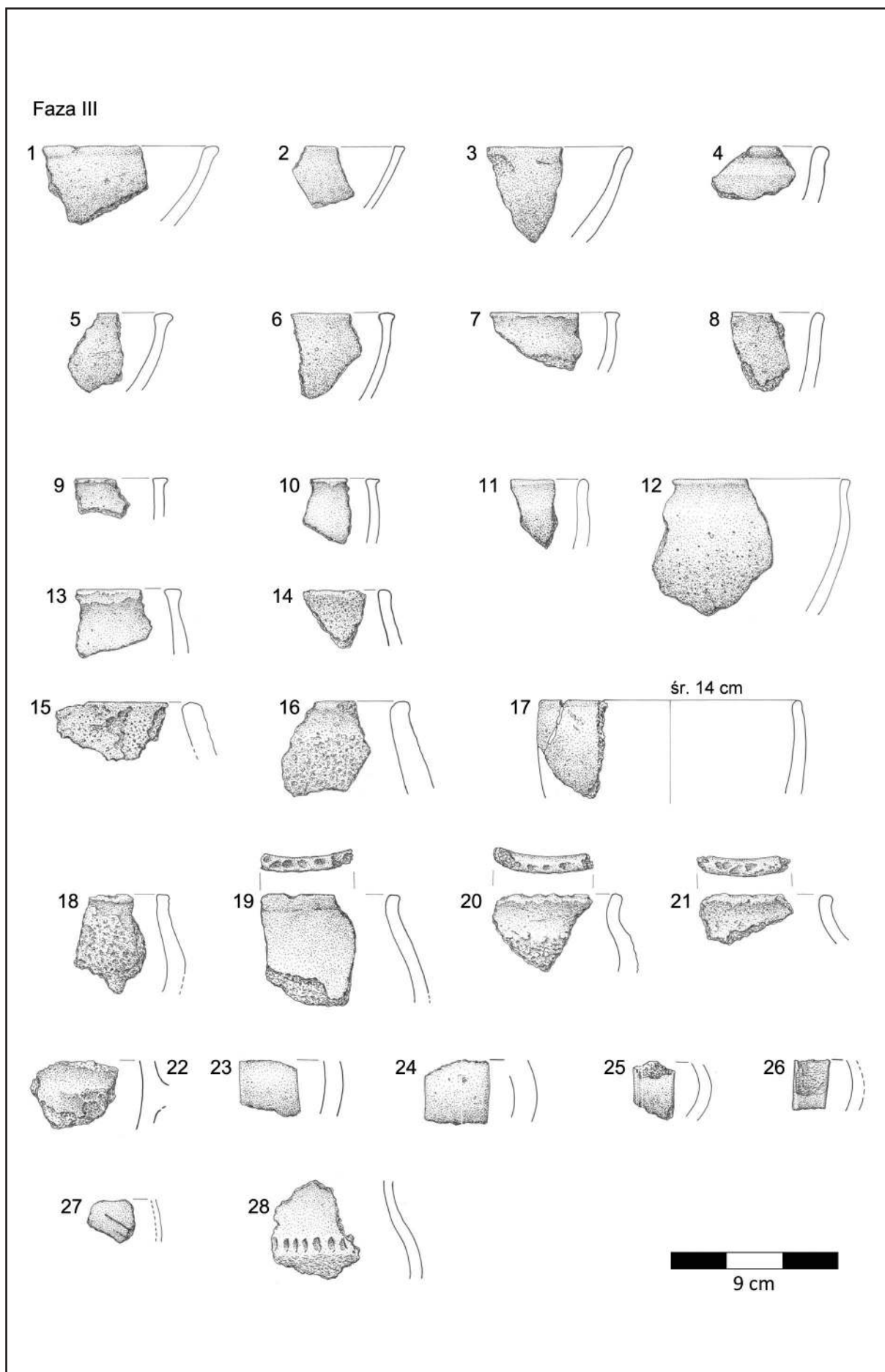
¹⁹ Hoffmann 2000: 89–90, ryc. 39.

²⁰ Hoffmann 2000: 89, ryc. 35.

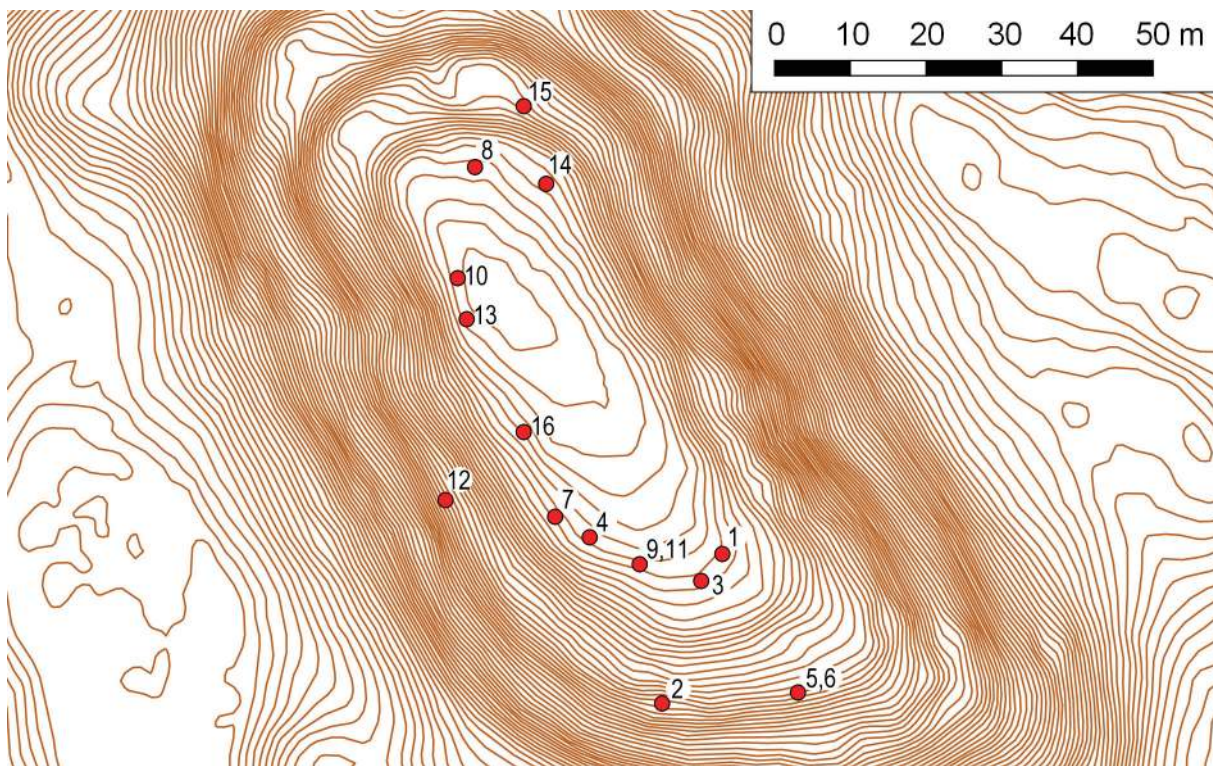
²¹ Ł. Okulicz 1970: 31–39.



Tablica 1. Wysoka Wieś, st. 9. Ceramika z wczesnej epoki żelaza (rys. B. Karch)



Tablica 2. Wysoka Wieś, st. 9. Ceramika z wczesnej epoki żelaza (rys. B. Karch)



Ryc. 22. Wysoka Wieś, st. 9. Planigrafia zabytków pozyskanych z badań powierzchniowych i wykopaliskowych: 1) dłutko (tabl. 3:4), 2) ozdoba (tabl. 3:1), 3) rylec (tabl. 3:5), 4) haczyk (tabl. 5:2), 5) sierp (tabl. 4:2), 6) sierp (tabl. 4:3), 7) rylec (tabl. 3:7), 8) haczyk (tabl. 5:3), 9) żużel (tabl. 5:5), 10) sztabka (tabl. 3:1), 11) dłuto (tabl. 3:3), 12) sierp (tabl. 4:1), 13) rylec (tabl. 3:8), 14) żużel (tabl. 5:4), 15) nieokreślony przedmiot (tabl. 3:6), 16) haczyk (tabl. 5:1) (oprac. J. Baszyński)

kości do 1,5 mm. Najbliższą analogią są naszyjniki kołnierzowe ze skarbu znalezionego przy wczesnożelaznych osiedlu obronnym w Kretowinach, gm. Morąg²².

Drugi zabytek brązowy to niewielka, regularna sztabka (tabl. 3:2) o wymiarach $6,1 \times 1 \times 0,5$ cm. Był może jest to przetopiony surowiec, wykorzystywany jako baza przy dalszych procesach metalurgicznych. Brązową sztabkę o zbliżonym kształcie i wymiarach znaleziono także na osiedlu obronnym kultury lużyckiej w Kamieńcu, gm. Zławieś Wielka²³.

Do niezbyt często notowanych zabytków na tego typu stanowiskach należą sierpy. W Wysokiej Wsi, st. 9, znaleziono trzy takie zabytki wykonane z żelaza i zachowane niemal w całości. Wszystkie reprezentują typ o łukowej formie ostrza z odgiętym kolcem, ale można je rozdzielić na dwie kategorie wielkościowe. Jeden sierp był wyraźnie większy (tabl. 4:1), o długości ostrza 18 cm, szerokości ostrza do 3 cm i grubości ostrza przy krawędzi tylca do 0,5 cm. Dwa pozostałe były mniejsze. Pierwszy z nich (tabl. 4:2) miał długość ostrza

11,5 cm, szerokość ostrza do 2,4 cm i grubości ostrza przy krawędzi tylca do 0,5 cm, a drugi (tabl. 4:3) miał długość ostrza 9,5 cm, szerokość ostrza do 1,8 cm i grubości ostrza przy krawędzi tylca do 0,5 cm. Cztery sierpy żelazne tego samego typu, o długości ostrza w przedziale 11–15 cm, znane są z Brudzyna, gm. Janowiec Wielkopolski, gdzie wchodziły w skład depozytu łączonego z kulturą lużycką. Autorzy datowali te zabytki na okres halsztacki C–D²⁴. Poszukując analogii na obszarze bliższym dla omawianego stanowiska, wymienić należy sierp znaleziony na wspomnianym już, wczesnożelaznym osiedlu obronnym w Kretowinach²⁵.

Dwa zabytki żelazne można interpretować jako dłuta. Większe z nich (tabl. 3:3) miało długość 14,4 cm. Z jednej strony zakończone było ostrzem szerokości 1 cm, z drugiej strony znajdowała się tuleja do osadzenia trzonka, średnicy 2 cm i głębokości 5,6 cm. Krótsze (tabl. 3:4) miało długość 8 cm, z jednej strony zakończone było ostrzem szerokości 1,2 cm, a z drugiej płaską główką, średnicy 1–1,3 cm.

²² J. Okulicz 1973: 283–284.

²³ Zielonka 1955: 162, tabl. XXII:25.

²⁴ Gackowski i Rosołowski 2020a: 80–81; 2020b: 85–86.

²⁵ Antoniewicz 1954: 342.



Tablica 3. Wysoka Wieś, st. 9. Zabytki wydzielone (fot. R. Solecki)



Tablica 4. Wysoka Wieś, st. 9. Zabytki wydzielone (fot. R. Solecki)



Tablica 5. Wysoka Wieś, st. 9. Zabytki wydzielone (fot. R. Solecki)

Być może do tej grupy można także zaliczyć zgiętą i złamaną żelazną sztabkę (tabl. 3:6) długości 4,7 cm i szerokości do 1,3 cm. Zachowany koniec miał formę zaokrąglonego, tępego ostrza szerokości 0,9 cm. Analogią dla egzemplarza z tulejką może być dłuto znalezione na wczesnożelaznym osiedlu w Rembielinie, gm. Chorzele, chociaż tam ostrze było zdecydowanie krótsze²⁶. Adam Waluś datuje długto z Rembielina na okres lateński C-D²⁷. Analogiczne długto z tuleją znaleziono także na obszarze Małopolski. Tam autorzy datują je, porównując do zabytków z dorzecza środkowej Odry i Warty, opracowanych przez Marka Gedla, na okres halsztacki C-D²⁸. Być może tak należałoby datować także zabytek z Rembielina, gdyż w trakcie badań odnaleziono tam również liczne zabytki, o metryce wcześniejszej – z przełomu okresu halsztackiego i lateńskiego²⁹.

Kolejną grupę tworzą trzy zabytki żelazne, które można scharakteryzować, jako szpila, punca lub szydło. Mają one formę nieregularnie kwadratowego w przekroju szpikulca, o boku szerokości 0,6–0,8 cm i długości odpowiednio 5,3 cm (tabl. 3: 5), 9,2 cm (tabl. 3:7) i 12,5 cm (tabl. 3:8). Ze względu na ich fragmentarny stan zachowania oraz niediagnostyczną formę nie jest możliwe jednoznaczne określenie funkcji oraz chronologii zabytków.

Grupę tworzą także trzy żelazne haczyki do łowienia ryb. Wykonane były z nieregularnie kwadratowego w przekroju drutu o boku 0,2–0,4 cm. Pierwszy haczyk (tabl. 5:1) zachowany jest w całości – zaopatrzony jest w oczko do nawlekania oraz lekko zaokrąglone ostrze. Drugi (tabl. 5:2) ma oczko, ale jego ostrze jest ułamane. Trzeci (tabl. 5:3) ma odłamany koniec z oczkiem, ale zachował się ostrze. Żelazne haczyki o zbliżonej formie znane są z wczesnożelaznego osiedla nawiadnego w Pleśnie, gm. Bisztynek³⁰, z osiedla w Jeziorku, gm. Ryn³¹.

Ostatnia grupa to dwa duże fragmenty żużla. Pierwszy (tabl. 5:4) ma średnicę 8–10 cm,

drugi (tabl. 5:5) ma średnicę 5–10 cm. Zwywkszy na rozmiar grud, najpewniej nie są one odpadami produkcyjnymi a wytopionym surowcem, który mógłby być bazą w dalszych procesach metalurgicznych. Jak zauważył Adam Waluś, ślady miejscowej produkcji żelaznej, w okresie wczesnej epoki żelaza, są nikłe i zanotowano je zasadniczo tylko na dwóch stanowiskach: na obszarze wspomnianego wyżej osiedla w Pleśnie i na osiedlu obronnym w Łęczu, gm. Tolkmicko. Na pierwszym ze stanowisk natrafiono na skupisko surowca żelaznego, a na drugim na bryłki żużla³².

CHRONOLOGIA I DZIEJE GRODZISKA W WYSOKIEJ WSI, ST. 9

RAFAŁ SOLECKI

Grodzisko w Wysokiej Wsi, st. 9 było do niedawna nieznane, a do 2019 roku nie prowadzono na nim żadnych badań archeologicznych. Pod względem formy terenowej – centralny majdan zajmujący szczyt wyniesienia i otoczony co najmniej trzema koncentrycznymi liniami wałów i fos – stanowisko można porównać do pobliskich, wczesnożelaznych osiedli obronnych w Wysokiej Wsi, gm. Ostróda, st. 7³³ i 8³⁴, na wyspie Jeziora Radomno, gm. Iława³⁵, lub w Starym Folwarku, gm. Kisielice, st. 1³⁶.

Na podstawie przeprowadzonej analizy ceramiki można wnioskować, że stanowisko było użytkowane w okresie od La Tène A-B, aż po młodszy okres przedrzymski. Zbliżoną chronologię, bo obejmującą okres od schyłku okresu Hallstatt D, po La Tène A-B, wskazują zabytki wydzielone.

Dla określenia chronologii stanowiska wykonano dodatkowo badania radiowęglowe czterech prób. Pierwsza pochodziła z prawdopodobnie zwęglonego pala, którego ślady odnotowano w W3, w warstwie 35 z fazy IA. Wynik analizy dał przedział lat 384–204 p.n.e. z prawdopodobieństwem 95,4%³⁷. Drugą po-

³² Waluś 2014: 107.

³³ Solecki, Welc i Nowacki 2021: 91–104; Solecki, Welc i Nowacki 2019: 196–202.

³⁴ Rabiega *et al.* 2021: 71–90.

³⁵ Rabiega *et al.* 2021: 43–69; Welc *et al.* 2018: 55–71; Grążawski 2013: 125–131.

³⁶ Chojnacka-Banaszkiewicz i Wach 2017: 109–110.

³⁷ Analiza przeprowadzona w Poznańskim Laboratorium Radiowęglowym, próba nr Poz-118399.

²⁶ Hoffmann 1999: 141, 339.

²⁷ Waluś 1992: 93–101; Waluś 2014: 87, 132–133, tabl. XXXVI:4.

²⁸ Dzięgielewski, Szczerba i Chudzińska 2006: 328–329.

²⁹ Waluś 2014: 132–133.

³⁰ Hoffmann 1999: 126, 272.

³¹ Hoffmann 1999: 61, 277.

brano z warstwy 16 w W1, która tworzyła nasyp umocnienia z fazy IA. Wynik analizy dał przedział lat 356–61 p.n.e. z prawdopodobieństwem 95,4%³⁸. Trzecia to węgiel z warstwy 20 w W2, interpretowanej jako poziom użytkowy z fazy IA. Wynik analizy dał przedział lat 395–206 p.n.e. z prawdopodobieństwem 95,4%³⁹. Ostatnią pobrano z warstwy 29 w W3, która tworzyła poziom użytkowy wiązany z Fazą ID. Wynik analizy dał przedział lat 388–204 p.n.e. z prawdopodobieństwem 95,4%⁴⁰. Wszystkie cztery próbki, pochodzące z różnych części stanowiska (majdan, Taras I i Taras II) dają zbliżony horyzont chronologiczny, który zamyka się generalnie w IV–III wieku p.n.e.

³⁸ Analiza przeprowadzona w Poznańskim Laboratorium Radiowęglowym, próba nr Poz-121175.

³⁹ Analiza przeprowadzona w Poznańskim Laboratorium Radiowęglowym, próba nr Poz-121177.

⁴⁰ Analiza przeprowadzona w Poznańskim Laboratorium Radiowęglowym, próba nr Poz-118433.

Omawiane osiedle obronne wyróżnia się spomiędzy podobnych do niego, a wspomnianych wyżej stanowisk, skalą założenia. O ile forma terenowa większość osiedli z tego okresu zachowana jest, co najwyżej, w zadowalającym stopniu, to w przypadku Wysokiej Wsi, st. 9, jest ona bardzo czytelna. Może to wynikać z faktu, że w swoich czasach stanowisko to także należało do wyjątkowych. Dwa najbliższe, podobne stanowiska – w Wysokiej Wsi, st. 7 i 8 – ulokowano na niezbyt wyeksponowanych wyniesieniach i otoczono umocnieniami o mniejszym rozmiarze. Na ich tle, silnie wycięte tarasy analizowanego osiedla zdecydowanie się wyróżniają. O specjalnym charakterze stanowiska może świadczyć także asortyment odkrytych zabytków, zwłaszcz metalowych. Zważywszy na fakt, że metodyka badań wszystkich trzech stanowisk była taka sama, to omawiane wydaje się być najbogatsze z nich. Może to oznaczać, że pełniło ono funkcję ośrodka centralnego dla ludności żyjącej ówcześnie na tym obszarze.

Winiec, st. 2

Gmina Miłomły

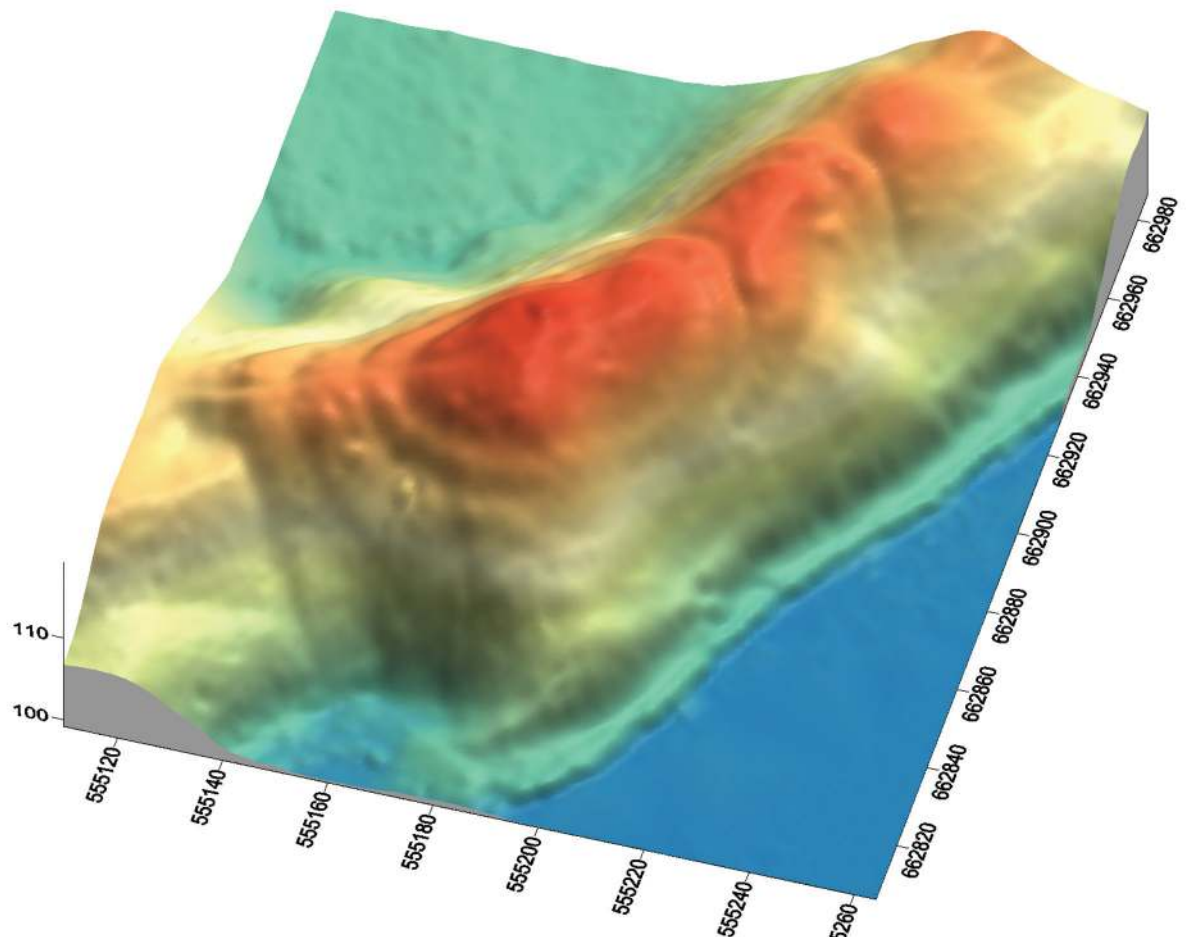
Powiat ostródzki

AZP 23-55/29

Współrzędne geograficzne:

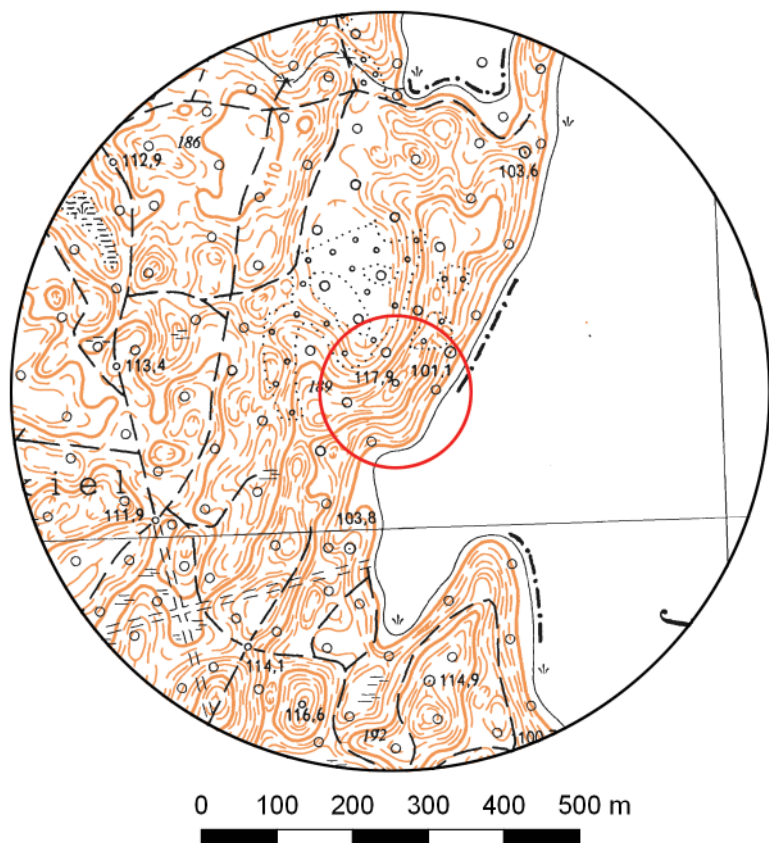
N 53° 49' 39''

E 19° 50' 19''





Ryc. 1. Grodzisko w Wińcu, st. 2 na mapie w skali 1:25 000 (na podstawie materiałów GUGiK, oprac. R. Solecki)



Ryc. 2. Grodzisko w Wińcu, st. 2 na mapie w skali 1:10 000 (na podstawie materiałów GUGiK, oprac. R. Solecki)

POŁOŻENIE GRODZISKA I JEGO FORMA

RAFAŁ SOLECKI

Grodzisko w Wińcu (niem. *Winkenhagen*) (ryc. 1 i 2) nie było zewidencjonowane w ramach AZP do 2017 roku. Wtedy to, przy okazji badań weryfikacyjnych w miejscu odkrycia skarbu zabytków brązowych, dokonano także pomiarów umocnień założenia obronnego¹.

Analiza archiwalnych źródeł kartograficznych wskazuje jednak, że miejsce to było w przeszłości znane i wykorzystywane. Na mapie *Karte des Deutschen Reiches 1:100 000* z około 1893 roku, widoczny jest w miejscu grodziska punkt opisany, jako *Winkel*, czyli „zakątek” (ryc. 3:A). Na nieco młodszej mapie z serii *Meßtischblatt Topographische Karte 1:25 000*, z 1930 roku, w tym samym miejscu znajduje się oznaczenie *Lusthaus* (ryc. 3:B), co w dosłownym tłumaczeniu oznacza „dom przyjemności”. Założenia tego typu to najczęściej pawilony ulokowane w otoczeniu natury pozwalające na relaks i wypoczynek podczas np. spaceru bądź polowania.

Warto także odnotować, że obecność dwóch grodzisk w tej okolicy odnotował Emil Hollack w swej pracy z 1908 roku. Pod hasłem *Bärtингsee* znajduje się opis „*Burgwall im große Winkel*”². Według mapy z serii *Meßtischblatt z 1930 roku* *große Winkel* to cały pas

¹ Solecki 2017.

² Hollack 1908: 10.

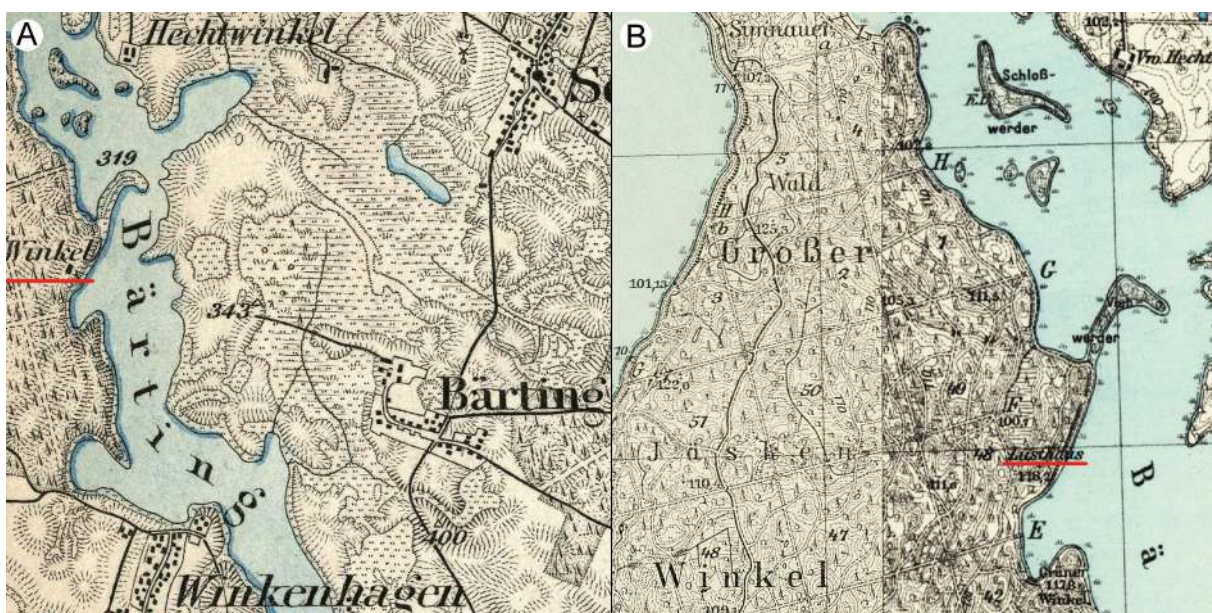
lądu pomiędzy Jeziarami Bartężek na wschódzie i Ruda Woda na zachodzie. Na obszarze tym wydzielonych zostało co najmniej kilka obiektów, które interpretowane są jako grodziska. Pierwsze, to umocnienia na wyspie, na Jeziorze Bartężek³. Drugie to stanowisko zewidencjonowane, jako AZP 22-55/1. Znajduje się nad brzegiem Jeziora Ruda Woda, przy północnej krawędzi kanału łączącego Jeziora Ruda Woda i Bartężek. Posiada ono nazwę miejscowości „*Zamek*” i wpisane jest do rejestru zabytków, jako gródek średniowieczny⁴. Ostatnie, położone jest tuż przy północnym brzegu Jeziora Bartężek. Posiada nazwę lokalną *Alter Wachttur, Schanzenberg i Klebberg*, i interpretowane było, jako krzyżacka wieża strażnicza, a ostatnie badania wykazały, że pierwotnie znajdował się tam także kurhan⁵. Każde z wymienionych miejsc, może poza grodziskiem na jeziorze, wpisuje się w charakterystykę podaną przez E. Hollacka i trudno jednoznacznie stwierdzić, czy omawiane w tym rozdziale stanowisko jest tym, które oznaczył badacz na początku XX wieku.

Stanowisko położone jest w lesie liściastym z dominującymi gatunkami buku, lipy i brzozy, przy zachodnim brzegu Jeziora Bartężek. Zajmuje wysokie wyniesienie, które

³ Szczepański 2013: 236–237.

⁴ Kobyliński et al. 2016: 283–284.

⁵ Hoffmann i Mackiewicz 2004: 24; Kobyliński et al. 2016: 298; informacja na karcie stanowiska w archiwum Muzeum Warmii i Mazur w Olsztynie.



Ryc. 3. Grodzisko w Wińcu, st. 2 na: A) mapie *Karte des Deutschen Reiches 1:100 000*, karta Mohrungen (133) z około 1893 roku, B) mapie *Topographische Karte 1:25 000, Meßtischblatt*, karta Sonnenborn (2185), z 1930 roku i karta Simnau (2186), z 1930 roku (źródło: [www.igrek.amzp.pl](http://igrek.amzp.pl)).

go najwyższy punkt osiąga 119,35 m n.p.m., będące częścią dłuższego garbu ułożonego po osi północ-południe. Stoki garbu są silnie wyeksponowane na wschód, ku wodom jeziora i na zachód, obecnie ku bagnisku, które w przeszłości było zapewne zatoką jeziora.

Majdan jest owalny o średnicach około 25–47 m i powierzchni około 8,7 ara (ryc. 4). Poniżej majdanu czytelne są trzy tarasy, które w dalszej części opracowania będą opisywane, jako Taras I, Taras II i Taras III. Obwód Tarasu I wynosi około 175 m, Tarasu II około 255 m, a Tarasu III około 315 m. Powierzchnia stanowiska liczona po linii największego obwodu wynosi około 58 arów. Od strony północnej czytelne są niewielkie nasypy wałów

(ryc. 5), które umacniały wszystkie trzy tarasy. Brak czytelnych wałów na pozostałych odcinkach tarasów nie oznacza, że ich w przeszłości nie było. Średnie nachylenie stoku w kierunku północnym wynosi około 2–4° i procesy erozyjne działały tam w najmniej szym stopniu. Nabylenie w kierunku południowym wynosi już około 6–7°, a w kierunku wschodnim i zachodnim wzrasta do około 18–23°, a miejscami nawet 27° (ryc. 6 i 7).

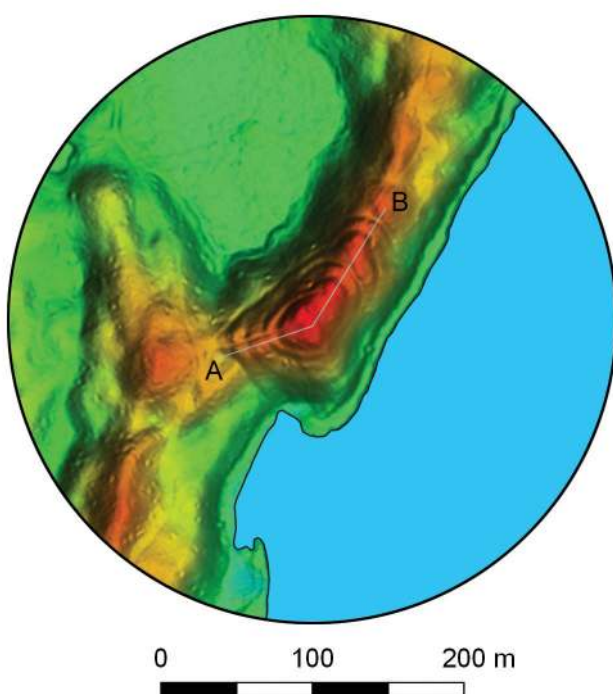
W południowej części majdanu widoczne są na powierzchni relikty fundamentu kamiennego – pozostałości wspomnianego wcześniej *Lusthaus*. Wokół nich rozrzucony jest gruz ceglany.



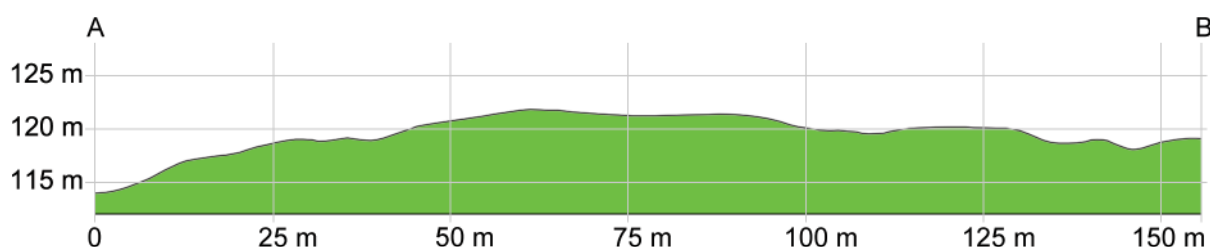
Ryc. 4. Winiec, st. 2. Widok w kierunku północnym, na majdan i Taras I (fot. R. Solecki).



Ryc. 5. Winiec, st. 2. Widok w kierunku północnym, na majdan i Taras I (fot. R. Solecki).



Ryc. 6. Grodzisko w Wińcu, st. 2 na zobrazowaniu ALS (na podstawie materiałów GUGiK, oprac. R. Solecki)



Ryc. 7. Przekrój grodziska w Wińcu, st. 2 uzyskany z danych ALS (na podstawie materiałów GUGiK, oprac. R. Solecki)

ŚRODOWISKO FIZYCZNOGEOGRAFICZNE ANNA LEJZEROWICZ

Według podziału fizycznogeograficznego Polski Jerzego Kondrackiego, grodzisko w Wińcu, st. 2, znajdowało się w mezoregionie Pojezierze Iławskie⁶, a według nowej klasyfikacji znajduje się w obrębie Pojezierza Dzierzgońsko-Morąskiego⁷.

Teren badań znajduje się na obszarze wysoczyzny morenowej falistej, której towarzyszą moreny martwego lodu, kemy i formy akumulacji szczelinowej, zorientowane wzduż kierunków SW-NE i E-W. Powstały one wzduż linii odpływu wód roztopowych w szczelinach i rozpadlinach istniejących w martwym i stagnującym lodzie. Na jednej z takich form szczelinowych, o rozciągłości

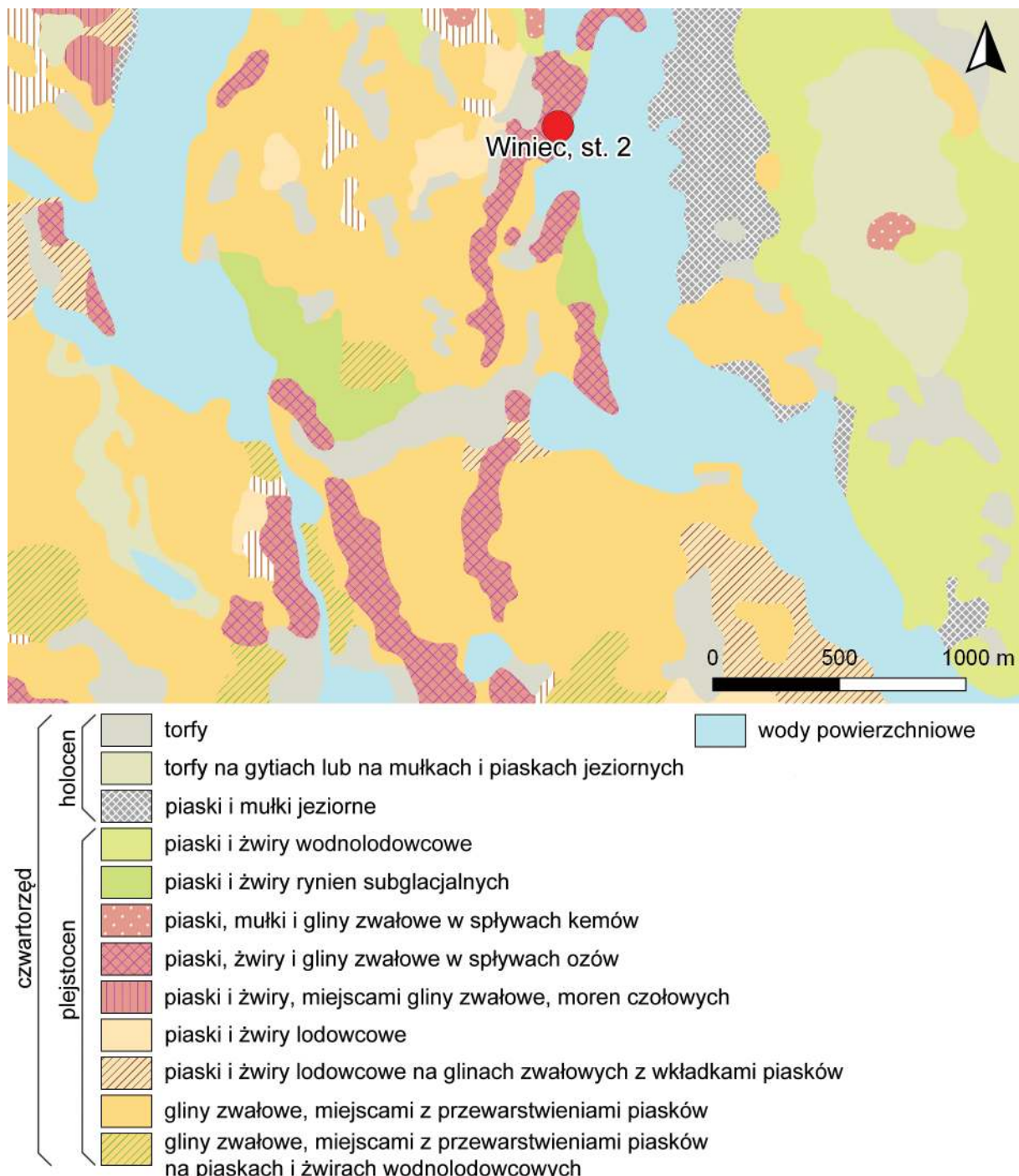
południkowej, zlokalizowane jest stanowisko. Obecne w pobliżu Jeziora Bartążek moreny czołowe powstawały podczas krótkotrwałych postojów lądolodu podczas jego退却 (recesji) w fazie pomorskiej stadiału górnego zlodowacenia Wisły. W sąsiedztwie jeziora Ruda Woda (na zachód od stanowiska) oraz na wschód od Jeziora Bartążek znaleźć można równiny sandrowe i wodnolodowcowe. Powstanie równin sandrowych jest związane z oddziaływaniami lokalnych systemów odpływu wód roztopowych⁸.

Samo stanowisko położone jest w obrębie formy szczelinowej (ozu) znajdującego się wzduż rynny Jeziora Bartążek, a wykształconego na powierzchni wysoczyzny morenowej falistej, zbudowanej z gliny zwałowej miejscowościami z przewarstwieniami piasków. Według Szczegółowej Mapy Geologicznej Polski w skali 1:50 000 (arkusz Morąg) oz zbudowany jest z piasków, żwirów i glin zwałowych (ryc. 8).

⁶ Kondracki 2002: 46, 91–92.

⁷ Solon *et al.* 2018: mapa.

⁸ Pikies 2014: 9–11.



Ryc. 8. Wycinek arkusza Szczegółowej Mapy Geologicznej Polski z zaznaczonym stanowiskiem w Wińcu, st. 2
(źródło: www.geolog.pgi.gov.pl, oprac. A. Lejzerowicz)

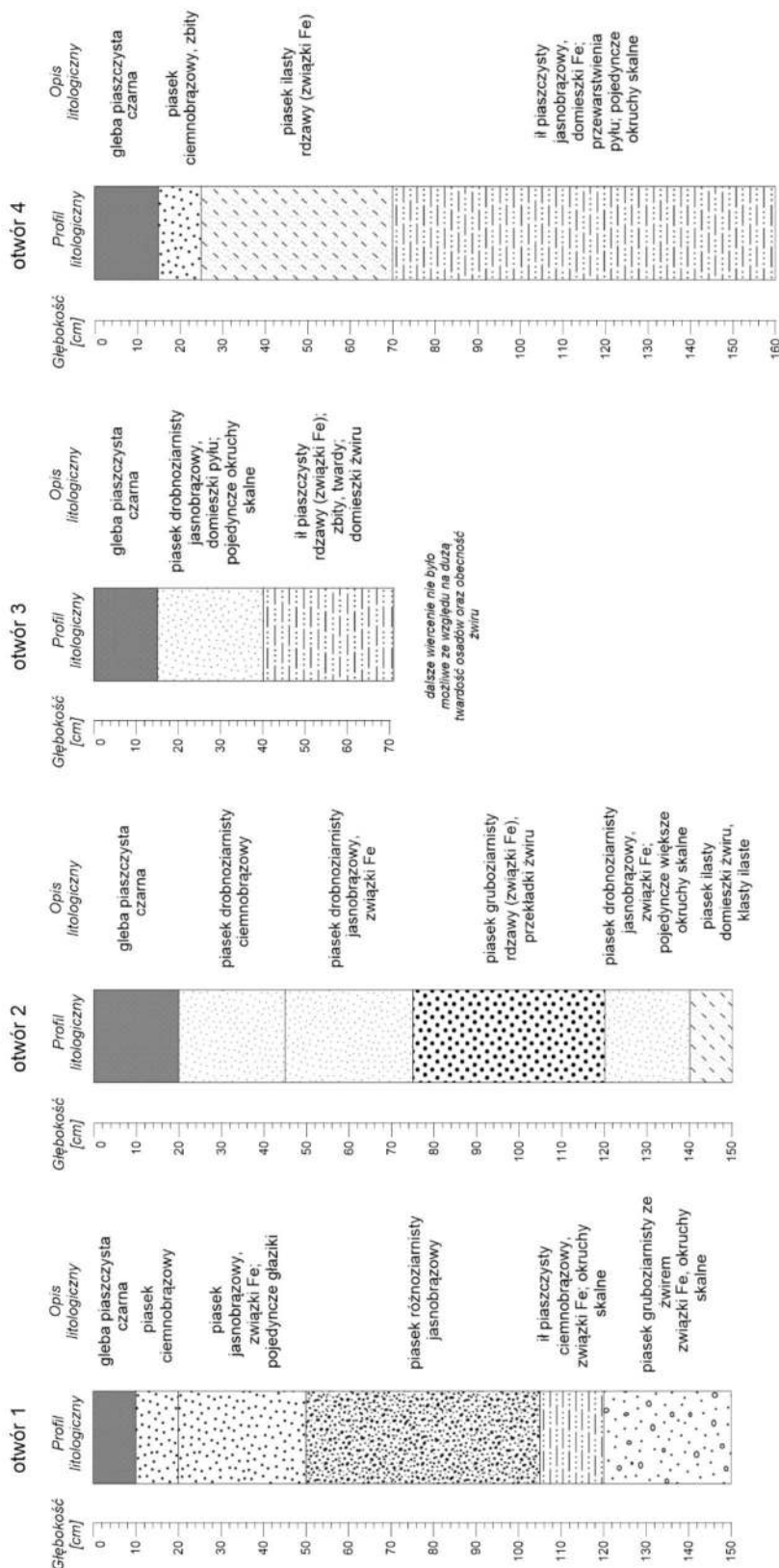
Od zachodu występuje niewielkie obniżenie terenu zajęte przez równinę torfową w zagłębiu bezodpływowym powstały podczas deglacacji lodowca. Wyraźne wyniesienie w terenie, na którego szczycie znajduje się stanowisko, zbudowane jest z osadów piaszczystych i żwirowych, które powstały jako forma akumulacji szczelinowej o przebiegu południkowym⁹.

Na obszarze stanowiska wykonano 4 wiercenia świdrem geologicznym. Na ich podsta-

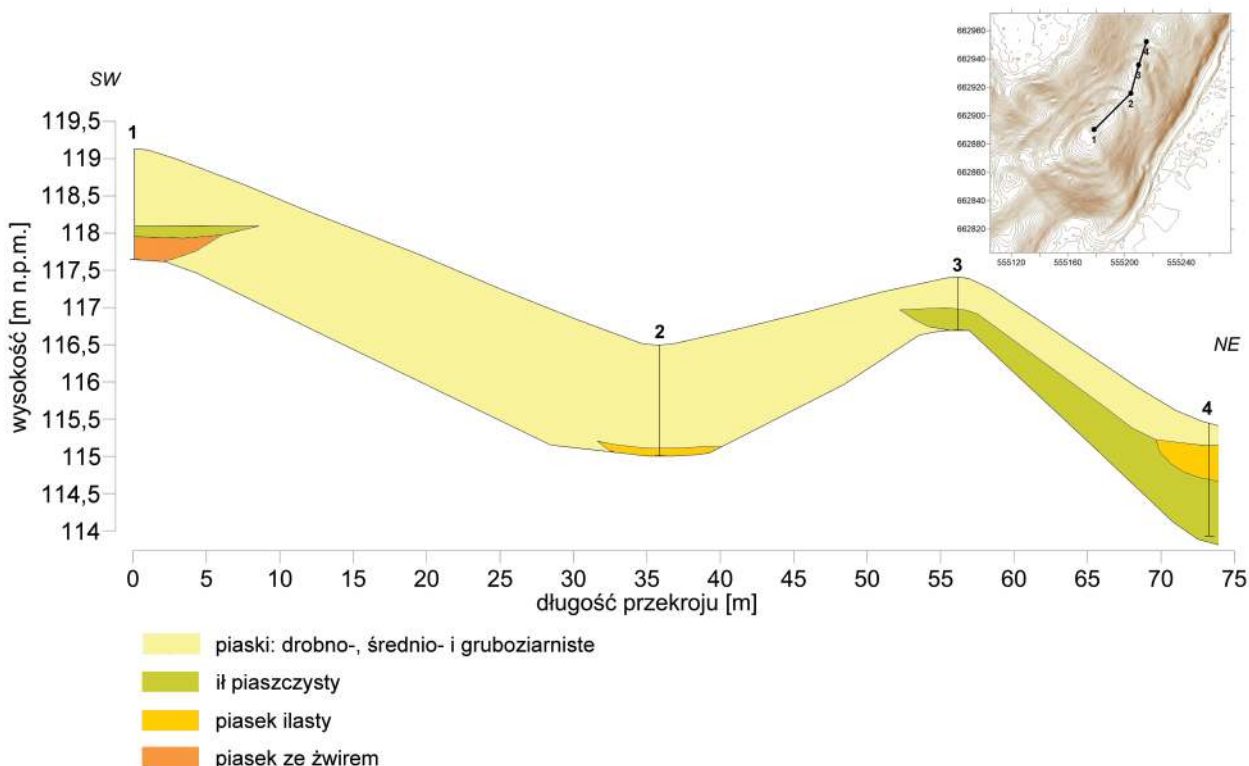
wie (ryc. 9) stworzony został schematyczny przekrój geologiczny przez stanowisko Wińiec (ryc. 10). W wiercenach zaobserwowało występowanie osadów piaszczystych (piaski: drobno- i gruboziarniste, różnoziarniste, ilaste), żwirowych oraz ilów piaszczystych. Po zachodniej części wznesienia, na obszarze niewielkiego obniżenia występują osady pochodzenia organicznego – torfy. Szczegółowa litologia jest widoczna oraz została opisana na poszczególnych profilach wierceń (ryc. 9).

Według Mapy Geologicznej Polski w skali 1:500 000 stanowisko znajduje się na obsza-

⁹ Pikies 2014: 9–11.



Ryc. 9. Profile litologiczne odwiertów wykonanych na obszarze grodziska w Wińcu, st. 2 (oprac. A. Lejzerowicz)



Ryc. 10. Schematyczny przekrój geologiczny przez grodzisko w Wińcu, st. 2 (oprac. A. Lejzerowicz)

rze występowania glin zwałowych, ich zwierzelin oraz piasków i żywirów lodowcowych z okresu zlodowacenia północnopolskiego. Według Szczegółowej Mapy Geologicznej Polski w skali 1:50 000 na obszarze tym występują piaski, żywiry i gliny zwałowe w spływach ozów. Wykonane wiercenia potwierdzają obecność osadów piaszczystych i żywirowych na badanym stanowisku, powstających w formie szczelinowej podczas ostatniego zlodowacenia. Lokalnie osady te zwierają związki żelaza, co nadaje im rdzawe zabarwienie. W niektórych warstwach zaobserwować można również okruchy skalne, czy prze-warstwienia pyłu lub iłu. Nawiercone osady charakteryzują się stosunkowo dużą granulometrią, co bardzo utrudniało wiercenie i uniemożliwiło dowierczenie się do zaplanowanej głębokości.

BADANIA ARCHEOLOGICZNE

RAFAŁ SOLECKI

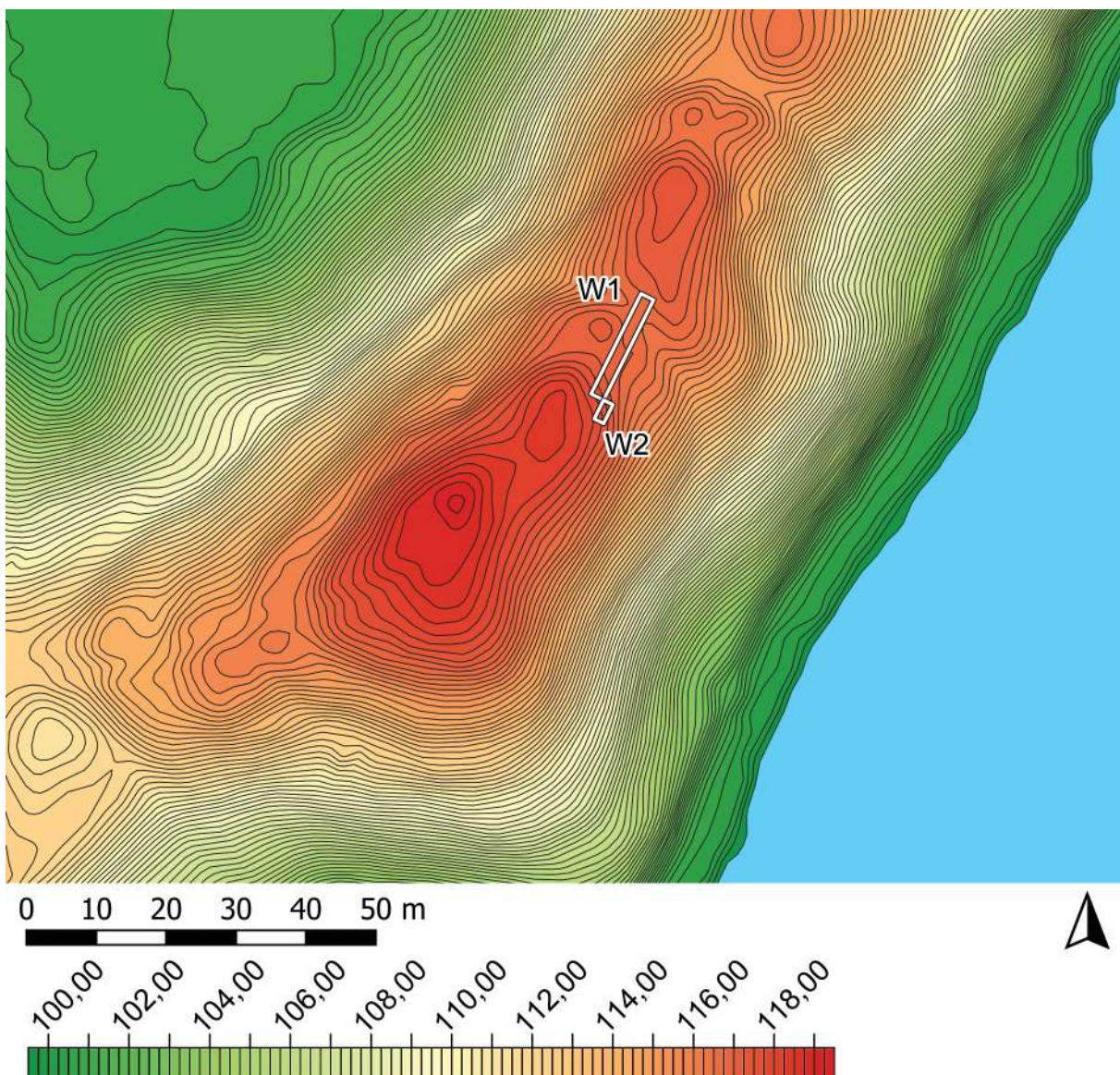
Przebieg badań terenowych

Obszar stanowiska jest porośnięty lasem, który w pewnym stopniu ograniczał obszar dostępny do badań wykopaliskowych. W centralnej części majdanu znajduje się plac, gdzie liczba drzew jest zdecydowanie mniejsza, ale

w miejscu tym notowane były ślady po wspólnym użytkowaniu tego terenu – drobiny gruzu, kawałki gwoździ i drutu – które można wiązać z okresem, gdy wyniesienie to wykorzystywane było przez gospodarzy budynku, którego kamienne fundamenty widoczne są w południowej części majdanu. Obiekt ten na mapie z początku XX wieku opisany był jako *Lusthaus*.

Na obszarze majdanu przeprowadzono badania nieinwazyjne z wykorzystaniem kaptemetru, ale z powodu zbyt dużej liczby anomalii (spowodowanych występującymi przy-powierzchniowo kawałkami współczesnego żelaza) nie były one czytelne.

Wykop archeologiczny wytyczono poniżej majdanu, tak by po osi zbliżonej do północ-południe przecinał Taras I i swym północnym końcem wchodził na grzbiet z reliktem wału przed Tarasem II. Wymiary wykopu W1 to 2×16 m. Już w trakcie prowadzenia badań wytyczono wykop W2, o wymiarach 1,5×3 m, położony przy narożniku W1. Wykop ten miał na celu rozpoznać obiekt, którego zarys pojawił się w ścianie W1. Ponadto dokonano poszerzenia W1 o docinkę o wymiarach 1×2 m, która miała umożliwić wyeksplorowanie w całości obiektu odsłoniętego w trakcie badań w W1. Lokalizację wykopów w obrębie stanowiska przedstawia (ryc. 11).



Ryc. 11. Plan sytuacyjno-wysokościowy grodziska w Wińcu, st. 2 z zaznaczonymi wykopami archeologicznymi (na podstawie materiałów GUGiK, oprac. R. Solecki)

Stratygrafia stanowiska

W trakcie omawianych badań archeologicznych wydzielono łącznie 23 jednostki stratygraficzne (tabela 1). Możliwe było ich rozdzielenie pomiędzy warstwy naturalne i trzy fazy „użytkowe”. Diagram Harrisa dla wydzielonych jednostek stratygraficznych przedstawia ryc. 12. Zadokumentowane powierzchnie przedstawiają ryc. 15–18.

Warstwy naturalne

W trakcie badań, jako jednostkę naturalną wydzielono piasek 4 o frakcji od drobno- do gruboziarnistej, miejscami zwarty, z miejscowymi żelazistymi, twardymi wytrąceniami. Najwyższy punkt tej warstwy zanotowano w W2, na krawędzi majdanu, gdzie osiągał on poziom około 117,30 m n.p.m.

Faza I

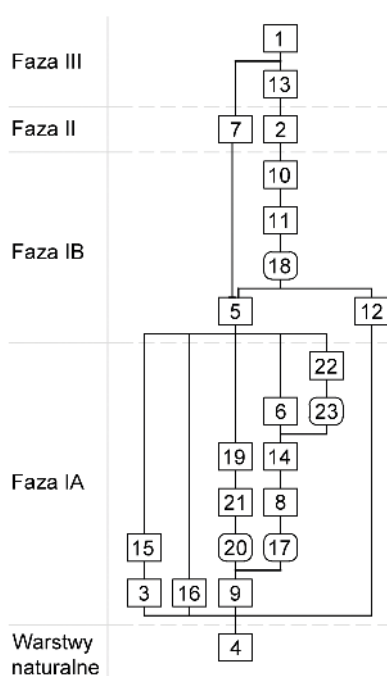
Fazę tę należy datować na wczesną epokę żelaza. W okresie tym ludność kultury kurhanów zachodniobatyskich założyła w tym miejscu osiedle obronne. Na podstawie stratygrafii zadokumentowanych jednostek wydzielono dwie podfazy – A i B.

Starszy poziom użytkowy – pod fazę IA – wyznacza ilasty piasek 3 z dużą domieszką drobnych węgielków, wydzielony w W2, na krawędzi majdanu oraz lekko ilasty, sypki piasek 9, wydzielony w W1, na obszarze Tarasu I.

Głównym zadokumentowanym obiektem, który należy wiązać z tą pod fazą jest odsłonięty na półce Tarasu I, silnie naruszony przez młodsze warstwy nieregularny w planie, nieckowaty w profilu wkop 17, którego uchwycone wymiary to szerokość do 270 cm

Tabela 1. Winiec, st. 2. Katalog warstw i obiektów oraz ich zależności stratygraficznych (oprac. R. Solecki)

Numer jednostki	Numer obiektu	Numer wykopu	Położenie w obrębie stanowiska	Współrzędne geodezyjne (PUWG 1992)	Opis jednostki stratygraficznej (rodzaj sedymentu, miąższość, zawartość zabytkowa, przypuszczalna funkcja/proces formowania)	Barwa (Munsell)	Pozycja stratygraficzna	
							Znajduje się pod	Znajduje się nad
1	-	1, 2	Całe stanowisko	X=662901,8-662920,6; Y=555196,0-555205,3	Luźny piasek z bardzo dużą domieszką materii organicznej; miąższość do 20 cm; humus leśny	10YR 3/2	-	7, 12, 13
2	-	1	Taras I	X=662914,5-662920,0; Y=555200,3-555204,8	Gleba bielicowa z silnymi, żelazistymi wytrąceniami; miąższość do 20 cm; warstwa powstała po opuszczeniu osiedla	10YR 5/3	13	10
3	-	2	Krawędź majdanu	X=662901,8-662905,2; Y=555196,6-555199,3	Ilasty piasek z dużą domieszką drobnych węgielków; miąższość do 15 cm; starszy poziom użytkowy z okresu funkcjonowania osiedla	2.5Y 5/3	5	4
4	-	1, 2	Całe stanowisko	X=662901,8-662920,6; Y=555196,0-555205,3	Piasek o frakcji od drobno- do gruboziarnistej, miejscami zwarte, z miejscowymi żelazistymi, twardymi wytrąceniami; warstwa naturalna	10YR 6/4	3, 9, 12	-
5	-	1, 2	Krawędź majdanu	X=662901,8-662916,4; Y=555196,0-555203,1	Zwarty, ilasty piasek z pojedynczymi kamieniami średnicy do 15 cm; miąższość do 30 cm; młodszy poziom użytkowy z okresu funkcjonowania osiedla	10Y 5/6	7, 10, 13, 18	3, 6, 9, 14, 19, 22
6	17	1	Taras I	X=662909,8-662914,8; Y=555199,1-555201,6	Bruk z kamieni o średnicy 5–15 cm ułożony w obiekcie 17	-	5	14
7	-	1, 2	Krawędź majdanu i Taras I	X=662901,8-662915,2; Y=555196,0-555202,8	Gleba bielicowa z silnymi, żelazistymi wytrąceniami, lekko przemieszana; miąższość do 20 cm; warstwa powstała po opuszczeniu osiedla	10YR 5/6	1	5
8	17	1	Taras I	X=662909,8-662914,8; Y=555199,1-555201,6	Sypki piasek; miąższość do 25 cm; wypełnisko obiektu 17	2.5Y 6/4	14	9, 17
9	-	1	Taras I	X=662905,3-662916,2; Y=555196,0-555202,7	Lekko ilasty piasek, sypki; miąższość do 25 cm; starszy poziom użytkowy z okresu funkcjonowania osiedla	10YR 5/4	8, 14, 17, 19, 20, 21, 22, 23	4
10	18	1	Taras I	X=662914,5-662920,0; Y=555200,3-555204,8	Piasek przemieszany z materią organiczną; miąższość do 30 cm; wypełnisko zagłębia przywałowego 18	2.5Y 5/3	2, 13	4, 5, 11, 18
11	18	1	Taras I	X=662914,5-662920,0; Y=555200,3-555204,8	Ilasty piasek z niewielką domieszką materii organicznej; miąższość do 30 cm; wypełnisko zagłębia przywałowego 18	10YR 6/4	10	4, 18
12	-	1	Taras I	X=662915,4-662920,6; Y=555202,6-555205,2	Ilasty piasek; miąższość do 15 cm; nasyp wału w północnej części Tarasu I	10YR 5/3	1, 10, 13, 18	4
13	-	1	Taras I	X=662914,5-662920,0; Y=555200,3-555204,8	Zbity piasek z wyraźną domieszką substancji organicznych i węglami drzewnymi; miąższość do 30 cm; nowożytny lub współczesny poziom użytkowy	10YR 4/4	1	2, 5, 10, 12
14	17	1	Taras I	X=662909,8-662914,8; Y=555199,1-555201,6	Lekko ilasty piasek z domieszką materii organicznej i węgli drzewnych; miąższość do 25 cm; wypełnisko obiektu 17	2.5Y 3/2	5, 6	8, 9, 17
15	-	2	Krawędź majdanu	X=662902,5-662904,8; Y=555196,9-555198,4	Piasek z dużą domieszką węgli drzewnych, prawdopodobnie relikt spalonej konstrukcji drewnianej	10YR 3/1	5	3
16	-	1	Krawędź majdanu	X=662906,7-662908,4; Y=555197,8-555199,4	Luźny bruk z kamieni o średnicy do 10 cm widoczny na stoku majdanu poniżej dołu postupowego 20	-	5	9
17	17	1	Taras I	X=662909,8-662914,8; Y=555199,1-555201,6	Nieregularny w planie, nieckowaty w profilu obiekt; uchwycone wymiary to szerokość do 270 cm i głębokość do 45 cm; relikt domostwa	-	8	9
18	18	1	Taras I	X=662914,5-662920,0; Y=555200,3-555204,8	Szeroki, płytki wkop o płaskim dnie; szerokość do 400 cm, głębokość do 50 cm; zagłębienie przywałowe	-	10, 11	5, 12
19	20	1	Krawędź majdanu	X=662906,3-662907,3; Y=555197,6-555198,5	Piasek z domieszką materii organicznej i węgli drzewnych; wypełnisko obiektu 20	10YR 5/3	5	9, 20, 21
20	20	1	Krawędź majdanu	X=662906,3-662907,3; Y=555197,6-555198,5	Owalny w planie, U-kształtny w profilu wkop; uchwycone wymiary to średnica do 60 cm i głębokość do 50 cm; dół postupowy	-	19, 21	9
21	20	1	Krawędź majdanu	X=662906,3-662907,3; Y=555197,6-555198,5	Kamienie średnicy 5–20 cm ułożone w obiekcie 20	-	19	9, 20
22	23	1	Taras I	X=662913,7-662914,8; Y=555200,0-555201,1	Sypki piasek z dużą domieszką materii organicznej i węgli drzewnych; wypełnisko obiektu 23	10YR 4/1	5	23
23	23	1	Taras I	X=662913,7-662914,8; Y=555200,0-555201,1	Prawdopodobnie prostokątny w planie, nieregularny w profilu obiekt; uchwycone wymiary to szerokość do 100 cm i głębokość do 60 cm; obiekt gospodarczy	-	22	8, 9



Ryc. 12. Winiec, st. 2. Diagram relacji stratygraficznych (oprac. R. Solecki)

i głębokość do 45 cm. W jego wypełnisku wydzielono sypki piasek 8, lekko ilasty piasek 14 z domieszką materii organicznej i węgli drzewnych oraz bruk 6 z kamieni o średnicy 5–15 cm. W trakcie eksploracji tego obiektu pozyskano łącznie 919 fragmentów ceramiki, co stanowi około 49% całego zbioru ceramiki. Większość znajdowała się w obrębie bruku 6 (ryc. 13). Przy północnej krawędzi tego obiektu znajdował się prawdopodobnie prostokątny w planie, nieregularny w profilu obiekt 23, którego uchwycone wymiary to szerokość do 100 cm i głębokość do 60 cm. Jego wypełniskiem był sypki piasek 22 z dużą domieszką materii organicznej i węgli drzewnych. Obiekt 17 można interpretować, jako pozostałość domostwa, a powiązany z nim wkop 23, jako nieduży obiekt gospodarczy, być może o funkcji zasobowej. Pełniejsze scharakteryzowanie tego zespołu jest trudne, gdyż został on silnie naruszony w młodszych okresach. Z warstwy 14, będącej wypełniskiem obiektu 17, pobrano próbę węgla do analizy radiowęglowej. Wynik tej analizy dał po kalibracji przedział lat 400–210 p.n.e. z prawdopodobieństwem 95,4%¹⁰.

Z pod fazą IA należy także wiązać prawdopodobnie ślady po umocnieniu krawędzi majdanu. W W2, ponad poziomem użytkowym wyznaczonym przez jednostkę 9, odsłonię-

to piasek 15 z dużą domieszką węgli drzewnych. Węgle te widoczne były także w obrębie młodszego poziomu, z pod fazą IB, wyznaczonego przez jednostkę 5. W niedużej odległości od tej spalenizny, już w granicach W1, odsłonięto ovalny w planie, U-kształtny w profilu wkop 20, którego uchwycone wymiary to średnica do 60 cm i głębokość do 50 cm. Przy krawędziach tego wkopu wyłożone były kamienie 21 średnicy 5–20 cm, a jego wypełniskiem był piasek 19 z domieszką materii organicznej i węgli drzewnych. Na stoku poniżej tego obiektu natrafiono na luźny bruk 16 z kamieni o średnicy do 10 cm. Zadokumentowany wkop 20 to najpewniej dół posłupowy wchodzący być może w linię palisady okalającej majdan. Jej spalone elementy zachowały się w wypełnisku dołu posłupowego 20 i jako luźne węgle w obrębie warstwy 15. Z warstwy 19, będącej wypełniskiem dołu posłupowego 20, pobrano próbę węgla do analizy radiowęglowej. Jej wynik dał po kalibracji przedział lat 403–211 p.n.e. z prawdopodobieństwem 95,4%¹¹.

W ciągu pod fazą IB, wykształcił się poziom użytkowy, który wyznacza zwarty, ilasty piasek 5 z pojedynczymi kamieniami średnicy do 15 cm. Warstwa ta widoczna była w obu wykopach badawczych, a w trakcie jej eksploracji pozyskano łącznie 339 fragmentów ceramiki, co stanowi około 18% całego zbioru. W północnej części W1, gdzie Taras I przechodził w widoczny także na powierzchni nasyp wału, odnotowano ilasty piasek 12, który być może należy wiązać z usypywaniem tego umocnienia. W strefie pomiędzy warstwami 5 i 12 zadokumentowano wkop 18 szerokości do 400 cm i głębokości do 50 cm. Ma on formę płytkiej niecki o płaskim dnie. Jego wypełniskiem były ilasty piasek 11 z niedużą domieszką materii organicznej oraz piasek 10 przemieszany z materią organiczną. Z jednostek tych nie pozyskano żadnego materiału zabytkowego. Obiekt ten pełnił być może funkcję zagłębienia przywałowego.

Faza II

Faza ta wyznacza okres po opuszczeniu osiedla przez ludność, która w nim żyła. Charakteryzuje się powstaniem warstw erozyjnych, które doprowadziły do częściowego zakrycia obiektów powstały w Fazie I. Powstałe

¹⁰ Analiza przeprowadzona w Poznańskim Laboratorium Radiowęglowym, próba nr Poz-117827.

¹¹ Analiza przeprowadzona w Poznańskim Laboratorium Radiowęglowym, próba nr Poz-117828.

warstwy nie były naruszane na tyle długo, że rozpoczął się w ich obrębie proces bielicowania. Jednostkami przypisanyymi do tej fazy są gleba bielicowa 2 z silnymi, żelazistymi wytrąceniami oraz lekko przemieszana gleba bielicowa 7 z silnymi, żelazistymi wytrąceniami. W obrębie tych warstw znaleziono bardzo dużo fragmentów ceramiki – łącznie 421 fragmentów, co stanowi około 22% całego zbioru – pochodzących z niszczonych w wyniku procesów erozyjnych i glebotwórczych, starszych warstw kulturowych.

Faza III

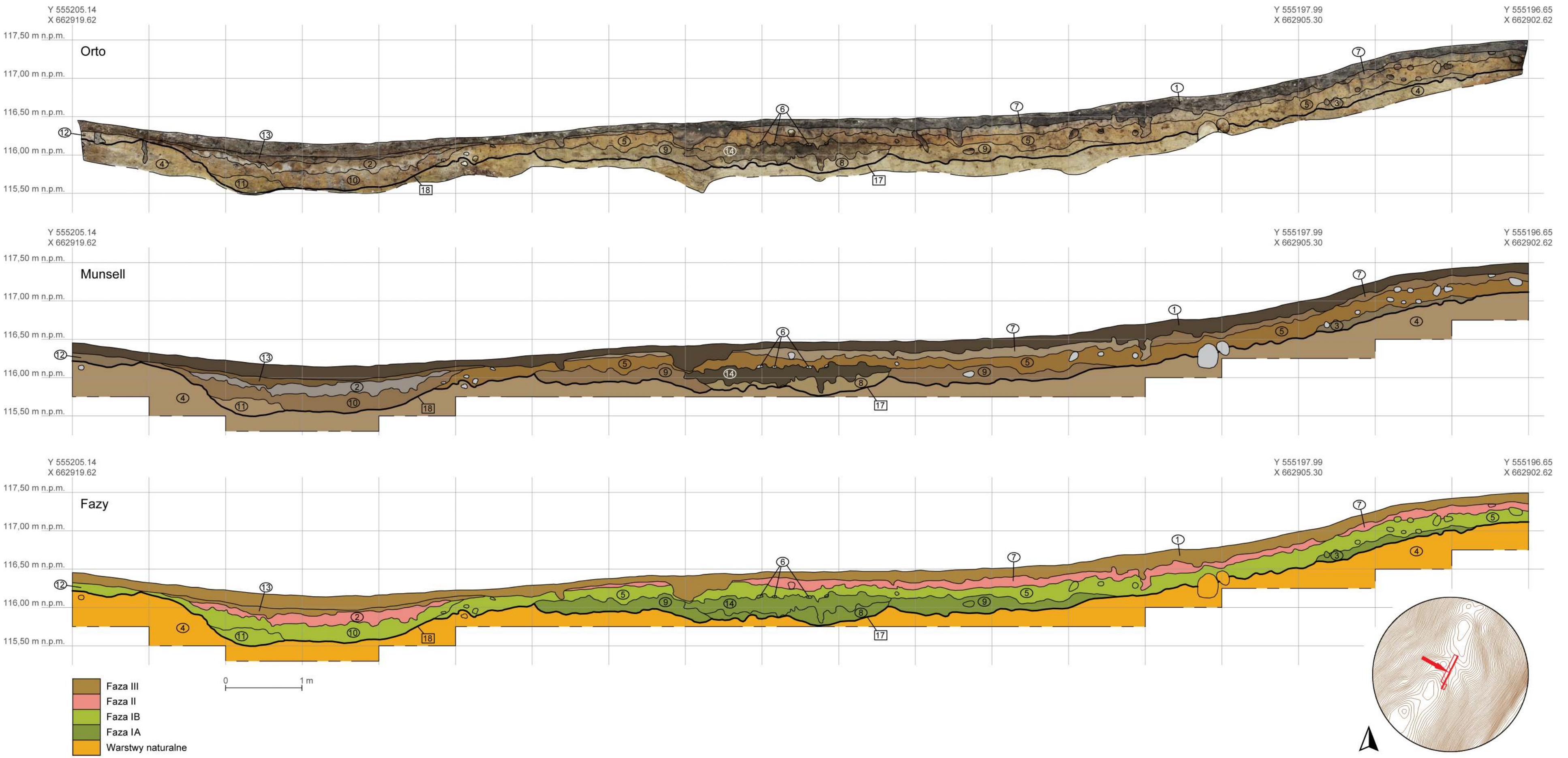
Współczesny poziom użytkowy, obejmujący okres od 2. połowy XIX wieku, tworzy zbitły piasek 13 z wyraźną domieszką substancji organicznych i węglami drzewnymi czytelny w obniżeniu, które tworzy starszy obiekt 18 oraz luźny piasek 1 z bardzo dużą domieszką materii organicznej, będący obecnym poziomem humusu leśnego. Z okresem tym należy także wiązać relikty fundamentu domostwa – wspomnianego wcześniej *Lusthaus* – widoczne na powierzchni w południowej części majdanu (ryc. 14).



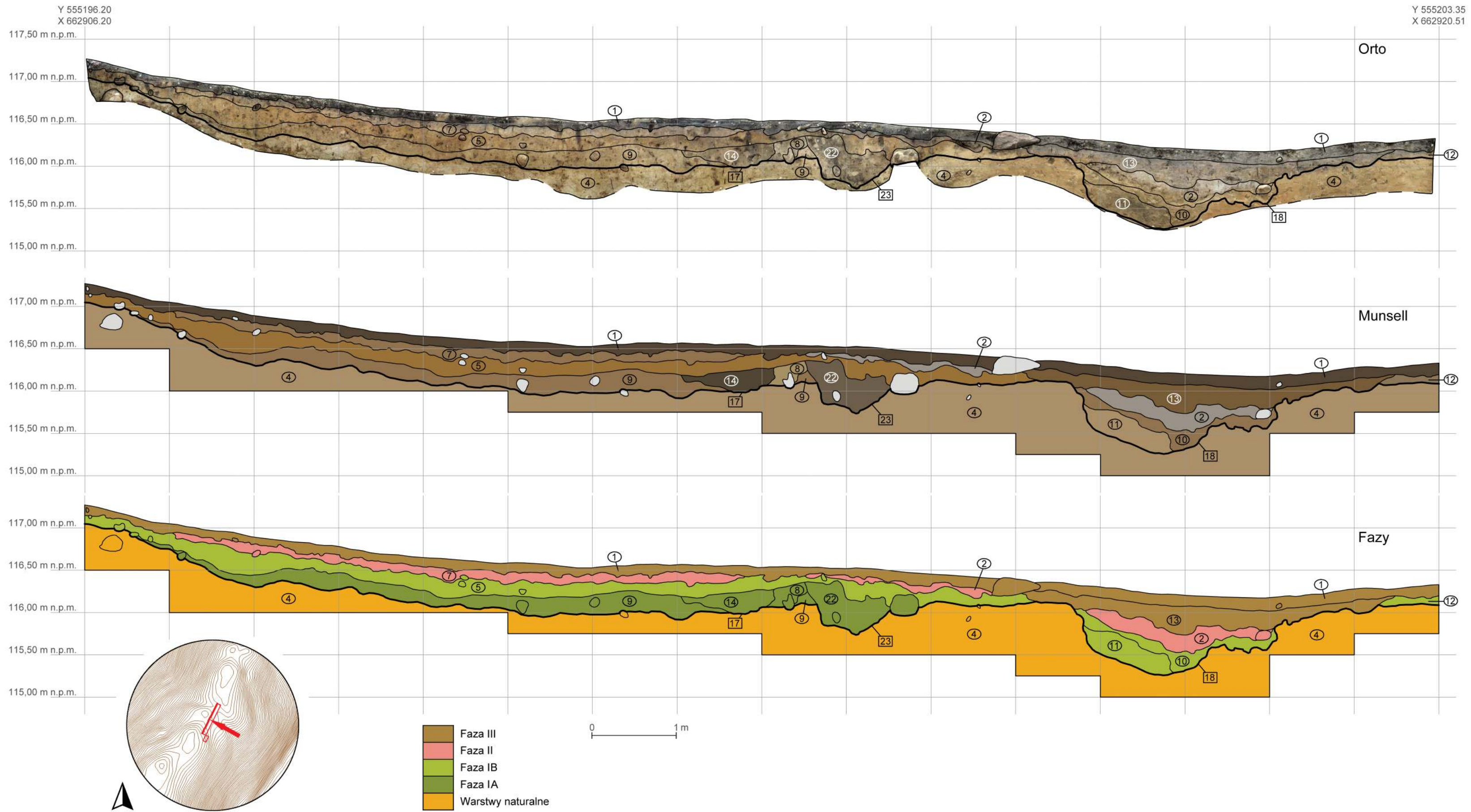
Ryc. 13. Winiec, st. 2. Doczyszczanie fragmentów naczynia w obrębie bruku 6 (fot. R. Solecki)



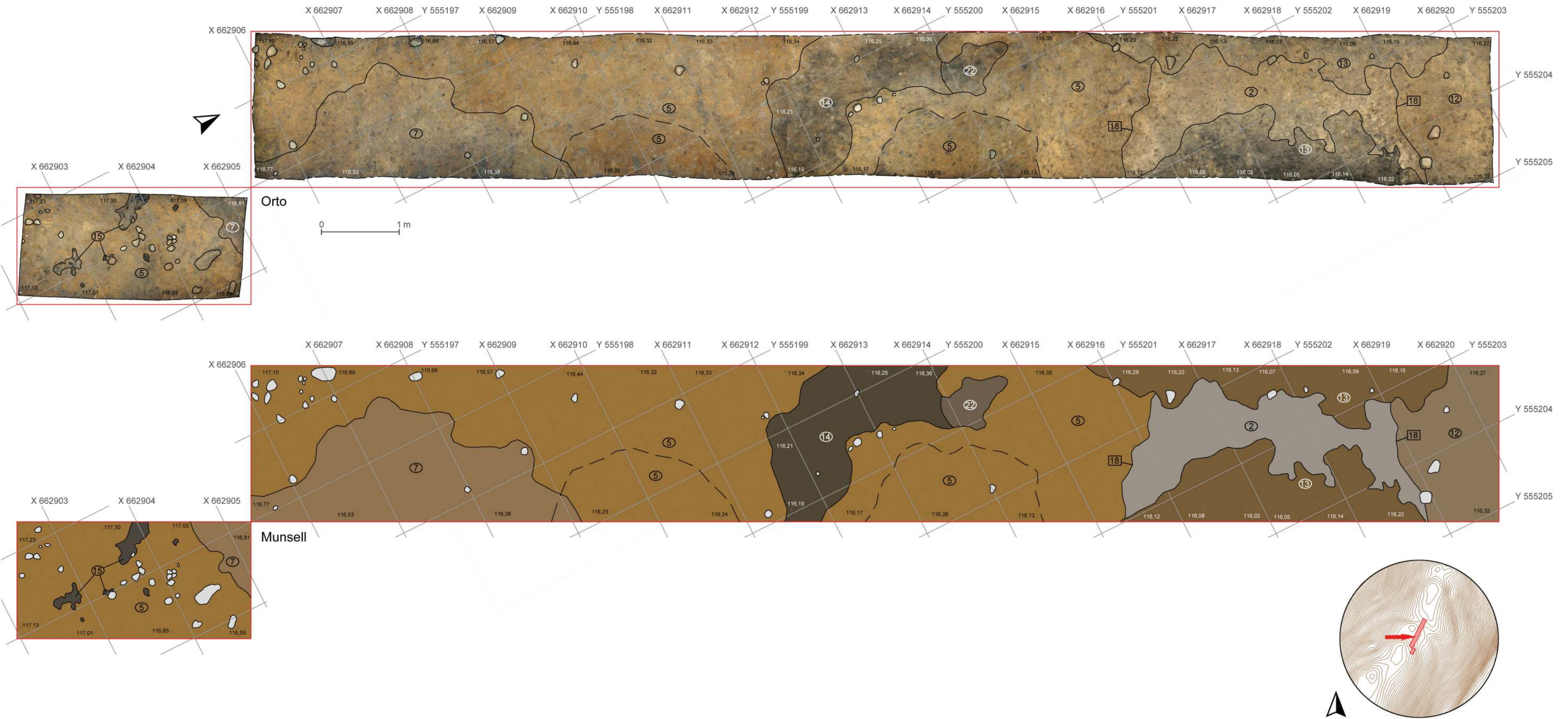
Ryc. 14. Winiec, st. 2. Zdjęcie poglądowe przedstawiające fundamenty budynku - *Lusthaus* - w południowej części majdanu (fot. R. Solecki)



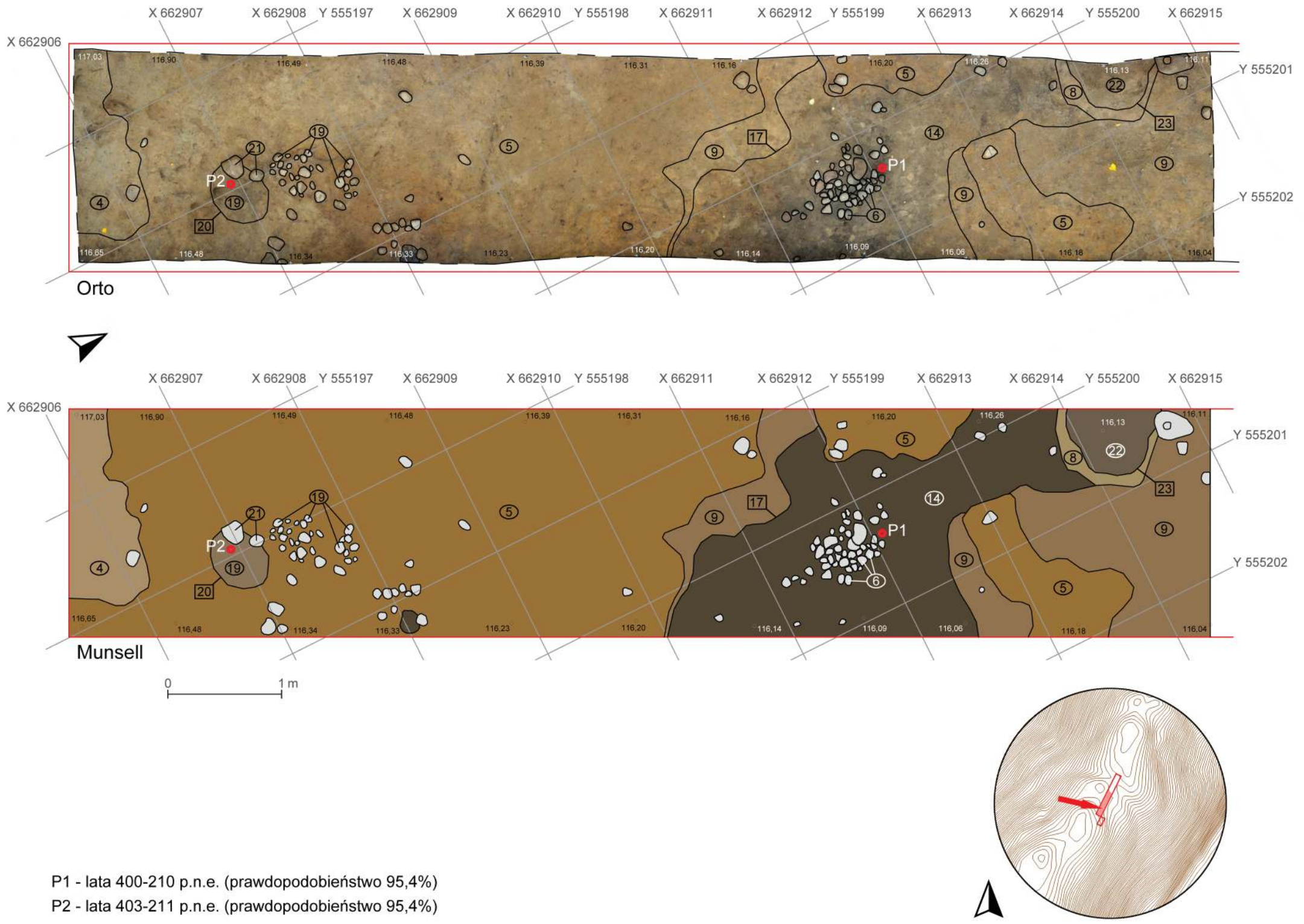
Ryc. 15. Winiec, st. 2. Stratygrafia nawarstwień na obszarze krawędzi majdanu i Tarasu I – wykop 1 i 2 (oprac. R. Solecki)



Ryc. 16. Winiec, st. 2. Stratygrafia nawarstwień na obszarze krawędzi majdanu i Tarasu I – wykop 1 (oprac. R. Solecki)



Ryc. 17. Winiec, st. 2. Stratygrafia nawarstwień na obszarze krawędzi majdanu i Tarasu I – wykop 1 i 2 (oprac. R. Solecki)



Ryc. 18. Winiec, st. 2. Stratygrafia nawarstwień na obszarze Tarasu I – wykop 1 (oprac. R. Solecki)

ZNALEZISKA

RAFAŁ SOLECKI

Na materiał zabytkowy pozyskany w trakcie badań archeologicznych osiedla obronnego w Wińcu składa się zbiór fragmentów ceramiki (tabela 2 i 3) (tabl. 1–5) oraz zabytki metalowe (tabl. 6–8) pozyskane w trakcie badań wykopaliskowych, lub znalezione w warstwie humusu w trakcie przygotowywania powierzchni stanowiska do geofizycznych badań nieinwazyjnych.

Ceramika

Główną grupę zabytków tworzy ceramika, której pozyskano łącznie 1869 fragmentów. Znaczne rozdrobnienie materiału (aż 80,4% elementów zbioru ma dłuższy wymiar mniejszy, lub równy 4 cm) nie pozwala na daleko posuniętą rekonstrukcję pełnych form naczynów. Udało się to tylko w jednym przypadku. 436 fragmentów (23,3% całego zbioru) uznano za niediagnostyczne. Fragmenty ceramiki pozyskano z jednostek stratygraficznych przypisanych do trzech faz funkcjonowania stanowiska. Faza I związana jest z użytkowaniem osiedla obronnego, a Fazy II i III powstały w wyniku działania procesów erozyjnych i postdepozycyjnych. Tu warto zaznaczyć, że zdecydowaną większość ułamków ceramiki, bo aż 919 fragmentów (49% całego zbioru), znaleziono w obrębie obiektu 17, interpretowanego jako relikt domostwa z czasów użytkowania osiedla we wczesnej epoce żelaza. Na podstawie technologii produkcji wydzielono cztery grupy technologiczno-surowcowe, z których trzy przypisano do wczesnej epoki żelaza, a jedną określono jako ceramikę współczesną.

Ceramika z wczesnej epoki żelaza

Do pierwszej grupy technologiczno-surowcowej (GTS-1) zaliczono 1238 fragmentów (66,3% całego zbioru i 86,4% zbioru fragmentów diagnostycznych). Jest to ceramika wykonana ze słabo wyrobionej masy ceramicznej z dość dużą ilością drobnej i średniej domieszki schudzającej – piasku, drobin startego granitu, rzadko miki i prawdopodobnie węgli drzewnych. Grubość ścianki waha się od 3 do 14 mm (średnio około 6 mm). Największa grubość notowana jest w częściach przydennych i w pogrubionych częściach wylewów. Wypał był utleniający, zapewne w dość niskiej temperaturze, gdyż ceramika szybko

nasiąka wodą, przez co staje się miękka i krucha. Kolor ścian jest jasnobrażowy, jasnopomarańczowy, pomarańczowy, lub rzadziej szary. Przełam najczęściej jest dwubarwny (1046 przypadków, 84,5% zbioru GTS-1) – przejście od koloru ścianki zewnętrznej do koloru ścianki wewnętrznej. Rzadziej (192 przypadki, 15,5% zbioru GTS-1) występuje także przełom trójkolorowy – przejście od koloru powierzchni zewnętrznej, przez kolor szary, do koloru powierzchni wewnętrznej. Powierzchnia zewnętrzna najczęściej jest gładka (596 fragmentów, 48,1% zbioru GTS-1), lub szorstka (485 fragmentów, 39,2% zbioru GTS-1). Na 143 fragmentach (11,5% zbioru GTS-1) zanotowano ślady wyściecania powierzchni.

Do drugiej grupy technologiczno-surowcowej (GTS-2) zaliczono 151 fragmentów (8,1% całego zbioru i 10,5% zbioru fragmentów diagnostycznych). Jest to ceramika wykonana ze słabo wyrobionej masy ceramicznej z dość dużą ilością drobnej i średniej domieszki schudzającej – piasku i drobin startego granitu. Grubość ścianki waha się od 5 do 15 mm (średnio około 8 mm). Wypał był utleniający, zapewne w dość niskiej temperaturze, gdyż ceramika szybko nasiąka wodą, przez co staje się miękka i krucha. Kolor ścian jest w odcieniach pomarańcza, brązowy, lub szary. Przełam najczęściej jest dwubarwny (1046 przypadków, 88,1% zbioru GTS-2), rzadziej występuje także przełom trójkolorowy (18 przypadków, 11,9% zbioru GTS-2). Powierzchnia zewnętrzna najczęściej jest intencjonalnie chropowatona (148 fragmentów, 98% zbioru GTS-2), a sporadycznie szorstka (3 fragmenty, 2% zbioru GTS-2). Powierzchnię chropowatono poprzez obrzucenie uformowanego naczynia rzadzą gliną z grudami grubej domieszki, także szamotu. Rozprowadzając tę mieszkę często pozostawiano smugi po przesuwanych palcach. W ten sposób postępowano z całą powierzchnią, lub tylko z dolną częścią naczynia. Na jednym fragmencie wylewu widoczny jest pojedynczy, poziomy pas wykonany za pomocą niedużych nakłuc rozdzielający powierzchnię szorstką od chropowatonej.

Do trzeciej grupy technologiczno-surowcowej (GTS-3) zaliczono 42 fragmenty (2,2% całego zbioru i 2,9% zbioru fragmentów diagnostycznych). Jest to ceramika wykonana z dobrze wyrobionej masy ceramicznej z dość dużą ilością drobnej domieszki schudzają-

Tabela 2. Zestawienie ilościowe fragmentów ceramiki z grodziska w Wińcu, st. 2 (oprac. R. Solecki)

Faza	Jedn. strat.	Liczba fragmentów facyjni	Liczba rozinnych naczyń	Liczba fragmentów facyjni	Dramenitowane	Wyświeciane	Gładkie	Chrąpowaczone	Dramenitowane	Wyświeciane	Szerokie	Gładkie	Chrąpowaczone	Rodzaj powierzchni	Brzusze	Wylevy	Wylevy	Chronologia				
																		Type A	Type B	Type C		
IA	3	1	1	5				1										1	652	69	23	
IA	14	919	29	147	641	16		760	63	385	58	362	51	8	7	2	3	33		2	1	
IA	15	3	2	1	2			2	1	1	1									3	2	
IA	19	8	4	1	2			7	2	4	1	1								2	1	
IA	22	41	7	4	15			35	5	23	3	5	5					2	4	24	5	
IB	5	339	33	52	177	4		284	27	143	49	95	25	6	2			1	10	237	27	
II	2	103	14	11	30			92	21	25	2	44	11	3					40	20	5	
II	7	318	30	50	197	5		265	20	90	49	107	52	4	1	1			5	190	20	
III	1	137	19	16	62	5		119	12	46	8	61	10	1	2			4	5	89	7	
Suma	1869	139	283	1131	30			1564	151	716	172	675	155	22	10	5	7	37	6	72	9	1238
																			151	42	2	
																			436			

Tabela 3. Fragmentacja i erozja fragmentów ceramiki z grodziska w Wińcu, st. 2 (oprac. R. Solecki)

Faza	Jedn. strat.	Kategorie wielkościowe (cm)										Stopień erozji						Suma
		1	2	3	4	5	6	7	8	9	10≤	0	I	II	III			
IA	3			1												1		1
IA	14	43	229	247	159	117	60	28	18	7	11					720	188	11
IA	15		1	2												1	2	3
IA	19		2	3	1	2										6	2	8
IA	22	5	22	9	2	2	1									25	16	41
IB	5	15	106	99	62	36	10	7	4							261	66	12
II	2	9	49	27	10	5	2	1								63	40	103
II	7	21	110	91	58	19	11	2	4	1	1					222	90	6
III	1	4	53	45	19	10	3	2	1			1	88	48			318	137
Suma	97	572	524	311	191	87	40	27	8	12	1	1387	452	29	1869			

cej – drobin startego granitu (koloru czerwonego i czarnego), rzadko miki. Grubość ścianki waha się od 3 do 10 mm (średnio około 4,5 mm). Wypał był utleniający, ale w wyższej temperaturze niż w przypadku GTS-1 i GTS-2, gdyż ceramika jest mniej nasiąkliwa i nie kruszy się. Kolor ścian jest ciemnobrązowy. Przełam bywa zarówno dwubarwny (23 przypadki, 54,7% zbioru GTS-3), jak i trójbarwny (19 przypadków, 45,3% zbioru GTS-3). Powierzchnia zewnętrza najczęściej wyświetcała (29 fragmentów, 69% zbioru GTS-3), lub gładka (11 fragmentów, 26,2% zbioru GTS-3). 2 fragmenty (4,8% zbioru GTS-3) miały powierzchnię szorstką, ale była ona wynikiem erozji.

W zbiorze ceramiki wczesnożelaznej, obejmującej GTS-1–3, wydzielono łącznie 231 fragmentów wylewów (222 w GTS-1 i 9 w GTS-2, co stanowi 16,1% zbioru ceramiki wczesnożelaznej), 1180 fragmentów brzuśców (997 w GTS-1, 141 w GTS-2 i 42 w GTS-3, co stanowi 82,5% zbioru ceramiki wczesnożelaznej), 10 fragmentów uch (wszystkie w GTS-1, co stanowi 0,7% zbioru ceramiki wczesnożelaznej) oraz 10 fragmentów den, lub części naczyń, które można zinterpretować, jako przydenne (9 w GTS-1 i 1 w GTS-2, co stanowi 0,7% zbioru ceramiki wczesnożelaznej) (tabl. 5:17–19). Tak stosunkowo mała reprezentacja fragmentów den i części przydennych – poniżej 1% – wynika zapewne z charakterystyki form naczyń. Jak zauważył Jerzy Okulicz „ceramika grupy zachodniomazurskiej kultury kurhanów zachodniobałtyjskich w młodszej fazie okresu halsztackiego nawiązuje do form powszechnych w grupie mazursko-warmińskiej kultury lużyckiej (...) Specyficzną jej cechą jest kulistość partii dennych naczyń”¹². Taką formę dna uchwyciono w jednym, dość dobrze zachowanym naczyniu o kształcie jajowatym (tabl. 2:2).

Aby dokonać analizy form naczyń wykorzystano podział zaproponowany przez Miroslawa J. Hoffmanna¹³. Niestety ze względu na daleko posunięte rozdrobnienie fragmentów ceramiki możliwe było ich sklasyfikowanie tylko w ograniczonym stopniu. Przykładowo, typ I (wazowate), typ II (dwustózkowe) i typ III (amfory), w których sposób formowania wylewu jest podobny, a naczynia różnią się na podstawie sposobu wymodelowania załomu brzuśca, lub występowania ucha,

potraktowano wspólnie. Do tego typu zaliczono, między innymi, charakterystycznie uformowany wylew średnicy 13 cm, przechodzący w krótką szyjkę (tabl. 1:1). W klasyfikacji M.J. Hoffmanna wylew tego typu występuje w naczyniach dwustózkowych fazy III i amforach fazy III (z młodszego okresu przedrzymskiego)¹⁴. Wydzielono także kilka wylewów z mniej czytelnie wyodrębnioną szyjką, z krawędzią grubości ściany naczynia (tabl. 1:2–5) oraz z krawędzią pogrubioną (tabl. 1:6–8). W trzech przypadkach krawędź wylewu przechodziła w prawdopodobnie cylindrycznie uformowaną górną część naczynia (tabl. 1:9–11).

Licznie reprezentowany jest typ IV naczyń – jajowate – w obrębie którego znalazły się formy o górnej partii naczynia zacykowanej do wewnętrz (tabl. 1:17–28), o górnej partii naczynia zacykowanej do wewnętrz, ale krawędzi wylewu nieznacznie wywiniętej na zewnątrz (tabl. 2:1–16) oraz o górnej partii naczynia zbliżonej w formie do litery „U” (tabl. 1:12–16). Na 6 naczyniach tego typu zaobserwowano zdobienie krawędzi wylewu za pomocą zaszczypywania (tabl. 1:12–14, 16; tabl. 2:1–2), a na 2 powierzchniach naczyń zdobienie za pomocą serii równoległych linii rytych (tabl. 1:12; tabl. 2:13). W przypadku jednego naczynia udało się odtworzyć jego pełną formę (tabl. 2:2). Jest ono zbliżone do naczynia z osiedla w Tynwałdzie, gm. Ihawa, która M.J. Hoffmann datuje od wczesnej epoki żelaza po okres przedrzymski¹⁵.

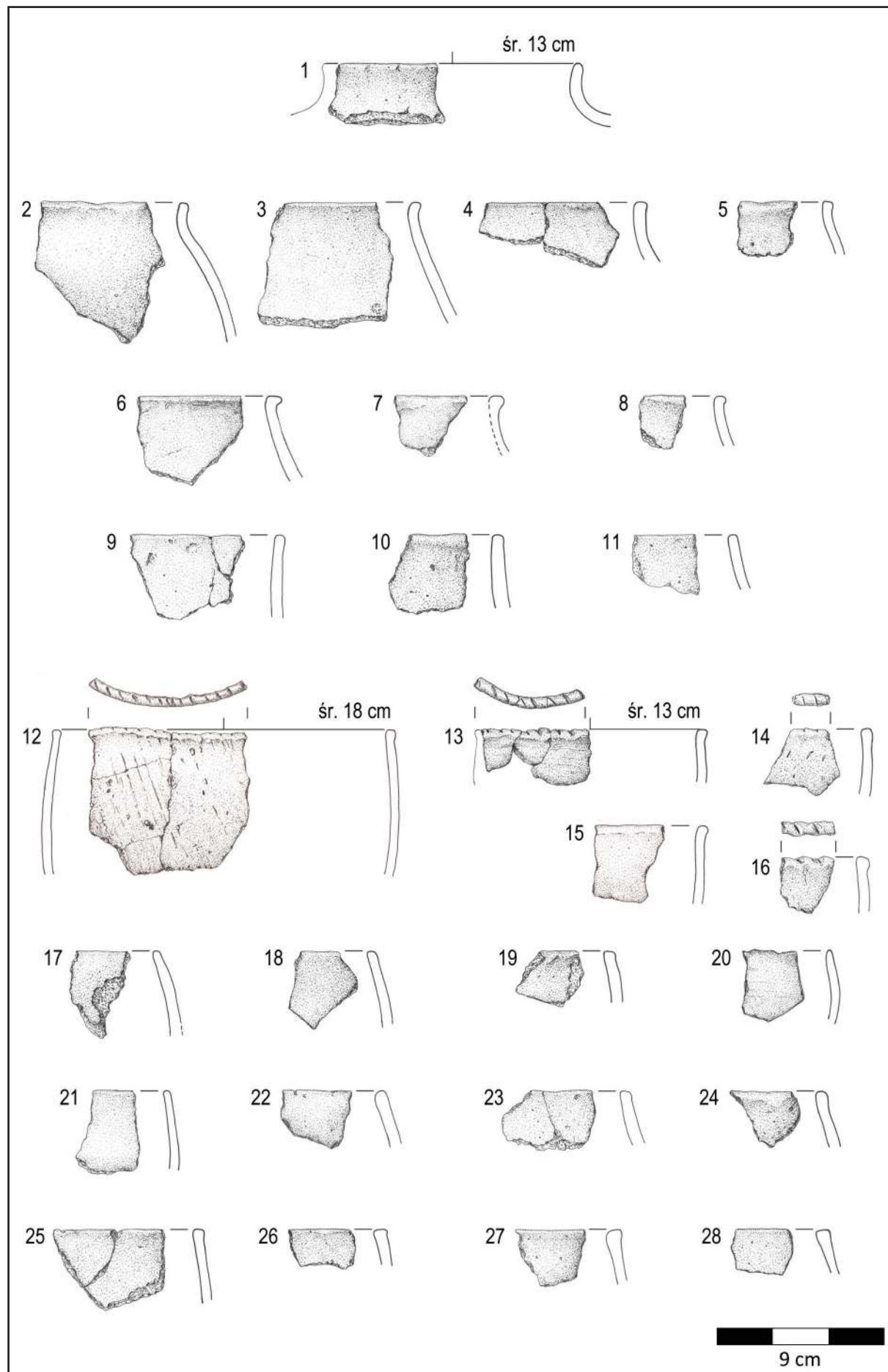
W przypadku typów V (czarki), VI (misy) i VII (kubki) możliwość precyzyjnej klasyfikacji, przy niewielkim zachowanym fragmencie naczynia, także jest problematyczna. Jednoznacznie jako misy można zinterpretować trzy naczynia: o średnicy 18 cm (tabl. 3:1), 25 cm (tabl. 3:2) i 26 cm (tabl. 3:3). Ich ściany rozchylone są pod kątem około 60°–70°, a krawędź wylewu nieznacznie wywinięta na zewnątrz. Przy dwóch wylewach naczyń interpretowanych jako misy, zarejestrowano elementy uchwytu. Raz miał on formę niewielkich guzików, szerokości do 2 cm, uformowanych z krawędzi wylewu i wywiniętych poza jego linię (tabl. 3:2), a raz ucha o średnicy wewnętrznej około 3 cm, w przekroju owalnego o wymiarach 1×3 cm. Oba typy uchwytów wydzielono także przy misach z osiedla obronnego w Starym Folwarku, st. 1, gm. Kisiel-

¹² J. Okulicz 1973: 271.

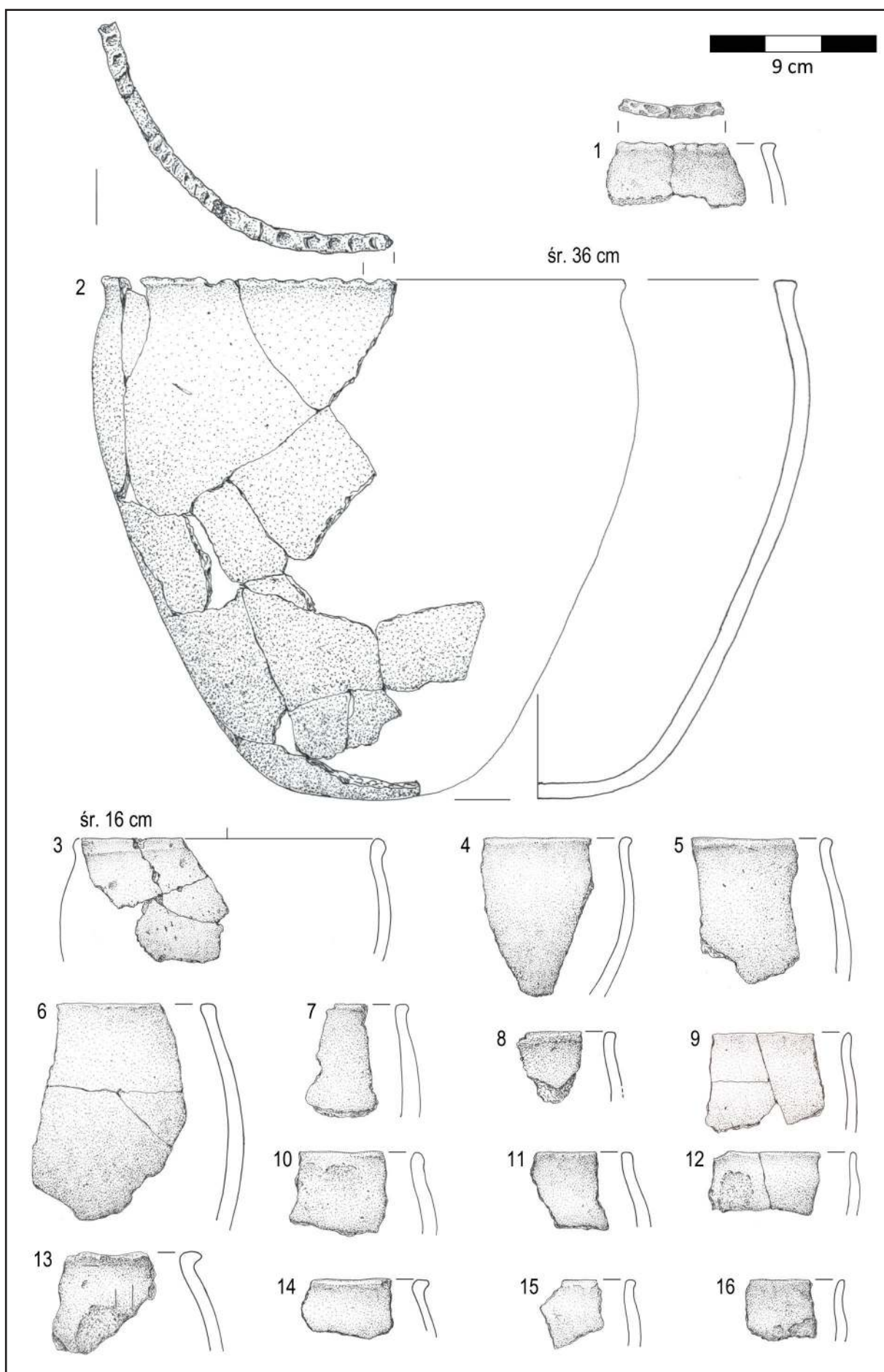
¹³ Hoffmann 2000: 85–102 ; ryc. 35–45.

¹⁴ Hoffmann 2000: ryc. 36–37.

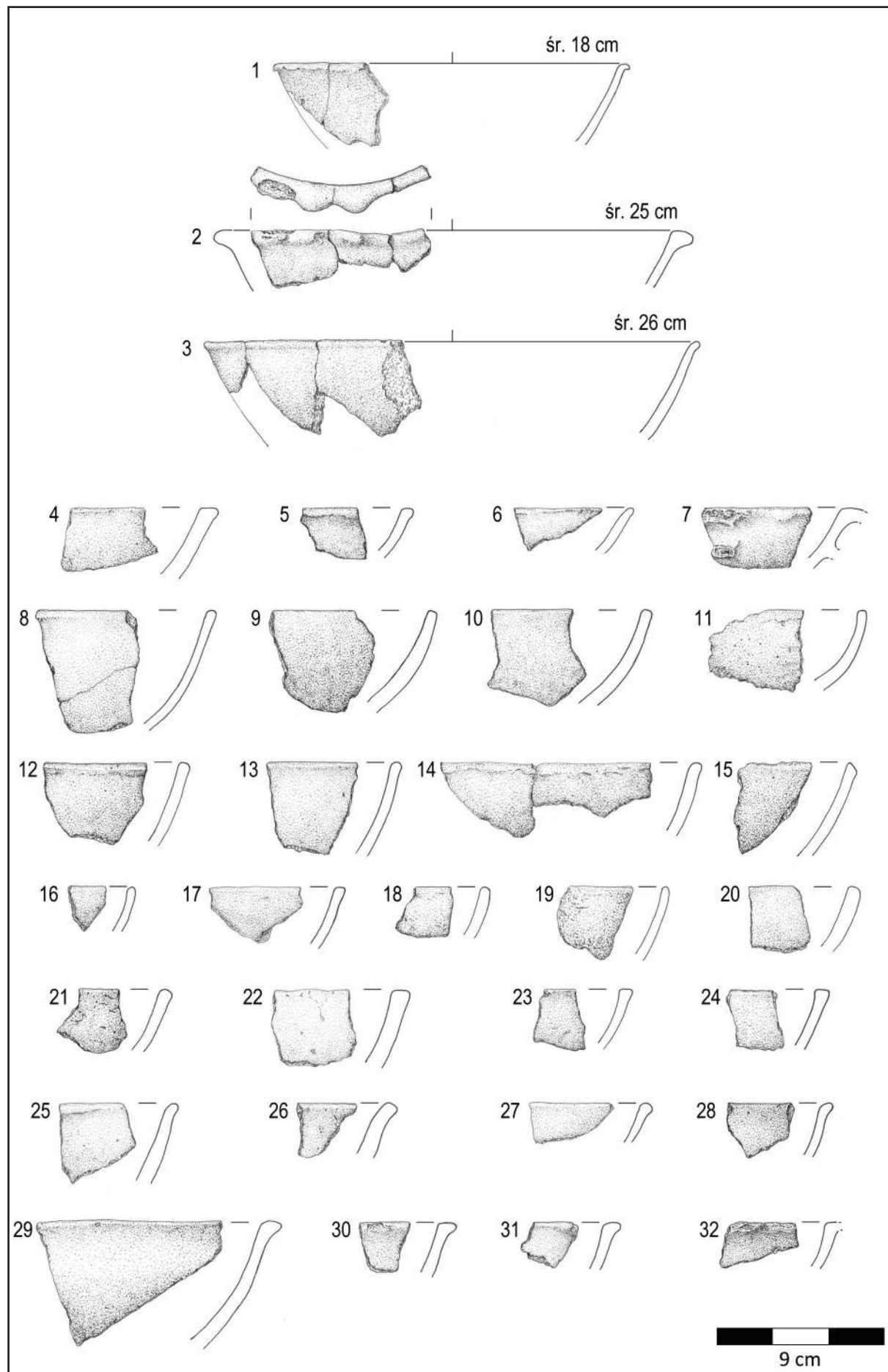
¹⁵ Hoffmann 1999: 176, tabl. CXLIII/7.



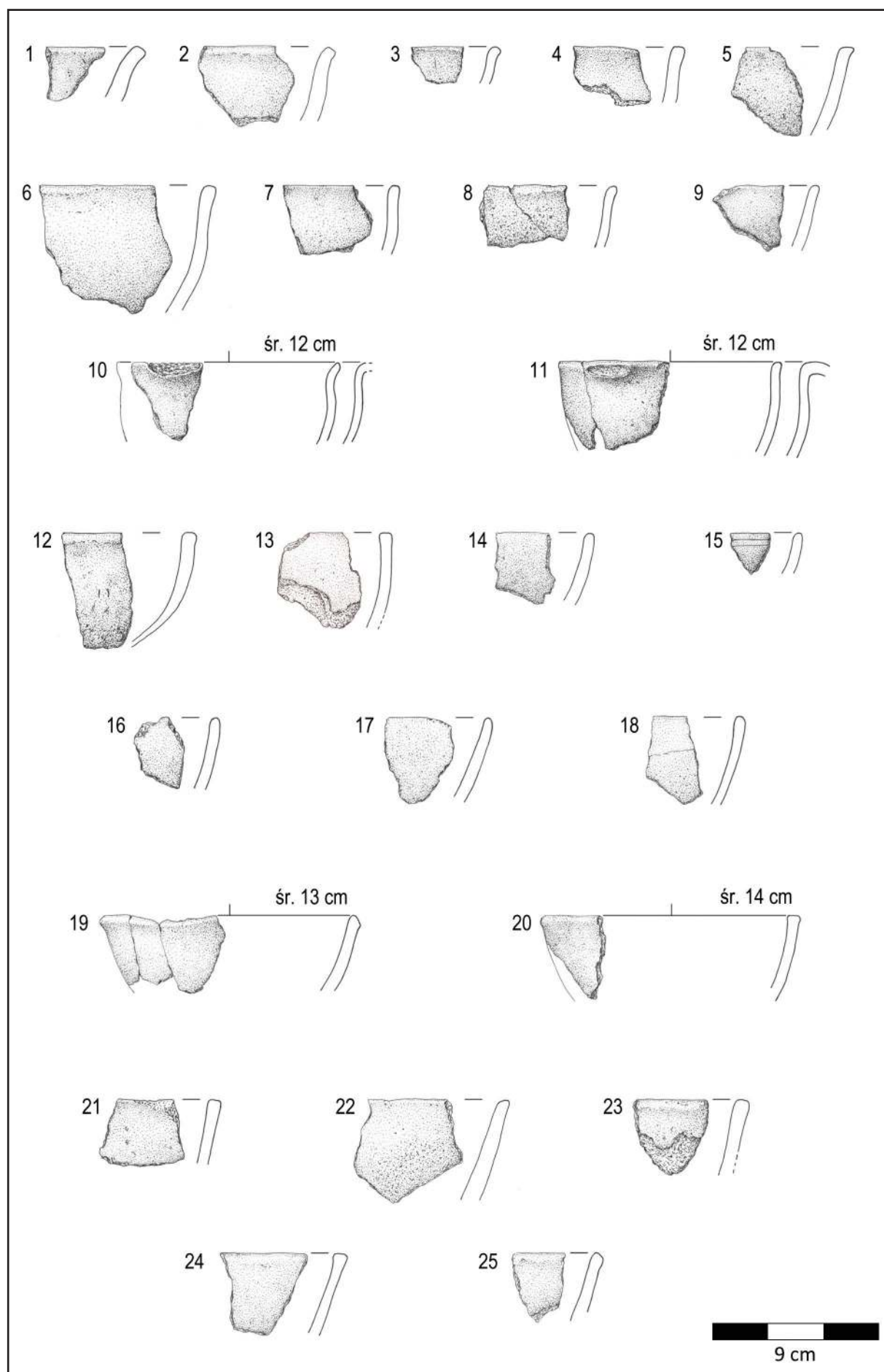
Tablica 1. Winiec, st. 2. Ceramika z wczesnej epoki żelaza (rys. B. Karch)



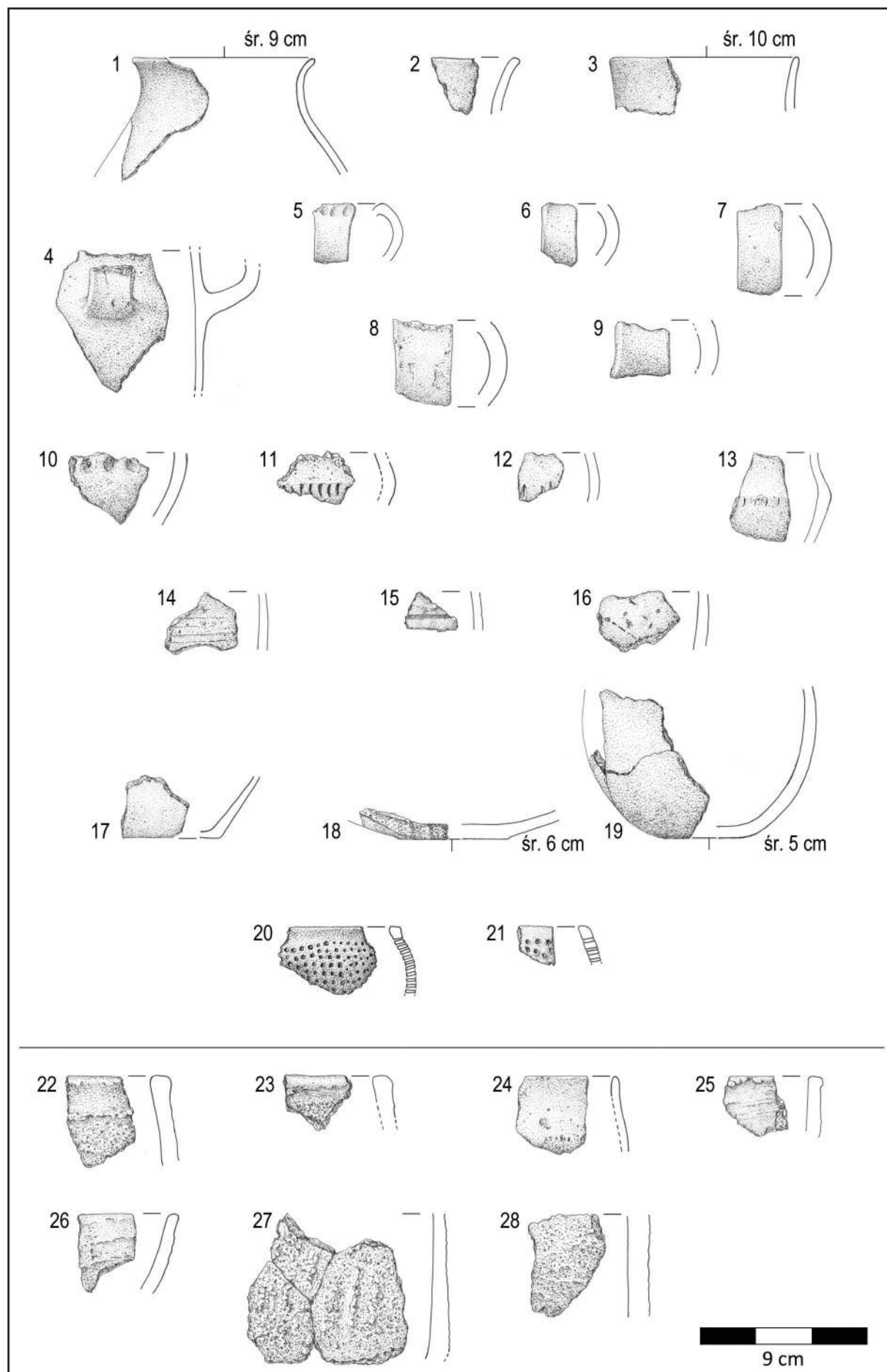
Tablica 2. Winiec, st. 2. Ceramika z wczesnej epoki żelaza (rys. B. Karch)



Tablica 3. Winiec, st. 2. Ceramika z wczesnej epoki żelaza (rys. B. Karch)



Tablica 4. Winiec, st. 2. Ceramika z wczesnej epoki żelaza (rys. B. Karch)



Tablica 5. Winiec, st. 2. Ceramika z wczesnej epoki żelaza (rys. B. Karch)

ce, które datowane jest na IV-III wiek p.n.e.¹⁶ Wydzielono także dwa ewidentne fragmenty kubków (tabl. 4:10–11). Oba o średnicy wylewu 12 cm i oba zaopatrzone w ucha o średnicy wewnętrznej powyżej 4,5 cm, wykonane z ovalnej w przekroju taśmy o wymiarach 1×2 cm i 1×3 cm. Zbliżony kubek znany jest ze wspomnianego wyżej osiedla w Starym Folwarku¹⁷. Fragmenty wylewów naczyń zaliczonych do omawianego zbioru przedstawiają tabl. 3–4.

Nieliczny zbiór tworzą fragmenty przypisane do typu XI (dzbanki). Przypisano do niego trzy fragmenty wylewów, z których dwa miały krawędzie wylewów silnie wychylone na zewnątrz (tabl. 5:1–2), a jeden miał szyjkę i wylew w kształcie tulei o średnicy 10 cm (tabl. 5:3). Prawdopodobnie fragmentem dzbanka o smukłym kształcie, jest brzusiec z uchem (tabl. 5:4).

Wydzielono także typ IX (naczynia sitowate), do którego zaliczono dwa fragmenty wylewów (tabl. 5:20–21). Najpewniej należą one do fazy III wydzielonej przez M.J. Hoffmanną, którą autor datuje na okres lateński A–B¹⁸.

W kwestii zdobienia powierzchni naczyń, to ślady tego typu zabiegów zanotowano tylko na 52 fragmentach (3,6% zbioru fragmentów diagnostycznych). Najczęściej, bo 32 razy, zdobiono krawędź wylewu zaszczypując ją (tabl. 1:12–14, 16; tabl. 2:1–2). Takie zdobienie jest charakterystyczne dla kultury kurhanów zachodniobałtyjskich, zwłaszcza w jej wcześniejszych fazach. Podobnie jest ze zdobieniami powierzchni zewnętrznej naczyń za pomocą załuskiwań i zaszczypywań, szczególnie w pasie największej wydłużności brzuśca (tabl. 5:10–13)¹⁹. W jednym przypadku za pomocą załuskania palcem ozdobiono ucho naczynia (tabl. 5:5), ale był to odcinek, gdzie ucho łączyło się z wylewem. Zanotowano dwa przypadki zdobienia powierzchni zewnętrznej bezpośrednio poniżej wylewu za pomocą poziomych pasów wykonanych za pomocą pociągnięć palców (tabl. 5:22, 26). Pociągnięcia palców zaobserwowano także na chropowaczej powierzchni naczynia (tabl. 5:27). Wydzielono także 10 fragmentów ze zdobie-

niami w formie linii rytych, w układzie pionowym, lub skośnym (tabl. 1:12; tabl. 2:13; tabl. 5:14–15) oraz 2 przypadki linii wykonanych za pomocą nakłuć (tabl. 5:16).

Ceramika współczesna

Do czwartej grupy technologiczno-surowcowej (GTS-4) zaliczono 2 fragmenty (0,1% całego zbioru i 0,1% zbioru fragmentów diagnostycznych). Pierwszy to ułamek porcelany, drugi być może także, ale ze względu na zły stan zachowania nie można tego stwierdzić jednoznacznie. Może to być także odłupane, podmalowane szkliwienie. Porcelana pojawia się w Europie, jako import, już w XVII wieku²⁰. Odnaleziony fragment jest jednak najpewniej wytworem europejskim, zapewne z XIX wieku.

Zabytki wydzielone

Do grupy zabytków wydzielonych zakwalifikowano trzy przedmioty wykonane z brązu, sześć zabytków wykonanych z żelaza oraz dwa zabytki ceramiczne.

Pierwszy zespół tworzą narzędzia, do których zaliczono między innymi dwa sierpy. Pierwszy (tabl. 6:1) ma zachowaną długość 13 cm, szerokość ostrza do 3 cm. Reprezentuje on typ o łukowej formie ostrza z odgiętym kolcem. Drugi zabytek (tabl. 6:2) ma zblizzoną formę, także ma odgięty kolec, ale jego ostrze nie jest wygięte łukowo, tylko dwie rzy wyraźny kąt około 140°. Zachowana długość to 16,5 cm, a szerokość ostrza dochodzi do 2,8 cm. Tak, jak to zostało wspomniane przy okazji opisu sierpów z osiedla obronnego w Wysokiej Wsi²¹, najbliższą analogią są żelazne sierpy znane ze stanowiska kultury łużyckiej w Brudzyniu, gm. Janowiec Wielkopolski, gdzie wchodziły w skład depozytu datowanego na okres halsztacki C–D²² oraz sierp z osiedla obronnego w Kretowinach, gm. Morąg²³. Egzemplarz o wyraźnie zgiętym ostrzu znany jest z wielowarstwowego stanowiska w Rembielinie, gm. Chorzele²⁴.

Nieczęstym zabytkiem jest żelazna siekierka z okrągłą tuleją (tabl. 8:1). Siekierki tego typu występują w różnych okresach i na

¹⁶ Chojnacka-Banaszkiewicz 2017a: 145 (tabl. 10:6), 150 (tabl. 15:1), 158 (tabl. 23:1); Chojnacka-Banaszkiewicz 2017b:

¹⁷ Chojnacka-Banaszkiewicz 2017a: 157 (tabl. 22:3).

¹⁸ Hoffmann 2000: ryc. 42.

¹⁹ Ł. Okulicz 1970: 22–40.

²⁰ Oniszczuk 2013: 22.

²¹ Patrz. rozdział „Wysoka Wieś, st. 9” w niniejszym tomie.

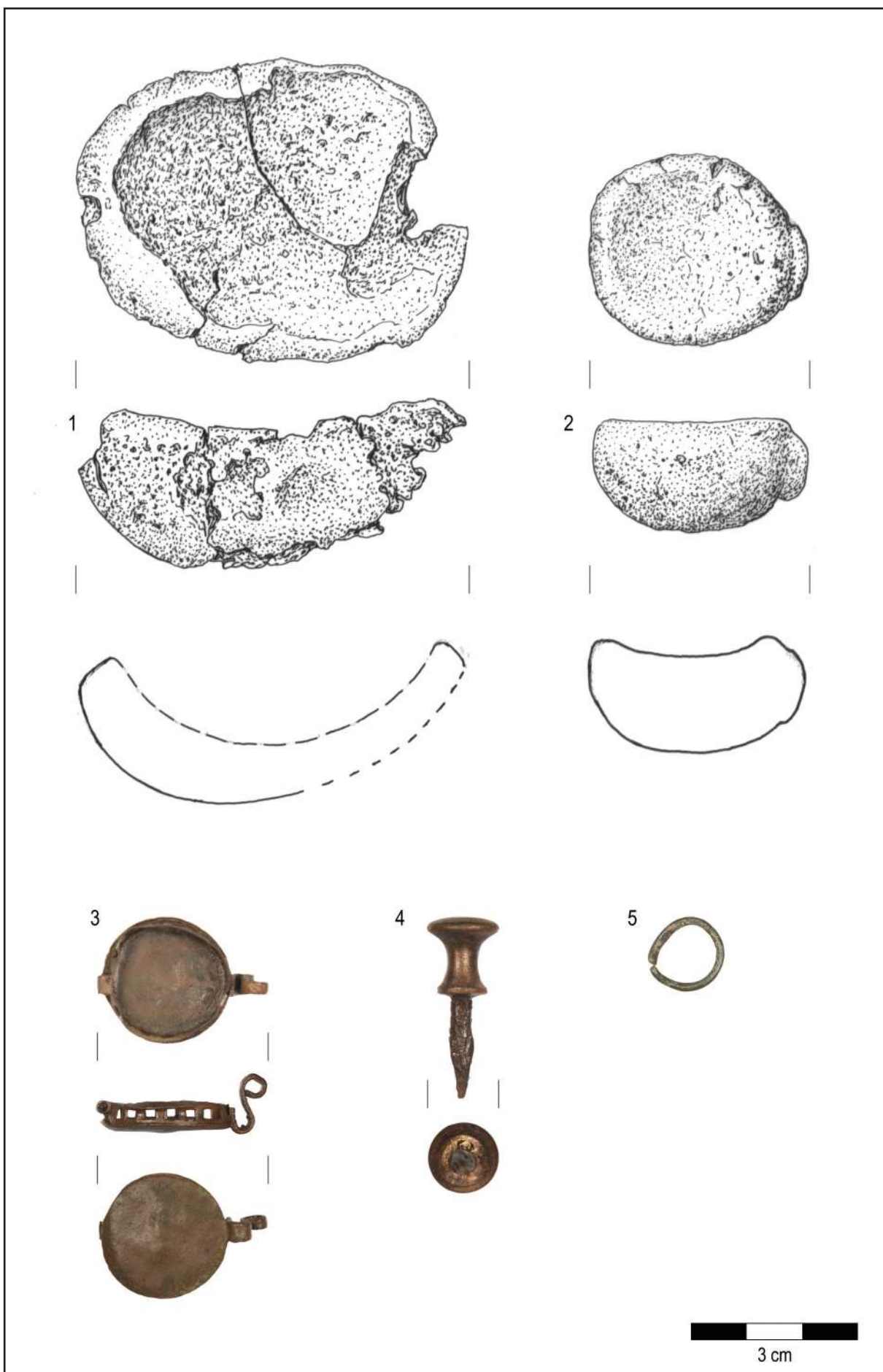
²² Gackowski i Rosołowski 2020b: 85–86.

²³ Antoniewicz 1954: 342.

²⁴ Waluś 2014: 132–133, 187 (tabl. XXIX:6).



Tablica 6. Winiec, st. 2. Zabytki wydzielone (fot. R. Solecki)



Tablica 7. Winiec, st. 2. Zabytki wydzielone (fot. R. Solecki)



Tablica 8. Winiec, st. 2. Zabytki wydzielone (fot. R. Solecki)

znacznym obszarze Europy Wschodniej. Odkryty egzemplarz ma długość 11,5 cm, średnicę tulei 4,7–5 cm i symetryczne, nierośszczepiące się ostrze. Analogiczny kształt ma siekierka odkryta na osiedlu nawodnym w Pleśnie gm. Bisztynek, które datowane jest na okres od halsztackiego D po wcześnie okres lateński i związane z kulturą kurhanów zachodniobałtyjskich²⁵. Zbliżona formą jest też siekierka z Bargłowa Dwornego, gm. Bargłów Kościelny, łączona z kulturą bogaczewską. Zbliżony kształt i rozmiar, choć o nieco smuklejszej sylwetce, ma egzemplarz siekierki znaleziony w Szwajcarii, gm. Suwałki, który łączony jest z kulturą sudowską²⁶. W Wińcu siekierka została znaleziona w kontekście zabytków wcześnieżelaznych, łączonych z kulturą kurhanów zachodniobałtyjskich i tak należałyby ją datować.

Do zespołu tego zaliczono także prawdopodobnie fragment żelaznego noża, z którego zachował się trzpień w formie kolca z nie wielkim odcinkiem ostrza (tabl. 6:3). Trzpień ma długość 4,5 cm i szerokość do 2,3 cm. Zbliżony zabytek znany jest ze stanowiska kultury lużyckiej w Brudzyniu, gm. Janowiec Wielkopolski, gdzie określono jego chronologię na okres od halsztackiego C po lateński A-B²⁷.

Jako narzędzia sklasyfikowano także dwie łyżki ceramiczne, z których zachowały się jedynie komory bez uchwytów. Pierwsza (tabl. 7:1) ma długość 7 cm, szerokość 5,5 cm i wysokość 2,9 cm. Głębokość komory dochodzi do 1,8 cm. Druga (tabl. 7:2) ma długość 4 cm, szerokość 3,5 cm i wysokość 2,1 cm. Głębokość komory wynosi około 0,4 cm. Jedną z interpretacji tego typu zabytków, jest wykorzystywanie w odlewnictwie metali²⁸. Za taką właśnie funkcją w odniesieniu do opisywanych egzemplarzy przemawia fakt, że oba zabytki noszą ślady wystawiania na działanie wysokiej temperatury – są rozpułchnione, pierwszy zabytek zdecydowanie bardziej. Z obszaru zajmowanego przez kulturę kurhanów zachodniobałtyjskich, analogiczne zabytki znane są z osiedli w Pleśnie, gm. Bisztynek i w Rybnie, gm. Sorkwity²⁹.

²⁵ Waluś 2014: 82–83, 131, 178 (tabl. XX:1); Gackowski 2017.

²⁶ Kontny 2016: 42–43, 45–46, 53, 55.

²⁷ Gackowski i Rosołowski 2020b: 86, 105, tabl. 25:2.

²⁸ Michałowski 2004: 144–146.

²⁹ J. Okulicz 1973: 269–278; Waluś 2014: 105–107.

Drugi zespół tworzą ozdoby. Dwie z tych ozdób to szpile żelazne. Pierwsza (tabl. 6:5) ma długość 9 cm, wykonana jest z drutu o przekroju kolistym, średnicy 0,3 cm i reprezentuje typ szpil z łabędzią szyjką i główką zwiniętą w uszko. Ostrze szpili jest obecnie rozdwojone, ale może to być wynik degradacji metalu. Analogiczne szpile, także wykonane z żelaza, znane są między innymi z Piórkowa, gm. Płoskinia, gdzie jedną znaleziono w grobie kultury kurhanów zachodniobałtyjskich, z przełomu okresu halsztackiego D i lateńskiego³⁰ i z Jarantowic, gm. Ryńsk, gdzie szpilę znaleziono w grobie kultury pomorskiej, prawdopodobnie z przełomu okresu halsztackiego D i lateńskiego³¹. Drugi zabytek (tabl. 6:4), interpretowany jako szpila, ma ułamany kolec, w przekroju prostokątny o wymiarach 0,3×0,4 cm. Zachowana długość wynosi 2,7 cm. Kolec rozszerza się, by utworzyć spłaszoną, trójkątną główkę szerokości 1,4 cm i grubości 0,7 cm. Powiązanie z typologią szpil wykonanych z brązu³² nie daje jednoznacznych sugestii. Gdyby na omawianym stanowisku była wydzielona faza średniowieczna, to zabytek tego typu można był interpretować jako fragment gwoździa. Zbliżony zabytek, interpretowany jako szpila, ale wykonany z kości, znany jest z osiedla obronnego w Tarławkach, gm. Węgorzewo, datowanego na okres od halsztackiego D, po lateński B³³. Jako ozdobę zakwalifikowano także małe ogniwko wykonane z brązowego drutu średnicy 0,1 cm i średnicy otworu 1 cm. Zabytki tego typu są popularne i nie mogą służyć jako dobre datowniki. Wykorzystywano je często do noszenia właściwych ozdób – zawieszek, paciorków. Przykładem może być brązowa zawieszka nanizana na kółko, albo zespół kółeczek i paciorków, znane z Rembielinia, gm. Chorzele³⁴.

Do zespołu ozdób o współczesnej chronologii zaliczono dwa zabytki. Pierwszy (tabl. 7:3) to fragment ażurowego puzderka o średnicy 2,3 cm i wysokości 0,6 cm, wykonanego ze stopu miedzi. Drugi (tabl. 7:4), to pinezka o ozdobnej, wykonanej ze stopu mie-

³⁰ Waluś 2014: 130, 188 (tabl. XXX:1); Waluś 1992b: 39–41.

³¹ Żórawska 2002.

³² Gedl 1983.

³³ Purowski 2008: 353 (ryc. 16:4), 355, 357–358.

³⁴ Waluś 2014: 132–133, 170 (tabl. XII:6), 183 (tabl. XXX:3).

dzi główce i żelaznym kolcu. Oba zabytki znalezione na powierzchni, w warstwie humusu, w niedużej odległości od reliktów domu z XIX wieku.

CHRONOLOGIA I DZIEJE GRODZISKA W WIŃCU, ST. 2

RAFAŁ SOLECKI

Osiedle obronne w Wińcu, st. 2 nie było do tej pory zewidencjonowane w ramach AZP, ani nie było badane wykopaliskowo. Pod względem formy terenowej – umocnienia w formie co najmniej trzech linii wałów i fos – stanowisko można porównać do oddalonego o około 17 km na wschód osiedla w Tatławach (st. 2), gm. Morąg, datowanego na IV–III wiek p.n.e.³⁵ i oddalonego o około 18 km na zachód osiedla w Wieprzu (st. 20), gm. Zalewo, także datowanego na IV–III wiek p.n.e.³⁶ Taką chronologię stanowiska potwierdza także przeprowadzona analiza materiału ceramicznego, w trakcie której wydzielono formy, które są charakterystyczne dla okresu od La Tène A do La Tène C, jak również wyniki analizy radiowęglowej, które wskazały przedziały lat 400–210 p.n.e. oraz 403–211 p.n.e. z prawdopodobieństwem 95,4%³⁷.

Na nieco wcześniejsze początki osiedla może wskazywać analiza zabytków wydzielonych – żelazne sierpy i żelazna siekierka znane są ze stanowisk o chronologii sięgającej okresu halsztackiego D, chociaż występują także w okresie lateńskim A–B³⁸. Wcześniejszą metrykę ma także żelazna szpila z łabędzią szyjką i główką zwiniętą w uszko, której analogie znane są ze stanowisk z przełomu okresów halsztackiego i lateńskiego³⁹.

Analiza stratygraficzna nawarstwień kulturowych wykazała istnienie co najmniej dwóch wczesnożelaznych faz użytkowych, które w opracowaniu opisano jako 1A i 1B.

³⁵ Solecki i Wysocki 2017a: 111; Kobylińska, Solecki i Wysocki 2017b: 135–136.

³⁶ Solecki i Wysocki 2017b: 243–244; Kobylińska, Solecki i Wysocki 2017a: 260.

³⁷ Analiza przeprowadzona w Poznańskim Laboratorium Radiowęglowym, próba nr Poz-117827 i Poz-117828.

³⁸ Antoniewicz 1954: 342; Waluś 2014: 82–83, 131–133, 178, 187 (tabl. XX:1, XXIX:6); Gackowski 2017.

³⁹ Waluś 2014: 130, 188 (tabl. XXX:1); Waluś 1992b: 39–41; Żórawska 2002.

Fazy te musiały nastąpić jedna po drugiej, gdyż analiza materiału ceramicznego pochodzącego z obu tych faz nie wykazała różnic typologicznych. Należy zatem wnosić, że niewielka zmiana w formie użytkowania obszaru osiedla – zarzucenie utrzymania domniemanej palisady wokół majdanu i rezygnacja z użytkowania domostwa na Tarasie I na rzecz prawdopodobnie powiększenia osiedla – musiała zaistnieć bez przerwy osadniczej. Przyczyną podjęcia decyzji o zmianach na obszarze majdanu i Tarasu I mógł być napad i pożar starszych zabudowań. Hipotezę, że nie był to przypadkowy pożar może potwierdzać odkrycie wspomnianej żelaznej szpili z łabędzią szyjką i główką zwiniętą w uszko w wyposażeniu 20, interpretowanym jako element palisady wokół majdanu. Być może zabytek ten ukryto w obawie, by nie stał się łupem. Po spaleniu się palisady – ślady pożaru widoczne są zarówno w obrębie dołu posłupowego 20, jak i wokół niego, jako warstwa spalenizny 15 – zabytek nie został już zabrany.

Po opuszczeniu osiedla, jego obszar nie był wykorzystywany aż do około XIX wieku. Wtedy to na obszarze majdanu wznieziony został budynek, opisany na mapie z 1930 roku, jako *Lusthaus*⁴⁰. Obszar wokół niego musiał być w jakiś sposób zaaranżowany, gdyż na powierzchni, w dość dużych ilościach występują żelazne gwoździe i kawałki drutów. Obiekt ten nie jest już widoczny na mapach z drugiej połowy XX wieku. Obecnie w południowej części majdanu widoczne są relikty kamienno-ceglanego fundamentu i ułamki ceramicznych dachówek.

Stanowisko jest dość dobrze zachowane, gdyż skala wykorzystania majdanu z przełomu XIX i XX wieku objęła nieduży jego fragment i to najpewniej w większości powierzchniowo. Przeprowadzone badania wykopaliskowe dostarczyły bardzo ciekawych materiałów wskazujących, że osiedle było bogate i wykorzystywane przez długi czas. Powinno zatem stać się przedmiotem pogłębionych studiów.

⁴⁰ Mapa *Topographische Karte 1:25 000, Meßtischblatt*, karta Simnau (2186), z 1930 roku.

Słonecznik, st. 1

Zameczny Ostrów

Gmina Morąg

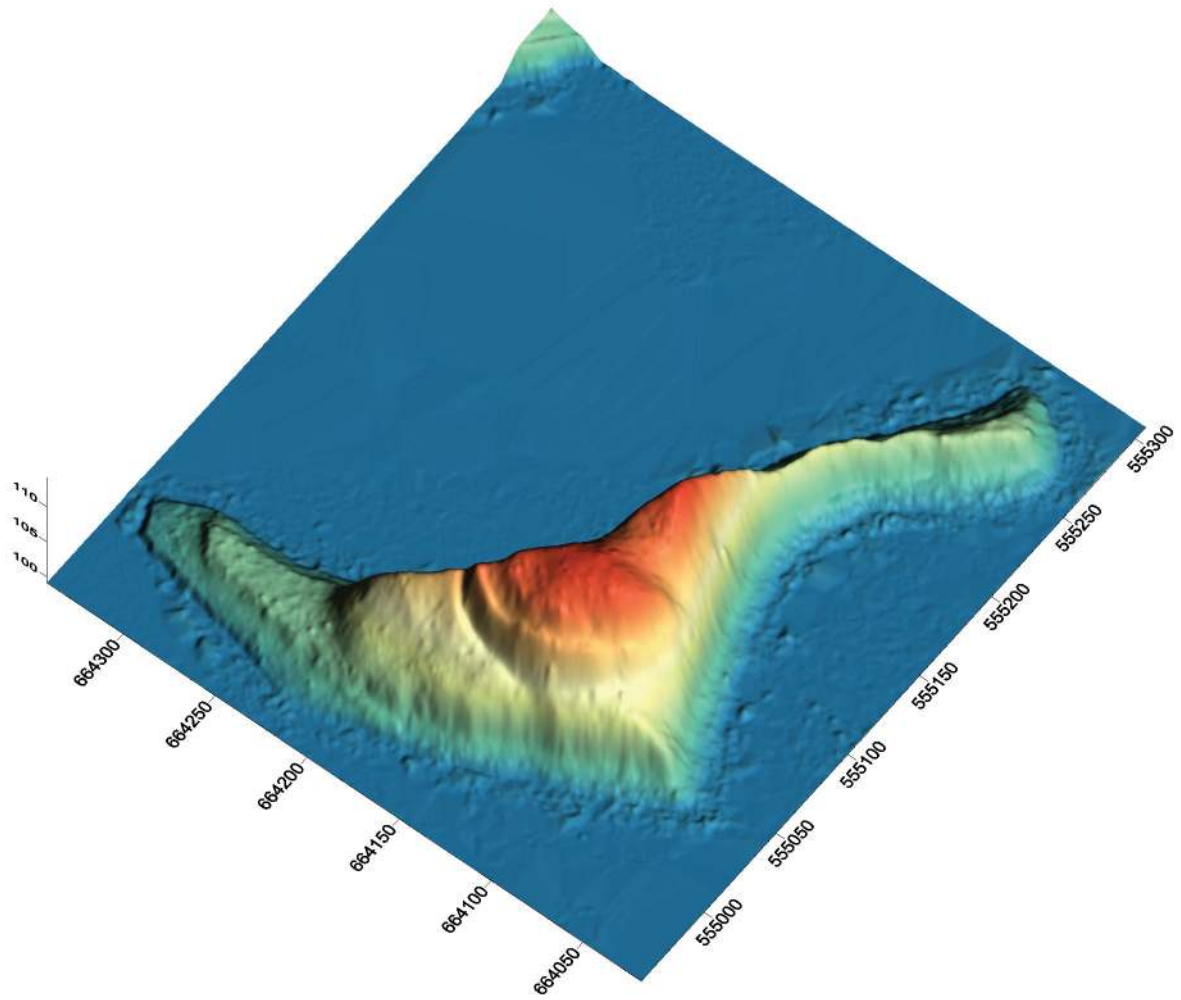
Powiat ostródzki

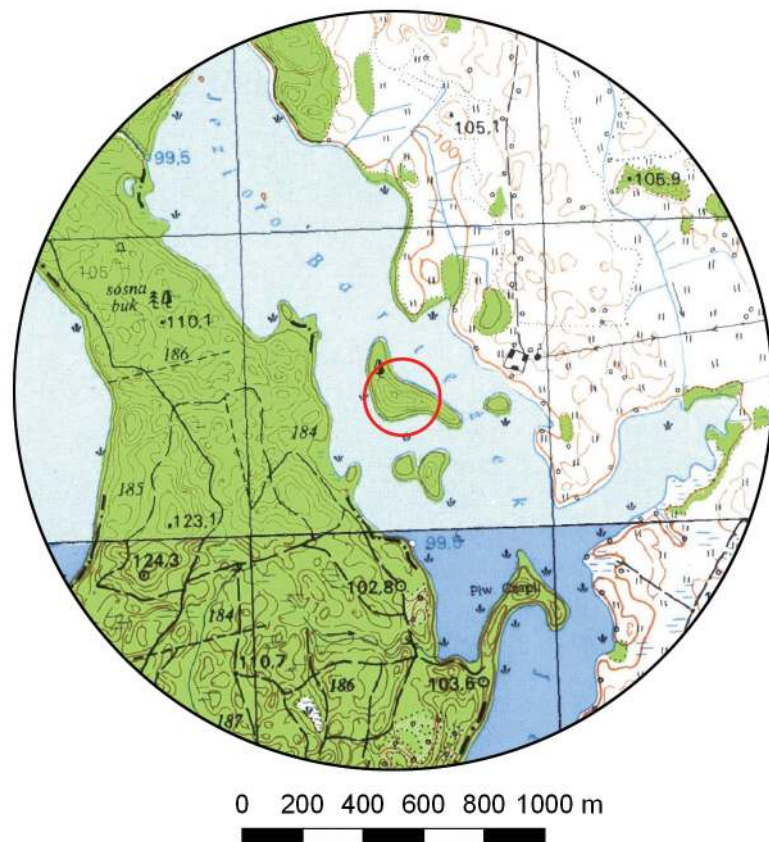
AZP 23-55/31

Współrzędne geograficzne:

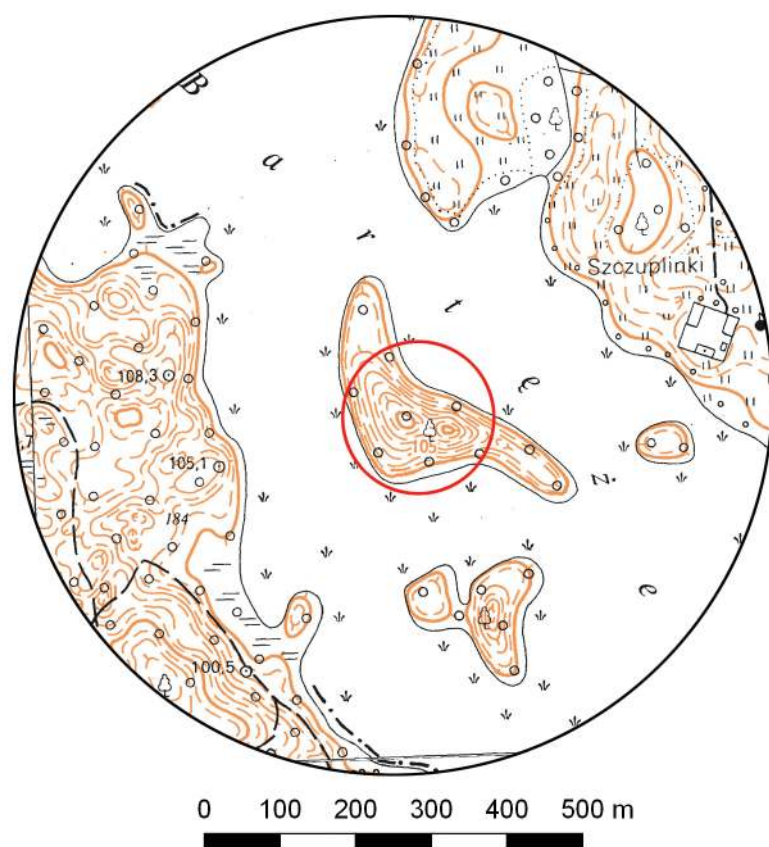
N 53° 50' 20"

E 19° 50' 13"





Ryc. 1. Grodzisko w Słoneczniku, st. 1
na mapie w skali 1:25 000
(na podstawie materiałów GUGiK,
oprac. R. Solecki)



Ryc. 2. Grodzisko w Słoneczniku, st. 1
na mapie w skali 1:10 000
(na podstawie materiałów GUGiK,
oprac. R. Solecki)

POŁOŻENIE GRODZISKA I JEGO FORMA

RAFAŁ SOLECKI

Grodzisko położone na wyspie Jeziora Bartężek zostało po raz pierwszy opisane i narysowane przez Johanna Michaela Guise (ryc. 3:B) w latach dwudziestych XX wieku. Na szkicu umocnienia te nazwał *Schlossberg*¹. Taki sam opis wyspy znajduje się na mapie z 1930 roku (ryc. 3:A). Następnie grodzisko w 1937 roku opisał Hans Crome, nazywając je *Schlosswerder* i przypisując do wsi Jaśkowo w gminie Zalewo (niem. *Jäskendorf*), położonej w odległości około 7,6 km w linii prostej na zachód. Jego chronologię ustalił na wcześnie średniowiecze i powiązał z osadnictwem pruskim². Zbliżony opis stanowiska znajduje się na karcie grodziska ze zbioru Burgwallkartei. Po II wojnie światowej stanowisko najpewniej zostało zapomniane, gdyż nie zostało zewidencjonowane w ramach projektu Archeologiczne Zdjęcie Polski (AZP). Wyspa ta jednak posiada swoją lokalną nazwę – Zamieczny Ostrów³.

¹ Szczepański 2013: 236.

² Crome 1937: 108.

³ Leyding 1973a: 37.



Ryc. 3. Grodzisko w Słoneczniku, st. 1 na: A) mapie Topographische Karte 1:25 000, Meßtischblatt, karta Sonnenborn (2185), z 1930 roku (źródło: www. http://igrek.amzp.pl), B) szkic wykonany przez C. Engla w 1930 r. (źródło: Staatliche Museen zu Berlin, Museum für Vor- und Frühgeschichte, PM-A 119/1, k. 113)

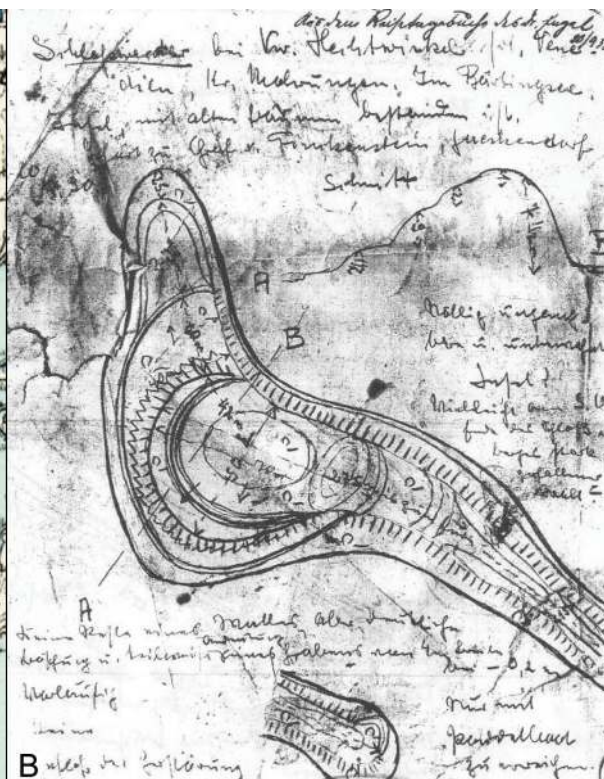
Obecnie stanowisko znajduje się w obrębie ewidencyjnym wsi Słonecznik (niem. *Sonnenborn*). Było weryfikowane archeologicznie w 2012 roku, ale wynik weryfikacji był negatywny⁴ i stanowisko nie znalazło się w pierwszych tomach *Katalogu grodzisk Warmii i Mazur*. Ponowna weryfikacja przeprowadzona przy okazji archeologicznych badań wykopaliskowych na grodzisku w pobliskim Wińcu, st. 2, wykazała, że stanowisko jest jednak grodziskiem.

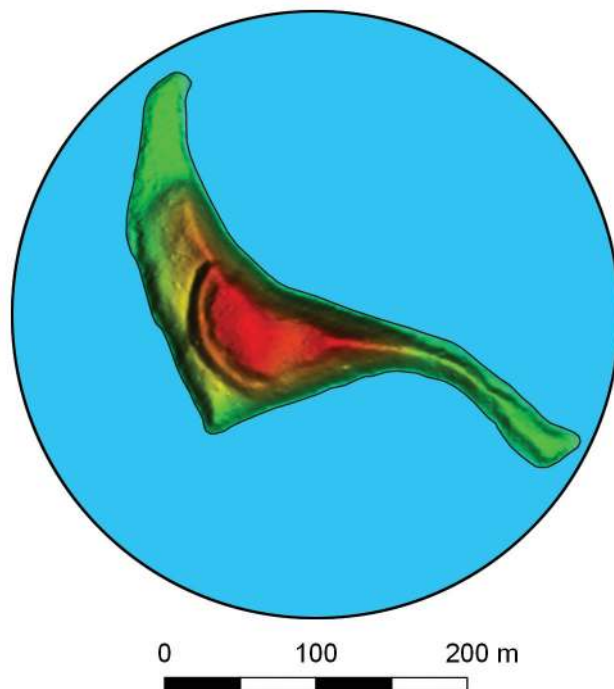
Grodzisko zajmuje centralną część niedużej, zbliżonej do trójkąta wyspy, której kształt jest prawdopodobnie sztuczny (ryc. 4). Na planie z około 1802 roku⁵ wyspa także jest trójkąta, ale jej narożniki zorientowane są w innych kierunkach niż obecnie. Być może jest to wynik prac związanych z budową Kanału Elbląskiego, gdyż Jezioro Bartężek jest elementem szlaku żeglugowego i na przestrzeni ostatnich niecałych 200 lat, co najmniej kilkukrotnie w jego obrębie prowadzono prace hydrotechniczne, w tym obniżono poziom tafl wody o około 1,5 m⁶. Samo grodzisko wygląda na zniszczone – jego umocnienia są czytelne

⁴ Kobyliński et al. 2016: 282–283.

⁵ Schrötter: Karte von Ost-Preussen nebst Preussisch Litthauen und West-Preussen nebst dem Netzdistrict 1:150 000, arkusz Osterode, około 1802 rok.

⁶ Leyding 1973b: 57.





Ryc. 4. Grodzisko w Słoneczniku, st. 1 na zobrazowaniu ALS (na podstawie materiałów GUGiK, oprac. R. Solecki)



Ryc. 5. Słonecznik, st. 1. Widok od strony północnej na wał grodziska (fot. R. Solecki)



Ryc. 6. Słonecznik, st. 1. Widok ze szczytu wału w kierunku wschodnim na majdan (fot. R. Solecki)

tylko od strony zachodniej. Tam, gdzie są zahowane, widoczne jest strome podejście pod wąski taras okalający wypiętrzony majdan (ryc. 5–6). Taras ma szerokość do 7 m i długość około 102 m. Krawędź majdanu nie ma czytelnego wału. Wąski nasyp widoczny jest natomiast na krawędzi tarasu. Od strony północnej czytelna jest płytka fosa okalająca podnóża grodziska. Różnica wysokości pomiędzy podnóżem grodziska a tarasem wynosi około 3,7 m, a pomiędzy tarasem a szczytem majdanu dochodzi do 3 m. Najwyższy punkt majdanu osiąga poziom około 114,2 m n.p.m. Powierzchnia obszaru, który można uznać za majdan wynosi około 37 arów.

ŚRODOWISKO FIZYCZNOGEOGRAFICZNE

ANNA LEJZEROWICZ

Według podziału fizycznogeograficznego Polski Jerzego Kondrackiego, grodzisko w Słoneczniku, st. 1 znajdowało się w granicach mekroregionu Pojezierze Iławskie. Od 2018

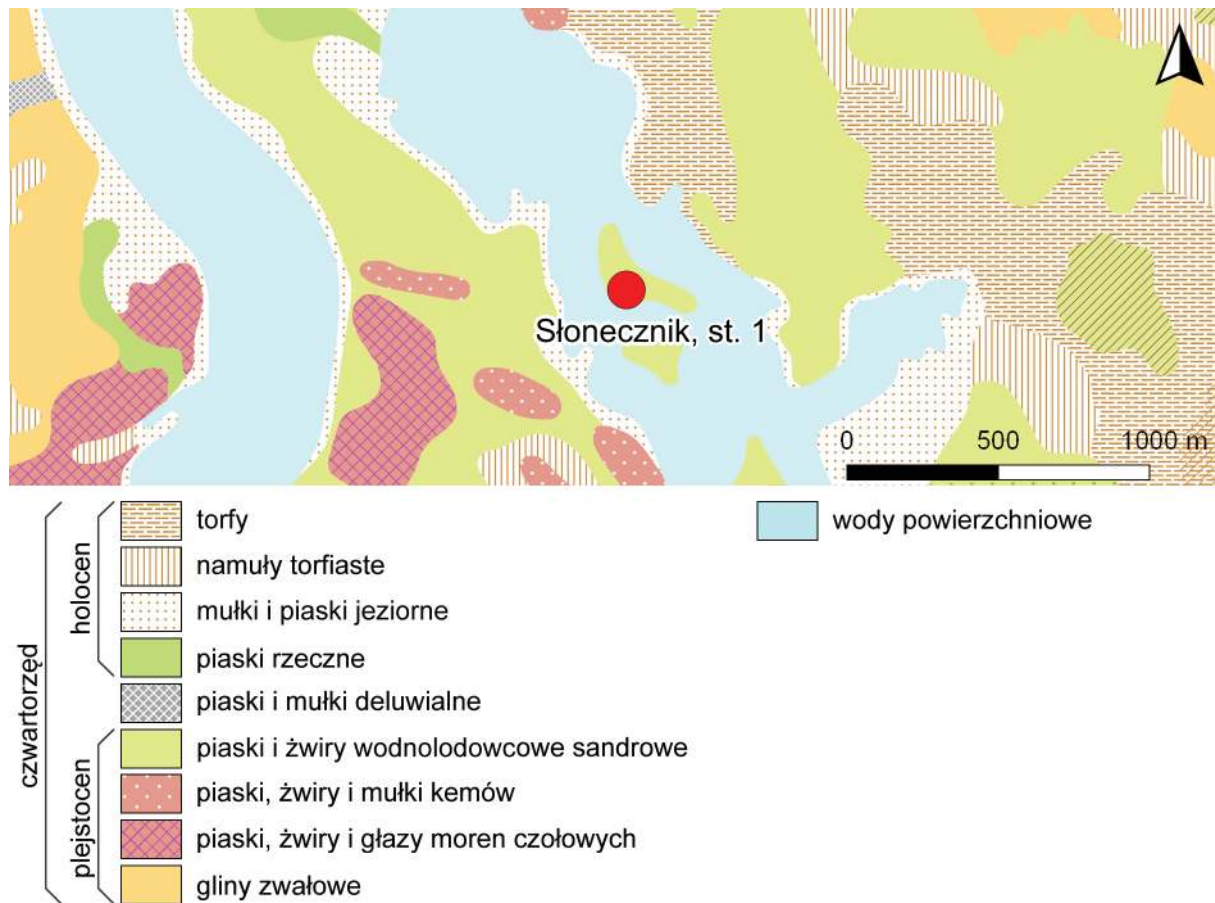
roku, w obrębie tego makroregionu został wydzielony mezoregion Pojezierze Dziergońsko-Morąskie⁷.

Według *Szczegółowej Mapy Geologicznej Polski* w skali 1:50 000 (arkusz Morąg) na obszarze stanowiska występują piaski i żwiry wodnolodowcowe (sandrowe) (ryc. 7)⁸. Według wskazań *Mapy Geologicznej Polski* w skali 1: 500 000 stanowisko znajduje się na obszarze występowania piasków i żwirów sandrowych z okresu zlodowacenia północnopolskiego, a według *Mapy Litogenetycznej Polski* w skali 1:50 000 na obszarze występowania piasków żwirowatych wodnolodowcowych.

Teren badań znajduje się na obszarze wysoczyzny morenowej falistej, której towarzyszą moreny martwego lodu, kemy i formy akumulacji szczelinowej, które powstały wzdłuż linii odpływu wód roztopowych w szczelinach i rozpadlinach istniejących w martwym i stagnującym lodzie. Obecne w pobliżu jeziora Bartążek moreny czołowe powstawały podczas krótkotrwałych postojów lądolodu,

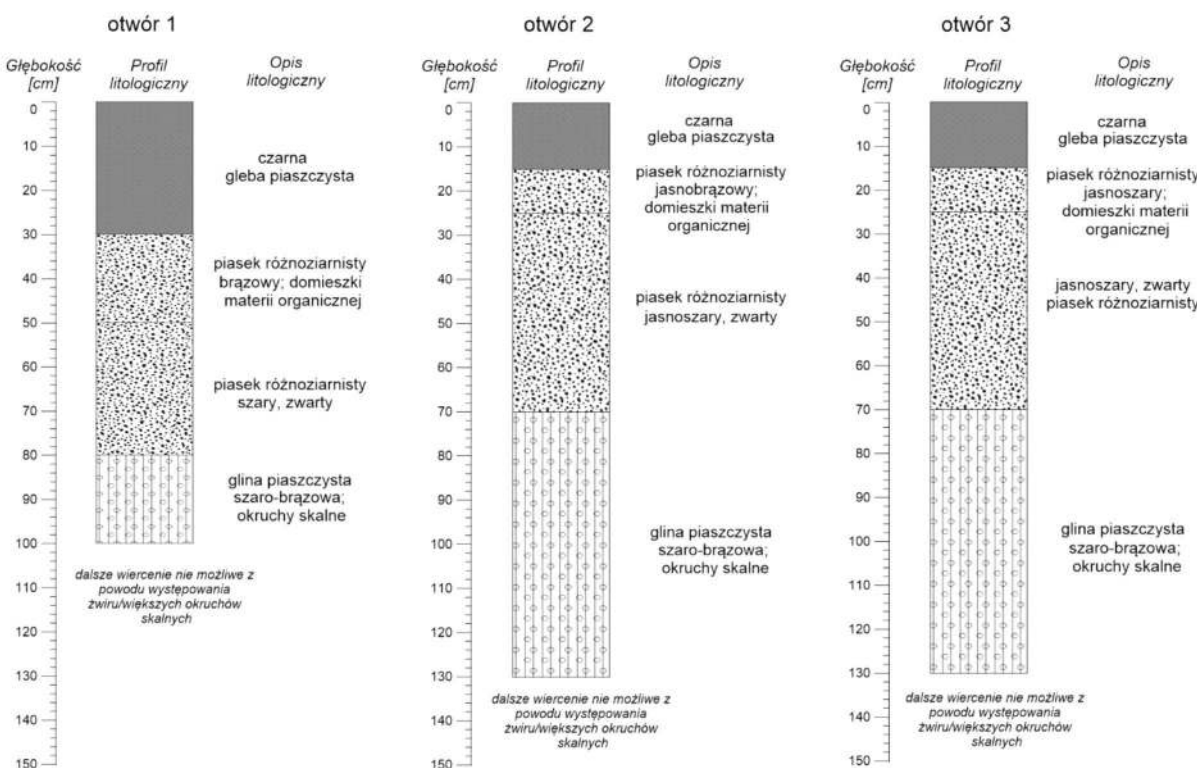
⁷ Kondracki 2002: 91–92; Solon et al. 2018..

⁸ Szałamacha i Trzmiel 2006.



Ryc. 7. Wycinek arkusza Szczegółowej Mapy Geologicznej Polski z zaznaczonym stanowiskiem w Słoneczniku, st. 1 (źródło:

www.cbdgmapa.pgi.gov.pl/arcgis/services/kartografia/smgp50k/MapServer/WMServer, oprac. R. Solecki)



Ryc. 8. Profile litologiczne odwiertów wykonanych na obszarze grodziska w Słoneczniku, st. 1 (oprac. A. Lejzerowicz)

w trakcie jego recesji w fazie pomorskiej stadiału górnego zlodowacenia Wisły. W sąsiedztwie jeziora Ruda Woda (na zachód od stanowiska) oraz na wschód od jeziora Bartążek znaleźć można równiny sandrowe i wodnolodowcowe. Powstanie równin sandrowych jest związane z oddziaływaniami lokalnych systemów odpływu wód roztopowych⁹.

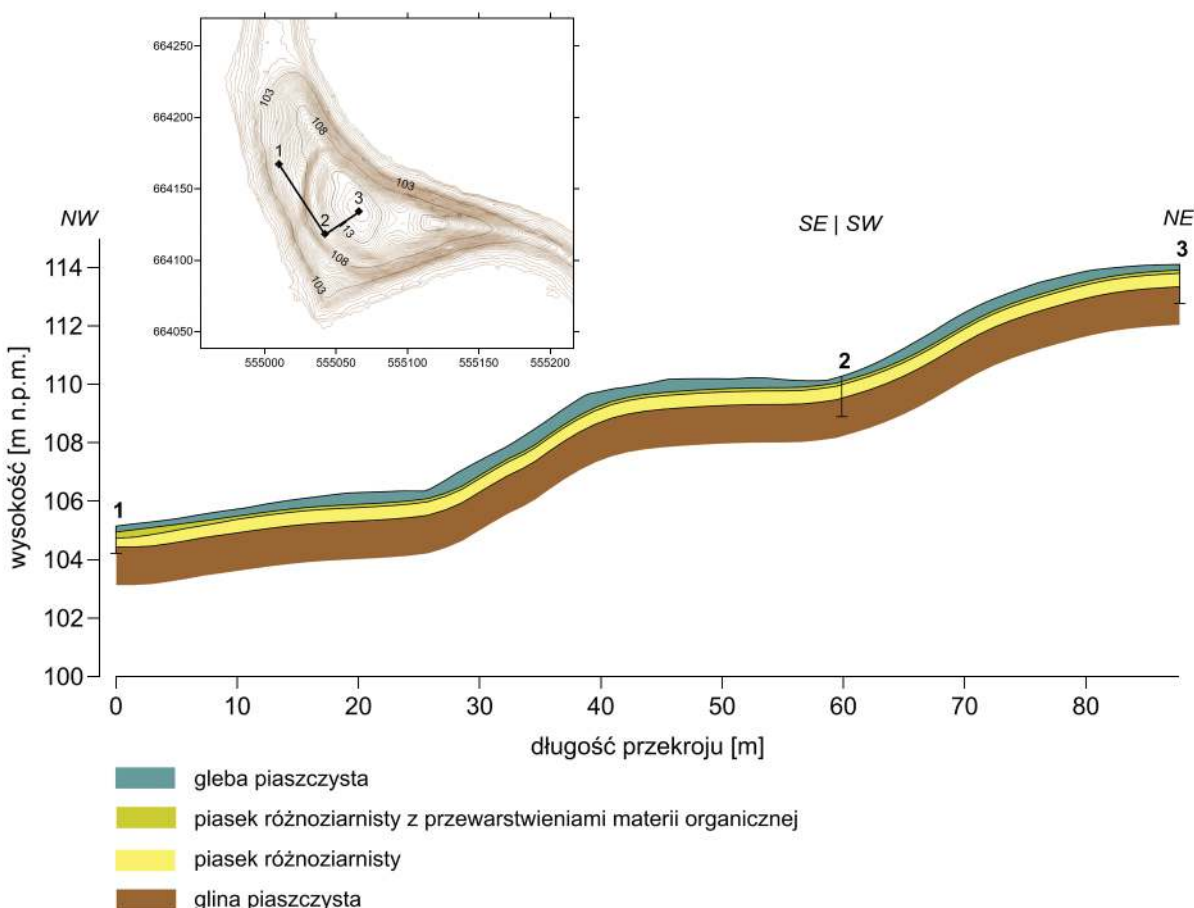
Samo grodzisko znajduje się na jednej z wysp jeziora rynnowego Bartążek, w obrębie rozległej równiny sandrowej, która obecnie rozcięta jest przez wody jeziora. Wyspa ma charakterystyczny, trójkątny kształt z wyraźnym wyniesieniem w centralnej części. Wydłużony kształt oraz stosunkowo duża wysokość świadczą o powstaniu wyspy, jako części rynny subglacialnej (obecnie zajętej przez jezioro Bartążek), jako formy akumulacji szczelinowej o przebiegu południkowym, która następnie została przykryta osadami sandrowymi¹⁰.

Na obszarze wyspy i stanowiska wykonano 3 wiercenia świdrem geologicznym (ryc. 8). Na podstawie wykonanych wierceń stworzony został schematyczny przekrój geologiczny przez stanowisko (ryc. 9). W wierceniach zaobserwowano występowanie miąższej warstwy gleby (dlatego też została ona uwzględniona na schematycznym przekroju geologicznym), następnie osady piaszczyste (piaski: drobno- i średnioziarniste) częściowo z wyraźnymi przekładkami materii organicznej, a na końcu glina piaszczysta, w której znajdował się grubszy materiał, który uniemożliwił dalsze wiercenie.

Wykonane wiercenia potwierdzają obecność osadów piaszczystych na badanym stanowisku. Powstały one na terenie rozległej równiny sandrowej podczas ostatniego zlodowacenia. W najwyższej położonej warstwie piasków (pod miąższą warstwą gleby) zaobserwować można przewarstwienia materii organicznej. Nawiercone na głębokości około 70–80 cm gliny piaszczyste charakteryzują się występowaniem okruchów skalnych.

⁹ Pikić 2014: 9–13.

¹⁰ Szałamacha i Trzmiel 2006: 9.



Ryc. 9. Schematyczny przekrój geologiczny przez grodzisko w Słoneczniku, st. 1 (oprac. A. Lejzerowicz)

BADANIA ARCHEOLOGICZNE RAFAŁ SOLECKI

Przebieg badań terenowych

Jak zostało już wcześniej wspomniane, stanowisko było już poddawane weryfikacji archeologicznej w 2012 roku, a jej wynik był negatywny¹¹. Podczas wizytacji stanowiska w 2019 roku odnaleziono na powierzchni majdanu liczne fragmenty ceramiki. Ich duże zagęszczenie zaobserwowano zwłaszcza na obszarze tarasu poniżej majdanu w kierunku południowo-zachodnim. By określić charakter nawarstwień w tym miejscu, wykonano cztery odwierty świdrem geologicznym. Pozwoliło to na ograniczoną rekonstrukcję układu jednostek stratygraficznych w formie cięcia profilowego 1 (P1) (ryc. 11, 12).

Stratygrafia stanowiska

W trakcie omawianego rozpoznania wydzielono łącznie 4 jednostki stratygraficzne (tabela 1). Możliwe było ich rozdzielenie pomiędzy podłożem naturalnym i 2 fazami „użytkowej”.

Diagram Harrisa dla wydzielonych jednostek stratygraficznych przedstawia ryc. 10 a zado- dokumentowany przekrój przez taras ryc. 12.

Warstwy naturalne

W trakcie badań, jako jednostki naturalne zidentyfikowano zwarty piasek o frakcji od drobno- do gruboziarnistej 3 oraz zalegający stratygraficznie poniżej ilasty piasek z pojedynczymi żwirkami 4.

Faza I

Faza ta wyznacza okres użytkowania osiedla obronnego. Do fazy tej zaliczono piasek o frakcji od drobno- do gruboziarnistej 2 z dużą domieszką materii organicznej i pojedynczymi węglami drzewnymi. Z warstwy tej



Ryc. 10. Słonecznik, st. 1. Diagram relacji stratygraficznych (oprac. R. Solecki)

¹¹ Kobyliński et al. 2016: 282–283.

Tabela 1. Słonecznik, st. 1. Katalog warstw oraz ich zależności stratygraficznych (oprac. R. Solecki)

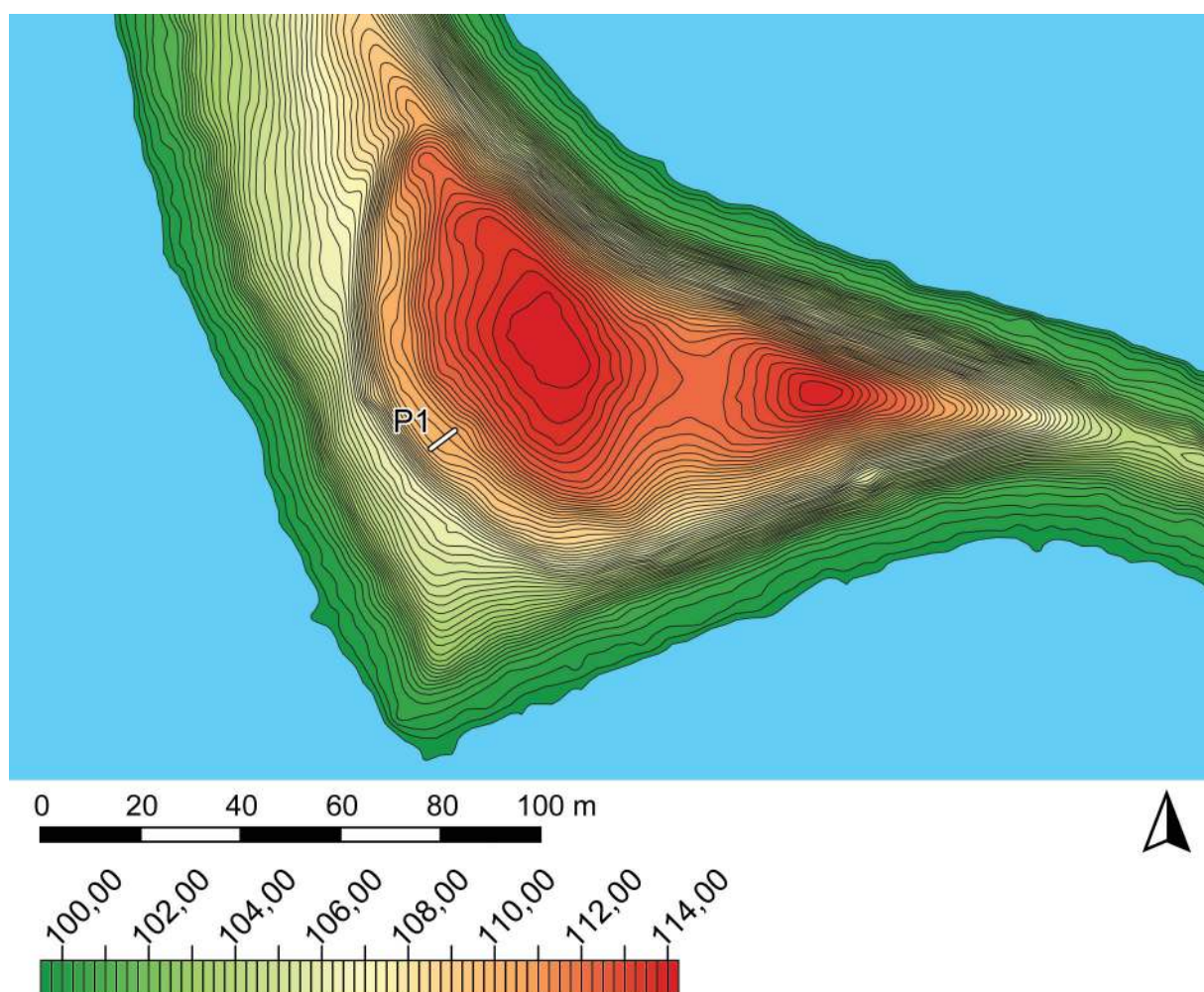
Numer jednostki	Numer obiektu	Numer profilu	Polozenie w obrębie stanowiska	Współrzędne geodezyjne (PUWG 1992)	Opis jednostki stratygraficznej	Barwa (Munsell)	Pozycja stratygraficzna	
							Zdajduje się pod	Znajduje się nad
1	-	1	Taras	X=664114,7- 664120,1; Y=555041,8- 555046,8	Ciemny piasek z bardzo dużą domieszką materii organicznej; miąższość do 15 cm; humus leśny	10YR 3/2	-	2
2	-	1	Taras	X=664114,7- 664120,1; Y=555041,8- 555046,8	Piasek o frakcji od drobno- do gruboziarnistej z dużą domieszką materii organicznej i pojedynczymi węglami drzewnymi; miąższość do 10 cm; warstwa kulturowa	10YR 5/2	1	3
3	-	1	Taras	X=664114,7- 664120,1; Y=555041,8- 555046,8	Zwarty piasek o frakcji od drobno- do gruboziarnistej; miąższość do 70 cm; warstwa naturalna	10YR 5/6	2	4
4	-	1	Taras	X=664114,7- 664120,1; Y=555041,8- 555046,8	Ilasty piasek z pojedynczymi żwirkami; warstwa naturalna	10YR 7/6	3	-

pobrano próbę węgla do analizy radiowęgowej. Wynik tej analizy dał po kalibracji przedział lat 768–431 p.n.e. z prawdopodobieństwem 95,4%¹². Warto odnotować, że nawierając tę warstwę pozyskano także cztery fragmenty ceramiki, co może świadczyć o intensywności osadnictwa

Faza II

Faza ta wyznacza współczesny poziom użytkowy stanowiska. Warstwa przypisana do tej fazy to ciemny piasek z bardzo dużą domieszką materii organicznej 1 – poziom dzisiejszego humusu leśnego. Z powierzchni tej warstwy, z obszaru majdanu i tarasu osiedla obronnego, pozyskano łącznie 41 fragmentów ceramiki, z czego 7 znajdowało się w miejscu, gdzie wytyczono cięcie profilowe 1.

¹² Analiza przeprowadzona w Poznańskim Laboratorium Radiowęglowym, próba nr Poz-121178.



Ryc. 11. Słonecznik, st. 1. Plan grodziska z naniesionym cięciem profilowym (oprac. R. Solecki)

Ryc. 12. Słonecznik, st. 1. Stratygrafia nawarstwień w obębie tarasu – cięcie profilowe 1 (oprac. R. Solecki)



P1 - lata 768–431 p.n.e. (prawdopodobieństwo 95,4%)

ZNALEZISKA

RAFAŁ SOLECKI

Na materiał zabytkowy pozyskany w trakcie prospekcji archeologicznej grodziska w Słoneczniku, st. 1, w 2019 roku składa się 45 fragmentów ceramiki (tabela 2 i 3).

Ceramika

Pozyskane w trakcie prospekcji fragmenty ceramiki pochodziły w większości (41 fragmentów) z powierzchni stanowiska. Zapewne z tego względu próba była silnie rozdrobniona – 41 fragmentów (91,1% zbioru) miało dłuższy bok nieprzekraczający 5 cm. Prze prowadząc analizę stanu zachowania powierzchni i krawędzi zastosowano skalę zaproponowaną przez Andrzeja Buko. Do kategorii I (skorupy z niewielkimi, miejscowymi wytarciami) przypisano 3 fragmenty (6,7% zbioru), do kategorii II (skorupy o powierzchniach i krawędziach wytartych i zaokrąglonych) przypisano 38 fragmentów (84,4% zbioru) i do kategorii III (skorupy obtoczone, niekiedy o zmniejszonej grubości ścianek) przypisano 4 fragmenty (8,9% zbioru)¹³.

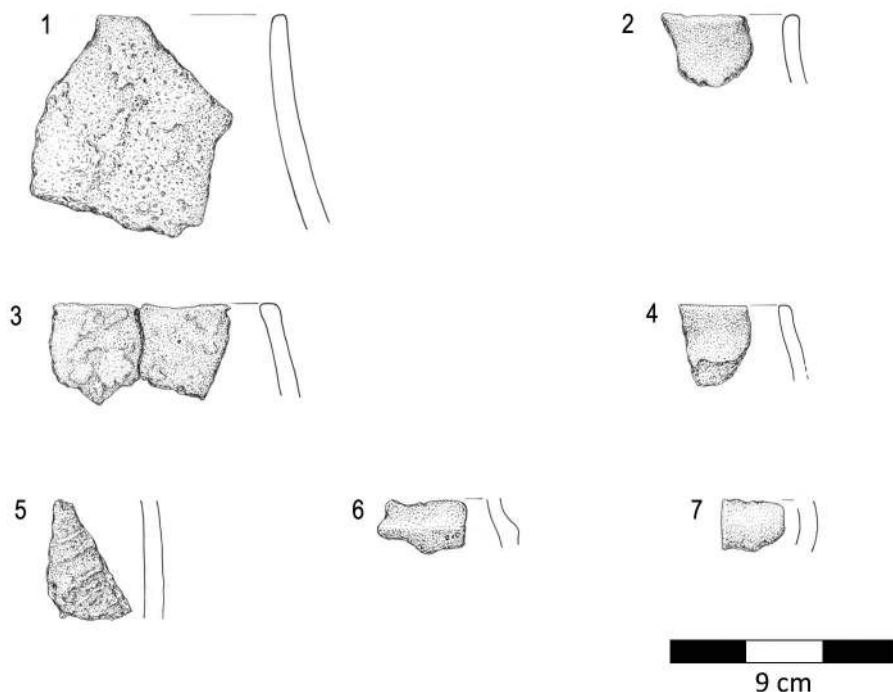
Zasadniczo wszystkie fragmenty można zaliczyć do jednej grupy technologiczno-surowcowej. Ceramika wykonana była ze słabo wyrobionej masy garncarskiej, z dużą ilością domieszki schudzającej (piasku i tłuczonego

¹³ Buko 1990.

granitu) o frakcji od drobno- do gruboziarnistej. Naczynia wypalane były najpewniej w dość niskiej temperaturze, za czym przemawia fakt, że ceramika jest wysoce łamliwa i nasiąkliwa. Niemalże wszystkie fragmenty miały powierzchnię szorstką (22 przypadki), lub chropowatą (16 przypadków). Tylko jeden fragment (ucha – ryc. 13:7) miał powierzchnię gładką. W sześciu przypadkach nie było możliwe określenie typu powierzchni naczynia.

W analizowanym zbiorze znalazło się 39 fragmentów brzuśców, 5 fragmentów wylewów i 1 fragment ucha. Rozmiar fragmentów jest zbyt mały, by możliwe było zrekonstruowanie pełnej formy jakiegokolwiek naczynia. Największy zachowany fragment (ryc. 13:1) jest częścią wylewu prawdopodobnie naczynia o formie wazowej, lub dwustójkowej, według klasyfikacji zaproponowanej przez Mirosława Hoffmanna, dla naczyń z wcześniejszej epoki żelaza¹⁴. Na mniejszym fragmencie wylewu naczynia (ryc. 13:3), być może o formie jajowatej, jest słabo widoczne zaszczypwanie krawędzi wylewu. Na jednym z fragmentów brzuśca o chropowatości powierzchni, widoczne są ślady obmazywania palcami (ryc. 13:5). Na jednym fragmencie brzuśca widoczna jest ułożona poziomo, prosta, plastyczna listwa (ryc. 13:6).

¹⁴ Hoffmann 2000: 296–297, ryc. 35–36.



Ryc. 13. Słonecznik, st. 1. Ceramika z okresu wcześniejszej epoki żelaza (rys. B. Karch)

Tabela 2. Zestawienie ilościowe fragmentów ceramiki z grodziska w Słoneczniku, st. 1 (oprac. R. Solecki)

Faza	Jedn. strat.	Kategorie wielkościowe (cm)										Stopień erozji				Suma	
		1	2	3	4	5	6	7	8	9	10	0	1	II	III		
II	1	41	13	5	16	3	35	13	1	22	5			3	36	2	
I	2	4	2				4	3			1			2	2	4	
Suma	45	15	5	16	3	39	16	1	22	6	1				38	4	45

Tabela 3. Fragmentacja i erozja fragmentów ceramiki z grodziska w Słoneczniku, st. 1 (oprac. R. Solecki)

Rodzaj powierzchni	Brzoże	Dna	Fragmenty przepalone				Fragmenty o wyplukanej powierzchni
			Rodzaj	Dna	Wklesłe	Plaskie	
Wylevy							
SEN (procent obwodu)							
Liczba fragmentów							
Części przydennne							
Ucha							
Ornamentowane							
Wyświeciane							
Gładkie							
Chropowaczone							
Nieokreślone							
Sztyki							
SEN (procent obwodu)							
Liczba różnych naczyn							
Liczba fragmentów facyzni							
Jednostka stratygraficzna							
SEZ (procent obwodu)							
Liczba roznych naczyn							
Wylewy							
Rodzaj powierzchni							
Brzoże							
Dna							
Wklesłe							
Plaskie							

CHRONOLOGIA I DZIEJE GRODZISKA W SŁONECZNIKU, ST. 1

RAFAŁ SOLECKI

Przeprowadzona prospekcja i pozyskane źródła potwierdzają, że stanowisko znajdujące się na wyspie Jeziora Bartężek, skatalogowane w ramach AZP pod numerem 23-55/31, numer 1 w miejscowości Słonecznik, pełniło w przeszłości funkcję grodu. W terenie czytelne są umocnienia – majdan otoczony tarasem, który zaopatrzony jest w niewysoki nasyp wału oraz płytka fosa widoczna od strony północnej u podnóża grodziska. W odwierachach potwierdzona została warstwa kulturowa, której chronologię bezwzględną określono na podstawie analizy radiowęglowej na VIII–V wiek p.n.e., (po kalibracji przedział lat 768–431 p.n.e. z prawdopodobieństwem 95,4%¹⁵). Omawiane grodzisko jest zatem nieco wcześniejsze niż znajdujące się niedaleko, oddalone o około 1,2 km na południe, grodzisko w Wińcu, które wydatowano radiowęglowo na V–III wiek p.n.e. (po kalibracji przedziału lat 400–210 p.n.e. oraz 403–211 p.n.e. z prawdopodobieństwem 95,4%¹⁶).

Zły stan zachowania znalezionych fragmentów ceramiki – znaczne rozdrobnienie i erozja – nie pozwala na precyzyjną analizę zbioru. Biorąc jednak pod uwagę, że wszystkie fragmenty reprezentują generalnie jedną grupę technologiczno-surowcową, a war-

stwę kulturową, z której pozyskano część zbioru, wydatowano radiowęglowo na VIII–V wiek p.n.e., można szacunkowo określić chronologię tego zbioru na wczesną epokę żelaza. W tym czasie, na omawianym obszarze, zanikało osadnictwo ludności, która była nośniakiem kultury lużyckiej, a w jej miejsce coraz częściej pojawiają się cechy bałtyjskie, które można wiązać z ludnością kultury kurhanów zachodniobałtyjskich. Pojedyncze cechy diagnostyczne zaobserwowane na analizowanych fragmentach ceramiki – forma naczynia wazowatego/dwustożkowego, chropowate powierzchnie ze śladami obmazywania, zaszczypywanie krawędzi wylewu – pozwala łączyć ten zbiór z kulturą ludności bałtyjskiej¹⁷.

Na obszarze stanowiska nie natrafiono na zabytki chronologicznie młodsze, nie licząc przedmiotów z końca XIX i XX wieku. Można zatem założyć, że widoczna forma terenowa grodziska powstała w okresie jego funkcjonowania, we wczesnej epoce żelaza. Młodsze interencje, mające wpływ na formę umocnień, można wiązać z XIX wiekiem i budową Kanału Elbląskiego. Zapewne wtedy podcięte zostały brzegi wyspy od wschodu i południa.

Ze względu na fakt, że stanowisko znajduje się na wyspie i jest odcięte od bezpośrednich wpływów człowieka, może być bardzo dobrze zachowane. Wskazane jest przeprowadzenie szczegółowych badań, które pozwoląby na pełną ocenę zasobu źródeł archeologicznych grodziska.

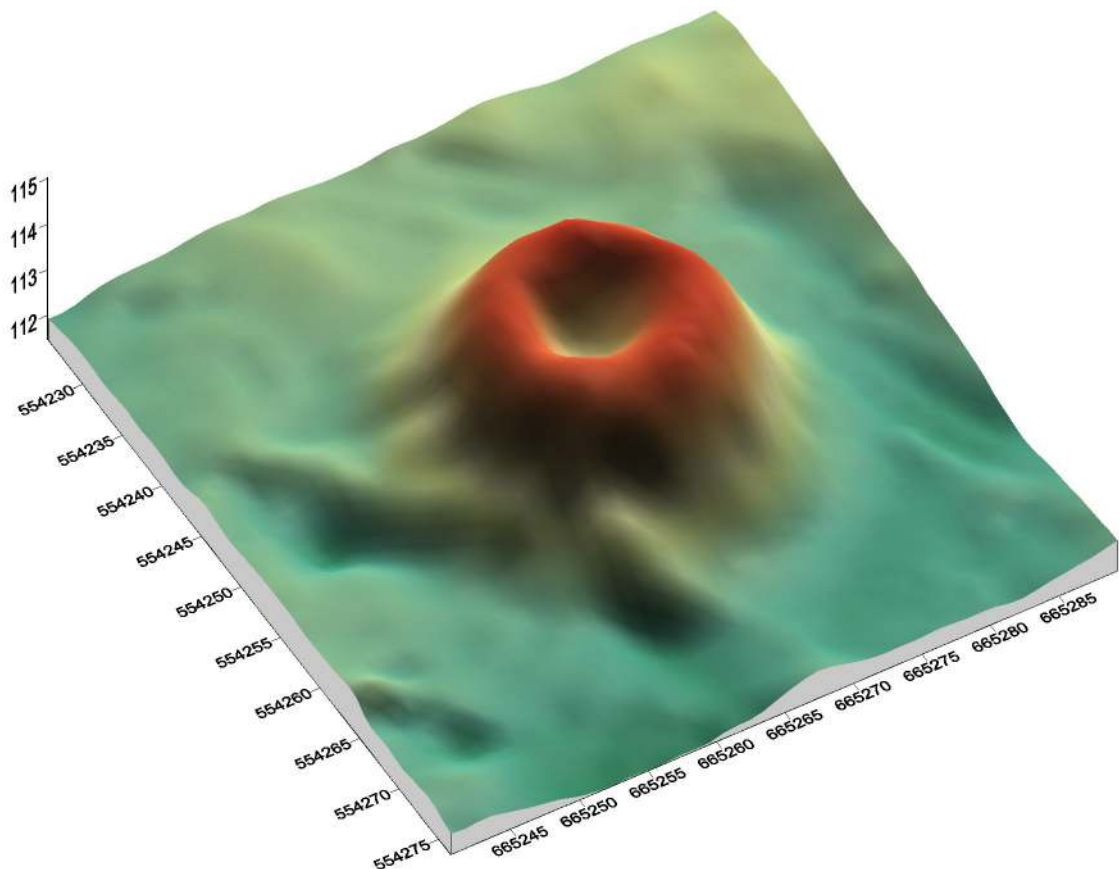
¹⁵ Analiza przeprowadzona w Poznańskim Laboratorium Radiowęglowym, próba nr Poz-121178.

¹⁶ Analiza przeprowadzona w Poznańskim Laboratorium Radiowęglowym, próba nr Poz-117827 i Poz-117828.

¹⁷ J. Okulicz 1973: 239–244, 248–252.

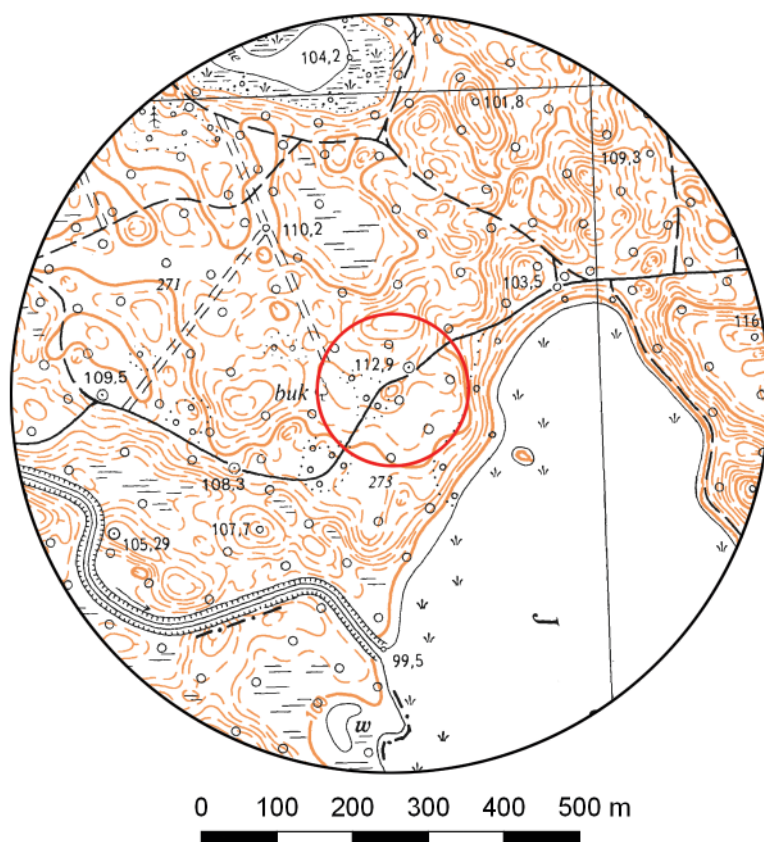
Wenecja, st. 2

Gmina Morąg
Powiat ostródzki
AZP 22-55/1
Współrzędne geograficzne:
N 53° 50' 52"
E 19° 49' 23"





Ryc. 1. Grodzisko w Wenecji, st. 2 na mapie w skali 1:25 000 (na podstawie materiałów GUGiK, oprac. R. Solecki)



Ryc. 2. Grodzisko w Wenecji, st. 2 na mapie w skali 1:10 000 (na podstawie materiałów GUGiK, oprac. R. Solecki)

POŁOŻENIE GRODZISKA I JEGO FORMA

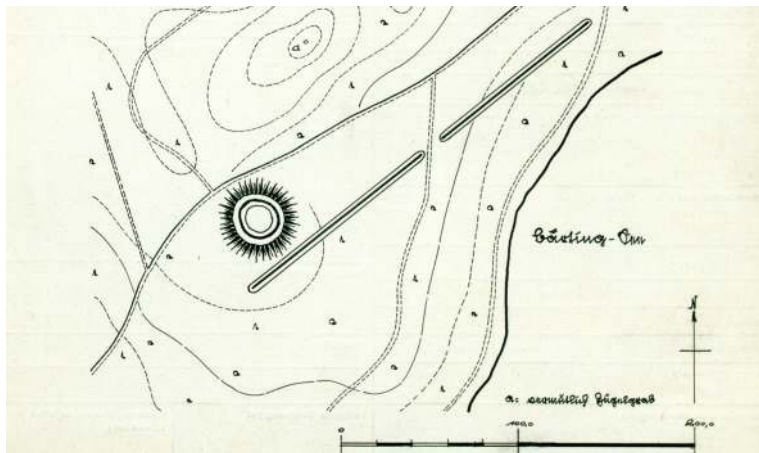
DARIUSZ WACH I RAFAŁ SOLECKI

W pobliżu miejscowości Wenecja, pow. ostródzki (dawn. *Venedien, Kr. Mohrungen*) znajduje się kopiec, który został skatalogowany w ramach AZP pod numerem 22-55/1 (nr w miejscowości 2) (ryc. 1–2). Był on znany już wcześniej, gdyż jego karta znajduje się w zbiorze *Burgwall-kartei*, powstały w okresie międzywojennym¹ i znajdującym się obecnie w *Die Prussia-Sammlung w Museum für Vor- und Frühgeschichte* w Berlinie (ryc. 3). Stanowisko to – jak wykazały wyniki badań wykopaliskowych – w różnych okresach pradziejów i wczesnej historii pełniło zróżnicowane funkcje, w tym również funkcje obronne, które pozwalają uznać go za grodzisko.

Kopiec ma formę regularnego,ściętego stożka (ryc. 4–7), którego średnica u podstawy wynosi około 28 m, średnica u szczytu ma około 13 m, a przewyższenie w stosunku do otoczenia dochodzi do 3,3 m. Pod-

stawa kopca znajduje się na poziomie niwelacyjnym około 111,7–112,2 m n.p.m., a korona w części zachodniej dochodzi do poziomu około 115,0 m n.p.m. W centralnej części wierzchołka znajduje się zakleszczenie o średnicy około 9 m i głębokości do 1,5 m. Dno wkleśnięcia znajduje się na poziomie około 113,2 m n.p.m. Po południowo-wschodniej stronie kopca przebiega styczny do niego wał podłużny z niewielką fosą od strony południowo-wschodniej. Wał na odcinku sąsiadującym z kopcem (wykop 2) ma szerokość wynoszącą 3–3,5 m i zachowaną wysokość (nie licząc wierzchniego humusu) od około 0,9 m (licząc od podstawy po stronie północnej) do 1,8 m (licząc od dna fosy). Przebieg tego słabo zachowanego wału można śledzić w terenie na odcinku o długości około 170 m, pomiędzy kopcem a północną krawędzią jeziora Bartążek na wschodzie. Na zobrazowaniu danych ALS, jak również w terenie, możliwe jest współcześnie zaobserwowanie pojedynczych, krótkich odcinków wału również dalej na zachód od kopca, gdzie kontynuują się one aż do brzegu jeziora Ruda Woda (Duckiego) (ryc. 6), w przeszłości zamkając w ten sposób całkowicie przesmyk pomiędzy jeziorami

¹ Herrmann 2002: 92.



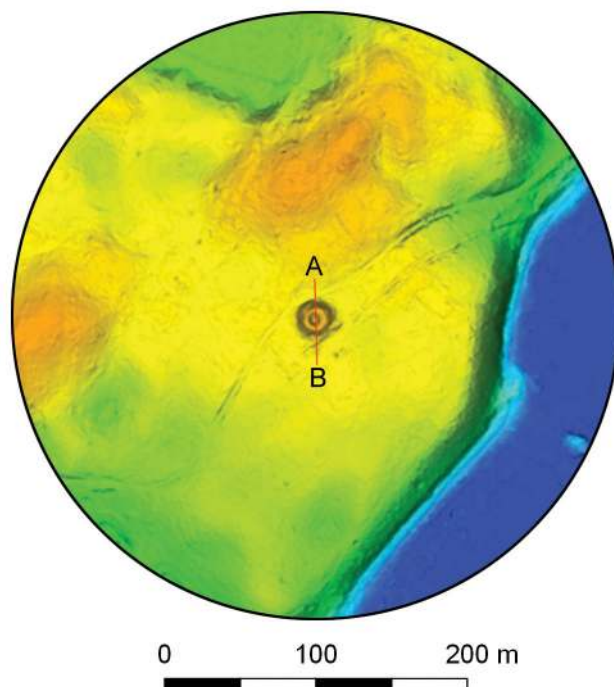
Ryc. 3. Grodzisko w Wenecji, st. 2 na karcie ze zbioru *Burgwall-kartei* (źródło: *Staatliche Museen zu Berlin, Museum für Vor- und Frühgeschichte*, IXc 90, Bl. 200)



Ryc. 4. Grodzisko w Wenecji, st. 2: widok od strony zachodniej (fot. Z. Kobyliński)



Ryc. 5. Grodzisko w Wenecji, st. 2: widok od strony północno-wschodniej (fot. Z. Kobyliński)



Ryc. 6. Grodzisko w Wenecji, st. 2 na zobrazowaniu ALS (na podstawie materiałów GUGiK, oprac. R. Solecki)



Ryc. 7. Przekroje grodziska w Wenecji, st. 2 uzyskane z danych ALS (na podstawie materiałów GUGiK, oprac. R. Solecki)

Bartężek i Ruda Woda. Ciągłość wału przerywa obecnie współczesna droga oraz powstały w drugiej połowie lat 40. XIX wieku Kanał Ducki (Bartnicki), łączący jezioro Bartężek i jezioro Ruda Woda i stanowiący część zespołu wodnego Kanału Elbląskiego².

ŚRODOWISKO FIZYCZNOGEOGRAFICZNE

ANNA LEJZEROWICZ

Stanowisko archeologiczne w miejscowości Wenecja, st. 2 znajduje się przy północnym końcu jeziora Bartężek, kilkaset metrów na zachód od jeziora Ruda Woda. Oba jeziora łączy Kanał Bartnicki. Na północ od stanowiska znajduje się niewielkie Jezioro Czarne.

Według podziału fizycznogeograficznego Polski zaproponowanego przez Jerzego Kondrackiego stanowisko znajduje się w makroregionie Pojezierze Iławskie, mezoregio-

² Leyding 1973b: 57.

nie Pojezierze Dziergońsko-Morąskie³. Analogiczne rozgraniczenie funkcjonuje także w nowym podziale z 2018 roku⁴.

Na omawianym obszarze dominuje niezbyt urozmaicona rzeźba, związana z obecnością równin wodnolodowcowych oraz wysoczyzn morenowych. Charakterystyczne jest występowanie systemu rynien jeziornych o orientacji północny-zachód – południowy-wschód. Ich układ odzwierciedla schemat drenażu subglacjalnego, który kształtował się podczas recesji lądolodu zlodowacenia Wisły⁵.

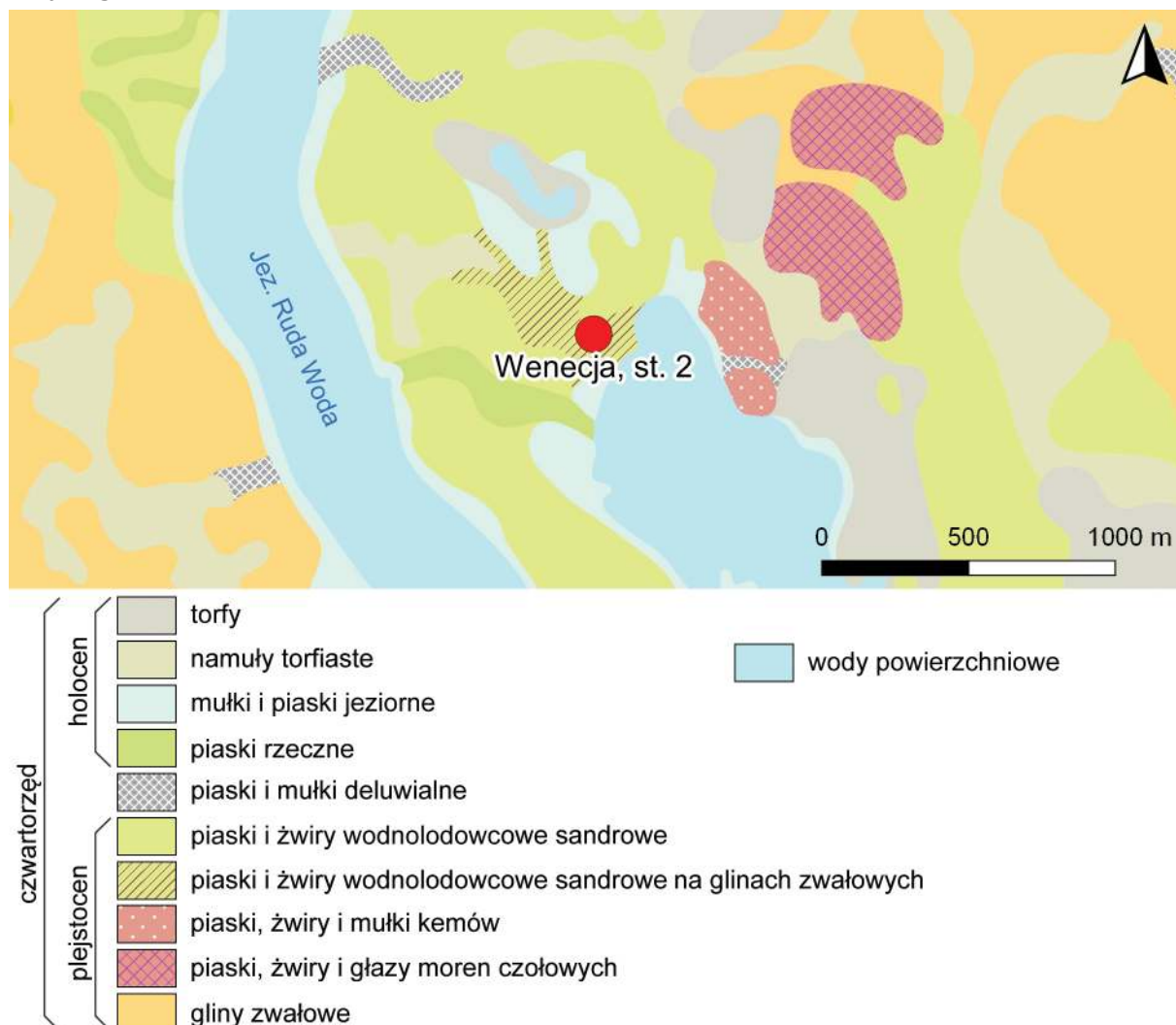
Według *Szczegółowej mapy geologicznej Polski* w skali 1:50 000 (arkusz Morąg) stanowisko znajduje się w obrębie równiny sandrowej i wodnolodowcowej młodszej, która porozcinana jest przez moreny czołowe⁶. Ob-

³ Kondracki 2002: 91–92; Kot 2011.

⁴ Solon et al. 2018.

⁵ Pikies 2014: 8–9.

⁶ Szałamacha i Trzmiel 2006.



Ryc. 8. Wycinek arkusza Szczegółowej mapy geologicznej Polski z zaznaczonym stanowiskiem w Wenecji, st. 2 (źródło: www.cbdgmapa.pgi.gov.pl/arcgis/services/kartografia/smgp50k/MapServer/WMServer, oprac. A. Lejzerowicz i R. Solecki)

szar ten pokryty jest przede wszystkim piaskami i żwirami wodnolodowcowymi (sandrowymi) zalegającymi na glinach zwałowych (ryc. 8)⁷. Według *Mapy geologicznej Polski* w skali 1:500 000 stanowisko znajduje się na obszarze występowania piasków i żwirów sandrowych z okresu zlodowacenia północnopolskiego. Według *Mapy litogenetycznej Polski* w skali 1:50 000 stanowisko znajduje się na obszarze występowania piasków żwirowatych wodnolodowcowych.

BADANIA ARCHEOLOGICZNE

DARIUSZ WACH I RAFAŁ SOLECKI

Przebieg badań terenowych

Stanowisko w Wenecji było znane już co najmniej od początku XX wieku. W 1937 roku opisał je Hans Crome, jako położone w odległości około 1,5 km na południowy zachód od miejscowości *Venedien* i występujące pod lokalnymi nazwami *Alter Wachtturm*, *Schanzenberg*

⁷ Szałamacha i Trzmiel 2006: tabl. 1.

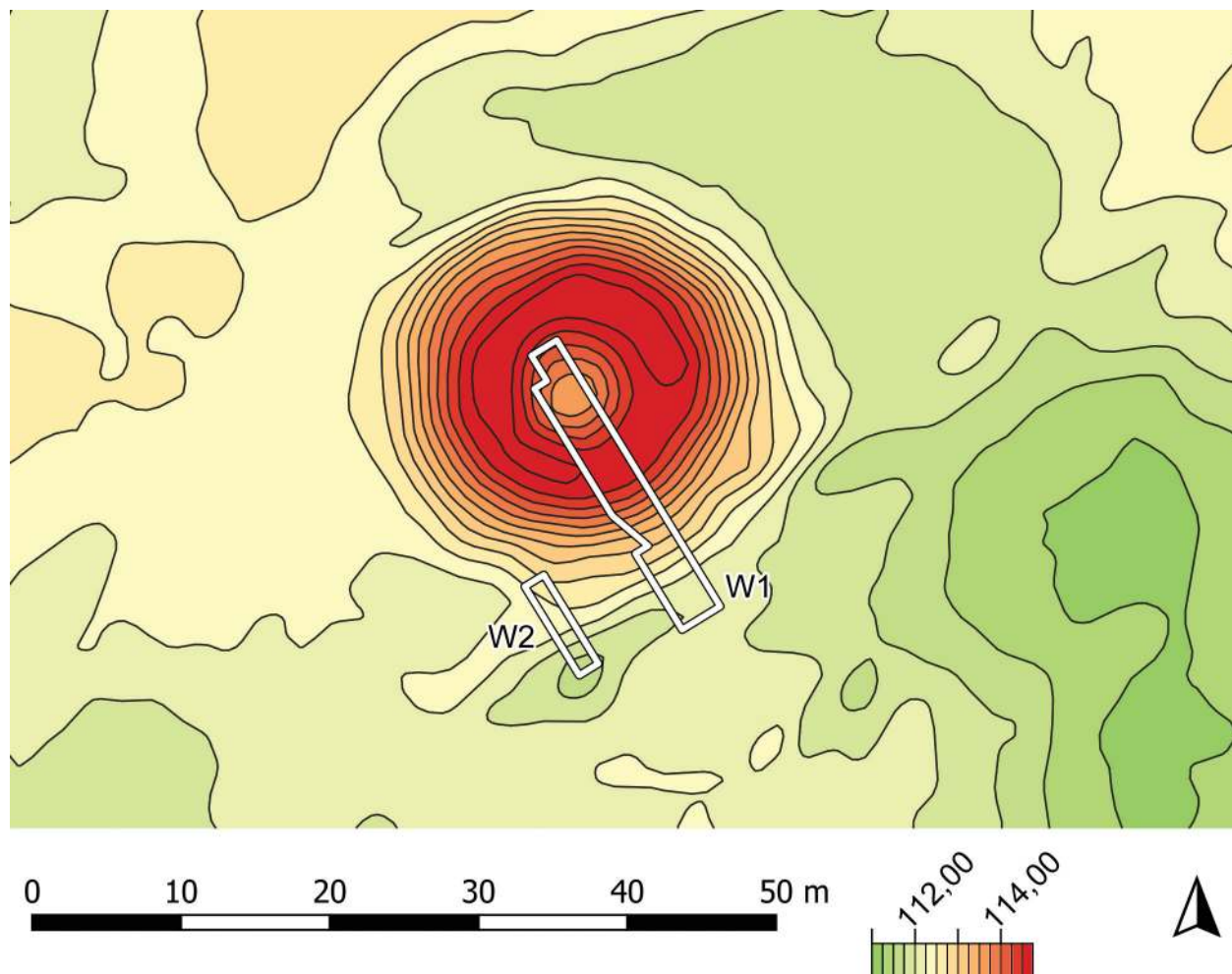
i *Klebberg*. Przy określaniu chronologii, użył terminu *ordenszeitlich*, który należy rozumieć jako czasy istnienia państwa zakonu krzyżackiego w Prusach⁸. Położenie i opis stanowiska przedstawione przez Cromego nie są jednak precyzyjne. Połączył on zapewne ze sobą dwa odrębne miejsca, które znajdowały się od siebie w niewielkiej odległości wynoszącej około 400 m. Pierwsze, położone przy północno-zachodnim brzegu jeziora Bartężek, widoczone jest na mapie z 1910 roku, gdzie opisano je zwrotem *Ehem WT*⁹, czyli *ehemalige Wacht-turm* – „dawna strażnica”. Drugie stanowisko położone jest przy północno-wschodnim brzegu jeziora Bartężek i zaznaczone na mapie z 1930 roku, gdzie opisano je jako *Klebb B[erg]*¹⁰. Jest to niewielka góra, która obecnie nosi nazwę lokalną Chlebówka¹¹.

⁸ Crome 1937: 109.

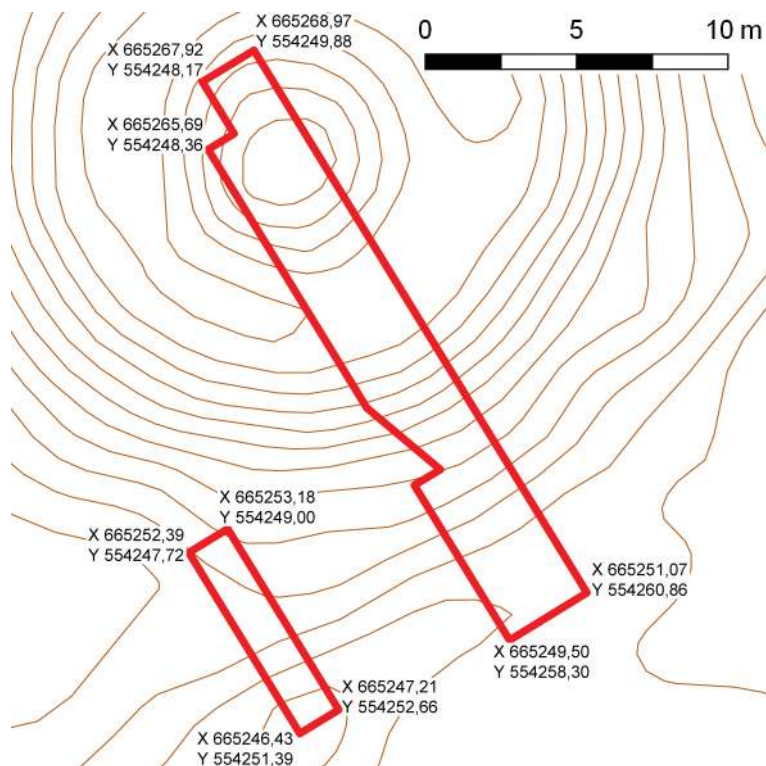
⁹ *Topographische Karte Meßtischblatt*, karta Gr. Simnau.

¹⁰ *Topographische Karte Meßtischblatt*, karta Sonnenborn.

¹¹ Leyding 1973a: 27.



Ryc. 9. Plan sytuacyjno-wysokościowy grodziska w Wenecji, st. 2 z rozmieszczeniem wykopów (na podstawie danych materiałów GUGiK, oprac. R. Solecki)



Ryc. 10. Wenecja, st. 2: koordynaty narożników wykopów w układzie PUWG 1992 (oprac. R. Solecki)

W okresie powojennym pierwsze rozpoznanie stanowiska przeprowadził w 1968 roku Mieczysław Haftka, który także dokonał jego wpisu do rejestru zabytków archeologicznych¹². Pracownicy Działu Archeologii Muzeum Mazurskiego w Olsztynie przeprowadzili w roku 1974 na terenie stanowiska badania powierzchniowe, nie znajdując jednak żadnego materiału zabytkowego¹³. W 2002 roku stanowisko wizytowali Mirosław Hoffmann i Adam Mackiewicz, którzy opisali je jako gródek pierścieniowy o późnośredniowiecznej chronologii, szacunkowo XIV–XV wiek¹⁴.

W 2013 roku w ramach realizowanego przez Instytut Archeologii UKSW projektu NPRH *Katalog grodzisk Warmii i Mazur*, kierowanego przez Zbigniewa Kobylińskiego, przeprowadzono pierwsze archeologiczne badania wykopaliskowe kopca. Brali w nich udział archeolodzy z Instytutu Archeologii Uniwersytetu Kardynała Stefana Wyszyńskiego w Warszawie oraz Instytutu Archeologii i Etнологii Polskiej Akademii Nauk¹⁵.

¹² Archiwum Muzeum Warmii i Mazur w Olsztynie, teczka Wenecja.

¹³ Notatka sporządzona 19 września 1974 r. przez Izabelę Sikorską-Ulfik; Archiwum Muzeum Warmii i Mazur w Olsztynie, teczka Wenecja.

¹⁴ Hoffmann i Mackiewicz 2004: 24.

¹⁵ Kobyliński 2016b.

Przystępując do badań wykopaliskowych wytyczono dwa wykopy o łącznej powierzchni 70 m² (ryc. 9). Pierwszy, długości 21 m i szerokości do 3 m, przecinał po osi NW–SE zakleszczenie znajdujące się w centralnej części kopca, a następnie jego stok wraz z przyległym do niego wałem podłużnym. Wykop drugi przecinał w poprzek wał podłużny na południowy zachód od kopca.

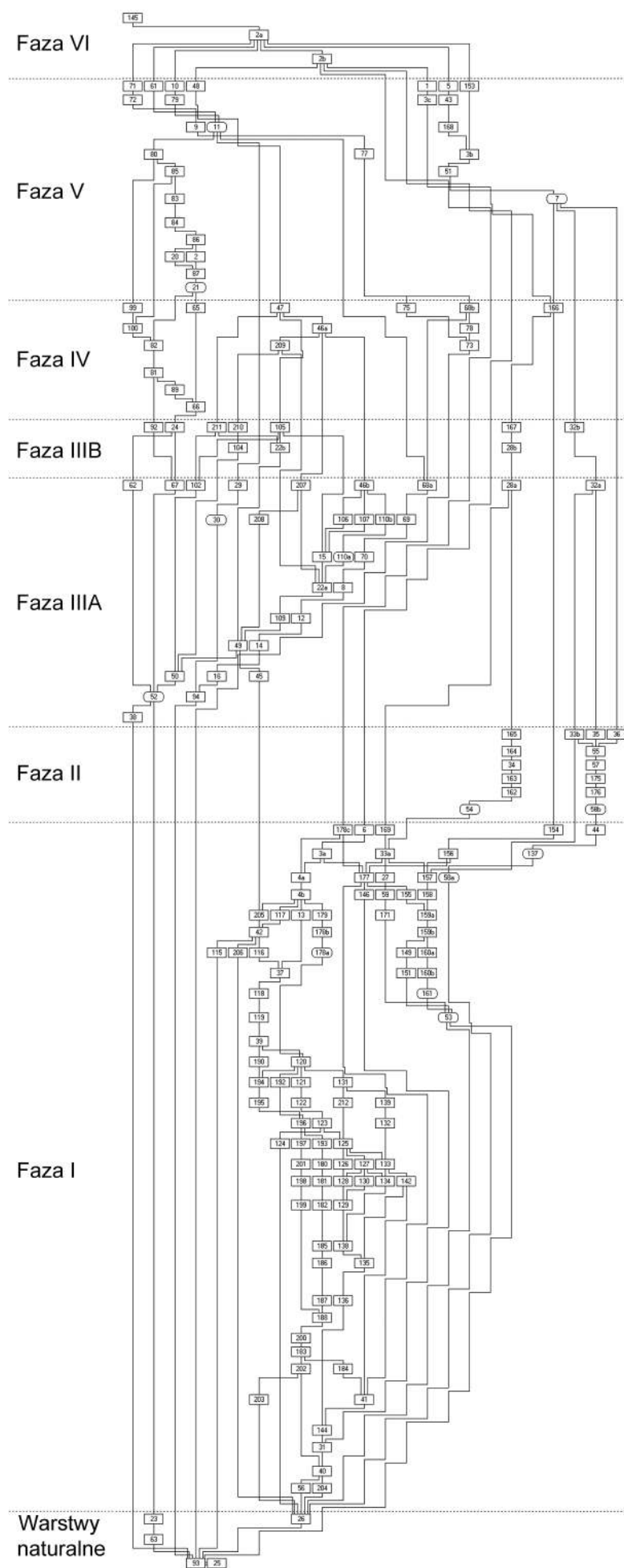
Podczas badań wszystkie pomiary wykonywano względem siatki lokalnej stanowiska. Koordynaty tej siatki są podane w wykazie jednostek stratygraficznych (tabela 1) oraz na tablicach przedstawiających zadokumentowane w trakcie badań powierzchnie. Dodatkowo na tablicach zamieszczono koordynaty narożników wykopów w odniesieniu do Państwowego Układu Współrzędnych Geodezyjnych 1992 (ryc. 10).

Stratygrafia stanowiska

Zidentyfikowane w trakcie badań wykopaliskowych jednostki stratygraficzne stanowiska odzwierciedlają sześć głównych faz związanych z określonymi epizodami lub wydarzeniami z przeszłości tego miejsca (ryc. 11 i tabela 1).

Warstwy naturalne

Naturalnym podłożem geologicznym stanowiska są drobnoziarniste i średnioziarniste piaski 23, 25, 63 i 93 zalegające poniżej na-



Ryc. 11. Wenecja, st. 2.
Diagram relacji stratygraficznych
(oprac. D. Wach)

Tabela 1. Katalog warstw z opisem poszczególnych jednostek stratygraficznych grodziska w Wenecji, st. 2
(oprac. D. Wach)

Numer jednostki	Numer obiektu	Numer wykopu	Położenie w obrębie stanowiska	Współrzędne siatki pomiarowej stanowiska	Opis jednostki stratygraficznej	Barwa	Pozycja stratygraficzna	
							Znajduje się pod	Znajduje się nad
1		1	Stoki zagłębiania w centrum kurhanu / grodziska	N=100–103; E=102,7–106,1	Faza V. Żółty i szarobrązowy, jasny piasek wyrzucony na zbocze oraz w centrum zagłębiania w centralnej części stożka kurhanu / grodziska; miąższość od kilku do 20 cm; ślad wkopu współczesnego 7	10YR 7/6, 10YR 5/2	2a, 2b	3c
2a		1, 2	Zagłębienie w centrum kurhanu / grodziska	Wykop 1: N=100–103; E=100,8–105,3 Wykop 2: N=92,5–94; E=113–120	Faza VI. Ciemna, szarobrunatna, sypka, piaszczysta (leśna) ziemia; warstwa ściółkowa nad wkopem współczesnym 7	10YR 2/2; 2,5Y 5/2; 10YR 3/2	145	5, 43, 51, 2b, 153, 177
2b		1, 2	Obszar całego stanowiska	Wykop 1: N=100–103; E=100–121 Wykop 2: N=92,5–94; E=94–120	Faza VI. Ciemna, szarobrunatna, sypka, piaszczysta (leśna) ziemia humusowa; warstwa ściółkowa na obszarze całego stanowiska	10YR 2/2; 2,5Y 5/2; 10YR 3/2	2a, 3c	4a, 4b, 38, 48, 46a, 207, 71, 10
3a		1	Obszar centralnego zagłębia pierwotnego pagórka kurhanowego	N=100–103; E=104–108	Faza I. Kamienie górnego płaszcza nasypu kurhanu leżące na wewnętrznym stoku zagłębia w jego centrum; średniej wielkości (średnicy 0,2–0,3 m) luźny bruk jednowarstwowy	-	2b, 7	177, 4a
3b		1	Obszar centralnego zagłębia pierwotnego pagórka kurhanowego	N=100–103; E=101,8–104,5	Faza V. Luźne kamienie wrzucone i zsunięte w zasybkach wkopu współczesnego 7; róźnej wielkości (średnicy 0,2–0,4 m); pierwotnie należały zapewne do górnego płaszcza kamiennego 3a kurhanu	-	5, 43	51
3c		1	Zagłębienie w centrum kurhanu / grodziska	N=100–103; E=100–107	Faza V. Luźne kamienie wrzucone i zsunięte w zasybkach wkopu współczesnego 7 oraz wyrzucone poza jego obręb; róźnej wielkości (średnicy 0,2–0,4 m); pierwotnie należały zapewne do górnego płaszcza kamiennego 3a kurhanu	-	1, 2a, 2b	3a, 4a, 166
4a		1	Obszar stoku centralnego zagłębia pierwotnego pagórka kurhanowego	N=100–101,5; E=105–110	Faza I. Żółtawobrązowa piaszczysta ziemia; miąższość od 0,1 do 0,6 m; górna warstwa nasypu kurhanu w jego partii wierzchołkowej i stokowi wewnętrznej	10YR 5/4	2b, 3a	4b, 37, 41, 42
4b		1	Obszar szczytu i zewnętrznego stoku pagórka kurhanowego	N=100–103; E=106,9–113,4	Faza I. Cienna żółtawobrązowa piaszczysta ziemia; górna warstwa nasypu stożka kurhanu w jego szczytowej i stokowej zewnętrznej partii; miąższość od 0,2 do 0,6 m	10YR 4/6	2b, 4a	205, 42, 117
5		1	Zagłębienie w centrum kurhanu / grodziska	N=100–103; E=102–104,4	Faza V. Ciemnobrązowa pylasta ziemia z węgielkami; miąższość do 0,6 m; górne wypełnisko wkopu współczesnego 7 nad jama grobową 58	10YR 3/2	2a, 2b	3b, 32b, 43
6		1	Szczyt nasypu kurhanu / grodziska	N=100–101,5; E=106–107,9	Faza VI. Ciemnożółtawobrązowa, pylasta ziemia pomiędzy kamieniami, blisko szczytu wału; miąższość do 0,1 m; szhumusowana (obecność korzeni drzewa)	10YR 4/4	2b	3a, 4a, 4b, 177
7	7	1	Zagłębienie w centrum kurhanu / grodziska	N=100–103; E=100,8–105,2	Faza V. Wkopal w zagłębieniu środkowej partii kurhanu / grodziska; niszczyl płaszcz kamienny 3a; widoczne w obrębie wykopu wymiary to: długość do 4,5 m, szerokość 3 m, głębokość 0,8–1 m; współczesny wkop rabunkowy	-	51, 3b, 43	32b
8		2	Wał podłużny	N=92,5–94; E=115–117	Faza IIIA. Masywna warstwa z górnej partii wału podłużnego; żółta piaszczysta ziemia; miąższość do 0,48 m; leżała w pasie o szerokości 1,5–1,8 m; przykrywała spalone drewniane konstrukcje (14, 12) wału	10YR 7/8	68a	12
9		2	Wał podłużny	N=92,5–94; E=113–114,3	Faza V. Współczesna warstwa po wewnętrznej stronie wału podłużnego; piaszczysta, sypka, żółtawobrązowa, częściowo organiczna, szumusowana ziemia; miąższość do 0,3 m	5YR 5/8	72, 71	77, 73
10	11	2	Granica fosy i wału podłużnego	N=92,5–94; E=117,6–119,7	Faza V. Górn wypełnisko rynnowatego obiektu 11; ciemnobrązowa, piaszczysta ziemia	10YR 4/4	2a	79, 11

Tabela 1. Ciąg dalszy

Numer jednostki	Numer obiektu	Numer wykopu	Pozycja w obrębie stanowiska	Współrzędne siatki pomiarowej stanowiska	Opis jednostki stratygraficznej	Barwa	Pozycja stratygraficzna	
							Znajduje się pod	Znajduje się nad
11	11	2	Granica fosy i wału podłużnego	N=92,5–94; E=116,5–119,7	Faza V. Rynnowaty obiekt niszczący skrajną zewnętrzna część wału podłużnego (ściana południowo-zachodnia wykopu) i biegący łukiem do centralnej części górnych wypełnisk fosy 52 (ściana północno-wschodnia wykopu) oraz wchodzący w ścianę południowo-wschodnią; miał od 0,6 do 0,8 m szerokości (przy ścianie północnej rozszerzał się do 1,4 m; głębokość 0,4–0,5 m; wypełniska: 79, 10, 61; niszczyl wypełnisko 29 w obiekcie 30)	-	79	62, 29, 8, 65
12		2	Obszar wału podłużnego	N=92,5–94; E=114,4–117	Faza IIIA. Pozioma warstwa bladobrązowej, przepalonej ziemi z dużą domieszką jasnych popiołów w nasypie wału podłużnego; relikty spalonych konstrukcji drewnianych; miąższość do 0,18 m; liczne niewielkie bardzo słabo zachowane ślady bierwion lub gałazek	10YR 8/2	8, 78	14
13		1	Nasyp kurhanu / grodziska	N=101,6–102,2; E=107,4–108,2	Faza I. Depozyt brązowej, niejednorodnej, piaszczystej ziemi z ciemnymi śladami spalenizny i węgielkami; miąższość do kilku cm; ślady ogniska w obrębie nasypu kurhanu (ok. 0,3–0,4 m od jego stropu).	7,5YR 4/2	4b	37
14		2	Wał podłużny	N=92,5–94; E=115–117,8	Faza IIIA. Pozioma warstwa szarobrązowej, przepalonej ziemi z popiołami w wale podłużnym; relikty spalonych konstrukcji drewnianych wału; miąższość do 0,1 m; przykryta warstwą popiołu 12	10YR 5/2	12	16
15		1	Wał podłużny	N=100–101,5; E=114,9–116,9	Faza IIIA. Warstwa nasypu wału podłużnego; lekko opadający w stronę fosy depozyt brązowej, piaszczystej ziemi; miąższość do 0,15 m	10YR 5/3	46b, 105, 106, 107	22
16		2	Wał podłużny	N=92,5–94; E=114,7–117,6	Faza IIIA. Masywna warstwa z wnętrza wału podłużnego; żółta, piaszczysta, sypka, jednorodna warstwa; miąższość do 0,4 m; miała 2,5–3,6 m szerokości; podstawa pod drewniane konstrukcje wału 14, 12	10YR 7/8	14	94
20	21	2	Obszar fosy	N=92,5–92,97; E=118,5–119,1	Faza V. Wypełnisko z dna i ściany obiektu 21; ciemnobrązowa, piaszczysta, sypka, niejednorodna ziemia z licznymi drobnymi węgielkami drzewnymi; miąższość do 0,1 m	10YR 3/3	86	87, 21
21	52	2	Obszar fosy	N=92,5–92,9; E=118,5–119,6	Faza V. Dół posłupowy lub jamka wkopana w górną wypełnisko podestrukcyjne fosy 52; półwałowy w planie stropu (wchodził w południowo-zachodnią ścianę wykopu); miał około 0,6 m średnicy i do 0,6 m głębokości; wypełniska 20 i 86	-	20, 86	82, 65
22a		1	Wał i krawędź fosy	N=100–103; E=114,5–117,1	Faza IIIA. Relikt elementów konstrukcji drewnianych z obszaru zewnętrznej krawędzi wału; warstwa jasnych popiołów i spalenizny; miąższość około 0,1 m	10YR 5/3, 10YR 3/2	15, 209, 46a, 207	49
22b		1	Fosa	N=100–101,4; E=117,45–118,1	Faza IIIB. Cienka warstwa jasnych popiołów i spalenizny; miąższość ok. 6 cm; warstwy podestrukcyjne spalonych konstrukcji drewnianych z obszaru zewnętrznej krawędzi wału zsumowane w obszar dна fosy	10YR 5/3, 10YR 3/2	211	49, 50
23		2	Fosa	N=92,5–94; E=119,3–120	Warstwa naturalna; calec; ciemnożółto-brązowa, piaszczysta ziemia, w której wkopana była fosa 52	10YR 3/4	52, 62	63, 93
24	52	2	Obszar fosy	N=92,5–92,62; E=119,2–119,5	Faza IIIB. Dolne wypełnisko fosy 52; przepalone ziemia szarobrązowa z drobnymi węgli drzewnymi; leżała na zewnętrznej ścianie fosy; tworzyła w planie nieregularny układ liniowy o szerokości do 0,16 m i długości 1 m; relikty spalonego drewna z konstrukcji wału	10YR 5/2	66	67, 52, 62
25		1	Obszar wału podłużnego i pagórka kurhanu / grodziska	N=100–103; E=100–121	Warstwa naturalna; calec; piaszczysta, sypka, jednorodna ziemia żółtobrązowa pod humusem pierwotnym 26 na całym obszarze wykopu 1	10YR 5/6	26, 38	-

Tabela 1. Ciąg dalszy

Numer jednostki	Numer obiektu	Numer wykopu	Położenie w obrębie stanowiska	Współrzędne siatki pomiarowej stanowiska	Opis jednostki stratygraficznej	Barwa	Pozycja stratygraficzna	
							Znajduje się pod	Znajduje się nad
26		1	Centralna część pagórka kurhanowego i obszar do krawędzi fosy	N=100–103; E=101,5–115	Warstwa naturalna, żółtobrązowa i bladobrązowa, sypka, niejednorodna ziemia piaskzysta z brunatnymi, drobnymi wtrętami; na niej usypano kurhan	10YR 5/6, 10YR 6/3	169, 45, 124, 137, 138, 146, 177, 203, 204, 31, 33, 40, 53, 56	25
27		1	Obszar zagłębiania w centrum kurhanu / grodziska	N=102–103; E=100–104,6	Faza I. Piaskzysto-pylasta, jednorodna, ciemnożółtobrązowa ziemia na północno-zachód od zagłębiania w centrum kurhanu / grodziska; miąższość do 0,35 m; wypełnisko górnej jamy grobowej 53; przykryte brukiem kamiennym 33	10YR 4/6	33, 54, 162 169	59, 171
28a		1	Północno-zachodnia część kurhanu / grodziska	N=102,6–103; E=100–102	Faza IIIA. Pozostałości konstrukcji drewnianej wieży (?) z okresu wczesnego średniowiecza w obszarze centralnego zagłębiania kurhanu / grodziska; stanowiły jedność z reliktami 32a, rozdzielonymi przez wkop współczesny 7	-	28b, 167, 166	165, 33, 27
28b		1	Północno-zachodnia część kurhanu / grodziska	N=102,6–103; E=100–102	Faza IIIB. Cienka, lokalna, pylasta, jasnoszara ziemia popiołowa; depozyt długości co najmniej 2,8 m i szerokości co najmniej 3 m przy miąższości od kilku do 20 cm; widoczny w północno-zachodniej części Wykopu 1; kontynuacja popiółów 32b; relikty destrukcji wieży (?) z okresu wczesnego średniowiecza	10YR 7/1	167	28a, 165, 33a, 27
29	30	2	Zewnętrzna krawędź wału podłużnego	N=92,5–92,7; E=116,7–118,3	Faza IIIA. Wypełnisko obiektu 30; ciemnobrązowa, piaskzysta, sypka, niejednorodna ziemia z drobnymi węgielkami; miąższość do 0,3 m (górnre partie zniszczone były przez rynnowaty obiekt 11)	10YR 3/3	11	30
30	30	2	Zewnętrzna krawędź wału podłużnego	N=92,5–92,7; E=116,7–118,3	Faza IIIA. Dół posłupowy (wypełnisko 29); wkopany w dolne warstwy skraju nasypu wału podłużnego; średnica do 0,56 m; głębokość do 0,3 m; ściany pionowe, dno lekko wkleśle; element konstrukcji drewnianej wału	-	29	16, 94
31		1	Obszar centrum kurhanu / grodziska	N=100–103; E=104–108,5	Faza I. Kilkaurtarstwowy, nieuporządkowany bruk kamienny w podstawie nasypu kurhanu, w obszarze zagłębiania w jego centrum; kamienie o średnicy od 0,2 do 0,7 m; ich kontynuacją ku północnemu zachodowi były kamienie 33; zniszczone przez konstrukcję wczesnośredniowieczne 28a, 32a oraz wkop współczesny 7	-	41, 144, 177, 32a	56, 40
32a		1	Obszar centrum kurhanu / grodziska	N=100–103; E=103–104,3	Faza IIIA. Pozostałości konstrukcji drewnianej wieży (?) w obrębie zagłębiania w centrum kurhanu; stanowiły jedność z reliktami 28a; rozdzielone przez wkop współczesny 7	-	32b, 7, 51	177, 20, 27
32b		1	Obszar centrum kurhanu / grodziska	N=100–103; E=103–104,3	Faza IIIB. Piaskzysto-popiołowa, bardzo sypka, jednorodna warstwa jasnoszarej, przepalonej ziemi z popiołami; depozyt (tacznik z 28b) długości co najmniej 2,8 m i szerokości co najmniej 3 m, przy miąższości od kilku do 20 cm; kontynuacja popiółów 28b; relikty destrukcji wieży (?) z okresu wczesnego średniowiecza	10YR 7/1	7, 51	32a, 177, 31
33a		1	Obszar centrum kurhanu / grodziska	N=100–103; E=100–102,4	Faza I. Skupisko dużych kamieni w obszarze zagłębiania kurhanu; znajduje się na północno-zachód od pasa zniszczenia rabunkowego 7; średnica kamieni do 0,7 m; obserwowalne w przestrzeni wykopu w sposób nieciągły na odcinku około 2 m; stanowiły dolny bruk / płaszcz przykrywający prawdopodobnie pierwotnie obie jamy grobowe; zniszczone przez wkop 54, wkop rabunkowy 7 i zapewne wcześniej przez prace ziemne w okresie wczesnego średniowiecza	-	54, 34, 165	169, 27, 157, 155, 177
33b	58b	1	Obszar centrum kurhanu / grodziska	N=101–103; E=102–102,4	Faza II. Kamienie z bruku / dolnego płaszcza kurhanu, przemieszczone (wpadłe lub wrzucone) na strop wypełnisk wkopu 58b w komorze 1	-	7, 32a, 51, 43	55

Tabela 1. Ciąg dalszy

Numer jednostki	Numer obiektu	Numer wykopu	Pozycja stratygraficzna	Opis jednostki stratygraficznej	Barwa	Pozycja stratygraficzna		
						Znajduje się pod	Znajduje się nad	
34		1	Północna część zagłębia centralnego	N=100,8–103; E=100–101	Faza II. Bardzo jasna, pylasta, sypka, piaszczysta, jednorodna ziemia; jedna z warstw wypełniająca wkopu rabunkowego 54 w komorę II; z północnej części zagłębia w centrum kurhanu / grodziska; miąższość do 0,4 m; przylegała do północnej granicy dolnego płaszcza kamiennego 33	10YR 6/4	164, 165	163
35	58b	1	Zagłębienie centralne pagórka kurhanu / grodziska	N=100,2–102,8; E=103–104	Faza II. Nieregularne liniowe skupisko kamieni pod warstwą popiotowo-spaleniskową 32; kamienie z bruku / dolnego płaszcza kurhanu przemieszczone (wpadłe lub wrzucone) na strop wypełniak wkomu 58b w komorze I; leżą przy kamieniach 35	-	7, 32a	55
36	58b	1	Zagłębienie centralne pagórka kurhanu / grodziska	N=100–103; E=103–103,5	Faza II. Nieregularne liniowe skupisko kamieni; kamienie z bruku / dolnego płaszcza kurhanu przemieszczone (wpadłe lub wrzucone) na strop wypełniak wkomu 58b w komorze I; leżą przy kamieniach 35	-	7, 51	55, 57
37		1	Nasyp kurhanu / grodziska od południowego wschodu	N=100–103; E=107,5–113,2	Faza I. Sypka, jednorodna brązowożółta piaszczysta warstwa w nasypie stożka kurhanu / grodziska w jego szczytowej, zewnętrznej partii; miąższość do 0,25 m	10YR 6/8	42, 4b	39
38		1	Obszar na zewnątrz fosy	N=100–103; E=118–121	Faza IIIA. Ciemnożółtobrązowy piasek; piaszczysta, sypka, jednorodna warstwa o miąższości do 0,4 m; na zewnątrz fosy 52, która była w niej wkompana	10YR 4/6	52, 2b, 48	25
39		1	Nasyp kurhanu / grodziska od południowego wschodu	N=100–103; E=106,7–111,5	Faza I. Ciemna, szarożółta, jednorodna, piaszczysta, sypka ziemia z nasypu kurhanu / grodziska; miąższość do kilku do 20 cm; opadała ku fosie; jedna z naprzemiannych ciemnych i jasnych warstw nasypu	10YR 5/2	119, 118, 37	190, 120
40		1	Podstawa nasypu kurhanu / grodziska	N=100–103; E=106,5–109,7	Faza I. Gruba, dość jednorodna, piaszczysta, sypka warstwa z podstawy nasypu kurhanu / grodziska; miąższość do 0,45 m	10YR 5/2, 10YR 5/3	41, 144, 183, 202	26, 56, 204
41		1	Obszar obrzeży centralnego zagłębia kurhanu / grodziska	N=100–103; E=104,5–107,2	Faza I. Warstwa nasypu kurhanu / grodziska; równomiernie niejednorodna, sypka, piaszczysta ziemia; miąższość do 0,9 m; leżała bezpośrednio nad dolnym płaszczem kamiennym 31	10YR 4/4	4a, 177, 184, 142,	31, 56, 144
42		1	Obszar zewnętrzne zbocza kurhanu / grodziska	N=100–103; E=107,7–113,7	Faza I. Warstwa nasypu kurhanu / grodziska; jednorodna, piaszczysta, sypka, brązowa i żółtobrązowa ziemia; miąższość do 0,5 m; zajmowała górną partię stoku zewnętrznego nasypu od południowego wschodu	10YR 5/3, 10YR 5/4	4b, 205	116, 37
43		1	Centralne zagłębienie pagórka kurhanu / grodziska	N=100,2–102,7; E=102–104,7	Faza V. Drugie od dołu wypełniak wkomu współczesnego 7 w komorę I; przemieszana, niejednorodna, bardzo ciemna, szara, sypka, piaszczysta ziemia; miąższość do 0,3 m	10YR 3/1	5	3b, 51
44	53	1	Obszar centralnego zagłębia kurhanu / grodziska	N=101,2–102,1; E=102,6–103,6	Faza I. Jednowarstwowe skupisko (o średnicy do 1 m) kilkunastu kamieni na dnie wkomu 58 w komorę I; wielkość 0,1–0,25 m; pozostałość pierwotnego założenia grobowego	-	58b, 176	58a
45		1	Południowo-wschodnia krawędź nasypu kurhanu / grodziska	N=102–103; E=113,1–115,1	Faza IIIA. Bardzo jasna, pylasta, brązowożółta ziemia w północno-wschodniej ścianie Wykopu 1; piaszczysta, sypka, jednorodna ziemia; relikty wału podłużnego	10YR 6/8	49, 46a, 2b	205, 26, 25
46a		1	Krawędź nasypu kurhanu / grodziska i krawędź fosy	N=100–103; E=111,9–116,7	Faza IV. Piaszczysta, sypka, niejednorodna, ciemnoszarożółta i ciemnożółtobrązowa ziemia; warstwa destrukcyjna wału podłużnego	10YR 4/2, 10YR 4/6	2b, 47	207, 209, 22a, 22b, 45
46b		1	Krawędź fosy	N=100–103; E=115–117,15	Faza IIIA. Górną warstwę nasypu wału podłużnego; piaszczysta, sypka, niejednorodna, ciemnoszarożółta i ciemnożółtobrązowa ziemia; miąższość do 0,4 m; jej kontynuacją po-destrukcyjną był zsuw 47 na stok fosy 52	10YR 3/6	46a, 47	104, 106, 107, 49, 15
47	52	1	Obszar fosy	N=100–103; E=116,6–118,2	Faza IV. Ciemnobrązowa, piaszczysta, sypka, jednorodna ziemia; miąższość do 0,3 m; warstwa erozyjna wału leżąca częściowo nad wypełniakami fosy 52 (ściana północno-wschodnia Wykopu 1), a częściowo stanowiąca jedno z nich (ściana południowo-zachodnia)	10YR 3/3	48	209, 104, 105, 211

Tabela 1. Ciąg dalszy

Numer jednostki	Numer obiektu	Numer wykopu	Położenie w obrębie stanowiska	Współrzędne siatki pomiarowej stanowiska	Opis jednostki stratygraficznej	Barwa	Pozycja stratygraficzna	
							Znajduje się pod	Znajduje się nad
48	52	1	Obszar fosy	N=100–103; E=116,6–118,7	Faza V. Ciemnooliwkowobrązowa, piaszczysta, sypka, jednorodna ziemia; podobna do humusu leśnego; miąższość do 0,45 m; najwyższe wypełnisko w obrębie fosy 52	2,5Y 3/3	2b	38, 47
49		1	Krawędź kurhanu / grodziska i krawędź fosy	N=100–103; E=113,6–117	Faza IIIA. Warstwa ciemnożółtobrązowej, piaszczystej, sypkiej, jednorodnej (lekką przemieszanej) ziemi; miąższość do 0,2 m; rozciągała się na odcinku 2,7 m; jedna z dolnych warstw nasypu wału; częściowo osunięta na skraj fosy 52	10YR 3/6	22a, 46a, 46b, 109, 110	45, 50, 25
50	52	1	Fosa	N=100–103; E=116,4–118,9	Faza IIIA. Najniższe wypełnisko fosy 52; jasna, sypka, piaszczysta, jednorodna ziemia; miąższość od 0,1 (ściana południowo-zachodnia wykopu) do 0,6 m (ściana północno-wschodnia, gdzie mogła być warstwą przejścia przez fosę)	2,5Y 5/6	22b, 102, 105, 49, 104	52
51	7	1	Zagłębienie centralne	N=100–103; E=101–104,4	Faza V. Dolne wypełnisko wkopu współczesnego 7; szarobrązowa i szaro-oliwkowobrązowa, piaszczysta, niejednorodna ziemia; miąższość do 0,4 m; zsuwy ze ścian wkopu	10YR 5/2, 10YR 5/6	43, 3b, 153, 5	7, 28b, 32b, 154, 166
52	52	1, 2	Obszar fosy	Wykop 1: N=100–103; E=116,40–118,6 Wykop 2: N=92,5–94; E=117,25–120	Faza IIIA. Fosa zewnętrzna na przedpolu wału podłużnego; częściowo wypełniona warstwami w czasie swego funkcjonowania, w większości zaś destrukcjami i warstwami erozyjnymi (zsuwy) z konstrukcją wału oraz wypełniskami współczesnymi; szerokość ok. 2–2,5 m i głębokość do 0,8 m	-	50, 67, 24, 62	25, 38, 23, 93
53		1	Obszar centralnego zagłębia	N=101,30–103; E=100–101,8	Faza I. Jama grobowia II z północnej i północno-zachodniej części zagłębia centrum kurhanu; długość co najmniej 2,1 m, szerokość co najmniej 1,5 m, głębokość ok. 0,7–0,8 m; dno płaskie, ściany boczne średnio strome; konstrukcja zawierała przynajmniej jeden dół postupowy [161] i przynajmniej od jednej strony wzmacniona była dużymi kamieniami 159a; częściowo przykryta piaszczycą kamiennym 33a [zniszczonym przez wkop 54]	-	171, 59, 158	25, 93
54		1	Obszar centralnego zagłębia	N= 100–101,2; E=101,5–103	Faza II. Wkopalina wypełniska komory II; w przekroju pionowym miał kształt łagodnego leja o średnicy na stropie co najmniej 2 m; w jego jasnych wypełniskach (162, 34, 64 i 165), niemal w połowie ich wysokości wydzielono cienką (do 8 cm miąższości) warstwę 163 ziemno-popiołową ze śladami drobin i pyłu węgla drzewnego	-	162, 163, 34, 164, 165	157, 158, 171, 59, 27
55	58b	1	Obszar centralnego zagłębia	N=100,3–103; E=102,2–103,8	Faza II. Górnego wypełniska wkopu 58b w jamę grobową II; jasnożółtobrązowa, piaszczysta, jednorodna ziemia; miąższość do 0,3 m	10YR 6/4	7, 33b, 35, 36,	57
56		1	Południowe i południowo-zachodnie obrzeża centrum pagórka	N=100–103; E=104,1–106,8	Faza I. Warstwa podstawy nasypu kurhanu; ciemnoszaro- i ciemnożółtawobrązowa, jednorodna, piaszczysta ziemia; między i pod kamieniami piaszczycą kamienną 31; miąższość do 0,8 m; widoczna na odcinku 3 m	10YR 4/2, 10YR 4/4	31, 40, 41, 144, 146, 177	26
57	58b	1	Obszar centralnego zagłębia kurhanu / grodziska	N=100,3–103; E=102–103,8	Faza II. Dolne (trzecie od dołu) wypełnisko wkopu 58b w jamę grobową I; widoczne w północno-wschodniej ścianie wykopu; jednorodna, żółtawobrązowa, piaszczysta ziemia, układająca się w przekroju w kształcie niecki; miąższość do 0,2 m	10YR 5/4	55, 33b, 35	176
58a		1	Obszar centralnego zagłębia kurhanu / grodziska	N=100–103; E=102,1–103,8	Faza I. Jama grobowia II z północnej i północno-zachodniej części zagłębia w centrum kurhanu; zniszczona zapewne w całości (oprócz kamieni 444 na dnie) przez wkop rabunkowy 58; prawdopodobne wymiary: długość co najmniej 2,8 m, szerokość 1,8 m, głębokość ok. 0,8 m; konstrukcja zawierała przynajmniej jeden dół postupowy (137)	-	44	26, 25

Tabela 1. Ciąg dalszy

Numer jednostki	Numer obiektu	Numer wykopu	Pozycja w obrębie stanowiska	Współrzędne siatki pomiarowej stanowiska	Opis jednostki stratygraficznej	Barwa	Pozycja stratygraficzna	
							Znajduje się pod	Znajduje się nad
58b		1	Obszar centralnego zagłębiania kurhanu / grodziska	N=100–103; E=102,1–103,8	Faza II. Wkop w jamę grobową I (prawdopodobnie obejmujący całą jej przestrzeń); strome ściany boczne i płaskie dno, długość co najmniej 2,8 m, szerokość 1,8 m, głębokość ok. 0,8 m; jasne jednorodne wypełniska (zsuwy lub intencjonalne zasypy): 176, 57, 55 oraz kamienie 33b, 35, 36 w stropie	-	176, 175	44
59	53	1	Centralne zagłębienie kurhanu / grodziska	N=102,4–103; E=100–101,3	Faza I. Jedno z dolnych wypełników jamy grobowej II (53); brązowa, piaszczysta ziemia o miąższości do 0,45 m	10YR 5/3	27	171, 53
61	11	2	Obszar fosy	N=92,5–94; E=119,6–120	Faza V. Warstwa z krawędzi ściany zewnętrznej fosy; prawdopodobnie kontynuacja wypełnisk rynnowatego obiektu 11; bladobrązowa, piaszczysta, sypka, jednorodna, ziemia; miąższość do 0,28 m; widoczna w południowo-zachodniej ścianie wykopu	10YR 5/4	2b	11, 62, 65
62	52	2	Obszar fosy	N=92,5–94; E=119,4–120	Faza IIIA. Górnego wypełnisko fosy 52; zsuw z krawędzi ściany zewnętrznej; żółtawobrązowa, piaszczysta, sypka, jednorodna ziemia; miąższość do 0,16 m; widoczna w południowo-zachodniej ścianie wykopu	10YR 7/4	61, 24	52, 23
63		2	Obszar fosy	N=92,5–94; E=119,4–120	Warstwa naturalna; górna frakcja calca w południowo-wschodniej części wykopu; jednorodny, żółty piasek	10YR 7/8	23	93
65	52	2	Obszar fosy	N=92,5–94; E=118,6–120	Faza IV. Wypełnisko fosy 52; ciemnożółtobrązowa ziemia z dna i ściany zewnętrznej fosy; miąższość do 0,4 m	10YR 3/4	21, 11	62, 24, 66
66	52	2	Obszar fosy	N=92,5–94; E=117,8–119,32	Faza IV. Dolne (drugie od dołu) wypełnisko fosy 52; zsuw z wału podłużnego na ściany i dno fosy; bladobrązowa, piaszczysta, sypka, jednorodna ziemia; miąższość do 0,24 m	10YR 6/3	65, 89	67, 24
67	52	2	Obszar fosy	N=92,5–94; E=117,4–119,36	Faza IIIA. Denne wypełnisko fosy 52; zsuw z podstawy wału podłużnego na ściany i dno fosy; bladobrązowa, piaszczysta, sypka, jednorodna ziemia; miąższość do 0,28 m	10YR 7/4	66, 92	52
68a		2	Obszar fosy	N=92,5–94; E=114,5–117,8	Faza IIIA. Najwyższa warstwa nasypu wału podłużnego; żółtawobrązowa, piaszczysta, sypka, niejednorodna, przemieszana ziemia; zachowana miąższość do 0,3 m; na obu stokach wału przechodziła w identyczną podestrukcyjną warstwę 68b	10YR 5/6	68b, 2b	8
68b		2	Wał podłużny	N=92,5–94; E=114,1–117,8	Faza IV. Podestrukcyjna warstwa ze szczytu nasypu wału podłużnego leżąca na obu jego stokach; żółtawobrązowa, piaszczysta, sypka, niejednorodna, przemieszana ziemia; zachowana miąższość do 0,32 m	10YR 5/6	71, 9	68a, 78, 73
69		2	Wał podłużny	N=93,8–94; E=115,5–115,8	Faza IIIA. Mały depozyt żółtawobrązowej, piaszczystej, jednorodnej ziemi ze szczytu nasypu wału podłużnego; miąższość do 8 cm; widoczny w północno-wschodniej ścianie wykopu	5YR 5/8	68a	70
70		2	Wał podłużny	N=93,7–94; E=115,6–115,8	Faza IIIA. Mały depozyt żółtawobrązowej, piaszczystej, jednorodnej ziemi ze szczytu nasypu wału podłużnego; miąższość do 8 cm; widoczny w północno-wschodniej ścianie wykopu	10YR 6/6	69	8
71		2	Wał podłużny	N=92,5–94; E=113–115,5	Faza V. Współczesna warstwa wypełniająca zagłębienie z wewnętrznej strony wału podłużnego; piaszczysta, sypka, ciemnożółtawobrązowa, niejednorodna ziemia; miąższość do 0,24 m	10YR 5/4	2a	72
72		2	Obszar wału podłużnego	N=92,5–94; E=113–114,4	Faza V. Współczesna warstwa po wewnętrznej stronie wału podłużnego; piaszczysta, sypka, ciemnożółtawobrązowa, jednorodna ziemia; miąższość do 0,14 m; widoczna w północno-wschodniej ścianie wykopu	10YR 3/4	71	9

Tabela 1. Ciąg dalszy

Numer jednostki	Numer obiektu	Numer wykopu	Położenie w obrębie stanowiska	Współrzędne siatki pomiarowej stanowiska	Opis jednostki stratygraficznej	Barwa	Pozycja stratygraficzna	
							Znajduje się pod	Znajduje się nad
73		2	Stok wału podłużnego	N=92,5–94; E=113–114,9	Faza IV. Warstwa erozyjna po wewnętrznej stronie wału podłużnego; piaszczysta, sypka, brązowawożółta; jednorodna ziemia; miąższość do 0,5 m; mogła być zsuwem warstwy 8 z górnej partii wału	10YR 6/8	75, 77, 78, 9	12, 16, 93
75		2	Obszar wału podłużnego	N=93,7–94; E=113,4–113,9	Faza IV. Depozyt bladobrązowej, piaszczystej, przemieszanej ziemi w obrębie warstw erozyjnych po wewnętrznej stronie wału podłużnego; miąższość do 0,4 m; widoczna w północno-wschodniej ścianie wykopu	10YR 8/4	9	73
77		2	Wał podłużny	N=92,5–94; E=113–114,1	Faza V. Współczesna warstwa erozyjna po wewnętrznej stronie wału podłużnego; piaszczysta, sypka, brązowawożółta, jednorodna ziemia; miąższość do 0,26 m	10YR 6/8	9	73
78		2	Wewnętrzny stok wału podłużnego	N=92,5–91,4; E=114,3–115,4	Faza IV. Warstwa erozyjna po wewnętrznej stronie wału podłużnego; piaszczysta, sypka, szarobrązowa, przemieszana ziemia; miąższość do 0,15 m; mogła być zsuwem warstwy z górnej partii nasypu wału; widoczna w południowo-zachodniej ścianie wykopu	10YR 5/2	68b	73
79	11	2	Fosa i wał podłużny	N=92,5–94; E=116,4–119,7	Faza V. Dolne wypełnisko rynnowatego obiektu 11; rudawobrązowa, piaszczysta, sypka, jednorodna ziemia; miąższość do 0,5 m	5YR 4/4	10	11
80		2	Fosa	N=92,5–93,8; E=117,3–118,9	Faza V. Depozyt brązowej, piaszczystej, sypkiej ziemi w niecce ponad wypełniskami obiektu 21 i wypełniskami fosy 52; miąższość do 0,3 m; widoczny w południowo-zachodniej ścianie wykopu	10YR 4/3	11, 2a	85, 99, 83
81	52	2	Obszar fosy	N=92,5–93,8; E=117,3–118,3	Faza IV. Wypełnisko fosy 52; maszynowy zsuw podestruktacyjny z krawędzi wału podłużnego; żółta, piaszczysta niejednorodna ziemia; miąższość do 0,36 m; widoczny w południowo-zachodniej ścianie wykopu	10YR 7/6	82, 99, 100	92, 89, 67
82	52	2	Obszar fosy	N=92,5–93,4; E=118–118,7	Faza IV. Wypełnisko fosy 52; bladobrązowa, piaszczysta ziemia; miąższość do 0,44 m; widoczna w południowo-zachodniej ścianie wykopu	10YR 7/4	100, 21	81, 89
83		2	Obszar fosy	N=92,5–93,1; E=118,6–119,3	Faza V. Depozyt ciemnożółtawobrązowej, piaszczystej, sypkiej, jednorodnej ziemi w niecce ponad wypełniskami obiektu 21 nad fosą 52; miąższość do 0,3 m; widoczny w południowo-zachodniej ścianie wykopu	10YR 4/4	85, 2a	84
84		2	Obszar fosy	N=92,5–92,9; E=118,3–119	Faza V. Depozyt jasnożółtawobrązowej, piaszczystej, sypkiej, jednorodnej ziemi w niecce ponad wypełniskami obiektu 21 nad fosą 52; miąższość do 0,25 m; widoczny w południowo-zachodniej ścianie wykopu	10YR 6/4	83, 85	86, 82
85		2	Obszar fosy	N=92,5–92,9; E=118,1–118,7	Faza V. Nieduży depozyt brązowej, piaszczystej, sypkiej ziemi w niecce ponad wypełniskami obiektu 21 i wypełniskami fosy 52; miąższość do 0,18 m; widoczny w południowo-zachodniej ścianie wykopu	10YR 5/3	80	83, 84, 82
86	21	2	Obszar fosy	N=92,5–92,8; E=118,5–119,6	Faza V. Górnego wypełnisko obiektu 21 z obszaru fosy; żółtawobrązowa, piaszczysta, sypka, niejednorodna ziemia; miąższość do 0,53 m	10YR 5/6	84	20
87	21	2	Obszar fosy	N=92,5–92,8; E=118,7–119,1	Faza V. Najwyższe wypełnisko obiektu 21 z obszaru fosy; ciemnożółtawobrązowa, piaszczysta, sypka, jednorodna ziemia; miąższość do 4 cm	10YR 4/4	20	21
89	52	2	Obszar fosy zewnętrznej	N=92,5–92,9; E=118,1–118,8	Faza IV. Dolne, podestruktacyjne wypełnisko fosy 52; brązowawożółta, piaszczysta, sypka, ziemia z niewielkimi drobinami węgli drzewnych; miąższość do 0,16 m	10YR 6/6	81, 82, 21	66
92	52	2	Obszar fosy zewnętrznej	N=92,5–93,1; E=117,2–117,9	Faza III B. Wypełnisko fosy 52; zsuw podestruktacyjny z krawędzi wału podłużnego; ciemnoszarobrązowa, piaszczysta, sypka ziemia; miąższość do 0,24 m; widoczna w południowo-zachodniej ścianie wykopu	10YR 4/2	81	67, 52
93		2	Wał podłużny	N=92,5–94; E=113–120	Warstwa naturalna. Calec; jasna, piaszczysta, bardzo sypka warstwa z wytraceniami żelazistymi	10YR 8/3	52, 94, 73	

Tabela 1. Ciąg dalszy

Numer jednostki	Numer obiektu	Numer wykopu	Pozycja w obrębie stanowiska	Współrzędne siatki pomiarowej stanowiska	Opis jednostki stratygraficznej	Barwa	Pozycja stratygraficzna	
							Znajduje się pod	Znajduje się nad
94		2	Wał podłużny	N=92,5–94; E=114–117,6	Faza IIIA. Masywna warstwa podstawy wału podłużnego; żółta, piaszczysta, sypka, jednorodna warstwa z wytracaniami żelazistymi w dolnej partii; miąższość od 0,16 do 0,34 m; miała 3–7 m szerokości	10YR 8/8	16	93
99	52	2	Obszar fosy zewnętrznej	N=92,5–93,1; E=117,4–118,1	Faza IV. Wypełnisko fosy 52; podestrukcyjny depozyt żółtobrązowej, piaszczystej, niejednorodnej ziemi; miąższość do 0,25 m; widoczna w południowo-zachodniej ścianie wykopu	10YR 5/6	80	100, 81
100	52	2	Obszar fosy zewnętrznej	N=92,5–92,7; E=117,8–118,2	Faza IV. Wypełnisko fosy 52; podestrukcyjny mały depozyt bardzo ciemnej, brązowej, częściowo przepalonej, piaszczystej ziemi; miąższość do 0,16 m; widoczna w południowo-zachodniej ścianie wykopu	10YR 2/2	99, 85	82, 81
102	52	1	Obszar fosy zewnętrznej	N=100–100,7; E=118–118,5	Faza IIIA. Wypełnisko fosy 52; jasnobrązowoszara, piaszczysta, sypka, jednorodna ziemia o miąższości do kilkunastu cm; zsuw z zewnętrznej ściany fosy	10YR 6/2	105, 48	50
104	52	1	Obszar fosy	N=102,65–103; E=116,9–117,7	Faza IIIB. Wypełnisko stropowe fosy 52; oliwkowobrązowa, piaszczysta, sypka, jednorodna ziemia; mała (miąższości do 0,1 m) depozyt zsuwu erozyjnego	2,5Y 4/4	46b, 47	50
105	52	1	Obszar fosy	N=100–100,3; E=116,8–118,3	Faza IIIB. Podestrukcyjne wypełnisko fosy 52; lokalny zsuw brązowej, piaszczystej, sypkiej, niejednorodnej ziemi; miąższość do 0,12 m	7,5YR 5/4	47	22b, 50, 52, 49, 15
106		1	Zewnętrzny stok wału	N=100–100,8; E=116,3–116,8	Faza IIIA. Lokalny mały depozyt ciemnej, brązowej, piaszczystej, miejscami przepalonej ziemi widoczny w południowo-zachodniej ścianie wykopu w nasypie wału podłużnego; miąższość do 6 cm	7,5YR 4/2	46b	15
107		1	Zewnętrzny stok wału	N=100–100,7; E=115,74–116,2	Faza IIIA. Cienki depozyt ciemnej, brązowej, piaszczystej, miejscami przepalonej ziemi widoczny w południowo-zachodniej ścianie wykopu w nasypie wału podłużnego; miąższość do 7 cm	7,5YR 5/3	46b	15
109		1	Zewnętrzna krawędź wału podłużnego	N=100–100,3; E=115,8–116,3	Faza IIIA. Lokalny depozyt / soczewka ciemnobrązowej piaszczystej, sypkiej, jednorodnej ziemi; miąższość do 0,15 m; widoczna w południowo-zachodniej ścianie wykopu w podstawie wału podłużnego	7,5YR 3/2	22a	49
110a		1	Wał podłużny	N=100–100,3; E=115,5–115,8	Faza IIIA. Prawdopodobny dół postupowy z konstrukcją wału podłużnego; średnica co najmniej 0,24 m (obiekt kontynuuje się poza granicą wykopu); głębokość 0,4 m; lekko pochylony w stronę stoku pagórka grodziskowego; wypełnisko 110b	-	110b	49, 22a
110b	110a	1	Wał podłużny	N=100–100,2; E=115,6–115,8	Faza IIIA. Wypełnisko domniemanego dołu postupowego 110a; pionowy depozyt piaszczystej, sypkiej, jednorodnej brązowej ziemi; miąższość do 0,7 m; widoczny w południowo-zachodniej ścianie wykopu w obszarze wału podłużnego	7,5YR 4/4	46b	110a
115		1	Krawędź stożka kurhanu / grodziska	N=100–100,4; E=112,9–113,5	Faza I. Wypełnisko misowanego zagłębcenia w calcu widocznego w południowo-zachodniej ścianie wykopu; piaszczysta, sypka, jednorodna brązowa ziemia; miąższość do 0,3 m	10YR 4/3	42	25
116		1	Nasyp kurhanu / grodziska od południowego wschodu	N=100–100,9; E=108,2–109,6	Faza I. Jedna z górnych warstw nasypu kurhanu / grodziska; opadała na zewnątrz; brązowa, piaszczysta, sypka, jednorodna ziemia; widoczna na odcinku 1,5 m; miąższość do 0,2 m	10YR 5/3	42	37
117		1	Nasyp kurhanu / grodziska od południowego wschodu	N=100–100,9; E=108,6–109,5	Faza I. Lokalny depozyt bardzo jasnej, brązowej, piaszczystej, sypkiej, jednorodnej ziemi z górnych warstw nasypu kurhanu; widoczny na odcinku 0,9 m; miąższość do 0,18 m	10YR 8/4	4b	42
118		1	Nasyp kurhanu / grodziska od południowego wschodu	N=100–101,3; E=109,4–112,4	Faza I. Warstwa żółtobrązowej, piaszczystej, sypkiej, jednorodnej ziemi ze środkowej partii nasypu kurhanu / grodziska; widoczna na odcinku 2,9 m; miąższość do 0,16 m; opadała w stronę fosy	10YR 5/4	37, 42	119, 39

Tabela 1. Ciąg dalszy

Numer jednostki	Numer obiektu	Numer wykopu	Położenie w obrębie stanowiska	Współrzędne siatki pomiarowej stanowiska	Opis jednostki stratygraficznej	Barwa	Pozycja stratygraficzna	
							Znajduje się pod	Znajduje się nad
119		1	Nasyp kurhanu / grodziska od południowego wschodu	N=100–101,4; E=109–110,5	Faza I. Warstwa nasypu kurhanu / grodziska z jego środkowej partii; jasnożółtobrązowa, piaszczysta, sypka, jednorodna ziemia; widoczna na odcinku 1,5 m; miąższość do 0,14 m; opadała w stronę fosy	10YR 6/4	118, 37	39
120		1	Nasyp kurhanu / grodziska od południowego wschodu	N=100–103; E=107–111,2	Faza I. Warstwa nasypu kurhanu / grodziska z jego środkowej, dolnej partii; żółta, piaszczysta, jednorodna ziemia; widoczna na odcinku 4,2 m; miąższość do 0,2 m; opadała w stronę fosy	10YR 7/6	39	131, 121, 194, 125
121		1	Nasyp kurhanu / grodziska od południowego wschodu	N=100–100,75; E=110,5–111,8	Faza I. Warstwa nasypu kurhanu / grodziska z jego zewnętrznej, dolnej partii; lokalny depozyt brązowej, piaszczystej, jednorodnej ziemi; widoczny na odcinku 1,3 m; miąższość do 6 cm; opadał w stronę fosy	10YR 4/3	120, 39, 118	122
122		1	Nasyp kurhanu / grodziska od południowego wschodu	N=100–100,7; E=110,5–111,8	Faza I. Warstwa nasypu kurhanu / grodziska z jego zewnętrznej, dolnej partii; cienki, lokalny depozyt żółtobrązowej, piaszczystej, jednorodnej ziemi; widoczny na odcinku 1,4 m; miąższość do 8 cm; opadał w stronę fosy	10YR 5/4	121	123
123		1	Nasyp kurhanu / grodziska od południowego wschodu	N=100–100,8; E=110,1–112,3	Faza I. Warstwa nasypu kurhanu / grodziska z jego zewnętrznej, dolnej partii; cienki, lokalny depozyt żółtej, piaszczystej, sypkiej, jednorodnej ziemi; widoczny na odcinku 2,1 m; miąższość do 8 cm; opadał w stronę fosy	10YR 7/8	122	124, 125
124		1	Nasyp kurhanu / grodziska od południowego wschodu	N=100–100,2; E=111,6–112,1	Faza I. Warstewka z podstawy nasypu kurhanu / grodziska z jego zewnętrznej parti; cienki, lokalny depozyt żółtobrązowej, piaszczystej, sypkiej, jednorodnej ziemi; widoczny na odcinku 0,24 m; miąższość do 5 cm; widoczna w południowo-zachodniej ścianie wykopu	10YR 5/4	123	26
125		1	Nasyp kurhanu / grodziska od południowego wschodu	N=100–101,9; E=107,2–111,4	Faza I. Warstwa nasypu kurhanu / grodziska z jego zewnętrznej, dolnej partii; depozyt brązowej, piaszczystej, sypkiej, jednorodnej ziemi; widoczny na odcinku 4,2 m; miąższość do 0,2 m; opadał w stronę fosy; widoczny w południowej ścianie wykopu	10YR 5/3	212, 131, 123	126
126		1	Nasyp kurhanu / grodziska od południowego wschodu	N=100–100,9; E=109,6–110,9	Faza I. Warstwa nasypu kurhanu / grodziska z jego zewnętrznej, dolnej partii; depozyt żółtej, piaszczystej, sypkiej, jednorodnej ziemi; widoczny na odcinku 4,2 m; miąższość do 0,16 m; opadał w stronę fosy; widoczny w południowej ścianie wykopu	10YR 7/6	125	127
127		1	Nasyp kurhanu / grodziska od południowego wschodu	N=100–100,7; E=108–109,8	Faza I. Warstwa nasypu kurhanu / grodziska z jego zewnętrznej, dolnej partii; depozyt szaro brązowej, piaszczystej, sypkiej, jednorodnej ziemi; widoczny na odcinku 1,8 m; miąższość do 0,16 m; opadał w stronę fosy; widoczny w południowo-zachodniej ścianie wykopu	10YR 5/2	125	128, 129, 130
128		1	Nasyp kurhanu / grodziska od południowego wschodu	N=100–100,3; E=109,5–110	Faza I. Warstewka (soczewka) w nasypie kurhanu / grodziska w jego zewnętrznej, dolnej parti; cienki, lokalny depozyt ciemnoszarobrązowej, piaszczystej, sypkiej, jednorodnej ziemi; widoczna w południowo-zachodniej ścianie wykopu na odcinku 0,5 m; miąższość do 8 cm	7,5YR 4/2	127, 126	129
129		1	Nasyp kurhanu / grodziska od południowego wschodu	N=100–100,7; E=109,2–109,6	Faza I. Warstewka (soczewka) w nasypie kurhanu / grodziska w jego zewnętrznej, dolnej parti; cienki, lokalny depozyt brązowej, piaszczystej, sypkiej, jednorodnej ziemi; widoczna na odcinku 0,4 m w południowo-zachodniej ścianie wykopu; miąższość do 8 cm	7,5YR 4/3	128, 130, 127	138
130		1	Nasyp kurhanu / grodziska od południowego wschodu	N=100–100,6; E=109–109,4	Faza I. Warstewka (soczewka) w nasypie kurhanu / grodziska w jego zewnętrznej, dolnej parti; cienki, lokalny depozyt brązowej, piaszczystej, sypkiej, jednorodnej ziemi; widoczny w południowo-zachodniej ścianie wykopu na odcinku 0,4 m; miąższość do 4 cm	7,5YR 4/4	127	129, 138

Tabela 1. Ciąg dalszy

Numer jednostki	Numer obiektu	Numer wykopu	Położenie w obrębie stanowiska	Współrzędne siatki pomiarowej stanowiska	Opis jednostki stratygraficznej	Barwa	Pozycja stratygraficzna	
							Znajduje się pod	Znajduje się nad
131		1	Nasyp kurhanu / grodziska od południowego wschodu	N=100–100,5; E=106,6–108,6	Faza I. Warstwa w nasypie kurhanu / grodziska w jego zewnętrznej, środkowej partii; żółtobrązowa, piaszczysta, sypka, jednorodna ziemia; widoczna na odcinku 2,6 m w południowo-zachodniej ścianie wykopu; miąższość do 0,2 m;	10YR 5/6	120, 39	212, 132
132		1	Nasyp kurhanu / grodziska od południowego wschodu	N=100–100,3; E=106,8–107,2	Faza I. Warstewka (soczewka) w nasypie kurhanu / grodziska w jego zewnętrznej, dolnej partii; cienki, lokalny depozyt brązowej, piaszczystej, sypkiej, jednorodnej ziemi; widoczny na odcinku 0,45 m; miąższość do 6 cm; widoczny w południowo-zachodniej ścianie wykopu	7,5YR 4/2	139, 131	133
133		1	Nasyp kurhanu / grodziska od południowego wschodu	N=100–101,9; E=106–108,4	Faza I. Warstwa w nasypie kurhanu / grodziska w jego zewnętrznej, środkowej partii; ciemnożółtobrązowa, piaszczysta, sypka, jednorodna ziemia; widoczna w południowo-zachodniej ścianie wykopu na odcinku 2,45 m; miąższość do 0,26 m	10YR 4/4	125, 132, 139	142, 134
134		1	Nasyp kurhanu / grodziska od południowego wschodu	N=100–101,3; E=106,9–107	Faza I. Warstwa żółtej, piaszczystej, sypkiej, jednorodnej ziemi ze środkowej partii nasypu kurhanu / grodziska; widoczna na odcinku 1,8 m; miąższość do 8 cm; opadała w stronę fosy	10YR 7/6	133, 127	138
135		1	Nasyp kurhanu / grodziska od południowego wschodu	N=100–101,9; E=106,2–109,2	Faza I. Warstwa nasypu kurhanu / grodziska z jego dolnej partii; depozyt żółtobrązowej, piaszczystej, sypkiej, jednorodnej ziemi; widoczny w południowo-zachodniej ścianie wykopu na odcinku 2,9 m; miąższość do 0,15 m; opadał w stronę fosy	10YR 5/8	143, 138	136
136		1	Nasyp kurhanu / grodziska od południowego wschodu	N=100–101,9; E=106–109	Faza I. Warstwa nasypu kurhanu / grodziska z jego dolnej partii; depozyt brązowej, piaszczystej, sypkiej, jednorodnej ziemi; widoczny w południowo-zachodniej ścianie wykopu na odcinku 1,2 m; miąższość do 0,15 m; opadał w stronę fosy	10YR 5/3	135	144, 40
137	58a	1	Obszar centralnego zagłębiania kurhanu / grodziska	N=100,9–101,3; E=101,9–102,3	Faza I. Dół postupowy z dna jamy grobowej I (58a) z północnej i północno-zachodniej częścią zagłębia centrum kurhanu; widoczny pod wypełniskami wkopu rabunkowego 58b; średnica ok.0,3 m, głębokość do 0,28 m	-	44, 58b	58a, 25
138		1	Nasyp kurhanu / grodziska od południowego wschodu	N=100–102,2; E=106,8–110,9	Faza I. Warstwa nasypu kurhanu / grodziska z jego zewnętrznej, dolnej partii; depozyt żółtobrązowej, piaszczystej, sypkiej, jednorodnej ziemi; widoczny w południowo-zachodniej ścianie wykopu na odcinku 4,1 m; miąższość do 0,2 m; opadał w stronę fosy	10YR 5/4	129, 134	135
139		1	Nasyp kurhanu / grodziska od południowego wschodu	N=100–100,4; E=106,4–106,8	Faza I. Warstewka (soczewka) w nasypie kurhanu / grodziska w jego zewnętrznej, dolnej partii; lokalny depozyt bladobrązowej, piaszczystej, sypkiej, jednorodnej ziemi; widoczny w południowo-zachodniej ścianie wykopu na odcinku 0,3 m; miąższość do 0,17 m	10YR 6/3	131, 4a	132, 133
142		1	Nasyp kurhanu / grodziska od południowego wschodu	N=100–100,6; E=105,8–106,7	Faza I. Lokalny depozyt bladobrązowej, piaszczystej, sypkiej, jednorodnej ziemi z zewnętrznej partii nasypu kurhanu / grodziska (a środkowej jeśli chodzi o jego wysokość); widoczny w południowo-zachodniej ścianie wykopu na odcinku 0,9 m; miąższość do 0,18 m; opadał w stronę fosy	10YR 6/3	133	41, 135
144		1	Nasyp kurhanu / grodziska od południowego wschodu	N=100–102,2; E=106,8–110,9	Faza I. Warstwa nasypu kurhanu / grodziska z jego dolnej partii; depozyt żółtej, piaszczystej, sypkiej, jednorodnej ziemi; widoczny w południowo-zachodniej ścianie wykopu na odcinku 2,4 m; miąższość do 0,2 m; opadał w stronę fosy	10YR 7/6	136, 41	40, 56
145		1	Obszar centralnego zagłębiania kurhanu / grodziska	N=100–100,8; E=102,7–103,9	Faza VI. Piaszczysta, sypka, przemieszana, niejednorodna, szarobrązowa ziemia; widoczna w południowo-zachodniej ścianie wykopu; wypełniała zagłębienie w warstwie humusu leśnego ponad wypełniskami wkopu rabunkowego 7	10YR 5/2	-	2a

Tabela 1. Ciąg dalszy

Numer jednostki	Numer obiektu	Numer wykopu	Położenie w obrębie stanowiska	Współrzędne siatki pomiarowej stanowiska	Opis jednostki stratygraficznej	Barwa	Pozycja stratygraficzna	
							Znajduje się pod	Znajduje się nad
146		1	Obszar centralnego zagłębia kurhanu / grodziska	N=100-101,4; E=103,9-104,4	Faza I. Lokalny depozyt brązowożółtej, piaszczystej, sypkiej, jednorodnej ziemi z obszaru centralnego zagłębia nasypu kurhanu; widoczny w południowo-zachodniej ścianie wykopu na odcinku 0,4 m; miąższość do 0,12 m; opada ku centrum zagłębia; przylegał i częściowo przykrywał ścianę piaszcza kamiennego 31	10YR 6/6	177	56, 31
149	53	1	Obszar centralnego zagłębia kurhanu / grodziska	N=100,6-101; E=100,2-101,9	Faza I. Wypełnisko denne jamy grobowej II (53); lokalny depozyt żółtej, piaszczystej, sypkiej, jednorodnej ziemi z obszaru centralnego zagłębia nasypu kurhanu; widoczny w południowo-zachodniej ścianie wykopu na odcinku 2 m; miąższość do 0,16 m; leżał na łagodnie opadającej ścianie jamy	10YR 8/8	159, 177	151, 53, 26
151	53	1	Obszar centralnego zagłębia kurhanu / grodziska	N=101-101,3; E=101,2-101,7	Faza I. Wypełnisko denne jamy grobowej II (53); lokalny maty zsuw humusu pierwotnego 26 na ścianę wkopu komory II (53); szarobrązowej, piaszczystej, jednorodnej ziemi; widoczny w południowo-zachodniej ścianie wykopu na odcinku 0,35 m; miąższość do 0,1 m	10YR 5/2	149	53, 25
153		1	Obszar centralnego zagłębia kurhanu / grodziska	N=101-101,8; E=100,7-101,6	Faza V. Lokalny depozyt (zsuw) w obrębie górnych wypełników współczesnego wkopu rabunkowego 7; jasnożółtobrązowa, piaszczysta, sypka, niejednorodna ziemia; widoczna w południowo-zachodniej ścianie wykopu na odcinku 0,9 m; miąższość do 0,19 m	10YR 6/4	2a	51, 166, 3b
154		1	Obszar centralnego zagłębia kurhanu / grodziska	N=100,4-101,8; E=100-101,5	Faza I. Warstwa nasypu kurhanu / grodziska; depozyt żółtej, piaszczystej, sypkiej, jednorodnej ziemi z obszaru centralnego zagłębia nasypu kurhanu; widoczny w południowo-zachodniej ścianie wykopu na odcinku 1,8 m; miąższość do 0,26 m; opadała ku centrum zagłębia	10YR 7/6	28a, 166, 7	156, 177
155		1	Obszar centralnego zagłębia kurhanu / grodziska	N=101-101,7; E=100,1-101,1	Faza I. Warstwa nasypu kurhanu / grodziska; soczewka żółtej, piaszczystej, sypkiej, jednorodnej ziemi z obszaru centralnego zagłębia nasypu kurhanu / grodziska; widoczna w południowo-zachodniej ścianie wykopu na odcinku 0,1 m; miąższość do 0,3 m	10YR 8/6	177	159
156		1	Obszar północno-zachodniej krawędzi centralnego zagłębia kurhanu / grodziska	N=101-101,4; E=100-100,3	Faza I. Warstwa nasypu kurhanu / grodziska ponad wypełniskami jamy grobowej II (53); soczewka żółtobrązowej, piaszczystej, sypkiej, jednorodnej ziemi; widoczna w południowo-zachodniej ścianie wykopu na odcinku 0,45 m; miąższość do 0,36 m	10YR 5/6	154, 166	177, 157
157		1	Obszar północno-zachodniej krawędzi centralnego zagłębia kurhanu / grodziska	N=101-102,1; E=100-100,4	Faza I. Warstwa ziemno-kamienna z nasypu kurhanu / grodziska i jednocześnie fragment takiejże ściany w obrębie jamy grobowej II (53); graniczyła z prawdopodobnym słupem (161) z konstrukcją tej jamy; depozyt ciemnożółto-brązowej, piaszczystej, sypkiej, jednorodnej ziemi z dużymi kamieniami (33); widoczny w północno-zachodniej ścianie wykopu na odcinku 1 m; miąższość do 0,76 m; prawdopodobnie częściowo osunięta w obręb jamy	10YR 4/4	33b, 156	158
158	53	1	Obszar północno-zachodniej krawędzi centralnego zagłębia kurhanu / grodziska	N=101,3-102,4; E=100-100,5	Faza I. Wypełnisko denne jamy grobowej II (53); żółta, piaszczysta, jednorodna ziemia; widoczna na odcinku 1 m w północno-zachodniej ścianie wykopu; miąższość do 0,5 m; leżała częściowo ponad podestruktacyjnymi wypełniskami dołu posłupowego 161	10YR 7/8	157	159b, 53
159a	53	1	Obszar północno-zachodniej krawędzi centralnego zagłębia kurhanu / grodziska	N=101-101,8; E=100-101,6	Faza I. Kamienie konstrukcji kamiennoziemnej z północno-zachodniej części jamy grobowej II (53); występowały na odcinku 1 m w południowo-zachodniej i północno-zachodniej ścianie wykopu; zachowane do wysokości 0,8 m; średnice do 0,5 m; leżały w warstwie ziemi 159b; graniczyły z podestruktacyjnymi wypełniskami dołu posłupowego 161	-	158	159b

Tabela 1. Ciąg dalszy

Numer jednostki	Numer obiektu	Numer wykopu	Pozycja w obrębie stanowiska	Współrzędne siatki pomiarowej stanowiska	Opis jednostki stratygraficznej	Barwa	Pozycja stratygraficzna	
							Znajduje się pod	Znajduje się nad
159b	53	1	Obszar północno-zachodniej krawędzi centralnego zagłębia kurhanu / grodziska	N=101–101,8; E=100–101,56	Faza I. Warstwa ziemi z konstrukcją kamienno-ziemną z północno-zachodniej części jamy grobowej II (53); widoczna na odcinku 1,6 m w południowo-zachodniej i północno-zachodniej ścianie wykopu; miąższość do 0,9 m; w niej leżały w warstwie kamienie 159a; graniczyła i częściowo przykrywała podestrukcyjne wypełniska dołu postupowego 161	10YR 6/4	159a	160a, 160b
160a	161	1	Obszar północno-zachodniej krawędzi centralnego zagłębia kurhanu / grodziska	N=101,3–101,8; E=100,2–100,6	Faza I. Wypełnisko dołu postupowego 161 z północno-zachodniej części jamy grobowej II (53); bladobrązowa, piaszczysta ziemia; widoczne w północno-zachodniej ścianie wykopu; średnica do 0,5 m; miąższość 0,38 m	10YR 7/4	159b, 159a	160b, 161
160b	161	1	Obszar północno-zachodniej krawędzi centralnego zagłębia kurhanu / grodziska	N=101,4–101,6; E=100,3–101,5	Faza I. Wypełnisko dolne dołu postupowego 161 z północno-zachodniej części jamy grobowej II (53); bladobrązowa, piaszczysta ziemia; widoczne w północno-zachodniej ścianie wykopu; średnica do 0,15 m; miąższość 0,2 m	10YR 6/2	160a	161
161	53	1	Obszar północno-zachodniej krawędzi centralnego zagłębia kurhanu / grodziska	N=101,3–101,8; E=100,2–100,6	Faza I. Dół postupowy z północno-zachodniej części jamy grobowej II (53); wypełniska 160a, 160b; ściany zwężające się ku dołowi, dno płaskie; widoczny w północno-zachodniej ścianie wykopu; średnica do 0,65 m, głębokość 0,64 m	-	160b	53
162	54	1	Obszar północnej krawędzi centralnego zagłębia kurhanu / grodziska	N=102–103; E=100–100,7	Faza II. Wypełnisko wskupu rabunkowego 54 z N części jamy grobowej II (53); jasnożółtobrązowa, sypka, piaszczysta ziemia; widoczne w północno-zachodniej i północno-wschodniej ścianie wykopu na odcinku 1 m; miąższość do 0,45 m	10YR 6/4	163	54, 59
163	54	1	Obszar północnej krawędzi centralnego zagłębia kurhanu / grodziska	N=102–103; E=100–100,6	Faza II. Wypełnisko (drugie od dołu) wskupu rabunkowego 54 z północnej części jamy grobowej II (53); ciemnoszara, sypka, piaszczysta, niejednorodna ziemia z drobinami węgli drzewnych; widoczne w północno-zachodniej i północno-wschodniej ścianie wykopu na odcinku 1 m; miąższość do 8 cm; tworzyło nieckowe zagłębienie	10YR 3/1	34	162
164	54	1	Obszar północnej krawędzi centralnego zagłębia kurhanu / grodziska	N=101,6–103; E=100–100,2	Faza II. Wypełnisko (czwarte od dołu) wskupu rabunkowego 54 z północnej części jamy grobowej II (53); żółta, sypka, piaszczysta, niejednorodna ziemia z drobinami węgli drzewnych; widoczne w północno-zachodniej i północno-wschodniej ścianie wykopu na odcinku 1 m; miąższość do 8 cm; tworzyło nieckowe zagłębienie	10YR 7/6	165	34
165	54	1	Obszar północnej krawędzi centralnego zagłębia kurhanu / grodziska	N=102,4–103; E=100–101,3	Faza II. Najwyższe wypełnisko (piąte od dołu) wskupu rabunkowego 54 z N części jamy grobowej II (53); żółtobrązowa, sypka, piaszczysta, jednorodna ziemia; widoczne w północno-zachodniej i północno-wschodniej ścianie wykopu na odcinku 1,25 m; miąższość do 8 cm; tworzyło nieckowe zagłębienie	10YR 5/6	166, 28a, 167	164, 34
166		1	Obszar północnej krawędzi centralnego zagłębia kurhanu / grodziska	N=101,9–103; E=100–100,5	Faza IV. Masywna warstwa podestrukcyjna z północno-zachodniej krawędzi zagłębienia centralnego; leżała nad reliktami spalonej konstrukcji drewnianej (28b, 167) wieży / gródka wczesnośredniowiecznego oraz wypełniskami wskupu rabunkowego 54 z północnej części jamy grobowej II (53); ciemnożółtobrązowa, piaszczysta, jednorodna ziemia, widoczna w północno-zachodnim krańcu wykopu na odcinku 2 m; miąższość do 0,7 m	10YR 3/4	2b, 3c, 7	154, 167, 156, 28b

Tabela 1. Ciąg dalszy

Numer jednostki	Numer obiektu	Numer wykopu	Położenie w obrębie stanowiska	Współrzędne siatki pomiarowej stanowiska	Opis jednostki stratygraficznej	Barwa	Pozycja stratygraficzna	
							Znajduje się pod	Znajduje się nad
167		1	Obszar północnej krawędzi centralnego zagłębienia kurhanu / grodziska	N=102,4–103; E=100–102,1	Faza IIIB. Warstwa zniszczeniowa konstrukcji drewnianej wieży / gróalka wczesnośredniowiecznego; depozyt ciemnoszarej ziemi ze śladami przepalenia i drobinami węgli drzewnych; widoczny w północno-zachodniej części wykopu na odcinku 2,1 m nad warstwą popiołu 28b; miąższość do 0,14 m	10YR 3/1	166	28b, 165
168	7	1	Obszar północnej krawędzi centralnego zagłębienia kurhanu / grodziska	N=101,9–103; E=101,2–102	Faza V. Wypełnisko górne (zsuw ze ściany) współczesnego wkopu rabunkowego 7; szarobrązowa, piaszczysta, sypka, niejednorodna ziemia; miąższość do 0,3 m; widoczna w północno-wschodniej ścianie wykopu	10YR 5/2	43, 2b	3b, 7
169		1	Obszar północnej krawędzi centralnego zagłębienia kurhanu / grodziska	N=102,2–103; E=101,5–102,1	Faza I. Bladobrązowa, jednorodna, piaszczysta ziemia pomiędzy kamieniami dolnego płaszcza kamiennego 33a; widoczna w wąskim (0,5 m) pasie pomiędzy wkopami rabunkowymi 7, 58b oraz jamą grobową II (53); miąższość do 0,2 m; widoczna w północno-wschodniej wykopu	10YR 6/3	33a, 28a, 58b	26
171	53	1	Obszar północnej krawędzi centralnego zagłębienia kurhanu / grodziska	N=102,1–103; E=100,8–101,5	Faza I. Jedno z dolnych wypełnisk (zsuw ze ściany) jamy grobowej II (53); bladobrązowa, piaszczysta ziemia; miąższość do 0,2 m; widoczna w ścianie północno-wschodniej wykopu	10YR 6/3	59	53, 26
175	58b	1	Obszar centralnego zagłębienia kurhanu / grodziska	N=102,4–103; E=102,2–102,5	Faza II. Dolne (drugi od dołu) wypełnisko wkopu 58b w jamę grobową I (58a); zsuw ze ściany calcowej; widoczne w północno-wschodniej ścianie wykopu; jednorodna, żółtawobrązowa, piaszczysta ziemia; miąższość do 0,12 m	10YR 5/6	57	176
176	58b	1	Obszar centralnego zagłębienia kurhanu / grodziska	N=101,7–103; E=102,3–103,7	Faza II. Denne wypełnisko wkopu 58b w jamę grobową I (58a); widoczne w północno-wschodniej ścianie wykopu; jednorodna, jasnobrązowoszara, piaszczysta ziemia; miąższość do 0,2 m	10YR 6/2	175, 57	58b
177		1	Obszar centralnego zagłębienia kurhanu / grodziska	N=100–103; E=103,8–106,5	Faza I. Warstwa nasypu kurhanu / grodziska w obszarze zagłębienia centralnego, wokół jamy grobowej I (58a); opadała ku centrum zagłębienia; rozdzielała dolny i górny płaszcz kamienny kurhanu; bladobrązowa, piaszczysta, sypka, jednorodna ziemia; widoczna na odcinku 6,5 m; miąższość do 0,5 m	10YR 6/3	3a, 154, 32a	41, 56
178a		1	Wewnętrzna krawędź centralnego zagłębienia kurhanu / grodziska	N=102,7–103; E=106,4–107,1	Faza I. Dół i jama posłupowa (wypełniska; 178b, 178c, 179) na granicy przejścia nasypu kurhanu / grodziska w jego centralne obniżenie; rozdzielała masywne warstwy nasypu z ławą kamienną na spodzie od kompleksu cienkich warstw nasypu opadających na zewnątrz (ku fosie); dół ostro zakończony; średnica słupa do 0,3 m, jama – 0,5 m; głębokość 0,8 m	-	178b, 178c, 179	41, 12
178b	178a	1	Wewnętrzna krawędź centralnego zagłębienia kurhanu / grodziska	N=102,7–103; E=106,4–106,8	Faza I. Wypełnisko dolne dołu posłupowego 178a; żółtawobrązowa, piaszczysta ziemia; miąższość do 0,48 m	10YR 5/6	178c, 179	178a
178c	178a		Wewnętrzna krawędź centralnego zagłębienia kurhanu / grodziska	N=102,7–103; E=106,4–106,9	Faza I. Wypełnisko górnego dołu posłupowego 178a; żółtawobrązowa, piaszczysta ziemia; miąższość do 0,36	10YR 5/4	2b	178b, 179, 177, 4a
179	178a	1	Wewnętrzna krawędź centralnego zagłębienia kurhanu / grodziska	N=102,7–103; E=106,8–107,2	Faza I. Wypełnisko jamy słupowej (178a); szara, piaszczysta, sypka, jednorodna ziemia; miąższość do 0,32 m	10YR 6/1	4B, 178c	178b

Tabela 1. Ciąg dalszy

Numer jednostki	Numer obiektu	Numer wykopu	Polożenie w obrębie stanowiska	Współrzędne siatki pomiarowej stanowiska	Opis jednostki stratygraficznej	Barwa	Pozycja stratygraficzna	
							Znajduje się pod	Znajduje się nad
180		1	Południowo-wschodni obszar kurhanu / grodziska	N=101,9–103; E=106,7–108,6	Faza I. Jedna z kompleksu warstw nasypu kurhanu / grodziska (ze środkowej partii jego wysokości); brązowozóżta, piaszczysta, sypka, jednorodna ziemia; widoczna na odcinku 1,9 m; miąższość do 8 cm; strop warstwy opada ku wschodowi; widoczna w północno-wschodniej ścianie wykopu	10YR 6/6	193, 179	181
181		1	Południowo-wschodni obszar kurhanu / grodziska	N=101,7–103; E=106,7–109,6	Faza I. Jedna z kompleksu warstw nasypu kurhanu / grodziska (ze środkowej partii jego wysokości); jasnożółtobrązowa, piaszczysta, sypka, jednorodna ziemia; widoczna na odcinku 2,9 m; miąższość do 0,23 m; strop warstwy opada ku wschodowi; widoczna w północno-wschodniej ścianie wykopu	10YR 6/4	180	182
182		1	Południowo-wschodni obszar kurhanu / grodziska	N=102,7–103; E=107–107,6	Faza I. Mały depozyt z kompleksu warstw nasypu kurhanu / grodziska (ze środkowej partii jego wysokości); żółtobrązowa, piaszczysta, sypka, jednorodna ziemia; widoczna na odcinku 0,6 m; miąższość do 8 cm; strop warstwy opada ku wschodowi; widoczna w północno-wschodniej ścianie wykopu	10YR 5/6	181	185, 183
183		1	Południowo-wschodni obszar kurhanu / grodziska	N=101,3–103; E=106,7–111,6	Faza I. Jedna z kompleksu warstw nasypu kurhanu / grodziska (ze środkowej i dolnej partii jego wysokości); żółtobrązowa, piaszczysta, sypka, jednorodna ziemia; widoczna na odcinku 4,95 m; miąższość do 0,15 m; strop warstwy opada ku wschodowi; widoczna w północno-wschodniej ścianie wykopu	10YR 5/4	200, 182	202, 184
184		1	Południowo-wschodni obszar kurhanu / grodziska	N=102,2–103; E=106,6–108	Faza I. Jedna z kompleksu warstw nasypu kurhanu / grodziska; szara, piaszczysta, sypka, jednorodna ziemia; widoczna na odcinku 1,4 m w północno-wschodniej ścianie wykopu; miąższość do 0,14 m; strop warstwy opada ku wschodowi	10YR 5/1	183	41, 40
185		1	Południowo-wschodni obszar kurhanu / grodziska	N=102,6–103; E=107,1–107,7	Faza I. Mały depozyt żółto-brązowej, piaszczystej ziemi z kompleksem warstw nasypu kurhanu / grodziska (ze środkowej partii jego wysokości); miąższość do 5 cm; widoczny w północno-wschodniej ścianie wykopu na odcinku 0,55 m;	10YR 5/4	182	186
186		1	Południowo-wschodni obszar kurhanu / grodziska	N=102,4–103; E=107,2–108,9	Faza I. Jedna z kompleksu cienkich warstw nasypu kurhanu / grodziska; szara, piaszczysta ziemia; widoczna na odcinku 1,78 m w północno-wschodniej ścianie wykopu; miąższość do 6 cm; strop warstwy opada ku wschodowi	10YR 5/1	185, 181	187
187		1	Południowo-wschodni obszar kurhanu / grodziska	N=102,2–103; E=107,4–108,9	Faza I. Depozyt żółtobrązowej, piaszczystej ziemi z kompleksem cienkich warstw nasypu kurhanu / grodziska (z dolnej partii jego wysokości); widoczny na odcinku 1,5 m w północno-wschodniej ścianie wykopu; miąższość do 8 cm; strop warstwy opada ku wschodowi	10YR 5/4	186	188
188		1	Południowo-wschodni obszar kurhanu / grodziska	N=102,1–103; E=107,5–110,2	Faza I. Jedna z kompleksu warstw nasypu kurhanu / grodziska (z dolnej partii jego wysokości); jasnożółtobrązowa, piaszczysta, jednorodna ziemia; widoczna na odcinku 2,65 m w północno-wschodniej ścianie wykopu; miąższość do 0,14 m; strop warstwy opada ku wschodowi; widoczna w północno-wschodniej ścianie wykopu	10YR 6/4	187, 181	200, 183
190		1	Południowo-wschodni obszar kurhanu / grodziska	N=101,8–103; E=110,1–110,6	Faza I. Mały depozyt (soczewka) z kompleksem warstw nasypu kurhanu / grodziska (z dolnej zewnętrznej jego partii); jasnożółtobrązowa, piaszczysta, jednorodna ziemia; widoczna na odcinku 0,5 m w północno-wschodniej ścianie wykopu; miąższość do 7 cm	10YR 6/4	39	194

Tabela 1. Ciąg dalszy

Numer jednostki	Numer obiektu	Numer wykopu	Położenie w obrębie stanowiska	Współrzędne siatki pomiarowej stanowiska	Opis jednostki stratygraficznej	Barwa	Pozycja stratygraficzna	
							Znajduje się pod	Znajduje się nad
192		1	Południowo-wschodni obszar kurhanu / grodziska	N=101,6–103; E=107–108,9	Faza I. Depozyt szarej, piaszczystej ziemi z kompleksem warstw nasypu kurhanu / grodziska (ze środkowej partii jego wysokości); widoczny na odcinku 1,8 m w północno-wschodniej ścianie wykopu; miąższość do 0,14 m; strop warstwy opada ku wschodowi	10YR 5/1	120	196, 193
193		1	Południowo-wschodni obszar kurhanu / grodziska	N=102,1–103; E=106,9–108,7	Faza I. Depozyt brązowej, piaszczystej ziemi z kompleksem warstw nasypu kurhanu / grodziska (ze środkowej partii jego wysokości); miąższość do 0,2 m; strop warstwy opada ku wschodowi; widoczny w północno-wschodniej ścianie wykopu na odcinku 1,75 m	10YR 5/3	196, 192	180
194		1	Południowo-wschodni obszar kurhanu / grodziska	N=100,7–103; E=109,1–112,5	Faza I. Jedna z kompleksu warstw nasypu kurhanu / grodziska (z jego dolnej, zewnętrznej partii); szara, piaszczysta ziemia; miąższość do 0,15 m; strop warstwy opada ku wschodowi; widoczna w północno-wschodniej ścianie wykopu na odcinku 3,35 m	10YR 5/1	190, 120	195, 196
195		1	Południowo-wschodni obszar kurhanu / grodziska	N=102,5–103; E=109,8–110,7	Faza I. Mały depozyt [soczewka] z kompleksem warstw nasypu kurhanu / grodziska (z dolnej zewnętrznej jego partii); jasnożółtobrązowa, piaszczysta ziemia; widoczna w północno-wschodniej ścianie wykopu na odcinku 0,85 m; miąższość do 0,12 m	10YR 6/4	194	196, 197
196		1	Południowo-wschodni obszar kurhanu / grodziska	N=101,4–103; E=108,5–110,4	Faza I. Jedna z kompleksu warstw nasypu kurhanu / grodziska (z jego dolnej, zewnętrznej partii); szara, piaszczysta ziemia; widoczna w północno-wschodniej ścianie wykopu na odcinku 3,42 m; miąższość do 0,15 m; strop warstwy opada ku wschodowi	10YR 6/3	192, 195	181, 197
197		1	Południowo-wschodni obszar kurhanu / grodziska	N=102,4–103; E=110,4–111,2	Faza I. Mały depozyt [soczewka] z kompleksem warstw nasypu kurhanu / grodziska (z dolnej zewnętrznej jego partii); brązowa, piaszczysta ziemia; widoczna w północno-wschodniej ścianie wykopu na odcinku 0,8 m; miąższość do 8 cm	10YR 5/3	195, 194	201, 198
198		1	Południowo-wschodni obszar kurhanu / grodziska	N=102,5–103; E=110,4–111,2	Faza I. Mały depozyt z kompleksem warstw nasypu kurhanu / grodziska (z dolnej zewnętrznej jego partii); brązowa, piaszczysta ziemia; widoczna w północno-wschodniej ścianie wykopu na odcinku 0,66 m; miąższość do 0,1 m	10YR 6/4	201, 197	199, 183
199		1	Południowo-wschodni obszar kurhanu / grodziska	N=102,7–103; E=110–110,6	Faza I. Mały depozyt z kompleksem warstw nasypu kurhanu / grodziska (z dolnej zewnętrznej jego partii); bladobrązowa, piaszczysta ziemia; widoczna w północno-wschodniej ścianie wykopu na odcinku 0,65 m; miąższość do 0,18 m	10YR 6/3	196, 198	188, 183
200		1	Południowo-wschodni obszar kurhanu / grodziska	N=102,7–103; E=109,2–109,9	Faza I. Mały depozyt [soczewka] z kompleksem warstw nasypu kurhanu / grodziska (z dolnej zewnętrznej jego partii); brązowa, piaszczysta ziemia; widoczna w północno-wschodniej ścianie wykopu na odcinku 0,66 m; miąższość do 0,1 m	10YR 5/3	188	183
201		1	Południowo-wschodni obszar kurhanu / grodziska	N=102,3–103; E=111–111,7	Faza I. Mały depozyt z kompleksem cienkich warstw nasypu kurhanu / grodziska (z dolnej zewnętrznej jego partii); jasnożółtobrązowa, piaszczysta ziemia; widoczna w północno-wschodniej ścianie wykopu na odcinku 0,7 m; miąższość do 6 cm	10YR 6/4	197, 194	198, 183
202		1	Południowo-wschodni obszar kurhanu / grodziska	N=102,8–103; E=109,5–110,1	Faza I. Mały depozyt [soczewka] z kompleksem warstw nasypu kurhanu / grodziska (z dolnej zewnętrznej jego partii); jasnożółtobrązowa, piaszczysta ziemia; widoczna w północno-wschodniej ścianie wykopu na odcinku 0,56 m; miąższość do 4 cm	10YR 6/6	183	40, 203, 26
203		1	Południowo-wschodni obszar kurhanu / grodziska	N=101,8–103; E=109,9–111,5	Faza I. Warstwa z podstawy nasypu kurhanu / grodziska (z jego zewnętrznej partii); jasnożółtobrązowa, piaszczysta ziemia; widoczna w północno-wschodniej ścianie wykopu na odcinku 1,6 m; miąższość do 0,1 m	10YR 6/4	202, 183	26

Tabela 1. Ciąg dalszy

Numer jednostki	Numer obiektu	Numer wykopu	Polożenie w obrębie stanowiska	Współrzędne siatki pomiarowej stanowiska	Opis jednostki stratygraficznej	Barwa	Pozycja stratygraficzna	
							Znajduje się pod	Znajduje się nad
204		1	Południowo-wschodni obszar kurhanu / grodziska	N=101,3–103; E=106,9–109,3	Faza I. Warstwa z podstawy nasypu kurhanu / grodziska (z jego zewnętrzną partią); żółta, piaszczysta ziemia; widoczna w północno-wschodniej ścianie wykopu na odcinku 2,35 m; miąższość do 0,1 m	10YR 7/6	40	26
205		1	Południowo-wschodni obszar kurhanu / grodziska	N=100,4–103; E=110,7–113,6	Faza I. Jedna z kompleksu stokowych warstw nasypu kurhanu / grodziska; brązowa, piaszczysta ziemia; widoczna w północno-wschodniej ścianie wykopu na odcinku 2,8 m; miąższość do 0,4 m; strop warstwy opada ku wschodowi	10YR 5/3	4b, 45	42
206		1	Południowo-wschodnia krawędź kurhanu / grodziska	N=102,8–103; E=113,6–113,8	Faza I. Duży kamień z granicy stoku kurhanu / grodziska; prawdopodobnie element wieńca dookolnego; leżał bezpośrednio na humusie pierwotnym 26; średnica do 0,3 m; widoczny w północno-wschodniej ścianie wykopu ścianie wykopu	2,5YR 5/6	42, 205, 45	26
207		1	Obszar granicy kurhanu / grodziska i fosy	N=102,8–103; E=115–115,4	Faza IIIA. Wypełnisko dołu postępowego 208; ciemnożółtobrązowa, piaszczysta ziemia; miąższość do 0,58 m; widoczne w północno-wschodniej ścianie wykopu	10YR 3/6	46a	208
208		1	Obszar granicy kurhanu / grodziska i fosy	N=102,8–103; E=115–115,4	Faza IIIA. Dół postępowy (wypełnisko 207) z konstrukcją wcześnieśredniowiecznego wału podłużnego między stokiem kurhanu a fosą; średnica do 0,2 m, głębokość do 0,6 m; wkopany bezpośrednio wcale; widoczny w północno-wschodniej ścianie wykopu	10YR 4/6	207	25, 49
209	52	1	Wał podłużny / fosa	N=102,1–103; E=116–117,2	Faza IV. Warstwa podestrukcyjna z nasypu wału podłużnego; zsunięta częściowo na wypełniska fosy 52; widoczna w północno-wschodniej ścianie wykopu; piaszczysta, sypka, ciemnożółtobrązowa, niejednorodna, przemieszana ziemia; miąższość do 0,3 m	10YR 3/6	46a, 47	22a, 22b, 49, 210
210	52	1	Obszar fosy	N=102,7–103; E=116,9–117,4	Faza IIIB. Wypełnisko górne z fosy 52; zsuw z destrukcji wału; ciemnożółtobrązowa, piaszczysta ziemia; miąższość do 7 cm; widoczne w północno-wschodniej ścianie wykopu	10YR 4/6	209, 47	104, 50
211	52	1	Obszar fosy	N=100–100,4; E=117,7–118,2	Faza IIIB. Wypełnisko fosy 52; lokalny, podestrukcyjny depozyt piaszczystej, sypkiej, brązowej, niejednorodnej ziemi; miąższość do 0,1 m	7,5YR 4/4	47	22b, 102
212		1	Obszar południowo-zachodniej części kurhanu / grodziska	N=100–101,1; E=107,2–108,8	Faza I. Warstwa nasypu kurhanu / grodziska w jego środkowej (wysokość) partii; jasnożółtobrązowa, piaszczysta, sypka, jednorodna ziemia; widoczna w południowo-zachodniej ścianie wykopu na odcinku 1,6 m; miąższość do 9 cm	10YR 6/4	131	125

sypu kopca oraz w jego sąsiedztwie. Ponad tymi warstwami, jedynie na obszarze bezpośrednio poniżej kopca zaobserwowano drobnoziarnisty piasek 26 z niewielką domieszką frakcji organicznej, który jest reliktem pierwotnego humusu.

Faza I

Najstarszy horyzont chronologiczny związany z działalnością człowieka wyznaczają jednostki stratygraficzne, które można wiązać z budową w okresie wpływów rzymskich kurhanu, zawierającego co najmniej dwie jamy (komory) grobowe, przykrywający je bruk kamienny i nasyp ziemny. Jamy grobowe sąsiadowały ze sobą. Jama I (58a) miała długość około 2,8 m i szerokość do ok 1,8 m, a Jama II (53) – długość co najmniej 2,1 m i szerokość

co najmniej 1,5 m. Obie jamy grobowe miały prawdopodobnie głębokość około 0,7–0,8 m. Bardziej precyzyjne wymiary nie są możliwe do ustalenia, przede wszystkim z powodu znacznego zniszczenia obu komór przez młodsze wkopy rabunkowe, jak i ze względu na ograniczony obszar badań wykopaliskowych w terenie leśnym.

W przypadku Jamy I na jej płaskim dnie wystąpiło małe skupisko kamieni 44, a przy jej granicy północno-zachodniej wkopany był prawdopodobnie słup 137 (bardzo słabo czytelne zaciemnienie o średnicy około 0,3 m). Są to jedyne zachowane elementy pierwotnego założenia grobowego, zniszczonego przez późniejszy wkop. Jama II miała – jak się wydaje – bardziej złożoną konstrukcję. W skład pierwotnego założenia grobowego wchodził



Ryc. 12. Grodzisko w Wenecji, st. 2: wykop 1; kamienie 31 z podstawy nasypu kurhanu, widok od południowego wschodu (fot. D. Wach)



Ryc. 13. Grodzisko w Wenecji, st. 2: wykop 1; kamienie 31 z podstawy nasypu kurhanu, widok od północnego zachodu (fot. D. Wach)



Ryc. 14. Grodzisko w Wenecji, st. 2: wykop 1; górny płaszcz kamienny 3a nasypu kurhanu oraz jego destrukty 3c, widok od północnego zachodu (fot. D. Wach)



Ryc. 15. Grodzisko w Wenecji, st. 2: wykop 1; kamienie 31 z podstawy nasypu kurhanu z widocznymi lukami po wkopach 54 i 58b, widok od południowego zachodu (fot. D. Wach)

duży dół posłupowy 161 (o średnicy około 0,6 m i głębokości 0,6 m) zawierający słup o średnicy około 0,25 m i przylegający do kamienno-ziemnego nasypu / ściany (159a i 159b), wypełniającej od zachodu skrajną część jamy, która w tym obszarze miała o wiele bardziej niż od wschodu łagodne ściany.

Obecność dołów posłupowych w obu jamaх sugeruje, że ściany ich mogły być w jakiś sposób umocnione (szalowane) drewnianymi zapewne konstrukcjami i przykryte drewnianą platformą lub dachem. Niestety, oprócz dołów posłupowych nie odkryto żadnych śladów owych konstrukcji. O ich istnieniu świadczyć może jednak również fakt, że obie jamy były przynajmniej częściowo przykryte pierwotnie warstwą bruku kamiennego 33a, który na skutek wkopów rabunkowych oraz naturalnych osuwisk destrukcyjnych w postaci kamieni 33c, 35 i 36 przemieścił się w obszar wypełnisk obu jam.

Bruk kamienny 33a złożony był ze średnich i dużych kamieni o średnicy wynoszącej najczęściej 0,4–0,5 m, a w dolnych warstwach podstawy nasypu kurhanu (kamienie 31), jeszcze bardziej masywnych, sporadycznie dochodzących nawet do 0,7 m średnicy (ryc. 12–13). Całość bruku miała średnicę do 7 m, a jego wysokość wynosiła do 0,6 m. Jego zasięg odzwierciedlał obszar, jaki zajmowało zagłębienie w centrum kurhanu, leżące ponad komorami grobowymi.

Ponad i na zewnątrz bruku znajdował się nasyp ziemny kurhanu, którego wysokość (w stosunku do warstwy humusu pierwotnego na którym był nasypany) w najlepiej zachowanym punkcie dochodziła do 2 m. Jego podstawę od strony zagłębienia centralnego stanowił kilkuwarstwowy bruk 31 wraz z ziemią 56, w której był osadzony. Ponad brukiem zalegała piaszczysta warstwa 41 z luźnymi

kamieniami oraz piaszczysta warstwa 177, na której spoczywał wierzchni płaszcz kamieni 3a (ryc. 14).

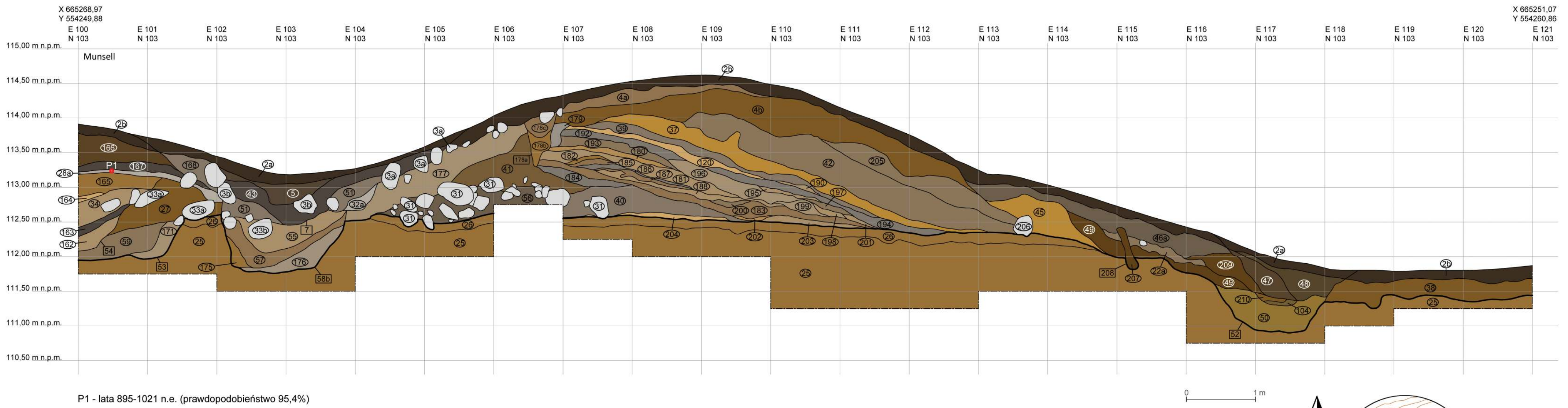
W ścianie północnej wykopu 1 widoczny był pionowy podział między wspomnianymi wyżej (leżącymi od strony zagłębienia centralnego) nawarstwieniami a mniej masywnymi, cienkimi (dolne, 0,1–0,2 m miąższości) i grubszymi (górnne, do 0,5 m miąższości) warstwami nasypowymi opadającymi w stronę skraju kurhanu. Miejsce tego podziału było zgodne z położeniem pionowego depozytu 178b i 179 w obiekcie 178a, który mógł być pozostałością jakiegoś rodzaju przegrody (słupów) istniejącej już w czasie konstruowania nasypu kurhanu.

Przy zewnętrznej krawędzi nasypu występowały pojedyncze kamienie 206, które sugerują, że kopiec mógł być nimi obwiedziony.

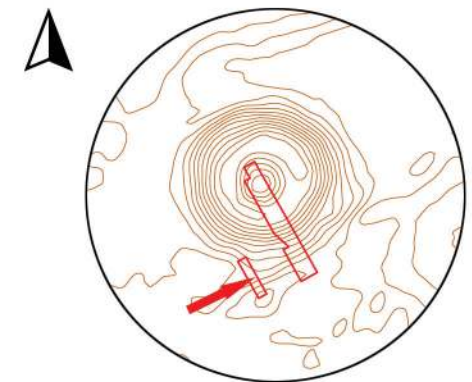
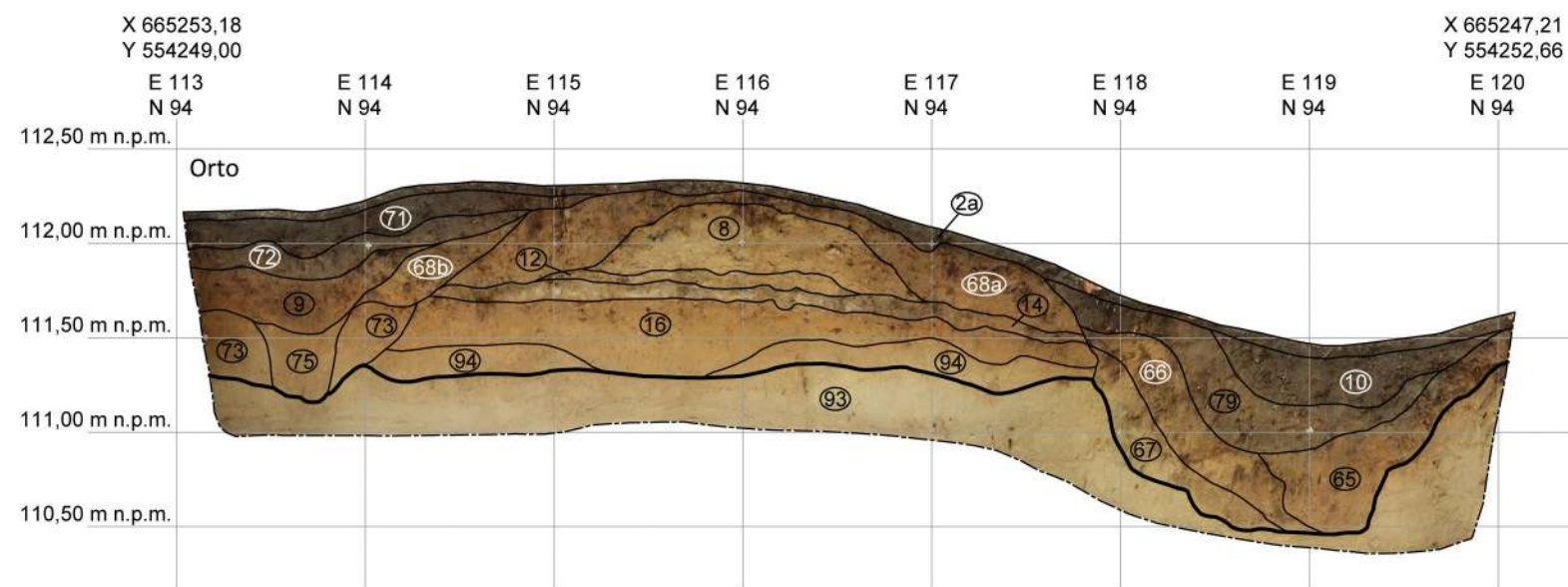
Faza II

Obie jamy (komory) grobowe z centralnej części kurhanu zostały niemal całkowicie (Jama I) lub częściowo (Jama II) zniszczone lub co najmniej silnie naruszone przez wkopy rabunkowe (ryc. 15). W przypadku Jamy I wkop rabunkowy 58b obejmował prawdopodobnie całość komory. Miał on strome ściany boczne i płaskie dno, długość co najmniej 2,8 m, szerokość 1,8 m, a głębokość około 0,8 m. Bardzo prawdopodobne, że powstał bardzo szybko po pierwotnym pochówku w kurhanie, na co wskazywałyby czyste, piaszczyste, jasne wypełniska (176, 57 i 55) jego zasypiska, układające się w sekwencję stratygraficzną podobną do zsuwów ze ścian wyżej położonych warstw. Przemawiałyby za tym także fakt, że w części są one trudne do odróżnienia od wyżej wspomnianych. Strop zasypisk wkopu stanowiły luźne kamienie 33b, 35 i 36, osunięte lub celowo do niego wrzucone.

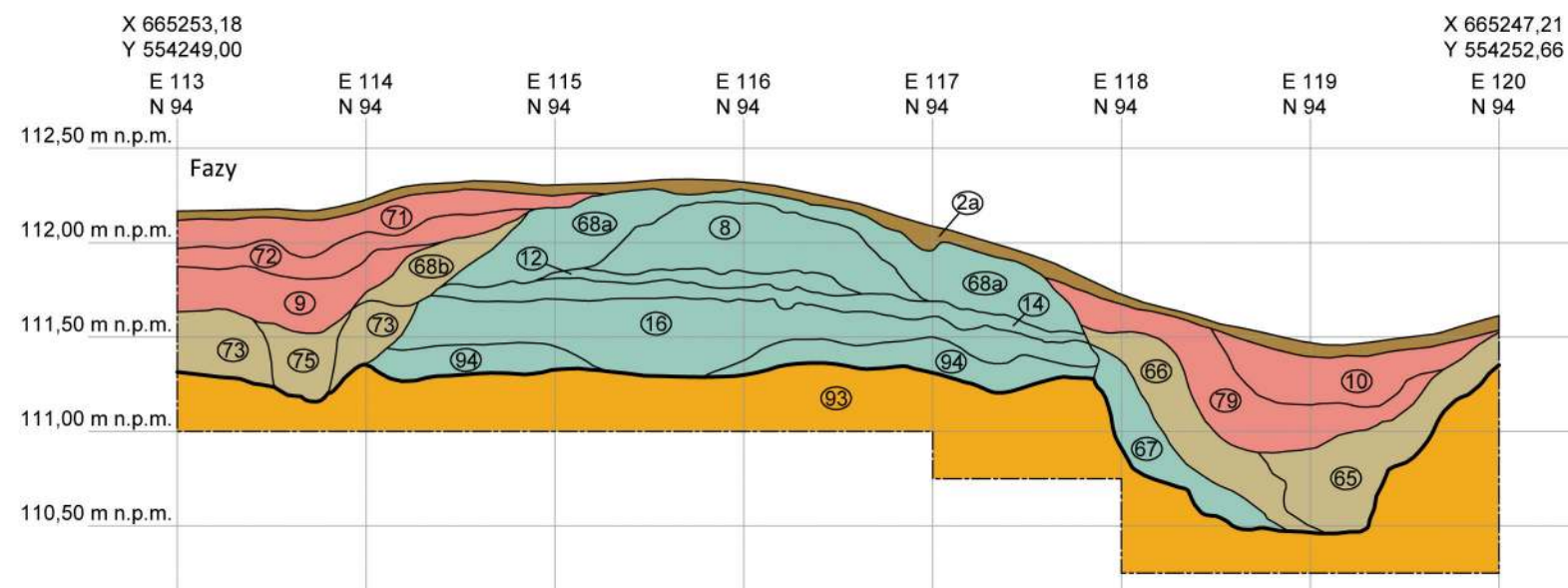
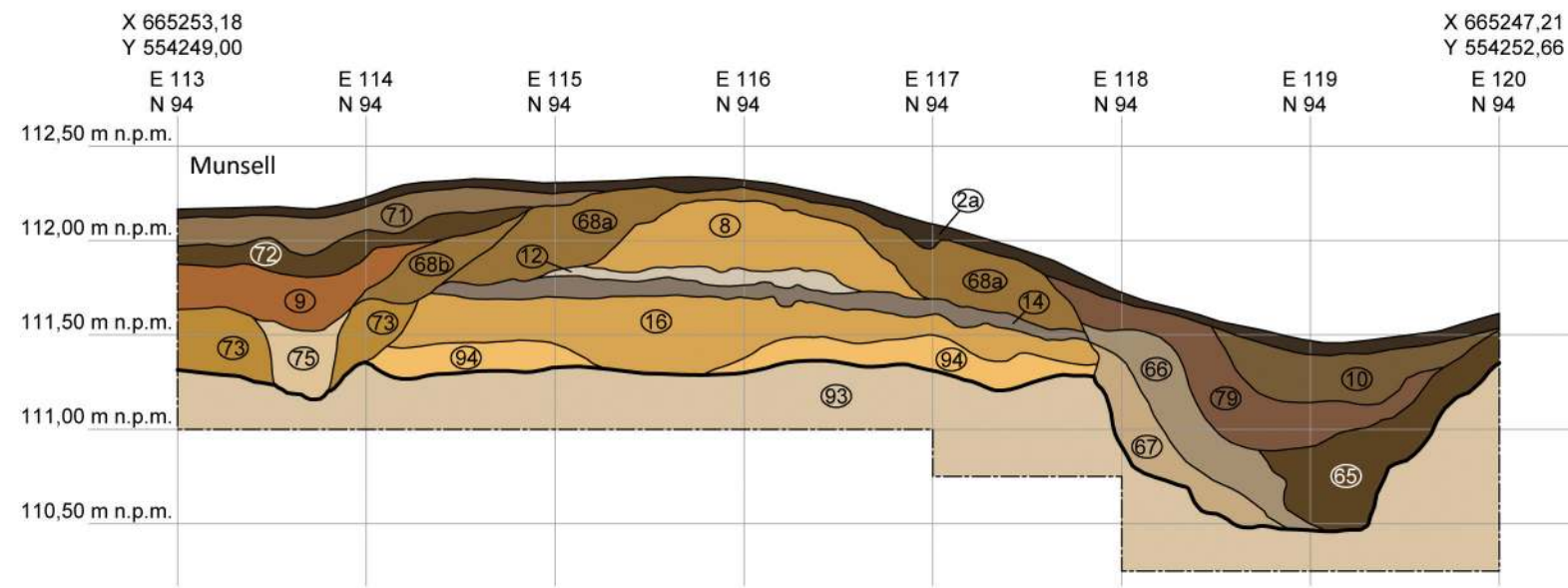








0 1 m



Faza VI
Faza V
Faza IV
Faza IIIB
Faza IIIA
Faza II
Faza I
Warstwy naturalne

Ryc. 17. Wenecja, st. 2. Stratygrafia nawarstwień wału podłużnego - wykop 2 (oprac. D. Wach, oprac. graf. R. Solecki)

W przypadku wkopu 54 niszczącego Jamę II (w przekroju pionowym miał on kształt łagodnego leja o średnicy na stropie co najmniej 2 m) w jego jasnych wypełniskach (162, 34, 64 i 165), niemal w połowie ich wysokości zidentyfikowano cienką (do 8 cm miąższości) warstwę ziemno-popiołową 163 ze śladowymi drobinami i pyłu węgla drzewnego. Mogliby to sugerować ewentualne powtórne użycie kurhanu jako miejsca późniejszego pochówku w formie jamy pogrzebowej. Nie można omawianym wkopom rabunkowym jednoznacznie przypisać konkretnej chronologii ani stwierdzić czy oba wkupy były jednocześnie lub czasowo sobie zbliżone lecz ze względu na ich położenie stratygraficzne jednoznaczne jest, że wykonano je między okresem wpływów rzymskich i okresem wczesnego średniowiecza.

Faza III

Faza ta obejmuje dzieje kopca w okresie wczesnego średniowiecza. Faza IIIA obejmowała wykonane po dłuższej przerwie w użytkowaniu tego miejsca ponowne znaczne prace konstrukcyjne w obrębie centralnego zagłębienia i korony kurhanu oraz usypanie wału podłużnego (jednostki 45, 49, 46b w wykopie 1 i 8, 12, 14, 16, 68a, 69, 70, 94 w wykopie 2), a także uformowanie fosy 52 biegającej po jego południowo-wschodniej stronie. Wykorzystując jako wyniesioną (naturalnie obronną) podstawę pagórek kurhanowy, zbudowano wówczas zapewne drewnianą wieżę strażniczą o średnicy podstawy wynoszącej co najmniej 4 m, mającą na swym przedpolu wał ziemny z jakiegoś rodzaju płotem lub palisadą na szczycie oraz suchą fosę (być może z przejściem przez fosę na obszar niebroniony). Ślady tych konstrukcji zachowały się jedynie w warstwach jej destrukcji oraz warstwach podestrukcyjnych.

Konstrukcje wieży na środku pagórka kurhanowego oraz umocnienia drewniane wału na jego krawędzi zostały spalone (Faza IIIB). Zapewne stało się to po niezbyt długim okresie użytkowania, na co wskazywałby brak czytelnych poziomów użytkowych pod nimi. W północno-zachodniej części wykopu 1, ponad zasypiskami wkopu rabunkowego 54 niszczącego starszą komorę grobową II (53) wystąpiła, niemal horyzontalnie zalegająca, cienka (do 10 cm grubości) warstwa jasnego popiołu 28b oraz leżąca na niej grubsza (od 10 do 20 cm miąższości) warstwa przepalonej

i w różnym stopniu wysyconej drobinami węgli drzewnych ziemi 167. Jej kontynuację od strony południowo-wschodniej (poza obszarem wkopu współczesnego 7) stanowiła warstwa popiołu 32b, nieznacznie przykrywająca wypełnisko stropowe opisanego wcześniej wkopu 58 (niszczącego komorę grobową I). W przebadanym obszarze warstwy te, będące jednoznacznymi pozostałościami spalenia konstrukcji drewnianej o znacznich rozmiarach, ciągnęły się w obszarze centralnego zagłębienia kurhanu (na odcinku około 2 m) i kontynuowały w stronę północno-zachodnią przez kolejne 2 m, wchodząc pod północną część jego nasypu i wychodząc poza obszar wykopu.

Jeżeli chodzi o sąsiadujący z kopcem wał podłużny to zadokumentowane podczas badań wykopaliskowych wymiary jego reliktów w punkcie styczności z pagórkiem kurhanowym wynosiły: szerokość u podstawy około 2 m (a wraz z konstrukcjami towarzyszącymi do ok. 3 m), wysokość zaś do 1 m. Wysokość pierwotna była zapewne większa, ale nasyp uległ daleko posuniętej erozji. Być może leżący częściowo ponad zasypiskami fosy jasny depozyt 209 jest reliktem zsuwu po wspomnianej erozji wału. Przy jego południowo-wschodniej krawędzi, od strony sąsiadującej z nim fosy, natrafiono także na depozyt shumusowanego, próchniczej ziemi 207, który tkwił pionowo w zewnętrznych partiach pozostałości wału 49 oraz grubej na ok. 10–15 cm, destrukcyjnej warstwie popiołu 22b. Ciągnęła się ona na odcinku 2 m i sięgała, a nawet wykraczała poza wewnętrzną krawędź górnych wypełnisk fosy 52. Obie te jednostki stratygraficzne (w obszarze wykopu 2 odpowiadają im warstwy 12 i 14) mogą być reliktem spalonej konstrukcji drewnianej, być może wzmacnianej pionowymi elementami (słupami), związanej z ewentualną funkcją obronną wału. Za taką interpretacją przemawiałoby znalezienie podobnego układu warstw 3 m dalej, w ścianie południowo-zachodniej wykopu 1, jak również fakt, że obydwa relikty słupów, wspierających wspomnianą konstrukcję obronną, miały podobną postać oraz identyczne, lekko skośne nachylenie względem powierzchni gruntu oraz układ warstw w których były osadzone. Co do ewentualnej formy omawianej konstrukcji to zły stan zachowania nie pozwala niestety jej określić. Być może część tych konstrukcji (o czym świadczą destrukcyjne warstwy

przepalonej ziemi i popiołu 12 i 14) stanowiła integralną część samego nasypu, na co wskazuje ich poziome ułożenie w środkowych jego partiach, stwierdzone w wykopie 2.

Biegnąca wzdłuż wału wspomniana wcześniej sucha fosa 52, po jego południowo-zachodniej stronie miała na odsłoniętych odcinkach szerokość około 2–2,5 m i głębokość do 0,8 m od strony zewnętrznej. Różnica poziomów pomiędzy dnem fosy a najwyższym zachowanym punktem korony wału wynosi do 2 m.

W południowo-zachodniej ścianie wykopu 1 spaleniskowe warstwy popiołu 22b leżały niemal na dnie fosy, natomiast 3 m dalej (w ścianie północno-wschodniej) znajdowały się na wypełnisku 50 fosy niemal całkowicie już zapełnionej. Można wysunąć hipotezę, że ta pewnego rodzaju niespójność położenia tej warstwy w małym obszarze fosy sugeruje możliwość istnienia w tym miejscu (obszar ściany północno-wschodniej wykopu) jakiegoś rodzaju wyjścia (bramy/furtki?) z obszaru wieży strażniczej na zewnątrz umocnień wału (co wydaje się logiczne, zakładając prawdopodobną konieczność penetracji i patrolowania obszaru poza nim).

Faza IV

Faza IV obejmuje okres, który nastąpił po spaleniu wczesnośredniowiecznych konstrukcji drewnianych. Z tej fazy pochodzą warstwy erozyjne powstałe w wyniku naturalnych zniszczeń pozostałości umocnień z Fazy III. W obrębie północnej części pagórka, ponad opisanymi spaleniskowymi warstwami związanymi z destrukcją drewnianych konstrukcji wieży, znajdowała się gruba (do 0,7 m miąższości) piaszczysta, jednorodna podestrukcyjna warstwa 166.

W obrębie obszaru wału i fosy z kolei, warstwą erozji podestrukcyjnej była ziemia 46a (o miąższości od 0,2 do 0,3 m), przykrywająca relikty wału i część dolnego stoku zbocza kurhanu i wchodząca nad jasne, piaszczyste destrukty 209 (prawdopodobnie zsunięta górna partia nasypu wału) oraz warstwa 47 zalegająca ponad wypełniskami fosy.

Faza V

Do Fazy V można zaliczyć w obrębie zagłębienia centralnego kolejny wkop rabunkowy 7 z jego wypełniskami. Ma on już nowożytną metrykę. Świadczy o tym zarówno jego pozycja stratygraficzna, jak i fragment żelaznej łoż-

paty znaleziony w jego zasypisku. Obejmował on z grubsza obszar leżącego niżej wkopu 58, jednak był dłuższy i wypływał się w stronę południowo-zachodniej ściany wykopu 1. Miał około 1,8 m szerokości i co najmniej 3 m długości przy głębokości wynoszącej 0,6–0,8 m. Wkop ten niszczył opisane wcześniej relikty (28 i 32) spalonej wieży. O bardzo późnej chronologii tego wkopu świadczyć też mogą luźne kamienie 3c (kamienie z bruków wyrucone na powierzchnię podczas wykonywania wkopu) leżące w obrębie humusu leśnego 2b oraz żółty piasek 1 (mogący pochodzić jedynie z górnych wypełnisk starszego wkopu 58b).

W obrębie strefy wału i fosy podobną metrykę ma zapewne ciemne, podobne do humusu leśnego wypełnisko 48, niwelujące niewielkie zagłębienie w zasypiskach fosy. Natomiast w obrębie wykopu 2 do fazy tej należy zaliczyć szereg warstw i obiektów naruszających wypełniska starsze fosy oraz niwelujących powierzchnię terenu za wałem.

Faza VI

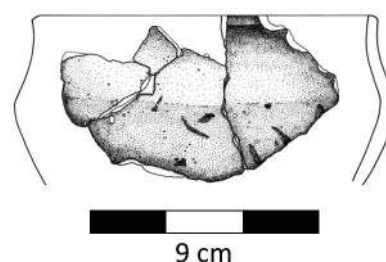
Najmłodszą Fazę VI dziejów kopca wyznacza humus leśny będący współczesnym poziomem użytkowym w granicach stanowiska.

ZNALEZISKA

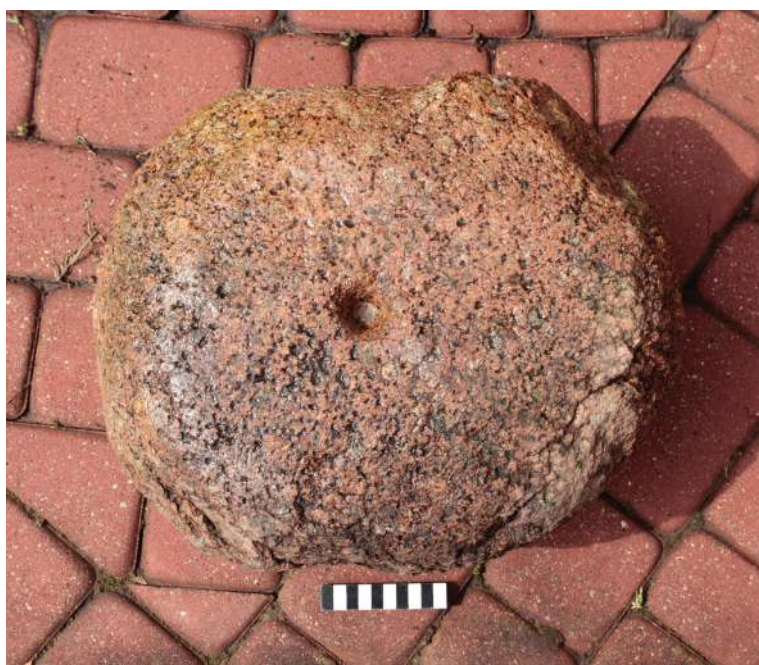
DARIUSZ WACH I RAFAŁ SOLECKI

Ceramika

Jedynym materiałem ceramicznym znalezionym podczas badań wykopaliskowych kopca w Wenecji, st. 2 były cztery fragmenty ceramiki, wszystkie pochodzące z zasypiska młodszego wkopu rabunkowego 7 i będące częścią jednego naczynia (ryc. 18). Naczynie to miało średnicę około 14 cm, a jego zachowana wysokość wynosi około 6 cm. Miało ono formę głębokiej miseczki o ostrym załamie brzuśca.



Ryc. 18. Wenecja, st. 2: fragment naczynia z wypełniska wkopu rabunkowego 7 (rys. A. Chojnacka-Banaszkiewicz)



Ryc. 19. Grodzisko w Wenecji, st. 2: kamień żarnowy z płaszcza kamiennego nasypu wału kurhanu (fot. Z. Kobyliński)

Odpowiada ona typowi XVIII w odmianach A lub B według klasyfikacji zaproponowanej przez Ryszarda Wołagiewicza, datowanych na fazę B2/C1-D¹⁶.

Kamień ze śladami obróbki

Jeden z głazów z rozsypanego bruku kamiennego kurhanu (prawdopodobnie z horyzontalnie ułożonego płaszcza kamiennego 33a, który mógł pokrywać komorę I i II) nosił wyraźne ślady obróbki i użytkowania. Był to głaz czerwonego granitu o wymiarach: 34 cm szerokości, 41 cm długości i 23 cm wysokości, o dobrze obrobionej i wygładzonej powierzchni górnej, z zagłębiением w środku (ryc. 19), służącym naprawdopodobniej do osadzenia jakiejś obracającej się osi drewnianej. Nasuwa się przypuszczenie, że mogło to być wtórnie wykorzystane kamienne jarzmo osi obrotowych drzwi znajdującej się gdzieś w pobliżu kurhanu chaty, bądź też element jednej z komór grobowych, która w takim przypadku miałaby z pewnością drewnianą konstrukcję ścian i zadaszenie.

Inna możliwa interpretacja pierwotnej funkcji tego znaleziska – chociaż jak się wydaje mniej prawdopodobna – to uznanie go za – być może niedokończony – dolny kamień żaren rotacyjnych, które w okresie wpływów rzymskich były już znane na terenie dzisiejszej Polski. W takim przypadku wykorzystanie tego kamienia do wznieśienia kurhanu pogrzebowego mogłoby być przypadkowe, ale nie możnaby wykluczyć także jego magiczno-symbolicznej roli.

¹⁶ Wołagiewicz 1993: 19, 26.

CHRONOLOGIA I DZIEJE GRODZISKA W WENECJI, ST. 2

DARIUSZ WACH I RAFAŁ SOLECKI

Kopiec w Wenecji, st. 2 został pierwotnie usypany jako kurhan przez ludność kultury wielbarskiej. Pierwotna średnica kurhanu mogła wynosić około 20 m, a jego wysokość około 2 m. Jego wielkość oraz ustalona w czasie badań wykopaliskowych konstrukcja odpowiada typowi kurhanu rostołckiego¹⁷. Niemal analogiczny kurhan znajduje się około 160 km na południowy wschód od Wenecji, w miejscowości Wojsze, gm. Czerwin, pow. ostrołęcki, gdzie datowany jest na młodszy okres wpływów rzymskich (ceramika z niego pochodząca datowana jest na fazę B2/C1-D)¹⁸. Kurhany o zbliżonej formie, położone w odległości około 80 km na południe od Wenecji, znane są m.in. z Pielgrzymowa, gm. Kozłowo, pow. nidzicki, gdzie datuje się je na fazę B2/C1-C1a/b¹⁹. Potwierdzeniem niemal takiej samej chronologii dla stanowiska w Wenecji może być znaleziony w czasie prac wykopaliskowych materiał zabytkowy. Należy przy tym zaznaczyć, że kurhanów tego typu nie odkryto do tej pory tak daleko na północ.

¹⁷ Od miejscowości Rostoły w pow. białostockim (Jaskanis i Okulicz 1981: 185–190); obszerną monografię na temat tego typu kurhanów opracował Jan Jaskanis 2012.

¹⁸ Kurpiewski 2015: 266.

¹⁹ Cieśliński 2014: 47, 56.

Jak się wydaje, wkrótce po dokonaniu pochówków w kurhanie, został on wyrabowany. Powstanie wkopu rabunkowego wkrótce po pierwotnym pochówku ma dobrze udokumentowane analogie z różnych epok, przytoczone np. przez Jana Jaskanisa²⁰. Analogie te wskazują, że powodem wkopywania się w grobowce mogła być zarówno krótka pamięć pokoleniowa (u Germanów z I tysiąclecia miała ona wynosić jedynie trzy pokolenia wstecz), jak i zanik poczucia więzi ze zmarłymi przodkami u społeczności okresu przejścia od starożytności do początków średniowiecza (w okresie merowińskim rabunki grobów miały następować średnio już po pięciu latach, to znaczy po rozłożeniu się miękkich części ciała zmarłego²¹).

Znacznych rozmiarów prace ziemne na szczycie kopca sugerują, że we wczesnym średniowieczu został on przysposobiony do pełnienia funkcji gródka strażniczego. Przeprowadzone datowanie radiowęglowe węgli drzewnych z warstwy popiołu wskazuje, że wznieśienie tych spalonych konstrukcji nastąpiło w okresie wczesnego średniowiecza (X-początek XI w. n.e.), a więc w czasach przedkrzyżackich. Uzyskano mianowicie datę $1070 \pm BP$ (Poz-121424), co po kalibracji daje z prawdopodobieństwem wynoszącym 95,4% datowanie absolutne w przedziale chronologicznym między rokiem 895 a 1021. Zapewne w tym samym okresie przeprowadzono także prace ziemne obejmujące budowę wału podłużnego oraz przylegającej doń suchej fosy. Chociaż jednak wał podłużny posiada pewne zbieżne cechy (podobne warstwy popiołu i ziemi z drobinami węgli drzewnych) z opisanymi wyżej konstrukcjami obronnymi z centralnej części kopca i w sposób naturalny można by go z nimi domyślnie łączyć, nie posiada z nimi bezpośredniego połączenia stratygraficznego. Zarówno wał, jak i opisane konstrukcje ziemne przykrywają (ale też rozgraniczają) jedynie erozyjne warstwy piasku i ziemi powstałe w niewiadomym horyzoncie czasowym. W trakcie badań nie natrafiono na żaden materiał zabytkowy, który mógłby połączyć oba te zjawiska. Starając się zatem zachować bezstronność badawczą nie można wykluczyć możliwości, że wał podłużny mógł powstać później niż gródek strażniczy na szczycie kopca.

²⁰ Jaskanis 2013: 244.

²¹ Sachenbacher 1993: 153–191.

Konstrukcje tego typu wałów podłużnych na obszarze Warmii i Mazur nie są rzadkością²². Jak zauważają badacze tego typu obiektów, są one charakterystyczne generalnie dla okresu średniowiecza, jednakże ze względu na trudności ustalenia ich precyzyjnej chronologii, niemożliwe jest każdorazowo stwierdzić, kto je zbudował: lokalne plemiona czy Zakon Krzyżacki²³. Analiza źródeł historycznych pozwalałaby na wysunięcie hipotezy, że wał podłużny w Wenecji pochodzi z okresu krzyżackiego i miał związek z rozgraniczeniem ziem komturstwa elbląskiego i dzierzgońskiego, chociaż brak jest jakichkolwiek danych archeologicznych, które by o tym świadczyły.

Sławomir Jóźwiak, opisując rozgraniczenie ziem pomiędzy Ostródą i Morągiem przeprowadzone w latach trzydziestych XIV wieku, stwierdza że „linia graniczna przebiegała na wschód od dzisiejszej miejscowości Wilamówka, rzeczką Drelą na północ od wsi Wenecja i Bożecin. Dalej północnymi brzegami jezior Ruś i Gil, rzeczką Taborzanką i południowymi brzegami jeziora Tabór”²⁴. Dolina Dreli na wysokości miejscowości Wenecja znajduje się około 3,5 km na północ od omawianego wału. Inicjowana przez Krzyżaków akcja osadnicza na tym obszarze rozpoczęła się po 1310 roku, a najbliższy Morąg lokowany w 1327 roku²⁵. Wenecja jest po raz pierwszy wymieniona w dokumencie z 23 kwietnia 1336 roku, jako *Venedie*. Dokumentem tym komtur dzierzgoński Hartung von Sonnenborn nadał Walterowi z Chełmna([?])²⁶ prawa do wsi Wenecja w ziemi morąskiej²⁷. Nie można więc wykluczyć, że badany wał wyznaczał granicę wsi Wenecja, a zarazem granicę na tym odcinku pomiędzy komturstwem elbląskim i dzierzgońskim. W takim przypadku

²² Dla obszaru pogranicza mazowiecko-pruskiego opracowanie wałów podłużnych przygotowała Elżbieta Kowalczyk (1987 i 2003).

²³ Łapo 1998: 204; Bitner-Wróblewska i Piotrowski 1990: 136–140.

²⁴ Jóźwiak 2000: 11–12.

²⁵ Biskup i Labuda 1986: 288, 318.

²⁶ W oryginale *Walthern czu Colmischem*. Rafał Kubicki termin *Colmisch haber* występujący w dokumentach datowanych na XV wiek odczytuje jako „owies chełmiński” (Kubicki 2015: 282). Nazwy *Colmischim* i *Colmischem* z omawianego dokumentu byłyby więc zapewne odmianą jednej z form zapisu nazwy Chełmna.

²⁷ Hein 1944: 39–40, dokument 52.

ku wał należałoby datować dopiero na około lata trzydzieste XIV wieku, a jego budowę przypisać Zakonowi Krzyżackiemu. Ewidentny związek kopca z wałem nakazywałby w takim przypadku sądzić, że kopiec był kolejny raz wykorzystywany wówczas jako strażnica,

zapewne w formie gródka typu *motte*. Jednakże brak jest jakichkolwiek dowodów archeologicznych na poparcie takiej hipotezy. Zatem należy raczej przyjąć, że zarówno gródek, jak i wał podłużny powstały w czasach przedkrzyżackich.

Boreczno, st. 4

Gmina Zalewo

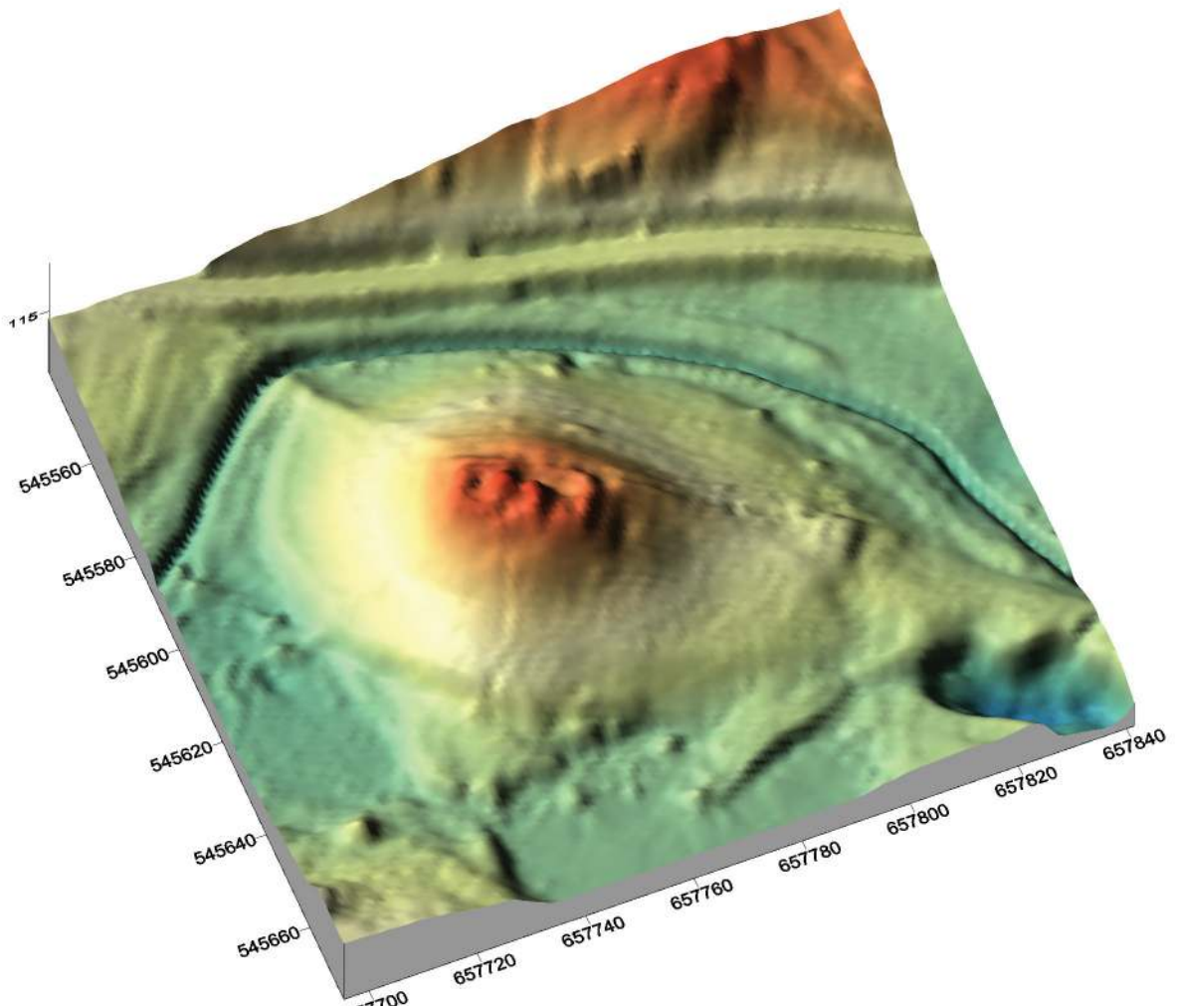
Powiat iławski

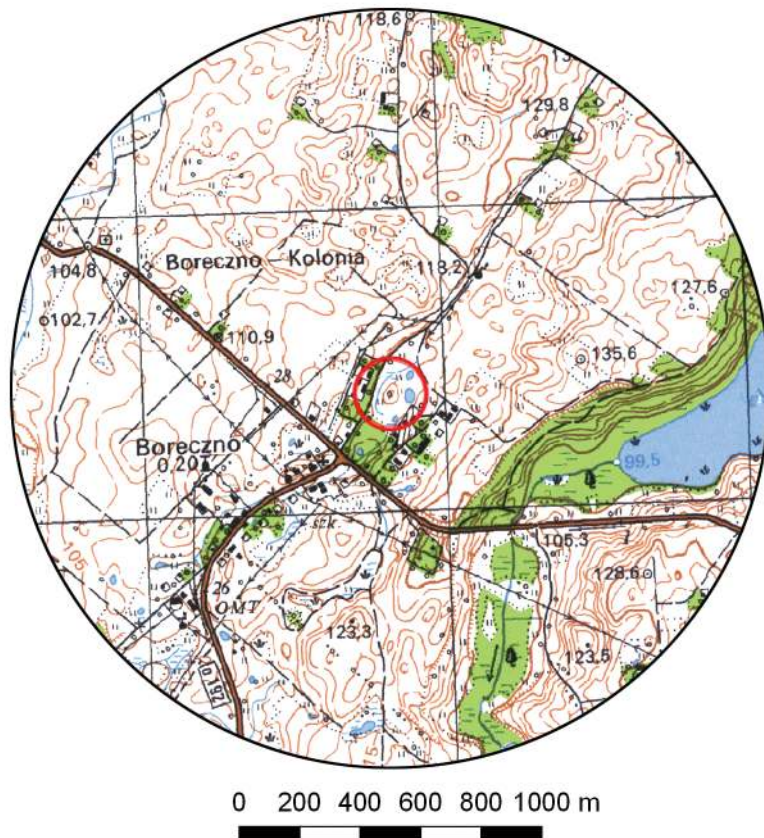
AZP 24-54/30

Współrzędne geograficzne:

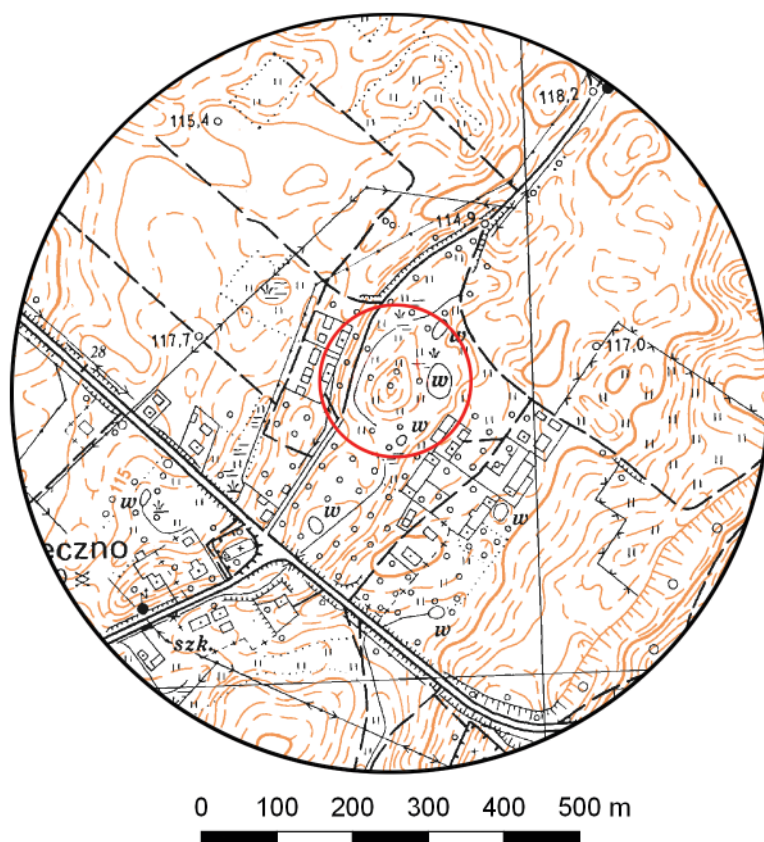
N 53° 46' 56''

E 19° 41' 32''





Ryc. 1. Grodzisko w Borecznie, st. 4
na mapie w skali 1:25 000
(na podstawie materiałów GUGiK,
oprac. R. Solecki)



Ryc. 2. Grodzisko w Borecznie, st. 4
na mapie w skali 1:10 000
(na podstawie materiałów GUGiK,
oprac. R. Solecki)

POŁOŻENIE GRODZISKA, JEGO FORMA I WYNIKI BADAŃ ARCHEOLOGICZNYCH

MAGDALENA ŻUREK

Grodzisko w miejscowości Boreczno (niem. *Schnellwalde*), st. 4, wpisane jest do rejestru zabytków archeologicznych województwa warmińsko-mazurskiego, decyzją nr 5350-21/96 (pozycja C-212) z dnia 5 maja 1996 roku, jako gródek stożkowy. Na Karcie Ewidencji Stanowiska Archeologicznego z 1988 roku stanowisko to jest opisane, jako dwór średniowieczny¹.

Boreczno było krzyżacką wsią czynszową, lokowaną na prawie chełmińskim 22 stycznia 1311 roku. Początkowo obszar nadania wynosił 60 włók, z których 10 należało do sołtysa, a 4 były uposażeniem kościoła. Lokacji dokonał komtur Sieghart von Schwarzburg². Wieś była najpewniej założona na surowym korzeniu, na fali lokacji krzyżackich z początków XIV wieku. Znajdowała się na szlaku prowadzącym z Dzierzgonia przez Zalewo (lokowane w 1305 roku) i Miłomłyn (lokowany w 1335 roku) do Ostródy, przy rozwidleniu do Ławy. W okresie, gdy lokowane było Boreczno, w jego sąsiedztwie istniało jednak prawdopodobnie osadnictwo pruskie, na

co mogą wskazywać nazwy wsi o pruskiej toponimii – Mazanki, Skitławki, Rąbity, Gubławki, Karpowo, Karnity, Ligi, Surbajny i najbliższe, położone w odległości około 2 km, Śliwa (*Slebe, Schliewen*) i Mozgowo (*Nosgowithen*)³.

Grodzisko w Borecznie, st. 4, zajmuje szczyt naturalnego wyniesienia znajdującego się w obrębie niewielkiej doliny, przy północnej granicy wsi, około 300 m na północny wschód od kościoła. Wyniesienie to ma w rzucie poziomym kształt ovalny, wydłużony po osi zbliżonej do północ-południe, o wymiarach 85×100 m. Najwyższy punkt tego wyniesienia osiąga poziom około 118,5 m n.p.m., a wysokość względem dna doliny wynosi około 6,5 m. W obrębie szczytu czytelna jest mikromorfologia, która jest najpewniej pozostałością zniszczonego dworu.

Dwór w tym miejscu został zbudowany przez rodzinę von Schönaich pod koniec XV, lub na początku XVI wieku. Ród von Schönaich wszedł w posiadanie Boreczna w ramach rekompensaty za niewypłacony żołd podczas udziału w wojnie trzynastoletniej⁴. Kolejni członkowie rodu byli właścicielami Boreczna i wielu okolicznych wsi, aż do początku XIX wieku. Po sprzedaży Boreczna w 1817 roku, znajdujący się tam dwór zaczął podupadać⁵.

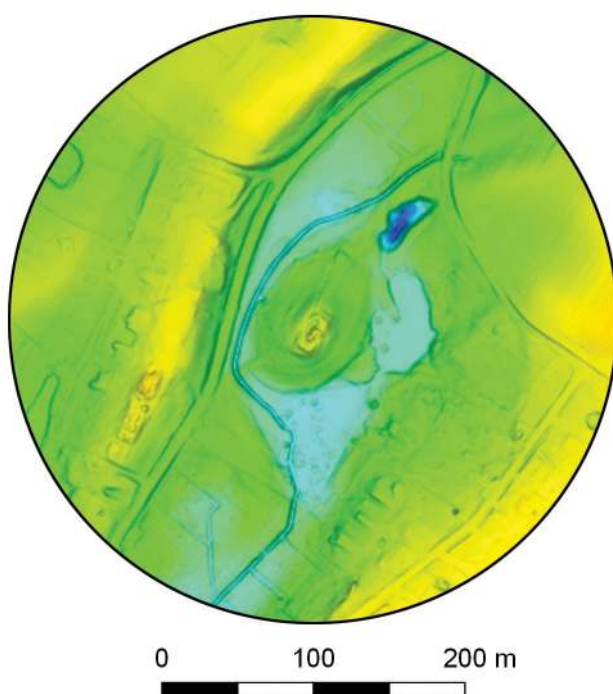
¹ Informacja z dokumentacji stanowiska znajdującej się w archiwum NID.

² Eckhart 1930: 50–51; Szczepański 2009: 78.

³ Szczepański 2016: 293–295, 324.

⁴ Eckhart 1930: 59–60.

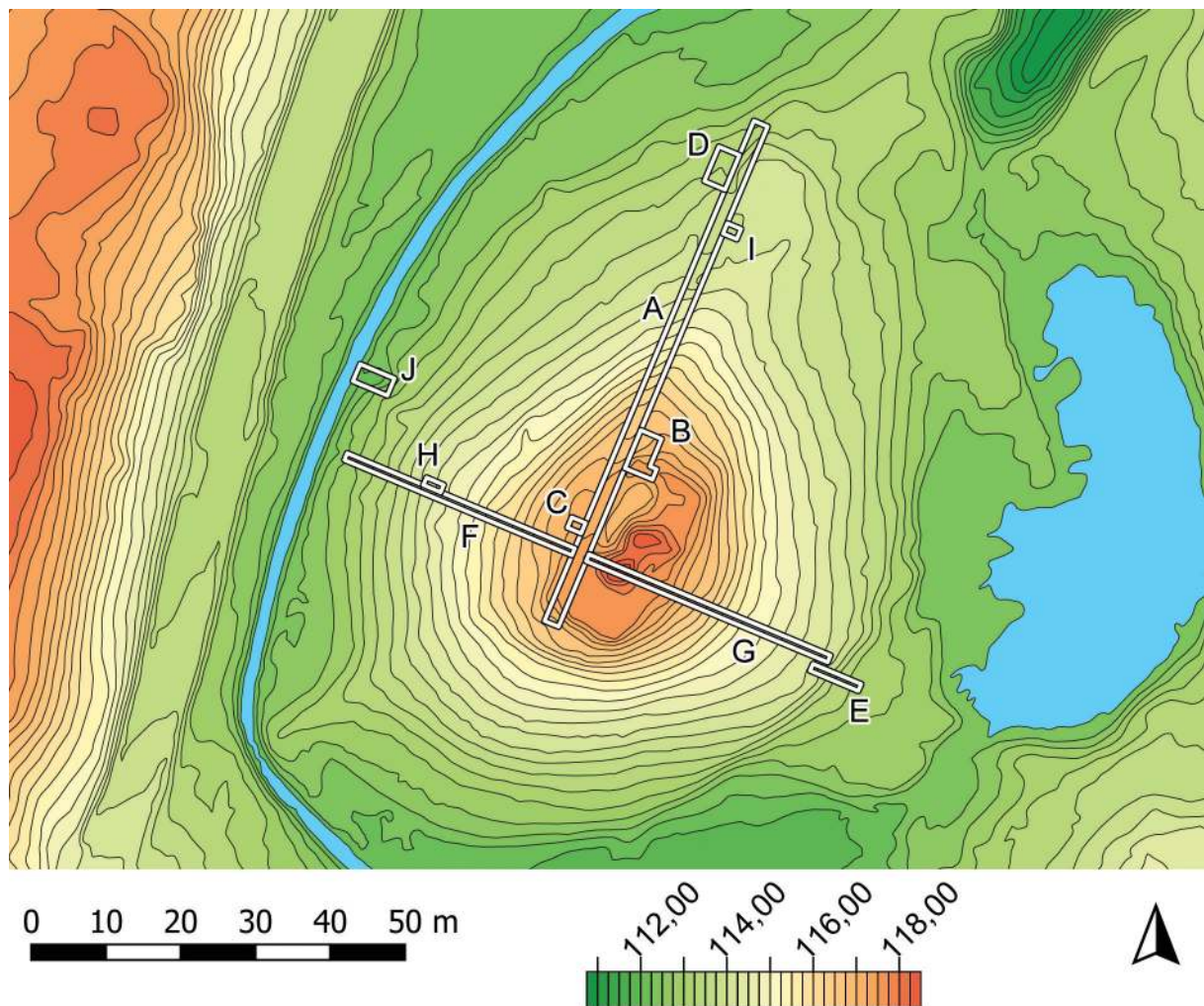
⁵ Żurek 2021: 27–30.



(po lewej)

Ryc. 3. Grodzisko w Borecznie, st. 4

na zobrazowaniu ALS (na podstawie materiałów GUGiK, oprac. R. Solecki)



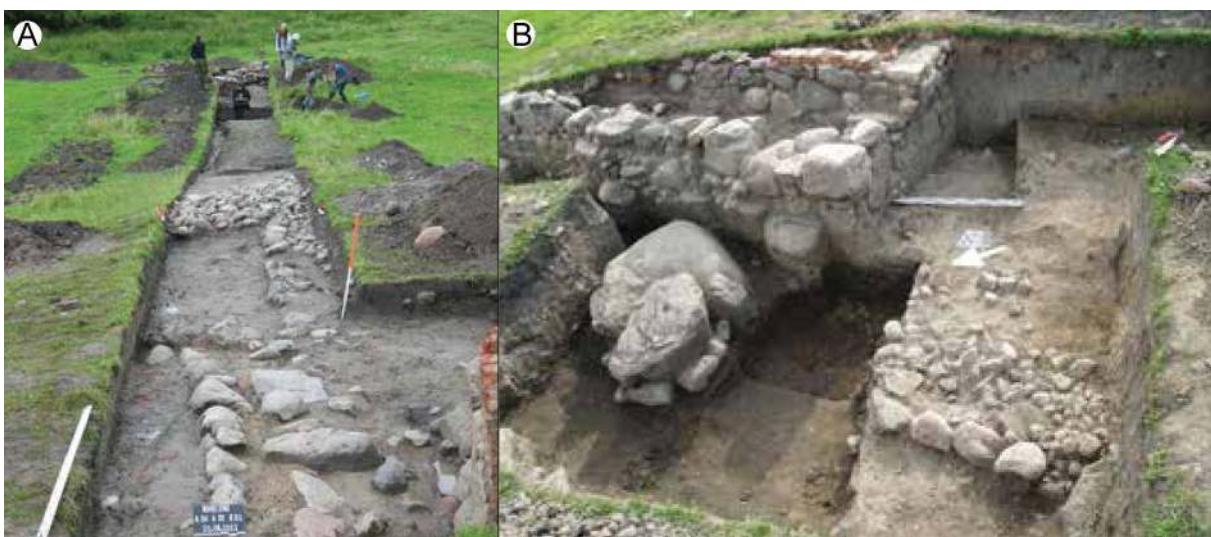
Ryc. 4. Boreczno, st. 4. Plan grodziska z naniesionymi wykopami archeologicznymi (oprac. R. Solecki)

Badania archeologiczne w Borecznie, st. 4, przeprowadzono w 2012 roku, w ramach projektu NPRH „Katalog grodzisk Warmii i Mazur. Część 1. Pomezania, Pogezania i Warmia”, którego kierownikiem był Zbigniew Kobyliński. Kierownikiem badań wykopaliskowych była Magdalena Żurek, a uczestniczyli w badaniach także Przemysław Urbańczyk i Michał Bieniada⁶. Przyczynkiem do badań wykopaliskowych była nieinwazyjna prospekcja geofizyczna z wykorzystaniem magnetometru cewowego G858, przeprowadzona przez Krzysztofa Misiewicza i Wiesława Małkowskiego. W jej wyniku udało się ustalić, że w granicach stanowiska mogą znajdować się prawdopodobnie relikty dwóch budynków⁷. W celu rozpoznania funkcji i chronologii wykrytych konstrukcji wytyczono 10 wykopów badawczych (ryc. 4):

- wykop A, o wymiarach 2x75 m, przecinał cały pagórek po osi zbliżonej do północ-południe (ryc. 5:A),
- wykop B, o wymiarach 3x5,5 m, był poszerzeniem wykopu A ku wschodowi, przy szczycie pagórka,
- wykop C, o wymiarach 1,5x2 m, był rozszerzeniem wykopu A ku zachodowi, przy szczycie pagórka,
- wykop D, o wymiarach 3x5 m, był rozszerzeniem wykopu A ku zachodowi, u podnóża pagórka od północy,
- wykop E, o wymiarach 1x7 m, był przedłużeniem wykopu G ku wschodowi,
- wykop F, o wymiarach 1x41,5 m, był prostopadły do wykopu A i przecinał zachodnie zbocze pagórka,
- wykop G, o wymiarach 1x40 m, był prostopadły do wykopu A i przecinał wschodnie zbocze pagórka,
- wykop H, o wymiarach 1x2 m, był rozszerzeniem wykopu F ku północy, w połowie długości stoku pagórka,
- wykop I, o wymiarach 2x2,5 m, był rozszerzeniem wykopu A ku wschodowi, u podnóża pagórka,
- wykop J, o wymiarach 2,5x4 m, znajdował się u podnóża pagórka od zachodu.

⁶ Żurek 2013: 385.

⁷ Misiewicz i Małkowski 2013: 413–421.



Ryc. 5. Boreczno, st. 4. Zdjęcia poglądowe stanowiska: A) widok w kierunku północnym na wykop A (fot. M. Żurek), B) sekwencja murów dworu z kolejnych faz jego użytkowania (fot. M. Żurek)

W trakcie omawianych badań archeologicznych wydzielono łącznie 128 jednostek stratygraficznych, które rozdzielono pomiędzy trzy główne fazy użytkowania stanowiska⁸. Najstarsze odkryte ślady osadnictwa (Faza IA) powiązano z okresem, gdy Boreczno stało się własnością rodzinę von Schönaich, co przekłada się na ostatnią czwierć XV wieku. Na ten czas wydatowano drewnianą konstrukcję skrzyniową stabilizującą podstawę pagórkka od strony zachodniej, przy linii kanału, który poprowadzono po linii starszej fosy (Wykop J) oraz kamienną, zakleśniętą platformę średnicę około 4 m, odsłoniętą u podnóża pagórkka od strony północnej (Wykop A i I). W jednostkach stratygraficznych związanych z tą fazą występował nieliczny materiał zabytkowy, który można datować na XIV wiek. Należy podejrzewać, że to w tym czasie wykopana została fosa, która miała podnieść walory obronne pagórkka, a także za pomocą niwelacji wyprofilowany został charakterystyczny, stożkowaty kształt pagórkka⁹. Nie można wykluczyć, że pierwsza siedziba rodu von Schönaich była planowana jako gródek typu motte.

W fazie IB wybudowany został dwór, którego zniszczone fragmenty kamiennego fundamentu znaleziono na szczycie pagórkka (ryc. 5:B). Lepiej zachowany odcinek muru miał szerokość do 0,8 m, jego rdzeń stanowiły drobne kamienie i fragmenty cegieł. Jedno lico zbudowane było z nieregularnej kostki, drugie z nieregularnych kamieni, niektórych znacznych rozmiarów. Charakter roz-

sypiska znajdującego się wokół tych murów może świadczyć, że wyższa część dworu zbudowana była w konstrukcji szachulcowej. Budynek był ogrzewany piecami zbudowanymi z kafli miskowych z motywem kwiatowym i brązowozieloną glazurą oraz kafli płytowych pokrytych żółtą, zieloną i niebieską polewą. W rumoszu, obok fragmentów kafli, znaleziono także kawałki marmurowych płyt podłogowych. Dwór tej fazy został zniszczony w wyniku najazdu szwedzkiego w 1635 roku¹⁰.

Nowy dwór, wyznaczający początek fazy II, zbudowany został w XVII wieku, ponad reliktami starszej zabudowy. Miał on wymiary 11,5×23 m i zorientowany był w kierunku zachodnim. Podłogi były drewniane, a pomieszczenia ogrzewano piecami zbudowanymi z kafli płytowych z zieloną i biało-błękitną glazurą. W takim kształcie, bez większych czytelnych przebudów, dwór funkcjonował, aż do schyłku XVIII wieku. Początek fazy IIIA wyznacza sprzedaż Boreczna. Po przejęciu dworu w ręce nowych właścicieli w pierwszej czwierci XIX wieku, zaczął on pełnić funkcję budynku folwarcznego. Na okres ten datowane są drobne przebudowy, w tym zasypanie piwnicy. Zniszczenie i upadek dworu należy wiązać z okresem II wojny światowej (faza IIIB). W jej trakcie, zapewne w czasie ofensywy styczniowej 1945 roku, zginęły tu cztery osoby – dwóch mężczyzn i dwie kobiety – które pochowano w płytkim dole przed dworem. W 1947 roku budynek zawalił się i został rozebrany w celu pozyskania materiałów¹¹.

⁸ Żurek 2021: 36–43.

⁹ Żurek 2021: 43–45, 53, 59.

¹⁰ Żurek 2021: 43–45.

¹¹ Żurek 2021: 45–52.

Badania przeprowadzone w Borecznie, st. 4, dostarczyły dużego zbioru zabytków, wśród których należy wymienić:

- 3612 fragmentów ceramiki, w tym 8 średniośredniowiecznych, 2497 późnośredniowiecznych i 1107 nowożytnych,
- 383 fragmenty ceramiki budowlanej, w tym kafle piecowe, glazurowane cegły i dachówki,
- fragmenty trzech kamiennych płyt podłogowych,
- przedmioty związane z produkcją tkanin, w tym ciężarki tkackie, prześlinki, igła kościana, czółenko, naparstki,
- sztućce – nóż i widelec,
- dwie soczewki,
- fragmenty fajek,
- kościana kostka do gry
- dziewięć monet o chronologii od pierwszej połowy XVII do pierwszej połowy XX wieku¹².

W świetle przeprowadzonych badań archeologicznych funkcja stanowiska, którą zapisano na karcie ewidencyjnej z 1988 roku – dwór średniowieczny – wydaje się być w pełni potwierdzona. Za taką interpretacją prze-

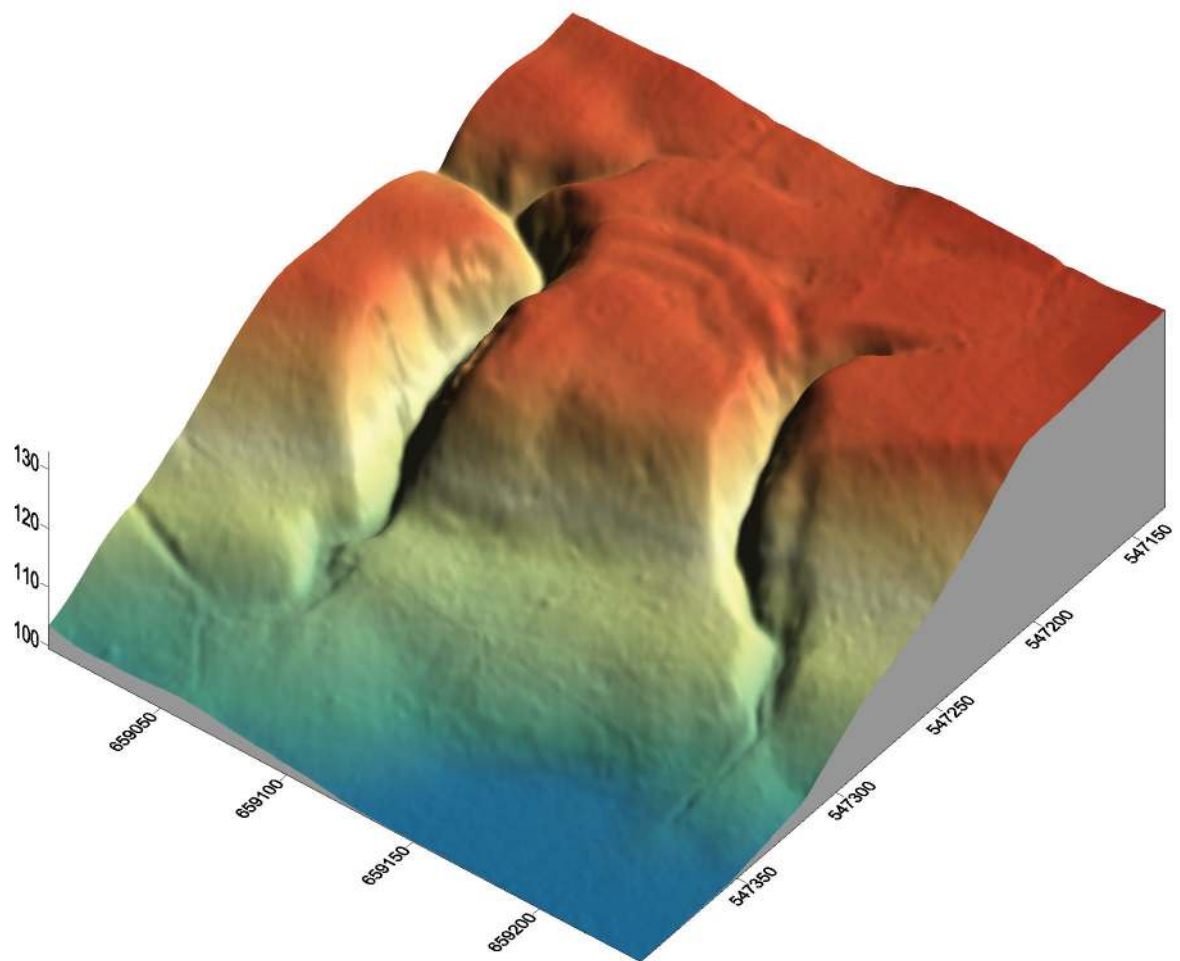
mawiają odkryte relikty architektury oraz materiał zabytkowy. Jednakże położenie dworu na wyeksponowanym, sztucznie wyprofilowanym pagórkku, dodatkowo otoczonym od wschodu przez mokradła, a od zachodu przez sztucznie wykopaną fosę, sugeruje, że miejsce to miało pierwotnie spełniać funkcje obronne. Być może miał tu stanąć gródek stożkowy? Kształt pagórkka jest zbliżony do tego w Kępnie, pow. kępiński, który wykorzystany został jako podstawa gródka stożkowego datowanego od XIII do XV wieku. Budynek, który znajdował się na szczycie tego wyniesienia, miał wymiary 4×5 m¹³. Najstarsza znaleziona w Borecznie budowla, datowana na początek XVI wieku, jest silnie zniszczona przez młodsze inwestycje i nie można w pełni odtworzyć jej formy. Zachowana szerokość muru fundamentowego, sięgająca 0,8 m, jest znaczna i może sugerować, że budynek miał więcej kondygnacji. Rozszerzenie skali badań może pozwoliły ustalić, jak wyglądał najstarszy dwór, czy mógł on spełniać funkcje obronne, bądź czy nie był on przypadkiem rozwinięciem jeszcze starszej budowli obronnej.

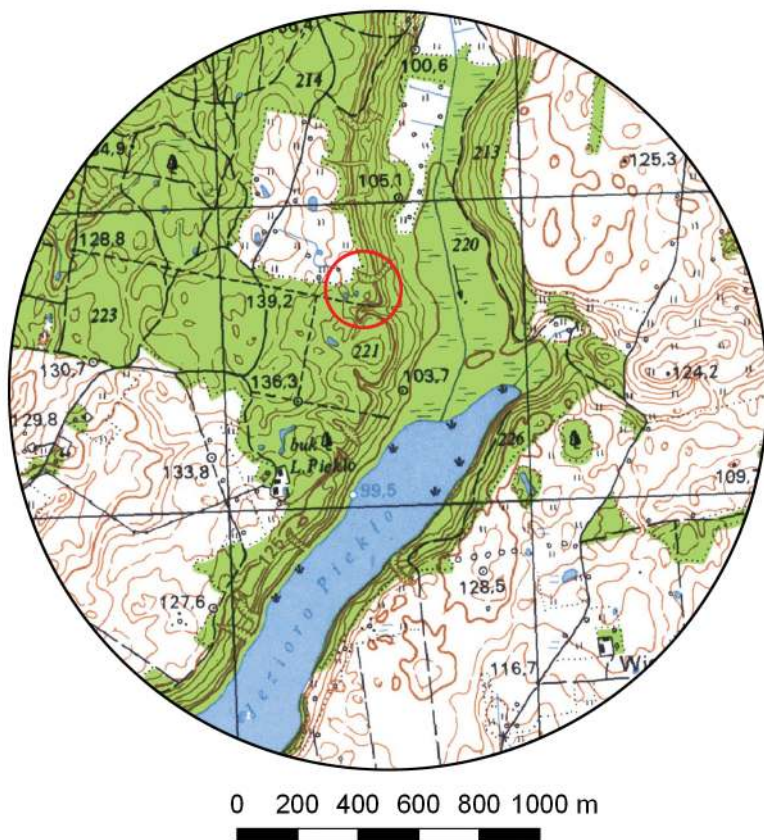
¹² Żurek 2021: 61–87.

¹³ Marciniak-Kajzer 2018: 64.

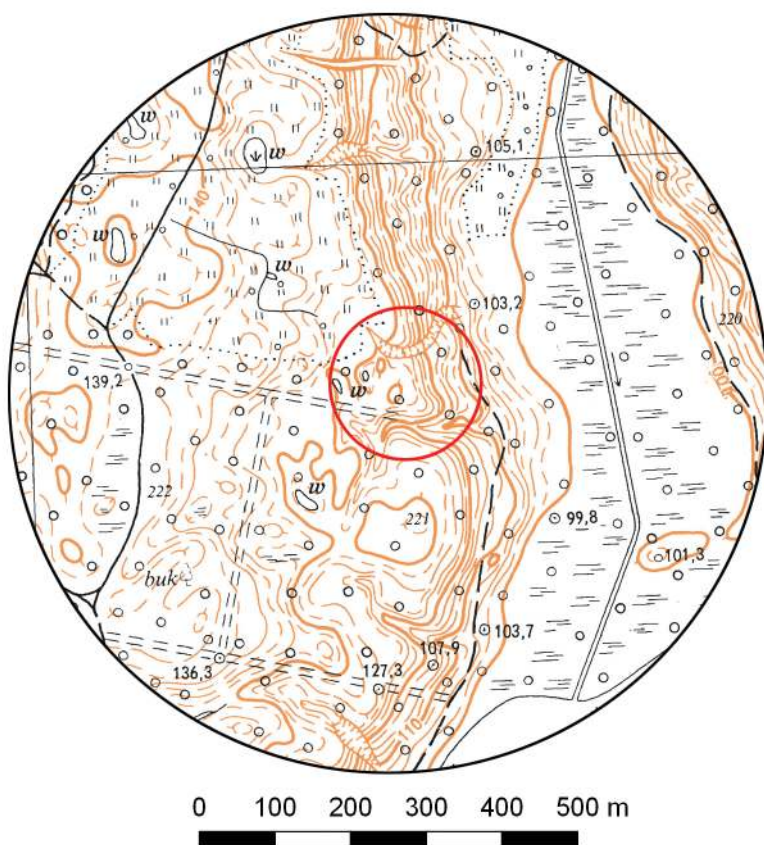
Boreczno, st. 8

Gmina Zalewo
Powiat iławski
AZP 23-54/13
Współrzędne geograficzne:
N 53° 47' 40"
E 19° 43' 02"





Ryc. 1. Grodzisko w Borecznie, st. 8 na mapie w skali 1:25 000 (na podstawie materiałów GUGiK, oprac. R. Solecki)



Ryc. 2. Grodzisko w Borecznie, st. 8 na mapie w skali 1:10 000 (na podstawie materiałów GUGiK, oprac. R. Solecki)

POŁOŻENIE GRODZISKA I JEGO FORMA

RAFAŁ SOLECKI

Grodzisko w Borecznie (niem. *Schnellwalde*), st. 8, nie było do tej pory znane. Znaleziono je w trakcie analizy Numerycznego Modelu Terenu przeprowadzonego w ramach projektu Narodowego Programu Rozwoju Humanistyki „Katalog grodzisk Warmii i Mazur”. Położone jest na zachodnim brzegu obecnie bezimiennego potoku łączącego jeziora Młynek i Piekło. Ciek ten na mapie z około 1910 roku¹ opisany jest jako *Jäskendorf*. Nazwa pochodzi od najbliższej położonej miejscowości Jaśkowo (niem. *Jäskendorf*) oddalonej o około 1,8 km w kierunku północno-wschodnim. Boreczno znajduje się nieco dalej, około 2,2 km w kierunku południowo-zachodnim. Obszar stanowiska porasta las mieszany z dominującymi gatunkami buku i olszy.

Stanowisko zajmuje wyeksponowany cybel, który od wschodu stromo opada w kierunku doliny potoku, a od północy i południa ograniczają go głębokie jary (ryc. 1–2). Cybel od wysoczyzny odcinają dwa wały i trzy fosy, które są czytelne w terenie (ryc. 3) oraz dobrze widoczne na Numerycznym Modelu Terenu (ryc. 4–5). Na potrzeby opracowania będą opisywane jako Fosa I, Wał I, Fosa II, Wał II i Fosa III, licząc od strony majdanu.

Obszar majdanu ma powierzchnię około 0,31 ha, a obszar całego stanowiska powierzchnię około 0,58 ha. Najwyższy punkt majdanu, znajdujący się w jego południowej

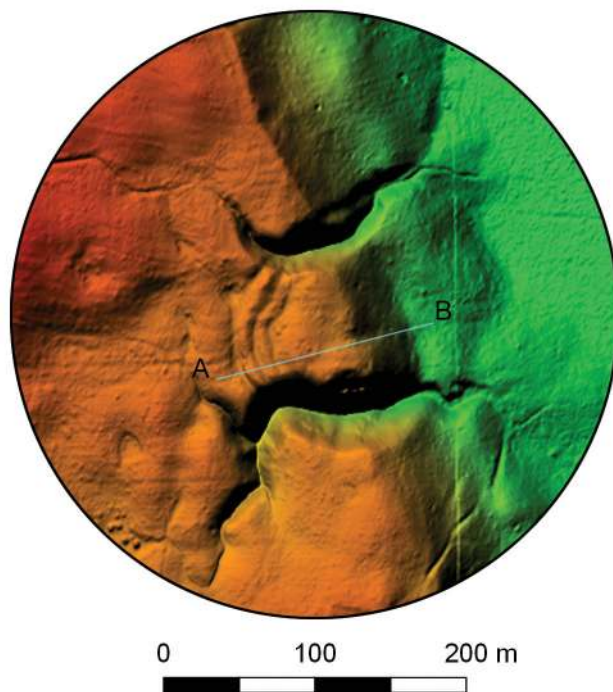
części, osiąga poziom około 130,00 m n.p.m. Wschodnią granicę majdanu wyznacza zagłębie przywałowe szerokości do 3 m, długości około 65 m, którego najwyższy punkt osiąga poziom około 128,5 m n.p.m. Dalej na zachód znajduje się Wał I (szerokości do 6,6 m, długości około 70 m i o najwyższym punkcie osiągającym poziom około 129,3 m n.p.m.), Fosa I (szerokości do 3,5 m, długości około 71 m i o najwyższym punkcie osiągającym poziom około 128,9 m n.p.m.), Wał II (szerokości do 9,6 m, długości około 79 m i o najwyższym punkcie osiągającym poziom około 130,3 m n.p.m.) i Fosa II (szerokości do 4,2 m, długości około 90 m i o najwyższym punkcie osiągającym poziom około 128,3 m n.p.m.). Średni poziom wypłaszczenia poniżej majdanu od strony doliny ma poziom około 110 m n.p.m., a różnica wysokości pomiędzy nim a średnią wysokością majdanu wynosi około 19 m (ryc. 4–5).

Warte odnotowania jest, że w czasie prowadzenia badań archeologicznych obszar fos był podmokły i grząski, pomimo że w okresie kilku tygodni przed ich rozpoczęciem opady nie były zbyt obfite. Taki stan wynika zapewne z budowy geologicznej wysoczyzny, której zwarte ilaste piaski uniemożliwiają wsiąknięcie wody opadowej w głębsze partie i są w stanie zatrzymać ją w lokalnych zagłębiach na dłuższy czas.

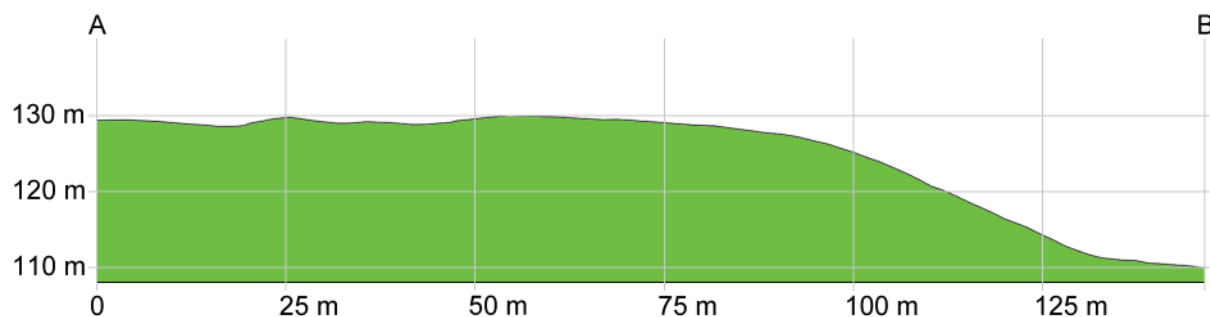
¹ Topographische Karte 1:25 000 (*Meßtischblatt*), karta Gr. Simnau (2184), z około 1910 r.



Ryc. 3. Boreczno, st. 8. Widok na relikty wałów i fos grodziska (fot. R. Solecki)



Ryc. 4. Grodzisko w Borecznie, st. 8
na zobrazowaniu ALS (na podstawie materiałów
GUGiK, oprac. R. Solecki)



Ryc. 5. Przekrój grodziska w Borecznie, st. 8 uzyskany z danych ALS
(na podstawie materiałów GUGiK, oprac. R. Solecki)

ŚRODOWISKO FIZYCZNOGEOGRAFICZNE ANNA LEJZEROWICZ

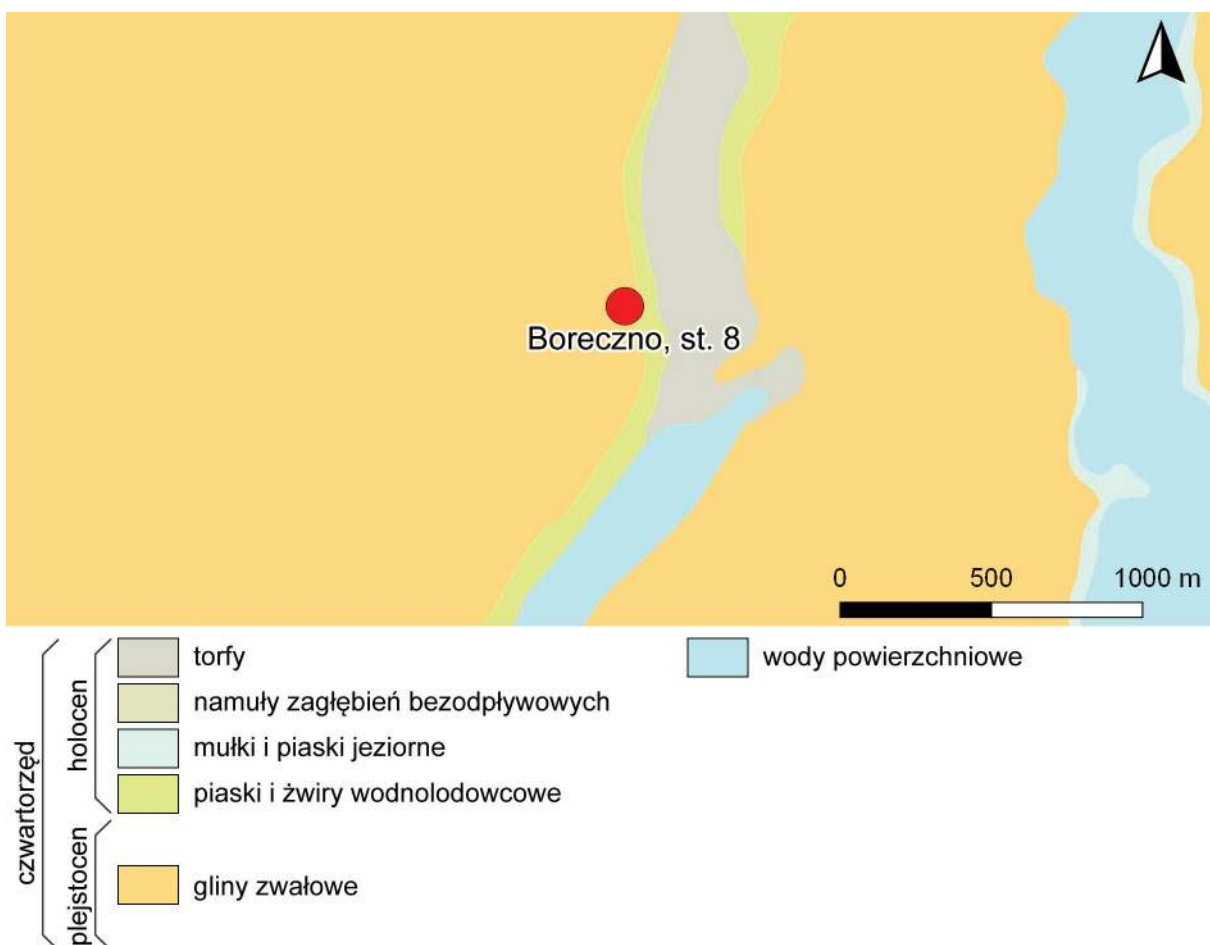
Według podziału fizycznogeograficznego Polski Jerzego Kondrackiego, grodzisko w Borecznie, znajduje się w makroregionie Pojezierze Iławskie (wg podziału z 2018 roku Pojezierze Iławskie jest makroregionem bez podziału na mezoregiony). Według podziału Kondrackiego z 2002 stanowisko należało do mezoregionu Pojezierze Dzierzgońsko-Morąskie².

Pod względem geologicznym stanowisko znajduje się w zasięgu środkowej części synklizy perybałtyckiej platformy wschodnioeuropejskiej. Najstarszymi osadami nawierconymi na tym obszarze są utwory kredy, natomiast brak jest utworów pliocenu i praw-

dopodobnie miocenu na tym obszarze, które zostały usunięte wskutek zachodzących we wczesnym plejstocenie procesów egzarcji. W czwartorzędzie obok gromadzenia się osadów miały też miejsce procesy denudacji oraz erozji rzecznej. Zachodziły też prawdopodobnie procesy glacitektoniczne, które były związane z kolejnymi nasunięciami lądolodów, jednak ślady po tych procesach zostały zatarte w późniejszych okresach. Teren badań w okresie zlodowacenia Wisły był trzykrotnie przykrywany przez lądolód, a egzacyjna działalność transgresującego lądolodu doprowadziła do powstania rynien subglacialnych³. W ten sposób powstała rynna Jeziora Piekło, które znajduje się w pobliżu grodziska. W późnym glaciale rozpoczęły się procesy zboczowe, a w jeziorach rozpoczęła się sedimentacja osadów mineralno-organicznych która trwała do dziś.

² Kondracki 2002: 46, 91–92.

³ Radek i Narwojsz 2008: 5–32.



Ryc. 6. Wycinek arkusza Szczegółowej Mapy Geologicznej Polski z zaznaczonym stanowiskiem w Borecznie, st. 8 (źródło: www.geolog.pgi.gov.pl, oprac. A. Lejzerowicz)

Morfologicznie teren, na którym znajduje się stanowisko Boreczno jest obszarem wysoczyzny morenowej falistej, która to charakteryzuje się występowaniem licznych zagłębień powstały po martwym lodzie. W obrębie wysoczyzny przebiega rynna subglacialna, która przylega do omawianego grodziska. Zawiera ona wewnątrz kilka jezior m.in. Dauby i Piekło. Zbocza rynn są strome, a ich wysokości dochodzą do kilkunastu metrów⁴. W tej częściowo przekształconej rynnie subglacialnej płynie bezimienny ciek – uchodzi do Jezioraka, przepływając przez jeziora Młynek, Piekło i Dauby.

Według Szczegółowej Mapy Geologicznej Polski w skali 1:50 000 (arkusz Dobrzyki) na obszarze grodziska Boreczno, st. 8 występują gliny zwałowe, natomiast na skarpie przylegającej do stanowiska znajdują się piaski i żwiry wodnolodowcowe (ryc. 6)⁵.

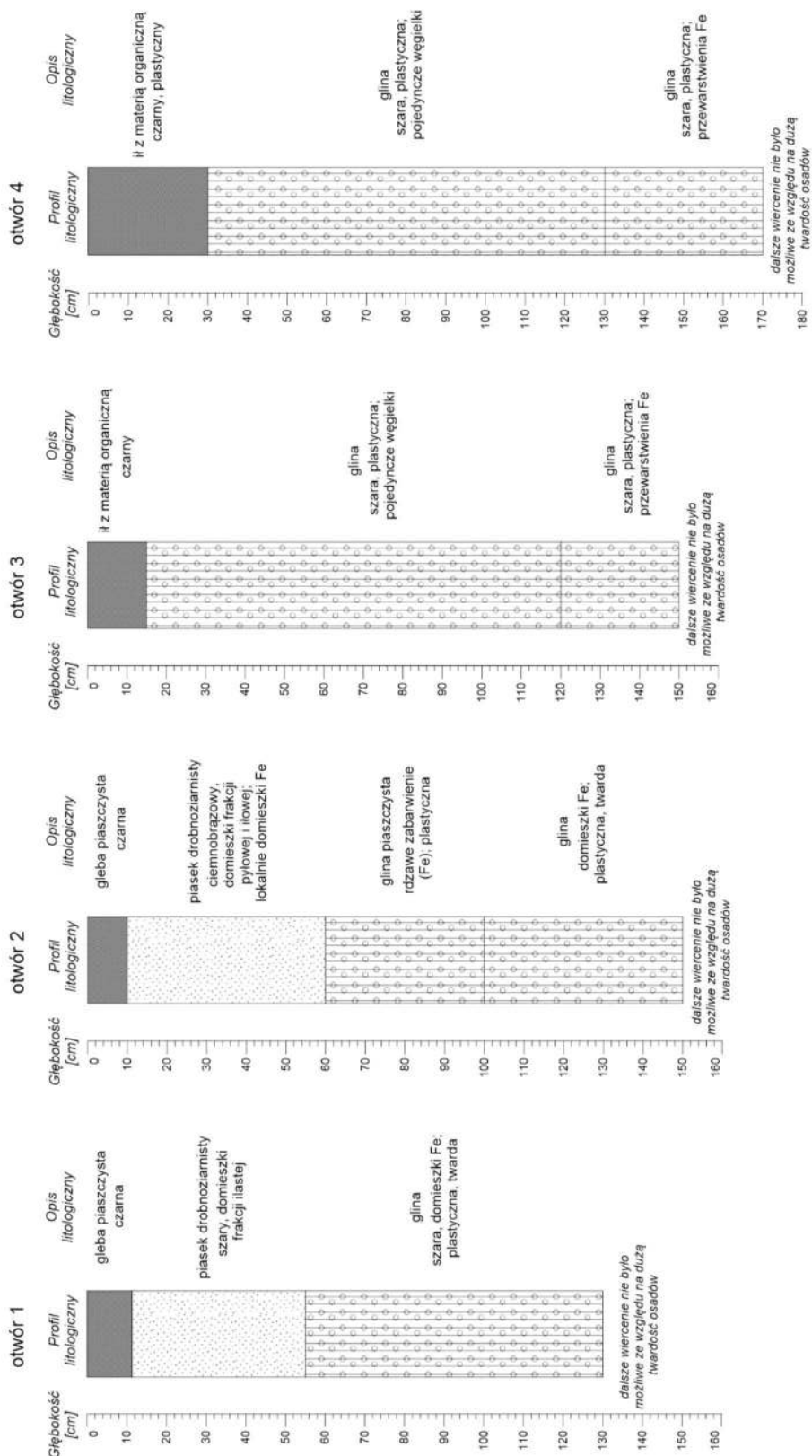
Na obszarze grodziska wykonano czterysta wiercenia sondą ręczną do maksymalnej głębokości 1,7 m w celu rozpoznania budowy geologicznej (ryc. 7). Na podstawie wy-

konanych wierceń stworzony został schematyczny przekrój geologiczny przez stanowisko (ryc. 8). W wiercenach zaobserwowano występowanie osadów piaszczystych (piaski drobnoziarniste) częściowo z domieszką frakcji pyłowej i ilowej oraz plastycznych glin o znacznej twardości, które uniemożliwiały głębsze wiercenie. W zagłębiach nawiercono osady pochodzenia organicznego. Szczegółowa litologia jest widoczna oraz została opisana na poszczególnych profilach wierceń (ryc. 8).

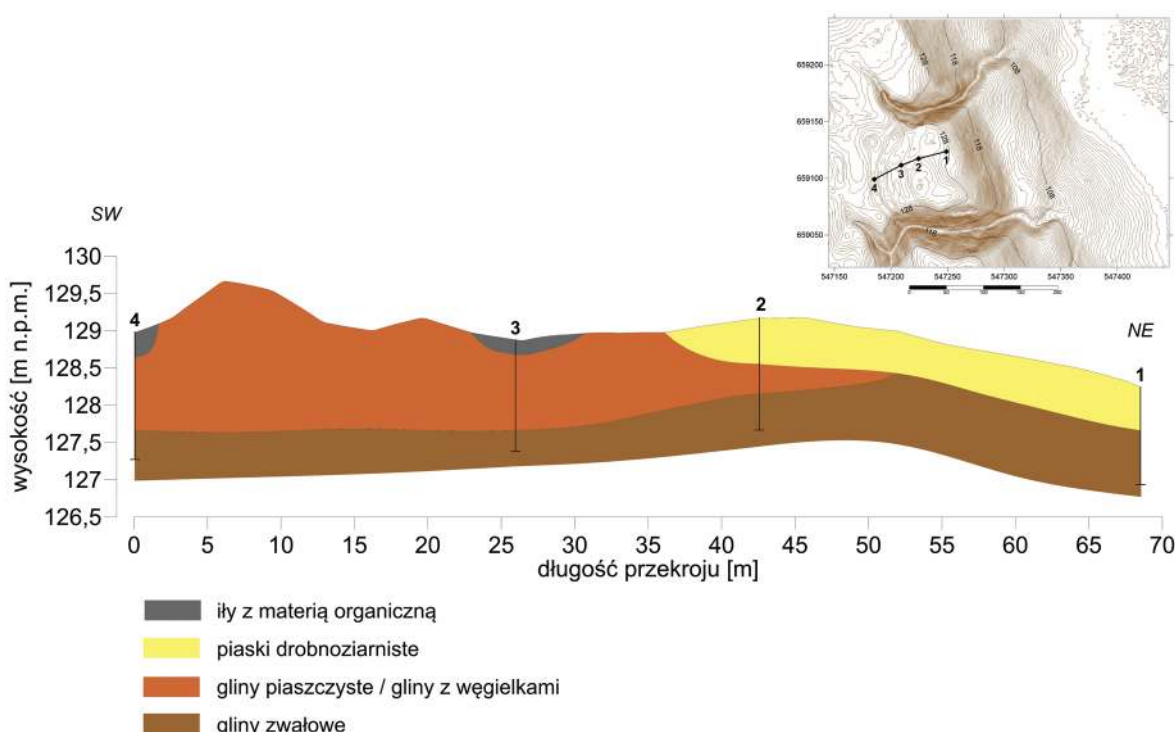
Wykonane wiercenia potwierdzają obecność osadów ilastych, plastycznych (gliny zwałowe), powstałych podczas recesji ostatniego lądolodu. Nawiercone na głębokości około 120–130 cm gliny charakteryzują się dużą twardością, co bardzo utrudniało wiercenie i uniemożliwiało dowiercenie się do zaplanowanej głębokości 2 m. Zaobserwowane zostały również osady piaszczyste najprawdopodobniej pochodzenia wodnolodowcowego. W zagłębiach (rowach) na powierzchni stanowiska występuje warstwa osadów z dużą zawartością materii organicznej, zawiigoconych i plastycznych.

⁴ Radek i Narwojsz 2008: 5–32.

⁵ Radek i Narwojsz 2008.



Ryc. 7. Profile litologiczne odwiertów wykonanych na obszarze grodziska w Borecznie, st. 8 (oprac. A. Leżerowicz)



Ryc. 8. Schematyczny przekrój geologiczny przez grodzisko w Borecznie, st. 8 (oprac. A. Lejzerowicz)

BADANIA ARCHEOLOGICZNE

RAFAŁ SOLECKI

Przebieg badań terenowych

Ze względu na fakt, że stanowisko znajduje się na obszarze lasu, miejscami dość gęsteego z rozbudowanym podszytem, obszar planowanych badań był ograniczony. Optymalne warunki występowały w południowo-zachodniej części, gdzie możliwe było wytyczenie wykopu, który częściowo swą powierzchnią obejmowałby majdan, zagłębienie przy-wałowe, Wał I, Fosę I i Wał II. Przystępując do badań zdecydowano się na przeprowadzenie geofizycznych badań nieinwazyjnych na wytypowanym obszarze.

Badania przeprowadzono z wykorzystaniem kappametru firmy Bartington model MS3 z sondą MS2D pracującą z częstotliwością 950 ± 60 Hz i przeznaczoną do płytkego pomiaru podatności magnetycznej gruntu. Prospekcji poddano obszar o powierzchni 290 m^2 (ryc. 10). Wartość odczytów mieści się w zakresie od $-0,19$ do $173,30 \text{ }\mu\text{SI}$, z tym że wysokie wartości są sporadyczne a wywołane były najczęściej przez zalegające na lub przy powierzchni metalowe przedmioty. Średnia wartość odczytów wynosi $18,90$ a odchylenie standardowe $9,68 (\text{ }\mu\text{SI})$.

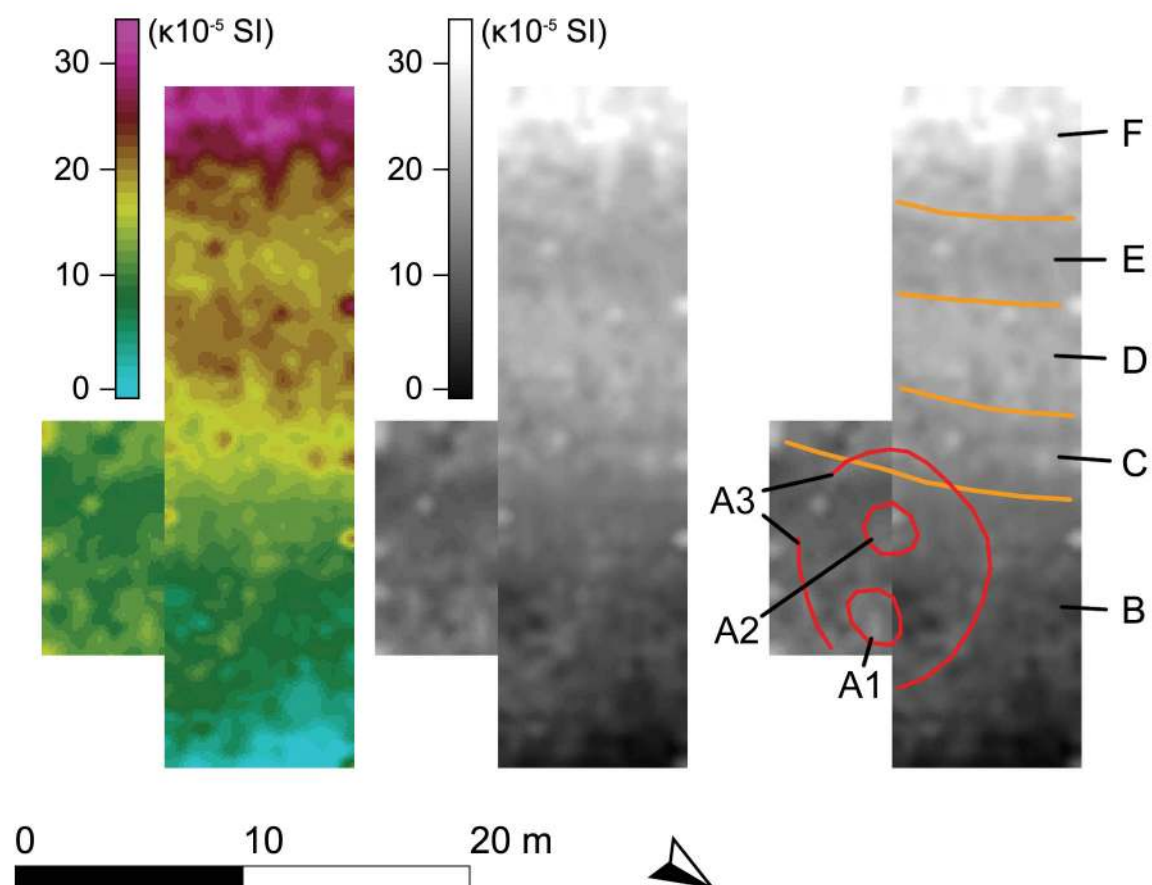
Na planie z wizualizacją wyników pomiarów (ryc. 9–10) czytelna jest regularna oval-

na anomalia średnicy około 8–9 m oraz znajdującej się w niej dwie mniejsze owalne anomalie średnicy około 1,5–2 m (ryc. 9:A). Wizualizacja danych związanych z większym pierścieniem sugeruje, że nie jest to obiekt ciągły, a raczej występujące blisko siebie punktowe anomalie (np. doły postępowe albo kamienie) o nieco większej niż tło podatności magnetycznej. Większe anomalie to najpewniej wkopy. Cały opisany zespół zajmuje obszar majdanu (ryc. 9:B), swą zachodnią krawędzią nachodząc częściowo na pas Fosy I (ryc. 9:C). Czytelne są także Wał I (ryc. 9:D), Fosa II (ryc. 9:E) i Wał II (ryc. 9:F), wyróżniające się, jako naprzemianległe pasy o odpowiednio mniejszej dla fos i większej dla wałów podatności magnetycznej.

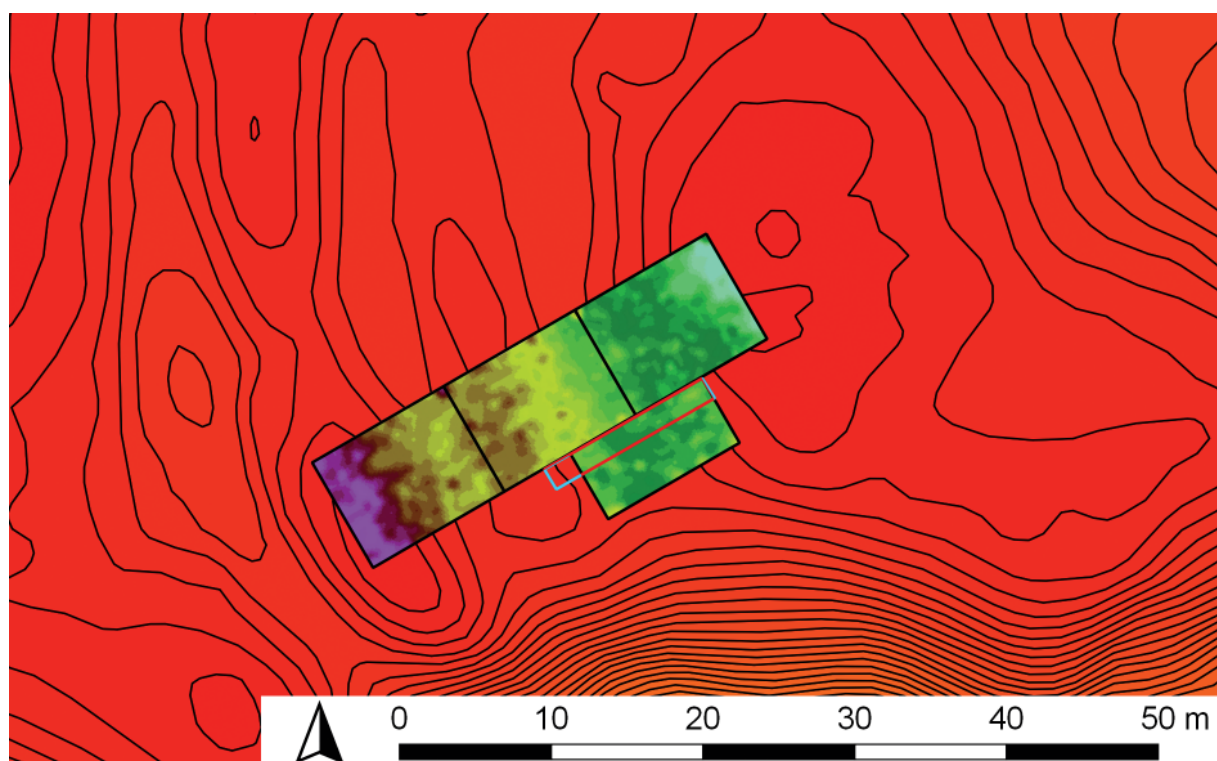
Wykop archeologiczny wytyczono tak, by przecinał owalne anomalie, zagłębienie przy-wałowe i częściowo Wał I (ryc. 10). Wymiary wykopu W1 to $1,6 \times 12$ m. Lokalizację wykopu w obrębie stanowiska przedstawia (ryc. 11).

Stratygrafia stanowiska

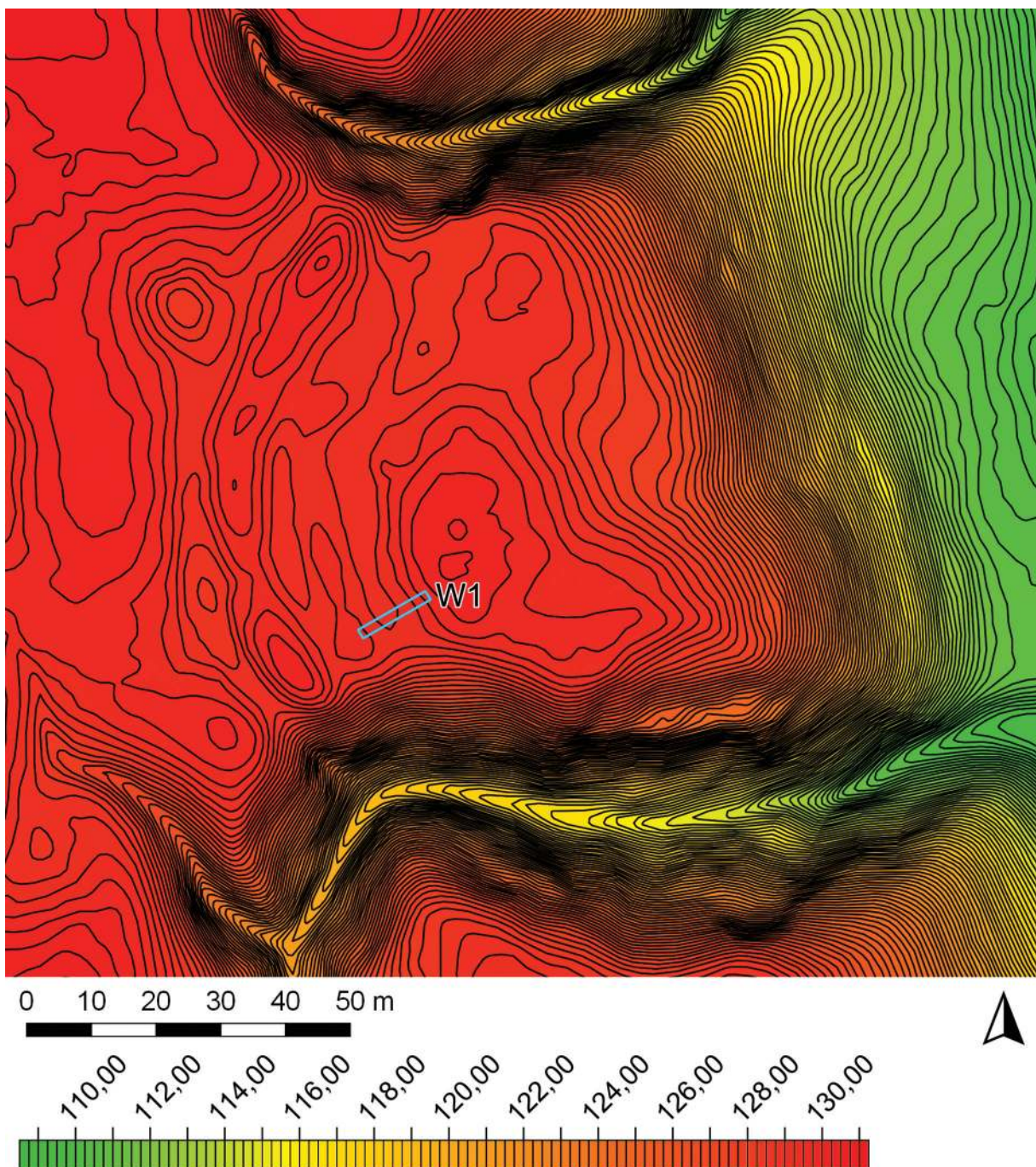
W trakcie omawianych badań archeologicznych wydzielono łącznie 22 jednostki stratygraficzne (tabela 1). Możliwe było ich rozdzielenie pomiędzy warstwy naturalne i trzy fazy „użytkowe”. Diagram Harris'a dla wydzielonych jednostek stratygraficznych przedstawia (ryc. 12).



Ryc. 9. Boreczno, st. 8. Plany z różnymi typami wizualizacji wyników badań nieinwazyjnych uzyskanych z wykorzystaniem kappametru. Interpretacja: A - dwie średniej wielkości anomalie (nr 1 i 2) otoczone pierścieniem (nr 3) (obiekty antropogeniczne); B - obszar majdanu; C - zagłębienie przywałowe; D - Wał I; E - Fosa I; F - Wał II (oprac. R. Solecki)



Ryc. 10. Boreczno, st. 8. Plan grodziska z naniesionymi wynikami badań nieinwazyjnych uzyskanych z wykorzystaniem kappametru oraz z zaznaczonym wykopem archeologicznym (oprac. R. Solecki)



Ryc. 11. Plan sytuacyjno-wysokościowy grodziska w Borecznie, st. 8 z zaznaczonym wykopem archeologicznym (na podstawie materiałów GUGiK, oprac. R. Solecki)

Warstwy naturalne

W trakcie badań, jako jednostkę naturalną wydzielono zwarty il, lekko piaszczysty, z miejscowymi, silnymi, żelazistymi wytrąceniami 22. Zabarwienie tej warstwy nie było stałe. Część w obrębie majdanu była koloru żółtobrązowego, miejscami rdzawego. Im bliżej krawędzi zagłębienia przywałowego, tym barwa stawała się bardziej szara i niebieska - zapewne z powodu rozkładających się substancji organicznych zalegających w dolnych partiach zagłębienia. Najwyższy zanotowany punkt tej warstwy znajdował się na

obszarze majdanu i osiągał poziom około 129,35 m n.p.m.

Faza I

Faza ta wyznacza okres pojawienia się osadnictwa na omawianym obszarze i zaadaptowania go do pełnienia funkcji osiedla obronnego.

Jednostką, która wyznacza poziom użytkowy bezpośrednio poprzedzający rozpoczęcie budowy umocnień jest ziemisty piasek z domieszką drobnego żwiru 20. Zanotowano ją poniżej warstwy lekko piaszczystego ilu 15

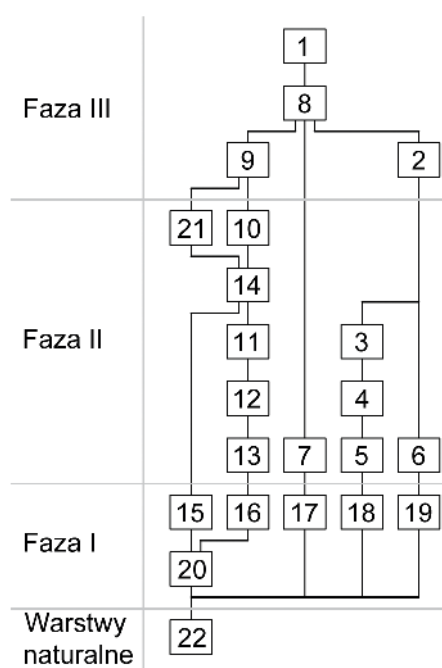
z dużą domieszką kamieni średnicy do 30 cm, która tworzy nasyp Wału I. Zaobserwowana w granicach wykopu wysokość nasypu dochodziła do 30 cm, a jego najwyższy punkt osiągał poziom około 128,95 m n.p.m. Bezpośrednio z tworzeniem nasypu Wału I należy wiązać powstanie zagłębia przywałowego 16. Ma ono formę regularnego, nieckowatego w profilu wkopu, którego uchwycone wymiary to szerokość do 310 cm i głębokość do 80 cm. Najniższy zanotowany punkt zagłębia osiągał poziom około 127,85 m n.p.m. Wymiary te mogą posłużyć do rekonstrukcji pierwotnej wysokości Wału I, gdyż urobek służył najpewniej do tworzenia nasypu. Można tak mniemyać, gdyż nie zarejestrowano wyraźnych śladow hałdy po stronie majdanu.

W okresie tym powstały zapewne także trzy obiekty uchwycone fragmentarnie w wykopie, w obrębie majdanu. Są to te same obiekty, które zinterpretowano, jako anomalie podczas badań nieinwazyjnych. Największy z nich, wkop 18 (ryc. 10:A1), jest prawdopodobnie ovalny w planie, w profilu ma regularny, nieckowy kształt. Jego uchwycone wymiary to średnica do 300 cm i głębokość do 70 cm. Drugi, 19 (ryc. 10:A2), uchwycony w wykopie tylko częściowo, ma w planie kształt wydłużonego, nieregularnego owalu, a w profilu nieregularnej, płytkiej niecki. Jego zarejestrowane wymiary to średnica 70–120 cm i głębokość do 25 cm. Trzeci, 17 (ryc. 10:A3) jest w planie nieregularnie ovalny, a w profilu V-kształtny. Jego zarejestrowane wymiary to średnica do 130 cm i głębokość do 50 cm.

Faza II

Faza ta wyznacza okres po opuszczeniu osiedla przez ludność, która w nim żyła. Charakteryzuje się powstaniem warstw erozyjnych, które doprowadziły do zakrycia obiektów powstałych w Fazie I. W granicach wykopu warstwy te tworzą w większości redeponowane starsze poziomy użytkowe oraz warstwy nasypowe Wału I, stąd notowane jest w nich występowanie materiału zabytkowego.

Największa kumulacja warstw erozyjnych występuje w obrębie zagłębia przywałowego 16, gdzie wydzielono w kolejności stratygraficznej: ilasty piasek 13 z wyraźną domieszką substancji organicznych i pojedynczymi kamieniami średnicy do 15 cm, ilasty piasek 12 z wyraźną domieszką substancji organicznych, węgli drzewnych i pojedynczy-



Ryc. 12. Boreczno, st. 8. Diagram relacji stratygraficznych (oprac. R. Solecki)

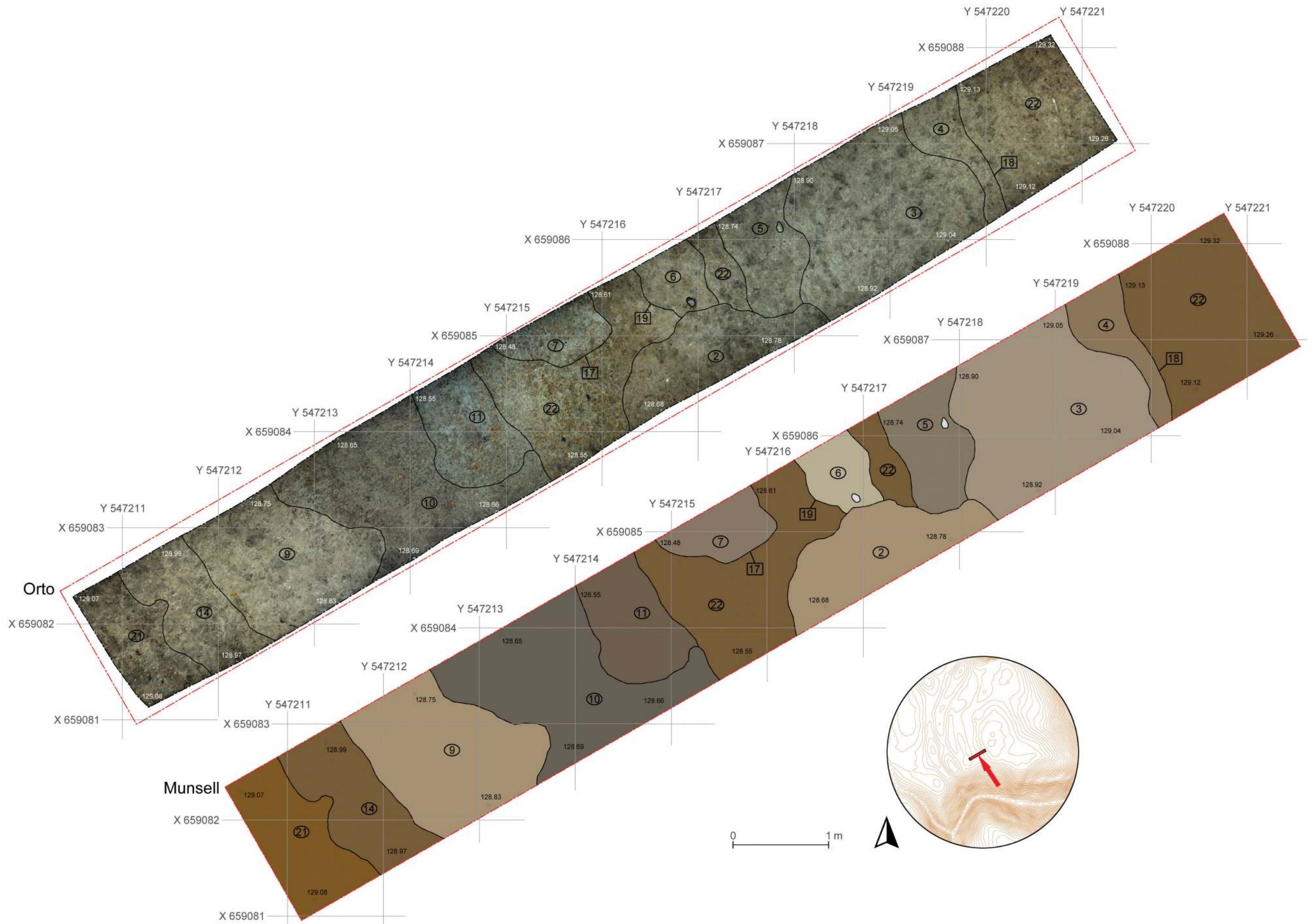
mi kamieniami średnicy do 20 cm, ilasty piasek 11 z wyraźną domieszką substancji organicznych, lekko piaszczysty ił 14 i piaszczysty ił 10. Do zespołu tego można zaliczyć także piaszczysty ił, silnie humusowy 21, który jest warstwą erozyjną występującą na Wałe I, tuż poniżej piaszczysto-ilastej, humusowej ziemi 1, tworzącej dzisiejszy poziom użytkowy stanowiska. Z warstwy 12 pobrano próbę węgla do analizy radiowęglowej. Wynik analizy dał przedział lat 395–107 p.n.e. z prawdopodobieństwem 95,4%⁶.

Nieco mniej warstw erozyjnych zanotowano w obrębie obiektu 18. W kolejności stratygraficznej są to: zwarty, ilasty piasek 5 z wyraźną domieszką substancji organicznych, węgli drzewnych i licznymi kamieniami średnicy do 25 cm w części spągowej, zwarty, ilasty piasek 4 z pojedynczymi kamieniami średnicy do 15 cm i zwarty, ilasty piasek 3. Z warstwy 5 pobrano próbę węgla do analizy radiowęglowej. Wynik analizy dał przedział lat 363–183 p.n.e. z prawdopodobieństwem 95,4%⁷.

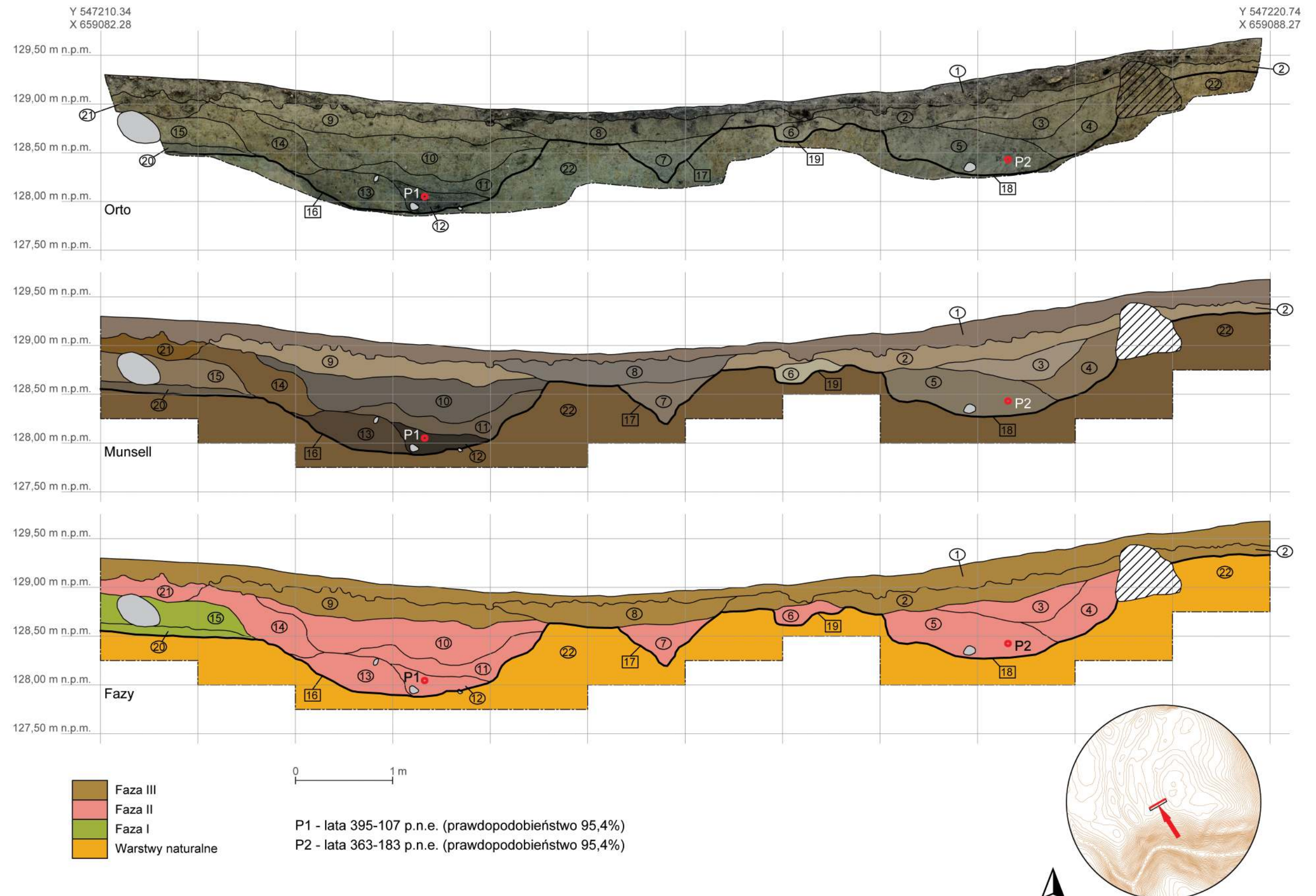
W obrębie obiektu 17 warstwą erozyjną jest zwarty ił 7 z lekką domieszką piasku i substancji organicznych, a w obrębie obiektu 19 lekko, ilasty, pylasty piasek 6.

⁶ Analiza przeprowadzona w Poznańskim Laboratorium Radiowęglowym, próba nr Poz-118371.

⁷ Analiza przeprowadzona w Poznańskim Laboratorium Radiowęglowym, próba nr Poz-121179.



Ryc. 13. Boreczno, st. 8. Plan nawarstwień południowego odcinka umocnień grodziska (oprac. R. Solecki)



Ryc. 14. Boreczno, st. 8. Stratygrafia nawarstwień południowego odcinka umocnień grodziska (oprac. R. Solecki)

Tabela 1. Boreczno, st. 8. Katalog warstw i obiektów oraz ich zależności stratygraficznych (oprac. R. Solecki)

Numer jednostki	Numer obiektu	Numer wykopu	Polozenie w obrębie stanowiska	Współrzędne siatki (PUWG 1992)	Opis jednostki stratygraficznej	Barwa (Munsell)	Pozycja stratygraficzna	
							Znajduje się pod	Znajduje się nad
1	-	1	Majdan, zagłębienie przywałowe i Wał I	X=659080-659089; Y=547210-547222	Piaszczysto-ilasta, humusowa ziemia; miąższość do 30 cm; humus leśny	7.5YR 5/2	-	2, 8, 9, 21
2	-	1	Majdan	X=659083-659089; Y=547215-547222	Lekko ilasty piasek z pojedynczymi kamieniami średnicy do 10 cm; miąższość do 35 cm; warstwa akumulacyjna narosła po opuszczeniu osiedla	10YR 6/3	1	3, 4, 5, 6, 22
3	18	1	Majdan	X=659085-659088; Y=547217-547221	Zwarty, ilasty piasek; miąższość do 35 cm; wypełnisko obiektu 18	10YR 6/2	2	4, 5
4	18	1	Majdan	X=659085-659088; Y=547218-547221	Zwarty, ilasty piasek z pojedynczymi kamieniami średnicy do 15 cm; miąższość do 55 cm; wypełnisko obiektu 18	10YR 5/3	2, 3	5, 18, 22
5	18	1	Majdan	X=659084-659088; Y=547217-547220	Zwarty, ilasty piasek z wyraźną domieszką substancji organicznych, węgli drzewnych i licznymi kamieniami średnicy do 25 cm w części spagowej; miąższość do 50 cm; wypełnisko obiektu 18	2.5Y 5/2	2, 3, 4	18, 22
6	19	1	Majdan	X=659085-659087; Y=547216-547218	Lekko ilasty, pylasty piasek; miąższość do 25 cm; wypełnisko obiektu 19	5Y 7/2	2	19, 22
7	17	1	Majdan	X=659084-659086; Y=547214-547216	Zwarty il lekką domieszką piasku i substancji organicznych; miąższość do 45 cm; wypełnisko obiektu 17	10YR 5/2	8	17, 22
8	-	1	Majdan	X=659082-659086; Y=547213-547217	Humusowy, lekko piaszczysty, pylasty il; miąższość do 30 cm; warstwa akumulacyjna narosła po opuszczeniu osiedla	10YR 5/1	1	2, 7, 9, 10
9	-	1	Zagłębienie przywałowe	X=659081-659085; Y=547211-547215	Lekko piaszczysty, lekko humusowy, pylasty il; miąższość do 30 cm; warstwa akumulacyjna narosła po opuszczeniu osiedla	10YR 6/3	1, 8	10, 14
10	-	1	Zagłębienie przywałowe	X=659081-659085; Y=547211-547215	Piaszczysty il; miąższość do 45 cm; warstwa erozyjna nasypu Wału I	10YR 4/1	8, 9	10, 11, 14, 16, 22
11	-	1	Zagłębienie przywałowe	X=659081-659085; Y=547211-547215	Ilasty piasek z wyraźną domieszką substancji organicznych; miąższość do 30 cm; warstwa erozyjna nasypu Wału I	10YR 4/2	10	12, 13, 16, 22
12	-	1	Zagłębienie przywałowe	X=659081-659085; Y=547211-547215	Ilasty piasek z wyraźną domieszką substancji organicznych, węgli drzewnych i pojedynczymi kamieniami średnicy do 20 cm; warstwa erozyjna nasypu Wału I	10YR 2/1	11	13, 16, 22
13	-	1	Zagłębienie przywałowe	X=659081-659085; Y=547211-547215	Ilasty piasek z wyraźną domieszką substancji organicznych i pojedynczymi kamieniami średnicy do 15 cm; miąższość do 40 cm; warstwa erozyjna nasypu Wału I	10YR 3/2	10, 11, 12, 14	16, 22
14	-	1	Zagłębienie przywałowe	X=659081-659084; Y=547210-547213	Lekko piaszczysty il; miąższość do 45 cm; warstwa erozyjna nasypu Wału I	10YR 4/4	9, 10	13, 15, 16, 20, 22
15	-	1	Wał I	X=659081-659084; Y=547210-547213	Lekko piaszczysty il z dużą domieszką kamieni średnicy do 30 cm; miąższość do 30 cm; nasyp Wału I	10YR 4/3	14, 21	20
16	16	1	Zagłębienie przywałowe	X=659081-659085; Y=547211-547215	Regularny, nieckowaty w profilu wkop tworzący fosę il; uchwycone wymiary to szerokość do 310 cm i głębokość do 80 cm; zagłębienie przywałowe	-	10, 11, 12, 13, 14	20, 22
17	17	1	Majdan	X=659084-659086; Y=547214-547216	Niewielki, prawdopodobnie ovalny w planie, V-kształtny w profilu wkop; uchwycone wymiary to średnica do 130 cm i głębokość do 50 cm; funkcja nieokreślona.	-	7	22
18	18	1	Majdan	X=659084-659088; Y=547217-547221	Regularny, nieckowaty w profilu, prawdopodobnie ovalny w planie wkop; uchwycone wymiary to średnica do 300 cm i głębokość do 70 cm; funkcja nieokreślona	-	4, 5	22
19	19	1	Majdan	X=659085-659087; Y=547216-547218	Niewielki, płytki, ovalny w planie, nieckowaty w profilu obiekt; uchwycone wymiary to średnica do 70-120 cm i głębokość do 25 cm; funkcja nieokreślona	-	6	22
20	-	1	Wał I	X=659081-659084; Y=547210-547213	Ziemisty piasek z domieszką drobnego żwiru; miąższość do 20 cm; poziom użytkowy bezpośrednio poprzedzający budowę umocnień	10YR 4/2	14, 15	22
21	-	1	Wał I	X=659081-659083; Y=547210-547212	Piaszczysty il, silnie humusowy; miąższość do 25 cm; warstwa erozyjna Wału I	10YR 4/6	1	14, 15
22	-	1	Majdan, zagłębienie przywałowe i Wał I	X=659080-659089; Y=547210-547222	Zwarty il, lekko piaszczysty, z miejscowymi silnymi żelazistymi wytrąceniami; warstwa naturalna	5Y 6/2	2, 4, 5, 6, 7, 8, 10, 11, 12, 13, 14, 16, 17, 18, 19, 20	-

Faza III

Faza ta wyznacza współczesny poziom użytkowy stanowiska, który utworzył się zapewne w ciągu ostatnich 200 lat.

Stratygraficznie starszy poziom wyznaczają warstwy: lekko ilastego piasku 2 z pojedynczymi kamieniami średnicy do 10 cm, lekko piaszczysty, lekko humusowy, pylasty ił 9 i humusowy, lekko piaszczysty, pylasty ił 8.

Stratygraficznie młodszy poziom wyznacza piaszczysto-ilasta, humusowa ziemia 1.

ZNALEZISKA

RAFAŁ SOLECKI, DANIEL SKOCZYLAS

Na materiał zabytkowy pozyskany w trakcie badań archeologicznych grodziska w Borecznie składa się zbiór fragmentów ceramiki (tablica 2 i 3) (tabl. 1) pozyskany w trakcie badań wykopaliskowych w W1 oraz zabytki metalowe (tabl. 2–4) znalezione w warstwie humusu w trakcie przygotowywania powierzchni stanowiska do geofizycznych badań nieinwazyjnych.

Ceramika

Główną grupę zabytków tworzy ceramika, której pozyskano łącznie 209 fragmentów. Znaczne rozdrobnienie materiału (aż 40% elementów zbioru ma dłuższy wymiar mniejszy niż 5 cm) nie pozwala na rekonstrukcję żadnej pełnej formy naczynia. Fragmenty ceramiki pozyskano z jednostek stratygraficznych przypisanych do dwóch faz funkcjonowania stanowiska – II i III – powstały w wyniku procesów erozyjnych i postdepozycyjnych. Wszystkie fragmenty wydają się reprezentować jedną grupę technologiczno-surowcową, co może oznaczać, że jest to materiał redeponowany, pochodzący ze zniszczonych warstw użytkowych z okresu funkcjonowania stanowiska.

Ceramika wykonana jest ze słabo wyrobionej masy ceramicznej z dość dużą ilością drobnej domieszki schudzającej – piasku, drobin startego granitu i rzadziej miki. Grubość ścianki wahala się od 5 do aż 20 mm (średnio około 8 mm). Największa grubość notowana jest w częściach przydennych i w dnach. Wypał był utleniający, zapewne w dość niskiej temperaturze, gdyż ceramika szybko nasiąka wodą i staje się miękka i podatna na zniszczenie. Kolor ścian jest pomarańczowy, brązowy, rzadziej szary. Przejściem najczęściej jest dwubarwny – przejście od koloru ścian-

ki zewnętrznej do koloru ścianki wewnętrznej. Powierzchnia zewnętrza najczęściej jest szorstka (124 fragmenty, 59,3% całego zbioru), rzadziej gładka (32 fragmenty, 15,3% całego zbioru) lub intencjonalnie chropowatona (14 fragmentów, 6,7% całego zbioru) (tabl. 15:19, 22). W 39 przypadkach (18,7% całego zbioru) nie udało się określić typu powierzchni zewnętrznej.

W analizowanym zbiorze wydzielono 18 fragmentów wylewów (8,6% całego zbioru), 183 fragmenty brzuśca (87,6% całego zbioru), pięć fragmentów dna lub ewidentnych części przydennych (2,4% zbioru) i trzy fragmenty ucha (1,4% zbioru) (tabl. 1:23–24). Analiza form naczyń tylko w jednym przypadku pozwala założyć, że fragment ceramiki był częścią płytkej, zapewne półkolistej miski (tabl. 1:1). W pozostałych przypadkach można jedynie domniemywać, że fragmenty były częścią garnków lub dzbanków o nieokreślonej formie i wielkości (tabl. 1:2–18).

Na pięciu fragmentach zaobserwowało zdobienie wykonywane za pomocą palca, lub paznokcia, lub w postaci zaszczypywania. W jednym przypadku odciski paznokcia tworzyły dwa, zapewne dookolne pasy z niewielkim plastycznym grzbietem pomiędzy umieszczone na powierzchni brzuśca (tabl. 1:21). Analogiczna forma zdobienia znana jest między innymi z oddalonego o około 44 km osiedla obronnego ludności kultury kurhanów zachodniobałtyjskich w Starym Folwarku (st. 1), gm. Kisielice, z fazy datowanej radiowęglowo na IV–III wiek p.n.e.⁸, ale także z odległego o około 18 km cmentarzyska kurhanowego w Tynwałdzie, gm. Iława, wiązane go z kulturą kurhanów zachodniobałtyjskich, które Mirosław J. Hoffmann wiąże z Fazą III opracowanej przez siebie klasyfikacji i datuje na schyłek okresu La Tène A i okres La Tène B⁹. W dwóch przypadkach zaszczypywanie wystąpiło na krawędzi wylewu, w naczyniu z nieznacznie odchylonym na zewnątrz brzegiem (tabl. 1:17–18). Analogie znane są z odległego o około 12 km osiedla obronnego ludności kultury kurhanów zachodniobałtyjskich w Wieprzu, gm. Zalewo. Tam zdobienie takie wystąpiło na garnkach o „esowatym” profilu, znalezionych w warstwach datowanych na około IV–II wiek p.n.e.¹⁰ Na jednym fragmen-

⁸ Chojnicka-Banaszkiewicz 2017a: 137, 173–174; 2017b: 193.

⁹ Hoffmann 1992: 307–311.

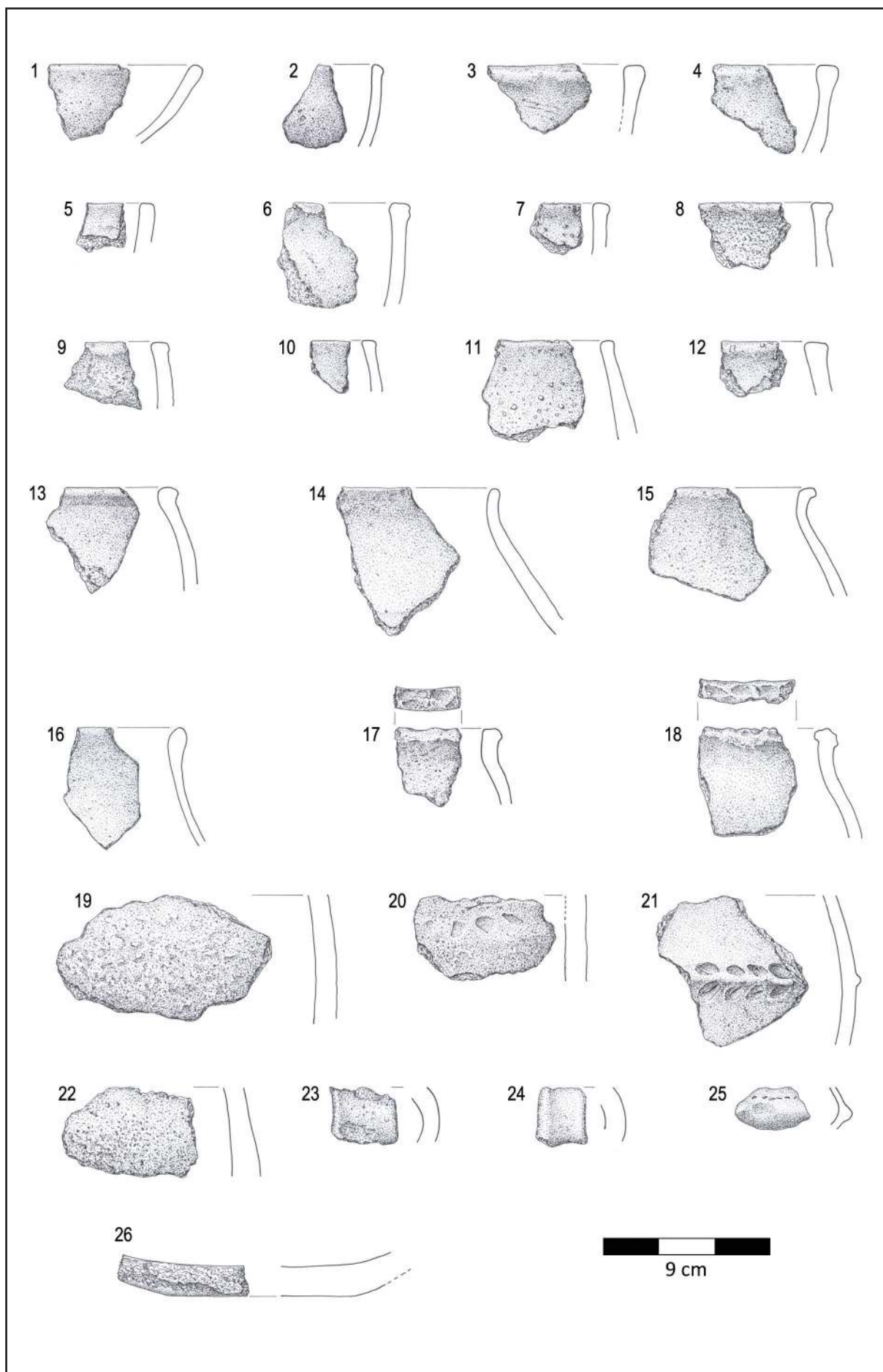
¹⁰ Kobylińska 2017a: 249–254, 259.

Tabela 2. Zestawienie ilościowe fragmentów ceramiki z grodziska w Boreczni, st. 8 (oprac. R. Solecki)

Faza	Jedn. strat.	Brzuśce										Dna						Fragmenty o wyphukanej powierzchni		
		Wylewy		Rodzaj powierzchni		Ornamentowane		Ucha		Wkleiste		Rozzaj		Płaskie		Fragmenty przepalone				
		SEN (procent obwodu)	Wyświeciane	Gładkie	Chropowaczone	Szorstkie	Nieokreślone	Ornamentowane	Części przydennie	Liczba fragmentów	SEN (procent obwodu)	Wkleiste	Lekko wkleiste	Rozzaj	Płaskie					
II	4	24	12	4	18	1	20	4	2	8	10									
II	5	25	10	2	13		23	5	2	9	9									
II	11	30	12	1	2		28	2	8	14	6					1	5	1		
II	12	100	20	9	38	1	87	2	17	69	12	3	1	1	2	3	2	1		
III	1	21	15	2	11		17	1	3	15	2				1	18		1		
III	2	9	7				8			9										
Suma	209	76	18	82	2		183	14	32	124	39	3	3	1	4	26	1	3	1	

Tabela 3. Fragmentacja i erozja fragmentów ceramiki z grodziska w Boreczni, st. 8 (oprac. R. Solecki)

Faza	Jedn. strat.	Kategorie wielkościowe (cm)										Stopień erozji						Suma
		1	2	3	4	5	6	7	8	9	10	0	1	II	III			
II	4			7	5	8	3				1			20	4	24		
II	5			6	7	3	2	3			1			18	7	25		
II	11			3	8	9	4	4	1	1				18	12	30		
II	12			1	17	16	27	18	13	4	2	2		69	31	100		
III	1			1	6	4	6		3	1				14	7	21		
III	2			1	3	3	2							7	2	9		
Suma		2	40	43	56	30	22	9	3	4		146	63		209			



Tablica 1. Boreczno, st. 8. Ceramika pradziejowa (rys. B. Karch)

cie widoczne są ślady zdobienia zbliżonego do zaszczypywania (tabl. 1:20), ale z powodu erozji powierzchni ścianki trudno bliżej motyw ten sklasyfikować. Jeszcze jeden fragment brzuśca zaopatrzony był w plastyczną, zapewne dookolną listwę, znajdująca się na dość ostrym załomie profilu naczynia z towarzyszącymi jej płytymi odciskami palca i paznokcia (tabl. 1:25). Nie można wykluczyć, że jest to fragment naczynia tzw. typu zalewskiego, do którego to typu M.J. Hoffmann zalicza „naczynia o kulistych dnach i ostrych załomach brzuśca zdobionych odciskami paznokcia”. Typ ten datowany jest także na schyłek okresu La Tène A i okres La Tène B¹¹.

Być może występowaniem na omawianym stanowisku kulistodennej ceramiki typu zalewskiego należy tłumaczyć niski odsetek fragmentów den naczyń, który w omawianym zbiorze wynosi zaledwie 2,4%.

Zabytki wydzielone

Do grupy zabytków wydzielonych zakwalifikowano cztery fragmenty brązowych ozdób, trzy guziki metalowe oraz 12 przedmiotów żelaznych o lepiej lub gorzej zachowanej formie, co utrudniło ich identyfikację.

Do grupy ozdób należą trzy fragmenty prawdopodobnie naszyjników wykonanych z taśmy brązowej szerokości około 2 cm i zdobionych grupami krzyżujących się kresek (tabl. 2:1–3). Na dwóch z nich (tabl. 2:1–2) widoczne są otwory na nity. M.J. Hoffmann zabytki o analogicznej formie, znalezione w Zielonogradsku (niem. *Grünwalde*)¹², zakwalifikował do grupy 2., którą wydawał na przedział pomiędzy okresem halsztackim D i lateńskim B (około 550–120 p.n.e.)¹³. J. Antoniewicz zabytki tego typu znalezione w Kretowinach, gm. Morąg datuje na okres halsztacki¹⁴. Czwarty zabytek z tej grupy to fragment wygiętego, brązowego, kolistego w przekroju drutu długości 3 cm i średnicy 6 mm. Rekonstruowana średnica całego przedmiotu szacowana na podstawie wygięcia wynosi około 20 cm, co sugeruje, że może to być ułamek naszyjnika, lub ewentualnie innej ozdoby o nieregularnym kształcie.

Wszystkie guziki (tabl. 2:5–7) wykonano z mosiądzu i wszystkie należą do tego samego

typu – jednowarstwowe, płaskie, z uszkiem z drutu. Tylko jeden z nich (tabl. 2:7) posiadał charakterystyczny element w postaci wypolerowanego rantu. Są to guziki cywilne i można je datować na przełom XIX i XX wieku.

Żelazny gwóźdź (tabl. 2:9) miał 5,5 cm długości, ostrze w przekroju kwadratowe o grubości do 7 mm, z główką wyraźnie wyodrębnioną, nieregularnie kwadratową o boku do około 15 mm. Gwoździe tego typu Łukasz Siczek zalicza do typu E i opisuje jako „łącznik o przeznaczeniu uniwersalnym”. Forma ta jest bardzo popularna i występuje do XX wieku¹⁵.

Żelazny fragment podkówki do buta (tabl. 2:8) zaopatrzony jest w dwa zachowane kolce do mocowania jej do podeszwy. Analogiczny zabytek z Płonkowa, gm. Rojewo zaliczony został do typu II – „z trzema kolcami pozwalającymi na przytwierdzenie ich do obcasa bądź podeszwy ze zorientowaną wertykalnie, prostokątną w przekroju podstawą” – i datowany jest na około XVI–XVIII wiek¹⁶.

Ciekawym zabytkiem jest żelazna sztabka (tabl. 3:1) długości około 13 cm, szerokości około 2 cm i grubości około 4 mm. Z jednej strony zakończona jest haczykiem, a z drugiej znajduje się otwór, częściowo ukruszony. Jest on owalny o wymiarach 7×15 mm. Najbliższą analogią są haki do naciągania kuszy. Ze względu na fakt, że omawiany zabytek jest uszkodzony, nie jest możliwe jego precyzyjne sklasyfikowanie. Na podstawie długości odcinka od haka do otworu, można zakładać, że był to naciągacz krótki. Zabytki tego typu można datować na około XIV–XVI wiek. Hak do naciągania kuszy, tyle że w odmianie długiej, znany jest z Jemiołkowa, gm. Olsztynek¹⁷.

Do grupy militariów należy także zaliczyć żelazne ostrze (tabl. 3:4) długości około 35 cm, szerokości w najszerzym miejscu około 30 mm i grubości do 6 mm. Ostrze jest niesymetryczne. W odległości około 7 cm od świętego końca, z jednej strony widoczny jest niewielki bolec, wystający na około 4 mm – najpewniej pozostałość po nicie mocującym rękojeść. Kształt ostrza zbliżony jest do kordu, ale omawiany zabytek jest mniejszy. Podobny zabytek znaleziony w Warcie, gm. *loco*, został wydatowany na około XV wiek¹⁸.

¹¹ Hoffmann 1992: 307–311.

¹² Hoffmann 1999: 53, 212.

¹³ Hoffmann 2000: 7.

¹⁴ Antoniewicz :332, 342–343

¹⁵ Siczek 2016: 173–174.

¹⁶ Kulesz, Nowak i Jarzęcki 2018: 149–151; Cymbałak 2006: 272–273.

¹⁷ Świętosławski 2008: 190–195.

¹⁸ Grabarczyk i Ławrynowicz 2013: 55–59.



Tablica 2. Boreczno, st. 8. Zabytki wydzielone (fot. R. Solecki)



Tablica 3. Boreczno, st. 8. Zabytki wydzielone (fot. R. Solecki)



Tablica 4. Boreczno, st. 8. Zabytki wydzielone (fot. R. Solecki)

Oryginalnym znaleziskiem jest także zabytek, który można interpretować jako ciosło (tabl. 3:3)¹⁹. Jest on wykonany z żelaza. Ostrze, ustawione poprzecznie do osi rękojeści, ma długość około 8 cm i szerokość do 3 cm. W przeciwieństwie do typowych egzemplarzy, na przykład narzędzia z grodziska w Plemiętach, gm. Gruta, datowanego na około XIV – początek XV wieku²⁰, zabytek z Boreczna ma zwężające się, zaokrąglone na końcu ostrze.

Kolejną grupę zabytków tworzą cztery żelazne, S-kształtne ogniva (tabl. 4:1–3), z których dwa były ze sobą połączone. Trzy z nich wykonane były z kolistego w przekroju drutu (tabl. 4:1–2), a jedno z prostokątnego w przekroju pręcika (tabl. 4:3). Na końcach dwóch ogniw (tabl. 4:2–3) znajdowały się zbliżone kształtem do trójkąta ozdobne zgrubienia.

Trudny do interpretacji jest zabytek wykonany z żelaznego, kwadratowego w przekroju pręcika o grubości do 6 mm (tabl. 3:2). Jeden koniec pręcika jest zagięty i tworzy otwór o średnicy wewnętrznej około 1 cm. Drugi koniec był zapewne także wygięty, ale jest ułamany, co utrudnia jego rekonstrukcję. Przedmioty o zbliżonym kształcie często interpretowane są jako klucze.

Trzech żelaznych ułamków przedmiotów (tabl. 4:4–6) nie udało się zidentyfikować. Być może są to fragmenty gwoździ.

CHRONOLOGIA I DZIEJE GRODZISKA W BORECZNIE, ST. 8

RAFAŁ SOLECKI

Pod względem formy terenowej – umocnienia w formie co najmniej trzech linii wałów i fos – stanowisko można porównać do wspomnianych już pobliskich osiedli obronnych w Wieprzu, gm. Zalewo²¹, Starym Folwarku (st. 1), gm. Kisielice²² oraz do niecytowanego osiedla obronnego w Starym Folwarku (st. 2), gm. Kisielice²³, wszystkich datowanych radiowęglowo na IV–III wiek p.n.e.

Na podstawie przeprowadzonej analizy ceramiki pochodzącej z warstw kulturowych można wnioskować, że stanowisko było użytkowane od schyłku okresu La Tène A, przez

¹⁹ Dembińska i Podwińska 1978: 132–133.

²⁰ Kola 1985b: 151, 156.

²¹ Kobylińska, Solecki i Wysocki 2017: 260.

²² Chojnacka-Banaszkiewicz 2017b: 193.

²³ Kobylińska 2017d: 207.

La Tène B. Podobną, aczkolwiek nieco szerszą chronologię, mają fragmenty brązowych ozdób, które można datować na okres od Halsztat D po La Tène B.

Szacowanie chronologii stanowiska na podstawie materiału zabytkowego i jego formy terenowej podparto analizą radiowęglową, którą przeprowadzono dla dwóch prób. Pierwsza została pobrana z warstwy 12 będącej erozyjnym wypełniskiem zagłębień przywałowego 16. Warstwa ta spłynęła do zagłębień z Wału I, a znajdującej się w niej liczne węgle drzewne można wiązać ze zniszczeniem konstrukcji, które znajdowały się na Wale, w okresie gdy on funkcjonował. Wynik analizy dał przedział lat 395–107 p.n.e. z prawdopodobieństwem 95,4%.²⁴ Druga próba pochodzi z warstwy 5 będącej wypełniskiem obiektu 18. Jest to także warstwa erozyjna, prawdopodobnie wynik destrukcji konstrukcji znajdującej ponad obiektem. Wynik analizy dał przedział lat 363–183 p.n.e. z prawdopodobieństwem 95,4%.²⁵ Oba wyniki są do siebie zbliżone i sugerują, że zniszczenie obu konstrukcji mogło nastąpić w tym samym czasie.

Warto zaznaczyć, że procesy postdepozycyjne i erozyjne działające w trakcie Fazy II doprowadziły nie tylko do zakrycia obiektów użytkowych z Fazy I, ale także spowodowały znaczny ubytek poziomów użytkowych w granicach stanowiska. Wniosek taki można postawić na podstawie analizy fragmentu zbadowanego profilu archeologicznego, na jego odcinku obejmujących majdan grodziska (ryc. 14). Pomiędzy warstwami naturalnymi a warstwami wiązanymi z Fazą III, czyli współczesnym poziomem użytkowym stanowiska brak jest jakichkolwiek warstw użytkowych, które można by łączyć z funkcjonowaniem osiedla we wczesnej epoce żelaza.

Warto także wspomnieć, że stanowisko okazjonalnie było wykorzystywane w młodszych okresach o czym mogą świadczyć pojedyncze znaleziska przedmiotów znajdywanych na powierzchni, które można datować szacunkowo od około XV po początek XX wieku. Do grupy tych zabytków można zaliczyć części stroju (guziki, podkówka buta), militaria (hak do naciągania kuszy oraz żelazne ostrze) oraz narzędzia (ciosło, gwoździe, ele-

²⁴ Analiza przeprowadzona w Poznańskim Laboratorium Radiowęglowym, próba nr Poz-118371.

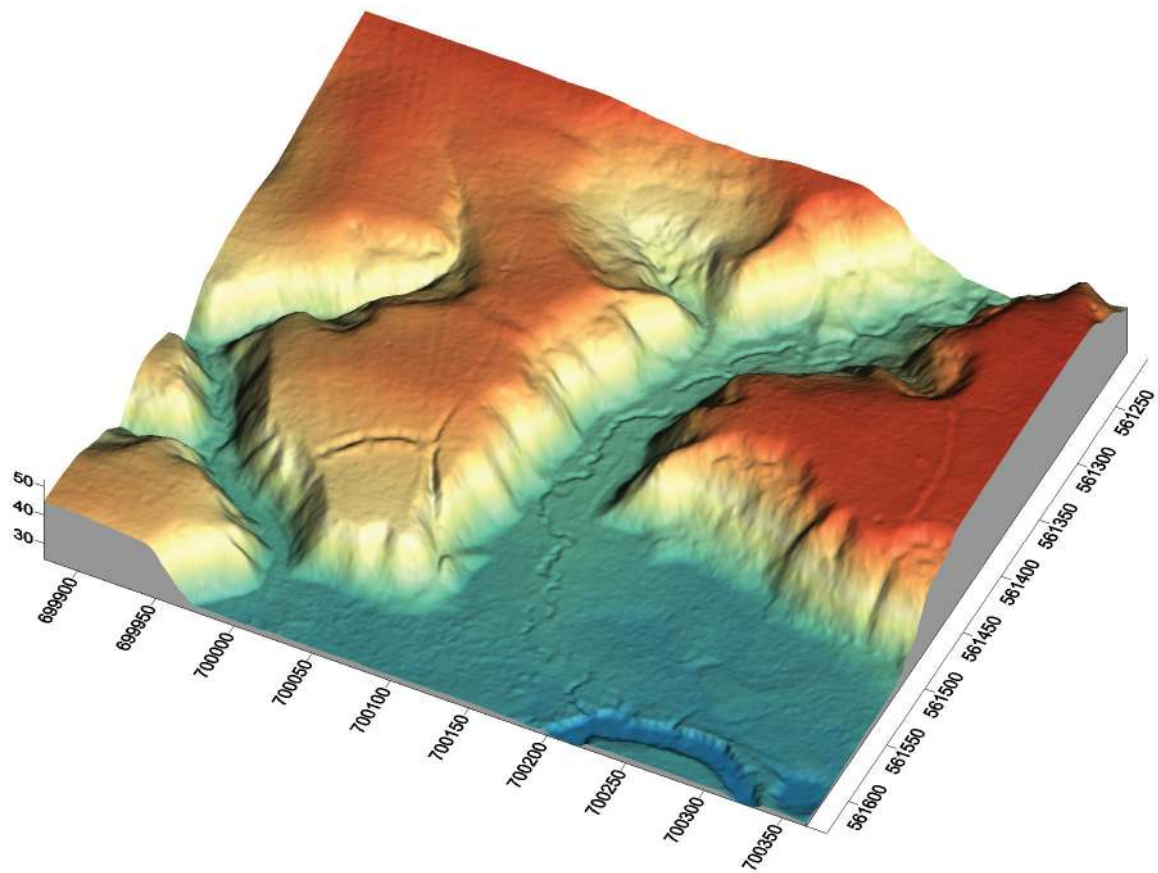
²⁵ Analiza przeprowadzona w Poznańskim Laboratorium Radiowęglowym, próba nr Poz-121179.

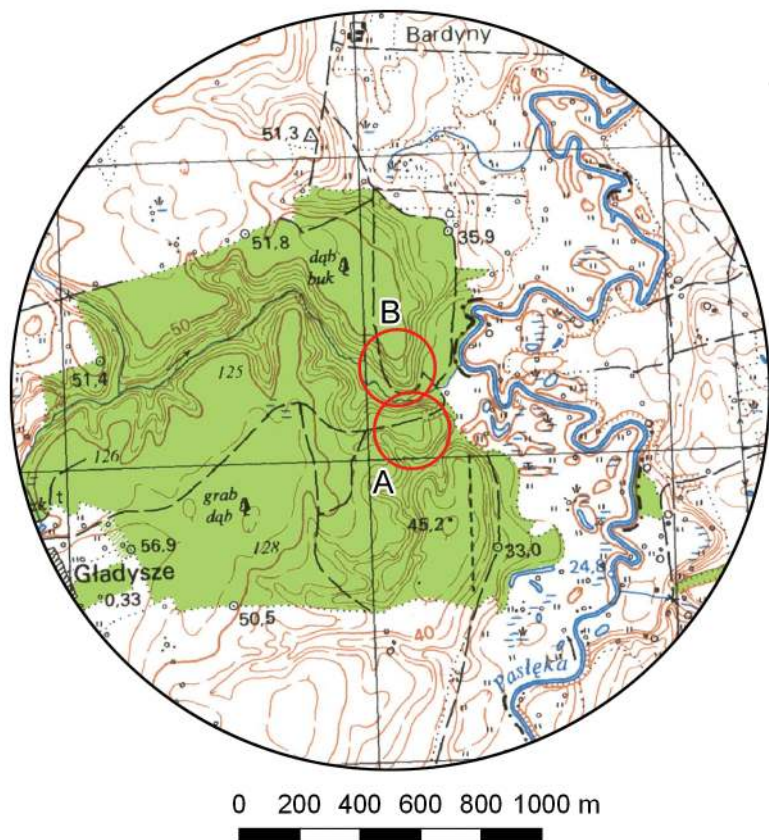
menty łańcucha?). Te epizodyczne odwiedziny na obszarze starszego osiedla należy najpewniej łączyć z faktem, że znajdowało się ono w pobliżu wsi, która funkcjonowała od początku XIV wieku i miała złożoną historię²⁶. Zatem stanowisko, znajdujące się niecałe 2,5 km od centrum wsi, z pewnością było w sferze jego oddziaływania.

²⁶ Leyding 1973b: 60; Żurek 2013: 386.

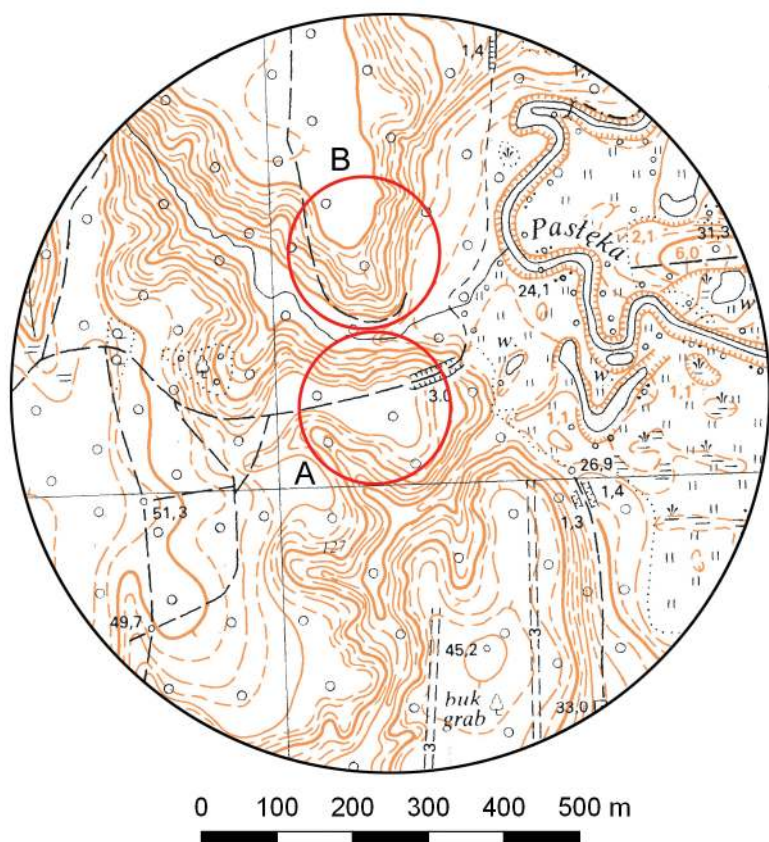
Gładysze, st. 1

Gmina Wilczęta
Powiat braniewski
AZP 16-56/21
Współrzędne geograficzne:
N $54^{\circ} 9' 38''$
E $19^{\circ} 56' 29''$





Ryc. 1. Grodzisko w Gładyszach, st. 1
na mapie w skali 1:25 000
(na podstawie materiałów GUGiK,
oprac. R. Solecki)



Ryc. 2. Grodzisko w Gładyszach, st. 1
na mapie w skali 1:10 000
(na podstawie materiałów GUGiK,
oprac. R. Solecki)

POŁOŻENIE GRODZISKA I JEGO FORMA

DARIUSZ WACH, DANIEL SKOCZYLAS
I KATARZYNA ZDEB

Grodzisko w Gładyszach (niem. *Schlodien*), st. 1 zostało wpisane do rejestru zabytków decyzją C-178 z dnia 23 maja 1993 roku¹. Położone jest 1,5 km na wschód od wsi Gładysze, 2 km na zachód od wsi Osetnik (niem. *Wusen*) oraz 2,5 km na południe od osady Spędy (niem. *Spanden*). Las, w granicach którego znajduje się grodzisko, przynależy do Nadleśnictwa Młynary (ryc. 1–2).

Po raz pierwszy grodzisko, przypisane ówcześnie do wsi Spędy w gminie Dobry (niem. *Döbern*), zostało skatalogowane w ramach zbioru *Burgwall-kartei*. Na szkicu dołączonym do karty widać dwa oddalone od siebie wały odcinające cypel od wysoczyzny (ryc. 3). Podczas przeprowadzonej wtedy prospekcji nie natrafiono na materiał zabytkowy i nie określono chronologii obiektu. Bardziej szczegółowe informacje o stanowisku podał Hermann Strunk, który w artykule z 1931 roku, w czasopiśmie „Altpreussische Forschungen”, sytuował je nieopodal wsi Osetnik i opatrzył nazwą *Schloßberg*². Dwukrotnie wzmiankował je również Hans Crome w 1937³ i 1940 roku⁴, przypisując do wsi Spędy i określając

jego chronologię jako staropruską⁵. Po II wojnie światowej stanowisko było weryfikowane i zewidencjonowane w ramach Archeologicznego Zdjęcia Polski; datowane było wówczas na okres wczesnego średniowiecza⁶.

Wszystkie powyższe opisy, weryfikacje i ewidencje dotyczą jednak tylko stanowiska, które znajduje się na cyplu po południowej stronie bezimiennego dopływu Pasłęki – na potrzeby niniejszego opracowania będzie ono oznaczane jako stanowisko A. Weryfikacja stanowiska przeprowadzona w 2019 roku wykazała, że po północnej stronie tego dopływu również znajduje się cypel oddzielony od wysoczyzny za pomocą słabo obecnie czytelnego w terenie wału i fosy – na potrzeby niniejszego opracowania będzie ono oznaczane jako stanowisko B. Wydzielony obszar, ze względu na bezpośrednią bliskość do znanego już grodziska, należy traktować jako jego integralną część, która była użytkowana w jednej z faz użytkowych tego grodziska.

Część A grodziska ulokowana jest na wysokim cyplu znajdującym się na lewym brzegu rzeki Pasłęki, płynącej na tym odcinku z południa na północ. Wyniesienie góruje nad tarasem zalewowym, osiągając wysokość względną około 20 m. Od północy i południa ograniczone jest głębokimi jarami, które mają strome stoki, podkreślające walory obronne stanowiska. W jarach płyną bezimienne strumienie zasilające rzekę Pasłękę. Grodzisko ma dwa wały i fosę. Wał zewnętrzny znaj-

¹ Informacja z KEZA stanowiska Gładysze.

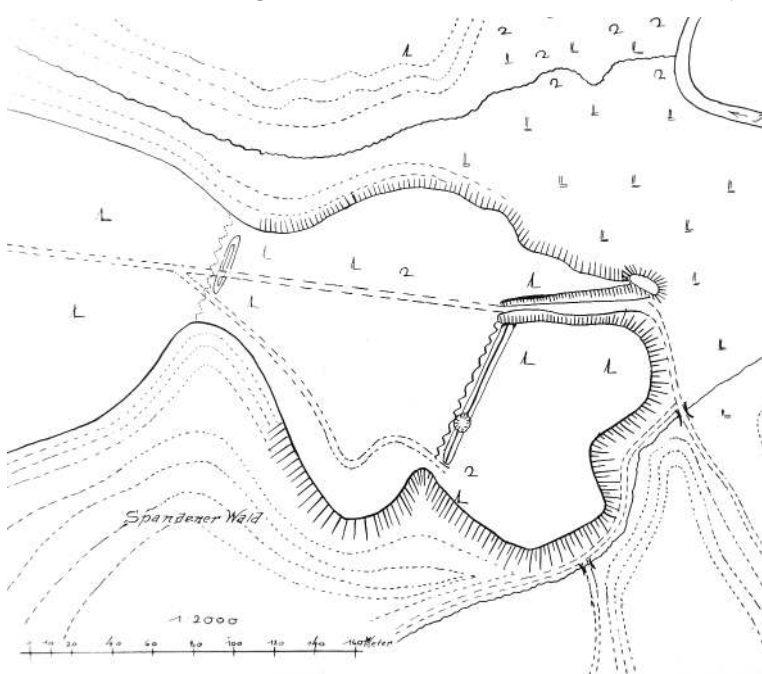
² Strunk 1931: 33.

³ Crome 1937: 110.

⁴ Crome 1940: 124; Jagodziński 1997: 88.

⁵ Crome 1937: 110.

⁶ Informacja z KEZA stanowiska Gładysze



Ryc. 3. Grodzisko w Gładyszach, st. 1 na karcie ze zbioru *Burgwall-kartei* (źródło: Staatliche Museen zu Berlin, Museum für Vor- und Frühgeschichte, IXc 90)



Ryc. 4. Gładysze, st. 1. Widok w kierunku południowym na fosę i wał wewnętrzny (fot. A. Lejzerowicz)

duje się na zwężeniu cypla. Poddany był silnym procesom erozyjnym i obecnie jest słabo widoczny w terenie. Różnica wysokości pomiędzy szczytem tego wału a jego podnóżem wynosi zaledwie 0,25 m. Wał wewnętrzny jest dobrze zachowany, ma długość około 60 m, a jego szerokość u podstawy dochodzi do 9 m. Od strony zachodniej (zewnętrznej) wałowi towarzyszy fosa o szerokości około 2 m (ryc. 4). Różnica pomiędzy wysokością szczytu wału a wypłaszczeniem u jego podstawy od strony fosy dochodzi do 1,5 m. Obszar stanowiska wynosi 1,8 ha, majdan zajmuje 0,29 ha (ryc. 5–6). Powierzchnia stanowiska opada w kierunku wschodnim ku dolinie Pasłęki. Przez południową część stanowiska przebiega stara niemiecka droga leśna widoczna na mapie z 1929 roku⁷.

Część B grodziska położona jest na północ od części A. Oddziela je tylko dolina bezimiennego dopływu Pasłęki. Stanowisko zajmuje trójkątny cypel o stromych zboczach. Różnica wysokości pomiędzy dnem doliny, a szczytem cypla dochodzi do 24 m. Część wydzielona wałem ma długość 155 m, szerokość do 105 m i powierzchnię 1,2 ha (ryc. 5). Relikty umocnień – wału i fosy – są czytelne w terenie. Ich długość ma około 110 m. Szerokość fosy dochodzi do 5 m, a szerokość wału do 4 m. Różnica wysokości pomiędzy obecnym dnem fosy i szczytem wału dochodzi do 0,4 m.

⁷ Topographische Karte 1:25 000 (Meßtischblatt), karta Wusen (1885), z 1929 r.

ŚRODOWISKO FIZYCZNOGEOGRAFICZNE

ANNA LEJZEROWICZ

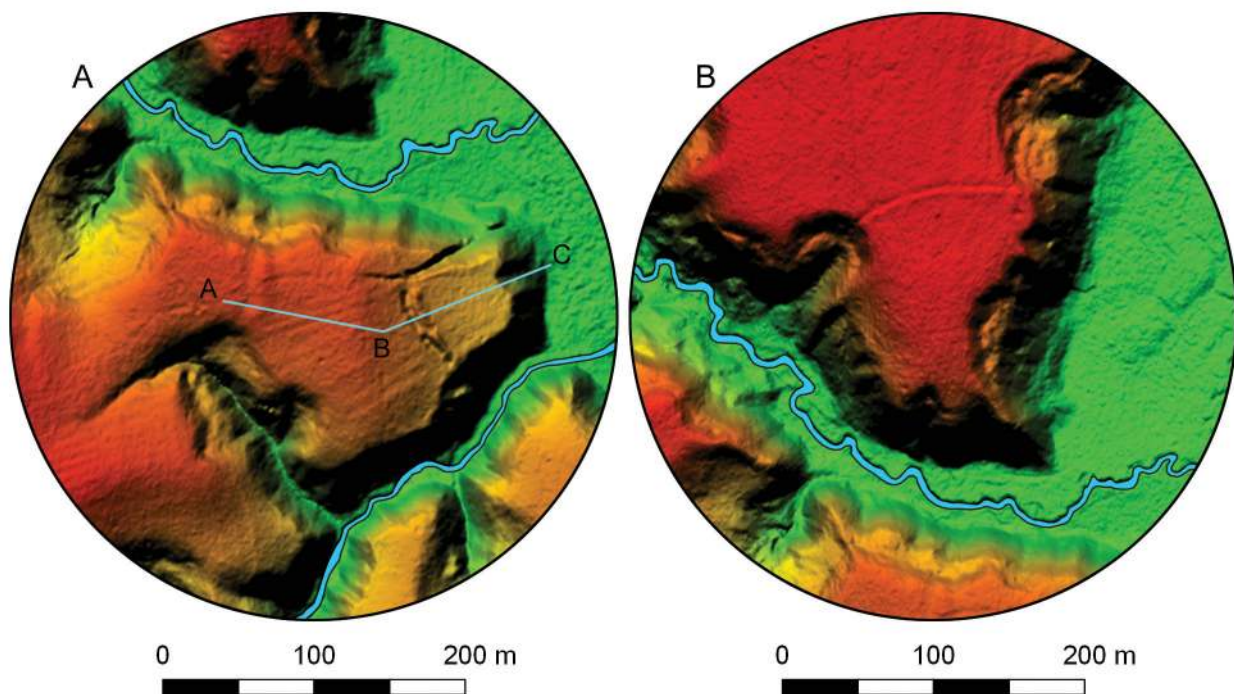
Według podziału fizycznogeograficznego Polski Jerzego Kondrackiego, grodzisko w Gładyszach st. 1 znajduje się w mezoregionie Równiny Warmińskiej⁸.

Geologicznie grodzisko znajduje się na synklinie perybałtyckiej platformy wschodnio-europejskiej⁹. Zlodowacenie Wisły na terenie stanowiska reprezentują trzy poziomy glin zwałowych, stadiałów: dolnego, środkowego i górnego – efekt trzykrotnego nasunięcia się lądolodu. Gliny te są rozdzielone poziomami osadów wodnolodowcowych. W interstadiale oddzielającym stadiał środkowy od górnego, pod dzisiejszą równiną zastoiskową – obszarem położonym obecnie najniżej – istniała głęboka dolina. Stanowisko znajduje się w obrębie rozległej równiny zastoiskowej, otoczonej przez wysoczyznę morenową płaską oraz falistą z licznymi wytopiskami. Ta równina zastoiskowa jest nazywana zastoiskiem Dobrego i tworzy rozległą płaską powierzchnię zbudowaną z ilów zastoiskowych. Wysoczyzny morenowe zbudowane są z glin zwałowych, miejscami zapiaszczonej¹⁰. W holocenie rozpoczęło się tworzenie sieci odpływu wód po-

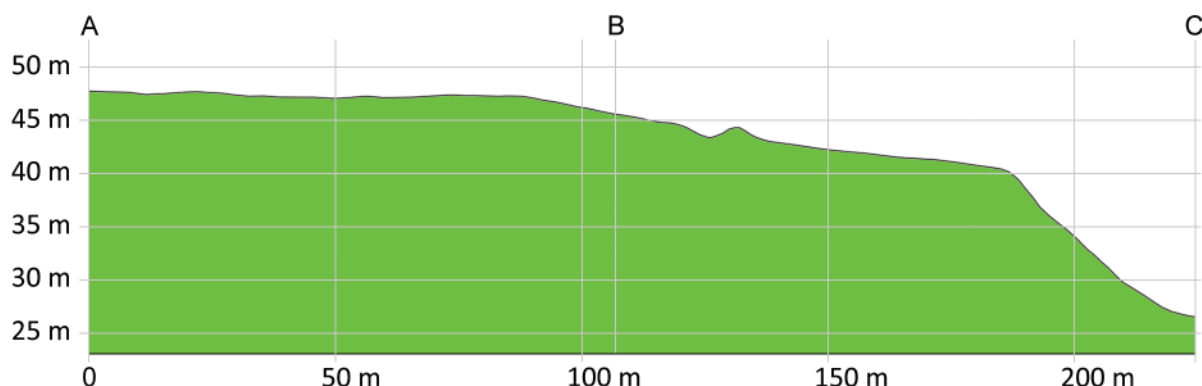
⁸ Kondracki 2002: 66–67.

⁹ Petelski i Gondek 2003: 8.

¹⁰ Petelski i Gondek 2003: 16–21



Ryc. 5. Grodzisko w Gładyszach, st. 1 – A) część południowa, B) część północna – na zobrazowaniu ALS (na podstawie materiałów GUGiK, oprac. R. Solecki)



Ryc. 6. Przekrój grodziska w Gładyszach, st. 1, część A, uzyskany z danych ALS (na podstawie materiałów GUGiK, oprac. R. Solecki)

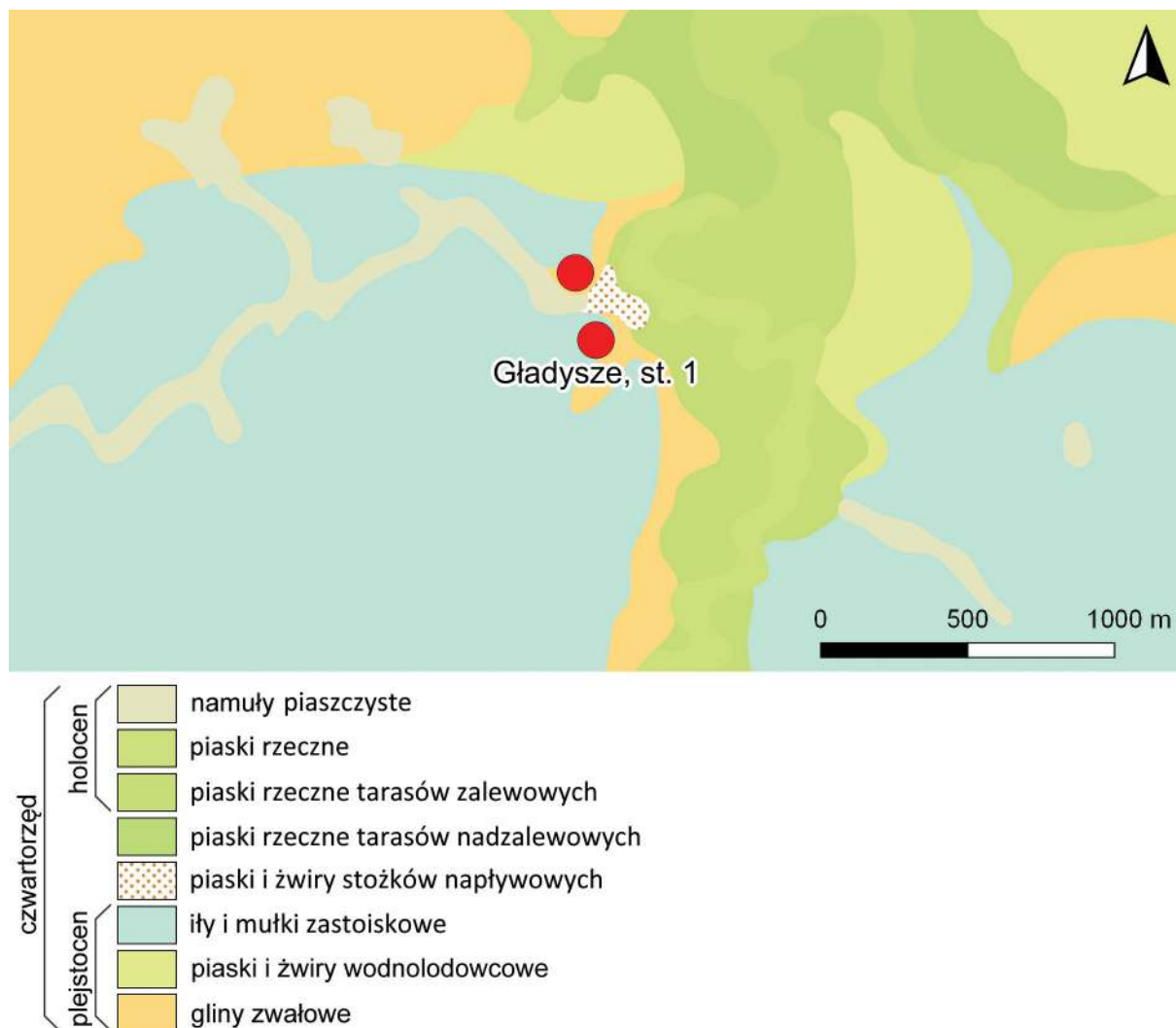
wierzchniowych i powstała dolina rzeki Pasłęki, która obecnie przepływa przez zachodnią część równiny zastoiskowej. Wcina się ona około 20 m poniżej jej powierzchni. Krawędziom doliny Pasłęki towarzyszą tarasy zalewowe. Według *Szczegółowej mapy geologicznej Polski* w skali 1:50 000 (arkusz Dobry) na obszarze stanowiska występują ily i mułki zastoiskowe (ryc. 7)¹¹.

Część A grodziska zajmuje cypel zbudowany z osadów zastoiskowych (jeziorno-lodowcowych), otoczony stromymi skarpami. Szczyt wzniesienia jest stosunkowo płaski. Od wschodu grodzisko ograniczone jest rozległą doliną rzeki Pasłęki, od północy głęboką

dolinką bezimennego dopływu rzeki Pasłęki, natomiast od południa głębokim wcięciem erozyjnym, którym spływają wody opadowe do doliny Pasłęki. Od zachodu stanowisko połączone jest z równiną zastoiskową. Dokładną morfologię obszaru można zaobserwować na obrazowaniu danych ALS i przekroju morfologicznym (ryc. 5–6).

Na obszarze części A grodziska wykonano osiem wierceń sondą ręczną do głębokości 2 m w celu rozpoznania budowy geologicznej. W wiercenach zaobserwowano występowanie zastoiskowych osadów ilastych i pylasto-ilastych. Można również zaobserwować osady o większym uziarnieniu (piaski, żwiry) deponowane prawdopodobnie w czasie więk-

¹¹ Petelski i Gondek 2003.



Ryc. 7. Fragment Szczegółowej mapy geologicznej Polski z zaznaczonym stanowiskiem w Gładyszach, st. 1 (oprac. A. Lejzerowicz)

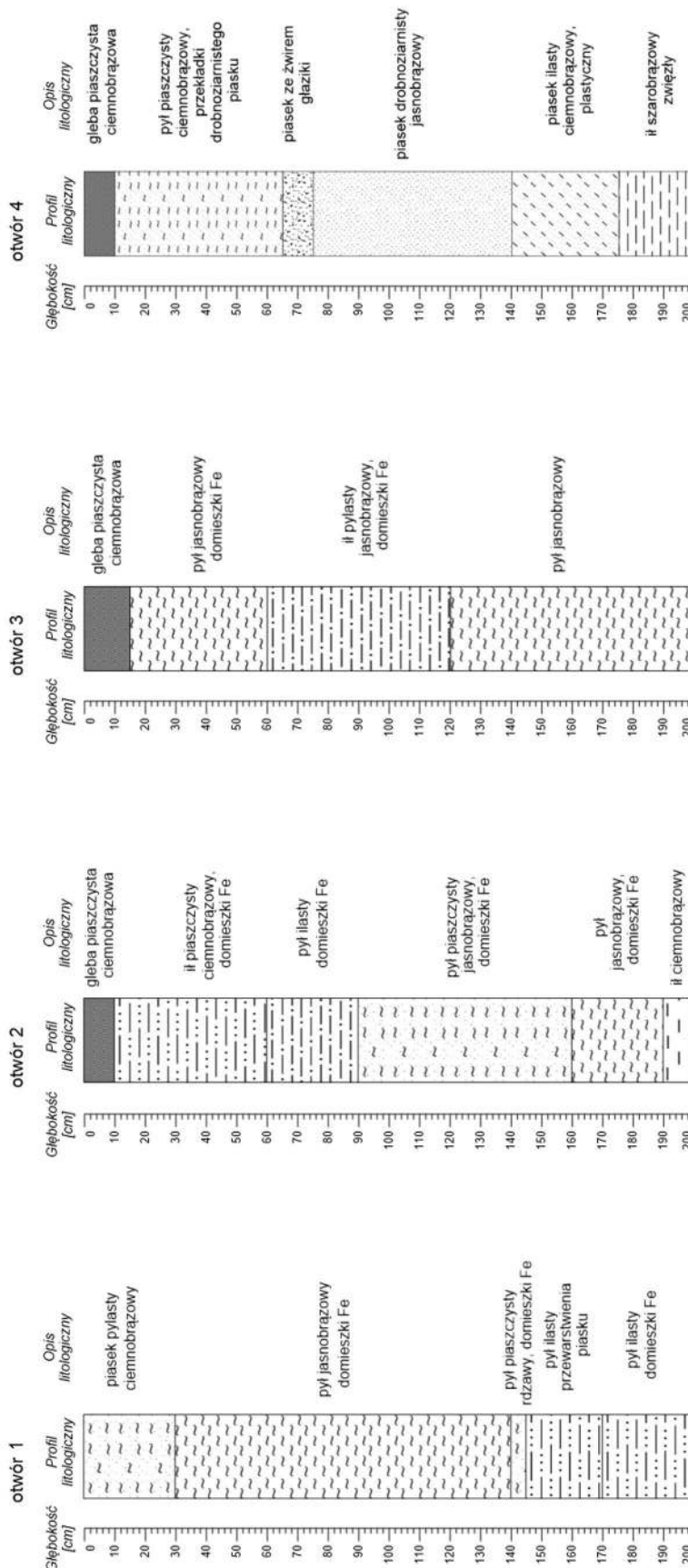
szego dopływu wód roztopowych z lodowca, które były w stanie przenieść większe frakcje. Szczegółowa litologia jest widoczna oraz została opisana na poszczególnych profilach wierceń (ryc. 8). Na podstawie wierceń stworzony został schematyczny przekrój geologiczny przez stanowisko (ryc. 10).

Na obszarze części B grodziska wykonano cztery wiercenia sondą ręczną do głębokości 2 m, aby rozpoznać budowę geologiczną (ryc. 9). Wykonane wiercenia potwierdzają obecność osadów zastoiskowych wykształconych w postaci iłów oraz iłów pylastycznych. Lokalnie iły te zwierają związki żelaza, co nadaje im rdzawe zabarwienie. W niektórych warstwach zaobserwować można również domieszkę piasku i/lub pyłu w iłach. Nawiercone iły jeziorno-lodowcowe charakteryzują się dużą zwięzłością (co bardzo utrudniało wiercenie) oraz plastycznością. Na tarasach zalewowych rzeki Pasłęki, w warstwach przypowierzchniowych znajdują się osady rzeczne

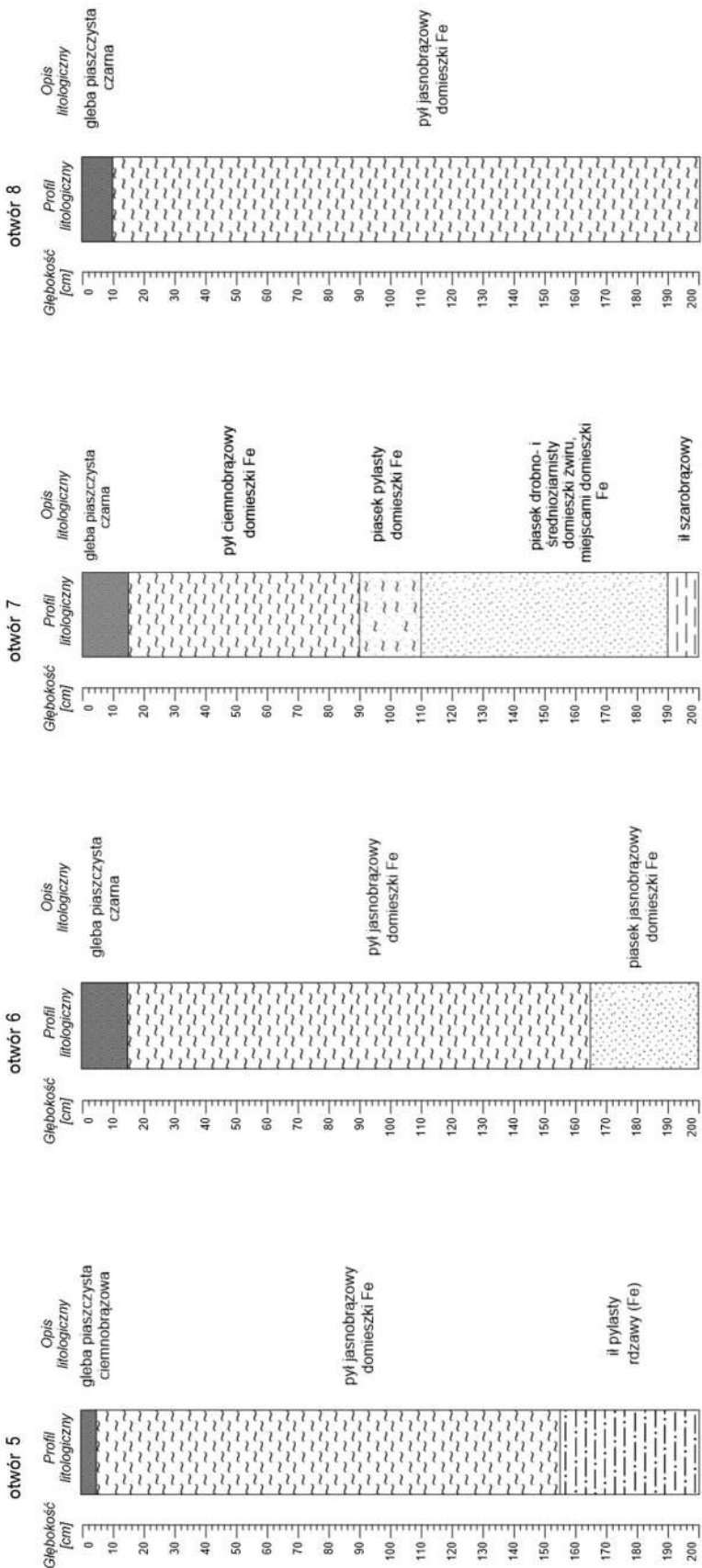
o ciemnym zabarwieniu, świadczącym o domieszkach materii organicznej.

Część B grodziska położona jest na wyraźnym wyniesieniu terenu, które od wschodu, południa i zachodu otoczone jest stromymi skarpami, których wysokości dochodzą do 24 m. Szczyt wyniesienia jest stosunkowo płaski co można zaobserwować na przekroju morfologicznym (ryc. 11). Od wschodu grodzisko ograniczone jest rozległą doliną rzeki Pasłęki, natomiast od południowego zachodu głęboką dolinką dopływu rzeki Pasłęki. Na zachodnich skarpach grodziska widoczne są dwa wcięcia erozyjne powstałe najprawdopodobniej wskutek wymywania przez wody opadowe. Od północy grodzisko połączone jest z równiną zastoiskową.

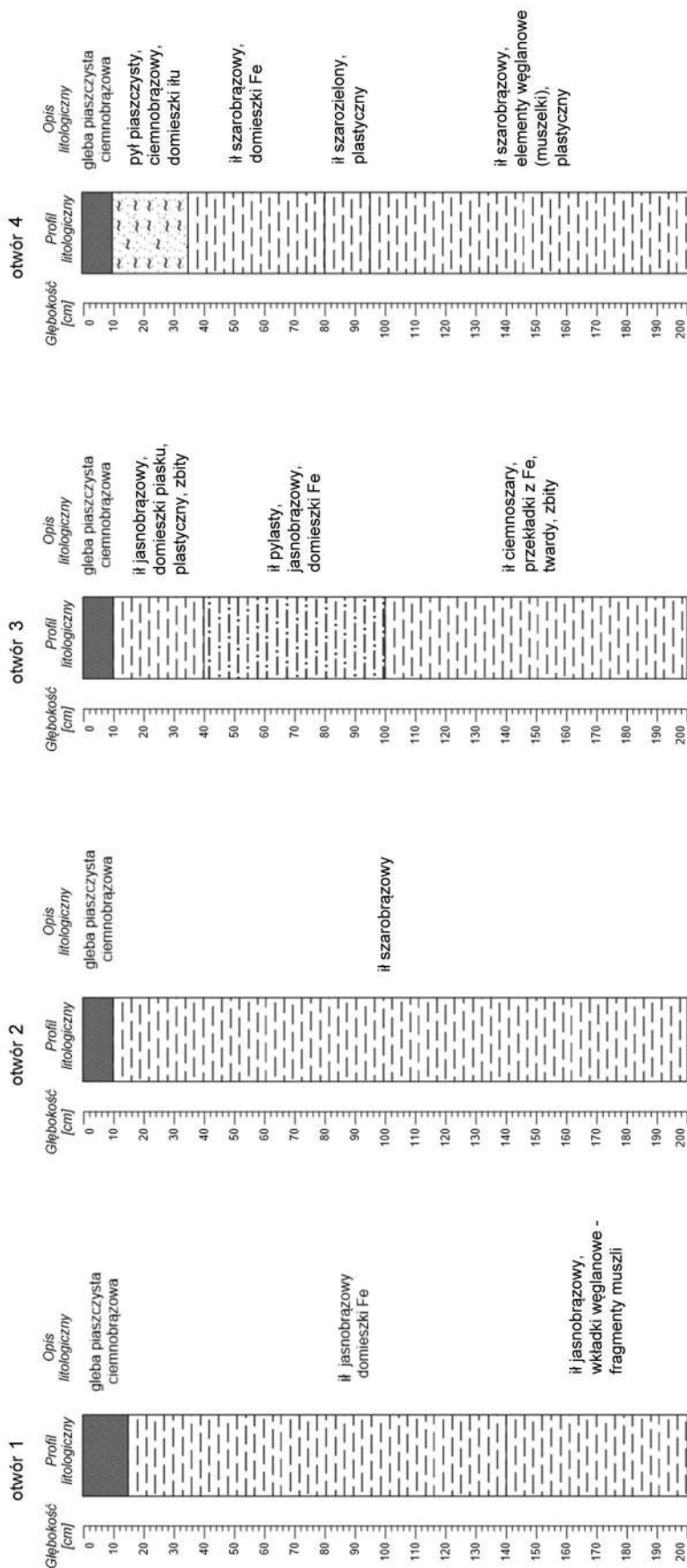
Wykonane wiercenia potwierdzają obecność osadów zastoiskowych na stanowisku, wykształconych w postaci iłów, iłów pylastycznych, iłów piaszczystych. Miejscami iły te zwierają związki żelaza co nadaje im rdzawe



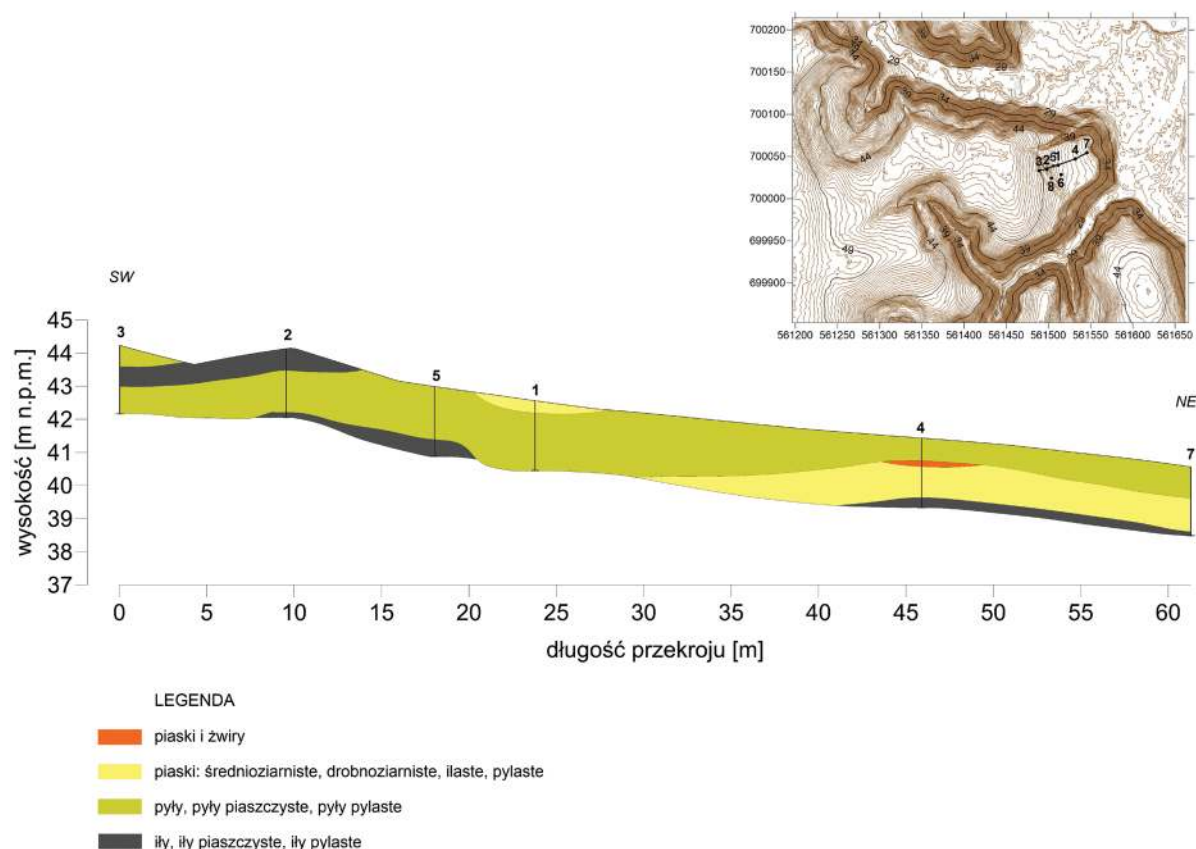
Ryc. 8. Profile litologiczne odwiertów wykonanych na obszarze części A grodziska w Gładyse, st. 1 (oprac. A. Leżerowicz)



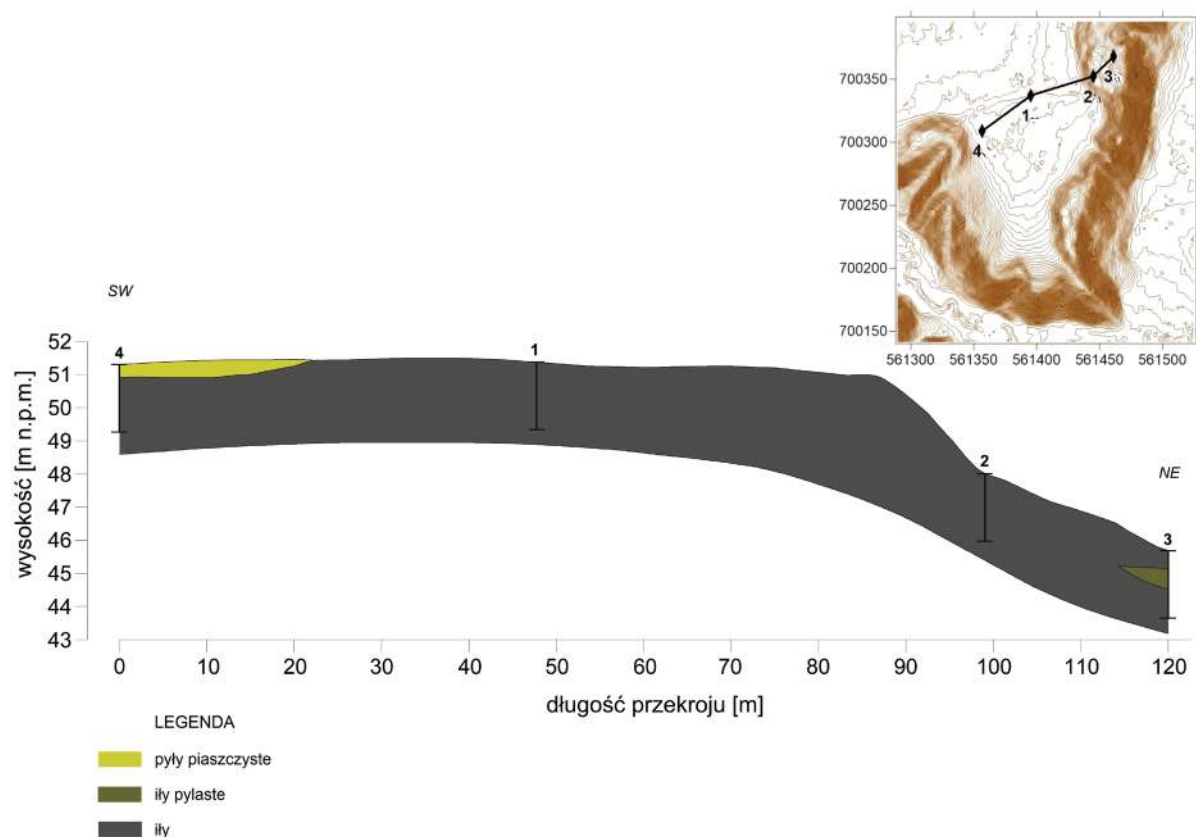
Ryc. 8. Ciąg dalszy



Ryc. 9. Profile litologiczne odwiertów wykonanych na obszarze części B groduiska w Gładyse, st. 1 (oprac. A. Leżerowicz)



Ryc. 10. Schematyczny przekrój geologiczny przez część A grodziska w Gładyszach, st. 1 (oprac. A. Lejzerowicz)



Ryc. 11. Schematyczny przekrój geologiczny przez część B grodziska w Gładyszach, st. 1 (oprac. A. Lejzerowicz)

zabarwienie. Osady na tym stanowisku lokalnie charakteryzują się dużą różnorodnością i są wykształcone od żwirów, poprzez piaski, do pyłów i ilów. W niektórych warstwach zaobserwować można również okruchy skalne. Nawiercone ilły jeziorno-lodowcowe charakteryzują się plastycznością. Na tarasach zalewowych, w warstwach przypowierzchniowych w dolinie rzeki Pasłęki znajdują się osady rzeczne o ciemnym zabarwieniu, świadczącym o domieszkach substancji organicznych.

BADANIA ARCHEOLOGICZNE

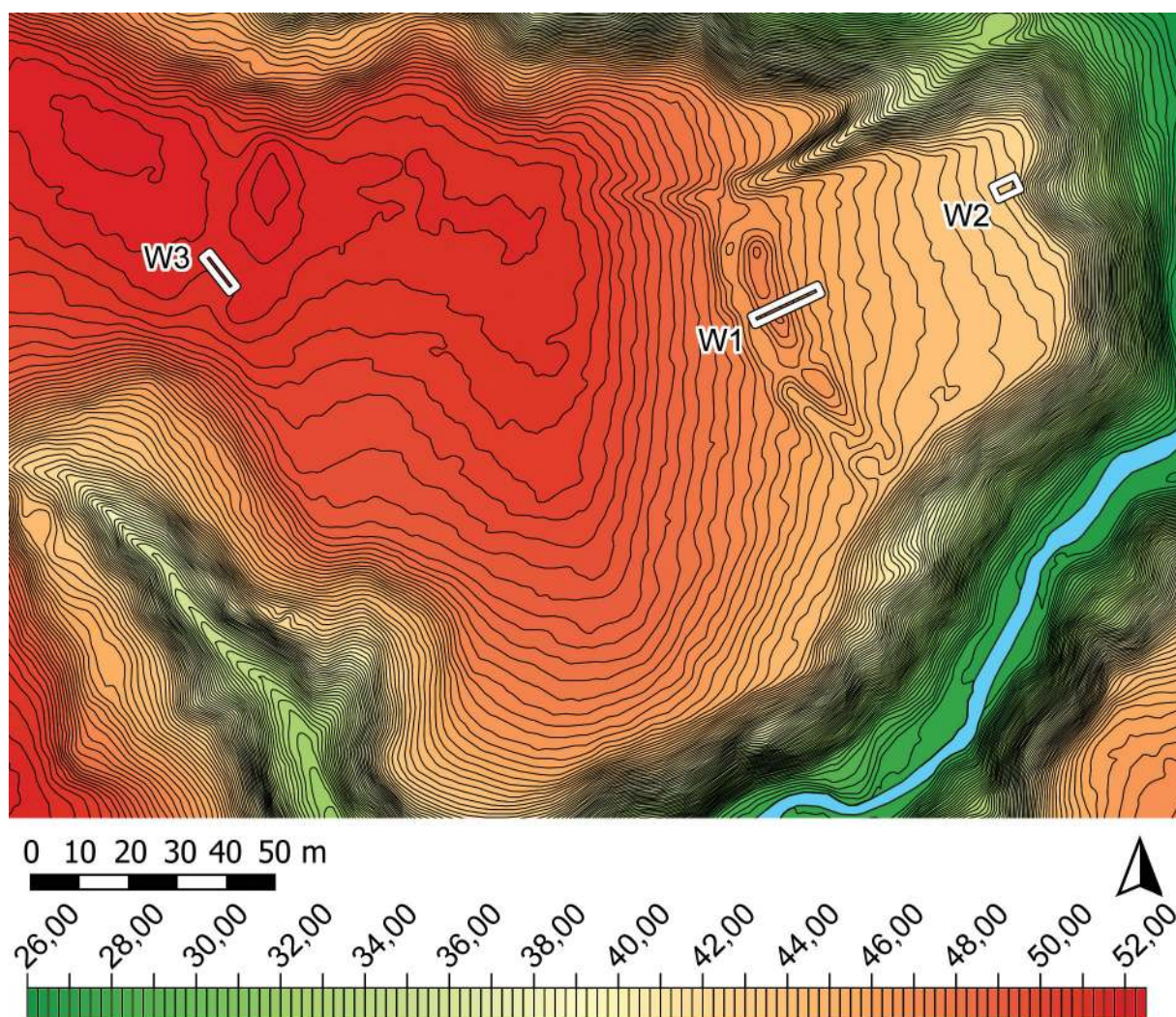
DARIUSZ WACH, DANIEL SKOCZYLAS
I KATARZYNA ZDEB

Przebieg badań terenowych

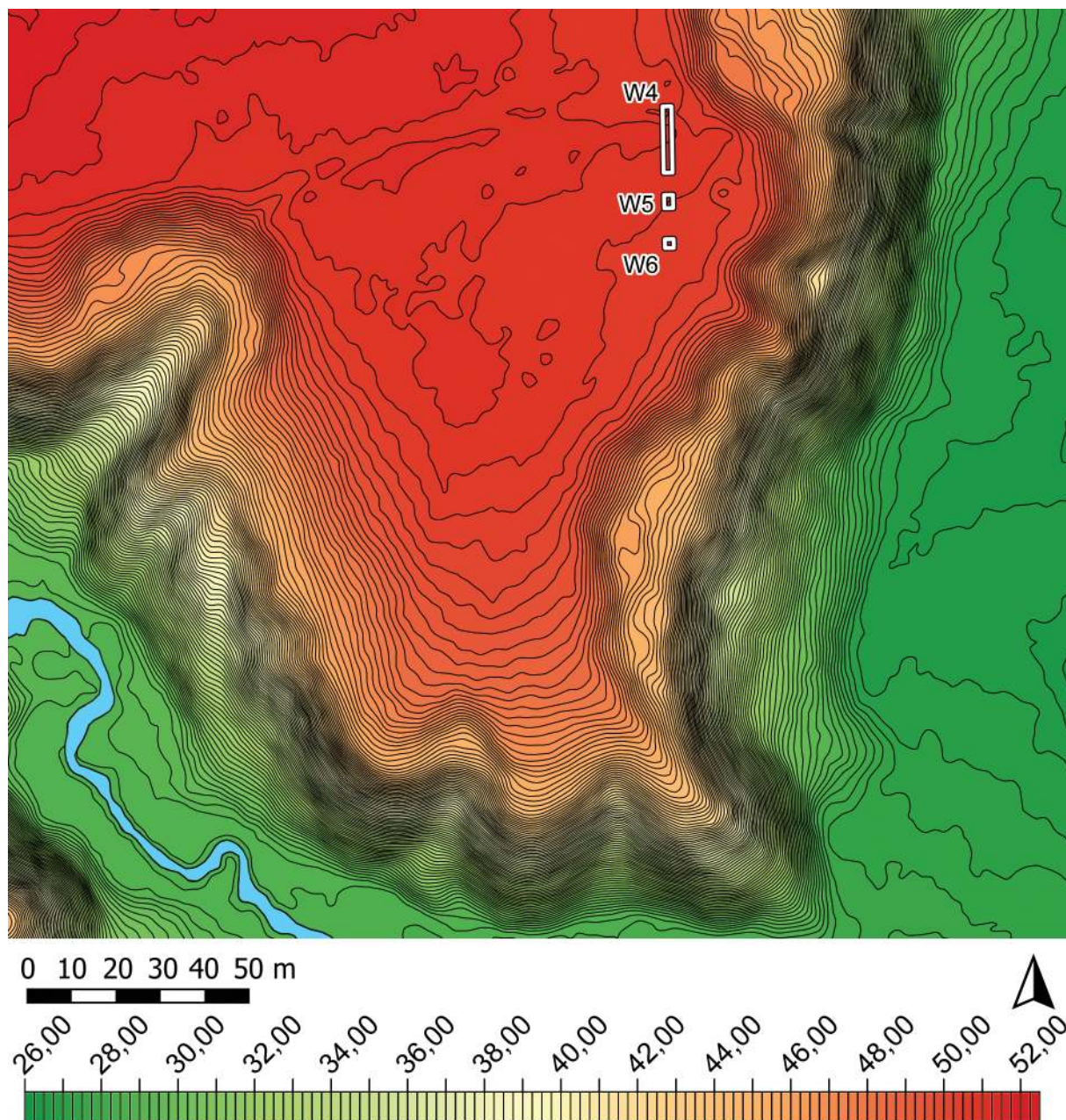
W 1987 roku dla stanowiska została sporządzona karta ewidencyjna, w której określono je jako grodzisko cyplowe, nie obwałowane, jedynie z dwoma wałami zaporowymi. W roku 1993 stanowisko zostało wpisane do rejestru

zabytków nieruchomych, a w 2015 roku odbyła się weryfikacja terenowa stanowiska¹². W roku 2019, w ramach realizacji projektu *Katalog grodzisk Warmii i Mazur*, otworzono sześć wykopów badawczych o łącznej powierzchni 101 m². Teren grodziska porasta dość gęsty las mieszany, co ograniczyło możliwość wytyczenia wykopów badawczych do kilku większych prześwitów między drzewami. Na całej powierzchni grodziska przeprowadzono badania powierzchniowe, a na części A dodatkowo badania geofizyczne. Wykop 1 (W1) o wymiarach 2×15 m usytuowany w części A grodziska, tak by przecinał fosę,ewnętrzny wał i częściowo majdan grodziska. W miejscu odkrycia skupiska fragmentów naczyń ceramicznych, na wschodnim obrzeżu części A grodziska, otworzono wykop 2 (W2) o wymiarach 3×5 m. Wykop 3 (W3), o wymiarach 2×8 m, ulokowano na zewnętrznym wale części A grodziska (ryc. 12). Wykop 4 (W4),

¹² Informacje z teczki stanowiska w Archiwum WUOZ w Elblągu.



Ryc. 12. Plan sytuacyjno-wysokościowy części A grodziska w Gładyszach, st. 1 z rozmieszczeniem wykopów (na podstawie danych materiałów GUGiK, oprac. R. Solecki)



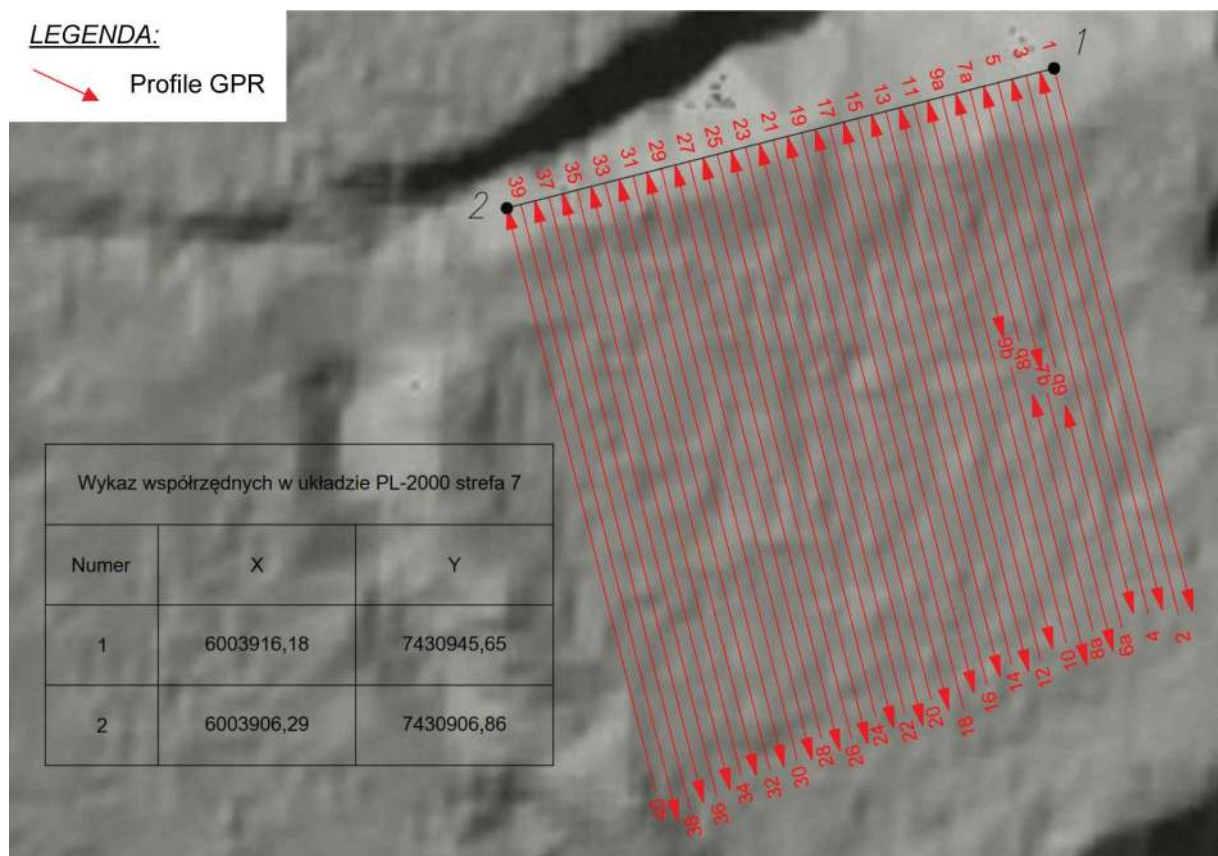
Ryc. 13. Plan sytuacyjno-wysokościowy części B grodziska w Gładyszach, st. 1 z rozmieszczeniem wykopów (na podstawie danych materiałów GUGiK, oprac. R. Solecki)

o wymiarach 2×15 m, wytyczono w części B grodziska, w taki sposób, aby przeciął on wał, zagłębienie przy wale oraz majdan. Na osi W4 założono dwa kolejne wykopy: wykop 5 (W5), o wymiarach 2×3 m, założono w odległości 5 m na południe od W4, wykop 6 (W6), o wymiarach 2×2 m, założono w odstępie 7 m od W5 (ryc. 13).

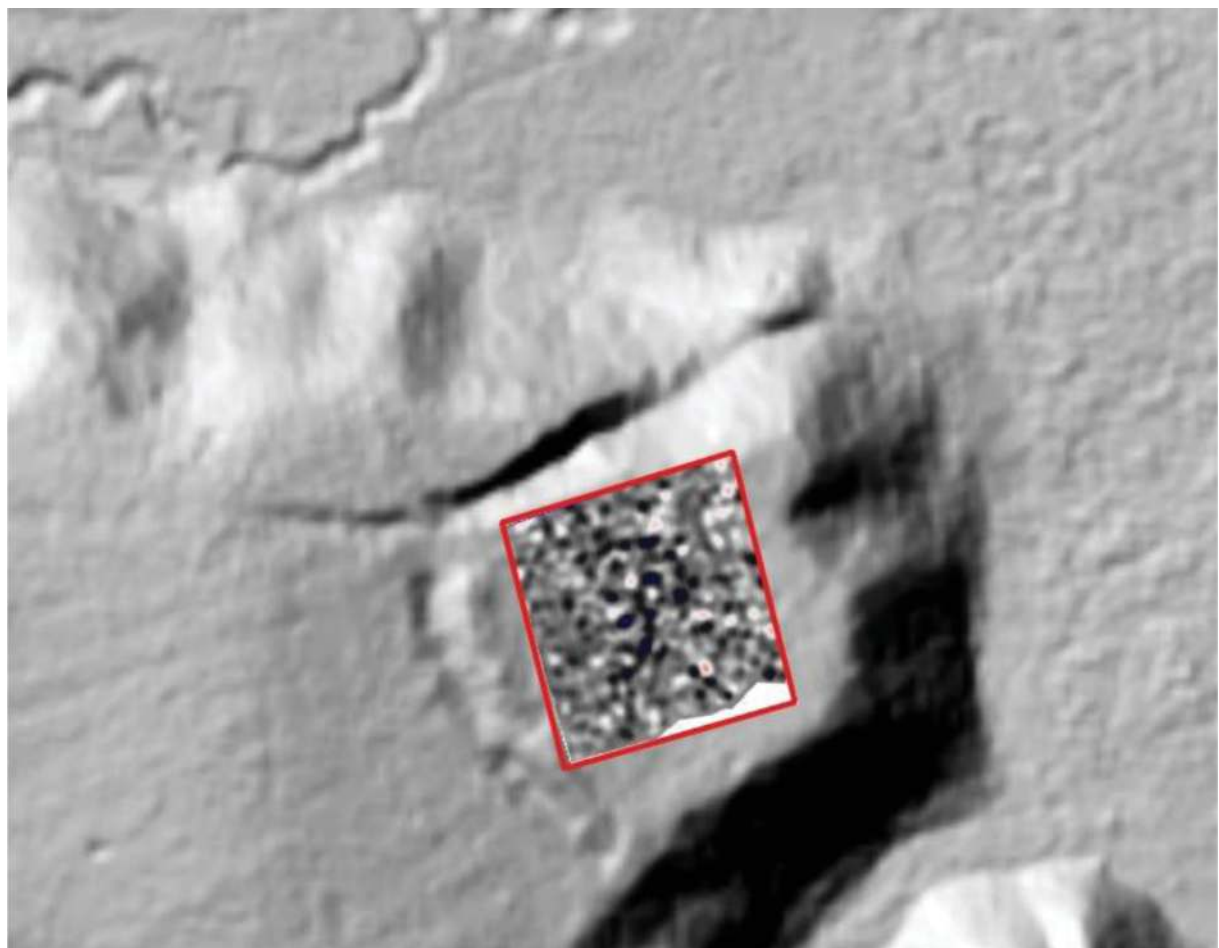
Badania geofizyczne przeprowadzono na obszarze majdanu grodziska w części A, za pomocą georadaru VIY-300 z anteną ekranowaną o częstotliwości 300 MHz firmy Transient Technologies¹³. W trakcie prospekcji geofizycznej wykonano łącznie 40 echogramów

o długości 36 m odległych od siebie o 1 m. Objeły one obszar 1440 m² (ryc. 14). Wyniki badań zwizualizowano w formie planów na kolejnych, cięciach głębokościowych, a następnie anomalie z kolejnych planów naniesiono na wspólny plan (ryc. 15). Zaobserwowano liczne anomalie na całym badanym obszarze majdanu, ze szczególnym uwzględnieniem wschodniej części, gdzie anomalie były najsilniejsze. Badania georadarowe wsparto również prospekcją wykrywaczem metali, w wyniku której zidentyfikowano we wschodniej części majdanu obiekty związane z działaniami z czasów II wojny światowej – w tym liczne odłamki bomb lotniczych.

¹³ Adamiec, Czernic i Zdeb 2019: 7.



Ryc. 14. Gładysze, st. 1. Plan części A grodziska z naniesionymi zasięgami prospekcji nieinwazyjnych (oprac. P. Czernic)



Ryc. 15. Gładysze, st. 1. Wyniki badań georadarowych w części A grodziska, zwizualizowane w formie planu kumulacyjnego anomalii (oprac. J. Adamiec i K. Zdeb)

Stratygrafia stanowiska

W trakcie badań archeologicznych wydzielono łącznie 42 jednostki stratygraficzne (tabela 1), które podzielono na siedem głównych faz związkanych z użytkowaniem tego obszaru (ryc. 16–20). W części A stanowiska znajdują się jednostki 1–27, a w części B jednostki 28–42.

Warstwy naturalne

Na terenie grodziska w Gładyszach, st. 1 zidentyfikowano następujące warstwy naturalne – w W1: jasny pylasty drobnoziarnisty piasek 13, gliniaste iły miejscami przecięte wytrąceniami żelazistymi 12 oraz zanikającą w stronę majdanu, dość jednorodną, twardą, żółtobrązową ziemię 11 z bladobrązowymi przebarwieniami, w W2: warstwę bladego, sypkiego, drobnoziarnistego piasku 20, w W3: bladoszarą zbitą glinę 27, w W4–6: plastyczną glinę z wytrąceniami węglanu wapnia i żelazistymi smugami, a także z występującymi miejscowo soczewkami piasku 34.

Faza I

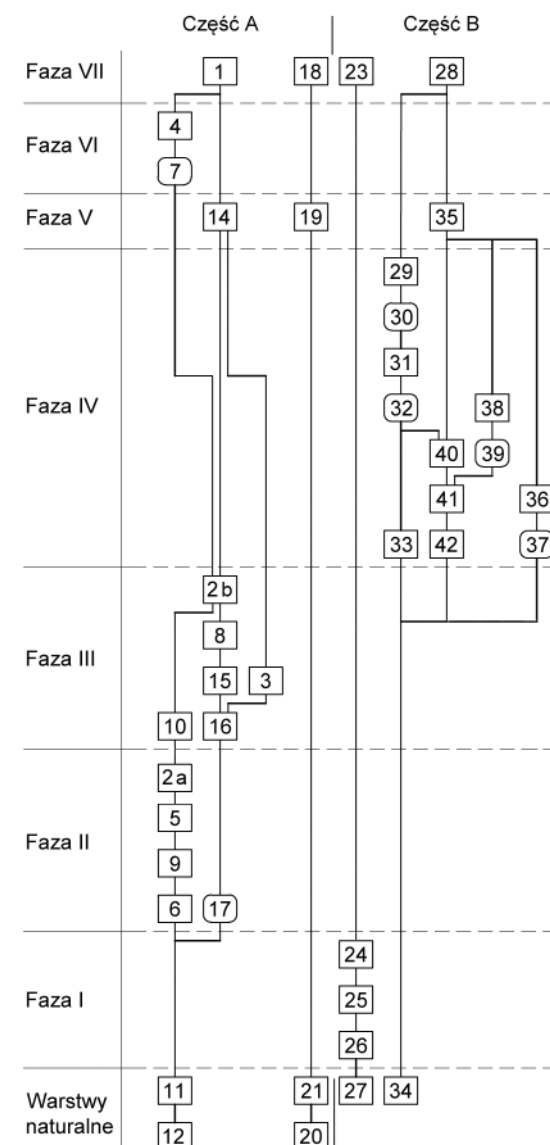
Najstarszą fazą zagospodarowania obszaru stanowiska, w jego części A, było usypanie w miejscu naturalnego przewężenia cypla niskiego, szerokiego, wału wydzielającego obszar grodziska. Działania te można datować na schyłek epoki brązu i początek wczesnej epoki żelaza, zapewne na okres halsztacki D. Z horyzontem tym należy wiązać warstwy zbitej, twardej gliny 24, 25 i 26, występujące w W3, będące reliktami nasypu wału. Z warstwy 25 pobrano próbę węgla drzewnego do analizy radiowęglowej. Wynik tej analizy dał po kalibracji przedział lat 783–517 p.n.e. z prawdopodobieństwem 95,4%¹⁴.

Faza II

Na wczesną epokę żelaza, najprawdopodobniej na okres lateński A–B, można datować kolejną fazę użytkowania stanowiska. Z okresem tym można wiązać wykopanie w części A stanowiska fosy oraz usypanie wewnętrznego wału.

W obrębie W1 z tą fazą związany jest wkop 17 znajdujący się u podstawy wału od strony zewnętrznej oraz warstwy tworzące nasyp wału. Podstawą wału jest piaszczysto-ilasta ziemia, dość jednorodna, barwy oliwkowo-

brązowej 6. Jej miąższość dochodzi do 30 cm. Nad nią znajdują się dwie kolejne warstwy nasypowe: niejednorodna, ilasto-piaszczysta ziemia barwy bladobrązowej i brązowej 9, mająca miąższość dochodzącą do 40 cm oraz iły koloru od jasnego, oliwkowobrązowego do ciemnego, żółtobrązowego 5. Największa miąższość tej warstwy dochodzi do 60 cm. Najmłodszym nasypem wału jest żółtawobrązowa, jednorodna, piaszczysto-ilasta ziemia 2a. Miała ona miąższość od 10 do 40 cm. Znajduje się na całej powierzchni szczytu wału i przechodzi na jego zboczach i części majdanu w warstwę erozyjną 2b. Badane struktury wału w swoim pierwotnym założeniu zachowały się do wysokości około 100 cm. Z warstwy 9 pobrano próbę węgla drzewnego do analizy radiowęglowej. Wynik tej analizy dał



Ryc. 16. Gładysze, st. 1. Diagram relacji stratygraficznych (oprac. D. Wach, D. Skoczyłas i K. Zdeb.)

¹⁴ Analiza przeprowadzona w Poznańskim Laboratorium Radiowęglowym, próba nr Poz-117826.

po kalibracji przedział lat 388–204 p.n.e. z prawdopodobieństwem 95,4%¹⁵.

Faza III

Fazę tę należy wiązać z opuszczeniem grodu i częściowym zerodowaniem wałów oraz akumulacją warstw spływowych w fosie. Jednostki te należy datować na czasy po okresie lateńskim A-B, ale przed okresem średniowiecza. Od strony majdanu pozostałością zerodowanego wału jest warstwa 10, przylegająca do warstwy 6. Warstwa ta ma miąższość do 30 cm i tworzy ją jednorodna ilasta, brązowa ziemia. Nad nią zalega kolejna warstwa spływowowa, występująca również po drugiej stronie wału, od strony fosy. Jest to jednorodna, piaszczysto-ilasta ziemia koloru żółtawobrązowego 2b, o miąższości dochodzącej do 50 cm. Pod nią, w obrębie badanej fosy, znajdują się warstwy agradacyjne. Tworzą je ilasta glina 15, mająca miąższość około 15 cm, przylegająca do niej warstwa piaszczysto-ilasta, koloru żółtobrązowego 16, warstwa ilasto-piaszczysta 8 o miąższości 20 cm oraz ilasta, lekko ogliniona, ciemna, żółtawobrązowa 3 o miąższości do 40 cm. Warstwy te częściowo niszczy i rozdziela spływ w rynnie erozyjnej tworzący warstwę 14.

Procesem erozyjnym poddane zostały również warstwy tworzące wał zewnętrzny w W3. Z tego względu jego pierwotna forma nie jest czytelna i nie jest możliwe jednoznaczne określenie jego wysokości i granic.

Faza IV

Fazę tę należy wiązać z użytkowaniem stanowiska w okresie wczesnego średniowiecza.

W części B stanowiska powstał w tym czasie wał, który tworzyły jednostki zadokumentowane w W4: lekko gliniasty piasek 42 z żelazistymi wytrąceniami, piaszczysta, zbita glina 41 z pojedynczymi drobinami węgli drzewnych oraz zbity, gliniasty piasek 40. Z warstwy 41 pobrano próbę węgla drzewnego do analizy radiowęglowej. Wynik tej analizy dał po kalibracji przedział lat 1037–1207 p.n.e. z prawdopodobieństwem 95,4%¹⁶.

Nasyp wału powstał najpewniej z materiału pobieranego z formowanej równocześnie fosy 32 i zagłębienia przywałowego 39.

Wypełniskiem fosy był lekko ziemisty, gliniasty piasek 31, a zagłębienia przywałowego przemieszana, piaszczysta glina 38. Na pewnym etapie funkcjonowania umocnień starsza fosa została pogłębiona. Śladem tego działania jest rów 30 o takim samym układzie, co starsza fosa. Wypełniskiem rowu 30 była ziemista, zwarta glina 29.

Z okresem funkcjonowania umocnień w części B należy także łączyć warstwę gliniastego piasku 33 występującą na przedpolu fosy oraz uchwycony fragmentarycznie nieckowaty wkop szerokości co najmniej 330 cm i głębokości do 45 cm, którego wypełniskiem była tłusta glina 36. Obiekt ten zadokumentowano na obszarze majdanu, a jego funkcja nie została określona.

W części A stanowiska nie odsłonięto jednostek startygraficznych, które można by łączyć ewidentnie z przysposobieniem starszych umocnień. Nie można jednak wykluczyć, że umocnienia z tego okresu uległy zniszczeniu. Na obszarze majdanu, w W2, procesy erozyjne oraz gospodarka leśna doprowadziły do powstania warstwy drobnoziarnistego piasku 19 i 22, o miąższości dochodzącej do 50 cm. Jest to warstwa zapewne zniszczonego poziomu użytkowego z okresem średniowiecza. Może o tym świadczyć znalezienie w niej fragmentów naczyń ceramicznych z różnych okresów chronologicznych, w tym wczesnośredniowiecznych, które w tej części nie występowały w starszych jednostkach startygraficznych.

Faza V

Fazę tę należy wiązać z procesami erozyjnymi, które miały miejsce na obszarze stanowiska po okresie średniowiecza, do około połowy XIX wieku. W części A stanowiska, w W1, były to niejednorodne, naprzemianległe warstwy ciemnej i jasnej piaszczystej, piaszczysto ilastej i ilastej ziemi 14. W W2 był to już wspomniany jasny, drobnoziarnisty piasek 19. W części B stanowiska, w W4, W5 i W6, do fazy tej przypisano poziom, który tworzył gliniasty piasek 35.

Faza VI

Do fazy tej zaliczono tylko jeden obiekt – prostokątny w planie wkop 7, zadokumentowany na szczytce wału wewnętrznego, w W1. Wypełnisko wkopu tworzy warstwa ciemnobrązowej, piaszczystej, jednorodnej ziemi 4. Wkopalnia miał głębokość 1,2 m, a długość

¹⁵ Analiza przeprowadzona w Poznańskim Laboratorium Radiowęglowym, próba nr Poz-121116.

¹⁶ Analiza przeprowadzona w Poznańskim Laboratorium Radiowęglowym, próba nr Poz-117176.

Tabela 1. Gładysze, st. 1. Katalog warstw i obiektów oraz ich zależności stratygraficznych (oprac. D. Wach, D. Skoczyłas i K. Zdeb)

Numer jednostki	Numer obiektu	Numer wykopu	Położenie w obrębie stanowiska	Współrzędne siatki (PUWG 1992)	Opis jednostki stratygraficznej	Barwa (Munsell)	Pozycja stratygraficzna	
							Znajduje się pod	Znajduje się nad
1	-	1	Część A; wał wewnętrzny i fosa	X=700031,7-700039,9; Y=561493,5-561508,0	Ciemna, próchnicza ziemia; humus leśny	10YR 2/2	-	2a, 2b, 3, 4, 14
2a	-	1	Część A; wał wewnętrzny i fosa	X=700035,2-700035,4; Y=561497,1-561501,8	Jednorodna, piaszczysto-ilasta ziemia (bardzo podobna do niżej leżących warstw); miąższość od 10 do 50 cm; znalezione w niej 2 bardzo małe fragmenty ceramiki; warstwa podhumusowa z górnej partii nasypu wału i jego zboczy	10YR 5/3	1, 2b, 7	5, 9
2b	-	1	Część A; wał wewnętrzny i fosa	X=700034,0-700039,9; Y=561492,7-561508,0	jednorodna, piaszczysto-ilasta ziemia (bardzo podobna do niżej leżących warstw); miąższość od 10 do 50 cm; znalezione w niej 2 bardzo małe fragmenty ceramiki; warstwa podhumusowa z górnej partii nasypu wału i jego zboczy	10YR 5/4	1, 14	2a, 5, 6, 8, 9, 10, 15
3	-	1	Część A; wał wewnętrzny i fosa	X=700031,7-700033,6; Y=561493,5-561494,6	Ilasta, lekko zgłoniona ziemia o miąższości do 40 cm; warstwa erozyjna z zachodniego stoku fosy oddzielającej najbardziej wysuniętą (wschodnią) część cypla od jego reszty	10YR 4/4	1, 14	16
4	7	1	Część A; wał wewnętrzny i fosa	X=70035,6-700037,2; Y=561499,8-561501,8	Miękką, piaszczystą, dość jednorodną ziemią; wypełnisko wkopu 7 ze szczytu wału	10YR 3/2, 6/6	1	7
5	-	1	Część A; wał wewnętrzny i fosa	X=700035,3-700037,1; Y=561497,7-561502,1	Niejednorodna, przemieszana ilasta ziemia z inkluzjami jaśniejszymi i ciemniejszymi; miąższość do 60 cm, stopniowo zanika w kierunku fosy i majdanu; warstwa nasypowa z centralnej partii wału i częściowo jego zboczy	2,5Y 5/4, 10YR 4/4, 10YR 5/6	2a, 2b	9
6	-	1	Część A; wał wewnętrzny i fosa	X=700033,1-700037,9; Y=561496,5-561503,8	Dość jednorodna, ilasta ziemia; miąższość do 40 cm; znalezione w niej fragment ceramiki; warstwa nasypowa z dolnej partii wału	2,5Y 5/3, 2,5Y 6/4	2b, 9	11
7	7	1	Część A; wał wewnętrzny i fosa	X=700035,6-700037,2; Y=561499,8-561501,8	Wkop (współczesny?) na szczytce wału; wypełniony ziemią 4; obiekt w widocznej części miał w planie regularnie prostokątny kształt (część wychodzi poza granicę N wykopu 1), ściany regularnie pionowe, dno płaskie; zaobserwowana długość boków wynosiła 155 cm i 120 cm, głębokość 120 cm	-	4	2a
8	17	1	Część A; wał wewnętrzny i fosa	X=700032,5-700034,9; Y=561495,2-561497,2	Dość jednorodny, jasny, pylasty il, twardy, ścisły; warstwa erozyjna	10YR 6/3, 5/4	2b	11, 12, 15, 17
9	-	1	Część A; wał wewnętrzny i fosa	X=700033,3-700037,5; Y=561497,0-561503,0	Niejednorodna, ilasto-piaszczysta ziemia z przebarwieniami jaśniejszymi i ciemniejszymi; miąższość do 40 cm, stopniowo zanika w kierunku fosy i majdanu; warstwa nasypowa ze środkowej partii wału i częściowo jego zboczy	10YR 7/4, 5/3	2a, 2b, 5	6
10	-	1	Część A; wał wewnętrzny i fosa	X=700036,0-700039,9; Y=561502,6-561508,0	Jednorodna ilasta ziemia; miąższość do 30 cm, zanika w dolnej partii wału; w jej stropie (w strefie przemieszania z niżej leżącą warstwą 6) znaleziono fragment ceramiki; warstwa z dolnej, wewnętrznej, skrajnej partii wału i przywałowego obszaru majdanu	10YR 7/4, 5/3	2b	6, 11, 12
11	-	1	Część A; wał wewnętrzny i fosa	X=700033,0-700038,6; Y=561496,6-561505,2	Dość jednorodna, jasna, pylasta, twarda, ścisła ziemia; miąższość do 35 cm, zanika w stronę majdanu; warstwa nadcalowa występująca poniżej nasypu wału	10YR 6/3, 5/4	6, 8, 10	12, 13
12	-	1	Część A; wał wewnętrzny i fosa	X=700031,7-700039,9; Y=561493,5-561508,0	Warstwy ciemnej, gliny, gliniastego piasku, gliniastego ilu oraz laminacji piasku z żelazistymi wytrąceniami; warstwa naturalna	10YR 4/6, 4/4, 6/4, 7,5Y 4/6	8, 10, 11, 15, 16	13
13	-	1	Część A; wał wewnętrzny i fosa	X=700031,7-700039,9; Y=561493,5-561508,0	Naprzemianległe warstwy ilów oraz piaszczystych ilów z brązowymi, żelazistymi wytrąceniami; warstwa naturalna	10YR 4/4, 4/6, 6/4, 7,5Y 4/5	12	-
14	-	1	Część A; wał wewnętrzny i fosa	X=700031,7-700034,0; Y=561493,6-561495,4	Niejednorodne, przewarstwione w pionie, neregularne naprzemiennie warstwy ciemne i jasne piaszczystej, piaszczysto-ilastej i ilastej ziemi; granice pionowe słabe czytelne; miąższość do 40 cm; warstwa spływu erozyjnego występująca w fosie 1 na wałe wewnętrzny od strony fosy	10YR 4/2, 4/4, 6/6	1	2b, 3
15	17	1	Część A; wał wewnętrzny i fosa	X=700032,1-700034,7; Y=561494,4-561496,9	Warstwy ilaste i ilasto-gliniaste; miąższość do 15 cm; soczewka występująca lokalnie na zewnętrznym skraju podstawy wału	10YR 5/4, 5/8	2b, 8	12, 17
16	17	1	Część A; wał wewnętrzny i fosa	X=700031,7-700033,8; Y=561493,5-561495,0	Naprzemianległe frakcje ilów i piaszczystych ilów; miąższość do 20 cm; soczewka występująca lokalnie na zewnętrznym skraju podstawy wału	10YR 6/2, 5/4	3, 14	12, 17
17	17	1	Część A; wał wewnętrzny i fosa	X=700031,7-700034,9; Y=561493,5-561497,3	Wkop pod fosę	-	8, 15, 16	6, 11, 12

Tabela 1. Ciąg dalszy

Numer jednostki	Numer obiektu	Numer wykopu	Położenie w obrębie stanowiska	Współrzędne siatki (PUWG 1992)	Opis jednostki stratygraficznej	Barwa (Munsell)	Pozycja stratygraficzna
						Znajduje się pod	Znajduje się nad
18	-	2	Część A: majdan	X=700057,3-700062,2; Y=561542,9-561548,7	Giemna, luźna, piaszczysta, sypka ziemia poprzerasta drobnymi korzeniami; miąższość 20-30 cm; humus leśny	10YR 4/2	- 19, 22
19	-	2	Część A: majdan	X=700057,8-700062,2; Y=561543,9-561548,7	Jasny, drobnoziarnisty piasek; miąższość 50 cm; warstwa erozyjna	10YR 4/4	18 20
20	-	2	Część A: majdan	X=700057,8-700062,2; Y=561543,9-561548,7	Sypki, drobnoziarnisty piasek; warstwa naturalna	2.5Y 6/4	21, 20, 22 -
21	-	2	Część A: majdan	X=700058,9-700050,5; Y=561543,4-561544,4	Sypki, drobnoziarnisty piasek; miąższość 25-35 cm; warstwa naturalna	2.5Y 8/2	18 20
22	-	2	Część A: majdan	X=700057,3-700059,2; Y=561543,3-561545,1	Drobnoziarnisty piasek; miąższość do 55 cm; warstwa erozyjna	10YR 3/4	18 20
23	-	3	Część A: wał zewnętrzny	X=700038,4-700046,7; Y=561381,1,9-561388,2	Zbita, gliniasta ziemia poprzerasta korzeniami drzew i krzewów; miąższość do 30 cm; humus leśny	10YR 3/2	- 24
24	-	3	Część A: wał zewnętrzny	X=700038,4-700046,7; Y=561381,1,9-561388,2	Zbita glina z widocznymi rdzawymi wtrętami; miąższość do 20 cm; jeden z nasypów wału zewnętrznego	10YR 5/4	24 25, 27
25	-	3	Część A: wał zewnętrzny	X=700038,4-700046,7; Y=561381,1,9-561388,2	Zbita glina z widocznymi wytrącaniami żelazistymi; miąższość do 20 cm; jeden z nasypów wału zewnętrznego	10YR 6/3	24 26, 27
26	-	3	Część A: wał zewnętrzny	X=700038,4-700046,7; Y=561381,1,9-561388,2	Zbita glina; miąższość do 10 cm; jeden z nasypów wału zewnętrznego	5Y 8/6	25 27
27	-	3	Część A: wał zewnętrzny	X=700038,4-700046,7; Y=561381,1,9-561388,2	Zbita glina; warstwa naturalna	2.5Y 6/1	25, 26 -
28	-	4, 5, 6	Część B; fosa, wał i majdan	X=700309,0-700341,2; Y=561430,3-561433,1	Ziemia; humus leśny	2,5Y 3/2	-
29	30	4	Część B; fosa	X=700336,5-700340,1; Y=561430,3,9-561432,6	Ziemista, zwarta glina; wypełnisko obiektu 30	5Y 4/1	28 30
30	30	4	Część B; fosa	X=700336,5-700340,1; Y=561430,3,9-561432,6	Wkop w formie rowu, U-kształtny w profilu; szerokość do 110 cm, głębokość do 70 cm; wkop pogłębiający fosę	-	29 31
31	31	4	Część B; fosa	X=700336,5-700340,1; Y=561430,3,9-561432,6	Lekko ziemisty, gliniasty piasek; wypełnisko obiektu 32	10YR 4/2	28, 29, 30 32
32	32	4	Część B; fosa	X=700336,5-700340,1; Y=561430,3,9-561432,6	Rynnowata niecka; szerokość do 270 cm, głębokość do 35 cm; fosa	-	31
33	-	4	Część B; fosa	X=700338,8-700341,2; Y=561430,3-561432,5	Gliniasty piasek; miąższość do 25 cm; zdegradowany poziom użytkowy z okresu funkcjonowania grodziska	10YR 5/4	28, 31, 32 34
34	-	4, 5, 6	Część B; fosa, wał i majdan	X=700309,0-700341,2; Y=561430,3-561433,1	Plastyczna glina z wytrącaniami węglanu wapnia i żelazistymi smugami, a także z występującymi miejscowo soczewkami piasku; warstwa naturalna	10YR 5/6	33 -
35	-	4, 5, 6	Część B; wał i majdan	X=700309,0-700335,8; Y=561430,3-561433,1	Gliniasty piasek poprzerastany korzeniami, miąższość do 30 cm; zdegradowany poziom użytkowy z okresu funkcjonowania grodziska	10YR 5/3	28, 31, 32 34, 36, 38, 40
36	37	4	Część B; majdan	X=700326,0-700329,5; Y=561430,5-561432,7	Tłusta glina; wypełnisko obiektu 37	7,5YR 5/8	35 37
37	37	4	Część B; majdan	X=700326,0-700329,5; Y=561430,5-561432,7	Uchwycony fragmentarycznie nieckowy wkop; szerokość co najmniej 330 cm, głębokość do 45 cm; obiekt o nieokreślonej funkcji	-	36 34
38	39	4	Część B; wał	X=700331,7-700334,8; Y=561430,4-561432,6	Przemieszana, piaszczysta glina; wypełnisko obiektu 39	2,5Y 5/6	35 39
39	39	4	Część B; wał	X=700331,7-700334,8; Y=561430,4-561432,6	Rynnowata niecka; szerokość do 250 cm, głębokość do 30 cm; zagłębianie przywałowe	-	38 34, 41

Tabela 1. Ciąg dalszy

Numer jednostki	Numer obiektu	Numer wykopu	Położenie w obrębie stanowiska	Współrzędne siatki (PUWG 1992)	Opis jednostki stratygraficznej	Barwa (Munsell)	Pozycja stratygraficzna	
							Znajduje się pod	Znajduje się nad
40	-	4	Część B; wał	X=700334,1-700338,2; Y=561430,3-561432,6	Zbity, gliniasty piasek; miąższość do 25 cm; jeden z nasypów wału	2,5Y 7/4	28, 31, 32, 35	41
41	-	4	Część B; wał	X=700334,1-700338,2; Y=561430,3-561432,6	Piaszczysta, zbita glina z pojedynczymi drobinami węgli drzewnych; miąższość do 20 cm; jeden z nasypów wału	10YR 4/1	38, 39, 40	42
42	-	4	Część B; wał	X=700334,1-700338,2; Y=561430,3-561432,6	Lekko gliniasty piasek z żelazistymi wytrąceniami; miąższość do 10 cm; jeden z nasypów wału	10YR 6/4	41	34

jego boków wynosiła co najmniej 1,5×1,2 m (wykraczał poza granice wykopu). Brak widocznej erozji oraz jednorodność wypełniska mogą świadczyć o jego współczesnym charakterze.

Faza VII

Obecny poziom użytkowy na obszarze majdanu i wału wewnętrznego tworzy warstwa humusu leśnego, oznaczonego numerem 1 w W1 i numerem 19 w W2, a na obszarze wału zewnętrznego zbita, ciemna glina 23 w W3.

ZNALEZISKA

DANIEL SKOCZYLAS I KATARZYNA ZDEB

Ceramika

W trakcie badań prowadzonych na terenie grodziska w Gładyszach, st. 1 pozyskano materiał zabytkowy w postaci 46 fragmentów naczyń ceramicznych. Zabytki pochodzą z trzech wykopów badawczych i reprezentują dwa horyzonty chronologiczne: 15 fragmentów naczyń należy wiązać z kulturą kurhanów zachodniobałtyjskich z wczesnej epoki żelaza, 19 fragmentów reprezentuje okres wcześniego średniowiecza, zaś 12 fragmentów znalezionych na powierzchni stanowiska to niecharakterystyczne małe fragmenty brzuściów, których nie przypisano do żadnego horyzontu chronologicznego (tabela 2 i 3).

Zespół fragmentów naczyń ceramicznych jest silnie rozdrobniony i zawiera się w przedziałach wielkościowych od 1 do 6 cm. Najliczniej reprezentowana jest grupa wielkościowa 3–4 cm, do której należy 31 fragmentów (67,4% całego zbioru), w tym tylko jeden fragment wylewu. Fragmenty naczyń glinianych charakteryzuje niski stopień zniszczenia powierzchni i krawędzi. Przy zastosowaniu systemu klasyfikacji zaproponowanego przez A. Buko 17 fragmentów przypisano do

kategorii III (ceramika mocno zerodowana), 3 fragmenty do kategorii II (ceramika zerodowana w średnim stopniu) i 26 fragmentów do kategorii I (ceramika nie wykazująca większego zniszczenia powierzchni)¹⁷.

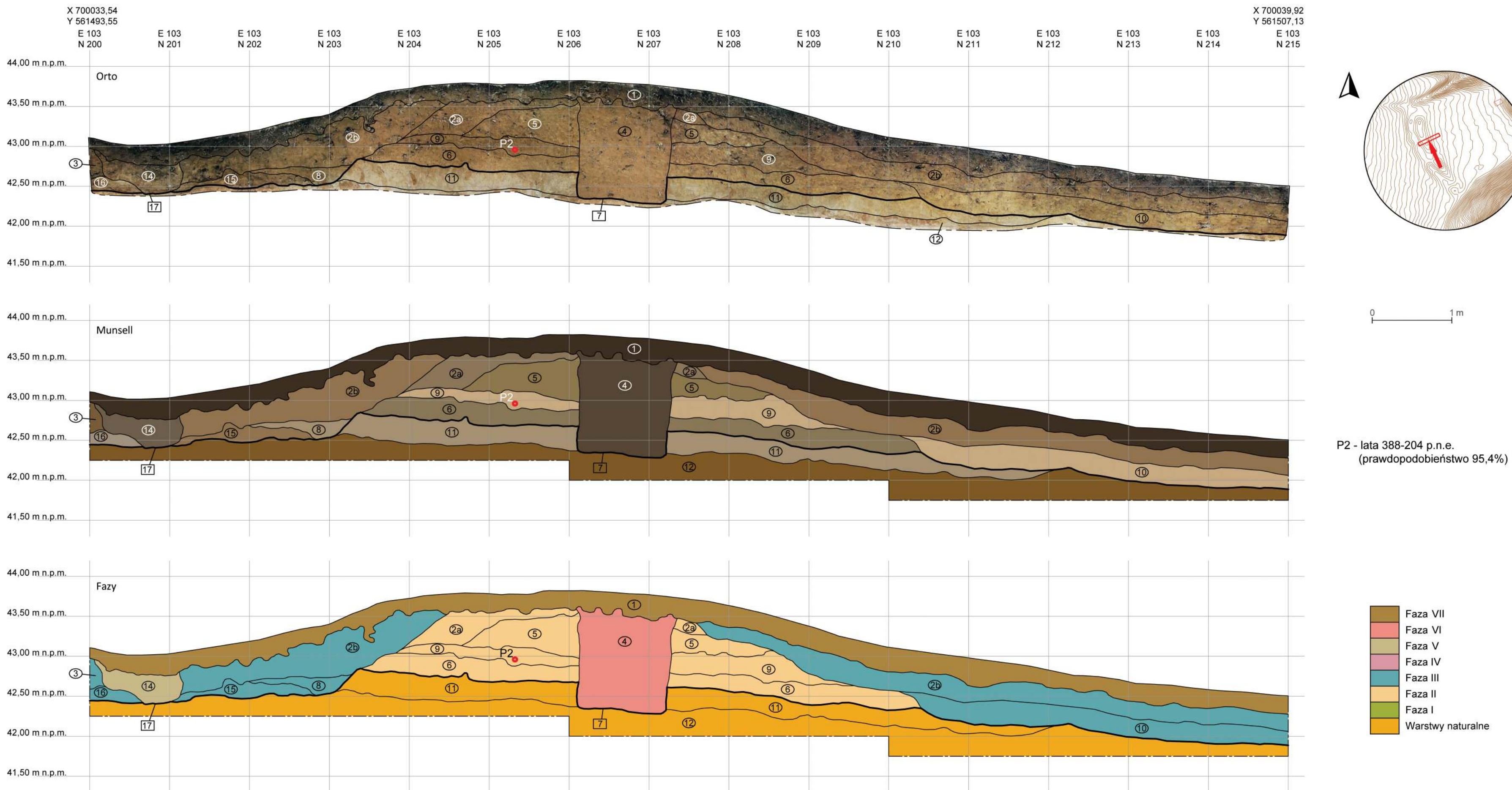
W pozyskanym zbiorze fragmentów znajduje się jedynie pięć górnych części naczyń z zachowanym wylewem. W trzech przypadkach fragmentaryczność zachowania uniemożliwia określenie średnicy naczynia. Odkryto jedną część przydenną. Pozostałe 40 fragmentów to części brzuściów (tabela 2 i 3).

Ceramika z wczesnej epoki żelaza

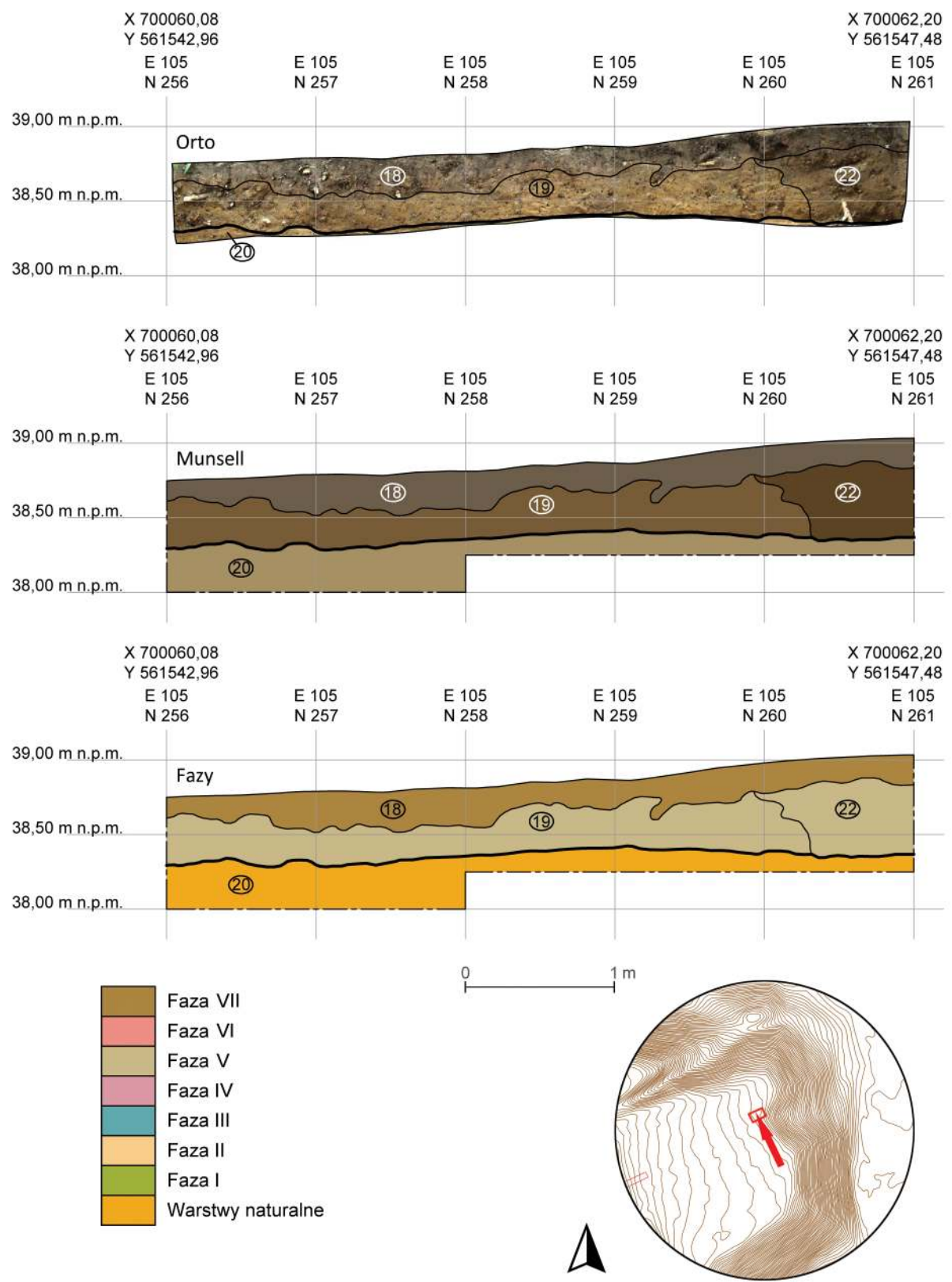
Zbiór fragmentów ceramiki, które można dawać na wczesną epokę żelaza, liczy 15 elementów. Naczynia wykonane były z masy ceramicznej zawierającej drobnoziarnistą domieszkę schudającą, głównie tłuczeń oraz śladowe ilości szamotu. Wypalano je w atmosferze utleniającej. Przełom ich był przeważnie dwubarwny, rzadziej trójbarwny. Powierzchnia zewnętrzna naczyń była najczęściej szorstka lub delikatnie zagładzana, barwy rudawej. Na dwóch fragmentach zaobserwowano ślady intencjonalnego chropowactwa. Na jednym z tych fragmentów chropowacacona była tylko dolna część, zaś górna była gładka. Na jednym fragmencie barwy czarnej zaobserwowano ślady wyściecania. Na części fragmentów widoczne są ślady po procesie wygładzania powierzchni naczyń. Zaobserwowano wielokierunkowe zarysowania powstałe w wyniku przecierania powierzchni wiązką słomy lub drobnych gałzek¹⁸. Tylko na jednym fragmencie zaobserwowano zdobienie w postaci zaszczypywania krawędzi wylewu.

¹⁷ Buko 1990: 352.

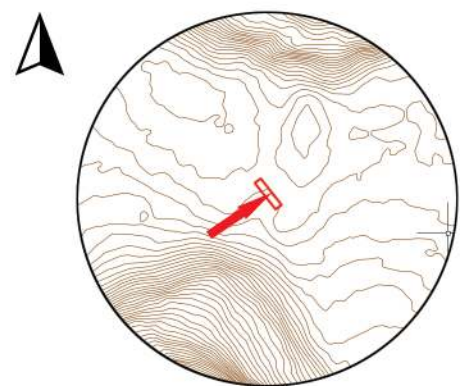
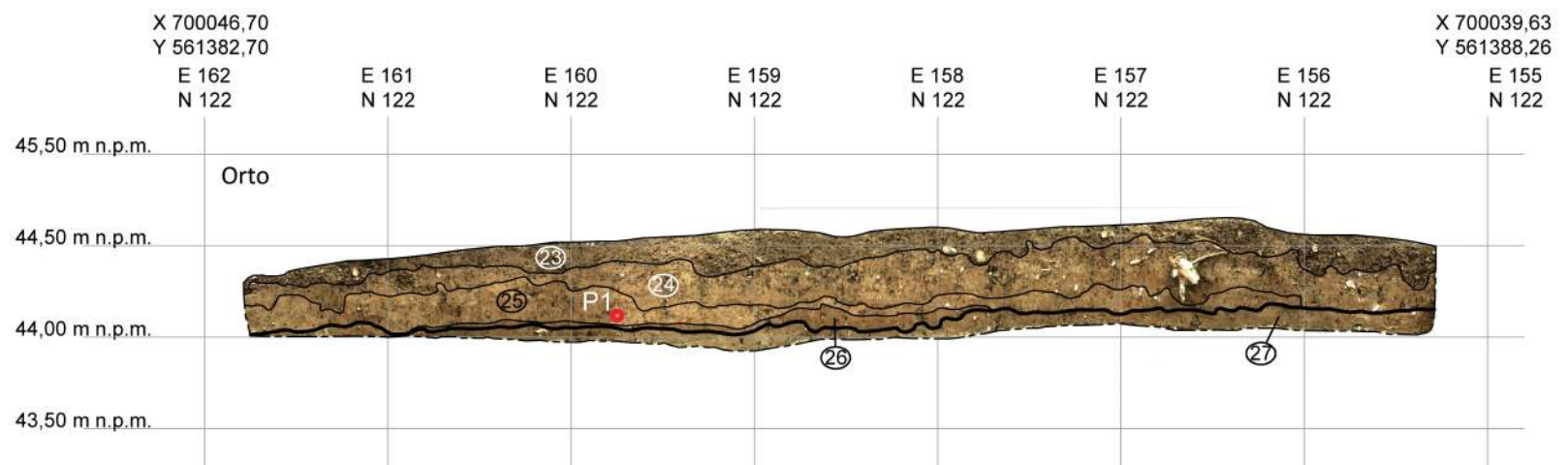
¹⁸ Mogielnicka-Urban 1984: 23.



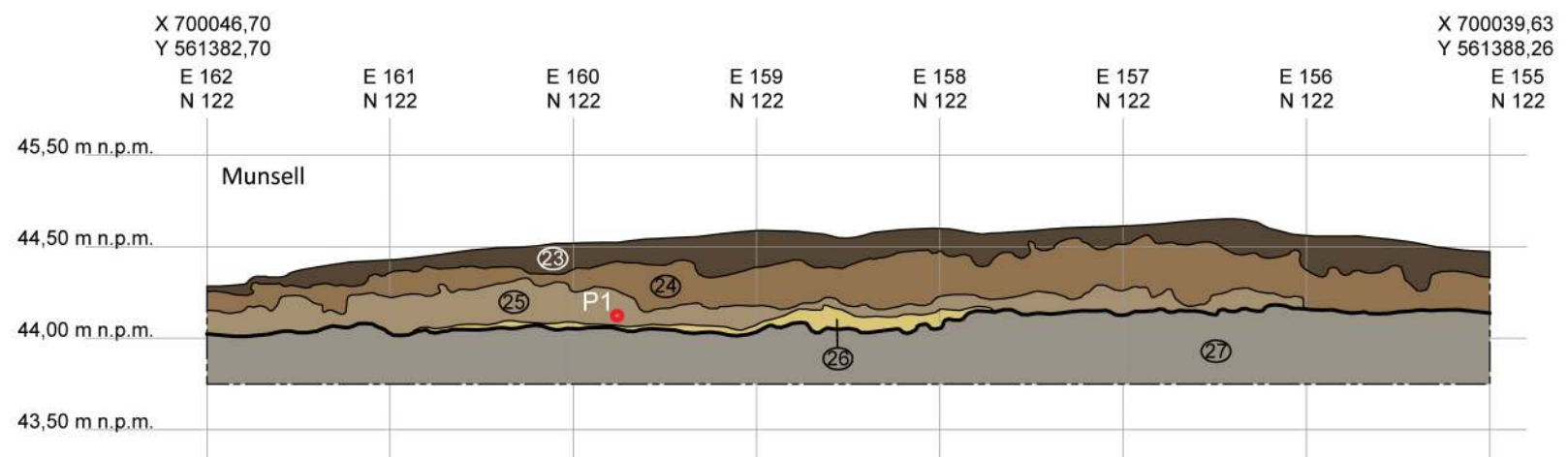
Ryc. 17. Gładysze, st. 1. Stratygrafia nawarstwień w części A stanowiska, w obrębie wewnętrznego wału i fosy grodziska - wykop 1 (oprac. D. Wach, oprac. graf. D. Skoczyła i R. Solecki)



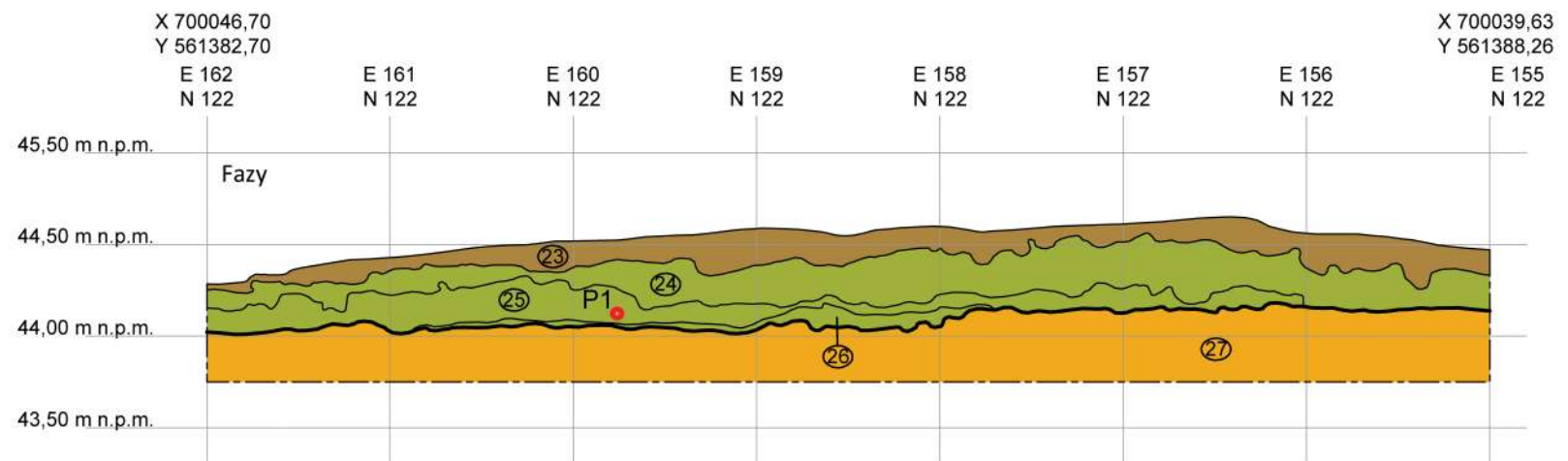
Ryc. 18. Gładysze, st. 1. Stratygrafia nawarstwień w części A stanowiska, na obszarze majdanu - wykop 2 (oprac. D. Skoczyłas i R. Solecki)



0 1 m



P1 - lata 783-517 p.n.e.
(prawdopodobieństwo 95,4%)



- █ Faza VII
- █ Faza VI
- █ Faza V
- █ Faza IV
- █ Faza III
- █ Faza II
- █ Faza I
- █ Warstwy naturalne

Ryc. 19. Gładysze, st. 1. Stratygrafia nawarstwień w części A stanowiska, w obrębie zewnętrznego wału grodziska - wykop 3 (oprac. D. Skoczyłas i R. Solecki)



Ryc. 20. Gładysze, st. 1. Stratygrafia nawarstwień w części B stanowiska, w obrębie fosy, wału i majdanu - wykop 4 (oprac. K. Zdeb i R. Solecki)

Tabela 2. Zestawienie ilościowe fragmentów ceramiki z grodziska w Gładyszach, st. 1. (oprac. D. Skoczyłas)

Fazy	Liczba różnych naczyni	Liczba fragmentów	Ornament (zatiskiwanego paznokciem)	Liczba frakcji: ogólnie	Liczba fragmentów	Część przydenna	Ucha	Liczba fragmentów	Wielkość dookoła	Plaskie	Podsyptka	Pragmenty przepałone	Pragmenty o wyphakanej powierzchni	Starożytność	Średnio wieczne	Chronologia	
I	24	2	2		2			2	2								
I	25	8	5		8	1	2	5									2
II	6	3	2		3		2	1									3
III	2	2	1	3	1	1	1										2
IV	31	5	2		5		3	2									3
V	19	11	8	3	9	1	8	5									2
V	35	2	2		2		1	1									5
VII	1	5	5		5	1	3	1									6
VII	18	6	3	1	3		4	3									2
VII	28	2	2		2		2										3
SUMA	46	33	5	15	1	40	2	16									3
																	2
																	2
																	15
																	19
																	12

Tabela 3. Fragmentacja i erozja fragmentów ceramiki z grodziska w Gładyszach, st. 1. (oprac. D. Skoczyłas)

Jedn. strat.	Kategorie wielkościowe (cm)															Stopień erozji	RAZEM
	1	2	3	4	5	6	7	8	9	10	11	12	13	14	15		
1	1	4	1													3	1
2		2														1	1
6		1	1	1												2	2
18		1	3	2												2	3
19		1	6	3	1											6	6
24		1		1												11	11
25	1	1	2	4												2	2
28			1	1												2	2
31		2	3													5	5
35			2													1	1
SUMA	1	6	13	18	7	1										26	3
																17	46

Jeśli chodzi o formy naczyń, to zespół znalezisk zawierał tylko cztery charakterystyczne fragmenty, na podstawie których przeprowadzono analizę kształtów oraz proporcji naczyń. Przyjęto kilka podstawowych kryteriów klasyfikacyjnych: przede wszystkim kształt profilu krawędzi wylewu, funkcję jaką mogło pełnić naczynie, wielkość wylewu oraz cechy technologiczne, takie jak grubość ścianki czy sposób opracowania powierzchni¹⁹. Typy naczyń znane są jedynie z zachowanych górnych części, a ich rekonstrukcja odbyła się na podstawie analogii z innych stanowisk z tego horyzontu chronologicznego.

Jako należący do garnka zinterpretowano fragment naczynia, którego główną cechą charakterystyczną jest krawędź wylewu przechodząca w beczkowaty profil naczynia (ryc. 21:1). Naczynie to było grubościenne, a średnica jego wylewu wynosiła 18–20 cm. Zbliżona forma wystąpiła w zespole zabytków ceramicznych na stanowisku w Tątławach, gm. Morąg²⁰.

Kolejne naczynie miało zapewne formę lekko baniastego garnka o cienkich ściankach (ryc. 21:2). Analogiczne formy wystąpiły w materiale z grodziska w Kamionce, st. 9, Iława²¹, a także w materiale ceramicznym z grodziska w Tątławach, gm. Morąg²². Charakterystyczny dla tego typu naczyń jest wysoki, ła-

godny załom brzuśca przy jego lekko beczkowatym kształcie i nieornamentowany wylew.

Misy charakteryzują się średnicą wylewu większą od wysokości, wygładzoną i wypolerowaną powierzchnią wewnętrzną naczynia, oraz najczęściej cienkościennością. W analizowanym zbiorze zidentyfikowano dwa fragmenty mis. Pierwszy z nich należał najpewniej do misy o gładkiej, wyściecanej powierzchni wewnętrznej oraz wygładzonej zewnętrznej (ryc. 21:3). Naczynie było bardzo starannie wykonane. Analogię jest fragment naczynia odkryty na stanowisku w Tątławach, gm. Morąg²³. Drugi fragment pochodził z naczynia o wygładzanych powierzchniach, ze śladami polerowania po stronie wewnętrznej. Krawędź wylewu była zdobiona za pomocą zagniatania masy ceramicznej paznokciem do zewnętrznej strony (ryc. 21:4). Analogie do obu typów mis znalezione na stanowisku Stary Folwark, gm. Kisielice²⁴.

Ceramika wczesnośredniowieczna

Zespół ceramiki wczesnośredniowiecznej z Gładyszy, st. 1 składa się z 19 fragmentów naczyń. Masa ceramiczna, której użyto do produkcji naczyń, zawiera drobnoziarnistą domieszkę schudzającą, głównie tarczeń oraz śladowe ilości szamotu. Naczynia wypalano w atmosferze utleniającej. Przełomy naczyń były dwubarwne. Powierzchnia zewnętrzna była najczęściej szorstka (10 fragmentów), nieco rzadziej gładka (8 fragmentów).

¹⁹ Chojnicka-Banaszkiewicz 2017a: 129.

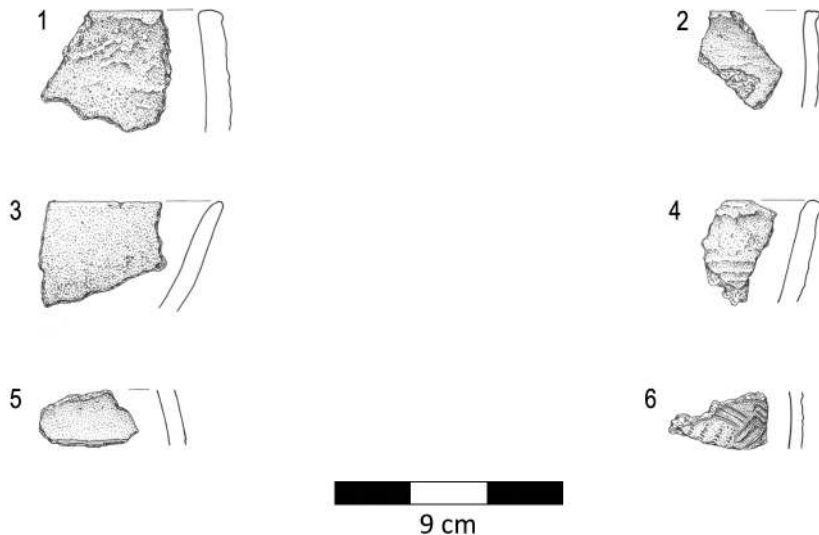
²⁰ Kobylińska 2017b: 124 tabl. 4:20, 126 tabl. 6:17, 128 tabl. 8:3.

²¹ Kobylińska 2017a: 384 tabl. 2:10.

²² Kobylińska 2017b: 124 tabl. 4:22.

²³ Kobylińska 2017b: 126 tabl. 6:4.

²⁴ Chojnicka-Banaszkiewicz 2017a: 143 tabl. 8:4.



Ryc. 21. Gładysze, st. 1. Ceramika z okresu wczesnej epoki żelaza i średniowiecza (rys. B. Karch)

tów), barwy od pomarańczowej do czarnej. Na trzech fragmentach widoczne jest ornamentowanie: ma ono postać pojedynczej, dookolnej linii falistej i towarzyszącej jej dookolnej linii prostej, w drugim przypadku to dookolny żłobek (ryc. 21:5), a na trzecim fragmencie znajdują się linie faliste, dość nieregularne, pod którymi umieszczone skośne linie płytowych żłobków, wykonanych cienkim rylecem (ryc. 21:6). Naczynia tak ornamentowane znane są między innymi z grodzisk w Kamionce, st. 9, gm. Iława, z warstw datowanych na koniec XI do połowy XIII wieku²⁵ lub w Zajączkach, st. 1, gm. Ostróda, warstwy datowane na XI–XII wiek²⁶.

CHRONOLOGIA I DZIEJE GRODZISKA W GŁADYSZACH, ST. 1

DANIEL SKOCZYLAS I KATARZYNA ZDEB

Dotychczasowe weryfikacje określały położenie grodziska na wyeksponowanym cyplu znajdującym się ponad doliną rzeki Pasłęki. Badania przeprowadzone w 2019 roku wykazały, że relikty umocnień znajdują się na dwóch cyplach położonych obok siebie i rozdzielonych tylko niewielką doliną bezimiennej dopływu Pasłęki. Z tego względu obszar stanowiska jest zdecydowanie większy niż pierwotnie przypuszczało, co może mieć znaczenie przy próbie określenia funkcji stanowiska. W powyższym artykule podział ten został określony w następujący sposób: cypel południowy to część A stanowiska, cypel północny to część B stanowiska.

Po drugie, dotychczasowa chronologia grodziska określana była zarówno w przedwojennym piśmiennictwie niemieckojęzycznym, jak w powojennych dokumentach konserwatorskich jako wczesnośredniowieczna²⁷. Badania archeologiczne przeprowadzone w 2019 roku dowiodły jednak istnienia trzech horyzontów chronologicznych grodziska. Najstarszą fazę użytkowania terenu grodziska zaobserwowano w wykopie 3. Reprezentują ją warstwy nasypowe wału zewnętrznego. Pozyskane z nich fragmenty naczyń ceramicznych nie posiadały jednoznacznych cech diagnostycznych, ale pochodząca z nich próba węgla drzewnego, którą poddano ana-

lizie radiowęglowej, dała skalibrowany wynik w przedziale lat 783–517 p.n.e. z prawdopodobieństwem 95,4%²⁸. Można zatem wnioskować, że pierwsze umocnienia powstały na stanowisku już w okresie halsztackim C lub D, jednak obecny stan rozpoznania nie pozwala na określenie przynależności kulturowej oraz rekonstrukcji wyglądu grodziska w tym okresie.

Kolejną fazę osadniczą rozpoznano na obszarze majdanu oraz w wykopie 1, w warstwach związanych z usypywaniem wewnętrznego wału. W wyniku prowadzonych prac badawczych pozyskano zabytki ceramiczne, które można datować najprawdopodobniej na okres lateński B lub C. Z wynikami analizy chronologicznej fragmentów naczyń ceramicznych koresponduje wynik analizy radiowęglowej próby węgla drzewnego pobranej z nasypu wału wewnętrznego w części A stanowiska. Wyniki próby po kalibracji dają przedział czasowy lat 388–204 p.n.e. z prawdopodobieństwem 95,4%²⁹. Wnioskować zatem można, że w IV–III w. p.n.e. istniało tu osiedle obronne ludności kultury kurhanów zachodniobałtyjskich, która ponownie zaadaptowała wykorzystywany już wcześniej w celach obronnych cypel. Jeżeli brać pod uwagę obszar wydzielony wałem, to nowe osiedle było wyraźnie mniejsze.

Ostatnią fazę użytkowania stanowiska zidentyfikowano w części B stanowiska, w wykopie 4 oraz w części A stanowiska, w wykopie 2 na obszarze majdanu w postaci poziomu, w którym natrafiono na przemieszany materiał ceramiczny pochodzący z wczesnej epoki żelaza i wczesnego średniowiecza. Chronologię tej fazy określić można na podstawie wątków zdobniczych znajdujących się na trzech fragmentach naczyń, na koniec XI–XIII wieku. Potwierdzeniem takiej chronologii jest wynik analizy radiowęglowej, próby pobranej z nasypu wału, który po kalibracji wskazał przedział lat 1037–1207 n.e. z prawdopodobieństwem 95,4%³⁰. Jest to okres poprzedzający zajęcie tego obszaru przez Zakon Krzyżacki, zatem gród ten użytkowany był przez ludność pruską.

²⁸ Analiza przeprowadzona w Poznańskim Laboratorium Radiowęglowym, próba nr Poz-117826.

²⁹ Analiza przeprowadzona w Poznańskim Laboratorium Radiowęglowym, próba nr Poz-121116.

³⁰ Analiza przeprowadzona w Poznańskim Laboratorium Radiowęglowym, próba nr Poz-117176.

²⁵ Kobylińska 2017: 396 tabl. 13:2.

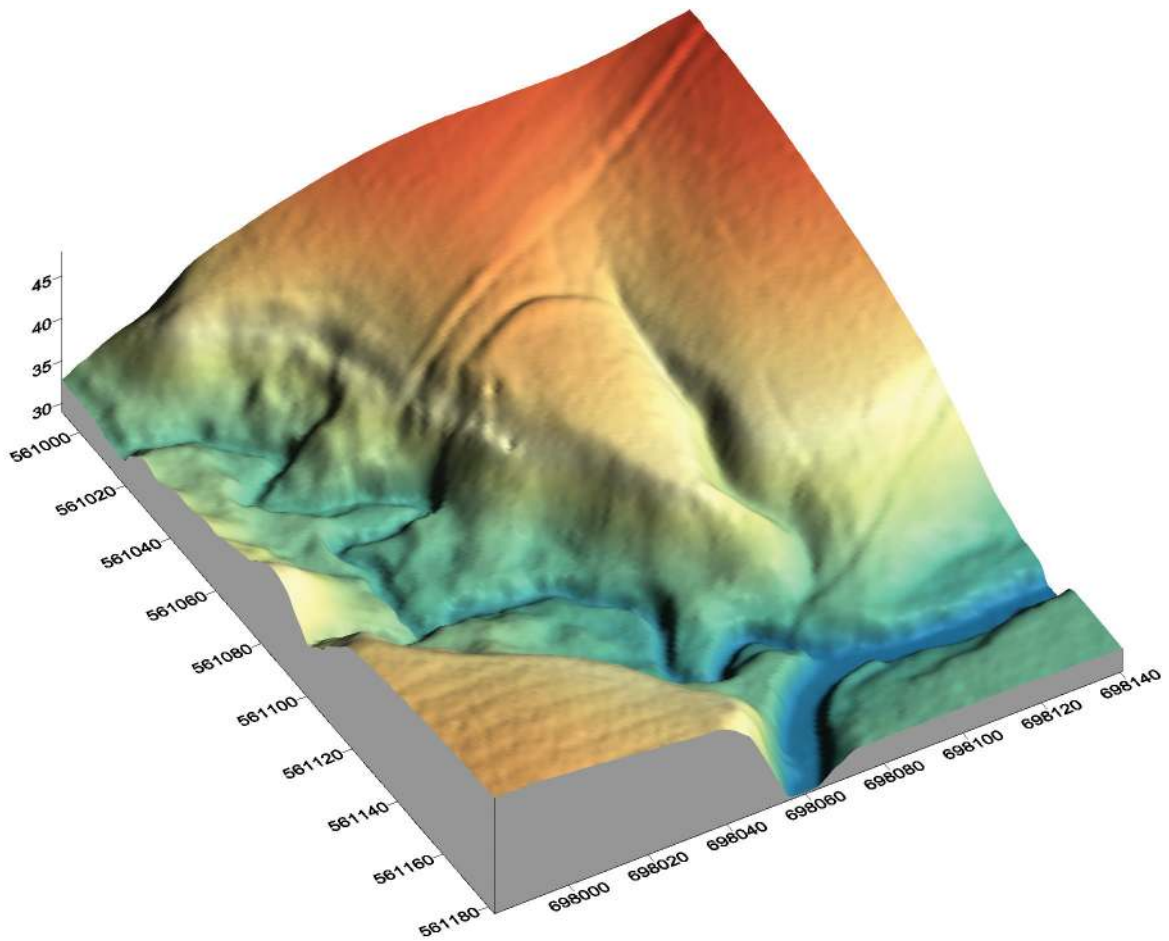
²⁶ Kobylińska 2017: 452 tabl. 20:13.

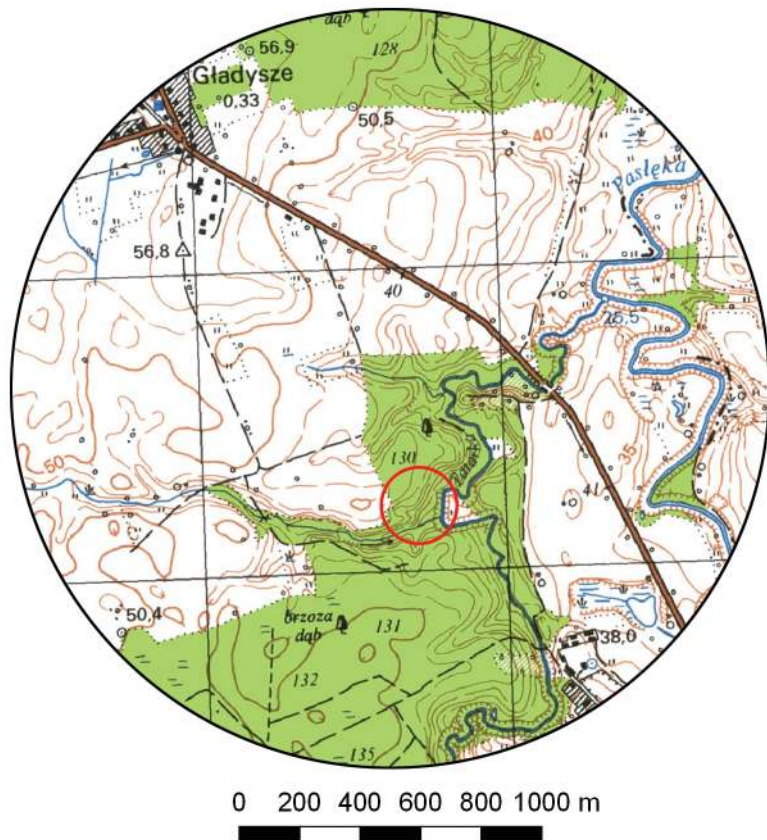
²⁷ Informacje z teczki stanowiska w Archiwum WUOZ w Elblągu.

Epilogiem historii stanowiska jest wkop z XIX lub XX wieku, który być może jest pozostałością dawnego wykopu archeologicznego. Taką tezę można postawić na podstawie formy wkopu – jest regularnie prostokątny w planie, jego ściany są pionowe, a jego dno znajduje się na poziomie stropu warstw naturalnych. W przeanalizowanych publikacjach i dokumentach nie natrafiono jednak na informacje, by stanowisko to było w przeszłości badane wykopaliskowo.

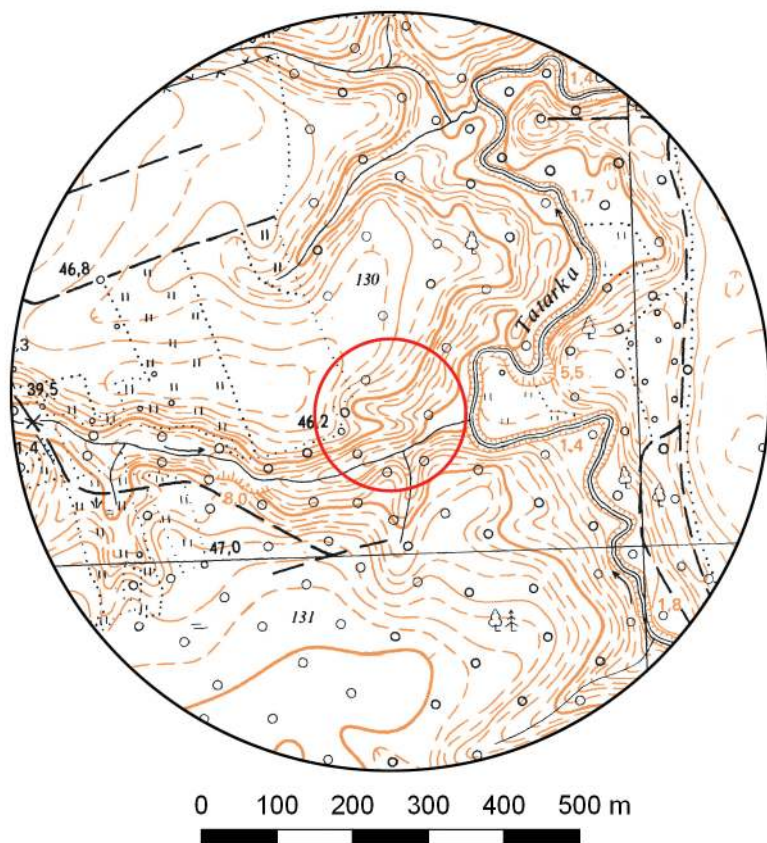
Gładysze, st. 3

Gmina Wilczęta
Powiat braniewski
AZP 16-56/60
Współrzędne geograficzne:
N $54^{\circ} 8' 35''$
E $19^{\circ} 56' 06''$





Ryc. 1. Grodzisko w Gładyszach, st. 3
na mapie w skali 1:25 000
(na podstawie materiałów GUGiK,
oprac. R. Solecki)



Ryc. 2. Grodzisko w Gładyszach, st. 3
na mapie w skali 1:10 000
(na podstawie materiałów GUGiK,
oprac. R. Solecki)

POŁOŻENIE GRODZISKA I JEGO FORMA

DANIEL SKOCZYLAS I RAFAŁ SOLECKI

Grodzisko w Gładyszach (niem. *Schlodien*), st. 3 zostało odkryte w 2018 roku podczas analizy danych ALS obszaru gminy Wilczęta na potrzeby realizacji projektu *Katalog grodzisk Warmii i Mazur*. Stanowisko jest położone 2 km na południe od wsi Gładysze, 4 km na zachód od osady Dąbrówka (niem. *Klein Damerau*) oraz 1 km na północ od osady Spędy (niem. *Spanden*).

Grodzisko zajmuje nieduży cypel, który od południowego-wschodu opływa Dobrska Struga, która na starszych mapach opisywana jest jako Tatarka (ryc. 1–2). Od północy cypel ograniczony jest przez suchy jar. Różnica wysokości pomiędzy dnem doliny a powierzchnią cypla wynosi około 12 m (ryc. 3). Umocnieniem grodziska jest czytelny w terenie wał i towarzysząca mu fosa, które odcinają cypel od wysoczyzny. Różnica wysokości pomiędzy szczytem wału a obszarem majdanu wynosi około 60 cm. Wał ma długość około 42 m, a jego szerokość u podstawy dochodzi do 5 m. Fosa znajdująca się po zewnętrznej stronie ma szerokość około 1–2 m. Do wału od strony zewnętrznej przylega słabo widoczna w tere-

nie fosa o szerokości 1 m (ryc. 4). Stanowisko ma powierzchnię około 0,65 ha.

Obecnie wschodnia część majdanu delikatnie obniża się w kierunku doliny rzeki. Jest to najpewniej spowodowane podmywaniem podnóża cypla i jego erozją. Warte odnotowania jest, że w warstwie erozyjnej na stoku cypla i brzegu rzeki znajduje się wychodnia krzemienia bałtyckiego.

ŚRODOWISKO FIZYCZNOGEOGRAFICZNE

ANNA LEJZEROWICZ

Według podziału fizycznogeograficznego Polski Jerzego Kondrackiego¹, grodzisko w Gładyszach st. 3 znajduje się w makroregionie Pobrzeża Gdańskiego, mezoregionie Równiny Warmińskiej. Leży na obszarze synkliny perybałtyckiej platformy wschodnioeuropejskiej². Zlodowacenie Wisły w okolicach stanowiska reprezentują trzy poziomy glin zwałowych, stadiałów: dolnego, środkowego i górnego, co jest rezultatem trzykrotnego nasiącia się lądolodu. Gliny te są rozdzielone poziomami osadów wodnolodowcowych. W interstadiale oddzielającym stadiał śred-

¹ Kondracki 2002: 100–102.

² Petelski i Gondek 2003: 8.

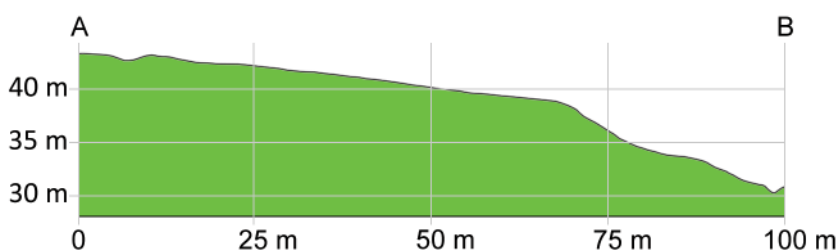
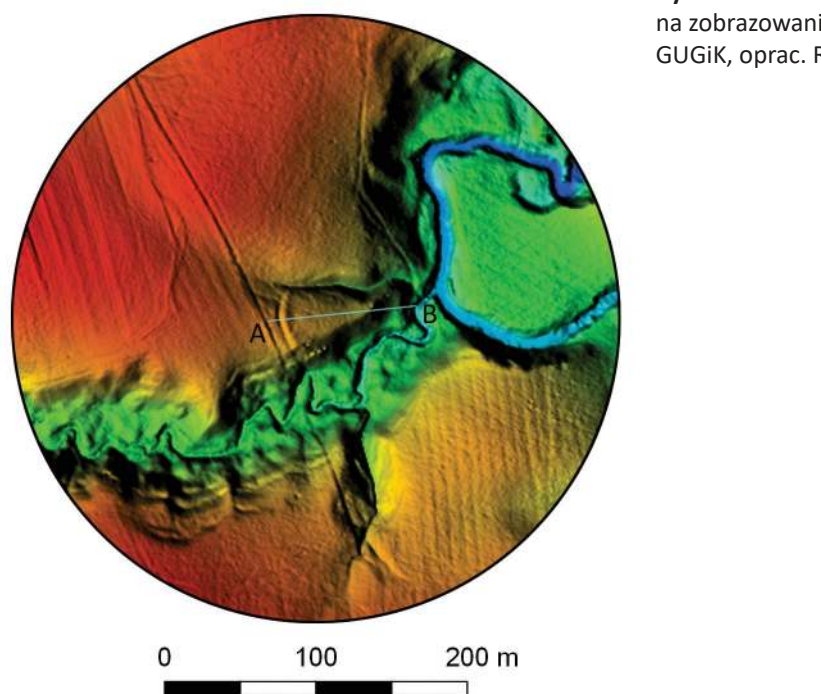


Ryc. 3. Gładysze, st. 3. Widok na dolinę Dobrskiej Strugi/Tatarki (fot. D. Skoczyłas)



Ryc. 4. Gładysze, st. 3. Widok na fos i wał grodziska (fot. D. Skoczylas)

Ryc. 5. Grodzisko w Gładyszach, st. 3
na zobrazowaniu ALS (na podstawie materiałów
GUGiK, oprac. R. Solecki)



Ryc. 6. Przekrój grodziska w Gładyszach, st. 3 uzyskany z danych ALS
(na podstawie materiałów GUGiK, oprac. R. Solecki)

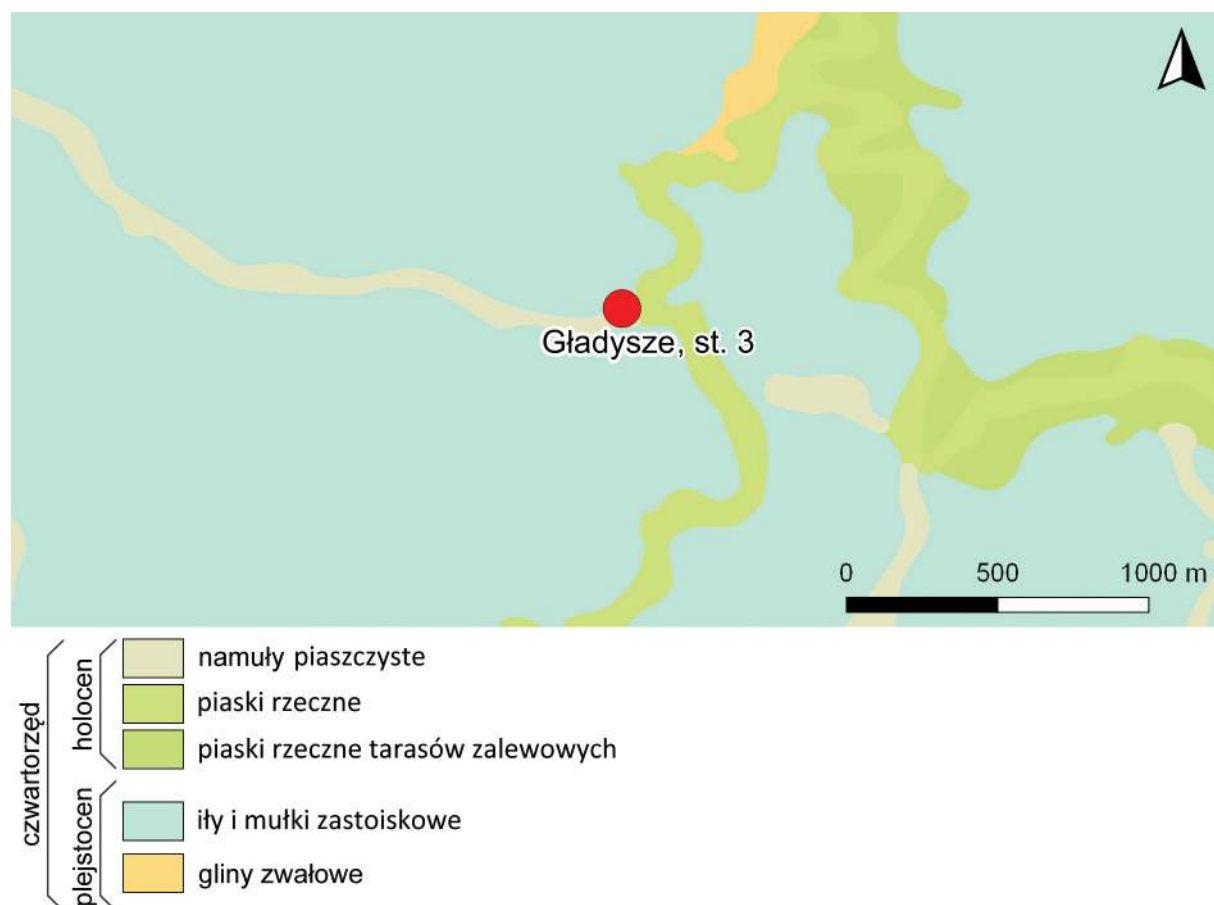
kowy od górnego, pod dzisiejszą równiną zastoiskową istniała głęboka dolina. Równina ta nazywana jest zastoiskiem Dobrego i tworzy rozległą płaską powierzchnię zbudowaną z ilów zastoiskowych, posiadającą szerokość około 7 km na wschodzie i zwężającą się ku zachodowi. W holocenie rozpoczęło się tworzenie sieci odpływu wód powierzchniowych, poczynając proces tworzenia się doliny rzeki Pasłęki. Według *Szczegółowej Mapy Geologicznej Polski* w skali 1:50 000 (arkusz Dobry) (ryc. 7) na obszarze stanowiska występują ily i mułki zastoiskowe³.

Stanowisko zajmuje cypel zbudowany z osadów zastoiskowych, który powstał w wyniku erozji wgłębnej i bocznej rzeki Tatarki oraz jej dopływu (od wschodu i południa), jak również jest ograniczony od północy wąwozem stałym w wyniku odprowadzania wód opadowych z terenów wyżej położonych. Od zachodu grodzisko jest wyraźnie połączone z obszarem całej równiny zastoiskowej. Dokładną morfologię obszaru prezentuje obraz uzyskany z danych ALS i przekrój morfologiczny (ryc. 5–6).

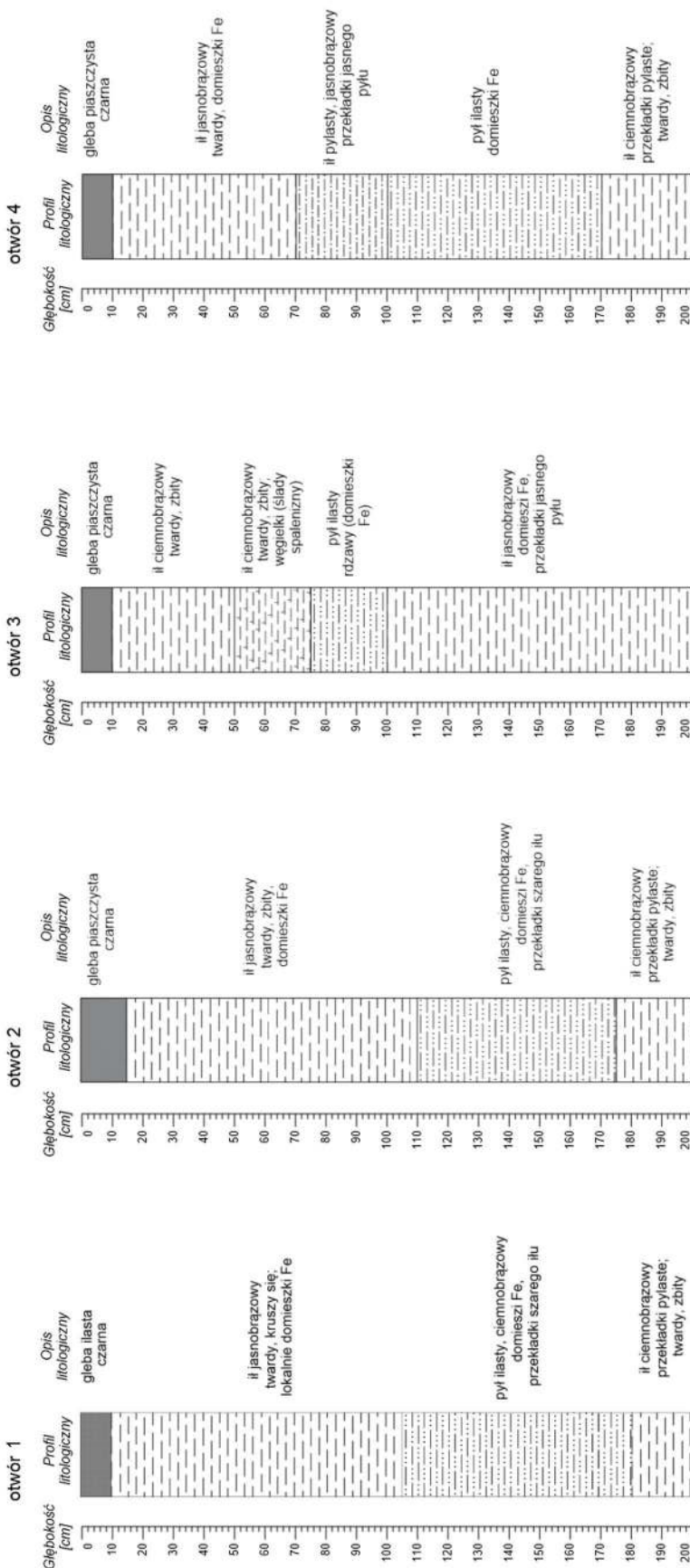
³ Petelski i Gondek 2003: 16–21.

Na obszarze grodziska wykonano sześć wierceń sondą ręczną do głębokości 2 m w celu rozpoznania budowy geologicznej. Na podstawie wykonanych wierceń (ryc. 8) stworzony został schematyczny przekrój geologiczny przez grodzisko (ryc. 9). W wierceniach zaobserwowano występowanie zastoiskowych osadów ilastych w obrębie wyniesienia. Na sklonie pagórka (wiercenie 6) w warstwach przypowierzchniowych zaobserwowano osady piaszczyste i piaszczysto-ilaste o rdzawym zabarwieniu. W obrębie osadów ilastych znaleźć można liczne okruchy skalne (graniaty, gneisy, wapienie, krzemienie), które uniemożliwiły dalsze wiercenie. Okruchy skalne były również widoczne na powierzchni terenu. Osady piaszczysto-ilaste (osady deluwialne) powstały w wyniku zmywania materiału z wyżej położonych obszarów. Szczegółowa litologia została opisana na poszczególnych profilach wierceń na ryc. 9.

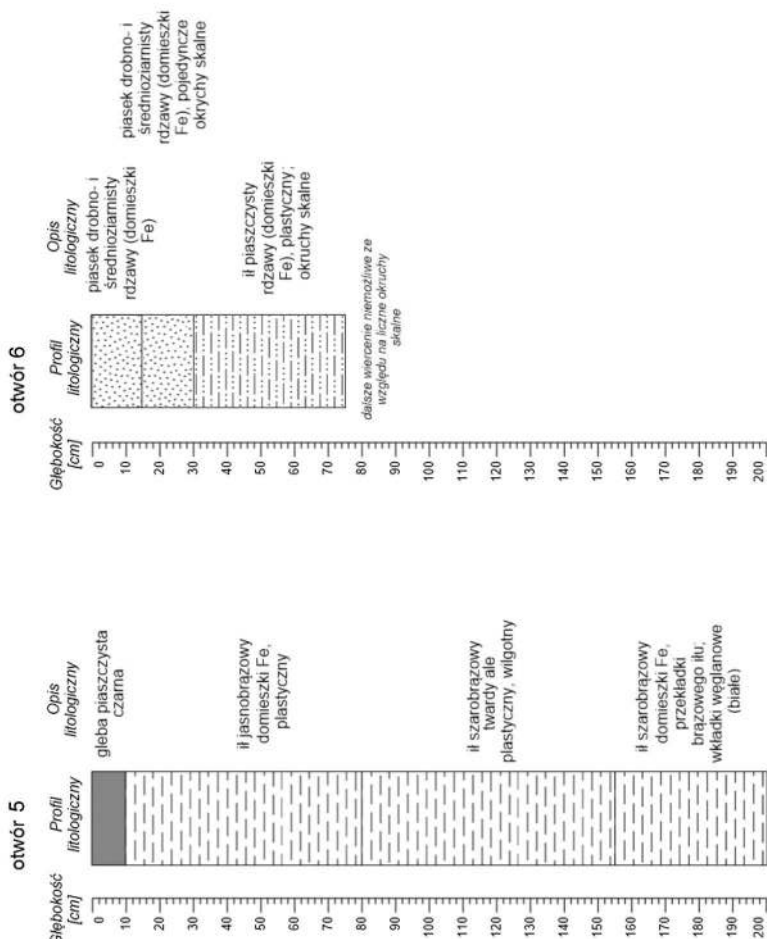
Wykonane wiercenia (ryc. 9) potwierdzają obecność osadów zastoiskowych na badanym stanowisku, wykształconych w postaci ilów, ilów pylastycznych, ilów piaszczystych. W obrębie wąwozu ograniczającego stanowisko od pół-



Ryc. 7. Fragment Szczegółowej Mapy Geologicznej Polski z zaznaczonym stanowiskiem w Gladyszach, st. 3 (oprac. A. Lejzerowicz)



Ryc. 8. Profile litologiczne odwiertów wykonanych na obszarze grodziska w Gładyzach, st. 3
(oprac. A. Lejzerowicz)



Ryc. 8. Ciąg dalszy

nocy, można znaleźć osady deluwialne, natomiast w obrębie dopływu Baudy na południu osady rzeczne i rzeczno-deluwialne (piaski rzeczne, piaski pyłowe deluwialne, piaski rzeczno-deluwialne).

BADANIA ARCHEOLOGICZNE

DANIEL SKOCZYLAS I RAFAŁ SOLECKI

Przebieg badań terenowych

W roku 2019 miała miejsce weryfikacja terenowa stanowiska w ramach realizacji projektu *Katalog grodzisk Warmii i Mazur cz. II*, cze- go następstwem było otwarcie w tym samym roku dwóch wykopów badawczych o łącznej powierzchni 22 m². Wykop 1 (W1) o wymiarach 2×8 m obejmował obszar zewnętrznego stoku wału i fosy. Wykop 2 (W2), o wymiarach 2×3 m, był przedłużeniem wykopu 1 w stronę majdanu, z zachowaniem dwumetrowego świadka pomiędzy nimi. W roku 2020 konty-

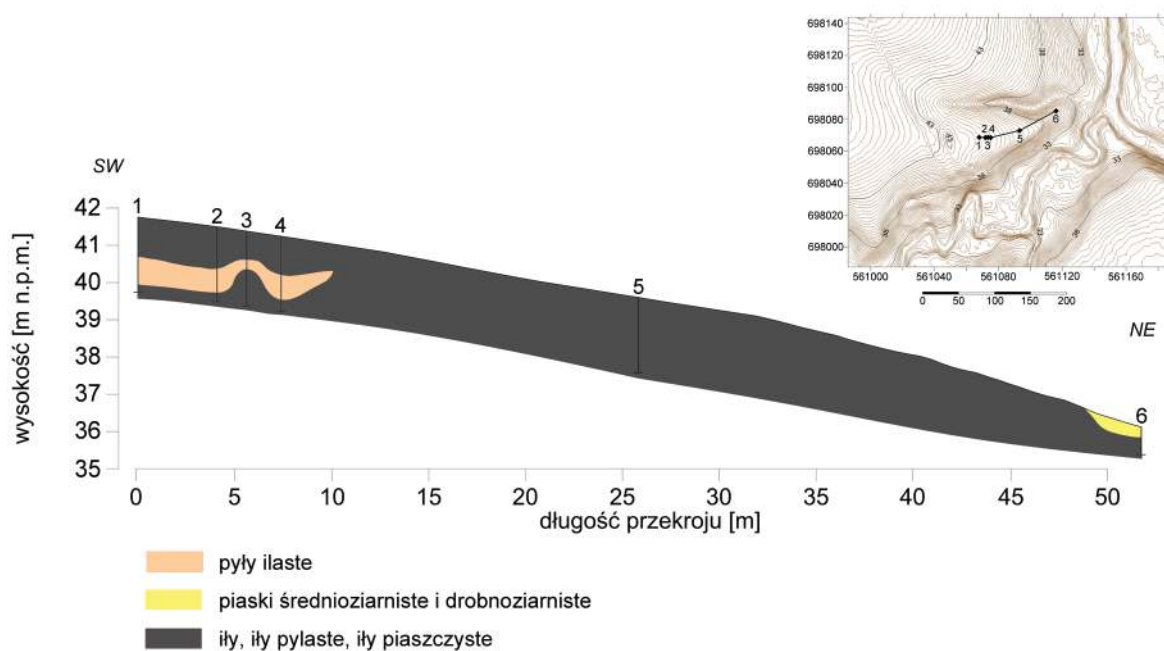
nuowano badania terenowe otwierając wykop 3 (W3) o wymiarach 1,5×4,5 m, obejmujący część wału, zagłębienia przywałowego i fragment majdanu w południowo-zachodniej części stanowiska (ryc. 10),

Stratygrafia stanowiska

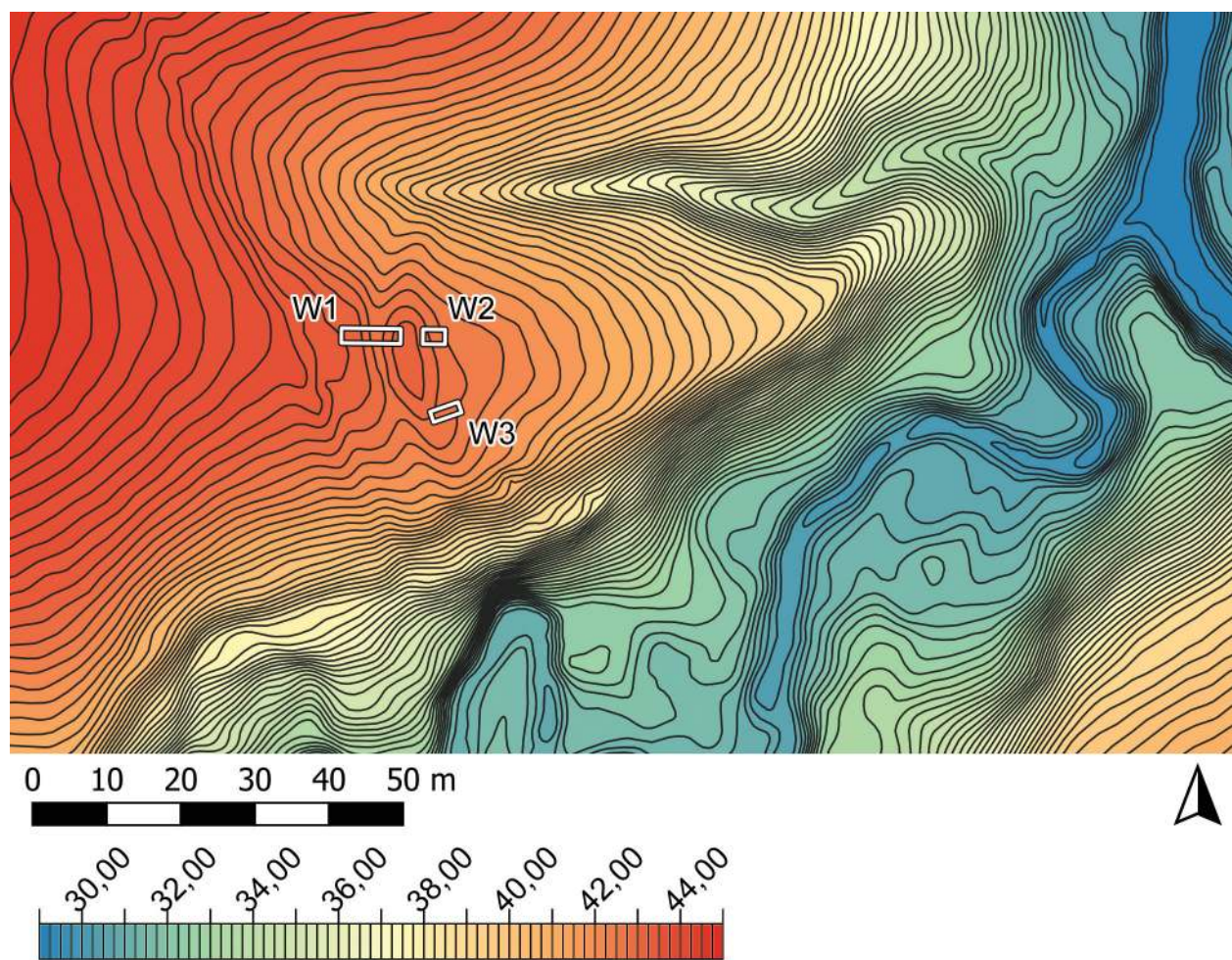
W trakcie badań archeologicznych wydzielono łącznie 15 jednostek stratygraficznych (tabela 1), które podzielono na trzy fazy użytkowania tego obszaru (ryc. 11–13).

Warstwy naturalne

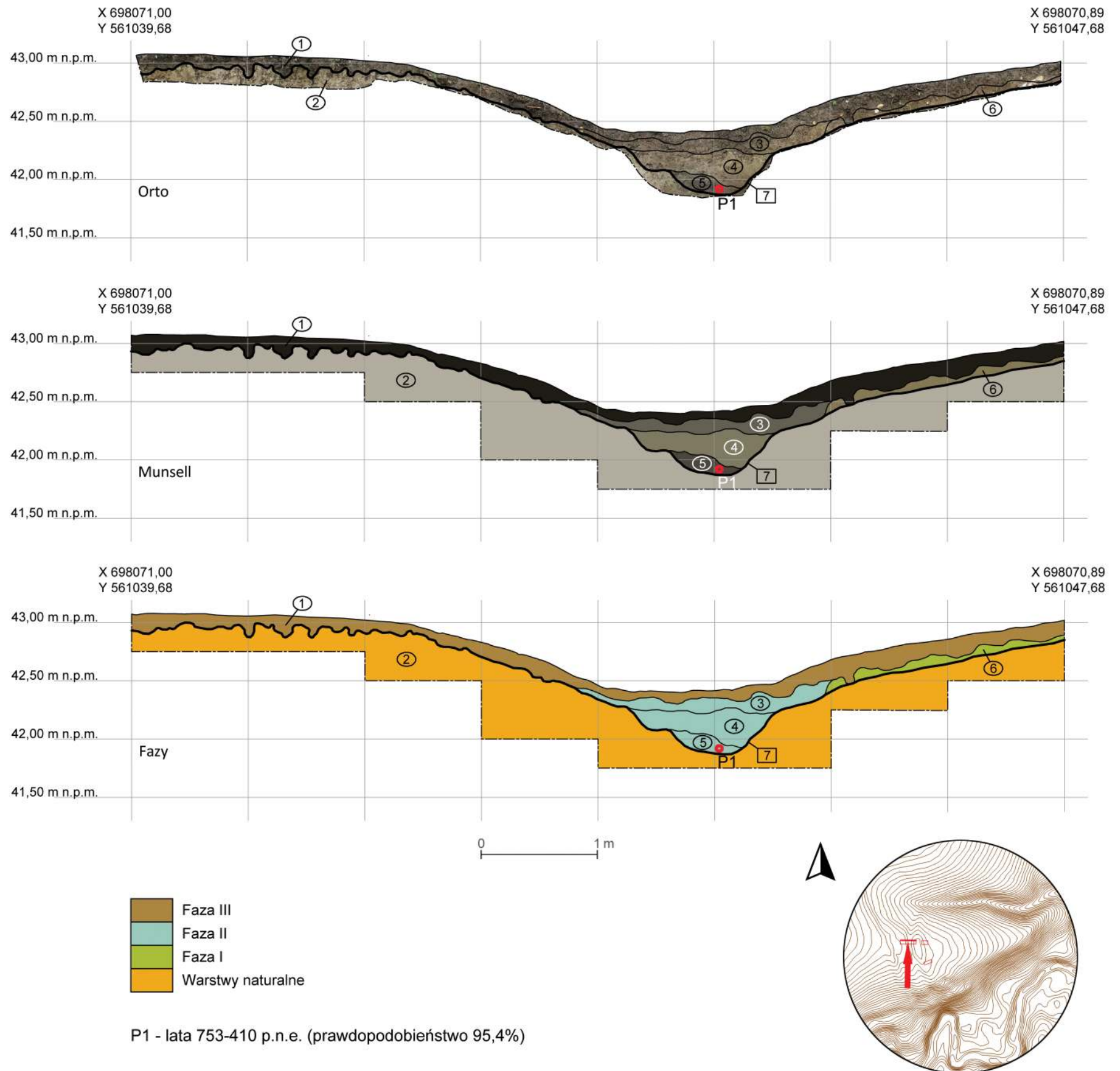
Podczas prac wykopaliskowych zidentyfikowano cztery warstwy naturalne: w wykopie 1 była to beżowa, mało plastyczna glina 2, w wykopie 2 mocno zbita czerwonopomarańczowa glina 9, która występowała także w wykopie 3, jako warstwa 14, oraz jasnoszara glina 15, występująca we wschodniej części wykopu 3.



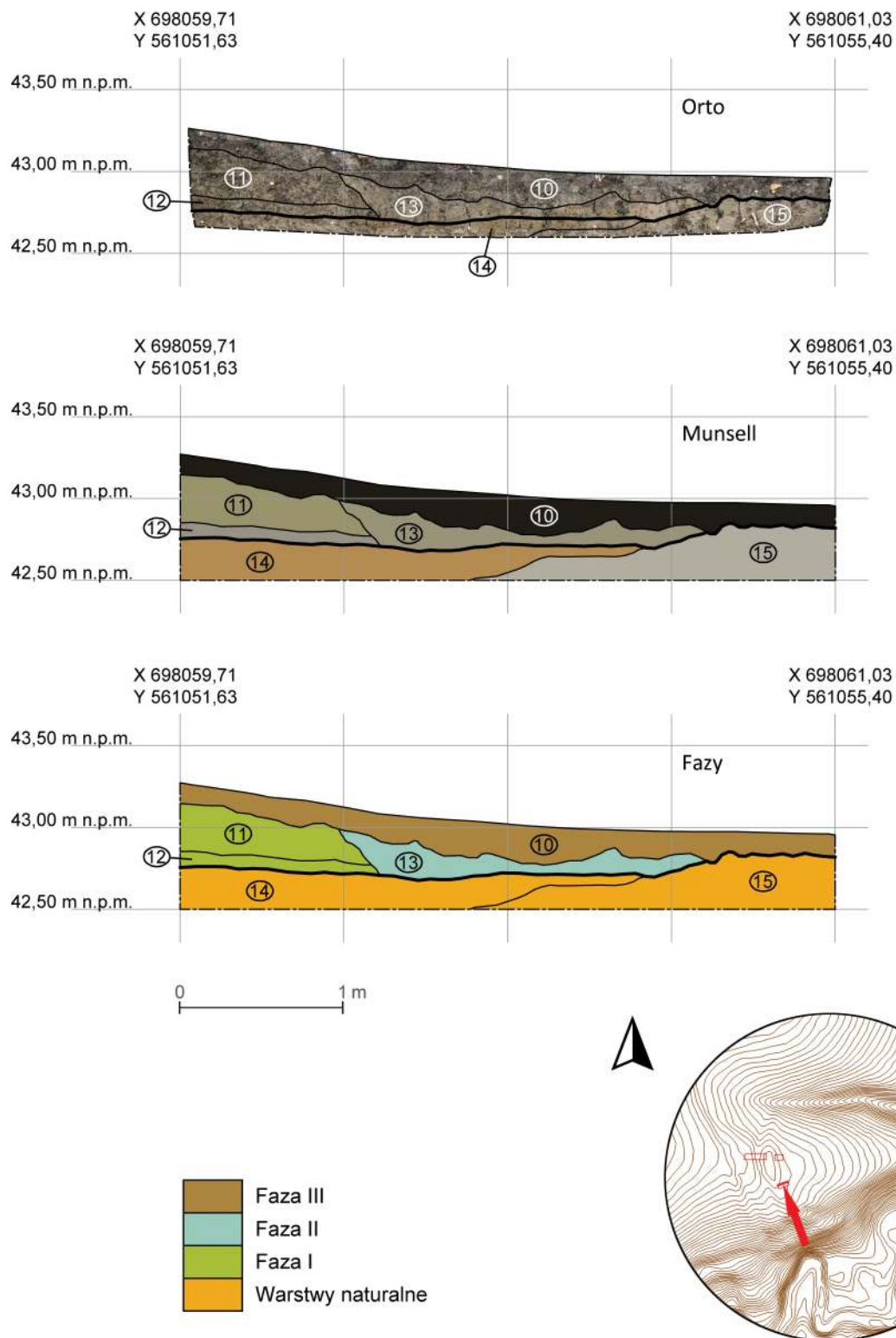
Ryc. 9. Schematyczny przekrój geologiczny przez grodzisko w Gładyszach, st. 3 (oprac. A. Lejzerowicz)



Ryc. 10. Plan sytuacyjno-wysokościowy grodziska w Gładyszach, st. 3 z rozmieszczeniem wykopów (na podstawie danych materiałów GUGiK, oprac. R. Solecki)



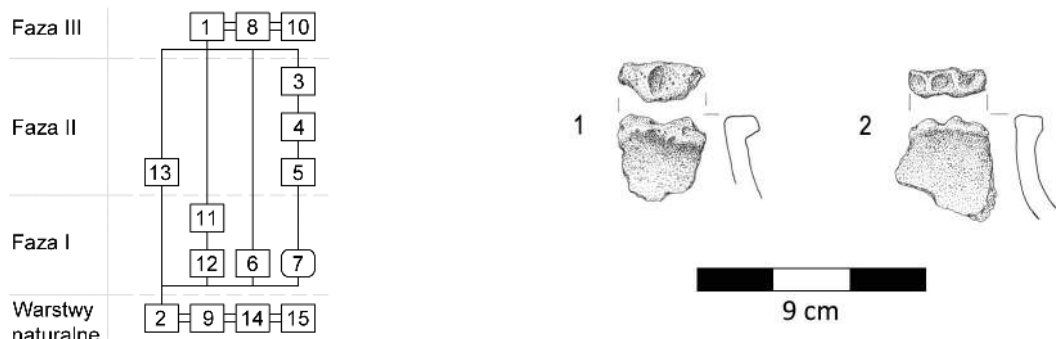
Ryc. 11. Gładysze, st. 3. Stratygrafia nawarstwień na obszarze fosy i wału - wykop 1 (oprac. D. Skoczylas i R. Solecki)



Ryc. 12. Gładysze, st. 3. Stratygrafia nawarstwień na obszarze wału i zagłębia przywałowego - wykop 3 (oprac. D. Skoczylas i R. Solecki)

Tabela 1. Gładysze, st. 3. Katalog warstw i obiektów oraz ich zależności stratygraficznych (oprac. D. Skoczylas)

Numer jednostki	Numer obiektu	Numer wykopu	Współrzędne geodezyczne (PUWG 1992)	Opis jednostki stratygraficznej	Barwa (Munsell)	Pozycja stratygraficzna	
						Znajduje się pod	Znajduje się nad
1	-	1	X=698071-698069; Y=561039,7-561047,7	Ciemna, zbita, mocno organiczna glina; miąższość do 20 cm; humus leśny	2.5Y 1/1	-	2, 3, 6
2	-	1	X=698071-698069; Y=561039,7-561047,7	Zbita glina, mocno plastyczna; warstwa naturalna	5Y 7/1	1, 7, 6	-
3	7	1	X=698070,9-698069; Y=561043,6-561045,6	Glina; miąższość do 20 cm; warstwa erozyjna w obrębie fosy 7	5Y 4/1	1	4
4	7	1	X=698070,9-698069; Y=561043,8-561045,2	Mocno zbita glina; miąższość do 35 cm; warstwa erozyjna w obrębie fosy 7	7,5Y 5/2	3	5, 7
5	7	1	X=698070,9-698069; Y=561044,3-561044,9	Glina z widocznymi węgielkami drzewnymi; miąższość do 15 cm; najstarsza warstwa erozyjna w obrębie fosy 7	5Y 3/1	4	7
6	-	1	X=698070,9-698069; Y=561045,4-561047,5	Glina przemieszana z ciemną, zbitą gliną, poprzerastaną korzeniami; miąższość do 15 cm; wyerodowany nasyp wału z okresu funkcjonowania stanowiska	5Y 5/3	1	2
7	7	1	X=698070,9-698069; Y=561043,8-561045,2	Wkopa tworzący fosę 7; zadokumentowane wymiary to szerokość co najmniej 220 cm i głębokość około 60 cm	-	3, 4, 5	2
8	-	2	X=698070,9-698068,8; Y=561050,7-561053,7	Ciemna, zbita, mocno organiczna glina; miąższość do 25 cm; humus leśny	2.5Y 1/1	-	9
9	-	2	X=698070,9-698068,8; Y=561050,7-561053,7	Zbita glina; warstwa naturalna	10YR 6/6	8	-
10	-	3	X=698059,9-698058,3; Y=561051,5-561055,5	Ciemna, zbita, mocno organiczna glina; miąższość do 25 cm; humus leśny	2.5Y 1/1	-	11, 13, 15
11	-	3	X=698059,8-698058,7; X=561051,5-561052,7	Glina; miąższość do 30 cm; nasyp wału	7.5Y 6/3	10, 13	12
12	-	3	X=698059,9-698058,7; Y=561051,5-561052,7	Niejednorodna glina; miąższość do 10 cm; poziom humusu pierwotnego	2.5Y 6/1	11	14
13	-	3	X=698059,9-698058,7; Y=561051,5-561052,7	Glina; miąższość do 25 cm; wyerodowany relikt warstwy kulturowej z okresu funkcjonowania stanowiska	7.5Y 6/2	10	11, 14
14	-	3	X=698059,9-698059,2; Y=561051,5-561054,3	Zbita glina; warstwa naturalna	10YR 6/6	12, 13	15
15	-	3	X=698059,2-698059,6; Y=561054,3-561055,4	Niejednorodna glina; warstwa naturalna	2.5Y 7/1	10, 14	-



Ryc. 13. Gładysze, st. 3. Diagram relacji stratygraficznych (oprac. D. Skoczyłas)

Faza I

Początek osadnictwa na opisanyem terenie związany jest z usypaniem wału i wykopaniem fosy we wczesnej epoce żelaza. Przy wale od strony majdanu istniało najpewniej zagłębienie przywałowe. W wykopie 3 warstwą rozpoczynającą użytkowanie terenu jest zbita glina 12 o miąższości dochodzącej do 20 cm, będąca najpewniej humusem pierwotnym. Nad nią zalega warstwa gliny 11 o grubości do 25 cm, będąca reliktem wału. W wykopie 1 fazę tą reprezentuje wkop 7 formujący fosę oraz warstwa gliny 6, będąca reliktem nasypu wału. Właściwy nasyp wału wraz z warstwą kulturową, która się na nim wytworzyła uległ erozji i spłynął do fosy.

Faza II

Okras po opuszczeniu grodu w wykopie 1 reprezentują warstwy wypełniska fosy oraz spływ z wału. W fosie najniżej zalega czarnoszara glina 5 z widocznymi węgielkami drzewnymi, nad nią znajduje się mocno zbita glina 4, którą przykrywa jasnoszara glina 3, będąca najwyższym wypełniskiem fosy. Z warstwy 5 pobrano próbę węgla do analizy radiowęglowej. Wynik po kalibracji dał przedział lat 753–410 p.n.e., z prawdopodobieństwem 95,4%⁴. W wykopie 3, w wyniku erozji nasypu wału, wytworzyła się warstwa 13, którą tworzy lekko ziemista glina.

Faza III

Obecny poziom użytkowy w obrębie stanowiska tworzy humus leśny. W każdym z wykopów jest to zbita, czarna, mocno organiczna glina 1, 8, 10.

Ryc. 14. Gładysze, st. 3. Ceramika z okresu wczesnej epoki żelaza (rys. B. Karch)

ZNALEZISKA

DANIEL SKOCZYŁAS

Ceramika

Podczas przeprowadzonych w roku 2020 badań archeologicznych pozyskano łącznie 37 fragmentów naczyń ceramicznych. Wszystkie pochodząły z warstwy 13, która wytworzyła się w obrębie zagłębienia przywałowego w wyniku procesów erozyjnych. Zespół ten reprezentuje jeden horyzont kulturowo-chronologiczny i należy go wiązać z kulturą kurhanów zachodniobałtyjskich z wczesnej epoki żelaza. Zebrane skorupy są silnie rozdrobnione, co uniemożliwia odtworzenie pełnych form naczyń. Wielkości fragmentów ceramiki zawierały się w przedziale wielkościowym 1,5–9,5 cm, z czego tylko 2 fragmenty (5,4% zbioru) miały więcej niż 6 cm. Pod względem stanu zachowania powierzchni i krawędzi cały zbiór zakwalifikowano do I kategorii, według klasyfikacji zaproponowanej przez A. Buko (ceramika nie wykazująca większego zniszczenia powierzchni)⁵.

Analizowany zbiór składa się z fragmentów o szorstkiej powierzchni i przełamie trójbartwym. Naczynia wypalono w atmosferze utleniającej. Na dwóch fragmentach zaobserwowano ornament w postaci zaszczypywania górnej części wylewu, przełomy tych fragmentów są jednobarwne. Ornament ten jest często spotykany w zespołach zabytków ceramicznych ze stanowisk wiązanych z kulturą kurhanów zachodniobałtyjskich. Rozpoznanego między innymi na naczyniach z grodzisk w Strużynie, st. 21, gm. Morąg⁶, w Zajączkach,

⁴ Analiza przeprowadzona w Poznańskim Laboratorium Radiowęglowym, próba nr Poz-121132.

⁵ Buko 1990: 352.

⁶ Rutyna 2017: 86, tabl. 4:7.

st. 1, gm. Ostróda⁷ i w Starym Folwarku, st. 1, gm. Kisielice⁸.

Ze względu na wielkość i fragmentaryczność zachowanego zbioru nie da się jednoznacznie określić rodzaju naczyń. Odkryte dwa fragmenty wylewów reprezentują różne formy. Pierwszy (ryc. 14:1) posiada formę zbliżoną do naczynia z grodziska w Starym Folwarku, st. 1, gm. Kisielice, opisanego jako amfora⁹, lub też fragmentu naczynia z narwastwień fazy IB z grodziska w Starym Folwarku, st. 2, gm. Kisielice, opisanego jako naczynie średniej wielości o baniastej formie¹⁰. Drugi fragment (ryc. 14:2) formą przypomina fragmenty wylewów znalezione w narwastwiennach fazy IA grodziska w Zajączkach, st. 1, gm. Ostróda, opisane jako duże naczynia z ozdobnymi wylewami¹¹; podobna forma pojawia się również w zbiorze ceramicznym ze Starego Folwarku, st. 1, gdzie opisano ją jako naczynie o długiej, łukowato wygiętej szyjce¹².

CHRONOLOGIA I DZIEJE GRODZISKA W GŁADYSZACH, ST. 3

DANIEL SKOCZYLAS I RAFAŁ SOLECKI

Dotychczas nieznane grodzisko w Gładyszach, st. 3, zostało odkryte i zbadane w ramach projektu *Katalog grodzisk Warmii i Mazur* w latach 2019–2020. Forma morfologiczna stanowiska – cypel odcięty od wysoczyzny za pomocą niedużego wału, któremu towarzyszy sucha fosa i zagłębienie przywałowe – nie jest charakterystyczna i trudno ją powiązać z jakimś konkretnym okresem chronologicznym. Fakt, że do tej pory nie było znane należy wiązać z tym, że wspomniane wał i fosa są w terenie bardzo słabo czytelne, a dodatkowo równolegle do linii tych umocnień poprowadzony jest rów wyznaczający granicę dawnych działań leśnych.

Informacje na temat chronologii stanowiska oparto na analizie pozyskanych fragmentów ceramiki i analizie radiowęglowej. Próba węgla pozyskana z wypełniska fosy wskazała po kalibracji przedział lat 753–410 p.n.e.,

⁷ Kobylińska 2017c: 434–435, tabl. 3:2, tabl. 4:5.

⁸ Chojnacka-Banaszkiewicz 2017a: 155, tabl. 20:1.

⁹ Chojnacka-Banaszkiewicz 2017a: 156, tabl. 21:1.

¹⁰ Kobylińska 2017d: 206, tabl. 2:8.

¹¹ Kobylińska 2017c: 432, tabl. 1:9, 10.

¹² Chojnacka-Banaszkiewicz 2017a: 139 tabl. 4:19.

z prawdopodobieństwem 95,4%¹³. Oznaczałoby to, że stanowisko mogło powstać jeszcze w VI okresie epoki brązu według periodyzacji zaproponowanej przez Jana Dąbrowskiego i być wiązane ze schyłkową fazą funkcjonowania na tym obszarze ludności kultury lużyckiej z grupy mazursko-warmińskiej¹⁴. Jak zauważa J. Dąbrowski w grupie tej był „zwyyczaj zdobienia krawędzi mis odciskami palcowymi”¹⁵, a więc w podobny sposób, jak na dwóch znalezionych fragmentach, które jednak najpewniej nie były misami. Jadwiga Chudziakowa, opisując zdobienie za pomocą odcisków paznokcia w kulturze lużyckiej zauważa, że motyw ten występuje także na innych formach naczyń – na kubkach, talerzach, na naczyniach jajowych i beczułkowatych – ale przeważnie na powierzchni zewnętrznej¹⁶. Józef Okulicz wskazuje, że u schyłku VI okresu epoki brązu zaczyna wyodrębniać się kultura kurhanów zachodniobałtyjskich. Według tego autora pierwsza faza tej kultury to „stadium przejściowe od grupy mazursko-warmińskiej kultury lużyckiej i kultury kurhanów sambijskich”¹⁷. Co ważne, jako jedną z głównych, charakterystycznych form naczyń podaje „naczynia beczułkowate, często z karbowaną krawędzią”¹⁸. Nie można zatem także wykluczyć, że umocnienia zostały wzniesione przez ludność kultury kurhanów zachodniobałtyjskich. Określenie dokładnej afiliacji kulturowej ludności, która zbudowała i zamieszkiwała osiedle obronne w Gładyszach, st. 3, na obecnym etapie badań wydaje się niemożliwe i konieczne są dalsze badania.

Na koniec warto odnotować, że na stoku cypla, na którym znajduje się stanowisko, odkryto wychodnię krzemienia bałtyckiego. Być może osada w tym miejscu powstała właśnie ze względu na występowanie tego surowca, który był nadal wykorzystywany przez ludność kultury lużyckiej i kultury kurhanów zachodniobałtyjskich¹⁹.

¹³ Analiza przeprowadzona w Poznańskim Laboratorium Radiowęglowym, próba nr Poz-121132.

¹⁴ Dąbrowski 1997: 88, 98.

¹⁵ Dąbrowski 1997: 98.

¹⁶ Chudziakowa 1974: 47–48.

¹⁷ J. Okulicz 1973: 248.

¹⁸ J. Okulicz 1973: 271–272.

¹⁹ Malinowski 2000: 128–134.

Piasty Wielkie, st. 3

Gmina Górowo Iławeckie

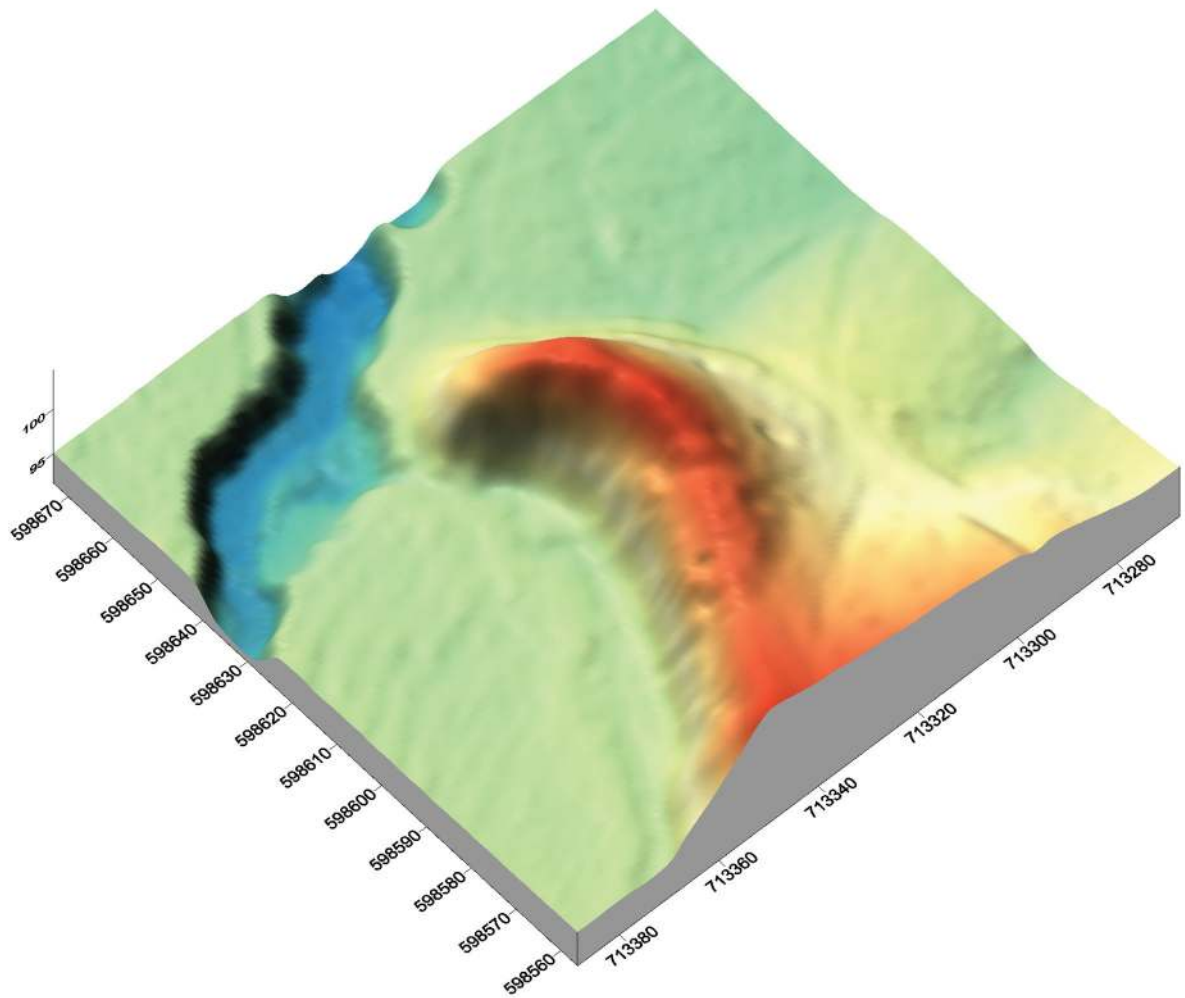
Powiat bartoszycki

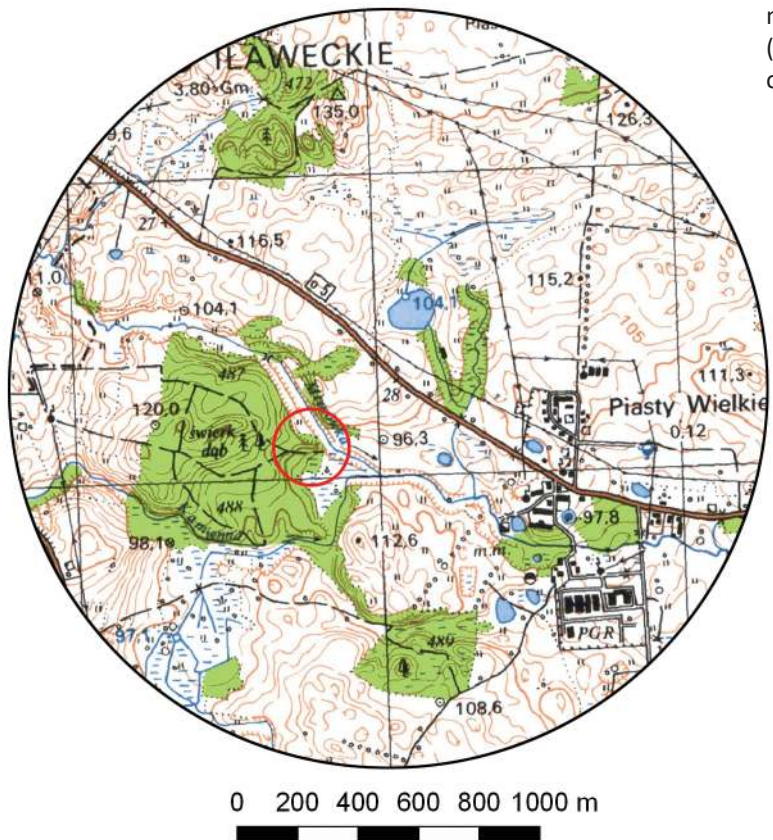
AZP 13-61/10

Współrzędne geograficzne:

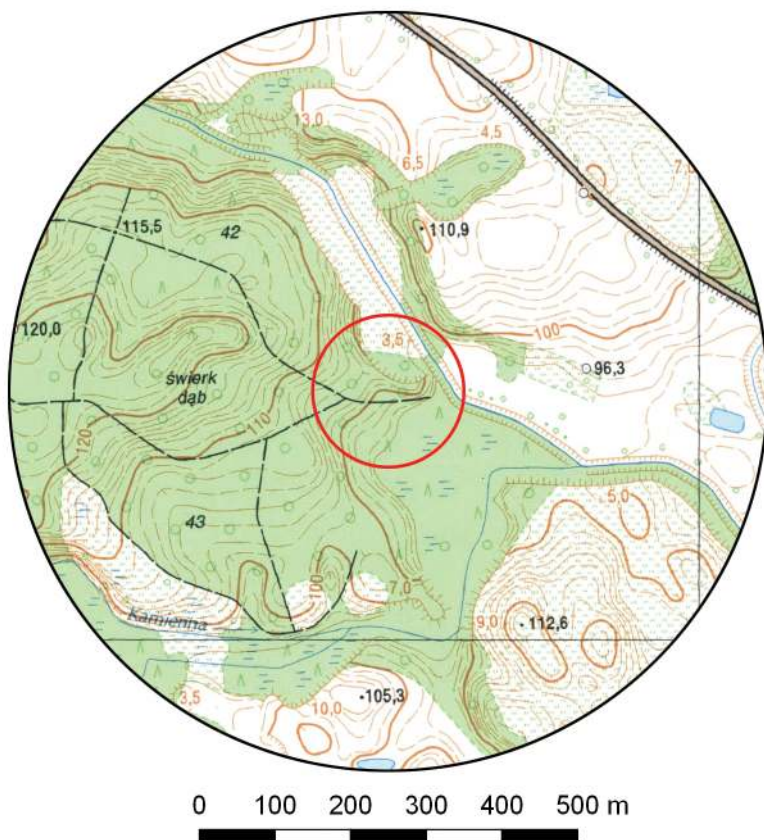
N 54° 16' 28''

E 20° 30' 54''





Ryc. 1. Grodzisko w Piastach Wielkich, st. 3
na mapie w skali 1:25 000
(na podstawie materiałów GUGiK,
oprac. R. Solecki)



Ryc. 2. Grodzisko w Piastach Wielkich, st. 3
na mapie w skali 1:10 000
(na podstawie materiałów GUGiK,
oprac. R. Solecki)

POŁOŻENIE GRODZISKA I JEGO FORMA

RAFAŁ SOLECKI

Grodzisko w Piastach Wielkich (niem. *Groß Peisten*), st. 3 nie było do tej pory zewidencjonowane w ramach projektu Archeologiczne Zdjęcie Polski. Zostało rozpoznane po raz pierwszy podczas weryfikacji realizowanych w ramach projektu NPRH *Katalog grodzisk Warmii i Mazur. Część II. Warmia Wschodnia i Natangia*. Być może jednak to o tym stanowisku wspomina Emil Hollack w swej pracy z 1908 roku, przypisując je do wsi Zielenica (niem. *Grünwalde*). Sam opis położenia stanowiska jest niejednoznaczny, ale na mapie wskazane jest stanowisko położone pomiędzy Piastami Wielkimi a Zielenicą (ryc. 3)¹. W obu tych miejscowościach poświadczane są także liczne stanowiska datowane na epokę brązu i wcześnieą epokę żelaza².

Grodzisko położone jest w odległości około 800 m na zachód od wsi. Zajmuje wysoki, wyeksponowany cypel, znajdujący się w widłach rzeki Górowskiej Młynek i Kamiennej. Na mapie z 1887 roku (ryc. 4)³ bezpośrednio na południe od stanowiska znajduje się przeprawa przez rzekę Młynekę (niem.

¹ Hollack 1908: 52–53.

² Ł. Okulicz 1970: 185–186, 200.

³ *Topographische Karte 1:25 000 (Meßtischblatt)*, karta Gr. Peisten (1789), z 1887 r.



Ryc. 3. Fragment mapy autorstwa E. Hollacka z zaznaczonym grodziskiem pomiędzy wsiami Piasty Wielkie (Gr Peisten) i Zielenica (Grünwalde) (źródło: www.maps.mapywig.org)

Mühlen Flüsschen), tuż powyżej stawu młynskiego (niem. *Mühlen T., Mühlen Teich*)⁴. Droga prowadząca do tej przeprawy jest widoczna do dziś.

Piasty Wielkie są poświadczane w źródłach od początku XV wieku. Po raz pierwszy ich nazwa, pisana jako *Grose/Große Paistio*, pojawia się w dokumencie z 1414 roku⁵, który jest spisem strat wojennych po wojnie polsko-krzyżackiej. Młyn we wsi wzmiarkowany jest już w 1437 roku⁶. Od około XVI wieku wieś zaczęła rozwijać się pod zarządem rodu Kreytzen, by z czasem stać się główną włością tegoż rodu⁷.

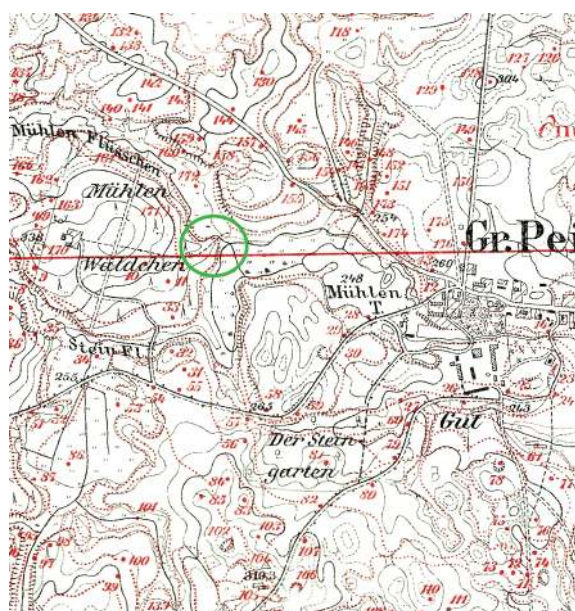
Stanowisko jest porośnięte rzadkim lasem mieszanym z dominującymi gatunkami liściastymi. Zachowane jest w formie szczytowej. Obecnie zajmuje cypel długości około 45 m i szerokości do 5 m (ryc. 5), który jest odcięty od wysoczyzny przez niemal niewidoczną w terenie fosę i silnie zerodowany wał (ryc. 6–7). Pierwotnie cypel był najpewniej szerszy, ale uległ zniszczeniu w wyniku podmywania go przez rzekę. Proces obsuwania się stoków trwa do dziś, co jest wyjątkowo dobrze widoczne od strony północnego stoku. Rekonstrukcja oryginalnej formy grodziska jest niemożliwa.

⁴ Leyding 1987: 26.

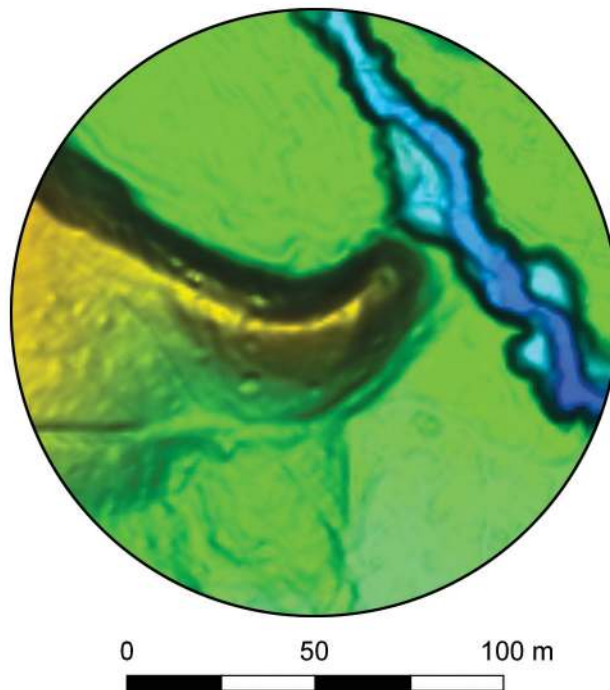
⁵ Petraszko i Wakar 1987b: 317–318; Thielen 1958: 39 (dokument 147), 43 (dokument 155).

⁶ Kubicki 2012: 492 (+ pozycja 351 w katalogu).

⁷ Petraszko i Wakar 1987b: 251.



Ryc. 4. Grodzisko w Piastach Wielkich, st. 3 na mapie *Topographische Karte (Meßtischblatt) 1:25 000*, karta Gr. Peisten (1789), z 1887 r. (źródło: www.maps.mapywig.org)



Ryc. 5. Grodzisko w Piastach Wielkich, st. 3 na zobrazowaniu ALS (na podstawie materiałów GUGiK, oprac. R. Solecki)



Ryc. 6. Piasty Wielkie, st. 3. Widok od strony zachodniej na wejście na cypel z fosą i wałem (fot. R. Solecki)



Ryc. 7. Piasty Wielkie, st. 3. Widok od strony zachodniej, z linii umocnień, na koniec cypla (fot. R. Solecki)

ŚRODOWISKO FIZYCZNOGEOGRAFICZNE

RAFAŁ SOLECKI

Według podziału fizycznogeograficznego Polski Jęz. Kondrackiego, grodzisko w Piastach Wielkich, st. 3 znajduje się w mezoregionie Wzniesienia Górowskie⁸.

Według *Szczegółowej Mapy Geologicznej Polski* w skali 1:50 000 (arkusz Wojciechy)⁹ stanowisko jest położone na krawędzi wyniesienia, którego najmłodszą jednostką są plejstoceńskie gliny zwałowe powstałe w stadiale górnym zlodowacenia Wisły (ryc. 8). Według *Mapy Geologicznej Polski* w skali 1:200 000 stanowisko jest położone na glinach zwałowych, miejscami glinach zwałowych z facją ilastą, powstałych z trakcie fazy pomorskiej stadiału głównego zlodowacenia północnopolskiego. Według *Mapy Geologicznej Polski* w skali 1:500 000 stanowisko położone jest

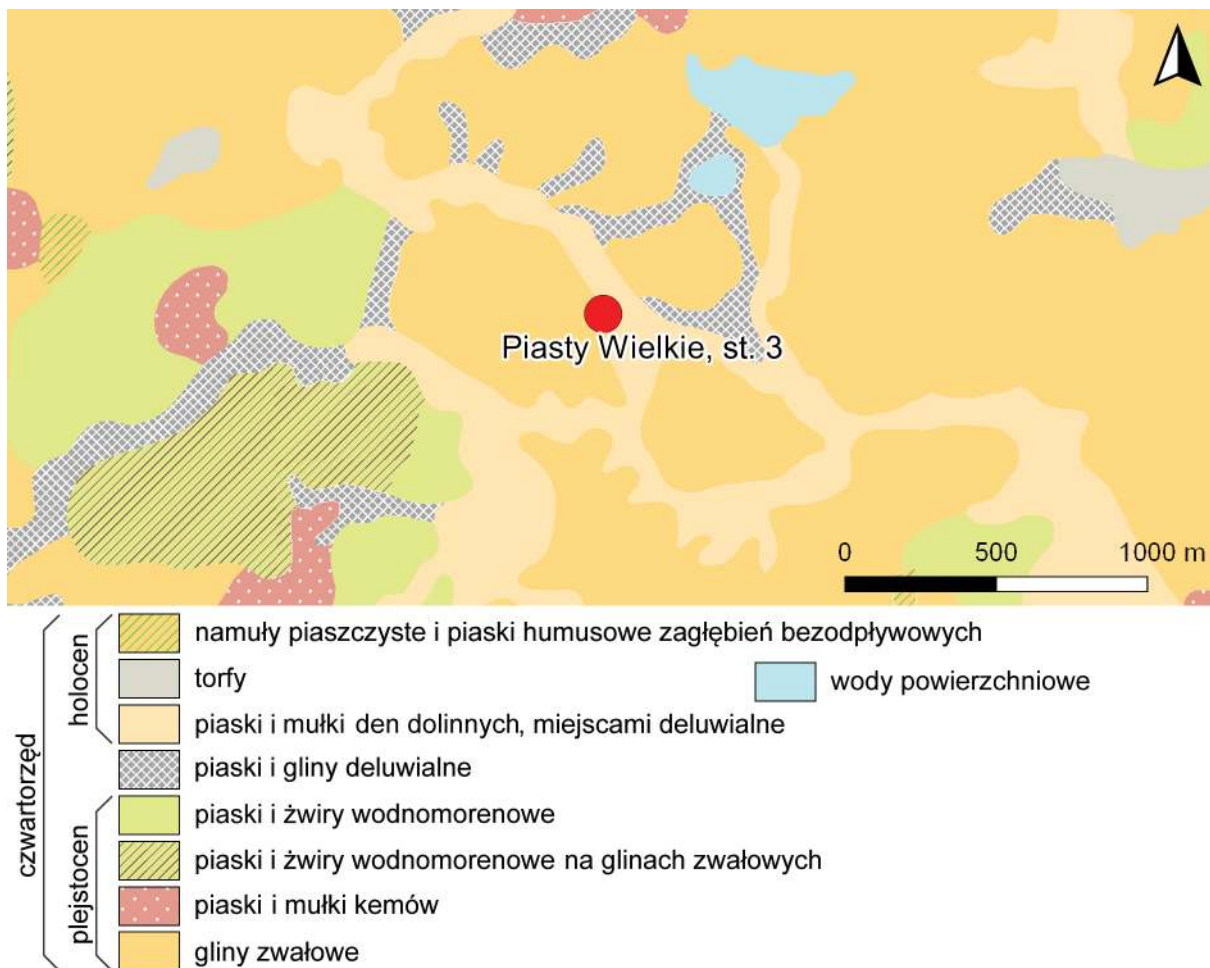
⁸ Kondracki 2002: 100–102.

⁹ Giemza 2015b.

na piaskach i żwirach sandrowych powstających w trakcie zlodowacenia północnopolskiego.

Pod względem geologicznym stanowisko znajduje się w granicach syneklizy perybałtyckiej platformy wschodnioeuropejskiej. Położone jest na wschodnim stoku wypiętrzenia Wzniesień Górowskich, które w tym miejscu są porozcinane przez niewielkie doliny utworzone przez spływające wody. W strefie tej występują także lokalne obniżenia terenu oraz formy szczelinowe, w których kumulowały się iły, mułki i piaski. Częste są także moreny martwego lodu i kemy. Wyniesienie, na którego krawędzi znajduje się stanowisko, należy interpretować jako kem. Formy kemo-wy występują dość licznie w pasie pomiędzy Zielenicą a Worynami. Mają zazwyczaj lekko wydłużony kształt, lekko nachylone zbocza, powierzchnię około 1 km² i wysokość ponad 15 m. Tworzą je mułki i piaski przykryte cienkimi płaszczyzami gliny¹⁰.

¹⁰ Giemza 2015b: 10–32.



Ryc. 8. Wycinek arkusza Szczegółowej Mapy Geologicznej Polski z zaznaczonym stanowiskiem w Piastach Wielkich, st. 3 (źródło:

www.cbdgmapa.pgi.gov.pl/arcgis/services/kartografia/smgp50k/MapServer/WMServer, oprac. R. Solecki)

BADANIA ARCHEOLOGICZNE

RAFAŁ SOLECKI

Przebieg badań terenowych

Początkowo obszar do rozpoznania archeologicznego wytypowano na podstawie obrazowania danych wysokościowych uzyskanych z wykorzystaniem technologii ALS. Widoczny na nich był wąski cypel wchodzący od południa w dolinę rzeki Młynówka. Od wysoczyzny był on odcięty za pomocą formy, którą wstępnie zinterpretowano jako sucha fosa.

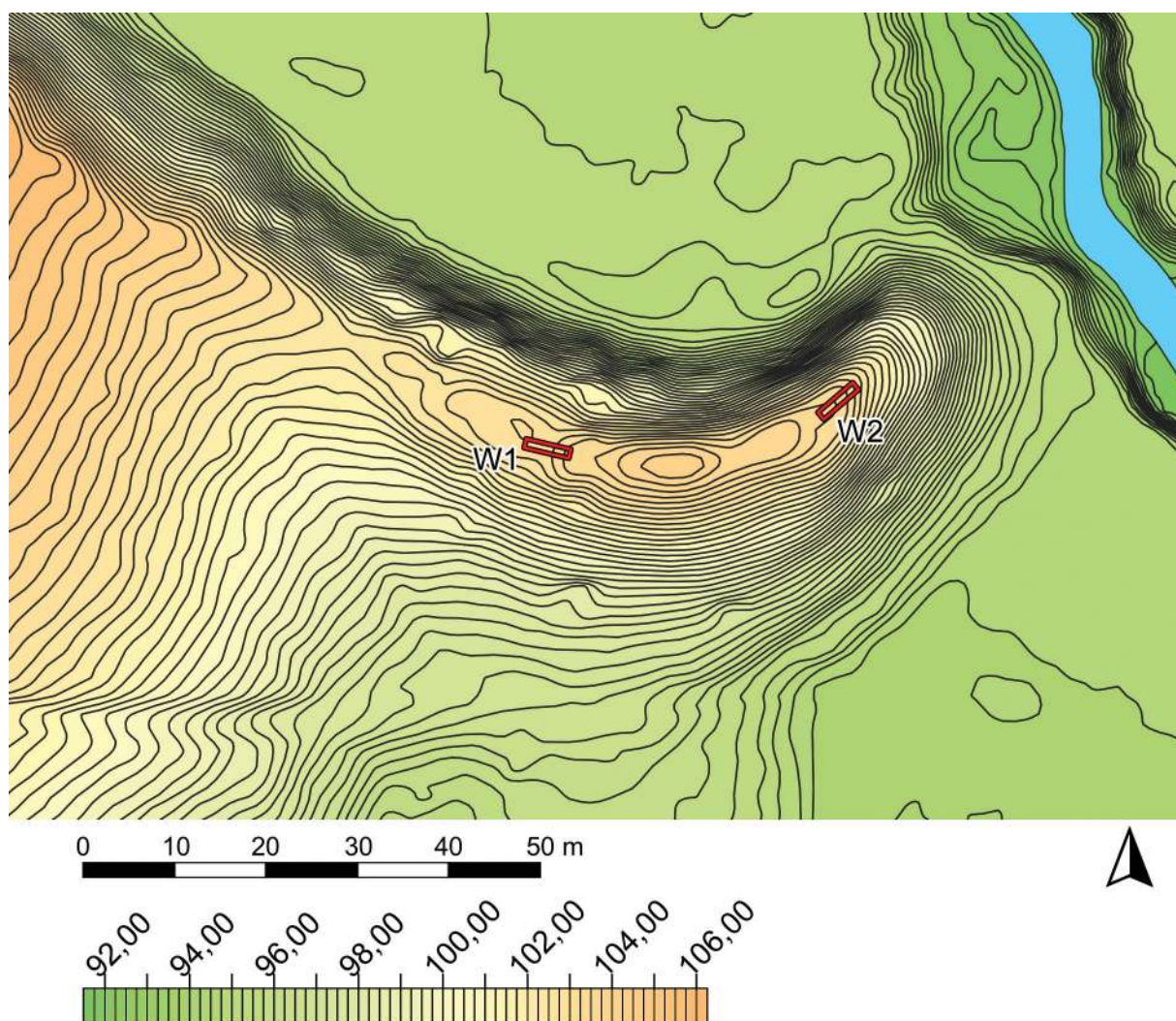
Weryfikację stanowiska w terenie przeprowadzono wiosną, a badania latem 2020 roku. Pierwszy wykop badawczy W1 o wymiarach 1×5 m miał za zadanie rozpoznać układ jednostek stratygraficznych w obrębie wspomnianej fosy. Drugi wykop badawczy W2, także o wymiarach 1×5 m, wytyczono na końcu cypla w celu rozpoznania, czy zachowane są tam jakiekolwiek warstwy kulturowe. Położenie wykopów prezentuje ryc. 9.

Stratygrafia stanowiska

W trakcie omawianych badań archeologicznych wydzielono łącznie 15 jednostek stratygraficznych (tabela 1). Możliwe było ich rozdzielenie pomiędzy warstwy naturalne i cztery fazy „użytkowe”. Diagram Harris'a dla wydzielonych jednostek stratygraficznych przedstawia ryc. 10, a zadokumentowane powierzchnie ryc. 11–13.

Warstwy naturalne

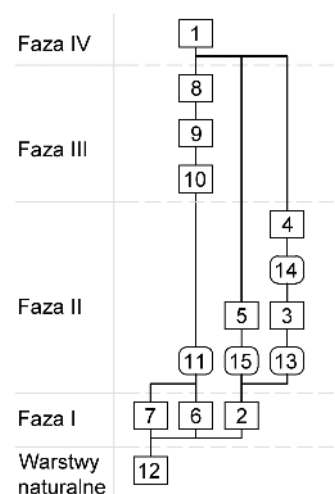
W trakcie badań, jako jednostkę naturalną zidentyfikowano drobno- i średnioziarnisty piasek z rudymi, żelazistymi smugami 12. W jego części stropowej występowały miejscowo soczewki frakcji ilastej o rudym zabarwieniu. Najwyższy zanotowany punkt naturalnego podłoża geologicznego znajdował się na obszarze majdanu i osiągał poziom 103,35 m n.p.m.



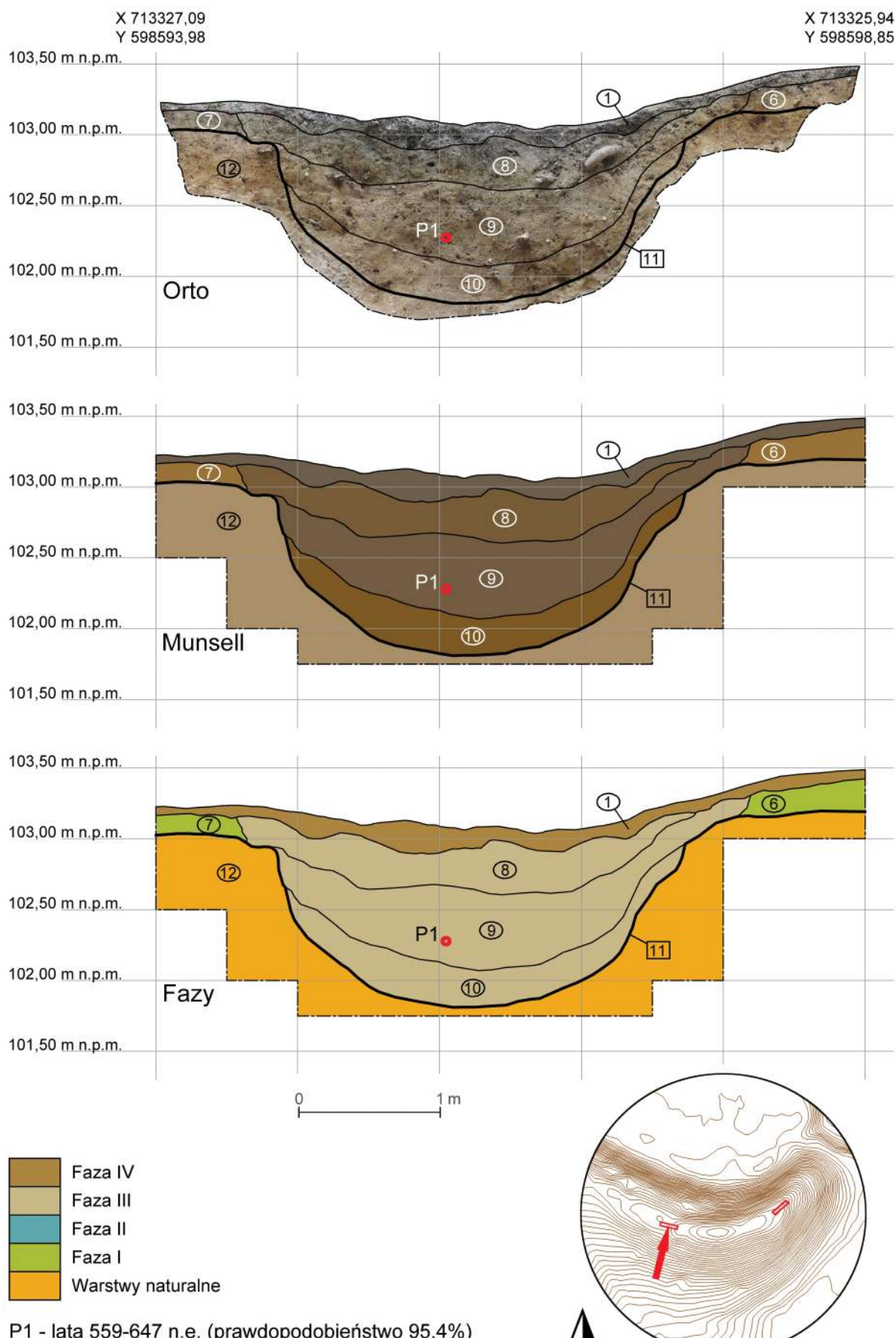
Ryc. 9. Piasty Wielkie, st. 3. Plan grodziska z naniesionymi wykopami archeologicznymi (oprac. R. Solecki)

Tabela 1. Piasty Wielkie, st. 3. Katalog warstw i obiektów oraz ich zależności stratygraficznych (oprac. R. Solecki)

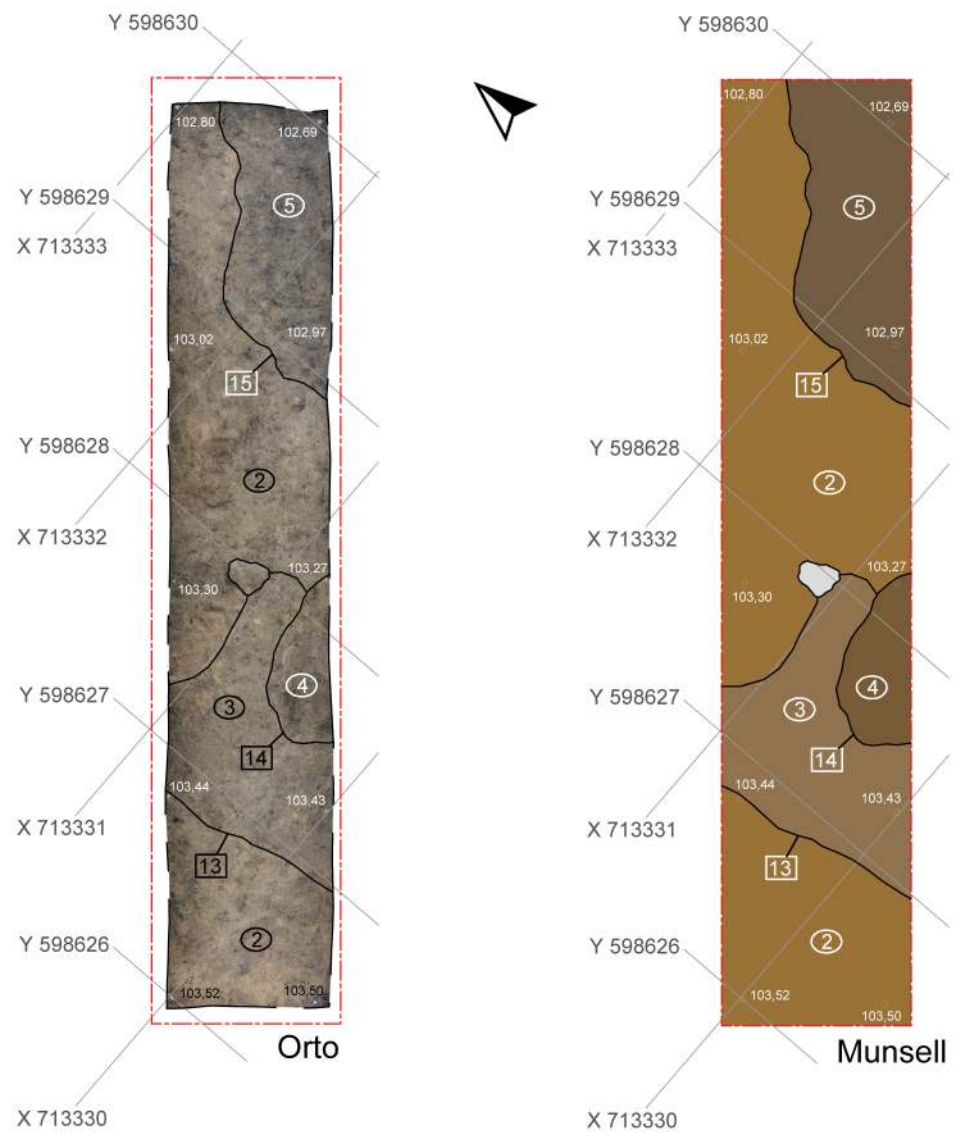
Numer jednostki	Numer obiektu	Numer wykopu	Położenie w obrębie stanowiska	Współrzędne geodezyczne (PUWG 1992)	Opis jednostki stratygraficznej (rodzaj sedymentu, miąższość, zawartość zabytkowa, przypuszczalna funkcja/proces formowania)	Barwa (Munsell)	Pozycja stratygraficzna	
						Znajduje się pod	Znajduje się nad	
1	-	1, 2	Całe stanowisko	X=713324,8-713333,3; Y=598593,7-598630,3	Piaszczysto-ilasta, humusowa ziemia; miąższość do 30 cm; humus leśny	10YR 4/2	-	6, 7, 8
2	-	2	Domniemany majdan	X=713329,2-713333,3; Y=598625,7-598629,9	Drobnoziarnisty, lekko pylasty piasek; miąższość do 30 cm; poziom z okresu poprzedzającego budowę umocnień	10YR 5/6	1, 13, 14, 15	12
3	13	2	Domniemany majdan	X=713329,5-713331,2; Y=598626,7-598628,2	Drobnoziarnisty, lekko pylasty, lekko ziemisty piasek z drobinami węgli drzewnych; wypełnisko obiektu 13	10YR 5/4	2, 4, 14	2, 12, 13
4	14	2	Domniemany majdan	X=713330,1-713330,9; Y=598627,3-598628,3	Drobnoziarnisty, lekko ziemisty piasek; wypełnisko obiektu 14	10YR 4/4	1	2, 3, 14
5	15	2	Domniemany majdan	X=713331,3-713333,1; Y=598628,8-598630,3	Ziemisty piasek; wypełnisko obiektu 15	10Y 4/3	1	2, 12, 15
6	-	1	Rejon fosy	X=713324,8-713326,3; Y=598596,7-598598,9	Ilasty piasek; miąższość do 25 cm; poziom z okresu poprzedzającego budowę umocnień	10YR 5/6	1, 9	12
7	-	1	Rejon fosy	X=713325,8-713327,2; Y=598593,7-598595,1	Ilasty piasek; miąższość do 15 cm; poziom z okresu poprzedzającego budowę umocnień	10YR 5/6	1, 8	12
8	11	1	Fosa	X=713325,0-713327,1; Y=598593,9-598598,6	Ilasty i ziemisty piasek z pojedynczymi drobinami węgli drzewnych; miąższość do 40 cm; jedno z wypełnisk fosy	10YR 4/4	1	7, 9, 10
9	11	1	Fosa	X=713325,0-713327,1; Y=598593,9-598598,6	Ziemisty piasek z pojedynczymi, drobnymi węgielkami; miąższość do 60 cm; jedno z wypełnisk fosy	10YR 4/3	1, 8	6, 10, 12
10	11	1	Fosa	X=713325,0-713327,1; Y=598593,9-598598,6	Ilasty, gliniasty piasek; miąższość do 30 cm; jedno z wypełnisk fosy	10YR 4/6	9	11, 12
11	11	1	Fosa	X=713325,0-713327,1; Y=598593,9-598598,6	Regularny, U-kształtny w profilu rów; zarejestrowane wymiary do szerokości do 330 cm i głębokość do 120 cm; sucha fosa; wypełniskiem są warstwy 8, 9 i 10	-	10	12
12	-	1, 2	Całe stanowisko	X=713324,8-713333,1; Y=598593,7-598630,3	Drobno- i średnioziarnisty piasek z rudymi, żelazistymi smugami; warstwa naturalna	10YR 6/4	6, 7, 11	-
13	13	2	Domniemany majdan	X=713329,5-713331,2; Y=598626,7-598628,2	Wkop, uchwycony fragmentarycznie, nieregularny w planie, nieckowy w profilu, średnica do 180 cm, głębokość do 35 cm; wypełniskiem jest warstwa 3	-	3	2, 12
14	14	2	Domniemany majdan	X=713330,1-713330,9; Y=598627,4-598628,3	Wkop, uchwycony fragmentarycznie, ovalny w planie, nieckowy w profilu, średnica do 95 cm, głębokość do 25 cm; wypełniskiem jest warstwa 4	-	4	2, 3
15	16	2	Domniemany majdan	X=713331,3-713333,1; Y=598628,8-598630,3	Wkop, uchwycony fragmentarycznie, nieregularny w planie, nieckowy w profilu, średnica do 190 cm, głębokość do 35 cm; wypełniskiem jest warstwa 5	-	5	2, 12

**Ryc. 10.** Piasty Wielkie, st. 3. Diagram relacji stratygraficznych (oprac. R. Solecki)**Faza I**

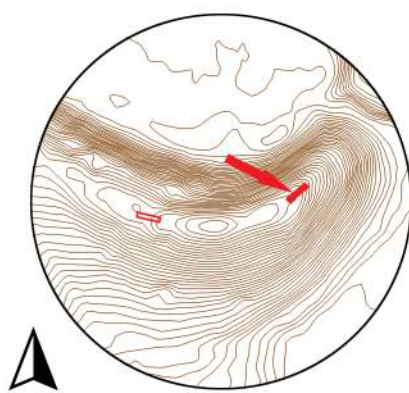
Faza ta wyznacza okres bezpośrednio poprzedzający budowę umocnień – fosy i wału. Zaliczono do niej ilasty piasek 7 występujący w W1 po zewnętrznej stronie fosy, ilasty piasek 6 występujący w W1 po wewnętrznej stronie fosy oraz drobnoziarnisty, lekko pylasty piasek 2 występujący w W2, na obszarze majdanu. W wymienionych warstwach nie znaleziono żadnego materiału zabytkowego, który mógłby pomóc w ustaleniu chronologii. Warto jednak zauważyć, że warstwy te występują bezpośrednio poniżej cienkiego poziomu współczesnego humusu leśnego 1, który tylko nieznacznie zabezpiecza je przed procesami erozyjnymi. Niewykluczone, że strop



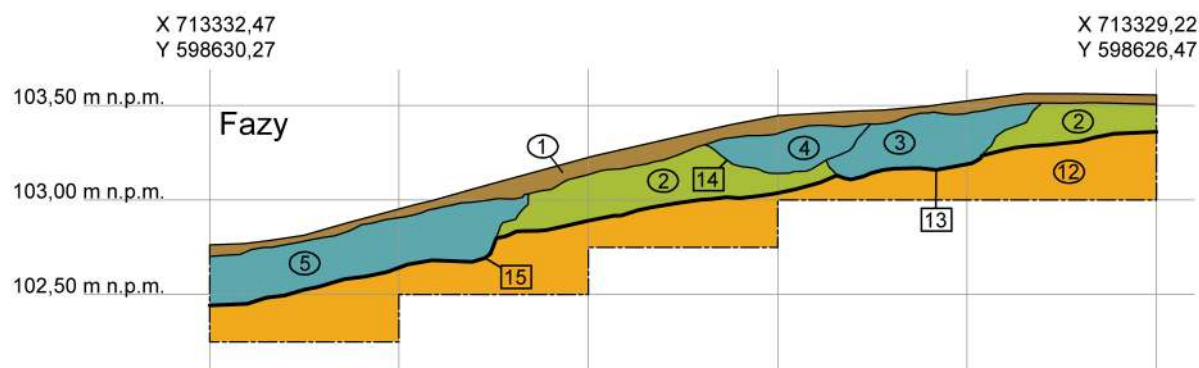
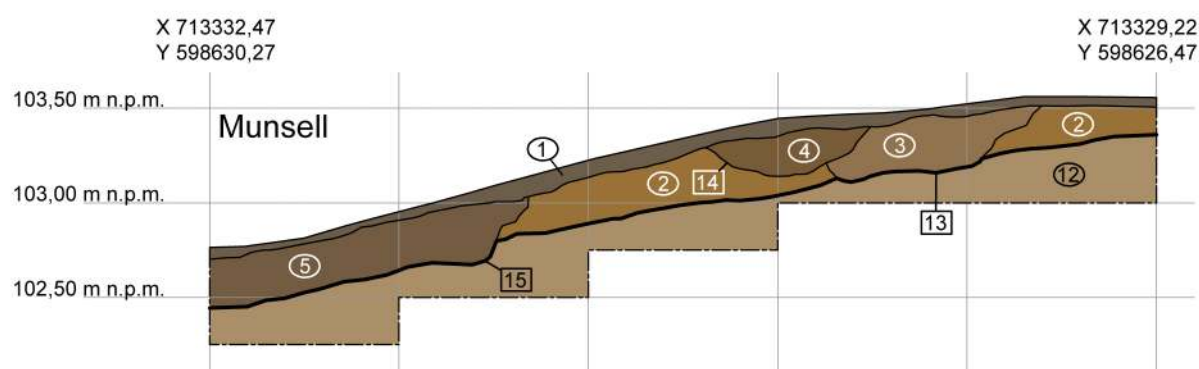
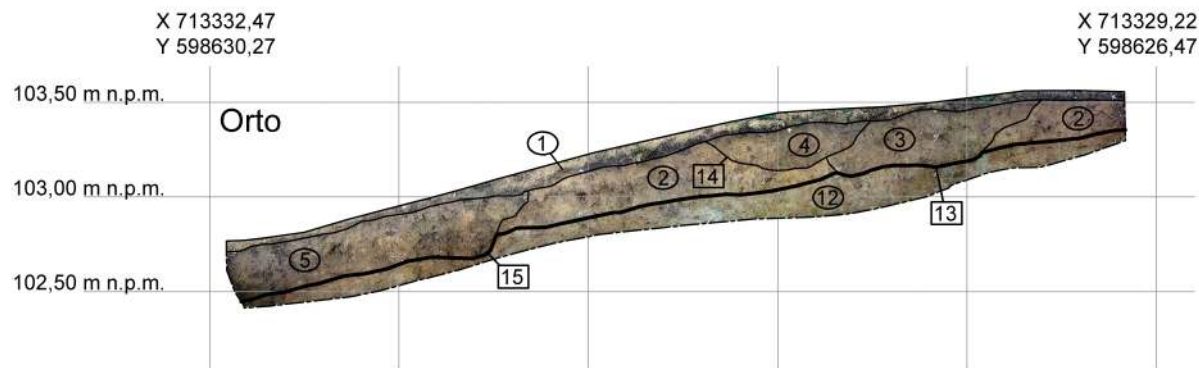
Ryc. 11. Piasty Wielkie, st. 3. Stratygrafia nawarstwień w obrębie fosy – wykop 1 (oprac. M. Antos i R. Solecki)



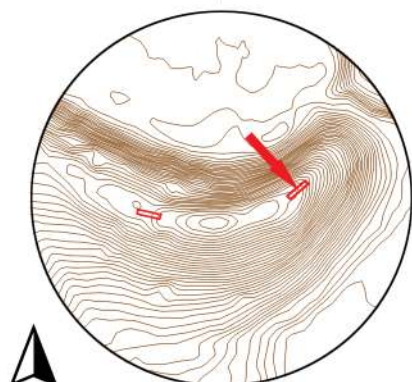
0 1 m



Ryc. 12. Piasty Wielkie, st. 3. Stratygrafia nawarstwień na obszarze majdanu – wykop 2
(oprac. M. Antos i R. Solecki)



0 1 m



Ryc. 13. Piasty Wielkie, st. 3. Stratygrafia nawarstwień na obszarze majdanu – wykop 2
(oprac. M. Antos i R. Solecki)

tych warstw uległ już wymyciu, a ewentualny materiały zabytkowy, który się w nich pierwotnie znajdował, mógł spływać w kierunku doliny rzeki.

Faza II

Fazę tę wyznacza pojawienie się na obszarze stanowiska osadnictwa.

Do fazy tej zaliczono cztery obiekty:

- wkop 11 w W1; regularny, U-kształtny w profilu rów; zanotowane wymiary to szerokość do 330 cm i głębokość do 120 cm; jest to wkop formujący fosę;
- uchwycony fragmentarnie wkop 13 w W2; nieregularny w planie, nieckowaty w profilu; zanotowane wymiary to średnica do 180 cm i głębokość do 35 cm; wypełniskiem był drobnoziarnisty, lekko pylasty, lekko ziemisty piasek 3 z drobinami węgla drzewnego;
- uchwycony fragmentarnie wkop 14 w W2; ovalny w planie, nieckowaty w profilu; zanotowane wymiary to średnica do 95 cm i głębokość do 25 cm; wypełniskiem drobnoziarnisty, lekko ziemisty piasek 4;
- uchwycony fragmentarnie wkop 15 w W2; nieregularny w planie, nieckowaty w profilu; zanotowane wymiary to średnica do 190 cm i głębokość do 35 cm; wypełniskiem był ziemisty piasek 5.

Ze względu na fakt, że w warstwach wiązanych z tą fazą nie znaleziono materiału zabytkowego, który pozwoliłby na określenie chronologii jednostek, nie jest możliwe stwierdzenie czy pochodzą one z jednego okresu zasiedlenia stanowiska, czy są z różnych okresów chronologicznych.

Uzupełniając jeszcze informacje dotyczące umocnień, warto zauważyć, że odkryty rów 11 formujący fosę jest znacznych rozmiarów. W wykopie badawczym nie udało się jednak zadokumentować nasypu wału. W większości uległ on już wyerodowaniu, natomiast miejsce, gdzie na powierzchni ziemi były czytelne jego zachowane relikty, znajdowało się bezpośrednio w obrębie systemu korzeniowego drzewa i otworzenie wykopu nie było tam możliwe.

Faza III

Faza ta wyznacza okres po opuszczeniu stanowiska, kiedy jego obszar był stopniowo niszczący w wyniku działania procesów erozyjnych.

Warstwy związane z tą fazą wydzielono w obrębie wkopu 11 wiązanego z fosą. W kolejności stratygraficznej są to: ilasty i gliniasty piasek 10, ziemisty piasek 9 z pojedynczymi, drobnymi węgielkami oraz ilasty i ziemisty piasek 8 z pojedynczymi drobinami węgli drzewnych. Nawarstwienia te powstały najpewniej w trakcie rozmywania nasypu wału. Z warstwy 9, będącej jednym z erozyjnych wypełników fosy, pobrano próbę węgla do analizy radiowęglowej. Wynik tej analizy dał po kalibracji przedział lat 559–647 n.e. z prawdopodobieństwem 95,4%¹¹.

Faza IV

Faza ta wyznacza współczesny poziom użytkowy stanowiska. Warstwa przypisana do tej fazy to piaszczysto-ilasta, humusowa ziemia 1 – poziom dzisiejszego humusu leśnego.

ZNALEZISKA

RAFAŁ SOLECKI

Na materiał zabytkowy pozyskany w trakcie badań archeologicznych grodziska w Piastach Wielkich, st. 3, w 2020 roku składają się: jeden fragment ceramiki, cztery zabytki wydzielone oraz trzy fragmenty kości.

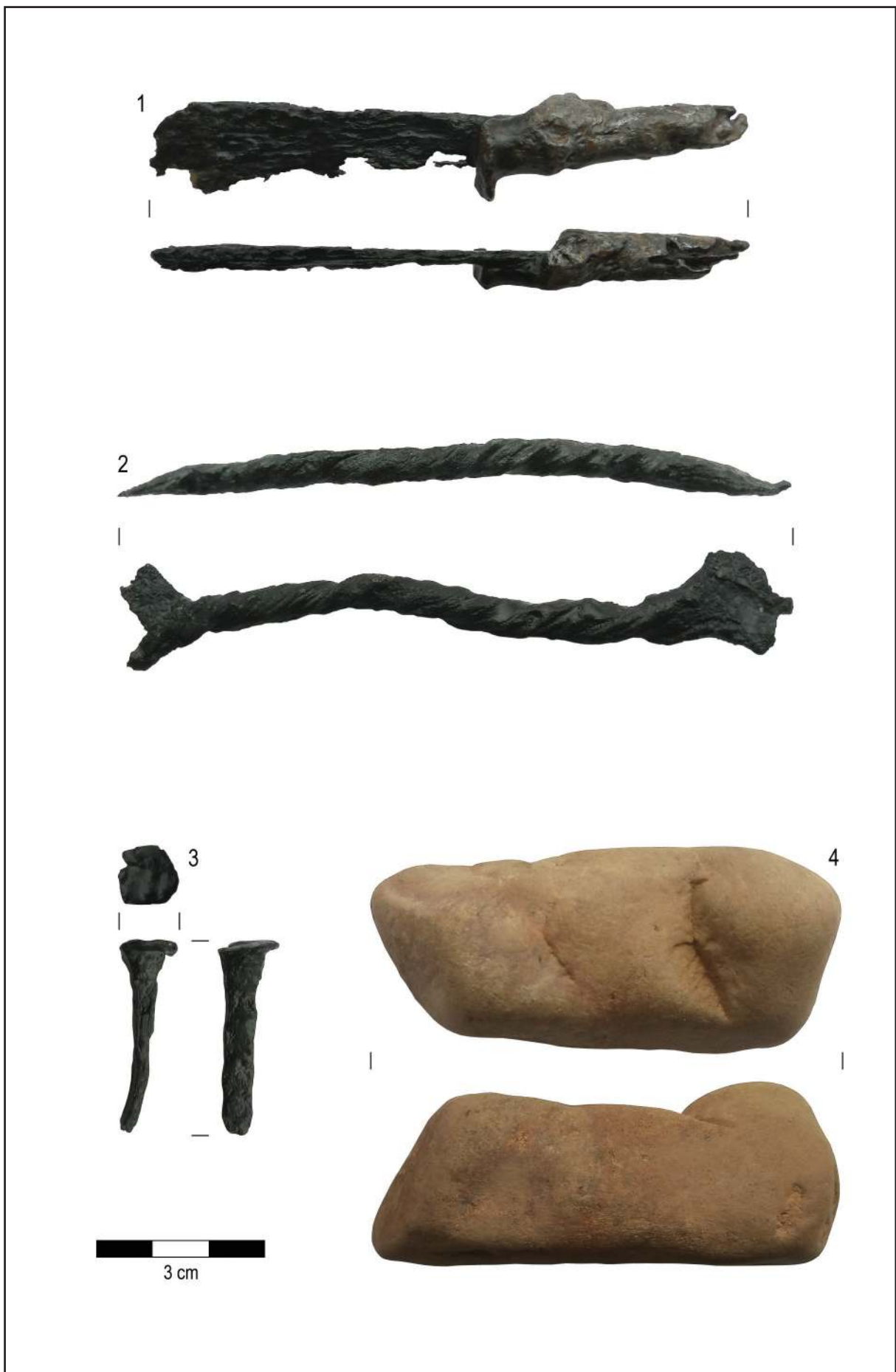
Ceramika

W trakcie badań pozyskano tylko jeden fragment naczynia ceramicznego. Pochodził on z warstwy 8, będącej najmłodszym, erozyjnym wypełniskiem fosy. Fragment brzuśca ma średnicę 5,5 cm i grubość do 7 mm. Jego powierzchnia jest generalnie gładka, ale możliwe jest wyczucie nierówności wynikających z użycia grubszej domieszki schudzającej. Naczynie wykonano z gliny żelazistej i wypalone w atmosferze redukcyjnej – kolor skorupy jest ciemnoszary, miejscowo przechodzący w ciemny brąz (ślad tzw. niedosiwienia). Naczynia wykonane w takiej technologii można datować na okres średniowiecza, od połowy XIII do XV wieku.

Zabytki wydzielone

Pierwszym zabytkiem wydzielonym jest fragment żelaznego noża z trzpieniem w formie kolca (tabl. 1:1). Długość całkowita zabytku to 11 cm, ostrze ma długość 6 cm i szerokość do 1,6 cm. Ze względu na zły stan zachowania,

¹¹ Analiza przeprowadzona w Poznańskim Laboratorium Radiowęglowym, próba nr Poz-127519.



Tablica 1. Piasty Wielkie, st. 3. Zabytki wydzielone (fot. R. Solecki)

nie jest możliwe jednoznaczne sklasyfikowanie omawianego egzemplarza. Określenia nie ułatwia fakt, że trzpień był zatopiony w ołowiu, który wykorzystano najpewniej do ustabilizowania noża w oprawce.

Drugi zabytek wydzielony to żelazny pręcik (tabl. 1:2) długości 12 cm i średnicy 0,6–0,7 cm, skręcony wzdłuż własnej osi i o rozklepanych obu końcach. Na płaskich zakończeniach widoczne są ślady pęknięć. Zabytki o zbliżonej formie interpretowane są jako elementy wędzideł. Dość liczna grupa znana jest z oddalonego o około 75 km w linii prostej na północ cmentarzyska w miejscowości Klinovka, w rejonie zielonogradskim, w Obwodzie Kaliningradzkim, datowanego szeroko, od V do XII wieku. Same zabytki występowały jednak w kontekstach, które datowane były na około X – połowę XI wieku¹². Na tym samym stanowisku znaleziono także ramię wagi wykonane z żelaznego, skręconego drutu, ale tamten zabytek był wyraźnie dłuższy i bardziej wygięty¹³.

Trzecim zabytkiem wydzielonym jest nie-duży, żelazny gwóźdź (tabl. 1:3). Ostrze gwoździa jest prostokątne w przekroju, o wymiarach 0,6×0,4 cm i długości 3,3 cm. Główka jest nieregularnie kolista, o średnicy około 1 cm. W klasyfikacji Łukasza Siczka, omawianemu gwoździowi najbliżej do typu B/C¹⁴ a w klasyfikacji Bogusława Gierlacha do typu B¹⁵. Drugi z badaczy pojawienie się tego typu gwoździ datuje na około XIII wiek.

Ostatni zabytek wydzielony to kamień (tabl. 1:4) – drobnoziarnisty piaskowiec – z czytelnymi śladami dwóch, liniowych, równoległych względem siebie, intencjonalnie wykonanych zagłębień. Wymiary kamienia to długość 8,5 cm, szerokość 3,7 cm i grubość 3,3 cm. Zagłębia mają głębokość do 0,5 cm i oddalone są od siebie o około 2,5 cm. Zabytek tego typu można interpretować, jako odmianę osełki. Jak zauważył Stanisław Pazda przy okazji analizy osełka z osady wczesnośredniowiecznej w Radłowicach, gm. Domañów, ich kształt był dopasowywany do narzędzi, którym miały służyć¹⁶. Zapewne podobnie było także w przypadku omawianej oseł-



Ryc. 14. Piasty Wielkie, st. 3. Zdjęcie poglądowe uszkodzenia na kości (fot. R. Solecki)

ki. Jej wyjątkowy kształt i niecharakterystyczne ślady zużycia wynikają zapewne z wykorzystywania jej w mniej typowy sposób, np. przy obróbce kości lub poroża.

Kości

W trakcie badań pozyskano 3 fragmenty jednej kości. Wszystkie znajdowały się w warstwie 9, będącej jednym z erozyjnych wypełniak fosy. Kość należała do konia, osobnika dorosłego, a była to łopatka kończyny prawej¹⁷. Na kości widoczny był ślad po uszkodzeniu mechanicznym wtórnym – cięcie długości około 3 cm, głębokości do 1 cm i szerokości do 0,2 cm (ryc. 14).

CHRONOLOGIA I DZIEJE GRODZISKA W PIASTACH WIELKICH, ST. 3

RAFAŁ SOLECKI

Wysuwanie daleko idących wniosków na temat stanowiska w Piastach Wielkich, st. 3, jest trudne, jeżeli nie niemożliwe. Przyczyną jest fakt, że stanowisko, które zajmowało cypel wchodzący w dolinę rzeki Górowskiej Młynówki, zostało niemal całkowicie zniszczone przez tę rzekę. Długotrwałe podmywanie podstawy cypla doprowadziło do jego obsunięcia się i obecnie zachowany jest jedynie wąski pas szerokości do 5 m i długości około 45 m. Dodatkowo warstwa humusu leśnego jest tu wyjątkowo cienka i tylko w nieznacznym stopniu zabezpiecza przed erozją zalegające poniżej niej warstwy kulturowe. Grubsze pokłady humusu notowane są jedynie w miejscowych obniżeniach terenu, w tym w fosie.

¹² Kulakov 1999: 211–271 (pochówek 18, 37, 44, 86, 112, 115, 140, 145, 152, 156, 157, 161, 164).

¹³ Kulakov 1999: 222.

¹⁴ Siczek 2016: 173.

¹⁵ Gierlach 1966: 145.

¹⁶ Pazda 1995: 230–231.

¹⁷ Ekspertyza materiału kostnego przeprowadzona przez Karolinę Szczygieł.

Prawdopodobnie to stanowisko wymienia w swej pracy E. Hollack, pisząc o grodzisku znajdującym się pomiędzy miejscowościami Zielenica i Piasty Wielkie, ale przypisując je do Zielenicy¹⁸. Badacz nie próbuje jednak określić jego chronologii, a łączy je jedynie z występującymi licznie w pobliżu kurhanami datowanymi na epokę brązu.

W odniesieniu do stanowiska, w świetle badań archeologicznych przeprowadzonych w 2020 roku, można stwierdzić następujące fakty:

- na granicy pomiędzy wysoczyzną a cyplem, w miejscu, gdzie na powierzchni widoczne jest charakterystyczne liniowe obniżenie, udało się odsłonić relikt fosy. Pierwotnie odcinała ona powierzchnię cypla od wysoczyzny. Nasyp wału znajdował się od strony cypla – w terenie nadal widoczny jest w tym miejscu niewielki grzbiet. Taka forma charakterystyczna jest dla grodzisk o formie cyplowej,
- na obecnym etapie badań nie jest możliwe stwierdzenie, kiedy dokładnie umocnienia grodziska powstały. *Terminus ante quem* wyznacza próba węgla pozyskana z warstwy 9, będącej jednym z jej erozyjnych wypełnisk fosy. Wynik analizy radiowęglowej wskazał po kalibracji na przedział lat 559–647 n.e. z prawdopodobieństwem 95,4%¹⁹. Warstwa 9 powstała prawdopodobnie w wyniku rozmywania nasypu

¹⁸ Hollack 1908: 52–53.

¹⁹ Analiza przeprowadzona w Poznańskim Laboratorium Radiowęglowym, próba nr Poz-127519.

wału i jego spływaniu w kierunku fosy. Na tej podstawie jedną z faz osadniczych stanowiska, którą można wiązać z budową umocnień, należy datować na około VI–VII wiek n.e. lub wcześniej,

- powierzchnia stanowiska była wykorzystywana także w okresie średniowiecza, za czym przemawia znalezienie pojedynczych zabytków – jeden fragment ceramiki, nóż żelazny, prawdopodobnie fragment wędzidła i gwóźdź – które można szacunkowo datować szeroko na okres od X aż po XV wiek. Znalezione zabytki oraz obiekty archeologiczne nie pozwalają jednak na określenie, czy stanowisko w tym okresie nadal pełniło funkcje obronne. Nie można wykluczyć, że znalezione zabytki są efektem licznych ale epizodycznych pobytów w tym miejscu. Tu należy przypomnieć, że od około połowy XV wieku w pobliskich Piastach Wielkich znajdował się młyn, oddalony od stanowiska o około 500 m.

Pomimo skąpych danych pochodzących z badań archeologicznych i nikłych perspektyw na powiększenie liczby źródeł archeologicznych (ze względu na skalę zniszczenia stanowiska), należy odnotować obecność grodziska na mapie osadniczej tego obszaru. Nie można wykluczyć, że rozszerzenie w przyszłości zakresu badań, np. w kierunku spływów zdeponowanych na dnie doliny rzeki, lub na obszar zajęty obecnie przez drzewa, pozwoli na ustalenie precyzyjnej chronologii budowy umocnień.

Wiewiórki, st. 1

Gmina Górowo Iławeckie

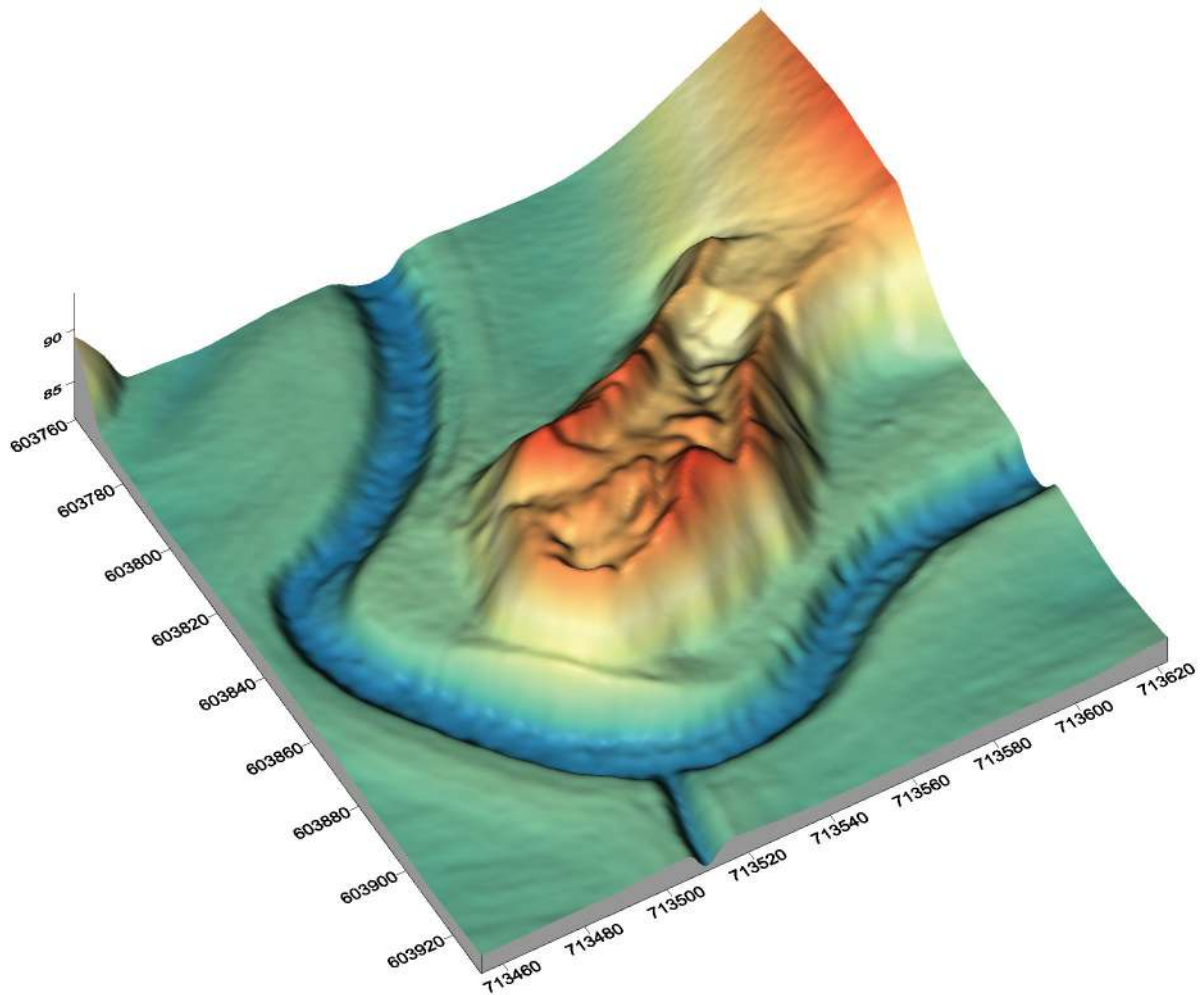
Powiat bartoszycki

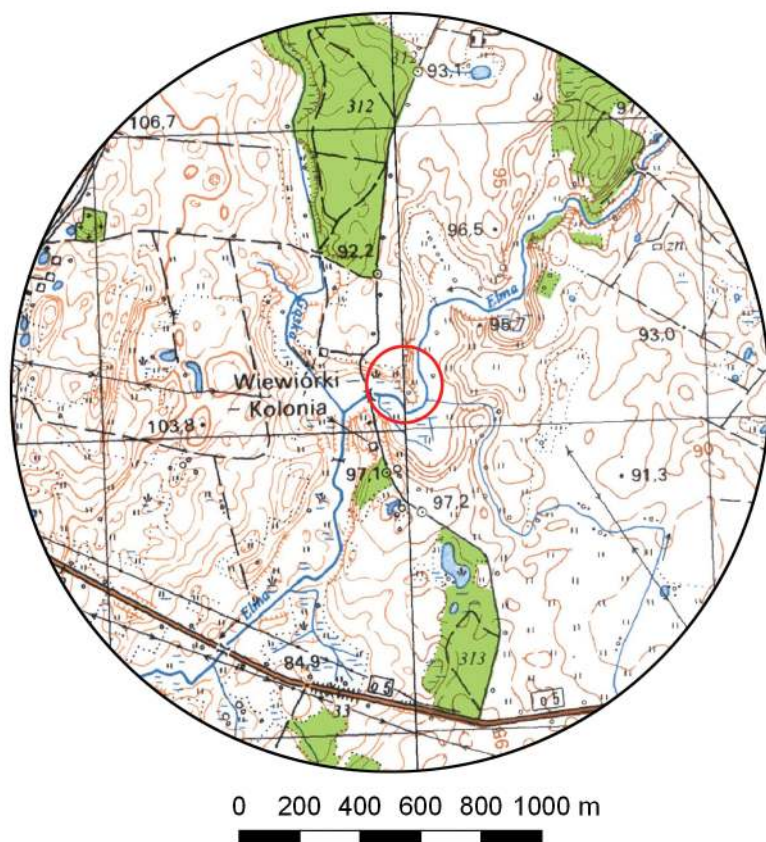
AZP 13-62/1

Współrzędne geograficzne:

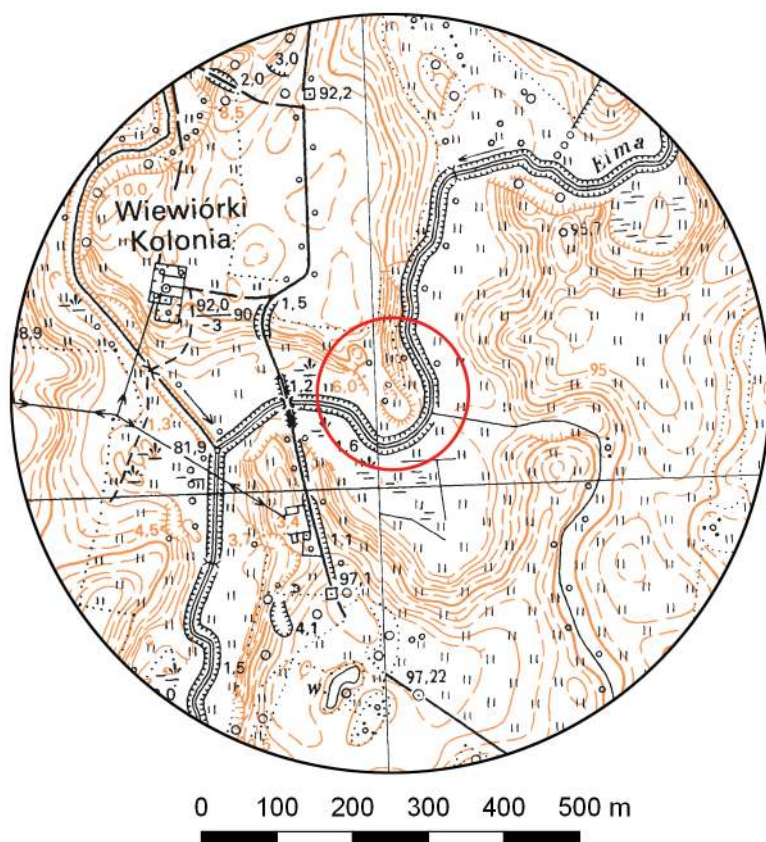
N 54° 16' 31"

E 20° 35' 43"





Ryc. 1. Grodzisko w Wiewiórkach, st. 1
na mapie w skali 1:25 000
(na podstawie materiałów GUGiK,
oprac. R. Solecki)



Ryc. 2. Grodzisko w Wiewiórkach, st. 1
na mapie w skali 1:10 000
(na podstawie materiałów GUGiK,
oprac. R. Solecki)

POŁOŻENIE GRODZISKA I JEGO FORMA

KATARZYNA ZDEB

Grodzisko w Wiewiórkach, st. 1 położone jest w zakolu rzeki Elmy, około 1,5 km na wschód od wsi Wiewiórki, gm. Górowo Iławeckie, pow. Bartoszyce (ryc. 1–2). Znane było już na początku XIX wieku – w 1908 roku skatalogował je Emil Hollack i oznaczył na mapie stanowisk archeologicznych, jako *Eichhorn*. Nie określił jednak chronologii tego stanowiska¹. W 1937 roku, wymienia je w swej pracy Hans Crome nazywając *Eichhorn (Worglitten)* i przypisując chronologię staropruską². Grodzisko ma też swoją kartę ewidencyjną w katalogu *Burgwall-kartei*, gdzie wykonano jego szkic (ryc. 3), ale nie podano informacji o znaleziskach, ani o chronologii³. W 1969 roku stanowisko było weryfikowane przez Dariusza Czlonkowskiego, który w notatce sporządzonej po wizytacji zauważył, że majdan i część wałów grodziska została zniszczona. W odkrywkach na obszarze majdanu nie zaobserwował on warstwy kulturowej, a także nie natrafił na żaden materiał zabytkowy⁴. Grodzisko zostało wpisane do rejestru zabytków decyzją z dnia 29 grudnia 1969 roku⁵. Ostatnia aktualizacja karty ewidencyjnej stanowi-

¹ Hollack 1908: 31.

² Crome 1937: 109.

³ Informacja z karty grodziska znajdującej się w zbiorze *Burgwall-kartei* w w Museum für Vor- und Frühgeschichte w Berlinie.

⁴ Informacje z notatki sporządzonej przez D. Czlonkowskiego 16 czerwca 1969 r.; notatka w archiwum NID.

⁵ Nr w rejestrze zabytków 69A oraz C-083.

ska pochodzi z 2004 roku. Jest tam zapis informujący, że jest to wczesnośredniowieczne grodzisko pruskie, lecz określenie chronologii oparte jest na informacjach z publikacji H. Crome⁶. Miejscowe nazwy tego grodziska to *Ilina, Ilenberg i Mopkeberg*⁷.

Wieś Wiewiórki (niem. *Eichhorn*) wzmiankowana była po raz pierwszy w źródłach z XV wieku. W księdze *Das grosse Zinsbuch des Deutschen Ritterordens (1414–1438)* wieś wymieniana jest pod nazwą *Eynchorn* i *Eychhorn*⁸. Wojna trzynastoletnia doprowadziła do silnego wyludnienia wsi, która ponownie zostaje zasiedlona dopiero na początku XVI wieku⁹. W XVI wieku Wiewiórki zostały siedzibą parafii¹⁰.

Grodzisko zajmuje półwysep, który od wschodu, południa i południowego-zachodu opływany jest przez rzekę Elmę. W rzucie poziomym ma kształt nieregularnego owalu o średnicach 65×110 m, wydłużonego po osi zbliżonej do północ-południe (ryc. 4–6). Powierzchnia grodziska liczona wzduż podstawy wału po stronie zewnętrznej wynosi 0,6 ha, a powierzchnia domniemanego majdanu 0,13 ha. Przypuszczenie w odniesieniu do obszaru majdanu wynika z faktu, że jest on silnie naruszony, a najpewniej w całości zniszczony. Na powierzchni widoczne są liczne zagłębienia i hałdy wskazujące na wykorzystywanie tego miejsca, być może jako źró-

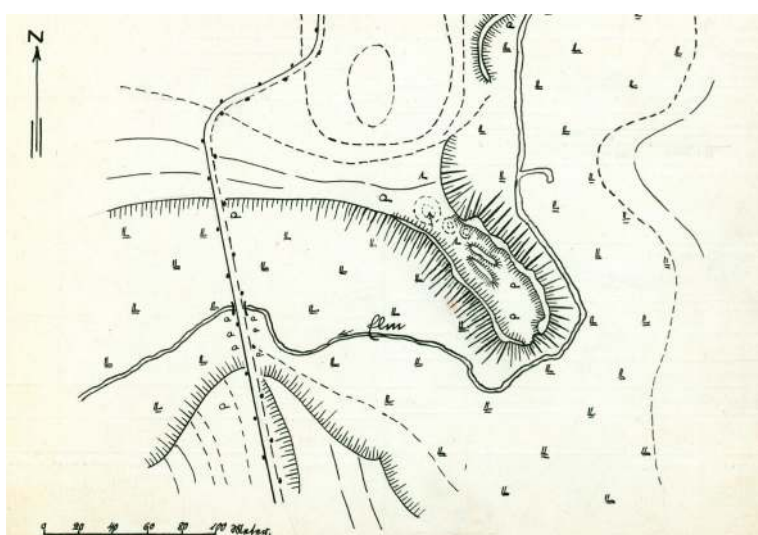
⁶ Informacja z Karty Ewidencji Stanowiska Archeologicznego sporządzonej przez Grzegorza Stasielowicza dnia 10 czerwca 2004 r.

⁷ Leyding 1987: 24.

⁸ Thielen 1958: 38–39 (dokumenty 144 i 145).

⁹ Petraszko i Wakar 1987b: 343–344.

¹⁰ Petraszko i Wakar 1987a: 44.

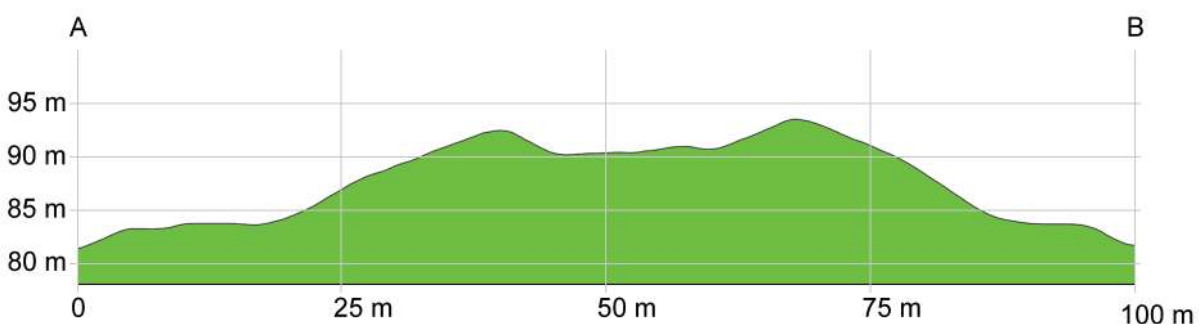
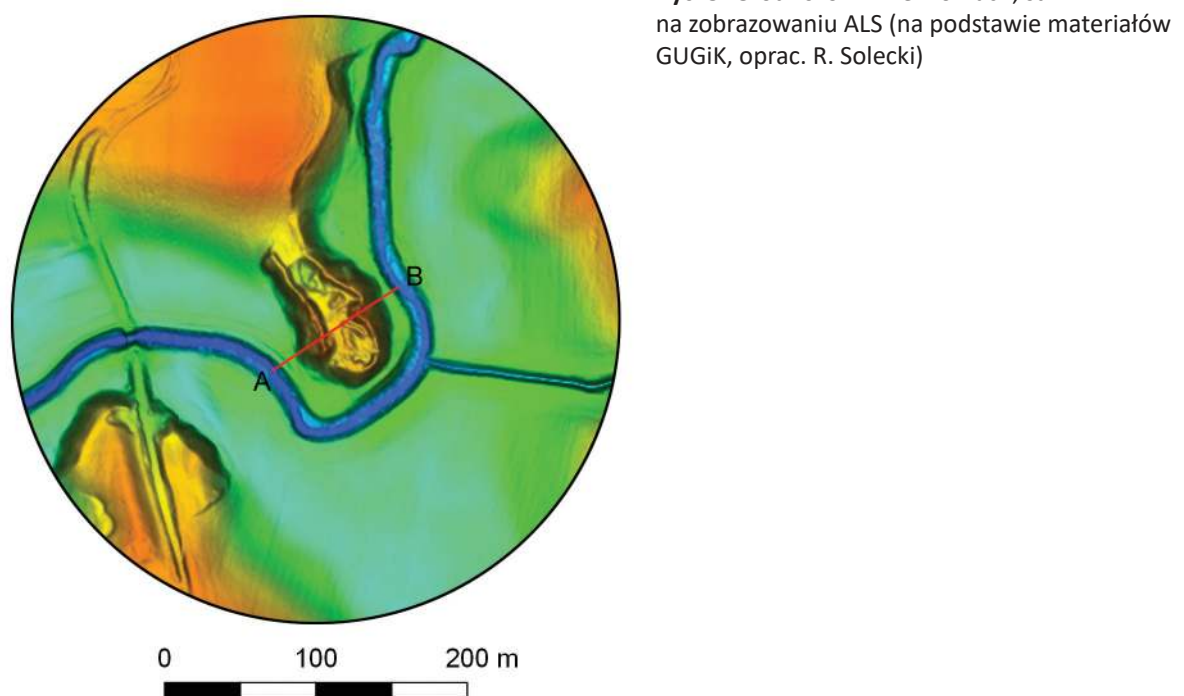


Ryc. 3. Grodzisko w Wiewiórkach, st. 1 na karcie ze zbioru *Burgwall-kartei* (źródło: Staatliche Museen zu Berlin, Museum für Vor- und Frühgeschichte, IXc 90, Bl. 226)



Ryc. 4. Wiewiórki, st. 1. Widok w kierunku południowo-wschodnim na majdan i wał (fot. A. Lejzerowicz)

Ryc. 5. Grodzisko w Wiewiórkach, st. 1
na zobrazowaniu ALS (na podstawie materiałów
GUGiK, oprac. R. Solecki)



Ryc. 6. Przekrój grodziska w Wiewiórkach, st. 1 uzyskany z danych ALS (na podstawie materiałów GUGiK,
oprac. R. Solecki)

dla surowców (piasków, które zalegają w niższych partiach lub gliny, z której stworzony jest cały płaszcz pokrywający półwysep). Nie wykluczone, że właściwy majdan znajdował się pierwotnie wyżej, a obecna powierzchnia interpretowana jako majdan jest jedynie poziomem, na którym wstrzymano wydobycie. Czytelna jest także wyraźna przerwa w ciągłości wału od strony północnej. Nieciągłość ta jest zbyt duża – ponad 12 m – by interpretować ją jako przejście bramne. Najpewniej jest to efekt zniszczenia. Z tego względu nie można wykluczyć, że obecny szczyt wałów jest także niższy od pierwotnego. Obecnie różnica wysokości pomiędzy dnem doliny Elmy a naj-

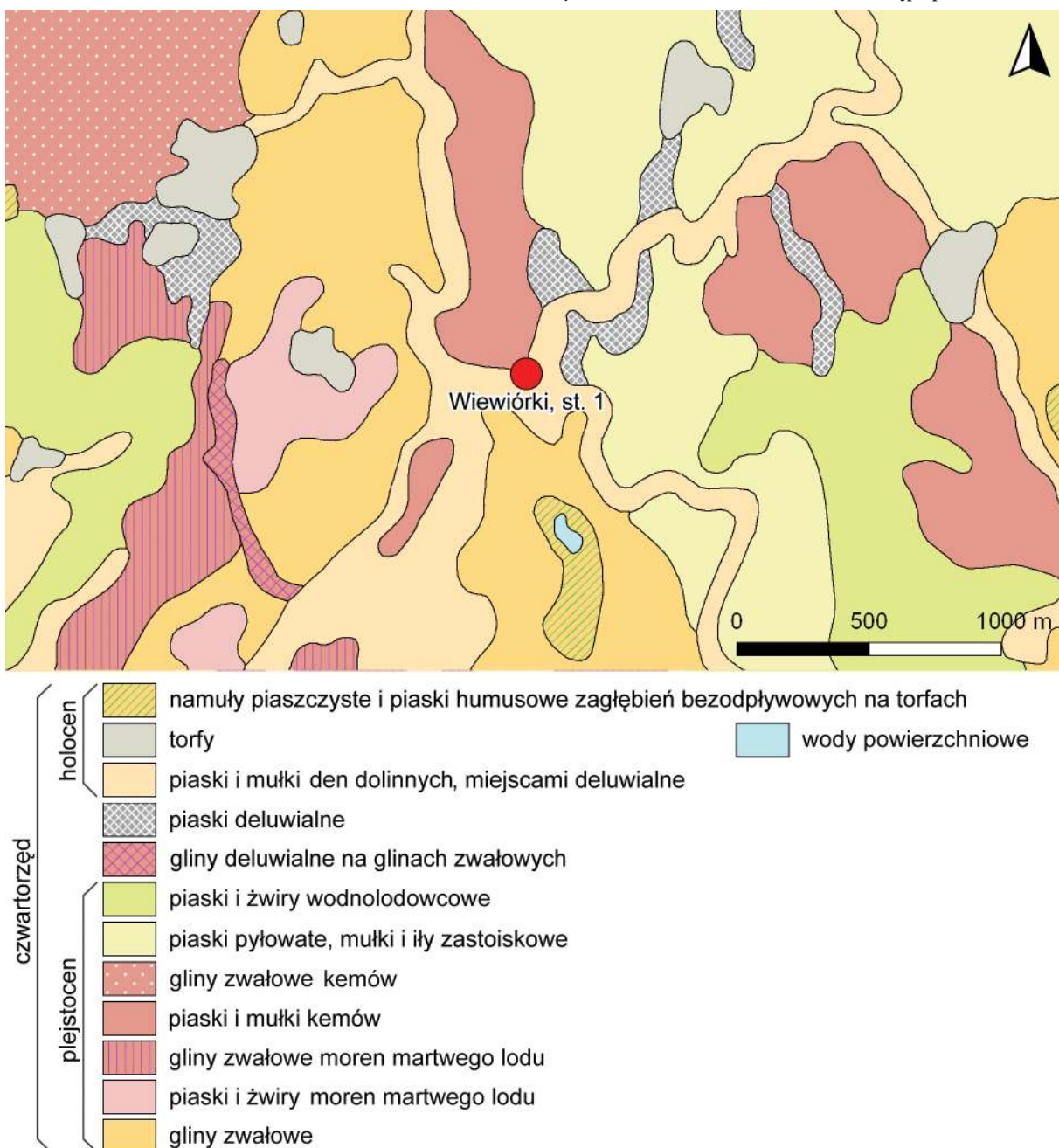
wyższym punktem wału (93,55 m n.p.m.) wynosi 10 m. Różnica wysokości pomiędzy najwyższym punktem wału a poziomem dzisiejszego majdanu dochodzi do 3 m.

ŚRODOWISKO FIZYCZNOGEOGRAFICZNE

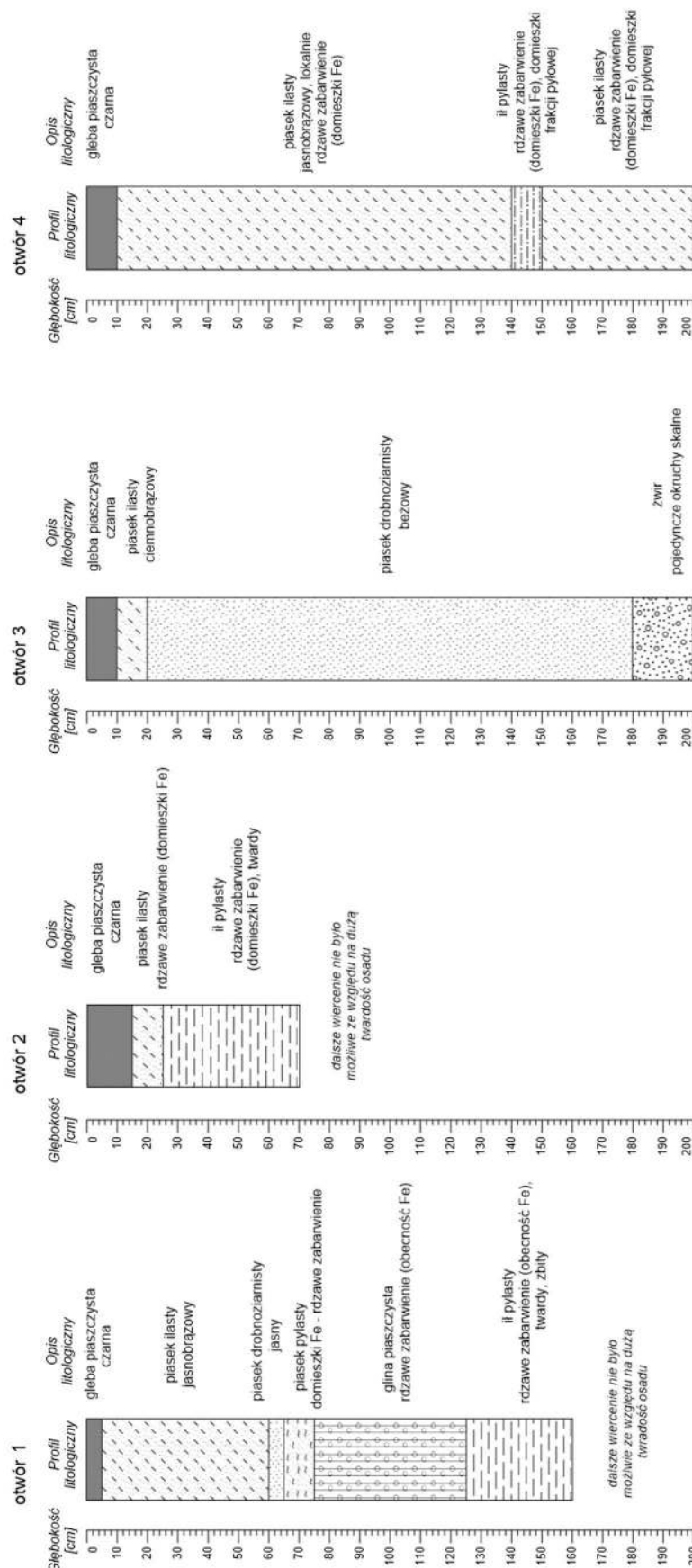
ANNA LEJZEROWICZ

Według podziału fizycznogeograficznego Polski Jęzaka Kondrackiego, grodzisko w Wiewiórkach, st. 1 znajduje się w mezoregionie Nizina Sępopolska¹¹.

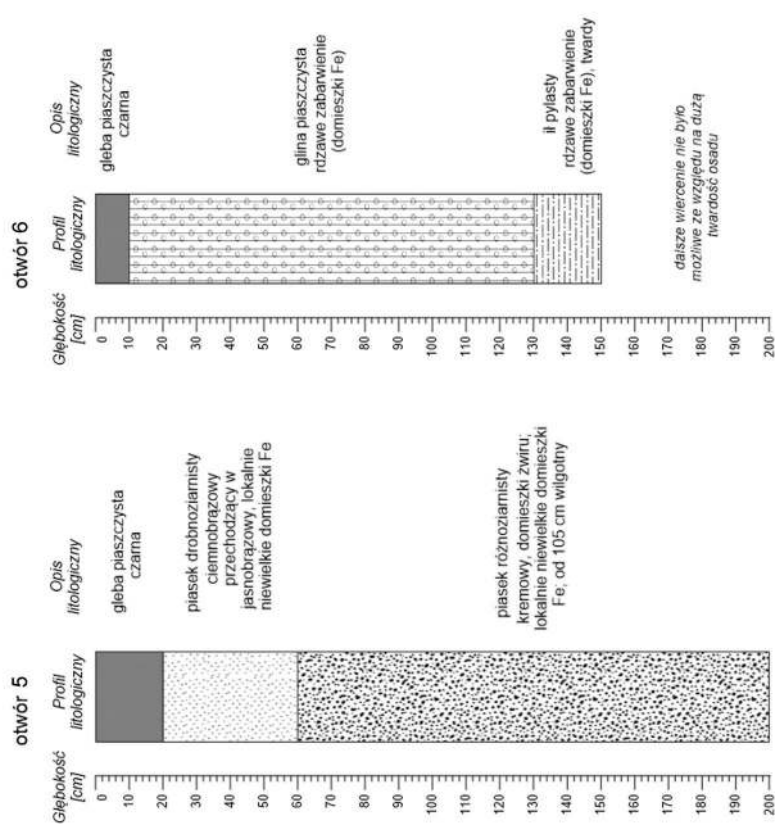
¹¹ Kondracki 2002: 102–103; w przeszłości funkcjonował także termin „Równina Sępopolska”.



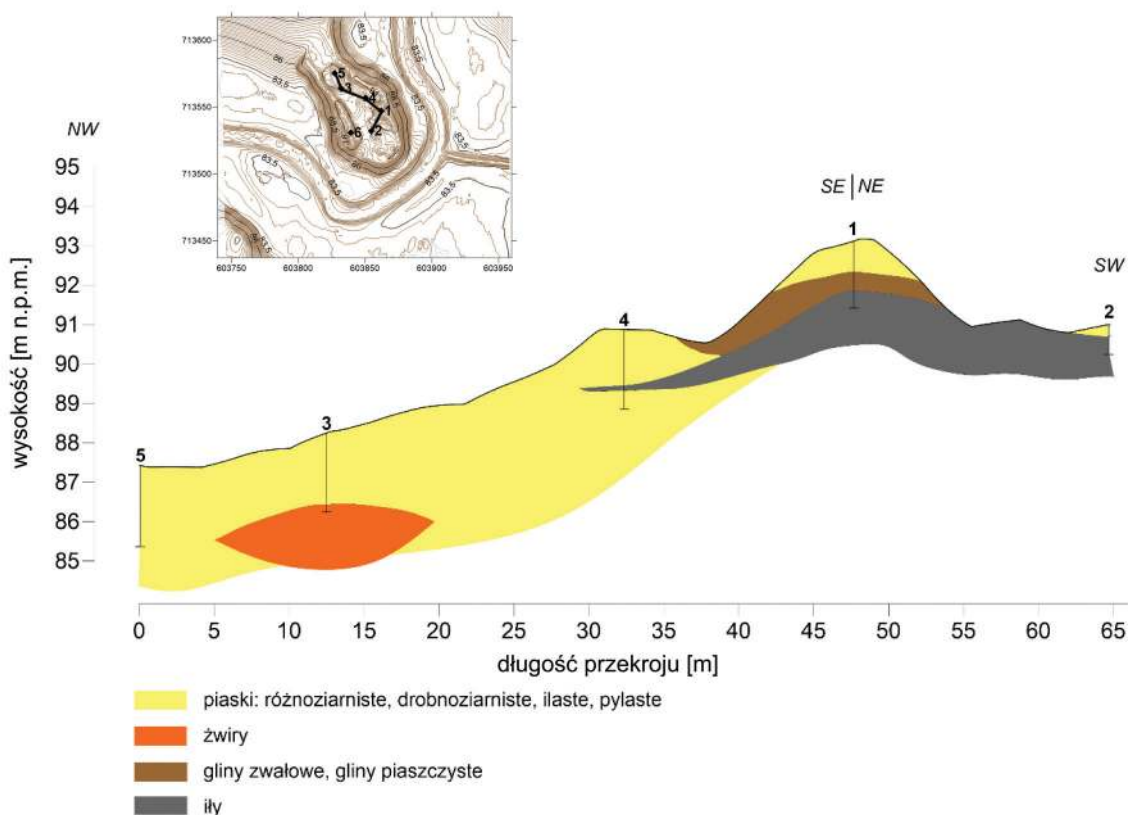
Ryc. 7. Wycinek arkusza Szczegółowej Mapy Geologicznej Polski z zaznaczonym stanowiskiem w Wiewiórkach, st. 1 (źródło: www.cbdgmapa.pgi.gov.pl/arcgis/services/kartografia/smfp50k/MapServer/WMServer, oprac. A. Lejzerowicz)



Ryc. 8. Profile litologiczne odwiertów wykonanych na obszarze grodziska w Wiewiórkach, st. 1
(oprac. A. Leżerowicz)



Ryc. 8. Ciąg dalszy



Ryc. 9. Schematyczny przekrój geologiczny przez grodzisko w Wiewiórkach, st. 1 (oprac. A. Lejzerowicz)

Pod względem geologicznym stanowisko znajduje się na synklinie perybałtyckiej platformy wschodnioeuropejskiej. W podłożu czwartorzędu występują osady morskie: oligocenu, eocenu, paleogenu lub kredy. Procesy zachodzące w czasie stadia górnego zlodowacenia Wisły – najmłodszego na tym terenie zlodowacenia i trwającego do dziś ocieplenia – są odpowiedzialne za obecną rzeźbę terenu. Podczas deglacacji powstawały formy szczelinowe i kemy oraz płaty pokrywy sandrowej. Na przełomie plejstocenu i holocenu doszło do erozji oraz denudacji krawędzi wysoczyzny i ukształtowała się sieć rzeczna Łyny, Elmy, Młynówki. Według *Szczegółowej Mapy Geologicznej Polski* w skali 1:50 000 (arkusz Wojciechy) na obszarze stanowiska występują piaski i mułki kemów (ryc. 7)¹².

Stanowisko położone jest na obszarze wysoczyzny morenowej falistej, której powierzchnia jest urozmacona pagórkami moren martwego lodu, kemów i form akumulacji szczelinowej. Wzgórza kemów zbudowane są przeważnie z piasków i mułków, często z cienkimi pokrywami gliniastymi, które spływały z brył martwego lodu¹³.

Grodzisko zajmuje wyraźne wyniesienie w terenie (pagórek), otoczone dosyć stromymi skarpami – jedynie od strony północno-zachodniej pagórek jest niejako otworzony (prawdopodobnie wybierano stąd materiał piaszczysto-żwirowy). Skarpy pagórka częściowo schodzą w kierunku opływającej stanowisko od południa i od wschodu rzeki Elmy. W czasie wykonywania badań (okres letni) pagórek był bardzo porośnięty roślinnością – drzewami, krzakami, wysoką i gęstą trawą – co utrudniało przemieszczanie się i dokładną obserwację morfologii terenu.

Na obszarze grodziska w Wiewiórkach, st. 1 wykonano 6 wierceń sondą ręczną do głębokości 2 m w celu rozpoznania budowy geologicznej. W wierceniach zaobserwowało się występowanie osadów żwirowych, piaszczystych oraz pylastycznych (piaski różnoziarniste i drobnoziarniste, piaski ilaste i pylaste), jak również nawiercono gliny piaszczyste czy ily ze znaczną ilością frakcji pyłowej (ryc. 8). Na podstawie wykonanych wierceń stworzony został schematyczny przekrój geologiczny przez stanowisko (ryc. 9).

Wykonane wiercenia potwierdzają obecność piasków i żwirów, jednak występują tu-

taj również gliny i ily. Zarówno piaski jak i ily charakteryzują się znaczną zawartością frakcji pyłowej, co nadaje tym osadom dużą twardość. Lokalnie osady te zwierają związki żelaza, co nadaje im rdzawe zabarwienie. W żwirach obecne były również pojedyncze okruchy skalne. Nawiercone w części otworów ily pylaste charakteryzowały się dużą twardością, co bardzo utrudniało wiercenie i uniemożliwiło dowiercenie się do zaplanowanej głębokości (znaczna twardość zaobserwowana była zwłaszcza w otworze 2).

BADANIA ARCHEOLOGICZNE

KATARZYNA ZDEB

Przebieg badań terenowych

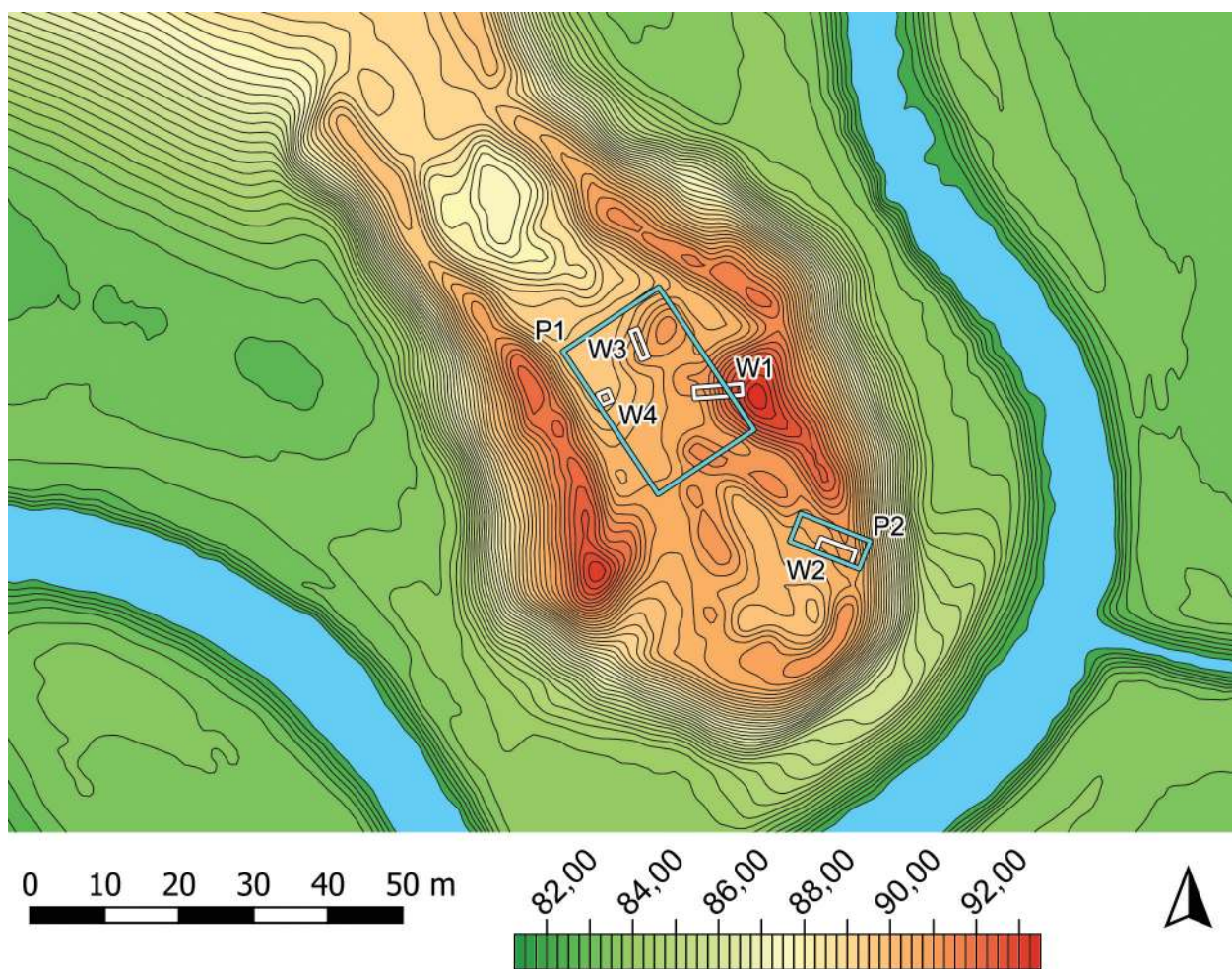
Badania wykopaliskowe zostały poprzedzone nieinwazyjną prospekcją geofizyczną (rys. 10). Wał grodziska niemal na całej długości porośnięty jest drzewami i gęstymi krzewami, a obszar majdanu tylko trawą. Z tego względu rozpoznanie nieinwazyjnemu poddano obszar majdanu – tam założono poligon 1 (P1) o wymiarach 15,5×23 m – oraz południowo wschodni fragment wału – tam założono poligon 2 (P2) o wymiarach 4×10 m. Badania przeprowadzono z wykorzystaniem georadaru Mala Ground Explorer z anteną 450 MHz i magnetometru transduktorskiego (ang. fluxgate) Grad 602 firmy Bartington¹⁴.

W obrębie P1, przy użyciu georadaru, wykonano 51 równoległych profilowań, oddalonych od siebie o stały interwał odległościowy wynoszący 0,3 m. Począwszy od powierzchni ziemi do głębokości około 1 m otrzymane w toku przetwarzania pomiarów plany GPR ujawniły chaotycznie rozkładające się strefy tłumienia wzmocnienia sygnału (ryc. 11, kolor ciemnoczerwony). Są one efektem procesów geologicznych, głównie akumulacji materiału gruboziarnistego (wkładki żwirowe lub większe kamienie/skupiska kamieni) lub piasków wzbogaconych o tlenki żelaza. Opisane zespoły anomalii kontynuują się do głębokości około 1,3 m, co może sugerować, że w miejscach tych znajdowały się zagłębiania wypełnione zapewne materiałem gruboziarnistym, zapewne w okresie deglacacji. Poniżej 1,5 m silne tłumienie sygnału nie pozwala na dalszą penetrację fali EM w głąb badanego ośrodka. Widoczna przy krawędzi północnej znacznych rozmiarów anomalia to ślad po

¹² Giemza 2015a: 23–39.

¹³ Giemza 2015a: 20–21.

¹⁴ Welc 2020: 51.



Ryc. 10. Wiewiórki, st. 1. Plan grodziska z naniesionymi wykopami archeologicznymi (kolor biały) i poligonami badań nieinwazyjnych (kolor niebieski) (oprac. R. Solecki)

współczesnym zniszczeniu powierzchni majdanu¹⁵.

Badania magnetyczne przeprowadzono na obszarze P1. Otrzymana pozytywowa mapa rozkładu anomalii magnetycznych (ryc. 12) wykazała istnienie szeregu miejsc o wysokiej (obszary ciemniejsze) i niskiej amplitudzie (obszary jaśniejsze). Niedipolowe anomalie charakteryzują się wartościami gradientu pionowego natężenia pola magnetycznego w przedziale między 0,2 a -1,6 nT. Należy wnioskować, że są one generowane przez większe kamienie o charakterystyce magnetycznej lub wypełnienia organiczne jam zwierzęcych. Pozostałe anomalie dipolowe o mniejszej średnicy i większej amplitudzie mogą być generowane przez przedmioty metalowe¹⁶.

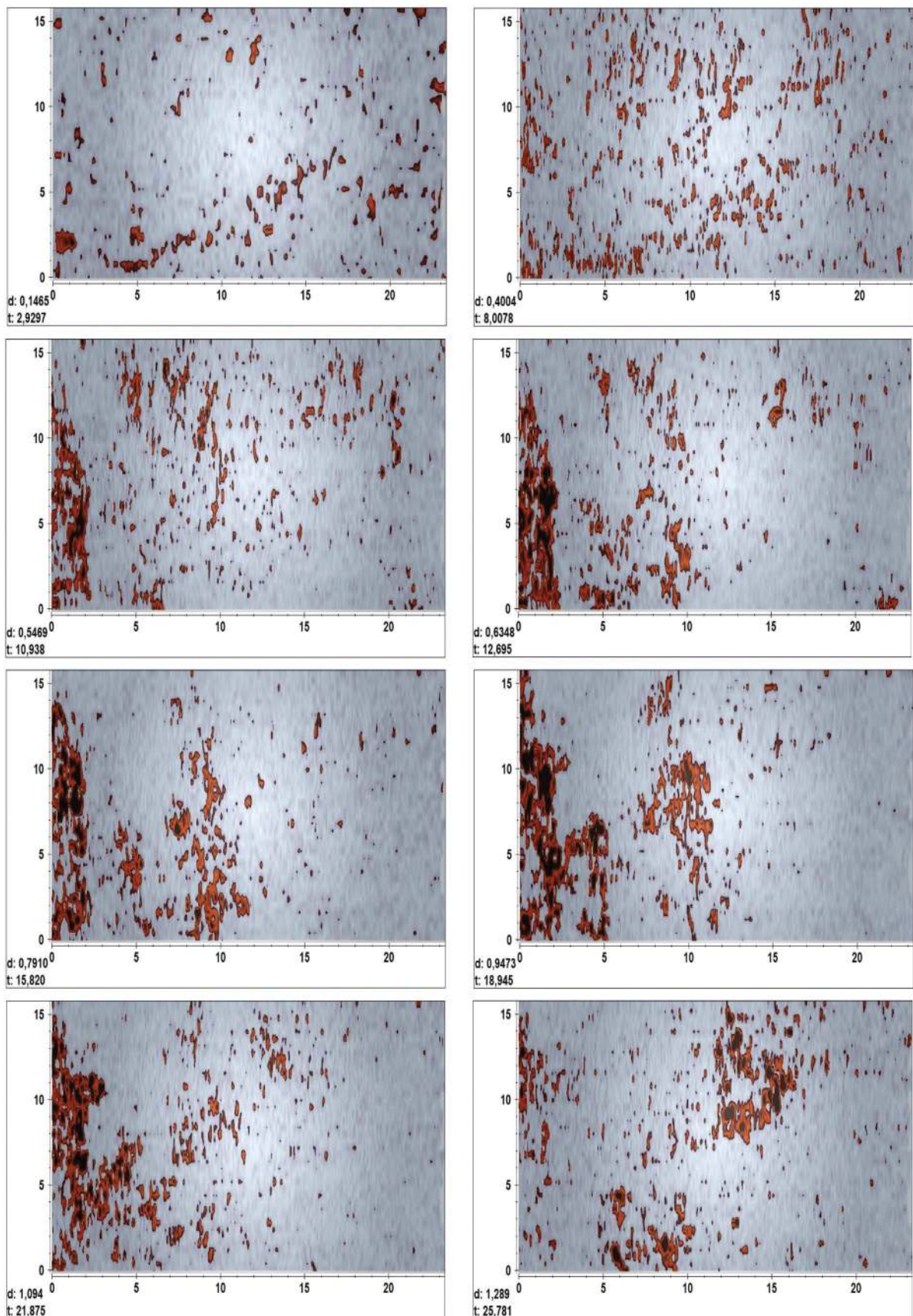
W obrębie P2, przy użyciu georadaru, wykonano 13 równoległych profilowań oddalonych od siebie o 0,4 m. Otrzymane mapy rozkładu anomalii wykazały obecność strefy wzmacniania sygnału między 4 a 6 m (wzdłuż osi x; ryc. 13)¹⁷.

W celu dokładnego rozpoznania stanowiska założono cztery wykopy badawcze (ryc. 10). Wykop 1 (W1), o wymiarach 1,5x6,5 m założono w taki sposób, aby przeciął on wał grodziska i majdan w jego części południowo-wschodniej. Celem badawczym było rozpoznanie konstrukcji wału. Wykop 2 (W2), o wymiarach 2x5 m, założono na południowy-zachód od W1, w obrębie P2. Celem prac w tym miejscu było rozpoznanie anomalii wykrytej za pomocą badań nieinwazyjnych. Kolejne dwa wykopy założono na terenie majdanu grodziska w celu rozpoznania anomalii georadarowych. Wykop 3 (W3) miał wymiary 1x4 m, a wykop 4 (W4) 1,5x1,5 m.

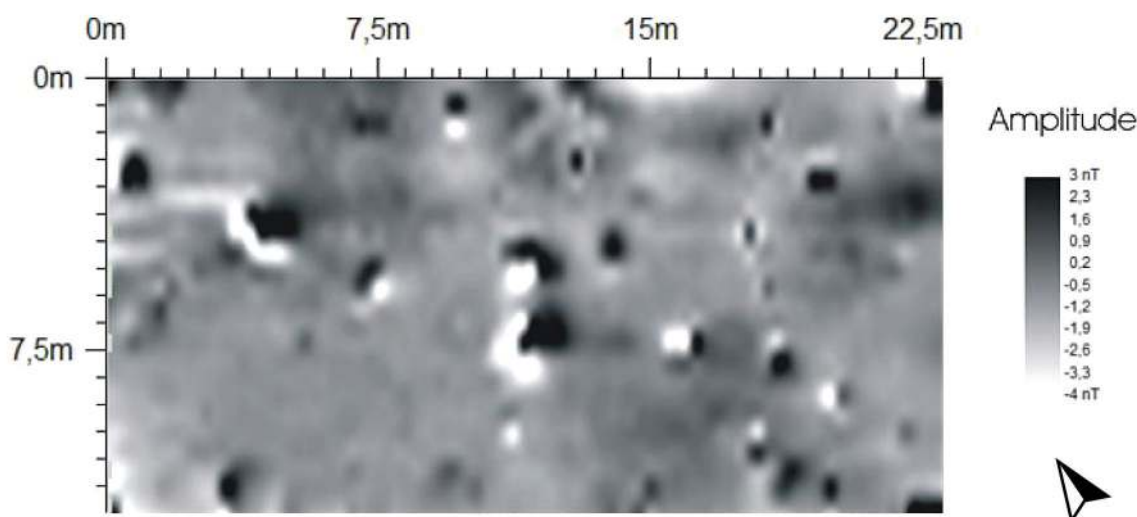
¹⁵ Welc 2020: 51–55.

¹⁶ Welc 2020: 56–57.

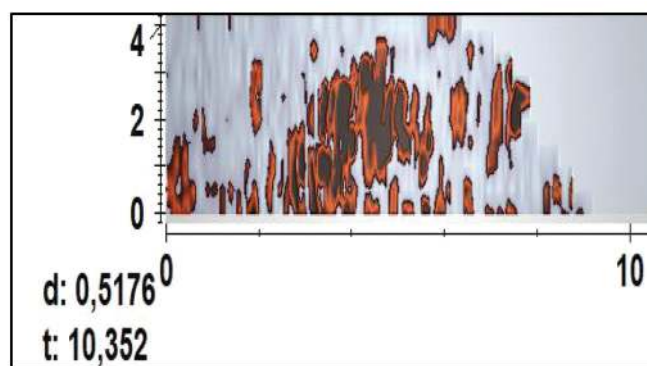
¹⁷ Welc 2020: 56.



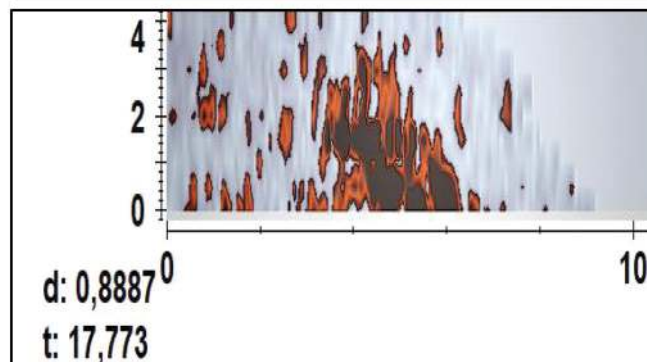
Ryc. 11. Wiewiórki, st. 1. Plany GPR w obrębie poligonu 1 dla przedziału głębokości od 0,14 do 1,28 m (oprac. F. Welc)



Ryc. 12. Wiewiórki, st. 1. Plan z pozytywowym rozkładem anomalii magnetycznych w obrębie poligonu 1 (oprac. F. Welc)



Ryc. 13. Wiewiórki, st. 1. Plany GPR w obrębie poligonu 2 dla przedziału głębokości od 0,51 do 0,88 m (oprac. F. Welc)



Stratygrafia stanowiska

W trakcie omawianych badań archeologicznych wydzielono łącznie 14 jednostek stratygraficznych (tabela 1). Możliwe było ich rozdzielenie pomiędzy warstwy naturalne i trzy fazy „użytkowe”. Diagram Harrisa dla wydzielonych jednostek stratygraficznych przedstawia ryc. 14 a zadokumentowane powierzchnie ryc. 15 i 16.

Warstwy naturalne

W trakcie badań, jako jednostkę naturalną zidentyfikowano sypki piasek 9, tworzący

rdzeń wyniesienia, na którym znajdowało się grodzisko i który uchwycono w każdym z wykopów badawczych. Ponad nim występowały lokalnie: warstwa żwiru i drobnych kamieni, przemieszanych z grubozianistym piaskiem 8 oraz zwarta glina 13 z horyzontalnymi żelazistymi przewarstwieniami. Ta ostatnia warstwa tworzyła zewnętrzny płaszcz przykrywający zalegające niżej piaski. W W1 zadoокументowano także glinę 12 z dużą domieszką materii organicznej, która była warstwą 13 lokalnie naruszoną przez system korzeniowy drzewa.

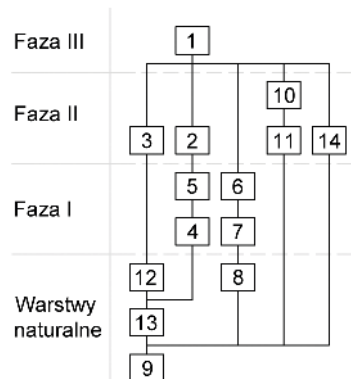
Tabela 1. Wiewiórki, st. 1. Katalog warstw i obiektów oraz ich zależności stratygraficznych (oprac. K. Zdeb)

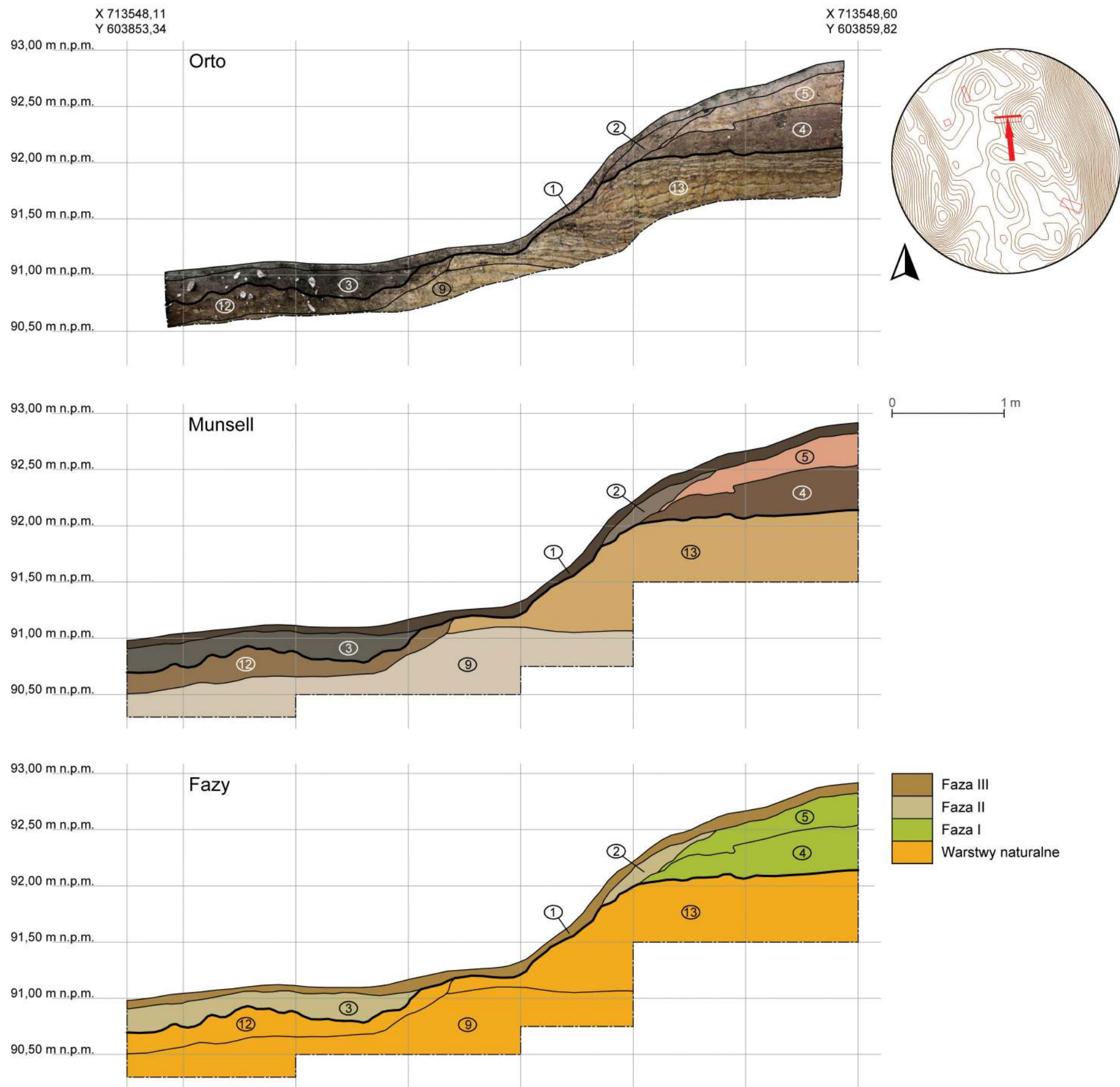
Numer jednostki	Numer obiektu	Numer wykopu	Położenie w obrębie stanowiska	Współrzędne geodezyjne (PUWG 1992)	Opis jednostki stratygraficznej (rodzaj sedymentu, miąższość, zawartość zabytkowa, przypuszczalna funkcja/proces formowania)	Barwa (Munsell)	Pozycja stratygraficzna	
							Znajduje się pod	Znajduje się nad
1	-	1, 2, 3, 4	Całe stanowisko	X=713524,2-713560,6; Y=603840,3-603875,2	Gliniasty, humusowy piasek; miąższość do 15 cm; współczesny poziom użytkowy w obrębie stanowiska	10YR 3/2	-	2, 3, 10, 14
2	-	1	Wał	X=713546,7-713548,7; Y=603855,9-603860,0	Silnie zgliniony piasek; miąższość do 20 cm; warstwa erozyjna	10YR 5/2	1	4, 5, 13
3	-	1	Majdan	X=713546,2-713548,4; Y=603853,3-603856,2	Zgliniony, ilasty piasek z dużą ilością materii organicznej; miąższość do 25 cm; warstwa erozyjna	5Y 4/1	1	12
4	-	1	Wał	X=713546,7-713548,7; Y=603855,9-603860,0	Zbita glina; miąższość do 45 cm; nasyp wału	7.5YR 4/3	5	13
5	-	1	Wał	X=713546,7-713548,7; Y=603855,9-603860,0	II; miąższość do 30 cm; nasyp wału	2.5YR 7/6	1, 2	4
6	-	2	Wał	X=713524,2-713527,5; Y=603870,7-603875,2	Zgliniony piasek; miąższość do 35 cm; nasyp wału	10YR 5/6	1	7, 8
7	-	2	Wał	X=713524,2-713526,6; Y=603873,4-603875,2	Tłusta glina; miąższość do 25 cm; nasyp wału	10YR 7/6	6	8
8	-	2	Wał	X=713524,2-713528,0; Y=603869,6-603875,2	Horyzontalna warstwa żwiru i drobnych kamieni, przemieszczanych z gruboziarnistym piaskiem; miąższość do 20 cm; warstwa naturalna	10YR 6/4	1, 6, 7	9
9	-	1, 2, 3, 4	Całe stanowisko	X=713524,2-713556,0; Y=603840,3-603875,2	Sypki piasek; warstwa naturalna	10YR 8/2	13	-
10	-	3	Majdan	X=713551,8-713556,0; Y=603844,8-603847,3	Zbita glina; miąższość do 30 cm; warstwa zniszczeniowa	10YR 4/4	1	11
11	-	3	Majdan	X=713551,8-713556,0; Y=603844,8-603847,3	Zgliniony piasek; miąższość do 15 cm; warstwa zniszczeniowa	10YR 6/4	10	9
12	-	1	Majdan	X=713546,2-713548,4; Y=603853,3-603856,2	Gлина z dużą domieszką materii organicznej; miąższość do 30 cm; warstwa naturalna naruszona przez system korzeniowy drzewa	10YR 5/4	3	9, 13
13	-	1	Wał	X=713546,7-713548,7; Y=603855,0-603860,0	Zwarta glina z horyzontalnymi żelazistymi przewarstwieniami; warstwa naturalna	10YR 7/6	2, 4, 12	9
14	-	4	Majdan	X=713545,7-713547,8; Y=603840,4-603842,5	Lekko zgliniony piasek; miąższość do 15 cm; warstwa erozyjna	10YR 7/6	1	9

Faza I

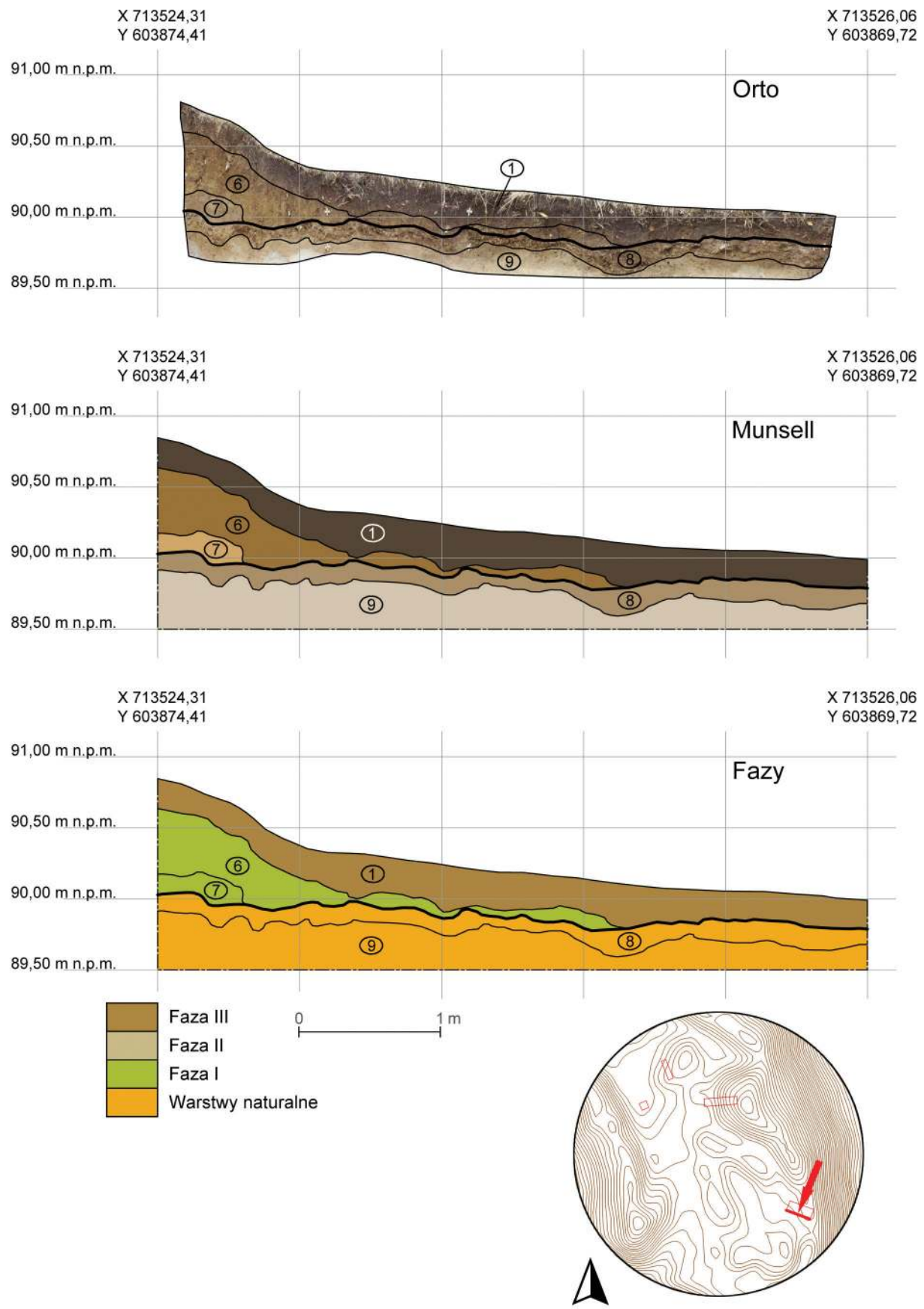
Fazę tę należy wiązać z budową grodziska. Zidentyfikowanymi reliktami umocnień są warstwy tworzące nasyp wału: w W1 zbita glina 5 i lity 4, a w W2 tłusta glina 7 i zgliniony piasek 6. Dobrze zachowany fragment nasypu wału odsłonięty w W1 miał zachowaną wysokość do 70 cm i szerokość co najmniej 220 cm.

Przeprowadzone badania nie potwierdziły jednoznacznie, czy na obszarze majdanu zachowany jest poziom użytkowy z okresu funkcjonowania grodziska. Nie zanotowano warstwy kulturowej także na szczycie wału. Przyczyną jest zniszczenie powierzchni majdanu w wyniku współczesnego pozyskiwania surowca – piasku i gliny.

**Ryc. 14.** Wiewiórki, st. 1. Diagram relacji stratygraficznych (oprac. K. Zdeb)



Ryc. 15. Wiewiórki, st. 1. Stratygrafia nawarstwień w obrębie wału i majdanu – wykop 1 (oprac. K. Zdeb, D. Skoczylas i R. Solecki)



Ryc. 16. Wiewiórki, st. 1. Stratygrafia nawarstwień w obrębie wału i majdanu – wykop 2
(oprac. K. Zdeb, D. Skoczyłas i R. Solecki)

Faza II

Faza ta związana jest z okresem, kiedy obszar grodziska, zwłaszcza w obrębie majdanu i wału w części północnej, został silnie zniszczony w wyniku nieokreślonej działalności ludzkiej. Najpewniej można ją wiązać z pozyskiwaniem gliny lub żwiru, którego pokłady są tutaj nadal widoczne, ewentualnie piasku, który występuje stratygraficznie poniżej poziomu gliny.

Do fazy tej zaliczono warstwy występujące na obszarze majdanu bezpośrednio poniżej dzisiejszego humusu, a ponad znajdująącym się poniżej nich calcem. Warstwy te to: w W1 zgraniowany, ilasty piasek 3 z dużą ilością materii organicznej, w W3 zgraniowany piasek 11 i zbita glina 10, a w W4 lekko zgraniowany piasek 14. Warstwy 3 i 14 tworzyły cienką, układającą się horyzontalnie warstwę, ale bez materiału zabytkowego. Warstwy 10 i 11 tworzyły niewielką hałdę.

Z fazą tą należy także wiązać silnie zgraniowany piasek 2 uchwycony na stoku wału w W1, który należy interpretować jako warstwę erozyjną.

Faza III

Faza ta wyznacza współczesny poziom użytkowy stanowiska. Warstwą przypisaną do tej fazy jest gliniasty, humusowy piasek 1 o miąższości do 15 cm, który jest poziomem współczesnego humusu. Warte odnotowania jest, że tylko w obrębie humusu natrafiono na materiał zabytkowy – 3 fragmenty ceramiki – będący pierwszym odkrytym na tym stanowisku.

Przy okazji omawiania stratygrafii należy wspomnieć o wynikach weryfikacji anomalii georadarowych i magnetycznych. Weryfikacje okazały się negatywne – anomalia z W3 okazała się być soczewką żwiru i drobnych kamieni występujących w obrębie podłoża naturalnego, a anomalia z W4 to hałda zbitej gliny 10 występującej w otoczeniu wyraźnie luźniejszych piasków.

ZNALEZISKA

KATARZYNA ZDEB

Ceramika

W trakcie badań archeologicznych grodziska w Wiewiórkach, st. 1, w 2020 roku pozyskano jedynie trzy fragmenty naczyń ceramicznych. Wszystkie znaleziono na powierzchni, w warstwie humusu pokrywającego stanowisko:

jedną skorupę (brzusiec o boku 4 cm) w obrębie W1 i dwie skorupy (części wylewu, oba o boku 6 cm) w obrębie W2. Wszystkie kawałki są wyerodowane i pod względem morfologii niediagnostyczne. Powierzchnia jednego z fragmentów nosi ślady intencjonalnego chropowacenia, które jest charakterystyczne dla okresu schyłku epoki brązu i wczesnej epoki żelaza (od halsztackiego D po lateński C), dla ludności kultury kurhanów zachodniobałtyjskich¹⁸. Na podstawie analizy składu masy garncarskiej (wyraźna domieszka drobnego piasku i kruszonego kamienia) i technologii wypału (niezaawansowany wypał utleniający), dwa pozostałe fragmenty ceramiki można datować na okres wczesnego średniowiecza lub wcześniejszy.

CHRONOLOGIA I DZIEJE GRODZISKA W WIEWIÓRKACH, ST. 1

KATARZYNA ZDEB

Dotychczasowa wiedza na temat grodziska w Wiewiórkach, st. 1, była niewielka i w większości oparta na domysłach – przykładowo chronologia stanowiska nie była podparta analizą materiału zabytkowego, gdyż aż do obecnych badań archeologicznych żadnych zabytków tam nie znaleziono. Niestety przeprowadzone badania tylko w niewielkim stopniu zmieniają tę wiedzę.

Po pierwsze potwierdzono hipotezę sporządzoną przez D. Czlonkowskiego, która zakładała, że „wały tu mogły powstać poprzez wybranie ziemi, a nie przez usypanie”¹⁹. W ścianie północnej W1 (ryc. 15) wyraźnie widoczne jest rozgraniczenie pomiędzy gliniastym podłożem a niewielkim, dochodzącym obecnie do 70 cm wysokości, nasypem wału. Pozostała część wału, o wysokości około 90 cm, została wycięta w gliniastej czapie przykrywającej półwysep, na którym znajduje się grodzisko. Uzyskana w ten sposób wysokość wału rzędu około 160 cm, liczona jest względem dzisiejszego poziomu majdanu.

Badania potwierdziły także, że na obszarze dzisiejszego majdanu najpewniej nie występuje warstwa kulturowa. Została ona zniesiona w trakcie nieokreślonych prac ziemnych. W wykopach wytyczonych na obszarze

¹⁸ J. Okulicz 1970: 271–279.

¹⁹ Informacje z notatki sporządzonej przez D. Czlonkowskiego 16 czerwca 1969 r.; notatka w archiwum NID.

majdanu najczęściej poniżej współczesnego humusu występowała warstwa erozyjna, lub warstwa zniszczeń, a jeszcze niżej podłożę naturalne. Warstwy kulturowej nie zanotowano także na szczycie wału. Być może w trakcie wspomnianych prac ziemnych zniszczeniu uległ nie tylko obszar majdanu, ale także szczyty wałów?

Jedyny materiał zabytkowy to odnalezione na wtórnym złożu trzy fragmenty naczyń ceramicznych. Dwa z nich są zasadniczo nie-diagnostyczne, ale na pewno można je datować na okres wczesnego średniowiecza lub

wcześniej. Trzeci fragment posiada cechę – chropowacenie powierzchni – która pozwala go szacunkowo datować na wczesną epokę żelaza. W tym świetle należy poddać w wątpliwość dotychczasową chronologię stanowiska, która była określana na wczesne średniowiecze. By możliwe było precyzyjne określenie chronologii stanowiska konieczne jest przeprowadzenie kolejnych badań i próba odnalezienia reliktów zachowanej warstwy kulturowej, która przyniosłaby więcej materiału zabytkowego lub próby węgla do analizy radiowej.

Augamy, st. 1

Gmina Górowo Iławeckie

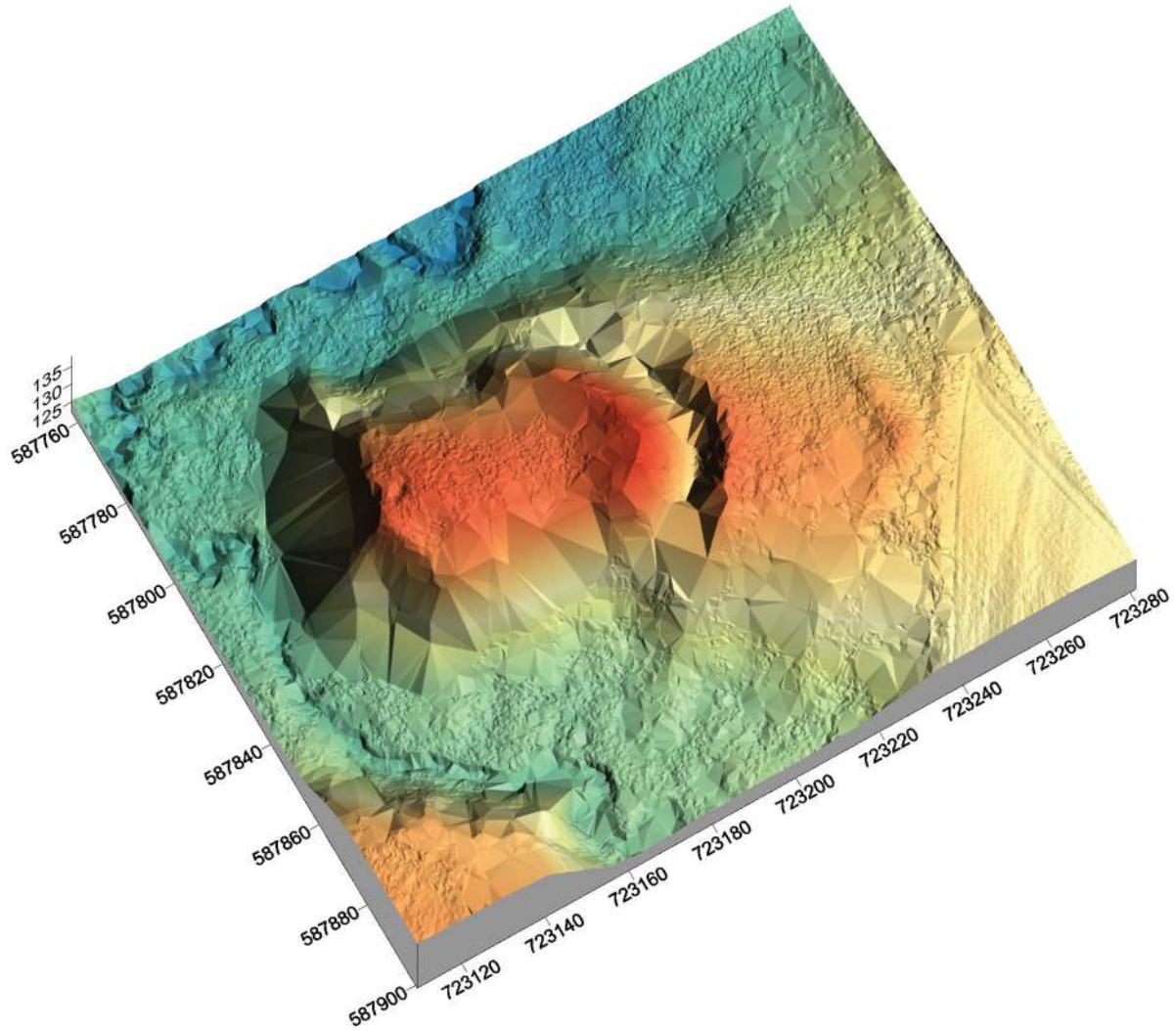
Powiat bartoszycki

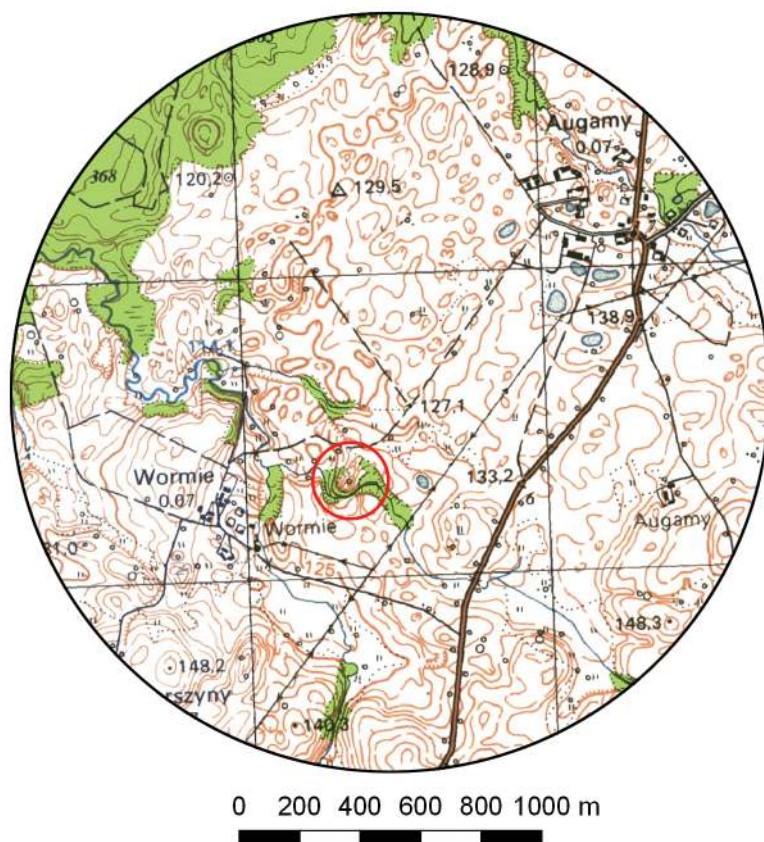
AZP 11-60/1

Współrzędne geograficzne:

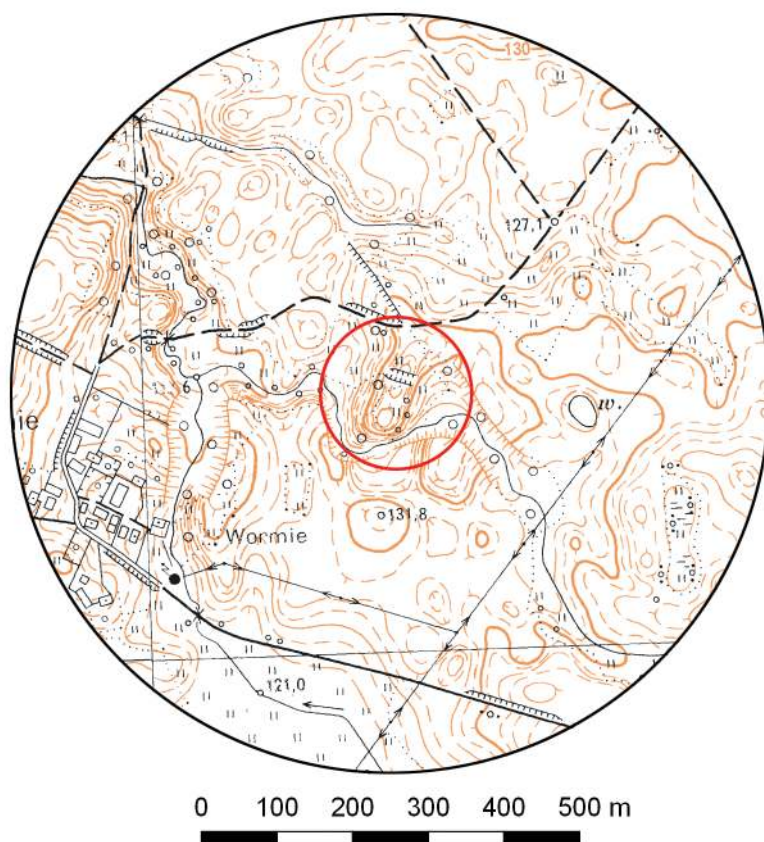
N 54° 21' 54"

E 20° 21' 07"





Ryc. 1. Grodzisko w Augamach, st. 1
na mapie w skali 1:25 000
(na podstawie materiałów GUGiK,
oprac. R. Solecki)



Ryc. 2. Grodzisko w Augamach, st. 1
na mapie w skali 1:10 000
(na podstawie materiałów GUGiK,
oprac. R. Solecki)

POŁOŻENIE GRODZISKA I JEGO FORMA

DANIEL SKOCZYLAS

Grodzisko w Augamach, st. 1 (niem. *Augam*) jest zewidencjonowane w ramach Archeologicznego Zdjęcia Polski. Aktualną Kartę Ewidencji Stanowiska Archeologicznego sporządził w 1969 roku Bogdan Walkiewicz, a wcześniej, w 1969 roku inwentaryzował je Dariusz Czlonkowski¹.

Samo stanowisko było znane już wcześniej. Jeszcze na początku XIX wieku opisał je Johann Michael Guise, nazywając *Schweden-schanzen*². W 1896 roku wspomina o grodzisku, nazywając je *Schlossberg*, Johannes Heydeck, który to wizytując je, rozpoznał na obszarze majdanu kamienną cysternę na wodę. Przy tej okazji opisał także położony w nieda-

lejkiej odległości kurhan z epoki brązu³. Stanowisko opisują także mianem grodziska Emil Hollack w 1908 roku (*Kleiner Schloßberg*)⁴ oraz Hans Crome w 1937 roku (*Schloßberg*). Ten drugi podaje także chronologię stanowiska, określając je jako staropruskie⁵.

W tym miejscu należy zaznaczyć, że badacze niemieccy przypisywali grodzisko do położonej najbliżej wsi Wormie (niem. *Wormen*), która znajduje się w odległości 400 m na południowy zachód. Augamy oddalone są o 1,2 km na północny wschód (ryc. 1–2). Obie wsie mają średniowieczną metrykę. Augamy po raz pierwsze wspomniane są w spisie strat wojennych z początku XV wieku, gdzie występują pod wywodzącą się z języka prusów nazwą *Ongaw / Ougam / Owgam*⁶. Po zakończeniu wojny trzynastoletniej wieś wyludniła się

¹ Informacja z KESA stanowiska.

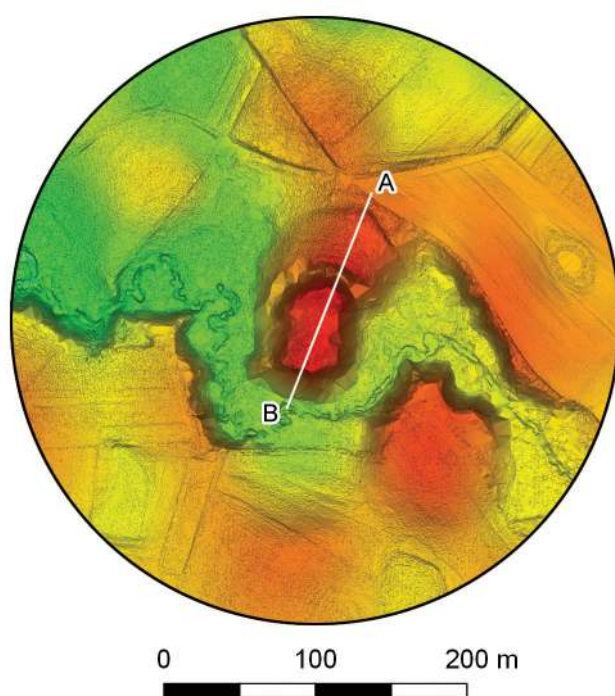
² Łapo 2009: 255.

³ Heydeck 1896: 72–74.

⁴ Hollack 1908: 188.

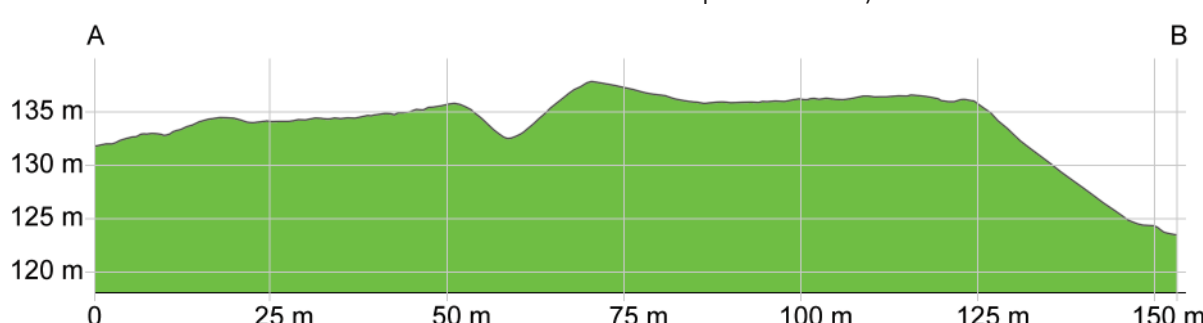
⁵ Crome 1937: 110.

⁶ Thielen 1958: 41–42 (dokument 149, 150 i 152).



(po lewej)

Ryc. 3. Grodzisko w Augamach, st. 1 na zobrazowaniu ALS (na podstawie materiałów GUGiK, oprac. R. Solecki)

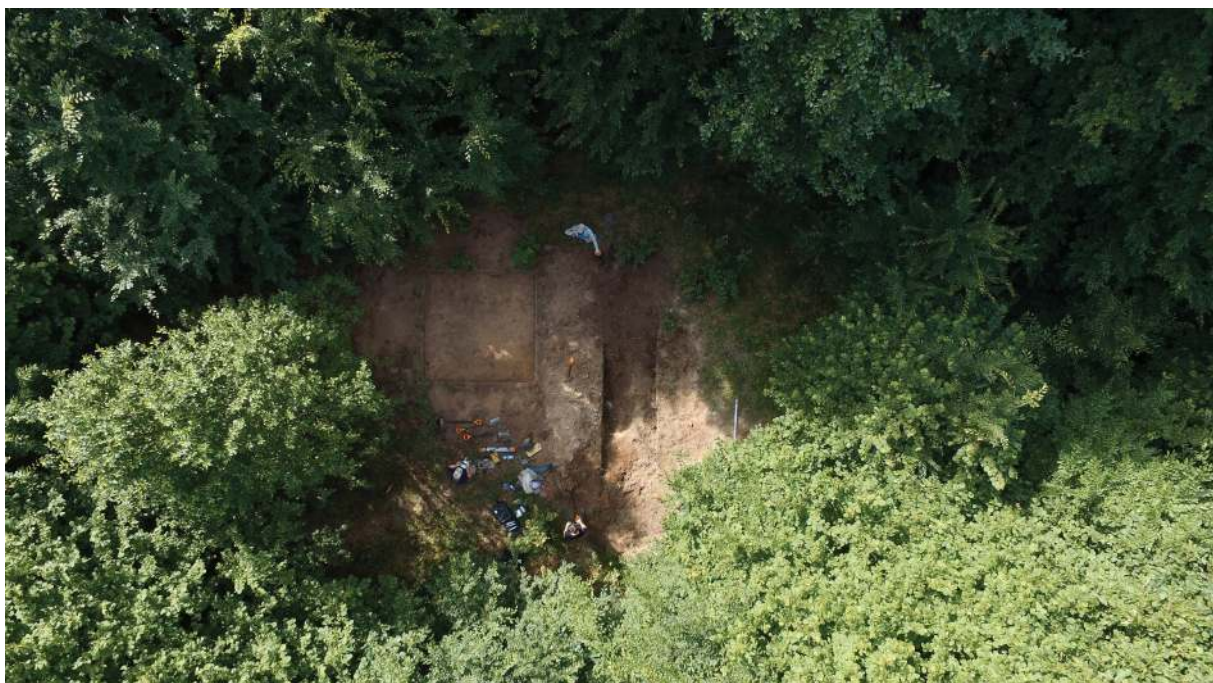


(u dołu)

Ryc. 4. Przekrój grodziska w Augamach, st. 1 uzyskany z danych ALS (na podstawie materiałów GUGiK, oprac. R. Solecki)



Ryc. 5. Augamy, st. 1. Widok na fosę w kierunku północno-zachodnim (fot. A. Lejzerowicz)



Ryc. 6. Augamy, st. 1. Widok na Majdan Górnny (fot. D. Skoczylas)

i została ponownie zasiedlona dopiero w XVI wieku⁷. Miejscowość Wormie także jest wymieniona w źródle opisującym straty wojsenne z początku XV wieku, gdzie występuje pod nazwą *Wormen*⁸.

Pomimo że grodzisko było znane od dawna, do 2020 roku nie przeprowadzono tam żadnych badań archeologicznych. Przypisana do grodziska chronologia wcześnieśredniowieczna opiera się na sugestiach badaczy nie-

mieckich, które z kolei nie są w żaden sposób poparte źródłami⁹.

Stanowisko położone jest na kulminacji wyeksponowanego, silnie porośniętego roślinnością cypla (ryc. 3–6), który od strony północnej wchodzi w dolinę bezimennego strumienia, który jest dopływem rzeki Straudyk. Grodzisko posiada dwa wały, które odciinają dostęp od strony wysoczyzny. Wał Zewnętrzny ma długość około 50 m, a w jego połowie czytelne jest regularne załamanie jego

⁷ Petraszko i Wakar 1987: 272–273.

⁸ Thielen 1957: 44 (dokument 157).

⁹ Informacja z KESA stanowiska; Crome 1937: 110.

osi. Wał jest dość silnie zerodowany, a jego zachowana wysokość dochodzi do 0,4 m. Po jego zewnętrznej stronie nie ma śladów po fosie. Wyraźna jest natomiast różnica pomiędzy poziomem gruntu po stronie zewnętrznej i wewnętrznej, która dochodzi do 0,8 m. To sugeruje, że wał został usypany z urobku pozyskanego z podcięcia naturalnego, łagodnego w tym miejscu, stoku. Różnica wysokości pomiędzy szczytem Wały Zewnętrznego, a powierzchnią na zewnątrz dochodzi do 1,4 m. Najwyższy punkt tego wału osiąga poziom około 134,7 m n.p.m. Drugi, półkolisty w rzucie poziomym, wał widoczny jest w północnej części Majdanu Górnego, a towarzyszy mu położona po jego północnej stronie fosa. Wał Majdanu ma długość około 30 m i szerokość u podstawy dochodzącą do 18 m. Jego wysokość liczona względem powierzchni Majdanu Górnego dochodzi do 2 m, a liczona względem dna fosy aż do 5,2 m. Najwyższy punkt tego wału osiąga poziom około 137,9 m n.p.m. Szerokość fosy waha się w przedziale 12–15 m, a jej dno opada w kierunku zachodnim z około 132,7 m na 130,4 m n.p.m. Majdan Górnny zajmuje szczyt cypla. Ma nieregularnie prostokątny kształt, wydłużony po osi zbliżonej do północ-południe, o wymiarach 25×55 m. Jego powierzchnia wynosi 16,2 a. W części południowej tego majdanu widoczne jest zaokrąglenie terenu w obrębie którego widoczne są kamienie i drobiny cegieł - być może relikt opisanej przez J. Heydecka cysterny? Pośród fosy a Wałem Zewnętrznym znajduje się Majdan Dolny o powierzchni 21,4 a. Cała powierzchnia stanowiska mierzona po linii Wału Zewnętrznego i po podstawie cypla wynosi około 76,6 ara.

Na stoku, w części południowo-zachodniej, widoczny jest wyraźny garb, który został niezależnie zewidencjonowany w ramach AZP jako kurhan¹⁰.

ŚRODOWISKO FIZYCZNOGEOGRAFICZNE

ANNA LEJZEROWICZ

Według podziału fizycznogeograficznego Polski Jerzego Kondrackiego, grodzisko w Augamach, st. 1, znajduje się w makroregionie Nizina Staropruska, mezoregionie Wzniesienia Górowskiej¹¹.

¹⁰ Informacja z KESA stanowiska.

¹¹ Kondracki 2002: 100–102.

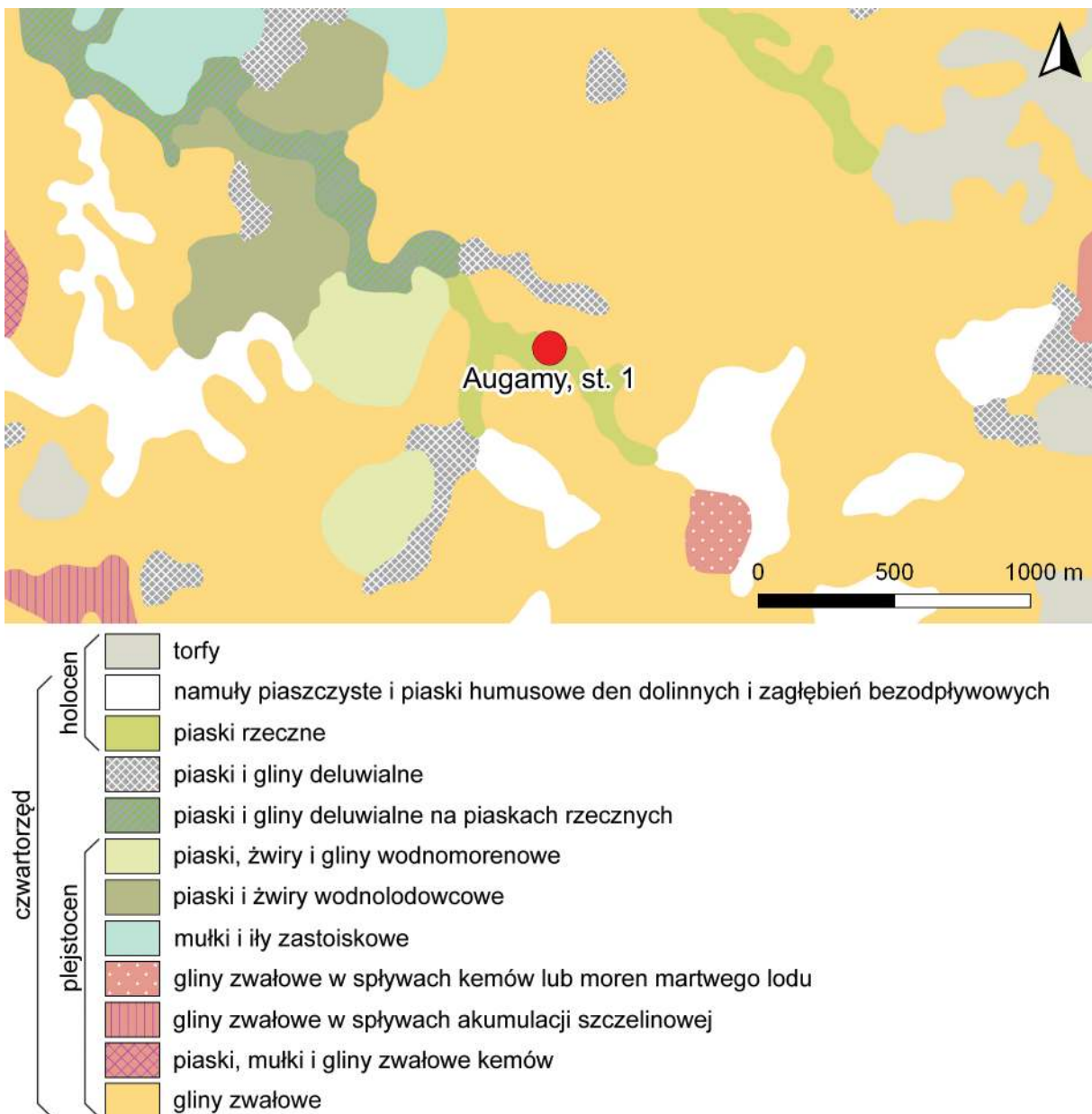
Pod względem geologii jest położone w synklinie perybałtyckiej platformy wschodnioeuropejskiej. Podłożem osadów czwartorzędowych stanowią tu osady morskie z paleocepu, eocenu i oligocenu. Osady czwartorzędowe na tym terenie zaliczono do dwóch stadiałów – środkowego i górnego – zlodowacenia Wisły, które wykształciły się w postaci glin zwałowych rozdzielonych osadami wodnolodowcowymi i zastoiskowymi oraz utworami akumulacji szczelinowej, budującymi czytelne formy rzeźby terenowej. Osady te osiągają miąższość ponad 200 m. Podczas deglacjacji powstawały formy szczelinowe i kemy. W holocene ostatnie bryły martwego lodu zaczęły intensywnie topnieć i w obrębie rówień sandrowych oraz wysoczyzny morenowej powstały zagłębienia, w których osadzały się namuły piaszczyste i piaski humusowe. Według *Szczegółowej Mapy Geologicznej Polski* w skali 1:50 000 (arkusz Głobock)¹², na grodzisku w Augamach występują gliny zwałowe (ryc. 7), według *Mapy Litogenetycznej Polski* w skali 1:50 000 stanowisko znajduje się na obszarze występowania glin zwałowych pochodzenia lodowcowego, a według *Mapy Geologicznej Polski* w skali 1:500 000 stanowisko znajduje się na obszarze występowania glin zwałowych, ich zwietrzelin oraz piasków i żwirów lodowcowych.

Morfologicznie grodzisko zajmuje część wysoczyzny morenowej falistej, której powierzchnia jest urozmacona licznymi zagłębienniami bezodpływowymi. Na zachód od stanowiska rozciąga się równina zastoiskowa.

Stanowisko w Augamach stanowi wyraźne dwudzielne wyniesienie w terenie, które od północy jest odcięte fosą, natomiast od wschodu, południa i zachodu otoczone jest stromymi skarpami schodzącymi w dolinę rzeczną. Część północna stanowiska położona jest niżżej niż część południowa. Stanowisko dwory swoisty cypel i opływanie jest przez niewielką rzekę, tworzącą tutaj wyraźną dolinę. Szczyt wzniesienia jest stosunkowo płaski z liniowym wyniesieniem w części północnej. Ukształtowanie stanowiska nosi wiele cech przekształcenia go w przeszłości przez człowieka. Dokładną morfologię obszaru można zaobserwować na obrazowaniu danych ALS i przekroju morfologicznym (ryc. 3–4).

Budowa geologiczna grodziska w Augamach została rozpoznana poprzez wykonanie siedmiu wierceń sondą ręczną do głębokości

¹² Honczaruk i Kacprzak 2014: 24–28.

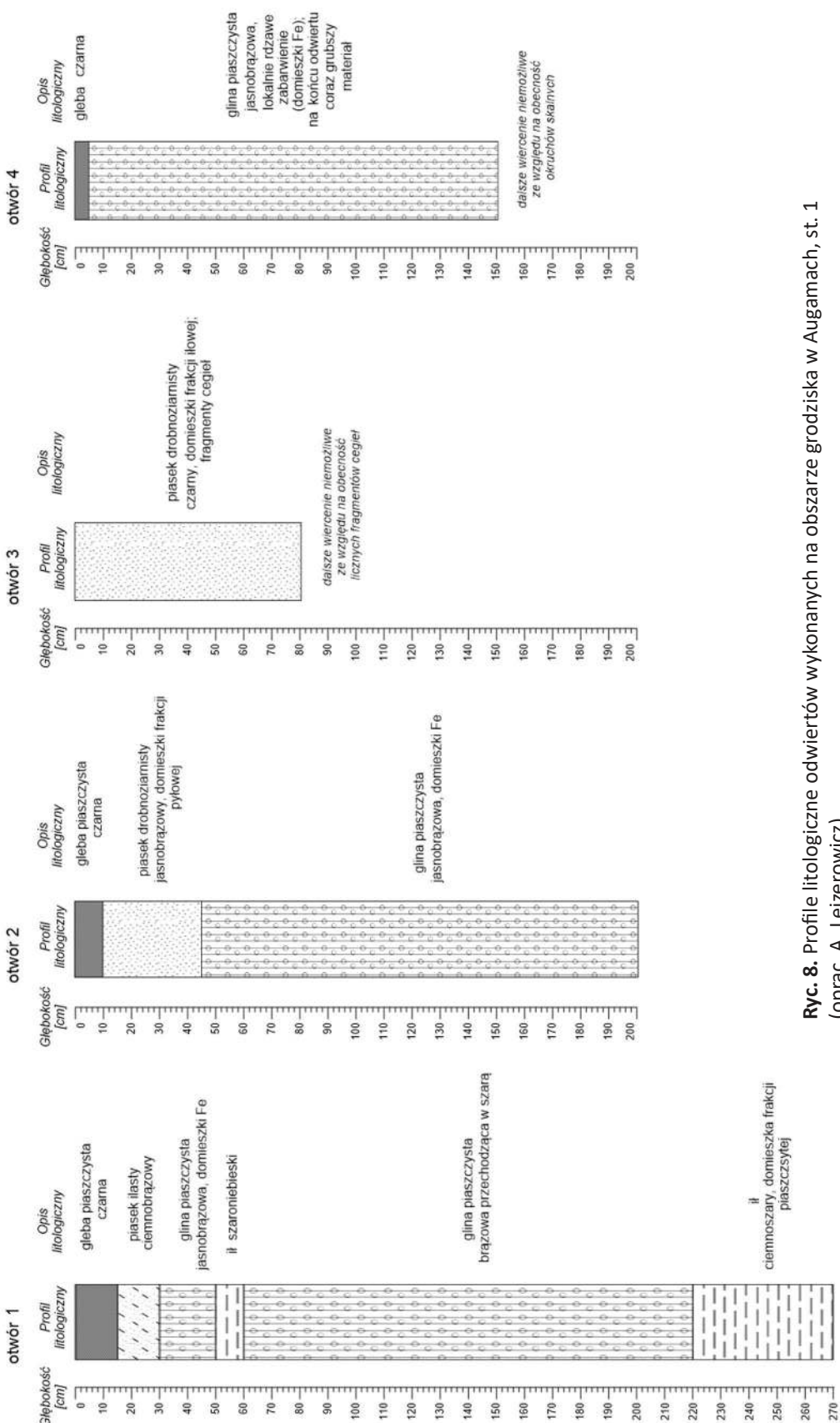


Ryc. 7. Wycinek arkusza Szczegółowej Mapy Geologicznej Polski z zaznaczonym grodziskiem w Augamach, st. 1
 (źródło: www.cbdgmapa.pgi.gov.pl/arcgis/services/kartografia/smgp50k/MapServer/WMServer,
 oprac. A. Lejzerowicz)

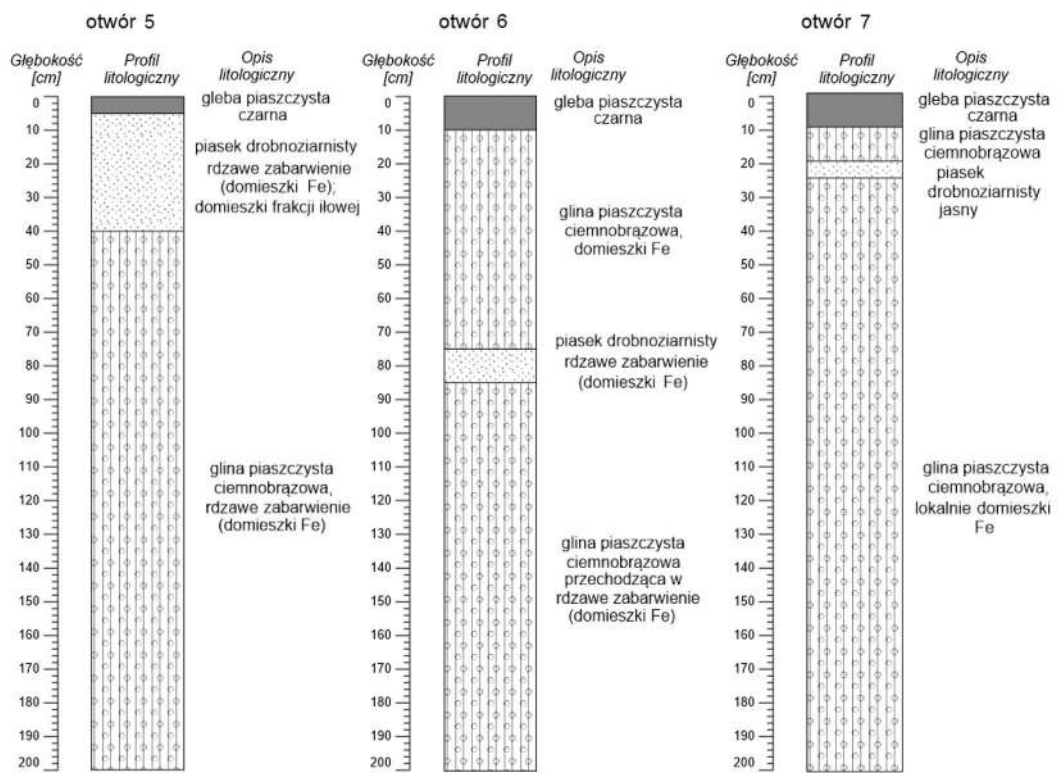
2 m. W wierceniach zaobserwowano występowanie osadów piaszczystych (piaski drobnoziarniste i piaski pylaste) oraz glin piaszczystych, jak również nawiercono ciemne ily w obrębie fosy – ich występowanie związane jest najprawdopodobniej ze spływaniem materiału z obszarów wyżej położonych. Szczegółowa litologia jest widoczna oraz została opisana na poszczególnych profilach wiercen na ryc. 8. Stworzony został również schematyczny przekrój geologiczny przez stanowisko (ryc. 9).

Wykonane wiercenia potwierdzają obecność glin zwałowych pochodzenia lodowco-

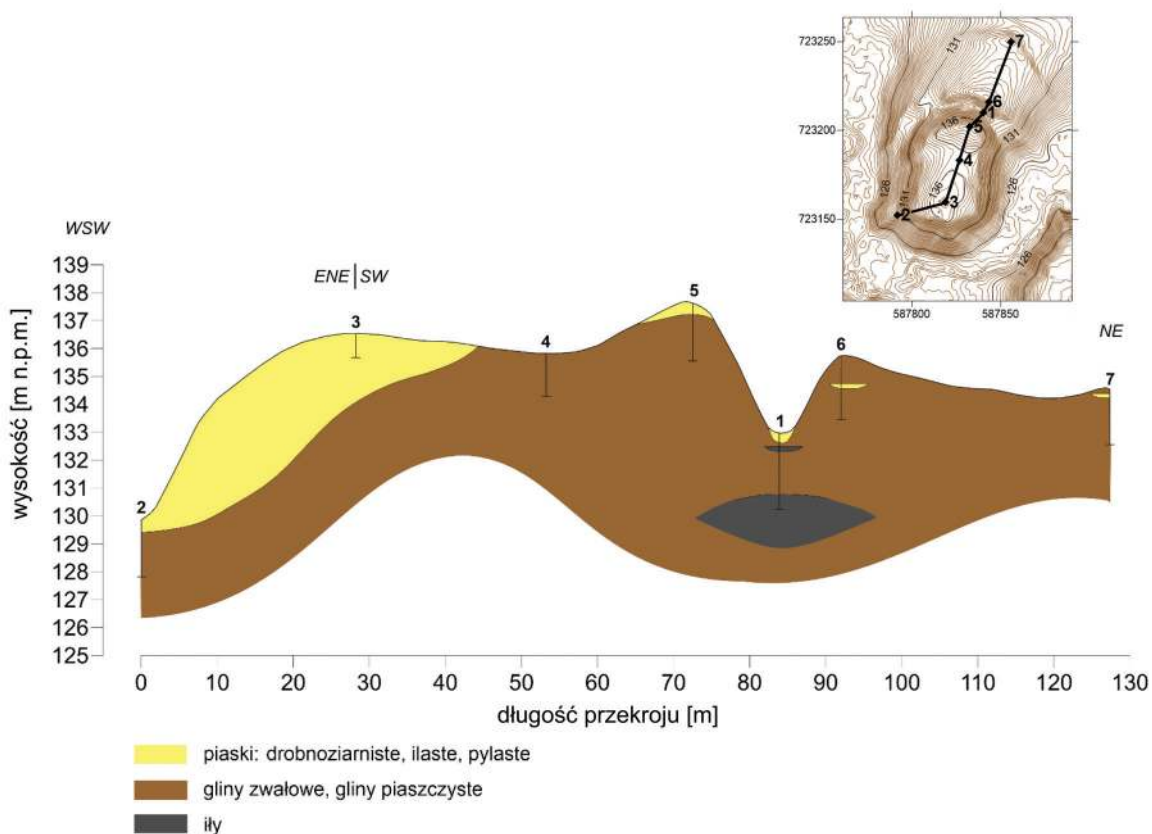
wego na badanym stanowisku. Lokalnie osady te zawierają związki żelaza, co nadaje im rdzawe zabarwienie. W niektórych warstwach zaobserwować można pojedyncze okruchy skalne. W obniżeniu terenu nawiercono osady ilaste o ciemnym zabarwieniu (domieszka substancji organicznej), natomiast na szczytce wznieśienia, w wierceniu nr 3, zaobserwowało obecność fragmentów cegieł, które mogą potwierdzać, że obszar ten był wykorzystywany w przeszłości przez człowieka.



Ryc. 8. Profile litologiczne odwiertów wykonanych na obszarze grodziska w Augamach, st. 1
(oprac. A. Leżerowicz)



Ryc. 8. Ciąg dalszy



Ryc. 9. Schematyczny przekrój geologiczny przez grodzisko w Augamach, st. 1 (oprac. A. Lejzerowicz)

BADANIA ARCHEOLOGICZNE

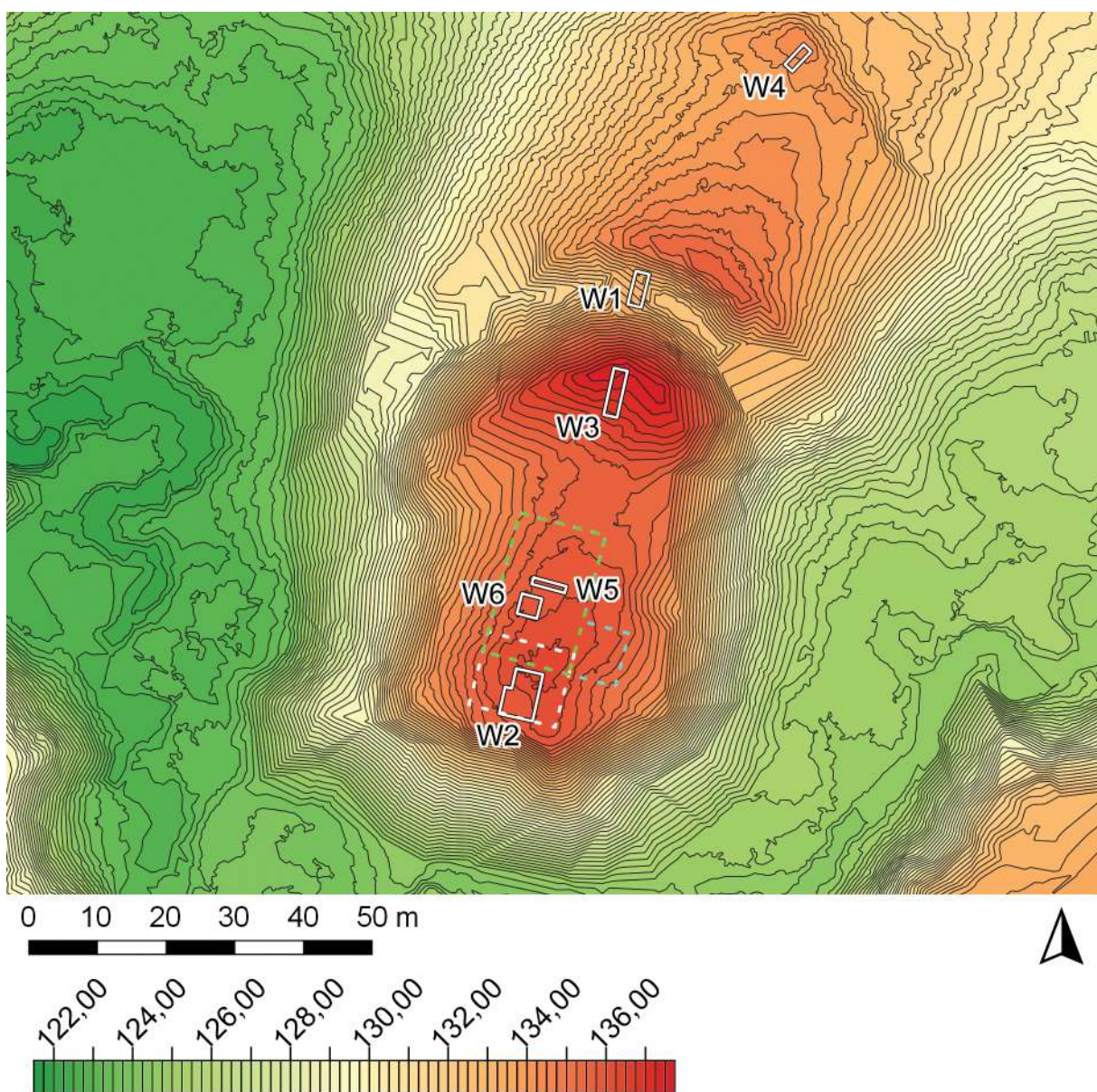
DANIEL SKOCZYLAS I FABIAN WELC

Przebieg badań terenowych

Stanowisko jest porośnięte lasem liściastym. Jego gęstość na obszarze Majdanu Górnego była na tyle nieduża, że możliwe było wytyczenie poligonów do geofizycznych badań nieinwazyjnych (ryc. 10). Badania geofizyczne prowadzono trzema metodami: z wykorzystaniem georadaru Mala model Ground Explorer z anteną 450 MHz o zasięgu głębokościowym sięgającym około 3 m, kappametru firmy Bartington model MS3 z sondą MS2D pracującą z częstotliwością 950 ± 60 Hz i przeznaczoną do płytkiego pomiaru podatności magnetycznej gruntu i magnetometru transduktoro-

wego firmy Bartington model Grad 602, który pozwala na rejestrację anomalii magnetycznych wywoływanych przez obiekty zalegające na głębokości do około 1 m.

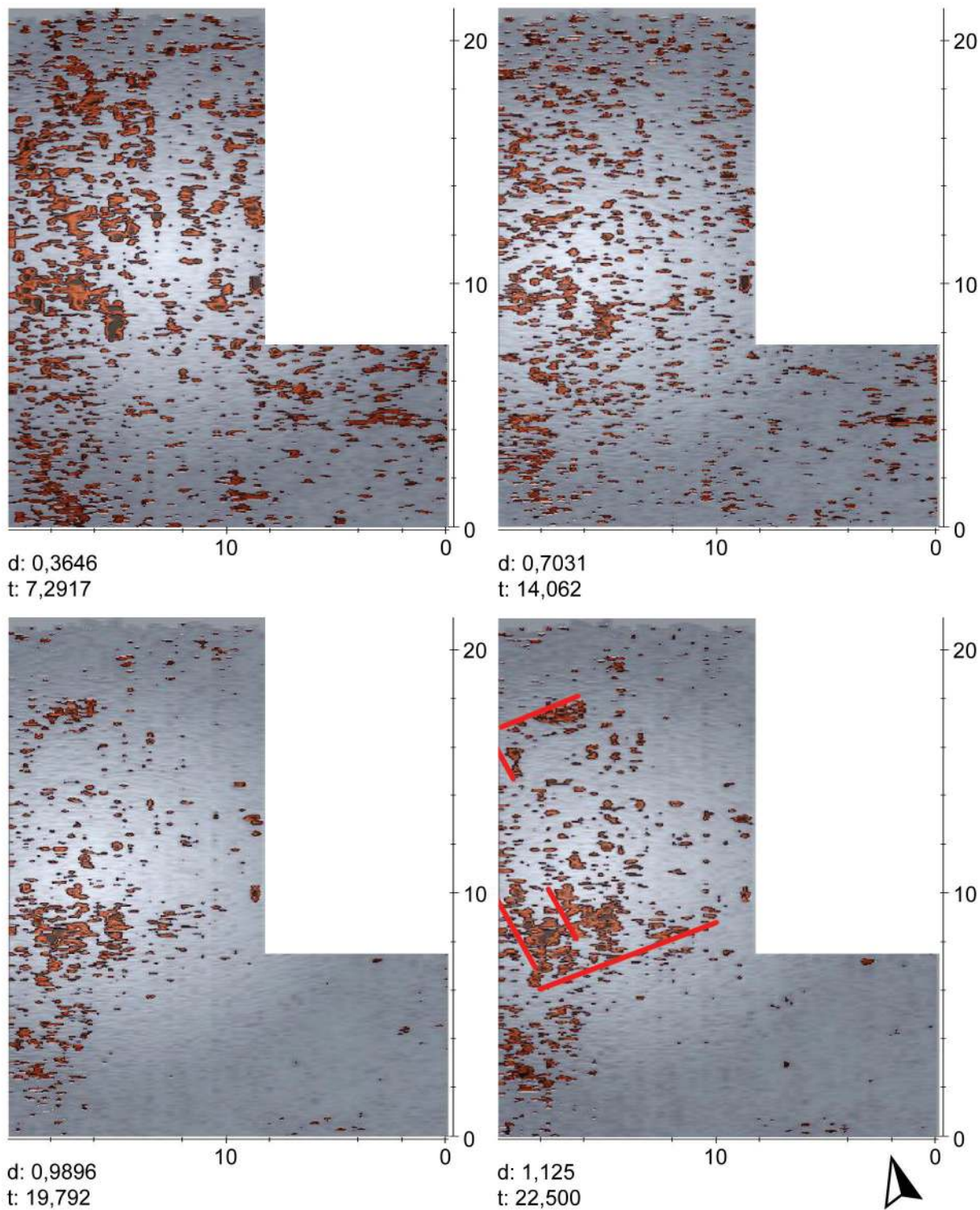
Polygon badań nieinwazyjnych z wykorzystaniem georadaru miał powierzchnię 20×21 m i obejmował centralną część majdanu. W jego obrębie wykonano pomiary jedynie na powierzchni 329 m^2 , gdyż pozostała część okazała się być zbyt silnie zarośnięta roślinnością. Pomiary zbierano wzdłuż 51 równoległych profilowań oddalonych od siebie o stały interwał wynoszący 0,5 m. Uśredniona prędkość propagacji fali w lokalnym ośrodku geologicznym wynosiła 0,06 m/ns, co odpowiada prędkości fali przechodzącej przez piaski zaliwione (piaski gliniaste przechodzące w gliny).



Ryc. 10. Augamy, st. 1. Plan grodziska z naniesionymi wykopami archeologicznymi (kolor biały) i poligonami badań nieinwazyjnych: kappametr (biały przerywany), magnetometr (zielony przerywany), GPR (niebieski przerywany) (oprac. R. Solecki)

Począwszy od powierzchni ziemi do głębokości około 1 m, otrzymane w toku processingu plany GPR ujawniły chaotycznie rozkładające się strefy tłumienia (jasne) i wzmacniania sygnału (ciemnoczerwone) (ryc. 11). Strefy wzmacniania sygnału są efektem akumulacji materiału gruboziarnistego przemieszanego być może z drobnym gruzem kamiennym, bądź ceglany. Już na tym poziomie daje się

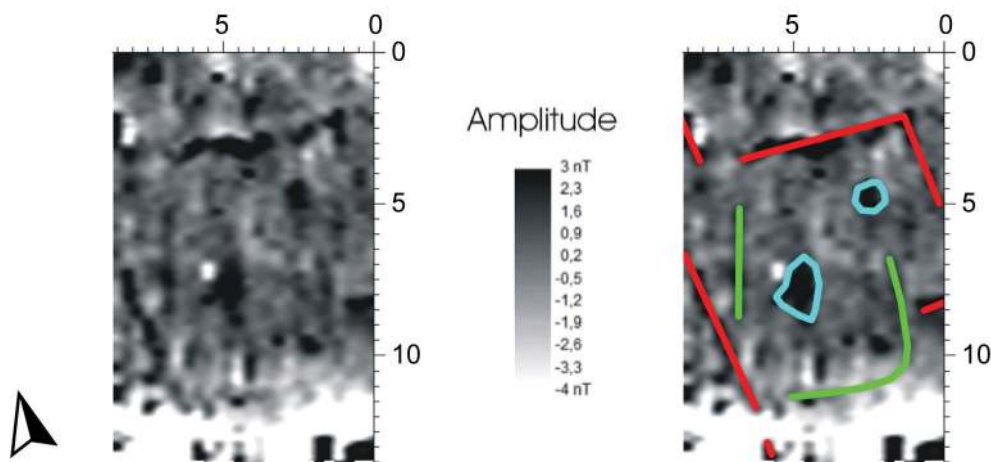
zauważać, że anomalie punktowe koncentrują się w środkowej części poligonu. Można przyjąć, że strefy wzmacniania sygnału na analizowanych planach radarowych w istocie odpowiadają fizycznym pozostałościom po strukturze niemal całkowicie zniszczonego i rozebranego budynku (ryc. 11 – czerwone linie). Opisane zespoły anomalii kontynuują się do głębokości około 1,3 m.



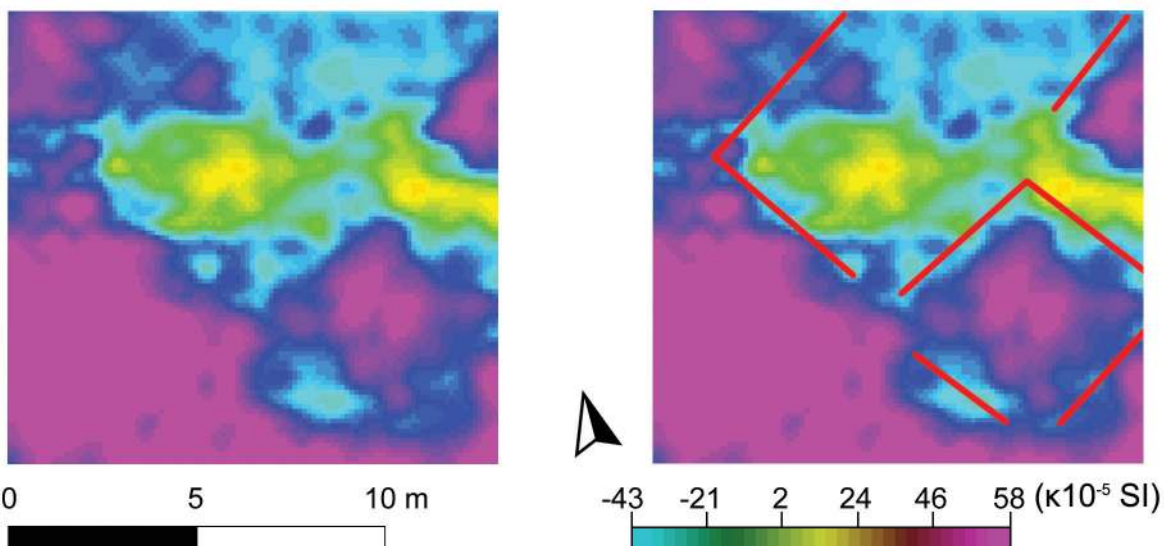
Ryc. 11. Augamy, st. 1. Plany GPR w obrębie poligonu dla przedziału głębokości od 0,36 do 1,12 m (oprac. F. Welc)

Poligon badań nieinwazyjnych z wykorzystaniem magnetometru zawierał się w poligonce badań georadarowych i obejmował strefę występowania największych zakłóceń widocznych na planie GPR. Otrzymana pozytywowa mapa rozkładu anomalii magnetycznych wykazała istnienie szeregu miejsc o wysokiej (obszary ciemniejsze) i niskiej amplitudzie (obszary jaśniejsze) (ryc. 12). Czytelne są długie, liniowe, równoległe i prostopadłe anomalie niedipolowe, które tworzą strukturę zbliżoną do kwadratu o boku około 8,5 m (ryc. 12 – kolor czerwony). Mniej czytelne są linie układające się w U-kształtny obiekt o szerokości około 5,3 m i długości co najmniej 7 m (ryc. 12 – kolor zielony). Linie te pokrywają się z liniowymi anomaliami z planu GPR, co może sugerować relatywnie dużą głębokość tej struktury (wkopu) i że jest ona wypełniona piaskiem z dużą domieszką materii organicznej i domieszką gruzu.

Poligon badań nieinwazyjnych z wykorzystaniem kappametru miał wymiary 12×13 m. i obejmował południową część Majdanu Górnego. Wartość odczytów mieści się w zakresie od -43,71 do 58,12 μT SI. Średnia wartość odczytów wynosi -17,07 a odchylenie standardowe 16,46 (μT SI). Badania wykazały obecność co najmniej dwóch regularnych, zbliżonych do kwadratu w planie, struktur o boku około 5 m, które stykały się ze sobą jednym z boków (ryc. 13). Być może są to manifestacje wkopów fundamentowych. W granicach czworoboku położonego bardziej na południowy wschód odczyty miały takie wartości, jak odczyty lokalnych warstw naturalnych. W granicach czworoboku położonego bardziej na północny zachód odczyty były zdecydowanie inne, sugerujące istnienie jakiejś konstrukcji. W tym miejscu na powierzchni widoczne jest niewielkie zagłębienie z pojedynczymi kamieniami.



Ryc. 12. Augamy, st. 1. Plan z pozytywowym rozkładem anomalii magnetycznych (oprac. F. Welc)



Ryc. 13. Augamy, st. 1. Plan z wizualizacją wyników badań z wykorzystaniem kappametru (oprac. D. Skoczylas)

Bazując na oglądzie powierzchni stanowiska oraz wynikach badań nieinwazyjnych wytyczono 6 wykopów badawczych (W1–6) (ryc. 10):

- W1, o wymiarach 2×5 m, wytyczono w połowie fosy,
- nieregularnie prostokątny W2, o wymiarach 5×7 m i powierzchni 32 m^2 , w południowej części Majdanu Górnego, gdzie na obrazowaniu danych z kappametru czytelny był obiekt z kamiennym wypełniskiem,
- W3, o wymiarach 2×7 m, przecinał pod kątem prostym wał Majdanu Górnego,
- W4, o wymiarach $1,5 \times 4$ m, przecinał pod kątem prostym wał Majdanu Dolnego,
- W5, o wymiarach 1×5 m i W6, o wymiarach 3×3 m, wytyczono na powierzchni Majdanu Górnego, w celu rozpoznania domniemanego domostwa widocznego na wynikach badań georadarowych i magnetycznych.

Stratygrafia stanowiska

W trakcie omawianych badań archeologicznych wydzielono łącznie 119 jednostek stratygraficznych (tabela 1). Możliwe było ich rozdzielenie pomiędzy warstwy naturalne i pięć faz użytkowych. Diagram Harrisa dla wydzielonych jednostek stratygraficznych przedstawia ryc. 14 a zadokumentowane powierzchnie ryc. 15–24.

Warstwy naturalne

W trakcie badań jako jednostki naturalne zidentyfikowano: w W1 twardą, zbitą glinę 12 z dużą ilością ilastycznych wkrętów i soczewek, w W2 twardą glinę 33, w W3 zwarty piasek z żelazistymi wytrąceniami 117, w W4 il 79 z żelazistymi wytrąceniami 111, w W5 plastyczny, lekko piaszczysty il 64, a w W6 sypki piasek 16 z soczewkami zwartej, twardego ilu.

Faza I (A–B)

Najstarszą fazę użytkowania stanowiska podzielono na dwie podfazy: A i B. Fazę IA należy łączyć z budową, a fazę IB z użytkowaniem i opuszczeniem grodu. Chronologia powstania umocnień w formie dwóch wałów ziemnych jest trudna do jednoznacznego określenia. Przeprowadzone badania radiowęglowe prób węgla pozyskanego z nasypu wału w W3 i związanej z nim warstwy użytkowej wskażają po kalibracji na przedział od poł. IV do poł. VI wieku n.e., czyli na ostatnie fazy Okre-

su Wędrówek Ludów i sam początek tworzenia się organizacji plemiennej Prusów¹³.

Budowa grodu była najpewniej poprzedzona wypaleniem powierzchni cypla, na którym miał się on znaleźć. Poniżej nasypów uchwycone są warstwy humusu pierwotnego z wyraźną domieszką węgli drzewnych – w W3 jest to drobnoziarnisty piach 70 z widocznymi wkrętami węgla drzewnego, a w W4 il 110 z drobnymi węgli drzewnych.

Z budową najstarszych umocnień należy wiązać warstwy tworzące nasypy ziemne:

- Wał Majdanu Dolnego (W4) tworzą zbita glina 109 z widocznymi łupkami skalnymi średniej wielkości oraz zbita glina 108,
- Wał Majdanu Górnego (W3) tworzą plastyczny il 68, plastyczna glina 69 z domieszką drobnoziarnistego piasku, plastyczny il 77 z domieszką materii organicznej, twardy, kruszący się il 67, plastyczny il 65 oraz pylasty il 116.

Wał Majdanu Górnego był w tej fazie prawdopodobnie zaopatrzony także w konstrukcję drewnianą typu płot lub palisada, za czym przemawiają ślady po zdegradowanym drewnie – wąski pas ilu 79 z domieszką materii organicznej oraz smuga sypkiego ilu 115 z domieszką spalenizny – które zadokumentowano przy szczerbieniu wału.

Przy Wale Majdanu Górnego, od strony majdanu, znajdowało się zagłębienie przywałowe 89, szerokości do 330 cm i głębokość do 60 cm, które wyprofilowano w nasypie, który tworzyły il 88 z pojedynczymi, małymi kamieniami, plastyczny il 114 oraz il 87 z domieszką drobnoziarnistego piasku.

Z użytkowaniem grodu w tej fazie należy łączyć zespół nawarstwień, które odłożyły się w obrębie zagłębienia przywałowego, między innymi w wyniku erozji wału: piaszczysty il 93 z pojedynczymi, małymi kamieniami, piaszczysty il 113 z drobinami spalenizny oraz popiołu, sypki, piaszczysty il 112 z drobinami węgla drzewnego, zbita, plastyczny il 98, zbita, plastyczny il 96 z domieszką drobnoziarnistego piasku, zbita, plastyczny il 95, piach 91 z domieszką materii organicznej i węgla drzewnego oraz plastyczny il 90. Ponad stropem wypełniska zagłębienia przywałowego widoczny jest zespół warstw, które można wiązać ze zniszczeniem umocnień grodu tej fazy: soczewki plastycznego ilu 66, piaszczystego ilu 92, plastycznego ilu 75 oraz gruba na około 5 cm warstwa spalenizny.

¹³ J. Okulicz 1973: 421, 491–495.

zny 82. Próbę węgla z warstwy 82 przekazano do analizy radiowęglowej. Wynik tej analizy dał po kalibracji przedział lat 367–541 n.e. z prawdopodobieństwem 95,4%¹⁴.

Na zewnętrznym stoku Wału Majdanu Górnego zadokumentowano drobnoziarnisty piasek 63 z licznymi drobinami węgli drzewnych. Próbę węgla z warstwy 63 przekazano do analizy radiowęglowej. Wynik tej analizy dał po kalibracji przedział lat 363–539 n.e. z prawdopodobieństwem 95,4%¹⁵.

Z fazą tą należy także wiązać warstwy, które wytworzyły się ponad nasypem Wału Majdanu Dolnego: plastyczny, lekko piaszczysty ił 102 i il 101 z domieszką materii organicznej.

Po opuszczeniu grodu tej fazy nastąpiła najpewniej przerwa osadnicza.

Faza II (A–B)

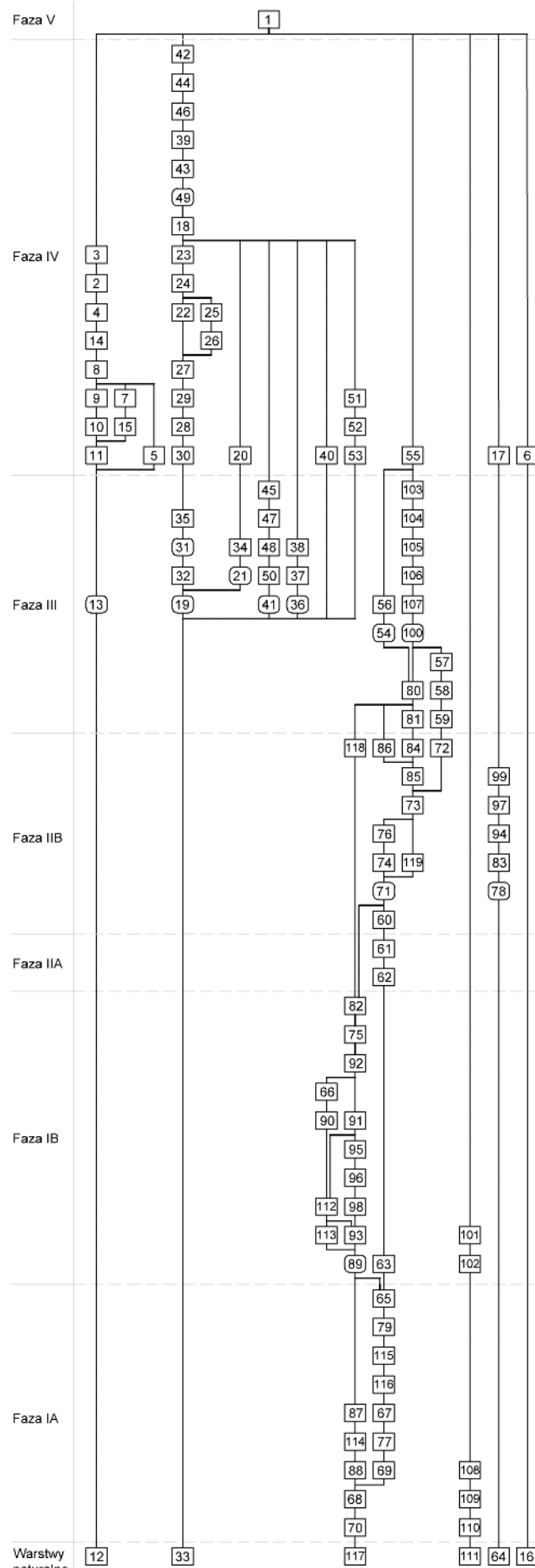
Fazę tę podzielono na dwie podfazy: A i B. Fazę IIA należy wiązać z odbudową umocnień grodu, a fazę IIB z ponownym jego zasiedleniem w okresie wczesnego średniowiecza.

Ślady odbudowy potwierdzono tylko w obrębie W3, gdzie zadokumentowano warstwy nasypowe Wału Majdanu Górnego: il 62 oraz il 63, zawierający drobiny węgla drzewnego. Na powierzchni zewnętrznego stoku tego wału zanotowano drobnoziarnisty piach 60, zawierającego drobiny węgla drzewnego.

Część Wału Majdanu Górnego od strony majdanu została naruszona przez wkop 71, tworzący regularną półkę, która była najpewniej elementem systemu obronnego. W obrębie obiektu 71 zarejestrowano skupisko kamieni 76 o średnicy do 25 cm, tworzących pas równoległy do osi wału oraz lokalnie występujące warstwy lekko piaszczystej gliny 74, średnio- i drobnoziarnistego, ilastego piasku 119 z widocznymi drobinami węgla drzewnych, lekko piaszczystego ilu 73, twardego ilu 85, ilu przemieszzanego ze spalenizną 84 oraz gliny 72 z domieszką materii organicznej. W obrębie obiektu 71 mogła znajdować się konstrukcja drewniana, dodatkowo umacniająca wał, po której pozostałością są ślady spalonego i zdegradowanego drewna: wąski pas gliny przemieszanej ze spalenizną 86 i wąski pas sypkiego piasku przemieszzanego z popiołem 118.

¹⁴ Analiza przeprowadzona w Poznańskim Laboratorium Radiowęglowym, próba nr Poz-130375.

¹⁵ Analiza przeprowadzona w Poznańskim Laboratorium Radiowęglowym, próba nr Poz-130525.



Ryc. 14. Augamy, st. 1. Diagram relacji stratygraficznych (oprac. D. Skoczylas)

Tabela 1. Augamy, st. 1. Katalog warstw i obiektów oraz ich zależności stratygraficznych (oprac. D. Skoczyłas)

Numer jednostki	Numer obiektu	Numer wykopu	Położenie w obrębie stanowiska	Współrzędne geodezyjne (PUWG 1992)	Opis jednostki stratygraficznej (rodzaj sedymentu, miąższość, zawartość zabytkowa, przypuszczalna funkcja/proces formowania)	Barwa (Munsell)	Pozycja stratygraficzna	
							Znajduje się pod	Znajduje się nad
1	-	1, 2, 3, 4, 5, 6	Całe stanowisko	X=723151,3- 723250,4; Y=587812,0- 587857,7	Piaszczysty humus leśny; miąższość do 45 cm; współczesny poziom użytkowy w obrębie stanowiska	2.5Y 3/1	-	2, 3, 18, 55
2	-	1	Fosa	X=723211,8- 723217,2; Y=587830,8- 587834,1	Piaszczysta glina; miąższość do 50 cm; warstwa spływowów z wyżej położonych stoków i wałów	10YR 4/4	1, 3	4, 5
3	-	1	Fosa	X=723211,8- 723217,2; Y=587830,8- 587834,1	Piasek z dużą domieszką materii organicznej; miąższość do 35 cm; warstwa spływowów z wyżej położonych stoków i wałów	10YR 3/4	1	2, 4, 14
4	-	1	Fosa	X=723211,8- 723217,2; Y=587830,8- 587834,1	Gлина z ilastymi i piaszczystymi wtrąceniami; miąższość do 55 cm; warstwa spływowów z wyżej położonych stoków i wałów	10Y 5/3	2, 3	5, 7, 8, 9, 12, 13
5	-	1	Fosa	X=723211,8- 723217,2; Y=587830,8- 587834,1	Gлина z dużą ilością wytrąceń ilastych; miąższość do 30 cm; warstwa spływowów ze stoku i wału Majdanu Górnego	10YR 4/4	2, 4	12, 13
6	-	6	Majdan Górnny	X=723166,3- 723170,1; Y=587814,6- 587818,4	Przemieszany, plastyczny il; miąższość do 30 cm; warstwa erozyjna na obszarze Majdanu Górnego	10YR 5/3	1	16
7	-	1	Fosa	X=723211,8- 723217,2; Y=587830,8- 587834,1	Soczewka piasku i ilu; miąższość do 10 cm; lokalny spływ	10YR 6/6	4, 8	12, 13, 15
8	-	1	Fosa	X=723211,8- 723217,2; Y=587830,8- 587834,1	Ilasta glina; miąższość do 35 cm; warstwa spływowowa na dnie fosy	10YR 5/3	4	7, 9, 15
9	-	1	Fosa	X=723211,8- 723217,2; Y=587830,8- 587834,1	Ilasta glina z domieszką materii organicznej; miąższość do 20 cm; warstwa spływowowa na dnie fosy	10YR 4/2	4, 8	10
10	-	1	Fosa	X=723211,8- 723217,2; Y=587830,8- 587834,1	Piasek; miąższość do 10 cm; warstwa spływowowa na dnie fosy	10YR 5/4	9	11
11	-	1	Fosa	X=723211,8- 723217,2; Y=587830,8- 587834,1	Przemieszana glina i piasek; miąższość do 25 cm; warstwa spływowowa na dnie fosy	10YR 4/2	8, 10, 15	12, 13
12	-	1	Fosa	X=723211,8- 723217,2; Y=587830,8- 587834,1	Twarda zbita glina z dużą ilością ilastych wtrętów i soczewek; podłoż naturalne	10YR 6/3	4, 5, 11, 13, 15	-
13	13	1	Fosa	X=723211,8- 723217,2; Y=587830,8- 587834,1	Dużych rozmiarów wkop profilujący fosę	-	4, 5, 11, 15	12
14	-	1	Fosa	X=723211,8- 723217,2; Y=587830,8- 587834,1	Ilasta glina; miąższość do 30 cm; warstwa spływowów z wyżej położonych stoków i wałów	10YR 5/4	3, 4	8, 12
15	-	1	Fosa	X=723211,8- 723217,2; Y=587830,8- 587834,1	Fragment spalonej belki - elementu konstrukcyjnego - która spłynęła wraz z warstwami erozyjnymi na dno fosy	10YR 2/1	7, 8	11, 12, 13
16	-	6	Majdan Górnny	X=723166,3- 723170,1; Y=587814,6- 587818,4	Sypki piasek z soczewkami zwartej, twardego itu; podłoż naturalne	2.5Y 6/4	6	-
17	-	5	Majdan Górnny	X=723170,1- 723172,4; Y=587816,8- 587822,0	Piasek z domieszką materii organicznej; miąższość do 20 cm; warstwa erozyjna na obszarze Majdanu Górnego	10YR 4/3	1	64, 94, 97, 99
18	-	2	Majdan Górnny	X=723151,3- 723159,1; Y=587812,0- 587818,5	Sypki piasek z domieszką materii organicznej i z drobinami gruzu ceglanego; miąższość do 40 cm; rumosz rozbiorkowy	10YR 5/3	1	23, 33
19	19	2	Majdan Górnny	X=723151,3- 723159,1; Y=587812,0- 587818,5	Wkop budowlany pod kamienną platformę 21; zadokumentowane rozmiary to długość 500 cm, szerokość 350 cm i głębokość do 115 cm	-	21	33
20	-	2	Majdan Górnny	X=723151,3- 723159,1; Y=587812,0- 587818,5	Rumosz kamienny; destrukt platformy 21	-	18	34
21	19	2	Majdan Górnny	X=723151,3- 723159,1; Y=587812,0- 587818,5	Platforma zbudowana z kamieni średnicy do 55 cm, z dodatkiem pojedynczych kawałków cegieł; platforma w rzucie zbliżona do kwadratu o boku 280 cm, wysokość do 80 cm; w centralnej części widoczne koliste zagłębienie średnicy 150 cm i głębokości do 60 cm	-	34	19, 33

Tabela 1. Ciąg dalszy

Numer jednostki	Numer obiektu	Numer wykopu	Położenie w obrębie stanowiska	Współrzędne geodezyjne (PUWG 1992)	Opis jednostki stratygraficznej (rodzaj sedymencu, miąższość, zawartość zabytkowa, przypuszczalna funkcja/proces formowania)	Barwa (Munsell)	Pozycja stratygraficzna	
							Znajduje się pod	Znajduje się nad
22	-	2	Majdan Górnny	X=723151,3-723159,1; Y=587812,0-587818,5	Spaloną deską drewnianą; rumosz rozbiórkowy	10YR 2/1	24	27
23	-	2	Majdan Górnny	X=723151,3-723159,1; Y=587812,0-587818,5	Sypki piasek z drobinami węgla drzewnego; miąższość do 20 cm; rumosz rozbiórkowy	10YR 6/1	18	24
24	-	2	Majdan Górnny	X=723151,3-723159,1; Y=587812,0-587818,5	Lekko plastyczny il przemieszany z fragmentami cegieł, polepy i węgla drzewnego; miąższość do 45 cm; rumosz rozbiórkowy	10YR 5/4	18, 23	22, 25, 26, 27
25	-	2	Majdan Górnny	X=723151,3-723159,1; Y=587812,0-587818,5	Lekko plastyczny il z pojedynczymi drobinami gruzu ceglano; miąższość do 50 cm; rumosz rozbiórkowy	10YR 4/3	24	26
26	-	2	Majdan Górnny	X=723151,3-723159,1; Y=587812,0-587818,5	Gliniasty il; miąższość do 10 cm; przekładka w obrębie rumoszu rozbiórkowego	10YR 4/6	25	27
27	-	2	Majdan Górnny	X=723151,3-723159,1; Y=587812,0-587818,5	Gliniasty il przemieszany z fragmentami cegieł, węglami drzewnymi i polepą; miąższość do 20 cm; rumosz rozbiórkowy	10YR 4/3	22, 24, 26	28, 29
28	-	2	Majdan Górnny	X=723151,3-723159,1; Y=587812,0-587818,5	Przemieszany, plastyczny il z drobinami węgli drzewnych i gruzu ceglano; miąższość do 25 cm; rumosz rozbiórkowy	10YR 5/3	27, 29	30
29	-	2	Majdan Górnny	X=723151,3-723159,1; Y=587812,0-587818,5	Plastyczny il z drobinami węgli drzewnych i gruzu ceglano; miąższość do 5 cm; rumosz rozbiórkowy	10YR 4/6	27	28, 30
30	-	2	Majdan Górnny	X=723151,3-723159,1; Y=587812,0-587818,5	Gлина przemieszana ze spalenizną i rumoszem ceglano; miąższość do 25 cm; rumosz rozbiórkowy	7.5YR 4/8	28, 29	31, 32
31	19	2	Majdan Górnny	X=723151,3-723159,1; Y=587812,0-587818,5	Posadzka ułożona z cegieł	-	30	32
32	19	2	Majdan Górnny	X=723151,3-723159,1; Y=587812,0-587818,5	Plastyczna gлина; miąższość do 20 cm; wyołożenie pod ceglano posadzkę 31	5Y 5/3	30, 31	19, 33
33	-	2	Majdan Górnny	X=723151,3-723159,1; Y=587812,0-587818,5	Twarda gлина; podłoże naturalne	7.5YR 7/4	19	-
34	19	2	Majdan Górnny	X=723151,3-723159,1; Y=587812,0-587818,5	Zaprawa gliniana z fragmentami cegieł spajająca kamienie platformy 21	7.5YR 4/2	20	21
35	19	2	Majdan Górnny	X=723151,3-723159,1; Y=587812,0-587818,5	Fragmenty spalonych belek na poziomie ceglanej posadzki 31, przy platformie 21	10YR 2/1	30	21, 31
36	36	2	Majdan Górnny	X=723151,3-723159,1; Y=587812,0-587818,5	Wkop, kolisty w planie, U-kształtny w profilu; średnica 75 cm, głębokość do 60 cm; dół postupowy	-	37, 38	33
37	36	2	Majdan Górnny	X=723151,3-723159,1; Y=587812,0-587818,5	Gлина przemieszana z gruzem ceglano; wypełnisko dołu postupowego 36	7.5YR 5/6	38	36
38	36	2	Majdan Górnny	X=723151,3-723159,1; Y=587812,0-587818,5	Ilasta gлина przemieszana z drobinami węgli drzewnych; wypełnisko dołu postupowego 36	10YR 6/2	18	37
39	49	2	Majdan Górnny	X=723151,3-723159,1; Y=587812,0-587818,5	Sypki, pylasty piasek; wypełnisko wkopu 49	10YR 7/2	42, 46	43, 49
40	-	2	Majdan Górnny	X=723151,3-723159,1; Y=587812,0-587818,5	Nieregularnie owalna soczewka gliny wymiesianej z polepą, drobinami cegieł i fragmentami węgli drzewnych; średnica do 60 cm, miąższość do 5 cm; rumosz rozbiórkowy	7.5YR 4/6	18	33
41	41	2	Majdan Górnny	X=723151,3-723159,1; Y=587812,0-587818,5	Wkop, owalny w planie, U-kształtny w profilu; średnica 75-125 cm, głębokość do 100 cm; dół postupowy	-	50	33
42	49	2	Majdan Górnny	X=723151,3-723159,1; Y=587812,0-587818,5	Zbita, krucha gлина przemieszana z polepą oraz fragmentami cegieł; wypełnisko wkopu 49	7.5YR 6/3	1	39, 43, 44, 46
43	49	2	Majdan Górnny	X=723151,3-723159,1; Y=587812,0-587818,5	Przemieszana polepa, węgle drzewne i fragmenty cegieł; wypełnisko wkopu 49	10YR 4/3	39, 42, 44, 46	49

Tabela 1. Ciąg dalszy

Numer jednostki	Numer obiektu	Numer wykopu	Położenie w obrębie stanowiska	Współrzędne geodezyjne (PUWG 1992)	Opis jednostki stratygraficznej (rodzaj sedymencu, miąższość, zawartość zabytkowa, przypuszczalna funkcja/proces formowania)	Barwa (Munsell)	Pozycja stratygraficzna	
							Znajduje się pod	Znajduje się nad
44	49	2	Majdan Górnny	X=723151,3-723159,1; Y=587812,0-587818,5	Pojedyncze kamienie średnicy do 30 cm, leżące bezładnie w obrębie wkopu 49	-	42	39, 43, 46
45	41	2	Majdan Górnny	X=723151,3-723159,1; Y=587812,0-587818,5	Plastyczny il z fragmentami cegiel i węgla drzewnego; wypełnisko dołu postupowego 41	10YR 5/3	18, 49	47
46	49	2	Majdan Górnny	X=723151,3-723159,1; Y=587812,0-587818,5	Plastyczny il z domieszką węgla drzewnych; wypełnisko wkopu 49	5YR 4/6	42, 44	39, 43, 49
47	41	2	Majdan Górnny	X=723151,3-723159,1; Y=587812,0-587818,5	Lekko piaszczysta glina; wypełnisko dołu postupowego 41	10YR 5/4	45	48
48	41	2	Majdan Górnny	X=723151,3-723159,1; Y=587812,0-587818,5	Lekko piaszczysta glina; wypełnisko dołu postupowego 41	10YR 5/2	47	50
49	49	2	Majdan Górnny	X=723151,3-723159,1; Y=587812,0-587818,5	Wkop, nieregularnie owalny w planie, V-kształtny w profilu; średnica 140 cm, głębokość do 90 cm; wkop rozbiorkowy	-	39, 43, 46	18
50	41	2	Majdan Górnny	X=723151,3-723159,1; Y=587812,0-587818,5	Lekko piaszczysta glina; wypełnisko dołu postupowego 41	10YR 5/4	48	33, 41
51	-	2	Majdan Górnny	X=723151,3-723159,1; Y=587812,0-587818,5	Rumosz ceglany; pozostałość rozbiorki	-	18	52
52	-	2	Majdan Górnny	X=723151,3-723159,1; Y=587812,0-587818,5	Soczewka drobnoziarnistego piasku	10YR 8/1	51	53
53	-	2	Majdan Górnny	X=723151,3-723159,1; Y=587812,0-587818,5	Soczewka plastycznego ilu z drobinami cegiel i węgla drzewnych	10YR 4/4	52	33
54	54	3	Wał Majdanu Górnego	X=723195,7-723203,1; Y=587827,3-587830,9	Wkop, nieregularnie owalny w planie, U-kształtny w profilu; średnica 30-50 cm, głębokość do 105 cm; dół postupowy	-	56	58, 80
55	-	3	Wał Majdanu Górnego	X=723195,7-723203,1; Y=587827,3-587830,9	Zbity, ilasty piasek; miąższość do 50 cm; warstwa erozyjna na Wałe Majdanu Górnego	10YR 5/3	1	56, 57, 80, 103, 104
56	54	3	Wał Majdanu Górnego	X=723195,7-723203,1; Y=587827,3-587830,9	Ilasty piasek z domieszką materii organicznej; wypełnisko obiektu 54	10YR 4/3	55	54
57	-	3	Wał Majdanu Górnego	X=723195,7-723203,1; Y=587827,3-587830,9	Twarda, zbita glina z soczewkami sypanego piasku; miąższość do 95 cm; jeden z nasypów Wału Majdanu Górnego	7.5YR 7/3	55, 100, 103	58
58	-	3	Wał Majdanu Górnego	X=723195,7-723203,1; Y=587827,3-587830,9	Plastyczny il; miąższość do 45 cm; jeden z nasypów Wału Majdanu Górnego	5YR 4/4	57	59, 72
59	-	3	Wał Majdanu Górnego	X=723195,7-723203,1; Y=587827,3-587830,9	Drobnoziarnisty, ilasty piasek z domieszką materii organicznej; miąższość do 50 cm; jeden z nasypów Wału Majdanu Górnego	7.5YR 3/4	58	60, 61
60	-	3	Wał Majdanu Górnego	X=723195,7-723203,1; Y=587827,3-587830,9	Drobnoziarnisty piach zawierającego drobiny węgla drzewnego; miąższość do 5 cm; jeden z poziomów użytkowych na Wale Majdanu Górnego	10YR 4/2	58, 59, 71	61
61	-	3	Wał Majdanu Górnego	X=723195,7-723203,1; Y=587827,3-587830,9	Il zawierający drobiny węgla drzewnego; miąższość do 30 cm; jeden z nasypów Wału Majdanu Górnego	7.5YR 5/4	59, 61, 80	62
62	-	3	Wał Majdanu Górnego	X=723195,7-723203,1; Y=587827,3-587830,9	Il; miąższość do 40 cm; jeden z nasypów Wału Majdanu Górnego	7.5YR 6/4	61	63
63	-	3	Wał Majdanu Górnego	X=723195,7-723203,1; Y=587827,3-587830,9	Drobnoziarnisty piasek z drobinami węgla drzewnego; miąższość do 10 cm; jeden z poziomów użytkowych na Wale Majdanu Górnego	10YR 5/2	62	65, 67
64	-	5	Majdan Górnny	X=723170,1-723172,4; Y=587816,8-587822,0	Plastyczny, lekko piaszczysty il; podłoże naturalne	2.5Y 6/4	17, 78	-
65	-	3	Wał Majdanu Górnego	X=723195,7-723203,1; Y=587827,3-587830,9	Plastyczny il; miąższość do 50 cm; jeden z nasypów Wału Majdanu Górnego	10YR 6/6	63, 74, 75, 93	67, 79, 115, 116

Tabela 1. Ciąg dalszy

Numer jednostki	Numer obiektu	Numer wykopu	Położenie w obrębie stanowiska	Współrzędne geodezyjne (PUWG 1992)	Opis jednostki stratygraficznej (rodzaj sedymentu, miąższość, zawartość zabytkowa, przypuszczalna funkcja/proces formowania)	Barwa (Munsell)	Pozycja stratygraficzna	
							Znajduje się pod	Znajduje się nad
66	-	3	Wał Majdanu Górnego	X=723195,7-723203,1; Y=587827,3-587830,9	Piaszczysty il; miąższość do 5 cm; warstwa związana z obiektem 89	10YR 6/6	92	87, 90
67	-	3	Wał Majdanu Górnego	X=723195,7-723203,1; Y=587827,3-587830,9	Twardy, kruszący się il; miąższość do 30 cm; jeden z nasypów Wału Majdanu Górnego	10YR 6/3	63, 65, 115, 116	69, 77
68	-	3	Wał Majdanu Górnego	X=723195,7-723203,1; Y=587827,3-587830,9	Plastyczny il; miąższość do 25 cm; jeden z nasypów Wału Majdanu Górnego	7.5YR 5/3	69, 88	70
69	-	3	Wał Majdanu Górnego	X=723195,7-723203,1; Y=587827,3-587830,9	Plastyczna glina z domieszką drobnoziarnistego piasku; miąższość do 15 cm; jeden z nasypów Wału Majdanu Górnego	7.5YR 5/4	67, 77, 116	68, 70
70	-	3	Wał Majdanu Górnego	X=723195,7-723203,1; Y=587827,3-587830,9	Drobnoziarnisty piach z widocznymi wtrętami węgla drzewnego; miąższość do 15 cm; poziom użytkowy bezpośrednio poprzedzający budowę Wału Majdanu Górnego	10YR 7/1	68, 69, 73	117
71	71	3	Wał Majdanu Górnego	X=723195,7-723203,1; Y=587827,3-587830,9	Wcięcie w Wałe Majdanu Górnego od strony majdanu; zapewne element systemu obronnego	-	74	60, 75
72	71	3	Wał Majdanu Górnego	X=723195,7-723203,1; Y=587827,3-587830,9	Gлина z domieszką materii organicznej; miąższość do 25 cm; warstwa w obrębie obiektu 71	10YR 4/3	58	73
73	71	3	Wał Majdanu Górnego	X=723195,7-723203,1; Y=587827,3-587830,9	Lekko piaszczysty il; miąższość do 45 cm; warstwa w obrębie obiektu 71	7.5YR 5/4	72, 81	74, 75, 76, 82, 119
74	71	3	Wał Majdanu Górnego	X=723195,7-723203,1; Y=587827,3-587830,9	Lekko piaszczysta glina; miąższość do 25 cm; warstwa w obrębie obiektu 71	10YR 5/4	73, 76	71, 75
75	-	3	Wał Majdanu Górnego	X=723195,7-723203,1; Y=587827,3-587830,9	Plastyczny il; miąższość do 15 cm; warstwa związana z użytkowaniem Wału Majdanu Górnego	10YR 8/4	71, 73, 74, 76, 82, 84	65, 96
76	71	3	Wał Majdanu Górnego	X=723195,7-723203,1; Y=587827,3-587830,9	Skupisko kamieni o średnicy do 25 cm, tworzących pas równoległy do osi Wału Majdanu Górnego w obrębie obiektu 71	-	73	74, 75
77	-	3	Wał Majdanu Górnego	X=723195,7-723203,1; Y=587827,3-587830,9	Plastyczny il z domieszką materii organicznej; miąższość do 15 cm; jeden z nasypów Wału Majdanu Górnego	10YR 5/2	67	68, 69
78	78	5	Majdan Górnny	X=723170,1-723172,4; Y=587816,8-587822,0	Wkopal, owalny w planie, nieckowaty w profilu; średnica do 170-190 cm, głębokość do 50 cm; funkcja nieokreślona	-	83, 97	64
79	-	3	Wał Majdanu Górnego	X=723195,7-723203,1; Y=587827,3-587830,9	Wąski pas ilu z domieszką materii organicznej; miąższość do 10 cm; relikty umocnienia Wału Majdanu Górnego	10YR 4/6	65	67
80	-	3	Wał Majdanu Górnego	X=723195,7-723203,1; Y=587827,3-587830,9	Zbitý, plastyczny il; miąższość do 95 cm; jeden z nasypów Wału Majdanu Górnego	7.5YR 5/4	54, 55, 100	73, 81, 85, 86, 118
81	-	3	Wał Majdanu Górnego	X=723195,7-723203,1; Y=587827,3-587830,9	Gлина z domieszką drobnoziarnistego piasku; miąższość do 45 cm; jeden z nasypów Wału Majdanu Górnego	10YR 6/4	80	73, 84, 85
82	-	3	Wał Majdanu Górnego	X=723195,7-723203,1; Y=587827,3-587830,9	Spalenizna; miąższość do 5 cm; warstwa związana z użytkowaniem Wału Majdanu Górnego	10YR 2/1	73, 84, 85	75, 92
83	78	5	Majdan Górnny	X=723170,1-723172,4; Y=587816,8-587822,0	Piaszczysty il z widocznymi wtrętami spalenizny; miąższość do 10 cm; wypełnisko obiektu 78	10YR 4/2	94, 97	64, 78
84	71	3	Wał Majdanu Górnego	X=723195,7-723203,1; Y=587827,3-587830,9	Il przemieszany ze spalenizną; miąższość do 5 cm; warstwa w obrębie obiektu 71	2.5Y 4/1	80, 81	73, 75, 82, 85, 92
85	71	3	Wał Majdanu Górnego	X=723195,7-723203,1; Y=587827,3-587830,9	Twardy il; miąższość do 15 cm; warstwa w obrębie obiektu 71	7.5YR 4/6	80, 84, 86	73, 92
86	-	3	Wał Majdanu Górnego	X=723195,7-723203,1; Y=587827,3-587830,9	Wąski pas gliny przemieszanej ze spalenizną; miąższość do 10 cm; relikty spalonej belki związanej z obiektem 71	10YR 4/1	80	85
87	-	3	Wał Majdanu Górnego	X=723195,7-723203,1; Y=587827,3-587830,9	Il z domieszką drobnoziarnistego piasku; miąższość do 45 cm; warstwa związana z formowaniem zagłębiazenia przywałowego Wału Majdanu Górnego	10YR 5/3	89, 92, 96, 113, 133	88, 114

Tabela 1. Ciąg dalszy

Numer jednostki	Numer obiektu	Numer wykopu	Położenie w obrębie stanowiska	Współrzędne geodezyjne (PUWG 1992)	Opis jednostki stratygraficznej (rodzaj sedymetu, miąższość, zawartość zabytkowa, przypuszczalna funkcja/proces formowania)	Barwa (Munsell)	Pozycja stratygraficzna	
							Znajduje się pod	Znajduje się nad
88	-	3	Wał Majdanu Górnego	X=723195,7-723203,1; Y=587827,3-587830,9	Il z pojedynczymi, małymi kamyczkami; miąższość do 15 cm; warstwa związana z formowaniem zagłębienia przywałowego Wału Majdanu Górnego	7.5YR 4/6	87, 93, 114	68, 70, 116
89	89	3	Wał Majdanu Górnego	X=723195,7-723203,1; Y=587827,3-587830,9	Rynnowaty wkop; szerokość do 330 cm, głębokość do 60 cm; wkop formujący zagłębienie przywałowe przy Wałe Majdanu Górnego	-	93, 113	65, 87
90	89	3	Wał Majdanu Górnego	X=723195,7-723203,1; Y=587827,3-587830,9	Plastyczny il; miąższość do 25 cm; wypełnisko obiektu 89	7.5YR 5/4	75, 82, 133	87, 91, 112
91	89	3	Wał Majdanu Górnego	X=723195,7-723203,1; Y=587827,3-587830,9	Piach z domieszką materii organicznej i węgli drzewnych; miąższość do 25 cm; wypełnisko obiektu 89	10YR 6/2	90, 92	95, 112, 113
92	-	3	Wał Majdanu Górnego	X=723195,7-723203,1; Y=587827,3-587830,9	Piaszczysty il; miąższość do 30 cm; warstwa związana z użytówaniem Wału Majdanu Górnego	7.5YR 5/3	82, 85, 118	87, 91, 133
93	89	3	Wał Majdanu Górnego	X=723195,7-723203,1; Y=587827,3-587830,9	Piaszczysty il z pojedynczymi, małymi kamieniami; miąższość do 40 cm; wypełnisko obiektu 89	7.5YR 4/6	75, 96, 98, 112	65, 88, 89, 116
94	78	5	Majdan Góryny	X=723170,1-723172,4; Y=587816,8-587822,0	Przemieszane grudy gliny i piasku; miąższość do 25 cm; wypełnisko obiektu 78	10YR 6/4	97, 99	78, 83
95	89	3	Wał Majdanu Górnego	X=723195,7-723203,1; Y=587827,3-587830,9	Zbity, plastyczny il; miąższość do 15 cm; wypełnisko obiektu 89	10YR 5/4	91	96
96	89	3	Wał Majdanu Górnego	X=723195,7-723203,1; Y=587827,3-587830,9	Zbity, plastyczny il z domieszką drobnoziarnistego piasku; miąższość do 30 cm; wypełnisko obiektu 89	10YR 4/4	95	87, 88, 93, 98
97	78	5	Majdan Góryny	X=723170,1-723172,4; Y=587816,8-587822,0	Ilasty piasek z domieszką materii organicznej; miąższość do 35 cm; wypełnisko obiektu 78	10YR 6/2	99	83, 94
98	89	3	Wał Majdanu Górnego	X=723195,7-723203,1; Y=587827,3-587830,9	Zbity, plastyczny il; miąższość do 10 cm; wypełnisko obiektu 89	10YR 4/3	96	93
99	78	5	Majdan Góryny	X=723170,1-723172,4; Y=587816,8-587822,0	Gliniasty piasek z domieszką materii organicznej; miąższość do 25 cm; wypełnisko obiektu 78	7.5YR 5/4	17	94, 97
100	100	3	Wał Majdanu Górnego	X=723195,7-723203,1; Y=587827,3-587830,9	Wkop, owalny w planie, nieregularnie U-kształtny w profilu; średnica 80-105 cm, głębokość do 165 cm; dół postupowy	-	103, 107	57, 80
101	-	4	Wał Majdanu Dolnego	X=723211,8-723217,3; Y=587830,8-587834,1	Il z domieszką materii organicznej; miąższość do 50 cm; warstwa erozyjna na Wale Majdanu Dolnego	10YR 4/4	1	102
102	-	4	Wał Majdanu Dolnego	X=723211,8-723217,3; Y=587830,8-587834,1	Plastyczny, lekko piaszczysty il; miąższość do 25 cm; warstwa erozyjna na Wale Majdanu Dolnego	10YR 5/4	101	108
103	100	3	Wał Majdanu Górnego	X=723195,7-723203,1; Y=587827,3-587830,9	Przemieszany, plastyczny il i drobnoziarnisty piasek; wypełnisko obiektu 100	7.5YR 5/3	55	104
104	100	3	Wał Majdanu Górnego	X=723195,7-723203,1; Y=587827,3-587830,9	Kruchy, piaszczysty il z domieszką materii organicznej; wypełnisko obiektu 100	7.5YR 4/4	103	105
105	100	3	Wał Majdanu Górnego	X=723195,7-723203,1; Y=587827,3-587830,9	Plastyczna glina z domieszką materii organicznej; wypełnisko obiektu 100	10YR 3/2	104	106
106	100	3	Wał Majdanu Górnego	X=723195,7-723203,1; Y=587827,3-587830,9	Kruchy il; wypełnisko obiektu 100	10YR 6/1	103, 105	107
107	100	3	Wał Majdanu Górnego	X=723195,7-723203,1; Y=587827,3-587830,9	Naprzemianlegle warstwy piasku i gliny; wypełnisko obiektu 100	10YR 4/6	106	100
108	-	4	Wał Majdanu Dolnego	X=723211,8-723217,3; Y=587830,8-587834,1	Zbita glina; miąższość do 40 cm; jeden z nasypów Wału Majdanu Dolnego	7.5YR 6/4	102	109
109	-	4	Wał Majdanu Dolnego	X=723211,8-723217,3; Y=587830,8-587834,1	Zbita glina z widocznymi łupkami skalnymi średniej wielkości; miąższość do 75 cm; jeden z nasypów Wału Majdanu Dolnego	7.5YR 4/4	108	110

Tabela 1. Ciąg dalszy

Numer jednostki	Numer obiektu	Numer wykopu	Położenie w obrębie stanowiska	Współrzędne geodezyjne (PUWG 1992)	Opis jednostki stratygraficznej (rodzaj sedymentu, młodość, zawartość zabytkowa, przypuszczalna funkcja/proces formowania)	Barwa (Munsell)	Pozycja stratygraficzna	
							Znajduje się pod	Znajduje się nad
110	-	4	Wał Majdanu Dolnego	X=723211,8-723217,3; Y=587830,8-587834,1	Il z drobinami węgli drzewnych; młodość do 15 cm; poziom użytkowy bezpośrednio poprzedzający budowę Wału Majdanu Dolnego	10YR 5/2	109	111
111	-	4	Wał Majdanu Dolnego	X=723211,8-723217,3; Y=587830,8-587834,1	Il z żelazistymi wytrąceniami; podłoże naturalne	10YR 6/6	110	-
112	89	3	Wał Majdanu Górnego	X=723195,7-723203,1; Y=587827,3-587830,9	Sypki, piaszczysty il z drobinami węgli drzewnych; młodość do 40 cm; wypełnisko obiektu 89	7.5YR 5/4	75, 90, 91	93, 113
113	89	3	Wał Majdanu Górnego	X=723195,7-723203,1; Y=587827,3-587830,9	Piaszczysty il z drobinami spalenizny oraz popiołu; młodość do 20 cm; wypełnisko obiektu 89	10YR 6/4	91, 112	88, 89
114	-	3	Wał Majdanu Górnego	X=723195,7-723203,1; Y=587827,3-587830,9	Plastyczny il; młodość do 10 cm; warstwa związana z formowaniem zagłębia przywałowego Wału Majdanu Górnego	7.5YR 4/8	87	88
115	-	3	Wał Majdanu Górnego	X=723195,7-723203,1; Y=587827,3-587830,9	Smuga sypkiego ilu z domieszką spalenizny i popiołu; młodość do 10 cm; relikt umocnienia Wału Majdanu Górnego	10YR 5/2	65	67, 116
116	-	3	Wał Majdanu Górnego	X=723195,7-723203,1; Y=587827,3-587830,9	Pylasty il; młodość do 35 cm; jeden z nasypów Wału Majdanu Górnego	10YR 8/3	88, 93, 115	67, 69, 70
117	-	3	Wał Majdanu Górnego	X=723195,7-723203,1; Y=587827,3-587830,9	Zwarty piasek z żelazistymi wytrąceniami; podłoże naturalne	2.5YR 8/4	70, 73	-
118	-	3	Wał Majdanu Górnego	X=723195,7-723203,1; Y=587827,3-587830,9	Wąski pas sypkiego piasku przemieszanego z popiołem; młodość do 50 cm; relikt spalonej belki związanej z obiektem 71	10YR 5/1	80	92
119	71	3	Wał Majdanu Górnego	X=723195,7-723203,1; Y=587827,3-587830,9	Średnio- i drobnoziarnisty, ilasty piasek z widocznymi drobinami węgli drzewnych; młodość do 40 cm; wypełnisko obiektu 71	10YR 5/4	73	71, 75

Na obszarze Majdanu Górnego, w miejscu gdzie podczas badań nieinwazyjnych z wykorzystaniem georadaru i magnetometru natrafiono na anomalie sugerujące istnienie reliktów zniszczonego budynku, otworzono W5 i W6. W W5 natrafiono na wkop 78 – owalny w planie, nieckowaty w profilu, o średnicy w przedziale 170–190 cm i głębokości do 50 cm. Jego wypełniskiem był piaszczysty il 83 z widocznymi wtrętami spalenizny, przemieszane grudy gliny i piasku 94, ilasty piasek 97 z domieszką materii organicznej oraz gliniasty piasek 99 z domieszką materii organicznej. Z warstwy 83 pobrano próbę węgla do analizy radiowej. Wynik tej analizy dał po kalibracji przedział lat 1054–1267 n.e. z prawdopodobieństwem 95,4%. Przy prawdopodobieństwie 94,6% przedział zawiera się do lat 1157–1267¹⁶.

Faza III

Faza ta związana jest z użytkowaniem grodu w okresie późnego średniowiecza.

W fazie tej zdecydowanie podwyższono Wał Majdanu Górnego, formując przy tej okazji także fosę 13 oddzielającą Majdan Górnego od Dolnego. Warstwami nasypowymi formującymi wał są glina z domieszką drobnoziarnistego piasku 81, zbita, plastyczny il 80, drobnoziarnisty, ilasty piasek z domieszką materii organicznej 59, plastyczny il 58 i twarda, zbita glina 57 z soczewkami sypkiego piasku. Przy szczytowej części wału, na linii równoległej do jego osi, zadokumentowano dwa doły posłupowe:

- wkop 54, nieregularnie owalny w planie, nieregularnie U-kształtny w profilu, o średnicy 30–50 cm i głębokość do 105 m. W jego wnętrzu znajdowała się pozostałość po zdegradowanym palu: ilasty piasek 56 z domieszką materii organicznej,
- wkop 100, owalny w planie, nieregularnie U-kształtny w profilu, o średnicy 80–105 cm i głębokości do 165 cm. W jego wnętrzu znajdowały się warstwy wypełniskowe: naprzemianlegle warstwy piasku i gliny 107, kruchy il 106, plastyczna glina 105 z domieszką materii organicznej i przemieszany plastyczny il i drobnoziar-

¹⁶ Analiza przeprowadzona w Poznańskim Laboratorium Radiowęglowym, próba nr Poz-134146.

nisty piasek 103 oraz pozostałość po zdegradowanym palu – kruchy, piaszczysty il 104 z domieszką materii organicznej.

W południowej części Majdanu Górnego, w miejscu gdzie w trakcie badań nieinwazyjnych z wykorzystaniem kappametru natrafiono na silną anomalię, wytyczono W2. W trakcie jego eksploracji odsłonięto dużych rozmiarów wkop 19, o wymiarach co najmniej 350×500 cm i głębokości do 115 cm. W jego centralnej części znajdowała się platforma 21 zbudowana z kamieni średnicy do 55 cm, z dodatkiem pojedynczych kawałków cegieł spojonych za pomocą zaprawy glinianej 34 z fragmentami cegieł. Platforma miała w rzucie kształt zbliżony do kwadratu o boku 280 cm i wysokość do 80 cm. W jej środku widoczne było koliste zagłębienie średnicy 150 cm i głębokości do 60 cm. To najpewniej ten obiekt w swej pracy opisał Johannes Heydeck, interpretując ją, jako kamienną cysternę na wodę¹⁷. Od strony zachodniej dochodziła do tej platformy posadzka 31 wykonana z ułożonych na płasko cegieł (ryc. 15) ułożonych na podłożu z plastycznej gliny 32. Ponad posadzką widoczne są wyraźne, układają-

¹⁷ Heydeck 1896: 72–74.



P3 - lata 1262-1387 n.e.
(prawdopodobieństwo 95,4%)

Ryc. 15. Augamy, st. 1. Ceglana posadzka 31 i pozostałości spalonych desek 35 przy platformie 21 (fot. D. Skoczyłas)

jące się liniowo smugi spalenizny 35, będące zapewne pozostałością po spalonym i zawalonem szalowaniu ścian wkopu 19 w bezpośredniej bliskości ceglanej posadzki. Z warstwy 35 pobrano próbę węgla do analizy radiowęglowej. Wynik tej analizy dał po kalibracji przedział lat 1262–1387 n.e. z prawdopodobieństwem 95,4%¹⁸.

Przy południowej krawędzi wkopu 19 zarejestrowano dwa doły posłupowe:

- wkop 36, kolisty w planie, U-kształtny w profilu, o średnicy 75 cm i głębokości do 60 cm. Wypełniskiem były glina 37 przemieszana z gruzem ceglany i ilasta glina 38 przemieszana z drobinami węgla drzewnego.
- wkop 41, owalny w planie, U-kształtny w profilu, o średnicy 75–125 cm i głębokości do 100 cm. Wypełniskiem były lekko piaszczysta glina 47, 48 i 50 oraz plastyczny il 45 z fragmentami cegieł i węgla drzewnego.

Wkop 19, wraz ze znajdującą się w jego obrębie kamienną platformą 21 i dochodzącą do niej ceglana posadzką 31, oraz położone przy wkopie 19 doły posłupowe 36 i 41, należy interpretować jako relikty domostwa, które funkcjonowało na obszarze Majdanu Górnego w XIII–XIV wieku.

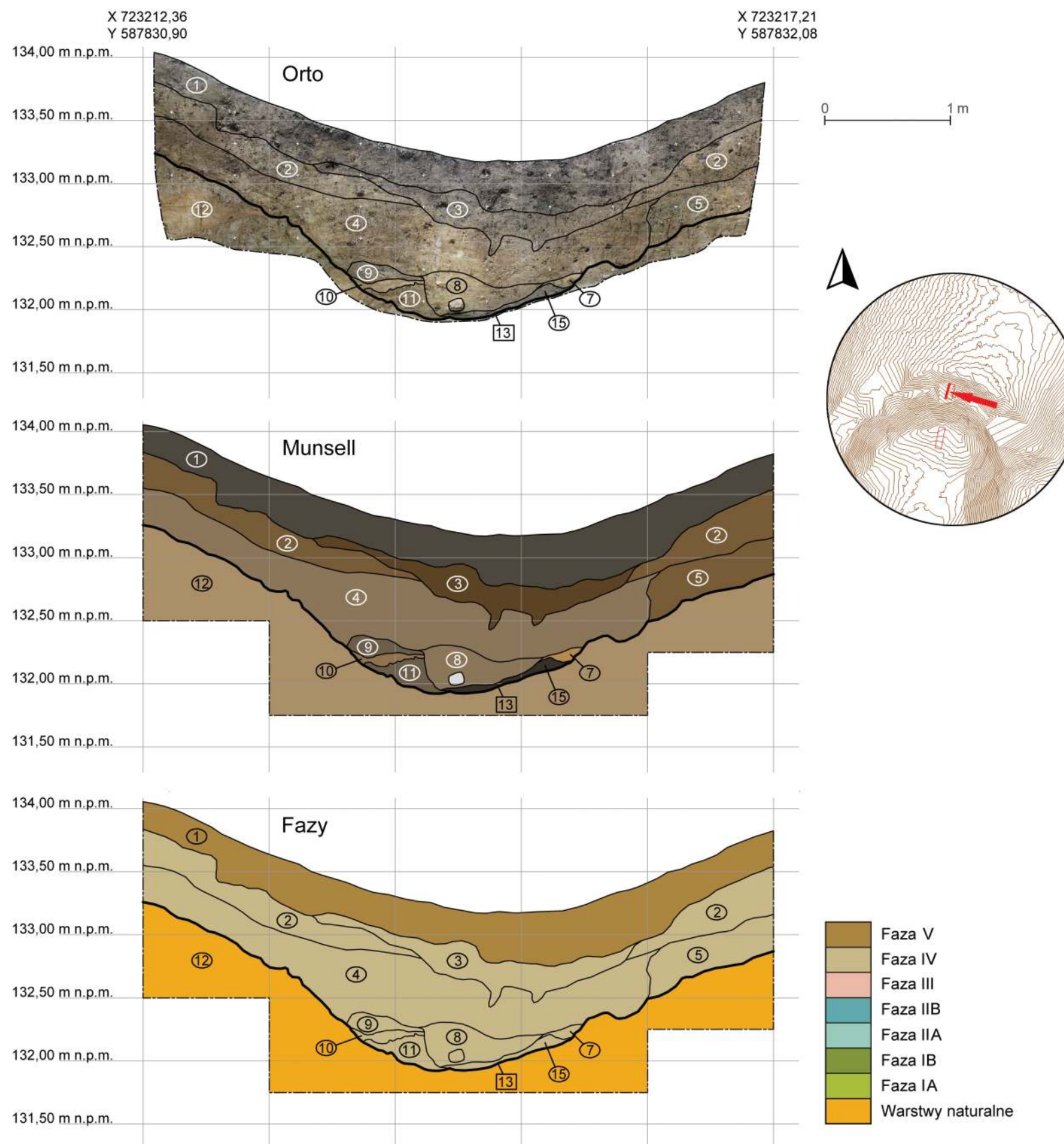
Faza IV

Kolejna faza obejmuje okres od zakończenia użytkowania grodu po przełom XIX i XX wieku. W tym czasie zostają rozebrane i wyrabiane elementy konstrukcyjne związane z zabudowaniami na obszarze Majdanu Górnego, następuje erozja nasypu Wału Majdanu i sedimentacja warstw spływowych w obrębie fosy.

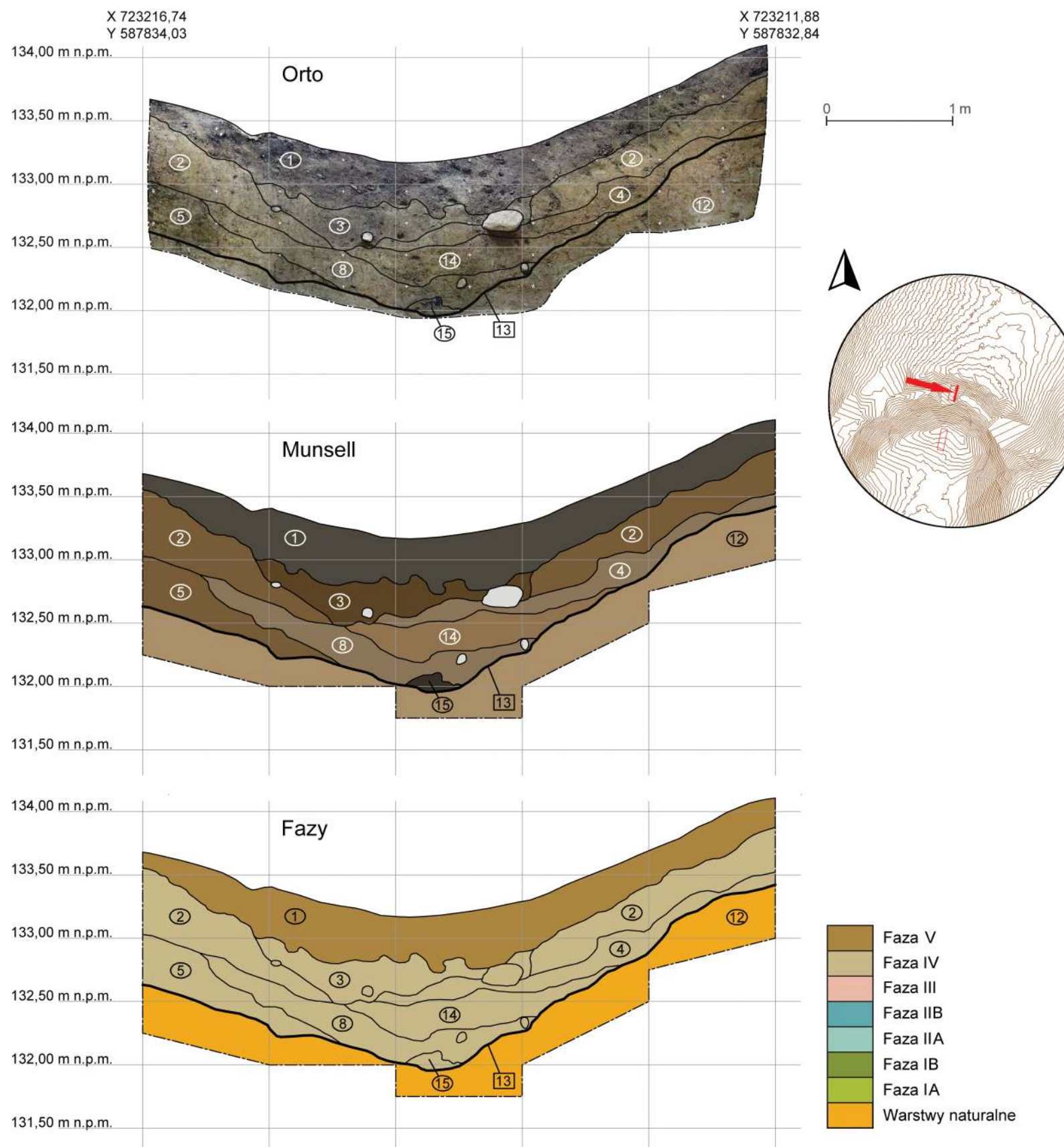
Poziom związany z pracami rozbiorkowymi i procesami erozyjnymi na obszarze Majdanu Górnego i wydzielającego go wału wyznacza: w W2 sypki piasek 18 z domieszką materii organicznej i z drobinami gruzu ceglano-grobowego, w W3 zbita, ilasty piasek 55, w W5 piasek 17 z domieszką materii organicznej, a w W6 przemieszany plastyczny il 6.

Najczytelniejsze nawarstwienia związane z tą fazą zadokumentowano w W2, w obrębie reliktów platformy 21 i wokół niej. Sama platforma była pierwotnie zapewne nieco wyższa. Ponad nią widoczna jest warstwa rumoszu kamiennego 20, który powstał

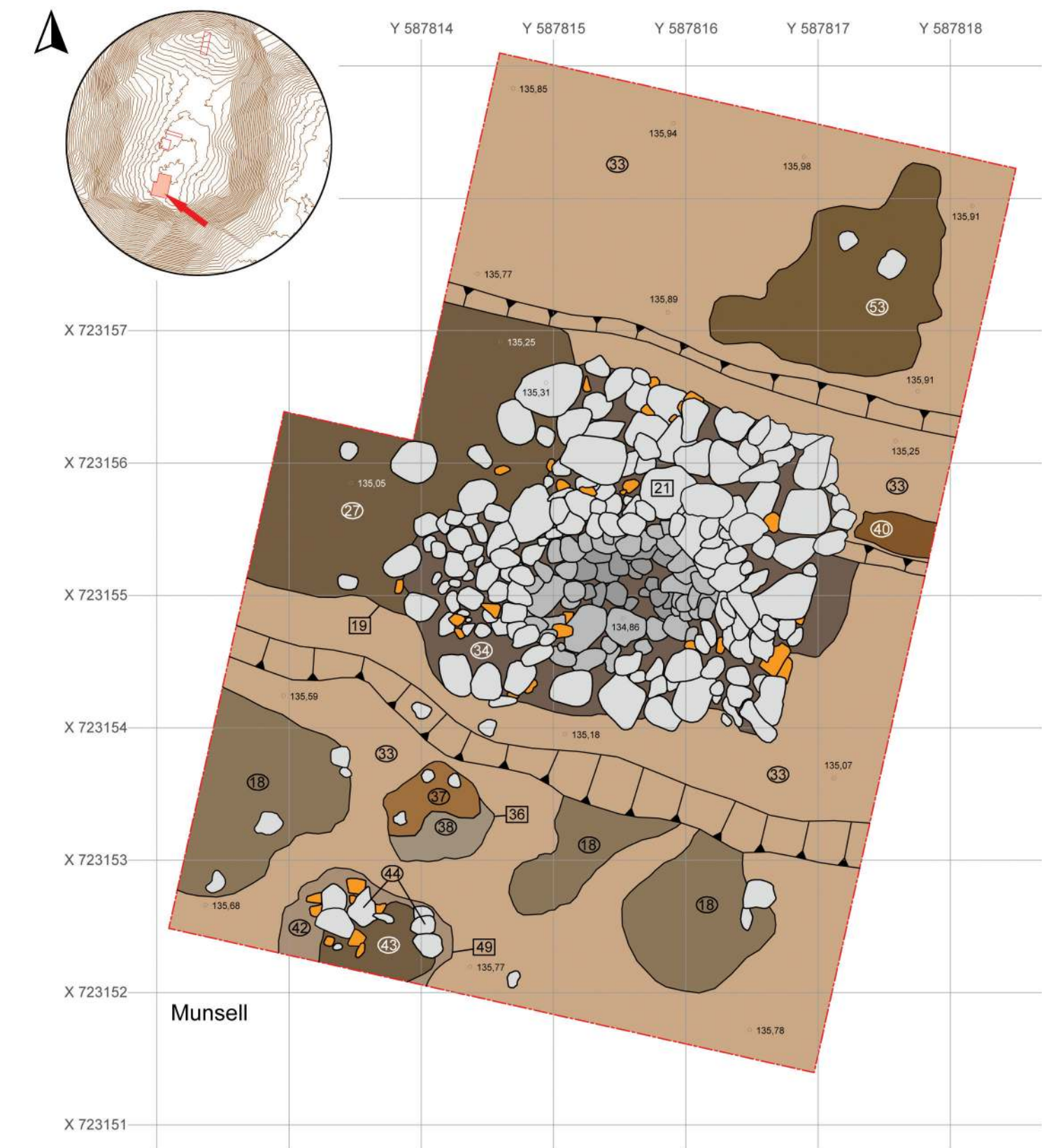
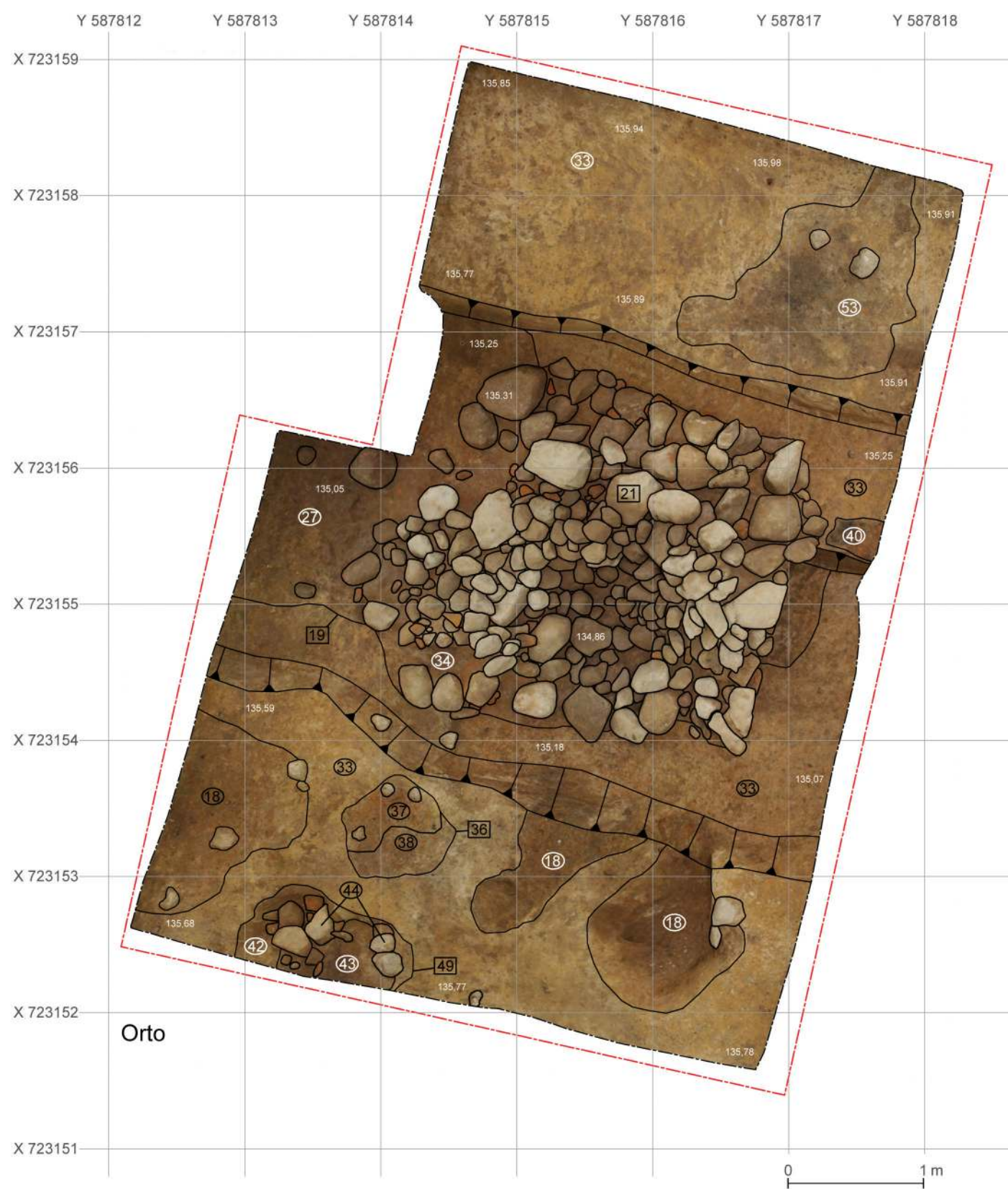
¹⁸ Analiza przeprowadzona w Poznańskim Laboratorium Radiowęglowym, próba nr Poz-134145.



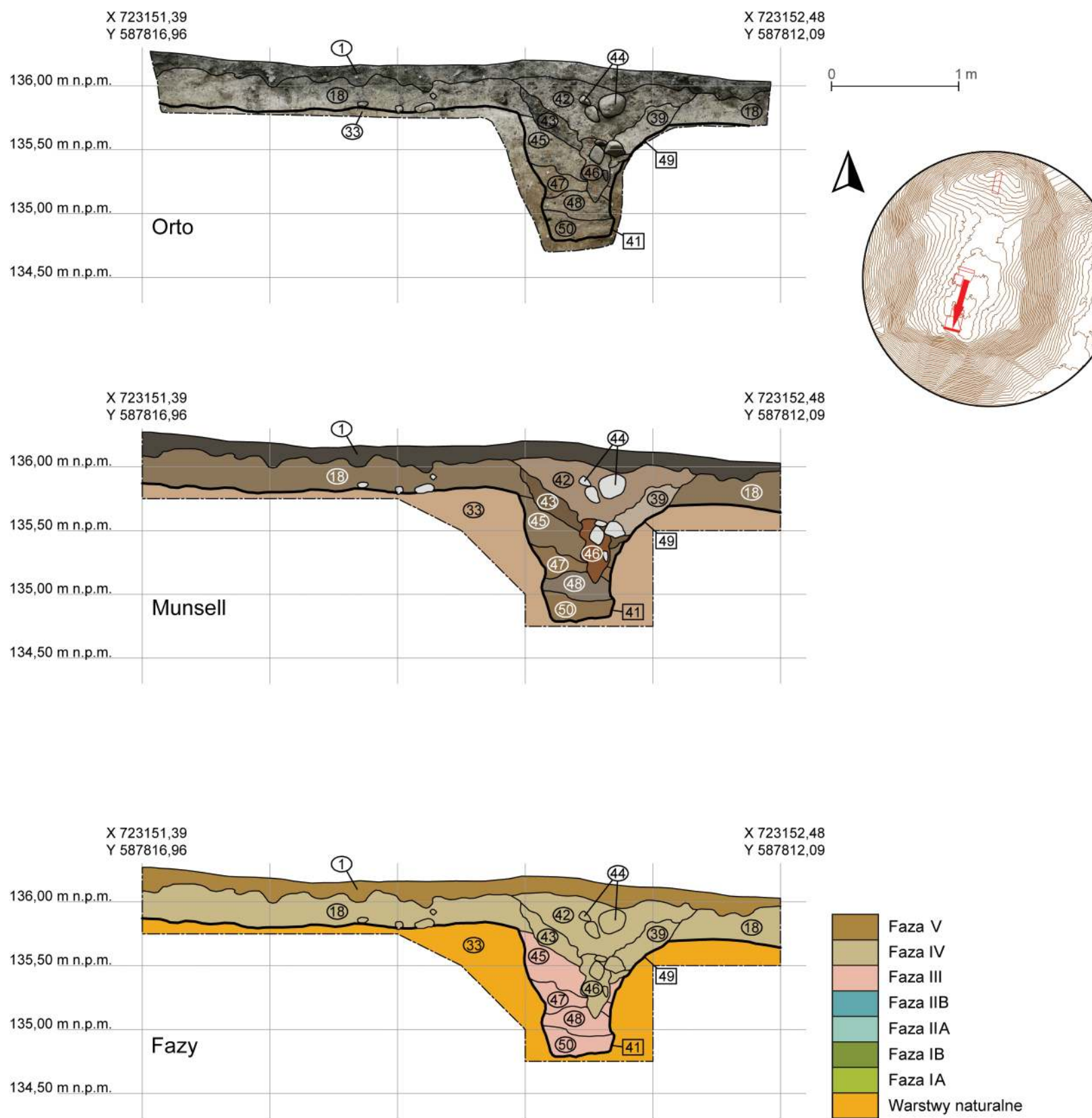
Ryc. 16. Augamy, st. 1. Stratygrafia nawarstwień w obrębie fosy – wykop 1 (oprac. D. Skoczyłas i R. Solecki)



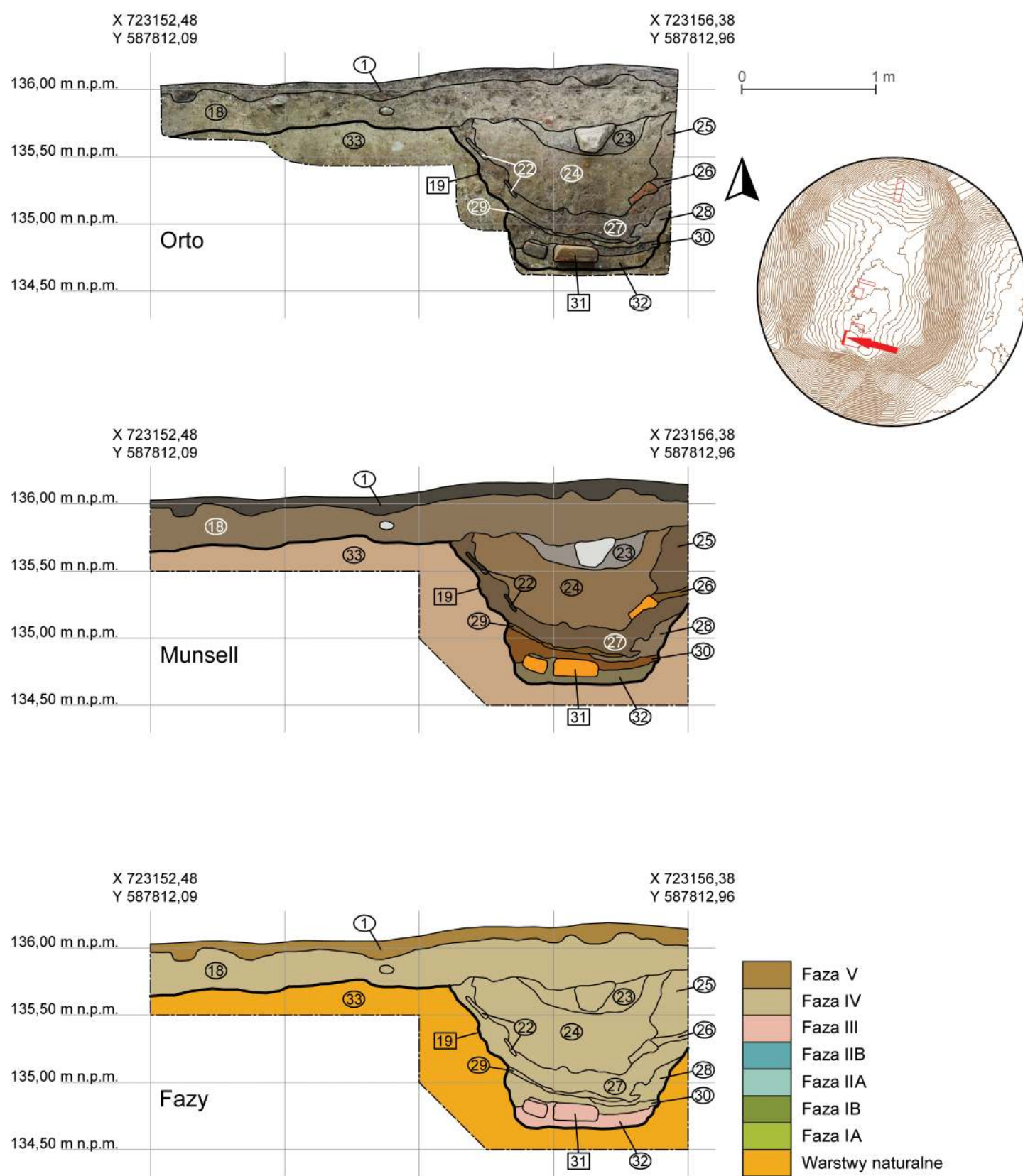
Ryc. 17. Augamy, st. 1. Stratygrafia nawarstwień w obrębie fosy – wykop 1 (oprac. D. Skoczyłas i R. Solecki)



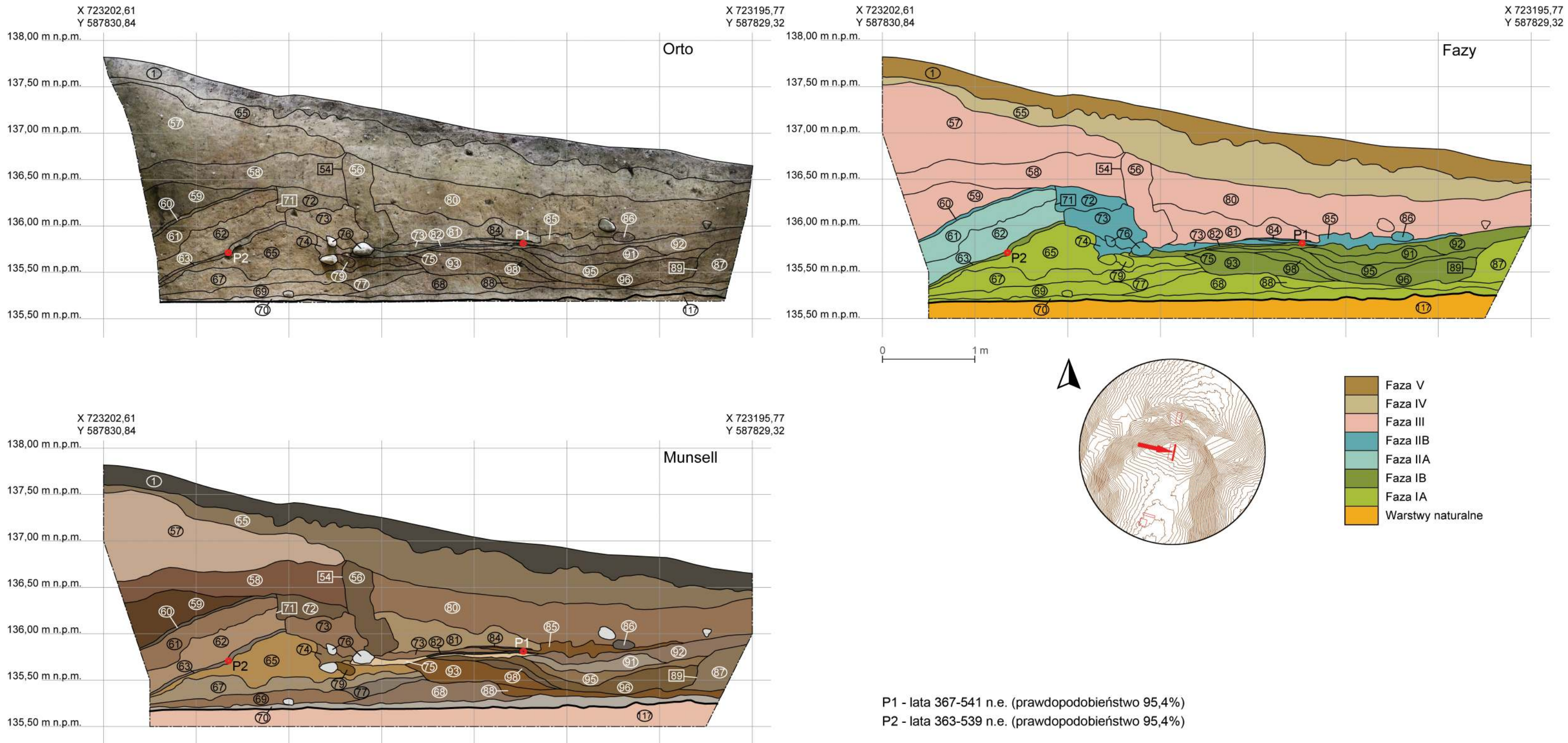
Ryc. 18. Augamy, st. 1. Stratygrafia nawarstwień w obrębie południowej części Majdanu Górnego – wykop 2 (oprac. D. Skoczylas i R. Solecki)



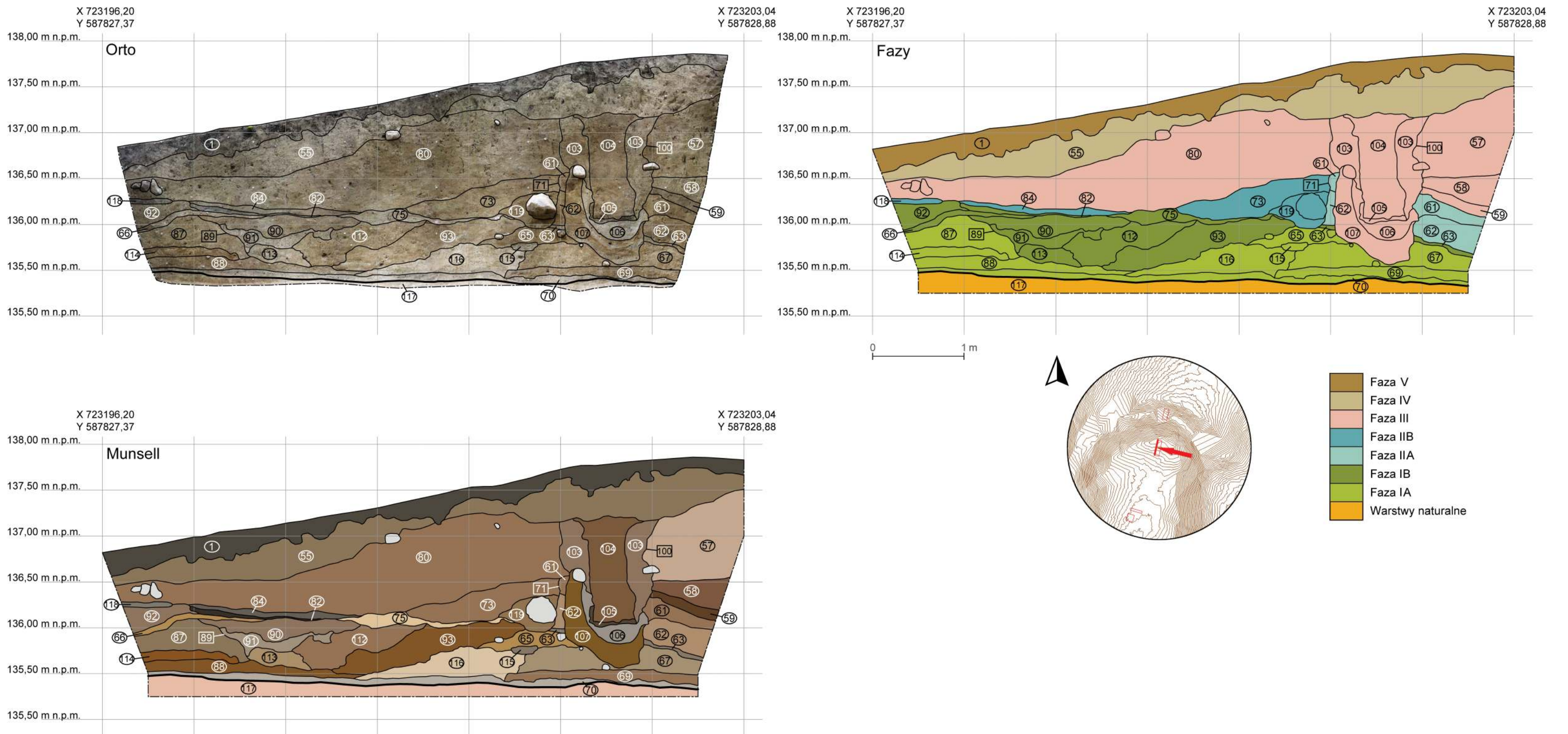
Ryc. 19. Augamy, st. 1. Stratygrafia nawarstwień w obrębie południowej części Majdanu Górnego – wykop 2 (oprac. D. Skoczyłas i R. Solecki)



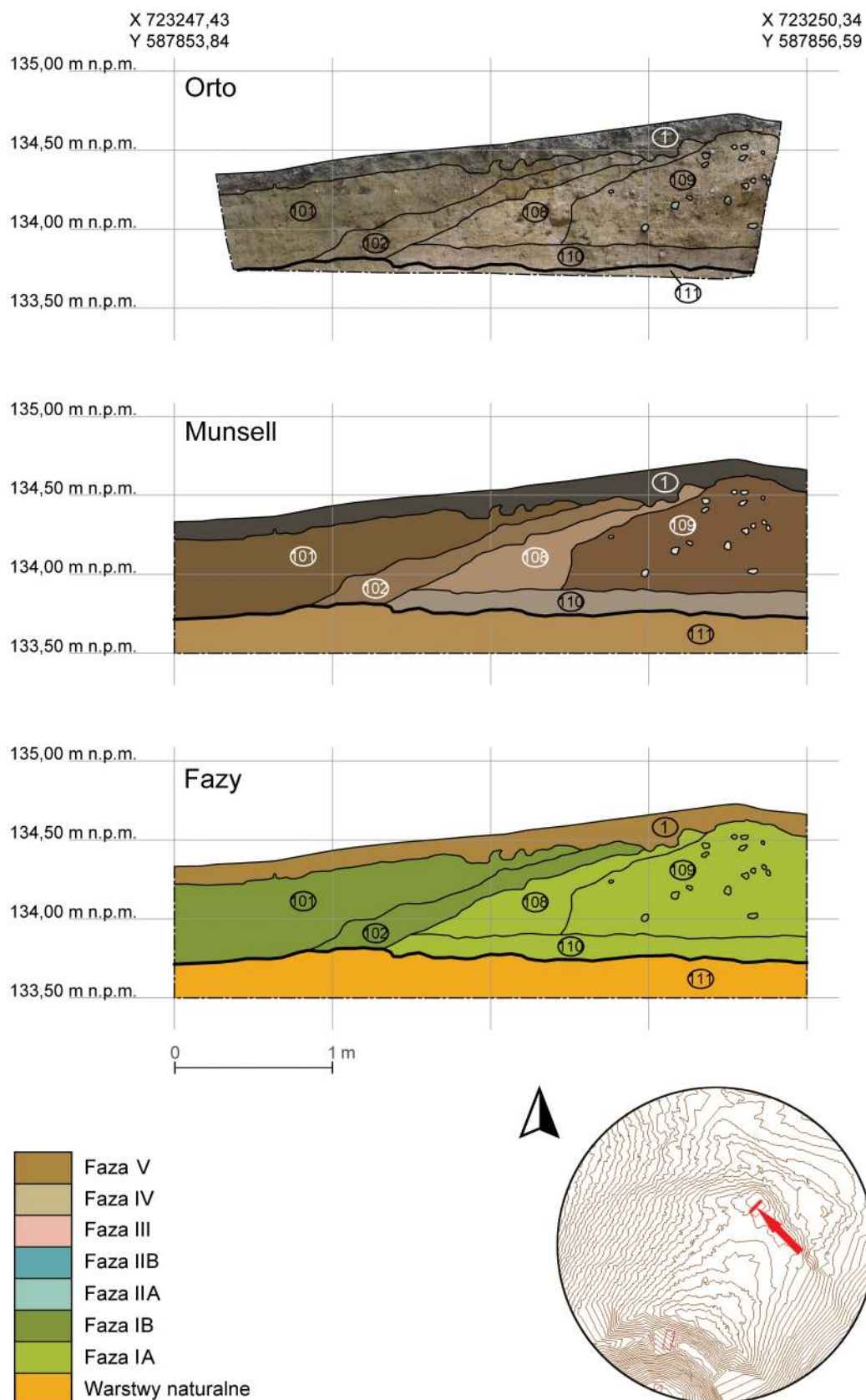
Ryc. 20. Augamy, st. 1. Stratygrafia nawarstwień w obrębie południowej części Majdanu Górnego – wykop 2 (oprac. D. Skoczyłas i R. Solecki)



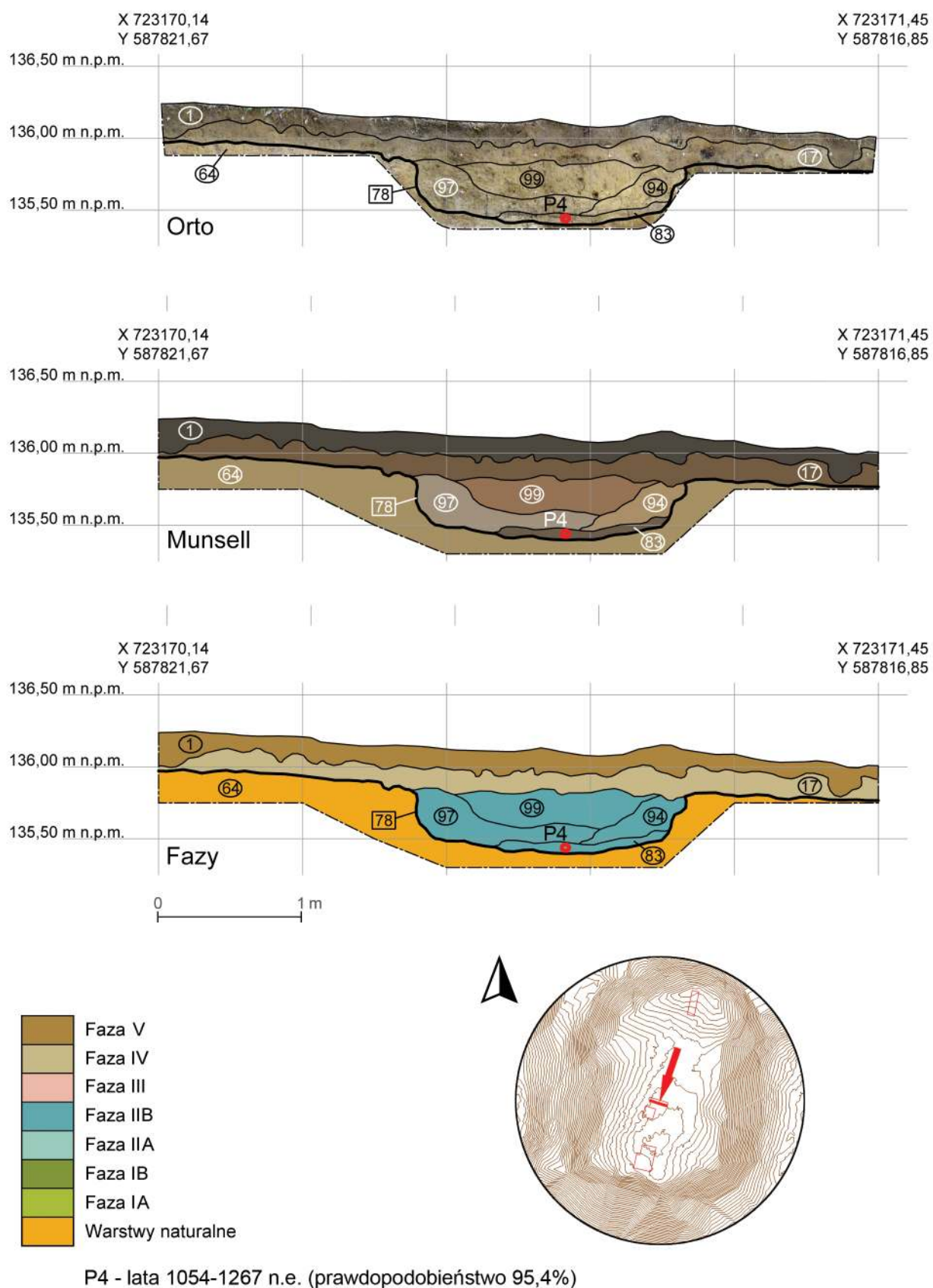
Ryc. 21. Augamy, st. 1. Stratygrafia nawarstwień w obrębie Wału Majdanu Górnego – wykop 3 (oprac. D. Skoczylas i R. Solecki)



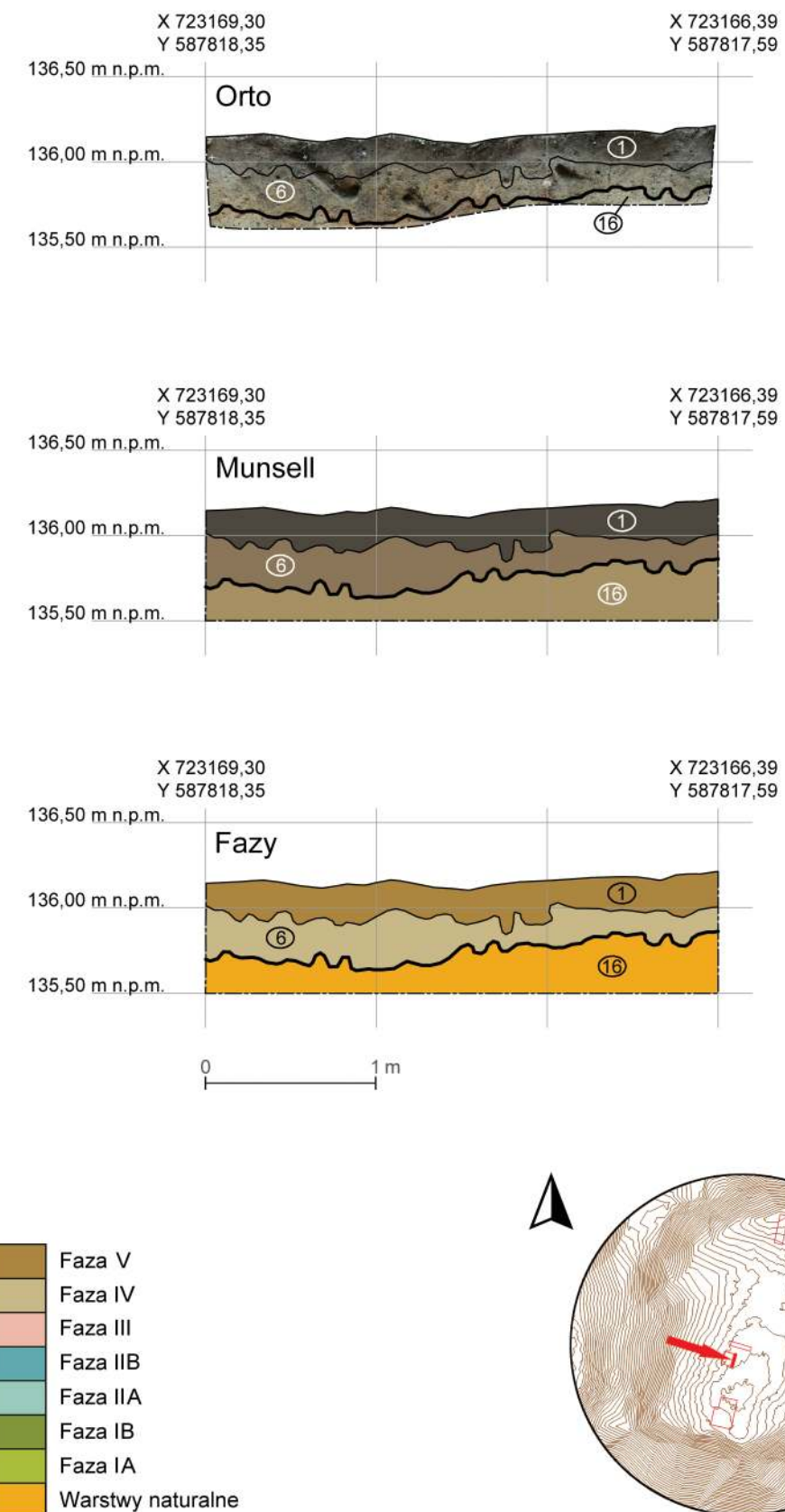
Ryc. 22. Augamy, st. 1. Stratygrafia nawarstwień w obrębie Wału Majdanu Górnego – wykop 3 (oprac. D. Skoczylas i R. Solecki)



Ryc. 23. Augamy, st. 1. Stratygrafia nawarstwień w obrębie Wału Majdanu Dolnego – wykop 4
(oprac. D. Skoczylas i R. Solecki)



Ryc. 24. Augamy, st. 1. Stratygrafia nawarstwień w obrębie Majdanu Górnego – wykop 5
(oprac. D. Skoczylas i R. Solecki)



Ryc. 25. Augamy, st. 1. Stratygrafia nawarstwień w obrębie Majdanu Górnego – wykop 6 (oprac. D. Skoczylas i R. Solecki)

w wyniku intencjonalnego odspajania kamieni z platformy. We wkopie 19 wydzielono warstwy związane z rozbiórką: glina 30 przemieszana ze spalenizną i rumoszem ceglarnym, przemieszany, plastyczny il 28 z drobinami węgli drzewnych i gruzu ceglanego, plastyczny il 29 z drobinami węgli drzewnych i gruzu ceglanego, gliniasty il 27 przemieszany z fragmentami cegieł, węglami drzewnymi i polepą, spalona deska drewniana 22, gliniasty il 26, lekko plastyczny il 25 z pojedynczymi drobinami gruzu ceglanego, lekko plastyczny il 24 przemieszany z fragmentami cegieł, polepy i węgla drzewnego oraz sypki piasek 23 z drobinami węgla drzewnego. Wokół wkopu 19 zanotowano lokalne warstwy rozbiórkowe w postaci gliny 40 wymieszaną z polepą, drobinami cegieł i fragmentami węgli drzewnych, plastycznego ilu 53 z drobinami cegieł i węgli drzewnych, drobnoziarnistego piasku 52 i rumoszu ceglanego 51.

Śladem po usuwaniu drewnianych elementów konstrukcyjnych jest wkop 49, znajdujący się ponad dołem posłupowym 41. W jego wypełnisku wydzielono przemieszana polepę, węgle drzewne i fragmenty cegieł 43, sypki, pylasty piasek 39, plastyczny il 46 z domieszką węgli drzewnych, pojedyncze kamienie 44 średnicy do 30 cm oraz zbita, krucha glina 42 przemieszana z polepą oraz fragmentami cegieł.

W obrębie fosy 13 wydzielono szereg warstw spływowych: glinę 5 z dużą ilością wytrąceń ilastycznych, przemieszana glinę i piasek 11, piasek 10, ilastą glinę 9 z domieszką materii organicznej, piasek i il 7, ilastą glinę 8 i 14, glinę 4 z ilastymi i piaszczystymi wtrąceniami, piaszczystą glinę 2 i piasek 3 z dużą domieszką materii organicznej. Stratygraficznie pomiędzy warstwami 11 i 7 natrafiono na fragment spalonej belki 15, a na samym dnie fosy znaleziono także pojedyncze drobiny gruzu ceglanego.

Faza V

Faza ta wyznacza współczesny poziom użytkowy stanowiska. Warstwą przypisaną do tej fazy jest piaszczysty humus leśny 1.

ZNALEZISKA

DANIEL SKOCZYLAS I RAFAŁ SOLECKI

Na materiał zabytkowy pozyskany w trakcie badań archeologicznych grodziska w Au-

gamach, st. 1, w 2020 roku składają się: 123 fragmenty ceramiki naczyniowej, 2 fragmenty szkła naczyniowego oraz 28 zabytków wydzielonych.

Ceramika

Pozyskano łącznie 123 fragmenty ceramiki. W wyniku analizy określono, że 120 fragmentów (97,5% całego zbioru) można przypisać do okresu późnego średniowiecza, a 3 fragmenty (2,5% całego zbioru) to ceramika Okresu Wędrówek Ludów, lub wczesnego średniowiecza. Ocena form naczyń była utrudniona, gdyż 91 fragmentów (74% całego zbioru) miało rozmiar 4 cm, lub mniejszy. Fragmenty ceramiki pozyskano z jednostek stratygraficznych przypisanych do trzech faz funkcjonowania stanowiska, z czego dwie to fazy zinterpretowane, jako powstałe w momencie, gdy gród już wyszedł z użytkowania (warstwy rozbiórkowe, erozyjne i współczesny humus leśny). Z warstw tych pozyskano aż 114 fragmentów (92,7% całego zbioru). Na podstawie analizy technologii produkcji wydzielono 2 grupy technologiczno-surowcowe. Częścią analizy materiału ceramicznego było także przeprowadzenie zestawienia ilościowego (tabela 2) oraz określenie jego fragmentacji i erozji (tabela 3).

Ceramika Okresu Wędrówek Ludów

lub wczesnego średniowiecza

Do grupy tej zaliczono trzy fragmenty: dwa brzuśce i jeden fragment wylewu z widocznym zdobieniem w formie zaszczypywania krawędzi (tabl. 1:1). Naczynia, z których pochodzą fragmenty, zostały wykonane z masy ceramicznej zawierającej drobnoziarnistą domieszkę tłucznia kamiennego oraz szamotu. Wypalono je w atmosferze utleniającej. Powierzchnia zewnętrzna naczyń była chropowata, natomiast na wewnętrznej stronie zaobserwowano ślady wygładzania. Naczynia o takiej charakterystyce są powszechnie we wczesnej epoce żelaza, gdzie wiążane są z kulturą kurhanów zachodniobałtyjskich¹⁹. Zdobienie naczyń za pomocą zaszczypywania jest jednak popularne w kręgu bałtyjskim, także w młodszych okresach, do wczesnego średniowiecza włącznie²⁰. Motyw ten występuje także na naczyniach z przełomu okresu wędrówek ludów i wczesnego średniowiecza.

¹⁹ J. Okulicz 1973: 271–279.

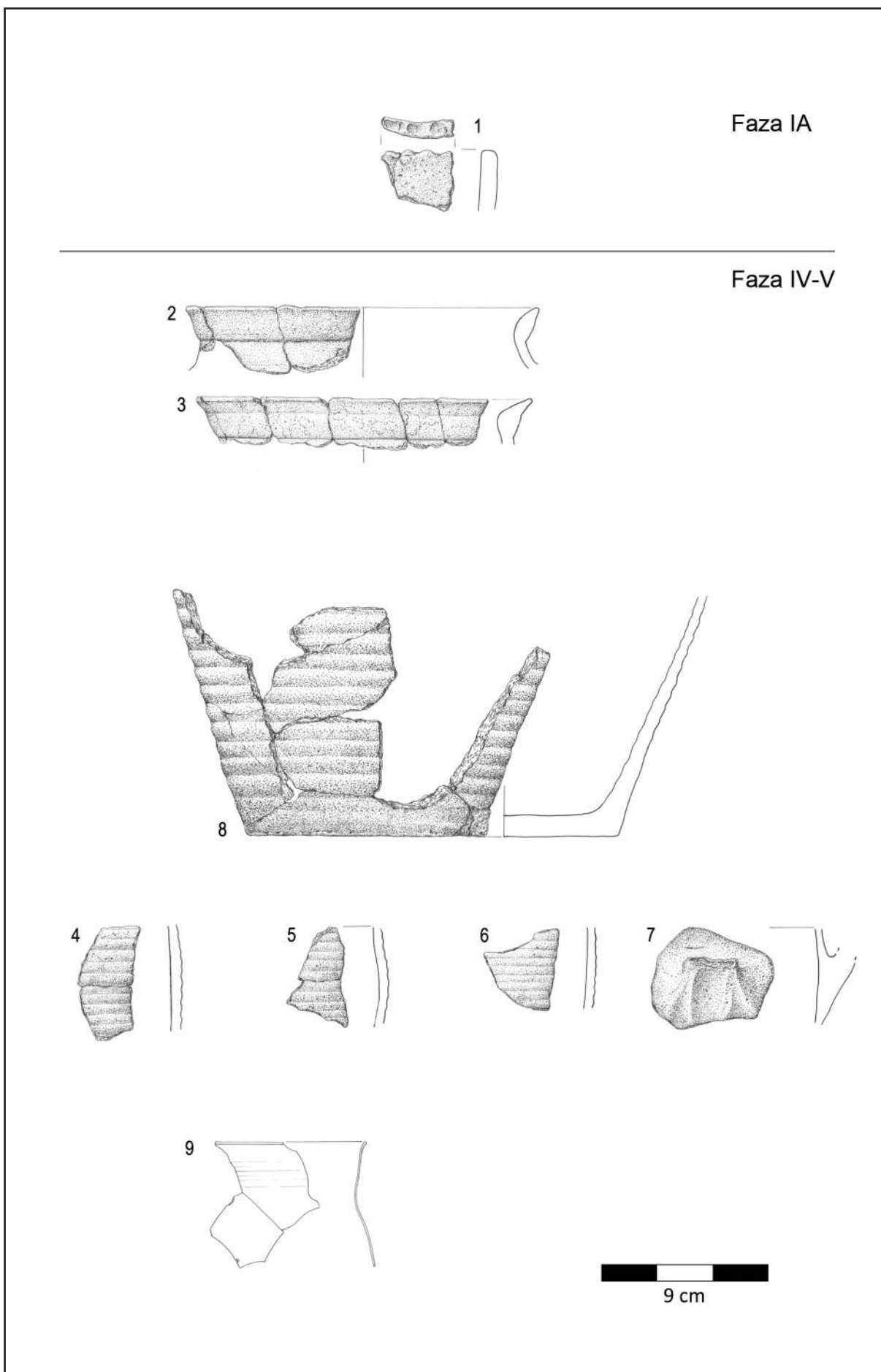
²⁰ Karczewski 2000: 96.

Tabela 2. Zestawienie ilościowe fragmentów ceramiki z grodziska w Augamach, st. 1 (oprac. D. Skoczyłas)

Faza	Jedn. strat.	Liczba fragmentów facyzne	Liczba rżynych naczyni	Liczba fragmentów	Ornamentowane	Wyświetlane	Szorstkie	Nieokreślone	Ornamentowane	Ucha	Części przydennie	Liczba fragmentów	SEN (procent obwodu)	Wkleskie	Lekko wkleiste	Płaskie	Rodzaj	Dna	Chronologia	
IA	70	3	3	1	1	2	3						1						3	
IV	3	42	2	4	27	37		42												42
V	1	72	2	13	161		55		72				1	3	80					72
V halda	6	6	3	25		3		6												6
Suma	123	13	21	213	1	97	3		120				1	1	3	80	3	3	120	

Tabela 3. Fragmentacja i erozja fragmentów ceramiki z grodziska w Augamach, st. 1 (oprac. D. Skoczyłas)

Faza	Jedn. strat.	Kategorie wielkościowe (cm)										Stopień erozji					Suma
		1	2	3	4	5	6	7	8	9	10	0	I	II	III		
IA	70			3									2	1			3
IV	3		9	12	7	8	5	1					42				42
V	1	5	17	20	14	10	3	1				2	71	1	1	72	
V halda					4	1		1				6					6
Suma	5	26	32	28	19	8	3		2		121	1	1	1	1	123	



Tablica 1. Augamy, st. 1. Ceramika z Okresu Wędrówek Ludów/wczesnego średniowiecza, późnego średniowiecza i wyrób szklany (rys. B. Karch)

Tu przykładem mogą być analogie z cmentarzyska w Wyszemborku, st. 4a, gdzie podobne formy zdobień wystąpiły w fazie „z okresu wędrówek ludów lub z początków wczesnego średniowiecza”²¹. W przypadku omawianego stanowiska w Augamach pomocą w określaniu chronologii zabytków były analizy radiowęglowe prób węgla pobranego z nawarstwień, z których pochodził także materiał ceramiczny, a które po kalibracji wskazały na okres od poł. IV do poł. VI wieku n.e.

Ceramika późnośredniowieczna

Najliczniejszą grupę ceramiki, liczącą 120 fragmentów (97,5% całego zbioru), stanowi ceramika późnośredniowieczna. Wykonana była z dobrze wyrabionej masy ceramicznej z niedużą domieszką startego piasku. Naczynia wypalano w zaawansowanej atmosferze utleniającej. Kolor ścianek obejmował różne odcienie koloru pomarańczowego, a przelom był jednobarwny, w kolorze ścianki. Powierzchnia naczyń była szorstka, od strony wewnętrznej czasami szkliwiona. Kolor polewy to odcienie brązu. Powierzchnia zewnętrzna była zdobiona za pomocą dookólnych rowków, które były płytke, o wyoblonej krawędzi (tabl. 1:4–6, 8). Naczynia wykonane w takiej technologii upowszechniają się w odległym o około 80 km Elblągu na przełomie XIV i XV wieku²².

Rekonstrukcja form naczyń pozwoliła na częściowe odtworzenie wyglądu dwóch wylewów i jednego dna wraz z częściami przydennymi. Pierwszy z wylewów ma średnicę 9 cm (tabl. 1:3) i jest zapewne częścią naczynia, którego dno także udało się zrekonstruować. Na wewnętrznych częściach wylewu i dna zachowała się brązowa polewa. Podobny profil wylewu naczynia odkryto na stanowisku w Mozgowie, gm. Zalewo, w warstwach datowanych na XV wiek²³. Podobną chronologię ma zapewne także fragment drugiego naczynia, którego wylew miał średnicę 9,5 cm, a jego wewnętrzna powierzchnia również była polewana brązowym szkliwem (tabl. 1:2). W zbiorze odnotowano też jeden fragment brzuśca z przyczepem ucha o przekroju w kształcie cyfry „8” i szerokości 4 cm (tabl. 1:7).

²¹ Szymański 2013: 130 (ryc. 73:12), 135 (ryc. 74:6), 136 (ryc. 75:5).

²² Marcinkowski 2013: 245–247.

²³ Kobylińska 2017f: 193, 197 (tabl. 4:9).

Naczynie szklane

W W3 znaleziono fragmentarycznie zachowane naczynie szklane, którego stan zachowania nie pozwala na przypisanie go do żadnej typologii. Naczynie wykonano z cienkiego, przejrzystego, bezbarwnego szkła z malowaną, niebieską linią w górnej części wylewu (tabl. 1:9). Położenie stratygraficzne zabytku pomiędzy nawarstwieniami Fazy I i III utrudnia jednoznaczne określenie chronologii. Bardziej prawdopodobne jest, że naczynie pochodzi z okresu późnego średniowiecza.

Zabytki wydzielone

Dość liczny zbiór, na który składa się 28 zabytków, tworzą przedmioty metalowe. Przystępując do opisu podzielono je w pierwszej kolejności pod kątem ich chronologii. Ze względu na fakt, że stanowisko podlegało wielu przekształceniom, zdecydowana większość zabytków została odnaleziona na wtórnym złożu, w kontekstach młodszych, niż wynikałoby to z ich własnej chronologii opartej na analizie typologicznej.

Zespół zabytków, który można wiązać z najstarszą fazą zasiedlenia stanowiska, obejmującą Okres Wędrówek Ludów, składa się z 3 elementów. Pierwszy to żelazna siekierka z okrągłą tuleją (tabl. 2:1). Siekierki tego typu występują w różnych okresach i na znacznym obszarze Europy Wschodniej. Odkryty egzemplarz ma długość 16,5 cm, średnicę tulei 5,5 cm i symetryczne, nierozszerzające się ostrze. Analogiczny kształt, ale mniejszy rozmiar, ma siekierka odkryta na osiedlu nawodnym w Pleśnie gm. Bisztynek, które datowane jest na okres od halsztackiego D po wczesny okres lateński i związane z kulturą kurhanów zachodniobałtyjskich²⁴. Zbliżona formą, ale także mniejsza jest siekierka z Bargłowa Dwornego, gm. Bargłów Kościelny, łączona z kulturą bogaczewską. Natomiast zbliżony kształt i rozmiar, choć o nieco smuklejszej sylwetce, ma egzemplarz siekierki znaleziony w Szwajcarii, gm. Suwałki, który łączony jest z kulturą sudowską²⁵. W omawianym przypadku forma zabytku nie pozwala na precyzyjne określenie chronologii, lecz niewątpliwie należy siekierkę łączyc z Fazą I użytkowania stanowiska, lub osadnictwem wcześniejszym, które nie ma wyrazu w zadoku-

²⁴ Waluś 2014: 82–83, 131, 178 (tabl. XX:1); Gackowski 2017.

²⁵ Kontny 2016: 42–43, 45–46, 53, 55.

mentowanych jednostkach stratygraficznych. Kolejny wczesny zabytek to fragment żelaznej szpili długości 4,5 cm z główką rozklepaną w okrągłą, płaską tarczkę o średnicy 1,3 cm (tabl. 3:2). Można ją przypisać do typu G szpil kultury bogaczewskej, a swoją analogię ma ona w egzemplarzu znalezionym w Koczku, gm. Świętojno²⁶. Trzeci zabytek to fragment żelaznego pręcika (tabl. 3:1) długości 6 cm i średnicy 0,3–0,4 cm, którego 2/3 długości jest rozklepane i tworzy stylizowany listek o szerokości do 0,9 cm. Ze względu na zachowaną jedynie niewielką część zabytku, trudno o jego jednoznaczne określenie, ale nie można wykluczyć, że jest to kabłak fibuli. Zbliżoną formę posiadają egzemplarze zaliczane do typu kuszowatych z podwiniętą nóżką, wśród których często pojawiają się zabytki wykonane z żelaza²⁷. Nie można jednak wykluczyć, że jest to także fragment dłuta to strugania łyżek, za czym przemawiałyby ostre krawędzie w miejscu, gdzie pręcik rozszerza się.

Z okresem średniowiecza można wiązać 17 zabytków, w tym 14 gwoździ. Do grupy oporządzienia jeździeckiego zaliczono podkowę, z której zachował się fragment ramienia (tabl. 5:3) z dwoma otworami na podkowiaki. Ramię szerokości do 2 cm, zakończone jest charakterystycznym zaczepem – typ E wg typologii Józefa Kaźmierczyka. Na podstawie formy i wyróżnionych cech, podkowę można przypisać do typu VI odmiany 2 wg Kaźmierczyka i datować od około 2. połowy XIII wieku²⁸. Analogiczne zabytki znane są między innymi z wyspy Wielka Żuława na jeziorze Jeziorak, z jednostek datowanych na przełom XIII i XIV wieku²⁹ i z Duraga, gm. Ostróda, z jednostek datowanych na XIV wiek³⁰. Do grupy militariów zaliczono grot bełtu kuszy (tabl. 3:4) z dość szerokim trzpieniem. Zabytek ma długość całkowitą 6 cm, a długość ostrza wynosi 3,8 cm. Zabytek tego typu można datować na XIV–XV wiek³¹. Na ten okres można datować także żelazne krzesiwo ogniwkowe (tabl. 3:8). Zabytek ma długość 12,3 cm, szerokość do 2,6 cm i grubość do 0,5 cm. Otwór ma kształt wrzecionowaty, długości 10,6 cm i szerokości do 1,6 cm. Oba zakończenia otwo-

ru są wyraźnie zaokrąglone. Zabytki o takiej formie można datować od 2. połowy XI wieku³² aż po XVII wiek³³, ale najczęściej występują w kontekstach XII–XIV wiecznych³⁴.

Ostatni zespół z grupy zabytków o metryce średniowiecznej to 14 żelaznych gwoździ. Sklasyfikowano je stosując typologię zaproponowaną przez Łukasza Siczka³⁵. Typ A, to gwoździe bez wyraźnie wyodrębnionej główka, służące jako uniwersalne łączniki elementów drewnianych. W Augamach znaleziono dwa takie gwoździe (tabl. 4:8–9), prostokątne w przekroju i długości 9,5–10 cm. Gwoździe typu B uzyskiwano poprzez sklepanie wrostka uformowanego podczas odcinania półproduktu od pręta. Zazwyczaj służyły do mocowania gontów, rzadziej dranic. Do typu tego można zaliczyć cztery gwoździe (tabl. 4:4, 10–12), prostokątne lub kwadratowe w przekroju i o długości w przedziale 4,5–5,5 cm. Typ C ma główkę niesymetryczną, wyodrębnioną ze wszystkich stron. Taką formę ma tylko jeden gwóźdź (tabl. 4:2), w przekroju prostokątny, długości 4,5 cm. Gwoździe typu D mają wyraźnie uformowaną główkę w postaci dwóch wrostków znajdujących się symetrycznie względem ostrza. Są one opisywane, jako służące do wykonywania i okuwania mebli, ale też jako podkowiaki. Do typu tego zaliczono pięć gwoździ (tabl. 4:5–7, 13–14), z których tylko jeden ma długość większą niż 4,5 cm, wynoszącą 15 cm. Gwoździe typu E posiadają wyraźnie, ze wszystkich stron wyodrębnione i symetryczne względem ostrza główki. Mają funkcję uniwersalnych łączników. Do typu tego zaliczono dwa gwoździe – mały, prostokątny w przekroju i długości 3,5 cm (tabl. 4:3) oraz duży, kwadratowy w przekroju, o długości około 18 cm (tabl. 4:1). Gwoździe wymienionych typów są dość popularne i występują powszechnie od około XIII, aż po XVIII wiek³⁶.

Z okresem nowożytnym i współczesnym można powiązać pięć zabytków. Pierwszym jest fragment broszki (tabl. 3:3), który ma formę trzech listków wykonanych z cienkiej blaszki mosiężnej nalutowanych na żelazny szkielet. Dwa kolejne zabytki to nabierak łyżki stołowej, przypuszczalnie platerowanej (tabl. 3:5), bez zachowanego trzonka sztuć-

²⁶ Nowakowski : 18–19, tabl. 1:29.

²⁷ Nowakowski 2003.

²⁸ Kaźmierczyk 1978.

²⁹ Kobylińska 2017g: 338, 342, 347.

³⁰ Kobylińska 2017h: 290, 294.

³¹ Nadolski 1990: 148–153.

³² Wrzesiński 1989: 107.

³³ Liwoch 2013: 142.

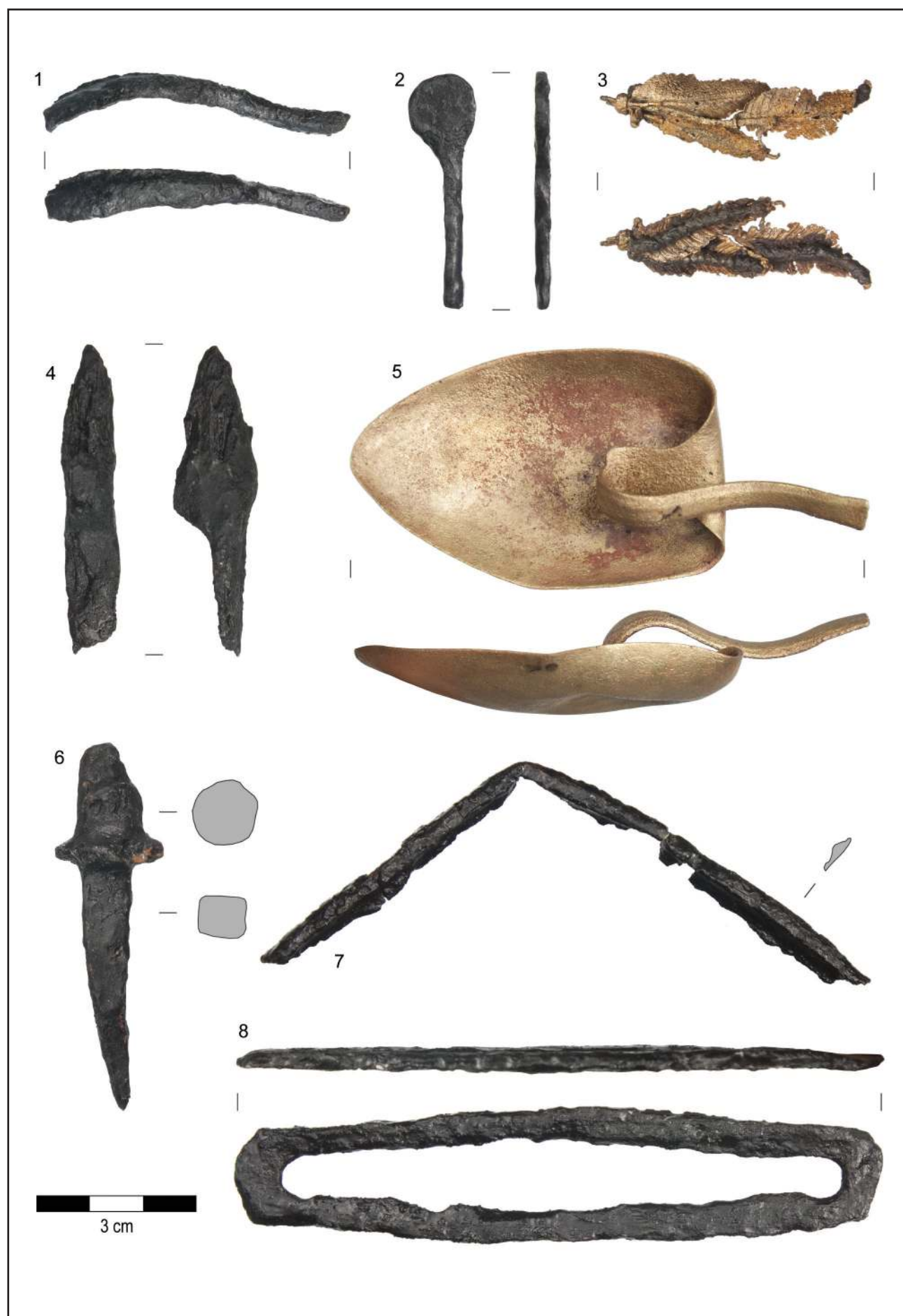
³⁴ Mroczek 2007: 60.

³⁵ Siczek 2016.

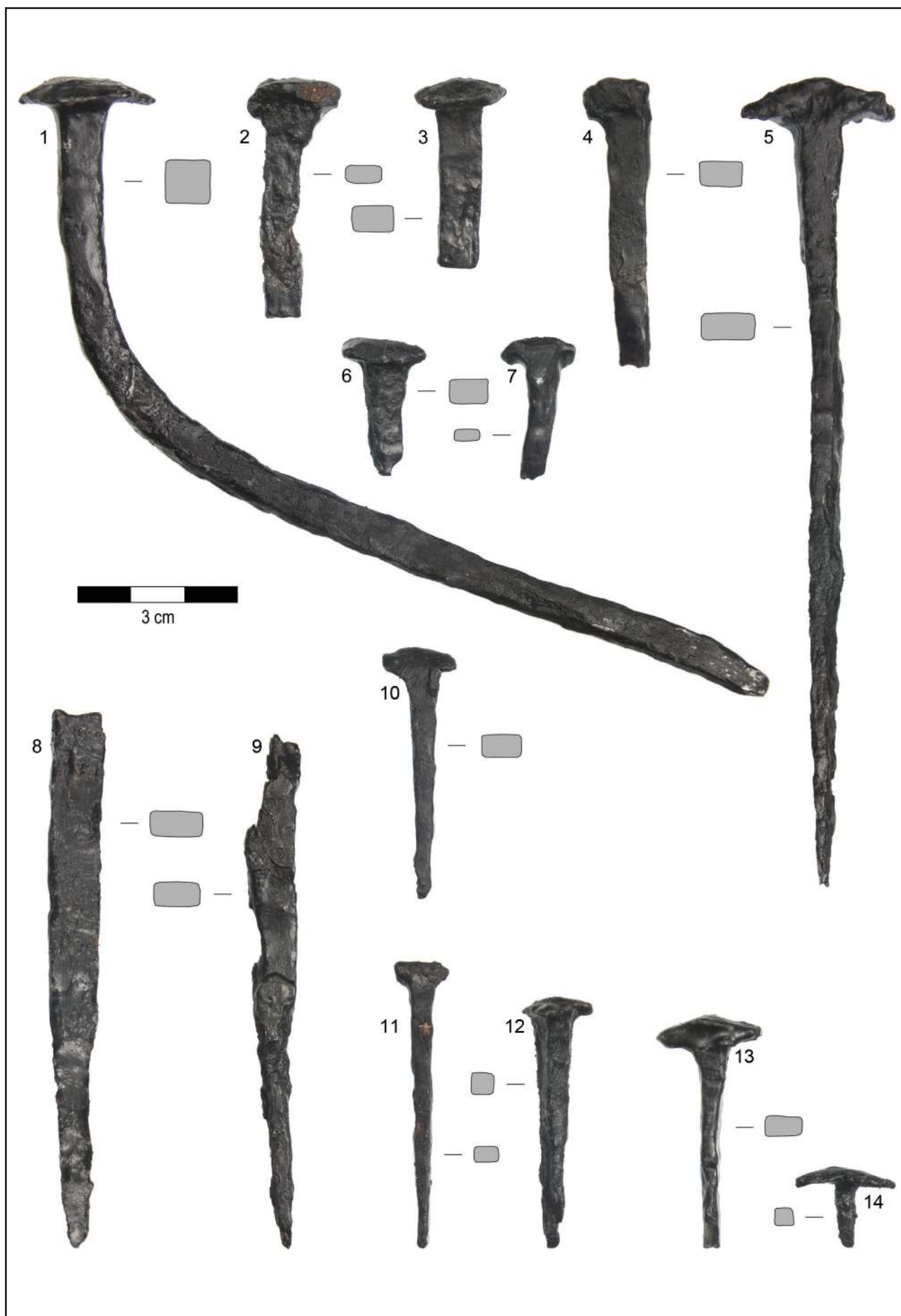
³⁶ Siczek 2016: 171–175; Gierlach 1966: 141–150.



Tablica 2. Augamy, st. 1. Zabytki wydzielone (fot. R. Solecki)



Tablica 3. Augamy, st. 1. Zabytki wydzielone (fot. R. Solecki)



Tablica 4. Augamy, st. 1. Zabytki wydzielone (fot. R. Solecki)



Tablica 5. Augamy, st. 1. Zabytki wydzielone (fot. R. Solecki)

ca, który znaleziono na stoku Wału Majdanu i fragment rozerwanej ramki żelaznej, niklowanej (tabl. 3:7), który znaleziono na brzegu rzeki poniżej Majdanu Górnego. Dwa ostatnie to monety: 1 PFENNIG DEUTSCHES REICH z 1875 roku (tabl. 5:1) i 5 PFENNIG DEUTSCHES REICH z 187? roku (tabl. 5:2).

Na obecnym etapie badań nie jest możliwe jednoznaczne określenie chronologii czterech zabytków. Do grupy zaliczono dwa żelazne okucia. Większe (tabl. 5:6) wykonane jest z blachy wygiętej w ten sposób, że tworzy spłaszczoną rurkę, przez którą mógł być prowadzony rzemień. Długość zabytku wynosi 17 cm a szerokość 3 cm. W odległości około 3 cm od jednego z końców okucia znajduje się otwór średnicy 1 cm. Zbliżoną formę mają pochwy bagnetów, z tym że zabytek z Augam byłby w takim przypadku zmiażdżony i miał ułamany koniec. Mniejsze okucie (tabl. 5:5) wykonane jest z cienkiej blaszki długości 4 cm. W części środkowej blaszka jest węższa – szerokości 0,5 cm. Przy końcach rozszerza się do 1 cm a w miejscach tych znajdują się otwory średnicy 0,2–0,3 cm. Zabytki o zbliżonej formie interpretowane są jako okucia pasa i znane ze stanowisk archeologicznych od Okresu Wpływów Rzymskich³⁷, ale omawiany egzemplarz zachowany jest fragmentarnie, a przez to nie jest charakterystyczny i podobne formy znane są także ze stanowisk młodszych, nawet późnośredniowiecznych. Nie można także wykluczyć, że jest to współczesne podkucie noska buta.

Kolejny zabytek (tabl. 3:6), który natręca problemów przy interpretacji, wykonano z żelaza i zaopatrzone w masywny, kwadratowy w przekroju trzpień długości 4,5 cm. Przejście od trzpienia do części pracującej jest zaakcentowane pierścieniowatym rozszerzeniem o średnicy do 2 cm. Część pracująca jest ułamana, ma długość niecałych 2 cm i kształt walca średnicy 1,2 cm. Może być to fragment krzesiwa typu iglicowego, które jest charakterystyczne dla okresu rzymskiego. Zbliżone zabytki znane są z Kamieńczyka, gm. Wyżków³⁸. Zabytek ten można także interpretować jako tok, czyli dolne okucie drzewca włóczni, charakterystyczne dla okresu średkowo- i późnolateńskiego³⁹. Tu najbliższą analogią jest zabytek z miejscowości Holubi-

ce (Czechy)⁴⁰. Niestety z racji, że zabytek został odnaleziony na złożu wtórnym i jest zauważany tylko fragmentarnie, nie można wykluczyć, że jest to nieokreślone narzędzie o młodszej chronologii.

Ostatni zabytek o problematycznej chronologii to żelazna pobocznica wędzidła (tabl. 5:4), która ma formę kwadratowej w przekroju sztabki szerokości do 1 cm i długości 14,5 cm. Oba końce sztabki są spłaszczone, zawinięte i tworzą pętle średnicy około 0,3 cm. W połowie długości sztabki znajduje się miejsce, gdzie została ona spłaszczona, a w obrębie tego spłaszczenia wykonano otwór średnicy 1 cm. Przez otwór przeplecone jest żelazne ogniwko długości co najmniej 7,5 cm wykonane z drutu o średnicy do 0,5 cm, które należy interpretować, jako fragment wędzidła. Najbliższą analogią jest pobocznica znaleziona w Zamiechowie, gm. Chłopice, w województwie podkarpackim, gdzie pozyskano ją z warstwy spływowej z materiałem zabytkowym, który można datować od okresu kultury przeworskiej, po X–XII wiek. Sam zabytek jednak można datować od końca IV do połowy V wieku i łączyć z Okresem Wędrowek Ludów⁴¹. Poboczniaca o zbliżonej formie została sklasyfikowana w typologii Johna Warda-Perkinsa, jako typ C. Autor zabytki o takiej formie, łączył z obszarem Prus i datował na okres od IX do XIV wieku⁴². Tam jednak centralnie umiejscowiony otwór był zdecydowanie większy i wychodził poza oś samej pobocznicy. Zatem łączenie egzemplarza z Augam z typem C klasyfikacji Warda-Perkinsa nie jest pewne.

CHRONOLOGIA I DZIEJE GRODZISKA W AUGAMACH, ST. 1

DANIEL SKOCZYLAS

Dotychczas grodzisko w Augamach było określane jako wczesnośredniowieczne⁴³. Dzięki badaniom archeologicznym przeprowadzonym w 2020 roku, stwierdzono istnienie kolejnych, wcześniej nie wydzielonych faz użytkowych stanowiska. Wykazały one, że stanowisko było wykorzystywane już na przełomie ostatnich faz Okresu Wędrowek Ludów

³⁷ Madyda-Legutko 1983: 94–114.

³⁸ Dąbrowska 1996: 45–48.

³⁹ Kontny 1999: 128–129.

⁴⁰ Filip 1956: 155 (ryc. 48:6).

⁴¹ Půlpánová-Reszczyńska 2016: 150–162.

⁴² Ward-Perkins 1993: 80; Clark, Egan i Griffiths 1995: 46–48.

⁴³ Crome 1937: 110.

i na samym początku tworzenia się organizacji plemiennej Prusów⁴⁴. Na okres ten wskazują badania radiowęglowe próby pozyskanej z najniższej części nasypu Wału Majdanu Górnego i związanej z nią warstwy użytkowej. Wyniki po kalibracji dały przedział lat 367–541 n.e. z prawdopodobieństwem 95,4%⁴⁵ oraz 363–539 n.e. z prawdopodobieństwem 95,4%⁴⁶. Można się zastanawiać, czy wyniki tych datowań nie są obarczone błędem, wynikającym z efektu tzw. starego drewna, który powoduje, że otrzymany wynik datowania może być „postarzony”, w skrajnych przypadkach nawet o kilkaset lat⁴⁷. Tu jednak dwa datowania wskazują niemal ten sam przedział czasu, a dodatkowo podczas badań znaleziono pojedyncze zabytki, które można wiązać z tym okresem. Są to żelazna siekiera z tuleją i fragment żelaznej szpili z główką rozklepaną w okrągłą, płaską tarczkę. Należy zatem przyjąć, że pierwsza faza osadnicza, której reliktami są dwa nasypy ziemne odcinające cypel od wysoczyzny, ma metrykę sięgającą IV–VI wieku n.e. W warstwach wiązanych z tą fazą, zwłaszcza na Wale Majdanu Górnego i znajdującym się przy nim zagłębieniu przywałowym, zaobserwowano dużą ilość węgli drzewnych, co może oznaczać, że doszło do pożaru, który strawił drewniane elementy umocnienia wału.

Wał Majdanu Górnego został odnowiony i wyraźnie nadrysany, ale działania te wykonano już najpewniej w kolejnej fazie zasiedlenia stanowiska, które można wiązać z osadnictwem pruskim w XII–XIII wieku. W centralnej części Majdanu Górnego, dzięki wykorzystaniu metod geofizycznych, natrafiono na pozostałość obiektu mieszkalnego. W trakcie badań archeologicznych natrafiono w tym miejscu na ovalny w planie obiekt (średnicy 170–190 cm), w którego wypełnisku znajdowały się węgle drzewne. Z warstwy tej pobrano próbę węgla do analizy radiowęglowej, a jej wynik wskazał po kalibracji przedział lat 1054–1267 z prawdopodobieństwem 95,4%. Przy prawdopodobieństwie 94,6% przedział zawiesił się do lat 1157–1267⁴⁸. Może to ozna-

czać, że gród pruski został zdobyty w trakcie podboju krzyżackiego około połowy XIII wieku⁴⁹.

Starszy gród był dalej wykorzystywany po podboju krzyżackim. Na ten okres należy datować nadrysanie Wału Majdanu Górnego, pogłębienie fosy i nadanie umocnieniom takiej formy, jaka jest obecnie czytelna w terenie. Na obszarze Majdanu Górnego powstał kolejny budynek, o konstrukcji kamienno-ceglanej, którego relikty zaobserwowano w trakcie badań archeologicznych. W południowej części majdanu odsłonięto kamienną platformę o kształcie zbliżonym do kwadratu o boku 280 cm i wysokość do 80 cm. W jej środku znajdowało się koliste zagłębie średnicy 150 cm i głębokości do 60 cm. Obiekt ten widział i opisał w swej pracy Johannes Heydeck, interpretując go, jako kamienną cysternę na wodę⁵⁰. W pobliżu tej platformy zadokumentowano dwa doły posłupowe i relikty drewnianej, spalonej konstrukcji. Pobraną z niej próbę węgla poddano analizie radiowęglowej, której wynik po kalibracji dał przedział lat 1262–1387 z prawdopodobieństwem 95,4%⁵¹. Na podstawie materiału zabytkowego można szacować, że osadnictwo wiązane z tą fazą utrzymywało się w okresie XIII–XV wiek. Koniec mógł nastąpić na początku XV wieku – z roku 1414 pochodzi pierwsza wzmianka o pobliskiej wsi Augamy, wymienianej w stratach po wojnie głodowej. Możliwe, że wtedy to został zniszczony a następnie rozebrany budynek kamiенно-ceglany, którego relikty odkryto. Źródła podają także, że w wyniku wojny trzynastoletniej wieś Augamy i cała okolica zostały wyludnione, a nowa fala osadnicza napłynęła dopiero w połowie XVI wieku⁵².

Przeprowadzone badania wykazały, że stanowisko może dostarczyć ciekawych źródeł do badań nie tylko nad okresem średniowiecza, ale także do słabo jeszcze rozpoznanego schyłku Okresu Wędrówek Ludów. Rozszerzenie frontu badań pozwoliłoby na pełniejsze rozpoznanie reliktów budynku, którego pozostałości są dość dobrze zachowane.

⁴⁴ J. Okulicz 1973: 421, 491–495.

⁴⁵ Analiza przeprowadzona w Poznańskim Laboratorium Radiowęglowym, próba nr Poz-130375.

⁴⁶ Analiza przeprowadzona w Poznańskim Laboratorium Radiowęglowym, próba nr Poz-130525.

⁴⁷ Schiffer 1986; Pospieszny i Jakubczak 2019: 137.

⁴⁸ Analiza przeprowadzona w Poznańskim Labora-

torium Radiowęglowym, próba nr Poz-134146.

⁴⁹ Biskup i Labuda 1986: 146–149; Achremczyk 2010: 109–110.

⁵⁰ Heydeck 1896: 72–74.

⁵¹ Analiza przeprowadzona w Poznańskim Laboratorium Radiowęglowym, próba nr Poz-134145.

⁵² Petraszko i Wakar 1987b: 272

Wokiele, st. 1

Gmina Górowo Iławeckie

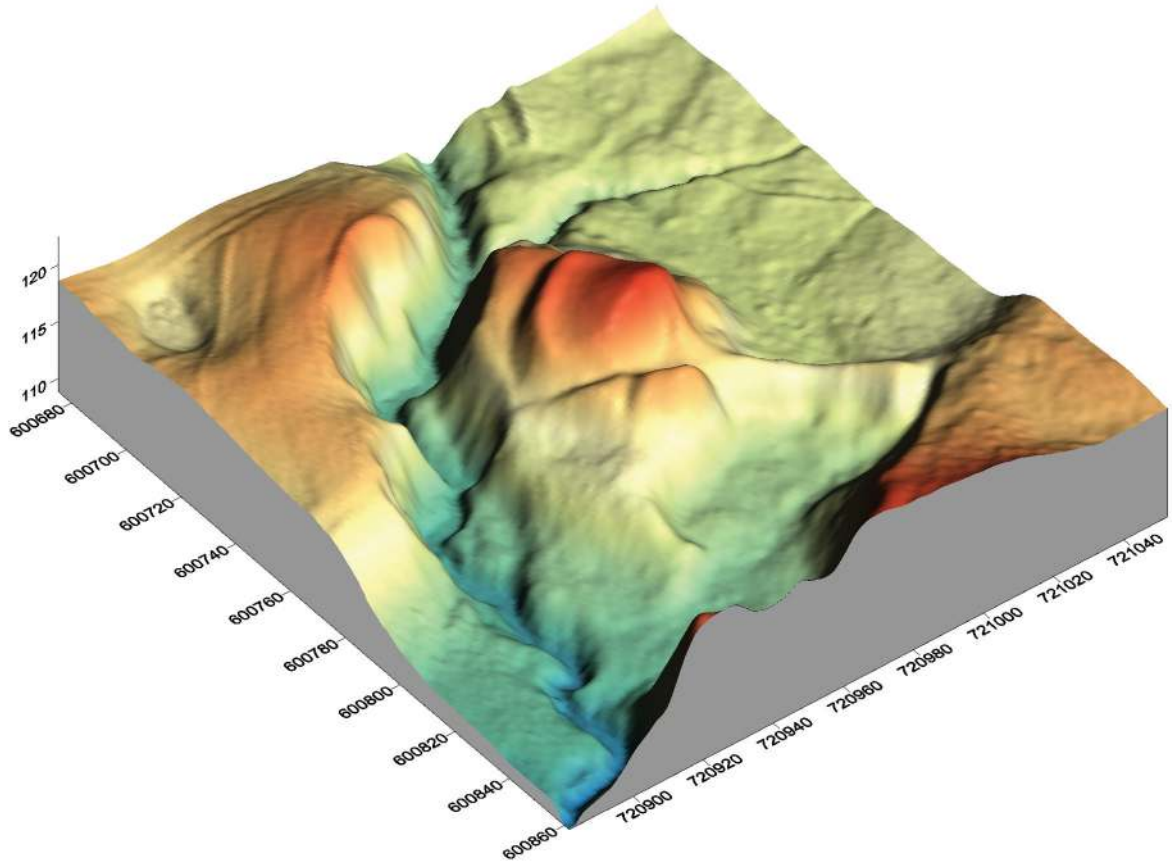
Powiat bartoszycki

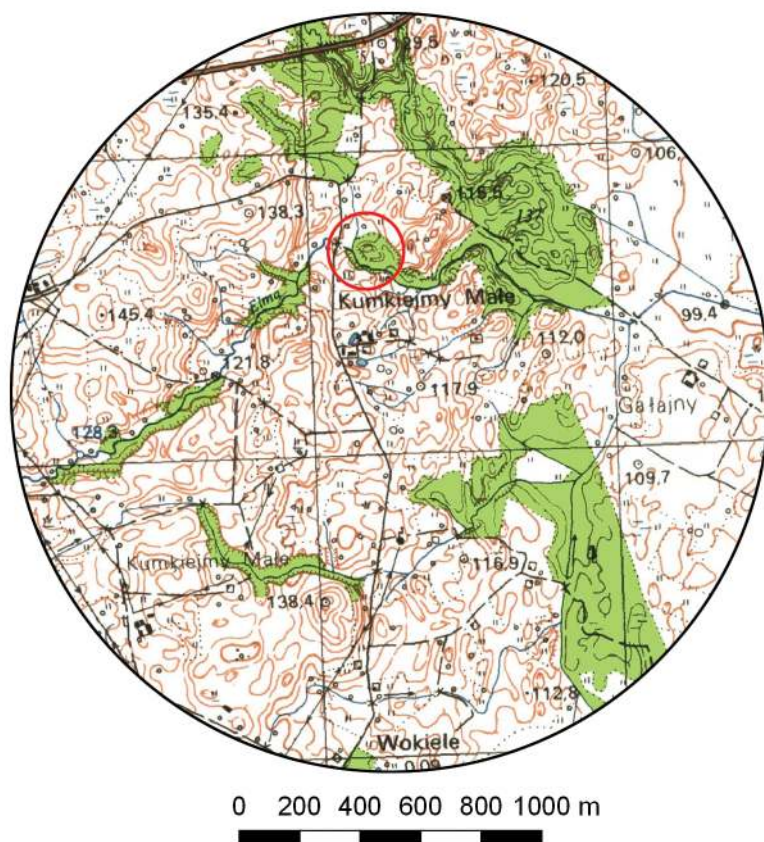
AZP 12-62/1

Współrzędne geograficzne:

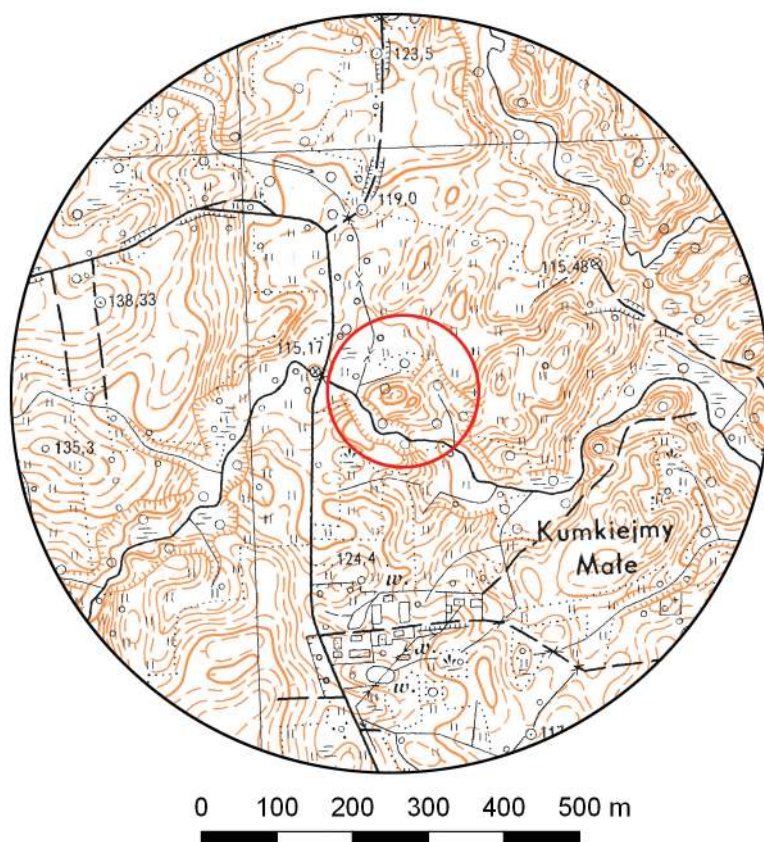
N 54° 20' 34"

E 20° 33' 01"





Ryc. 1. Grodzisko w Wokielach, st. 1
na mapie w skali 1:25 000
(na podstawie materiałów GUGiK,
oprac. R. Solecki)



Ryc. 2. Grodzisko w Wokielach, st. 1
na mapie w skali 1:10 000
(na podstawie materiałów GUGiK,
oprac. R. Solecki)

POŁOŻENIE GRODZISKA I JEGO FORMA

RAFAŁ SOLECKI I DANIEL SKOCZYLAS

Grodzisko w Wokielach (niem. *Wokellen*), st. 1, zostało wpisane do rejestru zabytków decyzją C-119 z dnia 3 listopada 1973 roku¹. Obecnie stanowisko administracyjnie przynależy do gruntów wsi Wokiele, położonej w odległości około 1,7 km na południe, chociaż bliżej znajduje się miejscowości Kumkiejmy (niem. *Kumkeim*), położona 1,2 km na zachód. W odległości około 1,8 km na południowy-wschód znajduje się wieś Gałajny (niem. *Gallehnen*), lokowana w XIV wieku².

Grodzisko było znane co najmniej od lat 20. XIX wieku. Jako *Schwedenschanze* skatalogował je Johann Michael Guise³. W 1937 roku opisał je jako grodzisko staropruskie⁴ Hans Crome, przypisując do położonej bliżej wsi Kumkiejmy i wymieniając dwie nazwy stanowiska: *Kaddicksberg* (taka nazwa znajduje się także na mapie z 1937 roku)⁵ (ryc. 3) i *Schwedenschanze*, którą to nazwę przytacza za J. M. Guisem. Grodzisko ma również swoją kartę w zbiorze *Burgwall-kartei*, gdzie wymienione są obie wsie – Wokiele i Kumkiejmy (ryc. 4). Brak jest informacji o znaleziz-

skach i chronologii⁶. Po drugiej wojnie światowej świadomość o istnieniu grodziska zanikła. W trakcie badań powierzchniowych prowadzonych w 1969 roku stanowisko traktowano jako nowo odkryte⁷. Obecnie grodzisko nazywane jest Kadykową Górą, a autorzy karty ewidencyjnej AZP jego powstanie datowali na okres wczesnego średniowiecza.

Stanowisko zajmuje wyniesienie, które u podstawy ma około 62 ary (ryc. 5–7). Znajduje się ono w dolinie rzeki Elmy, która na tym odcinku płynie z zachodu na wschód. Tuż na zachód od niego, do Elmy wpada od północy niewielki, bezimienny strumyk. Na szczytce wyniesienia uformowana została owalna platforma o średnicy około 28–38 m, która pierwotnie mogła mieć powierzchnię około 8,6 ara. Przy jej krawędzi widoczny jest niewielki wał szerokości do około 3,5–4 m. Na dobrze zachowanej zachodniej części grodziska, różnica wysokości pomiędzy poziomem majdanu a szczytem wału nie przekracza najczęściej 0,4 m, a różnica wysokości pomiędzy szczytem wału a wypłaszczeniem u jego podstawy wynosi około 1,5 m. Walory obronne zapewniała jednak sama forma morfologiczna wyniesienia – jego stoki od strony rzeki są strome, a różnica wysokości pomiędzy lustrem wody a szczytem dochodzi do 9 m.

Część wschodnia *plateau* grodziska została silnie naruszona w wyniku prac ziemnych (ryc. 8), których celem było najpewniej usypanie grobli, która łączyła wyniesienie znajdujące się w dolinie rzeki z jej północną krawędzią (ryc. 9). Grobla ta ma długość około 43 m, szerokość u podstawy około 12 m, szerokość przy szczytce około 4 m i wysokość około 2 m. Na styku grobli i krawędzi doliny widoczne jest wyraźne zakleszczenie (ryc. 10). Konstrukcje tego typu budowano najczęściej na potrzeby magazynowania wody do użytku młynów wodnych⁸.

¹ Informacja z KEZA stanowiska Wokiele.

² Petraszko i Wakar 1987b: 288–289.

³ Łapo 2009: 264.

⁴ Crome 1937: 109.

⁵ *Topographische Karte 1:25 000 (Meßtischblatt)*, karta Pr. Eylau (1689), z 1937 r.

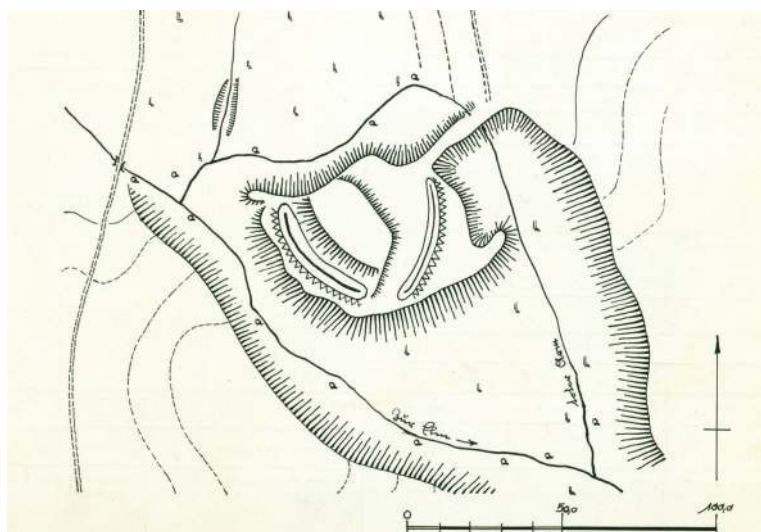


⁶ Informacja z karty grodziska znajdującej się w zbiorze *Burgwall-kartei* w Museum für Vor- und Frühgeschichte w Berlinie.

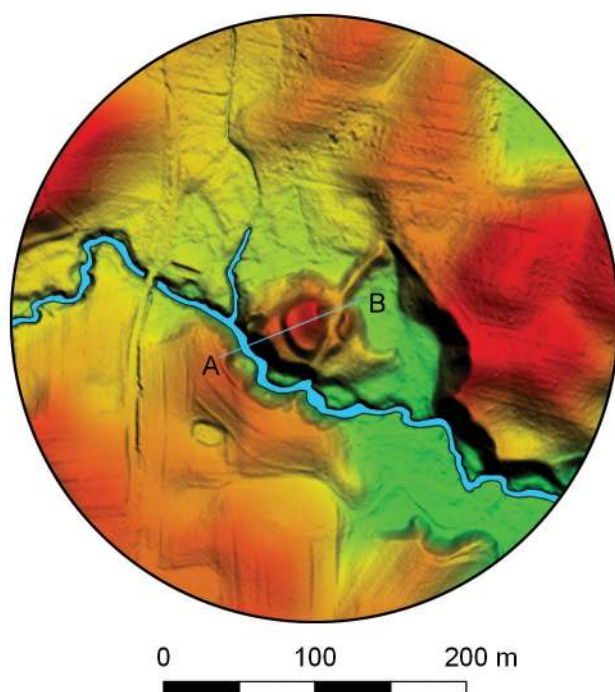
⁷ Informacja z notatki sporzązonej przez Dariusza Czonkowskiego w dniu 15 czerwca 1969 roku; notatka z archiwum NID.

⁸ Kaniecki i Brychcy 2010: 150–152.

Ryc. 3. Grodzisko w Wokielach, st. 1 na mapie *Topographische Karte (Meßtischblatt) 1:25 000*, karta Pr. Eylau (1689), z 1937 r.
(źródło: www.maps.mapywig.org).



Ryc. 4. Grodzisko w Wokielach, st. 1 na karcie ze zbioru *Burgwall-kartei* (źródło: Staatliche Museen zu Berlin, Museum für Vor- und Frühgeschichte, IXc 90, Bl. 223)



Ryc. 5. Grodzisko w Wokielach, st. 1 na zobrazowaniu ALS (na podstawie materiałów GUGiK, oprac. R. Solecki)



Ryc. 6. Przekrój grodziska w Wokielach, st. 1 uzyskany z danych ALS (na podstawie materiałów GUGiK, oprac. R. Solecki)



Ryc. 7. Wokiele, st. 1. Widok z południowej krawędzi doliny rzeki Elmy w kierunku północnym, na wyniesienie i grodzisko (fot. R. Solecki)



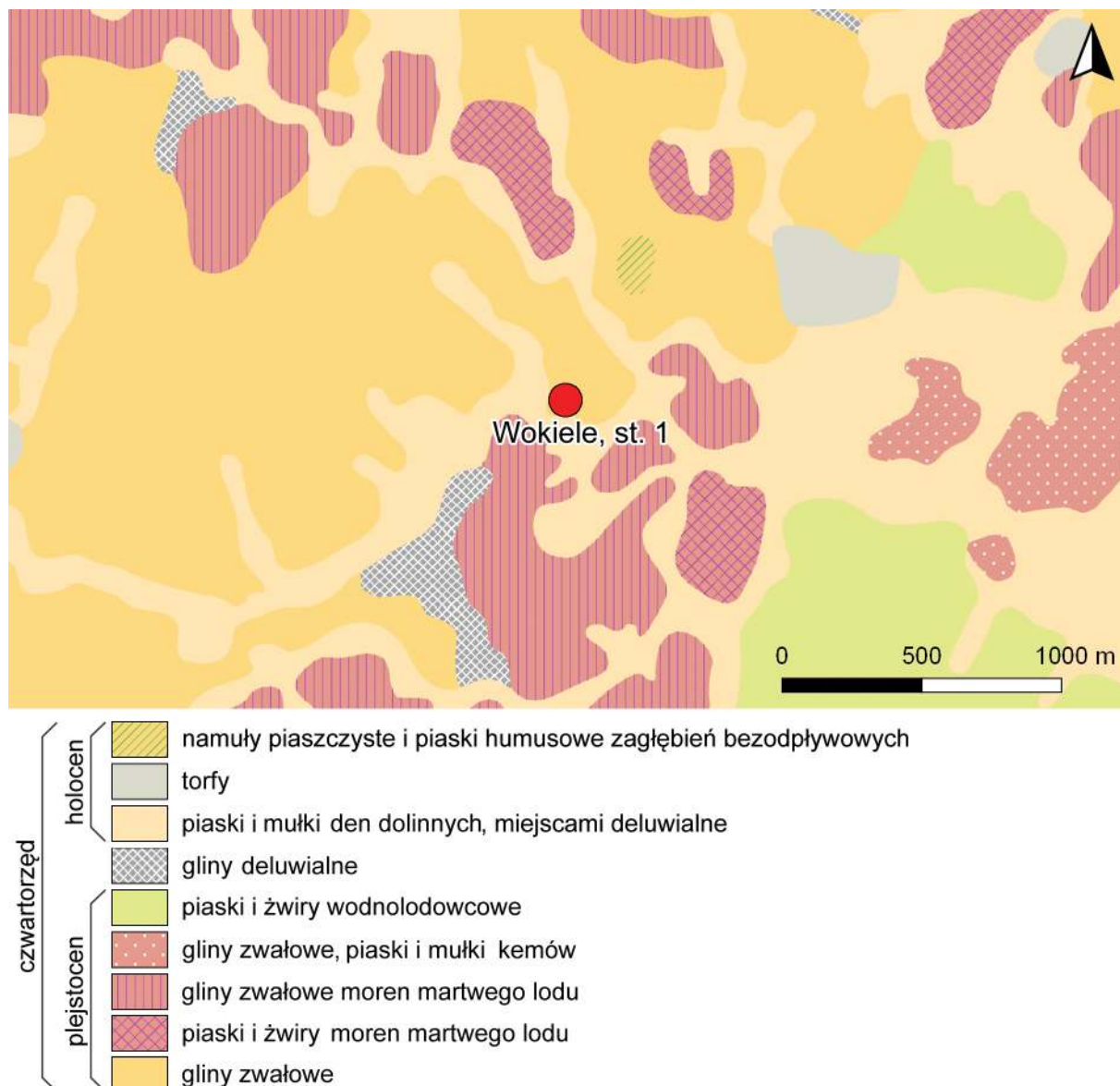
Ryc. 8. Wokiele, st. 1. Widok w kierunku północnym na zniszczenia plateau grodziska (fot. R. Solecki)



Ryc. 9. Wokiele, st. 1. Widok w kierunku północnym na groblę (fot. R. Solecki)



Ryc. 10. Wokiele, st. 1. Widok w kierunku południowo-wschodnim na zakleśnięcie na styku grobli i krawędzi doliny (fot. R. Solecki)



Ryc. 11. Wycinek arkusza Szczegółowej Mapy Geologicznej Polski z zaznaczonym stanowiskiem w Wokielach, st. 1 (źródło: www.cbdgmapa.pgi.gov.pl/arcgis/services/kartografia/smgp50k/MapServer/WMServer, oprac. A. Lejzerowicz)

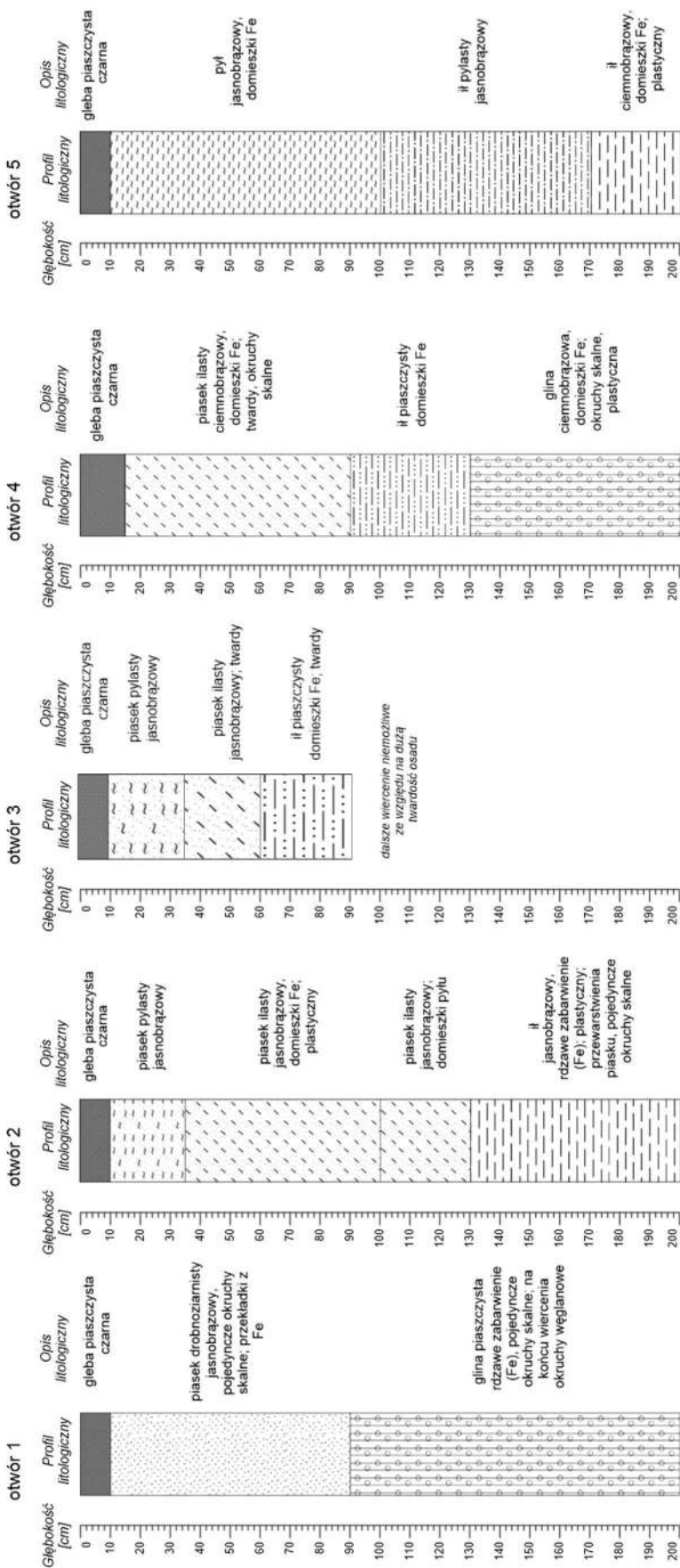
ŚRODOWISKO FIZYCZNOGEOGRAFICZNE ANNA LEJZEROWICZ

Według podziału fizycznogeograficznego Polski Jerzego Kondrackiego, grodzisko w Wokielach, st. 1, znajduje się w mezoregionie Wzgórz Górowskich⁹.

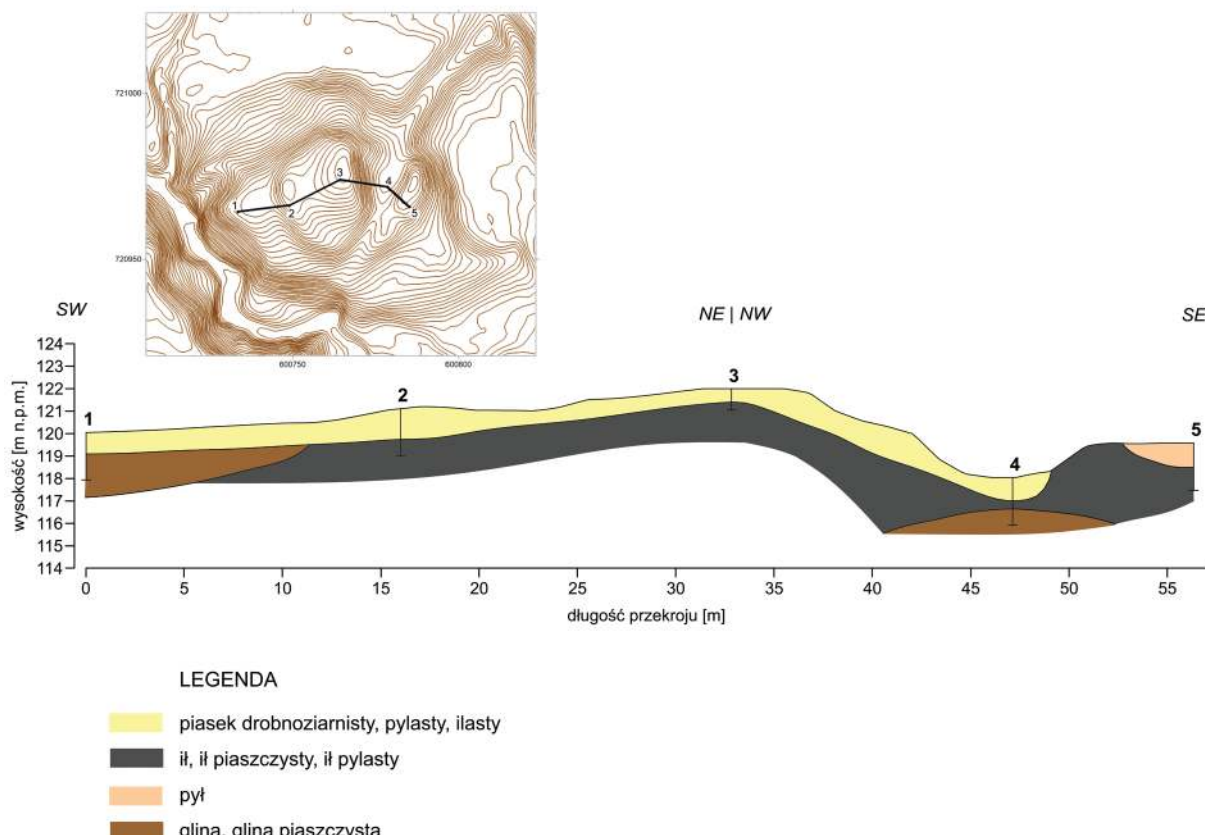
Pod względem geologicznym stanowisko znajduje się na synklinie perybałtyckiej platformy wschodnioeuropejskiej. W podłożu czwartorzędu występują osady morskie: paleocenu, eocenu i oligocenu. Procesy zachodzące w czasie stadia górnego zlodowacenia Wisły – najmłodszego na tym terenie zlo-

dowacenia i trwającego do dziś ocieplenia, odpowiedzialne są za obecną rzeźbę terenu. Ruch lodu najprawdopodobniej następował lobem warmińskim, który nasunął się niemal dokładnie z północy, co potwierdza orientacja linijnych form polodowcowych oraz kierunki transportu eratyków przewodniczych. Nasuwaniu się lobu lodowcowego towarzyszyła intensywna działalność erozyjna i akumulacyjna wód roztopowych. Lądolód stadia górnego pozostawił zwarty poziom glin zwałowych o miąższości od kilku do kilkudziesięciu metrów. Podczas deglacacji powstawały formy szczelinowe, kemy, pokrywy sandrowe. Lokalnie z brył martwych lodów spływały osady, na niektórych formach utworzyły pokrywę gliniastą. Na przełomie pleistocenu i

⁹ Kondracki 2002: 100–102.



Ryc. 12. Profile litologiczne odwiertów wykonanych na obszarze grodziska w Wokielach, st. 1
(oprac. A. Lejzerowicz)



Ryc. 13. Schematyczny przekrój geologiczny przez grodzisko w Wokielach, st. 1 (oprac. A. Lejzerowicz)

holocenu doszło do erozji i denudacji krawędzi wysoczyzny. Według *Szczegółowej Mapy Geologicznej Polski* w skali 1:50 000 (arkusz Toprzyny) na obszarze stanowiska występują gliny zwałowe, sąsiadujące od zachodu z piaskami i mułkami den dolinnych (ryc. 11)¹⁰.

Morfologicznie jest to obszar wysoczyzny morenowej falistej, której powierzchnia jest urozmacona pagórkami moren martwego lodu, kemów i form akumulacji szczelinoowej. Powierzchnia wysoczyzny jest zbudowana z gliny zwałowej. Lokalnie gliny te zostały częściowo lub całkowicie zniszczone przez wody roztopowe, wypływające z wytapiającego się lądolodu i przykryte osadami wodnolodowcowymi (sandrowymi), kemów lub moren martwego lodu¹¹. Grodzisko zajmuje wyraźne wyniesienie w terenie, otoczone skarpami, które częściowo schodzą do ograniczającej stanowisko od południa rzeki Elmy. Od zachodu jest ograniczone dopływem tej niewielkiej rzeki. Samo stanowisko jest „podzielone” – widoczne jest wyraźne obniżenie w terenie w poprzek wzniesienia (ryc. 8). To obniżenie jest najprawdopodobniej pochodze-

nia antropogenicznego, a materiał, który pozostał po jego wykonaniu, został prawdopodobnie wykorzystany do stworzenia wału na północnym wschodzie (ryc. 9). Obecnie to obniżenie w terenie jest wykorzystywane do odprowadzania wód opadowych w kierunku rzeki. Dokładną morfologię obszaru można zaobserwować na obrazowaniu danych ALS i przekroju morfologicznym (ryc. 5–6).

Na obszarze grodziska w Wokielach, st. 1, wykonano pięć wierceń sondą ręczną do głębokości 2 m, w celu rozpoznania budowy geologicznej. W wierceniach zaobserwowano występowanie osadów piaszczystych oraz pylastycznych (piaski drobnoziarniste, piaski pylaste i ilaste, pyły), jak również nawiercono osady ilaste czy gliny z okruchami skalnymi. Szczegółowa litologia jest widoczna oraz została opisana na poszczególnych profilach wierceń (ryc. 12). Na podstawie wykonanych wierceń stworzony został schematyczny przekrój geologiczny przez stanowisko (ryc. 13).

Wykonane wiercenia potwierdzają obecność osadów gliniastych na badanym stanowisku, jednak dominują osady piaszczyste: piaski drobnoziarniste, piaski pylaste oraz piaski ilaste, jak również utwory typowo ilaste. Lokalnie osady te zwierają związki żelaza,

¹⁰ Giemza 2015a: 23–28.

¹¹ Giemza 2015a: 20–21.

co nadaje im rdzawe zabarwienie. W niektórych warstwach zaobserwować można również okruchy skalne. Nawiercone w otworze 3 iły piaszczyste charakteryzowały się dużą twardością, co bardzo utrudniało wiercenie i uniemożliwiło dowiercenie się do zaplanowanej głębokości.

BADANIA ARCHEOLOGICZNE

RAFAŁ SOLECKI I DANIEL SKOCZYLAS

Przebieg badań terenowych

Stanowisko jest porośnięte rzadkim lasem liściastym. Do badań wytypowano zachodnią część stanowiska, która nosiła mniej śladów młodszych ingerencji i zniszczeń. Pierwszym etapem prac terenowych było przeprowadzenie niedestrukcyjnych badań geofizycznych.

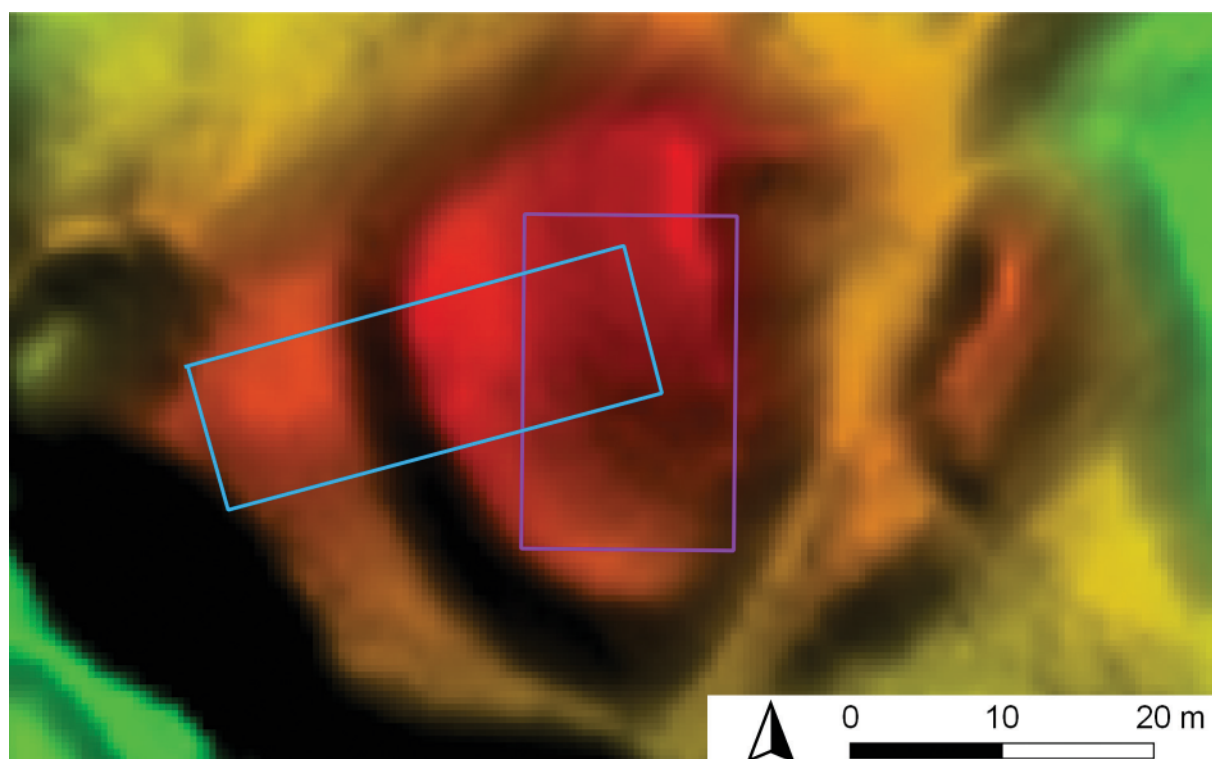
Badania przeprowadzono z wykorzystaniem kappametru firmy Bartington model MS3 z sondą MS2D, pracującą z częstotliwością 950 ± 60 Hz, przeznaczoną do płytkego pomiaru podatności magnetycznej gruntu (Bartington Instruments Ltd.), a także georadaru VIY-300 z anteną ekranowaną o częstotliwości 300 MHz firmy Transient Technologies¹².

Podczas prospekcji z wykorzystaniem kappametru zmapowano obszar o powierzchni

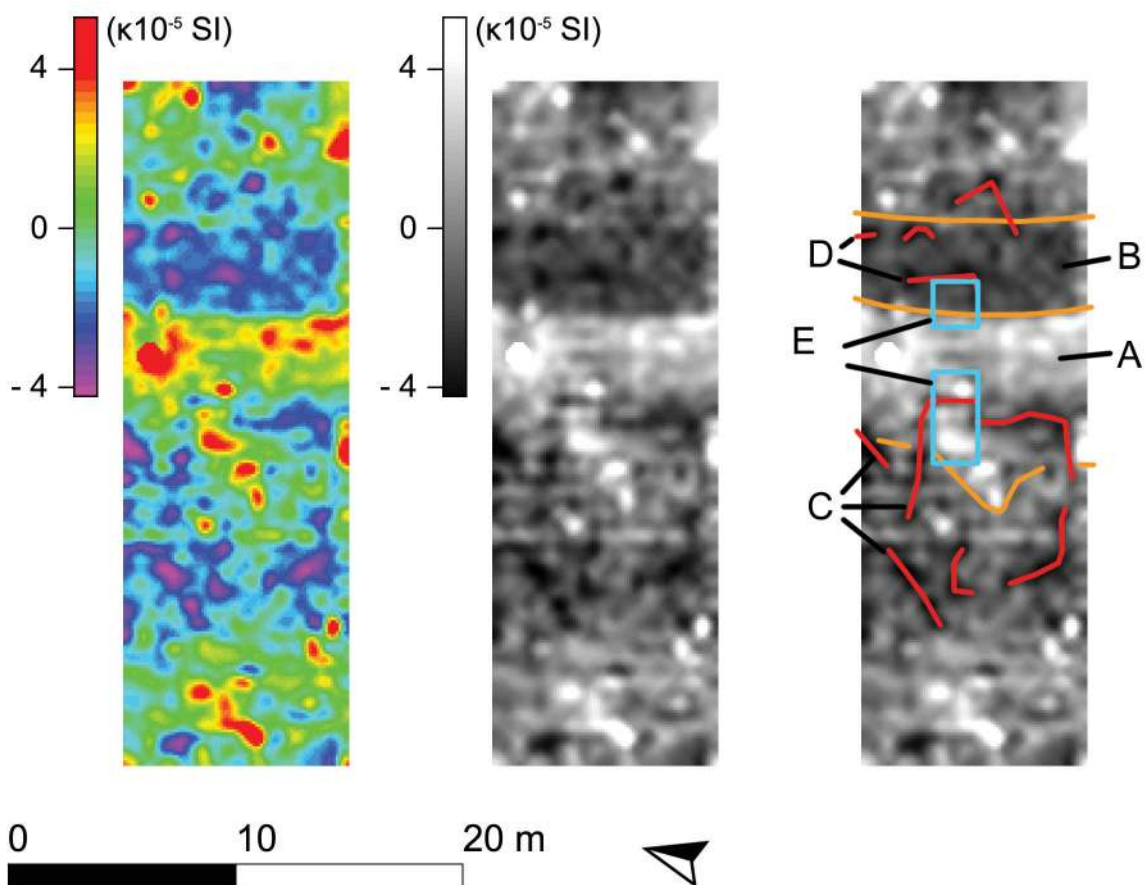
300 m^2 (ryc. 14:A). Wartość odczytów mieści się w zakresie od $-5,62$ do $308,17 \text{ k}10^{-5}$ SI, z tym że wysokie wartości są sporadyczne, a wywołane były najczęściej przez zalegające na lub przy powierzchni metalowe przedmioty. Średnia wartość odczytów wynosi $1,04 \text{ k}10^{-5}$ SI a odchylenie standardowe $12,57 (\text{k}10^{-5} \text{ SI})$. Na ilustracji z wizualizacją wyników pomiarów (ryc. 15) czytelny jest nasyp wału o szerokości dochodzącej do 7,3 m (ryc. 15:A) oraz zagłębienie przywałowe szerokości do 3,8 m (ryc. 15:B). Na obszarze majdanu i na wypłaszczeniu poniżej wału widoczne są liniowe, regularne anomalie (ryc. 15:C i D).

Podczas prospekcji z wykorzystaniem georadaru wykonano łącznie 15 profili o długości 22 m i odległych od siebie o 1 m. Pokryły one obszar 308 m^2 (ryc. 14:B). Wyniki badań przedstawiono w formie planów na kolejnych, coraz większych głębokościach. Anomalie zidentyfikowane na kolejnych planach nанiesiono na wspólny plan, na którym czytelne są ich dwa skupiska (ryc. 16). Pierwsze znajduje się w północnej części majdanu i ma postać zbliżoną do dwóch linii, ułożonych prostopadle względem siebie (ryc. 16:A). Drugie znajduje się w południowej części majdanu i ma postać U-kształtnego obiektu otwartego ku północy, o średnicy około 4 m (ryc. 16:B).

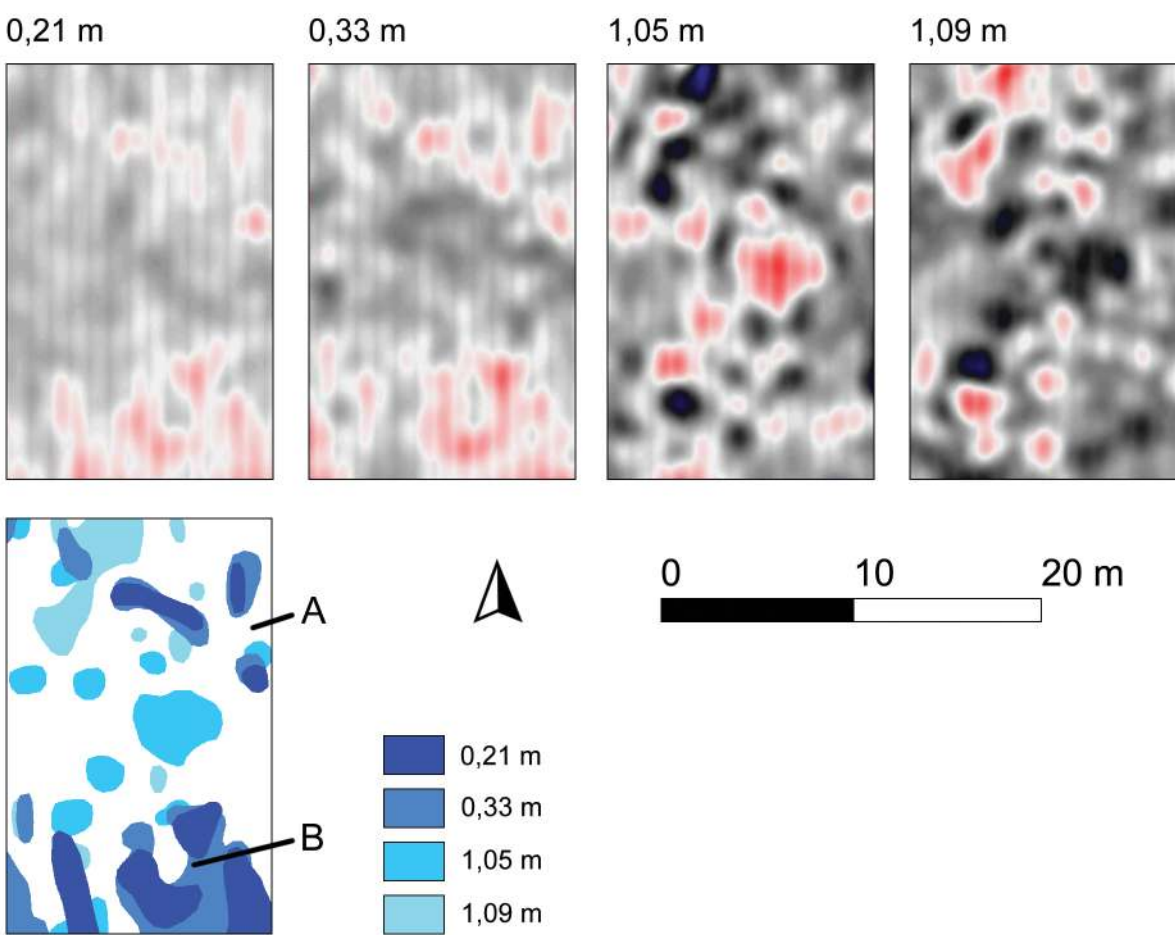
¹² Adamiec, Czernic, Zdeb 2019: 7.



Ryc. 14. Wokiele, st. 1. Plan grodziska z naniesionymi zasięgami prospekcji nieinwazyjnych: A) niebieski – badania z wykorzystaniem kappametru; B) fioletowy – badania georadarowe (oprac. R. Solecki)



Ryc. 15. Wokiele, st. 1. Plany z różnymi typami wizualizacji wyników badań nieinwazyjnych uzyskanych z wykorzystaniem kappametru. Interpretacja: A) nasyp wału, B) zagłębienie przywałowe, C, D) liniowe anomalie, E) wykopły archeologiczne (oprac. R. Solecki)



Ryc. 16. Wokiele, st. 1. Wyniki badań georadarowych zwizualizowane w formie planów na kolejnych głębokościach oraz plan kumulacyjny anomalii (oprac. J. Adamiec, K. Zdeb, R. Solecki)

Wykopy archeologiczne wytyczono w taki sposób, by przecinały nasyp wału (W1) oraz zagłębienia przywałowego (W2) (ryc. 15:E). Wymiary wykopu W1 wynosiły 2×4 m, a W2 – 2×2 m (ryc. 17).

Stratygrafia stanowiska

W trakcie omawianych badań archeologicznych wydzielono łącznie 15 jednostek stratygraficznych (tabela 1). Możliwe było ich rozdzielenie pomiędzy warstwy naturalne i cztery fazy „użytkowe”. Diagram Harrisa dla wydzielonych jednostek stratygraficznych przedstawia ryc. 18 a zadokumentowane powierzchnie ryc. 19 i 20.

Warstwy naturalne

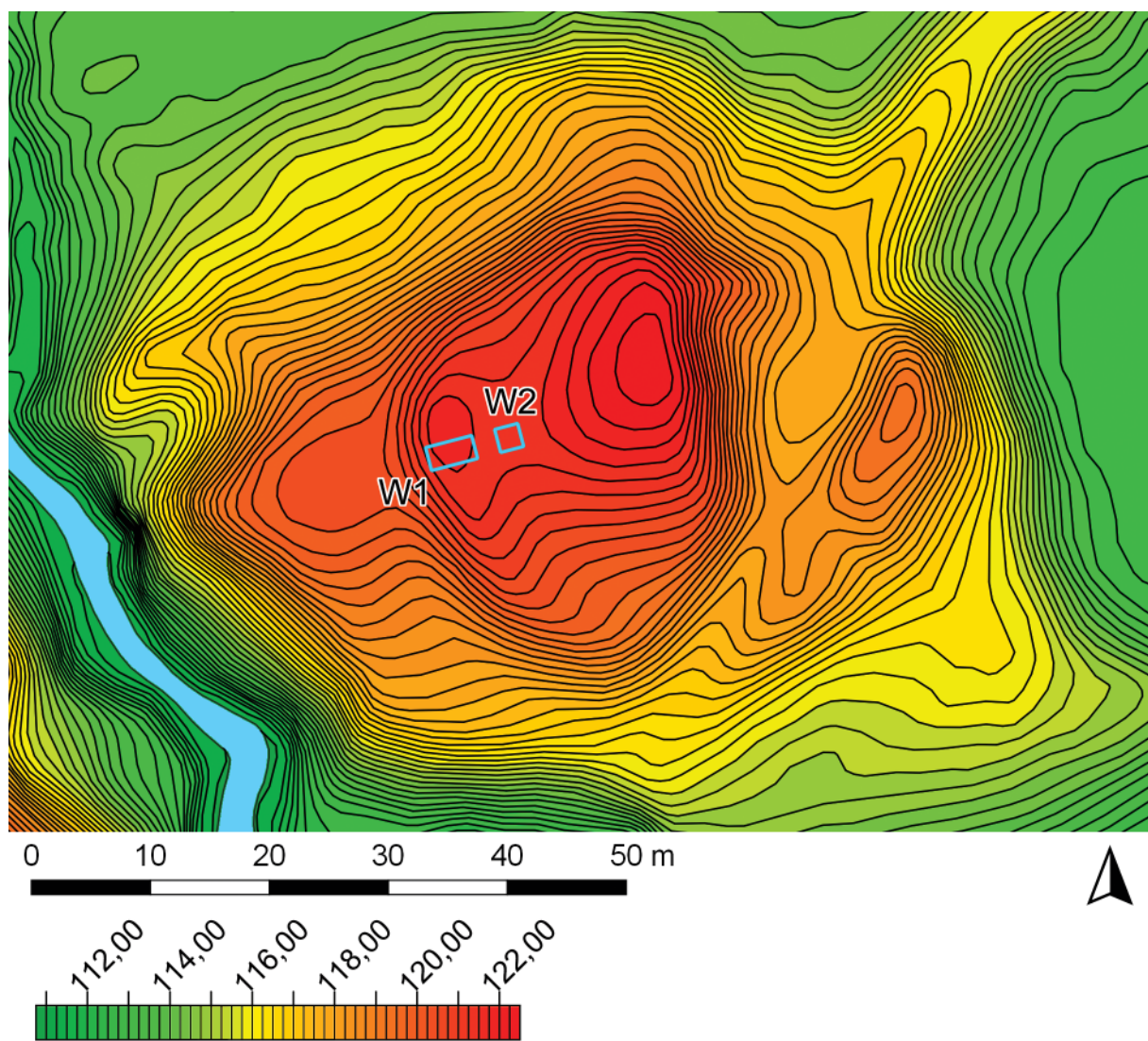
W trakcie badań, jako jednostki naturalne zidentyfikowano zwarte, twardy, lekko piaszczysty il 6 z pojedynczymi kamieniami średnicą do 45 cm oraz zalegające ponad nim: zwarte, twardy, piaszczysty il 5 oraz zwarte, piasz-

czysty il 13 z niewielką domieszką substancji organicznych. Najwyższy zanotowany punkt naturalnego podłoża geologicznego znajdował się na obszarze majdanu i osiągał poziom 122,1 m n.p.m.

Faza I

Faza ta dzieli się na dwie podfazy. Podfaza I A wyznacza okres pojawienia się osadnictwa na omawianym obszarze i zaadaptowania go do pełnienia funkcji osiedla obronnego we wcześniej epoce żelaza. Podfaza I B wyznacza moment naprawy starszych umocnień.

W podfazie I A, jednostką, która wyznacza poziom użytkowy bezpośrednio poprzedzającym rozpoczęcie budowy umocnień, jest zwarty, twardy, piaszczysty il 10 o miąższości 15 cm, który jest zapewne poziomem pierwotnego humusu. Warstwę 10 przykrywał depozyt zwartego, ilastego piasku 3 z pojedynczymi kamieniami średnicą do 10 cm, oraz zwarty, ilasty piasek 2 z niewielką domieszką substancji organicznych.



cji organicznych i z pojedynczymi kamieniami średnicy do 10 cm, które tworzyły nasyp wału otaczającego majdan. Zaobserwowana w granicach wykopu wysokość nasypu dochodziła do 80 cm, a jego najwyższy punkt osiągał poziom 122,6 m n.p.m. Z warstwy 2 pobrano próbę węgla drzewnego do analizy radiowęglowej. Wynik po kalibracji dał przedział lat 507–362 p.n.e. z prawdopodobieństwem 95,4%¹³.

Bezpośrednio z tworzeniem nasypu wału należy wiązać powstanie zagłębienia przywałowego 15, które miało formę regularnego, nieckowatego w profilu wkopu o szerokości co najmniej 55 cm i głębokość do 30 cm. Najniższy zanotowany punkt zagłębienia osiągał poziom około 121,8 m n.p.m.

Na pewnym etapie funkcjonowania osiedla, w podfazie I B, starszy wał został dodatkowo umocniony. Z naprawą wału należy wiązać kolisty w planie i U-kształtny w profilu dołek posłupowy 8, którego średnica wynosiła 45 cm, a głębokość dochodziła do 40 cm. Jego wypełniskiem był lekko przemieszany ilasty piasek 7 z pojedynczymi drobinami węgla drzewnego. Z warstwy tej pobrano próbę węgla do analizy radiowęglowej. Wynik po kalibracji dał przedział lat 361–178 p.n.e. z prawdopodobieństwem 95,4%¹⁴.

Podczas naprawy starszego wału zostało zasypane zagłębienie przywałowe, które wypełniły ilasty piasek 9 z domieszką substancji organicznych i z pojedynczymi kamieniami średnicy do 15 cm oraz lekko ilasty piasek 14 z domieszką substancji organicznych.

Faza II

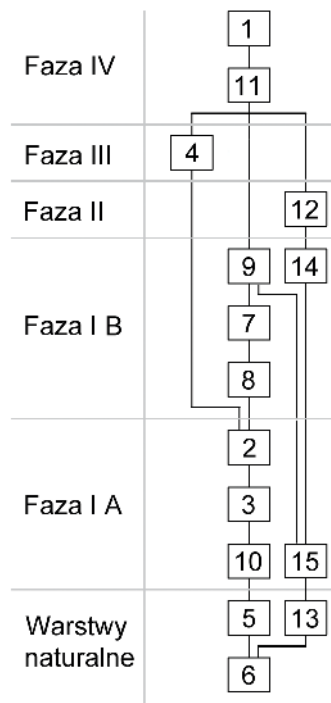
Fazę tę wyznacza pojawienie się na obszarze stanowiska osadnictwa, które można datować na okres średniowiecza. Poziom użytkowy na obszarze majdanu wyznacza piaszczysty il 12 z niewielką domieszką substancji organicznych, miąższości do 10 cm.

Faza III

Faza ta wyznacza okres po opuszczeniu stanowiska w okresie średniowiecza. Jako warstwę erozyjną zakwalifikowano ilasty piasek 4 z pojedynczymi kamieniami średnicy do 10 cm, widoczny na zewnętrznym stoku wału.

¹³ Analiza przeprowadzona w Poznańskim Laboratorium Radiowęglowym, próba nr Poz-121117.

¹⁴ Analiza przeprowadzona w Poznańskim Laboratorium Radiowęglowym, próba nr Poz-118400.



Ryc. 18. Wokiele, st. 1. Diagram relacji stratygraficznych (oprac. R. Solecki)

Faza IV

Faza ta wyznacza współczesny poziom użytkowy stanowiska. Warstwy przypisane do tej fazy to lekko ilasty piasek 11 z wyraźną domieszką substancji organicznych i pojedynczymi kamieniami średnicy do 10 cm i miąższości do 25 cm oraz piaszczysto-ilasta, humusowa ziemia 1 miąższości do 30 cm. Ta druga jest poziomem dzisiejszego humusu leśnego.

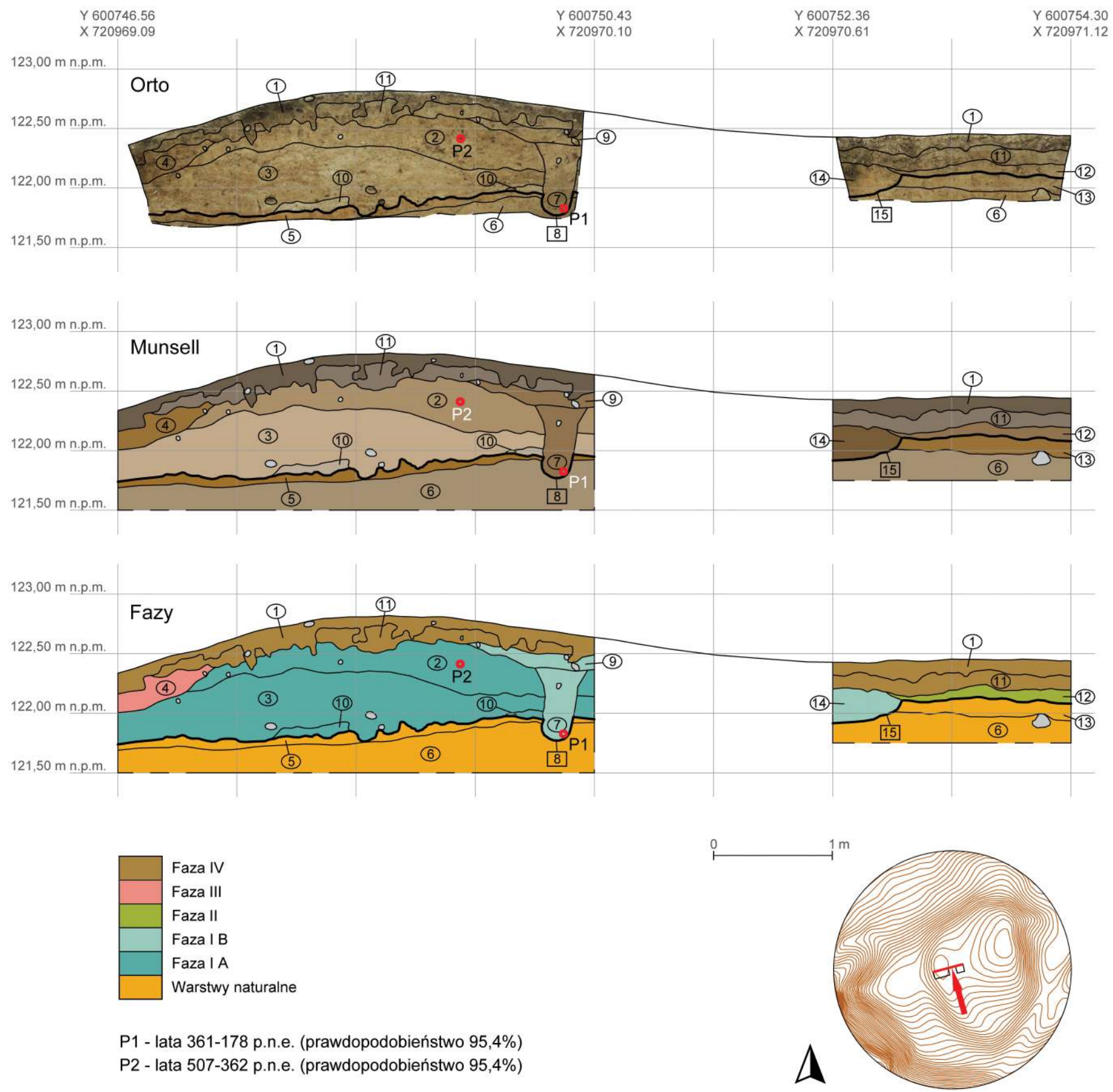
ZNALEZISKA

RAFAŁ SOLECKI I DANIEL SKOCZYLAS

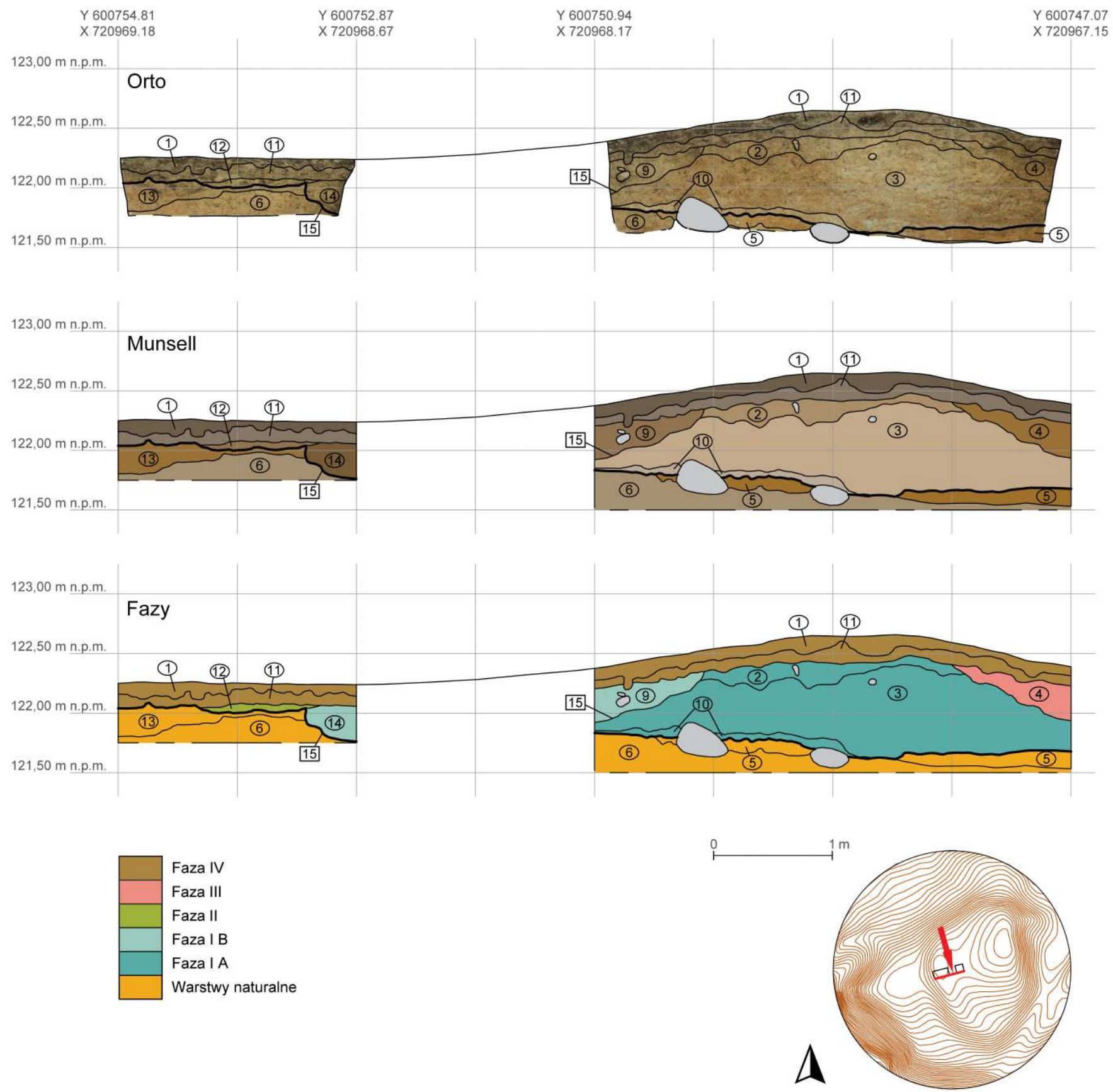
Na materiał zabytkowy pozyskany w trakcie badań archeologicznych grodziska w Wokielach, st. 1, w 2019 roku składa się zbiór fragmentów ceramiki oraz zabytki wydzielone.

Ceramika

W trakcie badań pozyskano jedynie dwa fragmenty naczyń ceramicznych. Pierwszy znaleziono w warstwie 3 i jest to niewielki – o średnicy poniżej 3 cm – fragment brzuśca, który można łączyć zarówno z wcześnieą epoką żelaza, jak i wcześnieym średniowieczem. Drugi fragment znaleziono na powierzchni stanowiska, na wypłaszczeniu poniżej nasypu wału. Jest to fragment brzuśca naczynia wypalonego w atmosferze redukcyjnej z dobrze wyrobionej masy ceramicznej (ryc. 21). Na powierzchni naczynia widoczny jest charakte-



Ryc. 19. Wokiele, st. 1. Stratygrafia nawarstwień w obrębie wału i zagłębienia przywałowego - wykop 1 i 2 (oprac. R. Solecki i D. Skoczyłas)



Ryc. 20. Wokiele, st. 1. Stratygrafia nawarstwień w obrębie wału i zagłębienia przywałowego - wykop 1 i 2 (oprac. R. Solecki i D. Skoczyłas)

Tabela 1. Wokiele, st. 1. Katalog warstw i obiektów oraz ich zależności stratygraficznych (oprac. R. Solecki)

Numer jednostki	Numer obiektu	Numer wykopu	Współrzędne X, Y (PUWG 1992)	Opis jednostki stratygraficznej	Barwa (Munsell)	Pozycja stratygraficzna	
						Znajduje się pod	Znajduje się nad
1	-	1, 2	X720969-720974; Y600745-600753	Piaszczysto-ilasta, humusowa ziemia; miąższość do 30 cm; humus leśny	10YR 4/2	-	2, 4, 9, 11
2	-	1	X720969-720974; Y600745-600753	Zwarty, ilasty piasek z niewielką domieszką substancji organicznych i pojedynczymi kamieniami średnicy do 10 cm; miąższość do 80 cm; nasyp wału grodziska	10YR 6/4	4, 7, 8, 9, 11	3
3	-	1	X720969-720974; Y600745-600753	Zwarty, ilasty piasek z pojedynczymi kamieniami średnicy do 10 cm; miąższość do 80 cm; nasyp wału grodziska	10YR 7/3	2, 4, 7, 8	5, 10
4	-	1	X720969-720971; Y600745-600747	Ilasty piasek z pojedynczymi kamieniami średnicy do 10 cm; miąższość do 30 cm; warstwa erozyjna nasypu wału	10YR 5/6	11	2, 3
5	-	1	X720969-720973; Y600745-600750	Zwarty, twardy, piaszczysty il; miąższość do 15 cm; warstwa naturalna	10YR 5/8	3, 7, 10	6
6	-	1, 2	X720969-720974; Y600745-600753	Zwarty, twardy, lekko piaszczysty il z pojedynczymi kamieniami średnicy do 45 cm; warstwa naturalna	10YR 6/3	5, 10, 14	-
7	8	1	X720971-720973; Y600748-600749	Lekko przemieszany ilasty piasek z pojedynczymi drobinami węgla drzewnego; miąższość do 60 cm; wypełnisko obiektu [8]	10YR 5/4	9	2, 3, 5, 6, 8, 10
8	8	1	X720971-720973; Y600748-600749	Uchwycony fragmentarnie wkop, prawdopodobnie kolisty w planie, U-kształtny w profilu; zanotowane wymiary to średnica 45 cm i głębokość do 60 cm; dół posadowy	-	7	2, 3, 5, 6, 10
9	-	1	X720970-720973; Y600748-600750	Ilasty piasek z domieszką substancji organicznych i pojedynczymi kamieniami średnicy do 15 cm; miąższość do 30 cm; warstwa erozyjna nasypu wału	10YR 5/4	1, 11	2, 3, 7
10	-	1	X720969-720974; Y600745-600753	Zwarty, twardy, piaszczysty il; miąższość do 15 cm; poziom użytkowy bezpośrednio poprzedzający sypanie wału	10YR 7/2	3, 7, 8	5, 6
11	-	1, 2	X720969-720974; Y600745-600753	Lekko ilasty piasek z wyraźną domieszką substancji organicznych i pojedynczymi kamieniami średnicy do 10 cm; miąższość do 25 cm; warstwa akumulacyjna narosła po opuszczeniu stanowiska	10YR 5/2	1	2, 4, 9, 12, 14
12	-	2	X720971-720974; Y600750-600753	Piaszczysty il z lekką domieszką substancji organicznych; miąższość do 10 cm; zapewne poziom użytkowy z okresu funkcjonowania grodziska	10YR 5/4	11	13, 14
13	-	2	X720971-720974; Y600750-600753	Zwarty, piaszczysty il z lekką domieszką substancji organicznych; miąższość do 15 cm; warstwa naturalna	10YR 5/6	12, 14, 15	6
14	15	2	X720971-720974; Y600750-600752	Lekko ilasty piasek z domieszką substancji organicznych; miąższość do 30 cm; wypełnisko obiektu [15]	10YR 4/4	11, 12	6, 13, 15
15	15	2	X720971-720974; Y600750-600752	Fragmentarnie uchwycony wkop; zanotowana szerokość do 55 cm i głębokość do 30 cm; prawdopodobnie zagłębienie przywałowe	-	14	6, 13

rystyczny ornament w formie pionowych karbów długości około 6 mm, położonych jeden przy drugim w odstępie około 1 mm od siebie i tworzących prawdopodobnie dookolny pas. Wykonano go zapewne przy pomocy radełka. Naczynia wykonane w tej samej technologii i analogicznie zdobione znane są chociażby z Ostródy, z warstwy datowanych na drugą połowę XIV wieku¹⁵, czy z Torunia z obiektu datowanego na XIV wiek¹⁶.

Zabytki wydzielone

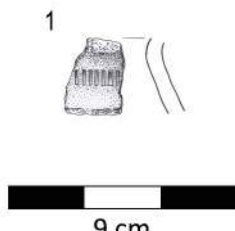
Zdecydowanie liczniejszą grupę tworzą zabytki metalowe lub ich fragmenty w liczbie 19, które pozyskano z warstwy humusu w trakcie przygotowywania powierzchni stanowiska do nieinwazyjnych badań geofizycznych. Lokalizację zabytków przedstawia ryc. 22.

Najliczniejszym typem zabytków w tej grupie są żelazne gwoździe lub ich fragmenty, których znaleziono łącznie 8 sztuk. Jest to jedyny typ zabytku metalowego, który występował na majdanie grodziska – w liczbie 5 sztuk. 3 gwoździe znalezione na obszarze grobli. Z tego zbioru 7 gwoździ można sklasyfikować według typologii zaproponowanej przez Łukasza Siczka¹⁷. 3 gwoździe (tabl. 1:1–3) należały do grupy E, ponieważ charakteryzują się wyraźnie i równomiernie wyodrębnioną główką w stosunku do ostrza. Interpretowane są jako uniwersalne łączniki. Dwa gwoździe (tabl. 1:4–5) można przypisać do grupy A, którą wyróżnia brak wyraźnie wyodrębnionej główka. Także są interpretowane jako uniwersalne łączniki. 2 gwoździe (tabl. 1:6–7) przypisano do grupy N, która wyróżnia się główką o dużych rozmiarach. Wykorzystywano je najczęściej jako gwoździe „ozdobne i wzmacniające drzwi i skrzynie”, ale także „do przybijania zawiasów i okuć” oraz „do mocowania

¹⁵ Gula 1975: 378–383.

¹⁶ Kola 1989: 108–110.

¹⁷ Siczek 2016.



Ryc. 21. Wokiele, st. 1. Fragment ceramiki z okresu średniowiecza (rys. B. Karch)

nia okuć kół wozu”¹⁸. Ostrze gwoździa wygięte w kształt litery U (tabl. 1:8) mogło spełniać funkcję skobla¹⁹.

Do grupy narzędzi można zaliczyć dwa narzędzia tnące. Przy opisie zostanie zastosowana terminologia zaproponowana przez Przemysława Michalika²⁰. Pierwsze narzędzie to fragment noża (tabl. 1:10) o zachowanej długości 106 mm. Ma on trzpień w formie listwy długości 43 mm, szerokości 18 mm i grubości 3 mm, na której znajduje się otwór na nit do mocowania okładziny. W obrębie główni krawędź tylca jest wyraźnie załamana w kierunku osi noża. Ostrze jest łukowate, lekko zagięte ku osi noża. Według klasyfikacji Gerharda Holtmanna, trzpień tego noża należy do grupy B.1.1., która zaczyna się upowszechniać około połowy XIV wieku²¹. Drugie narzędzie to najpewniej fragment główni półkoska lub sierpa (tabl. 1:11). Jego zachowana długość to 122 mm, a szerokość dochodzi do 35 mm. Krawędź tylca jest łukowato wygięta i lekko zachylona, tworząc na całej długości grzbiet wysokości około 4 mm. Krawędź ostrza jest zniszczona przez korozję. Narzędzia tego typu ulegały niewielkim zmianom na przestrzeni wieków – przykładowo zbliskojącą formę mają półkosek z Radomia, gm. *loco*, datowany na okres średniowiecza lub nowozytności²² i półkoski z Pakoszówki, gm. Sanok, datowane na okres lateński²³. W takim przypadku, zwłaszcza gdy zabytek jest uszkodzony, określenie jego szczegółowej chronologii jest problematyczne.

Rzadko spotykanym znaleziskiem jest brązowe okucie (tabl. 2:5). Ma ono postać kwadratowej, ażurowej blaszki o boku około 5 cm, w której wycięto i wyżłobiono stylizowany kwiat. Zabytkiem o podobnej formie jest okucie uprzedzy końskiej z cmentarzyska w Klin-covka, st. 1, datowane na około XI–XIII wiek²⁴. Zabytki o zbliżonym kształcie mogą być jednak także elementami ozdobnych opraw ksiąg²⁵.

¹⁸ Siczek 2016: 171–174.

¹⁹ Łukomiaik 2016: 142–143.

²⁰ Michalik 2007: 17–21.

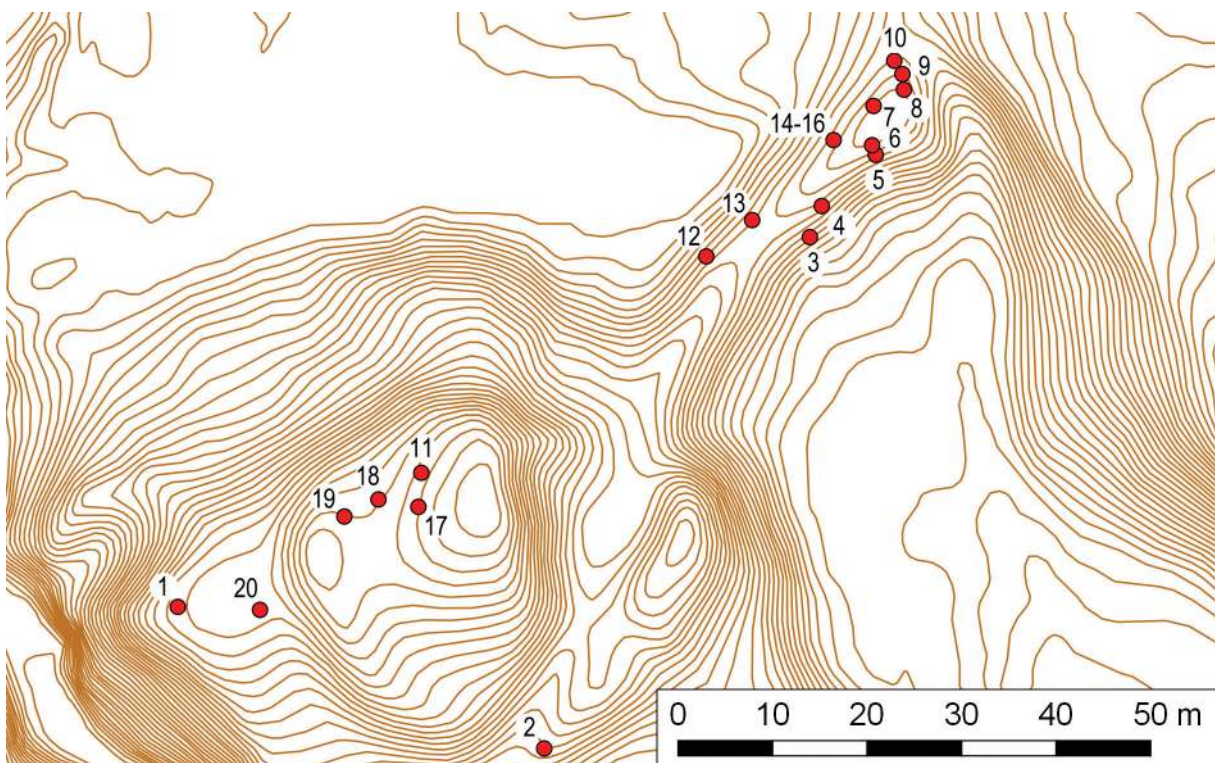
²¹ Holtmann 1993: 192–208.

²² Trzeciecki, Auch i Stańczuk 2020: 231, 466.

²³ Bochnak, Kotowicz i Opiełowska 2016: 215–222.

²⁴ Shiroukhov 2015: 260, 263; Kulakov 2018: 101–102.

²⁵ Kurpik 1982.



Ryc. 22. Wokiele, st. 1. Planigrafia zabytków pozyskanych z badań powierzchniowych: 1) ceramika (ryc. 20), 2) półkosek (tabl. 1:11), 3) gwóździe (tabl. 1:1), 4) nóż (tabl. 1:10), 5) podkowa (tabl. 2:1), 6) gwóździe (tabl. 1:3), 7) okucie brązowe (tabl. 2:5), 8) grudka aluminium (tabl. 1:9), 9) gwóździe (tabl. 1:2), 10) klamra szkutnicza (tabl. 2:8), 11) gwóździe (tabl. 1:6), 12) raki (tabl. 2:7), 13) sprzączka (tabl. 2:6), 14–16) wędzidło (tabl. 2:1) i kolce (tabl. 2:3–4), 17) gwóździe (tabl. 1:7), 18) gwóździe (tabl. 1:5), 19) gwóździe (tabl. 1:4), 20) zagięty gwóździe (tabl. 1:8) (oprac. J. Baszyński)

Problematycznym w interpretacji zabytkiem jest pręcik (tabl. 2:2) długości 102 mm, średnicy 7 mm, w którego centralnym odcinku znajduje się wygięte uszko długości 33 mm i szerokości 20 mm. Zabytek o takiej formie można interpretować jako fragment wędzidła munsztukowego. Taka forma, o silnie wygiętym kabłku, jest znana od okresu rzymskiego (ale nie z obszaru Polski)²⁶ i stosowana jest do czasów współczesnych. Na obszarze dzisiejszej Polski munsztuk mógł się pojawić już w pierwszej połowie XIII wieku²⁷. Opisywany przedmiot jest jednak dość krótki i mając na uwadze, że na jego końcach powinny być jeszcze zamontowane czanki, to mógłby pasować jedynie do pyska małego konia. Bardziej prawdopodobną interpretacją jest więc, że jest to ucho wiadra, którego ramiona z kolei są zazwyczaj krótsze – na przykład ucho wiadra z Opola, gm. *loco*²⁸, lub ze Szczecina²⁹. Zabytek o podobnie uformowanym uszku znaleziony w Plemiętach, gm. Gruta, został zinter-

pretowany jako skobel³⁰.

Ponadto na obszarze grobli znaleziono także:

- fragment podkowy (tabl. 2:1), który można zaliczyć do typu VI/3 według klasyfikacji Józefa Kaźmierczyka, który datowany jest generalnie na XIII–XV wiek³¹,
- żelazne raki (tabl. 2:7) o formie analogicznej do tej ze średniowiecznych warstw grodziska w Łodygowie, st. 1, gm. Kisielice³² i grodziska w Bachotku, gm. Brodnica³³,
- żelazną sprzączkę pasa w kształcie litery D (tabl. 2:6), o wymiarach 33×69 mm, dla której analogie znane są między innymi z Plemięt, gm. Gruta³⁴, z Fromborka, gm. *loco*³⁵. Konteksty znalezienia wspomnianych sprzączek datowane są na około XIV – początek XV wieku,
- klamrę szkutniczą (tabl. 2:8), którą według klasyfikacji Karel Vliermana można przy-

²⁶ Gawroński 2018: 315–319.

²⁷ Nowakowski 2003.

²⁸ Kaźmierczyk 1965: 486–488.

²⁹ Rulewicz 1984: 162–163.

³⁰ Kola 1985a: 69, 76.

³¹ Kaźmierczyk 1978: 97.

³² Kobylińska 2017e: 42–43.

³³ Grążawski 1988: 330–331.

³⁴ Kochanowski 1985: 165–171.

³⁵ Gajewska i Kruppé 1960: 96.



Tablica 1. Wokiele, st. 1. Zabytki wydzielone (fot. R. Solecki)



Tablica 2. Wokiele, st. 1. Zabytki wydzielone (fot. R. Solecki)

- pisać do typu E, który zaczyna być stosowany od około połowy XIV wieku³⁶.
- dwa żelazne pręciki (tabl. 2:3–4) długości 45 mm i średnicy 4 mm, których centralne odcinki oraz końce są lekko wygięte w tym samym kierunku, a końce dodatkowo ścinają się. Są najpewniej fragmenty ogniwka łańcucha. Analogiczne znane są z datowanej na około XIV – początek XV wieku wieży mieszkalnej w Plemiętach, gm. Gruta³⁷,
 - nieregularną grudkę aluminium (tabl. 1:10) będącą najpewniej zniszczoną, współczesną plombą towarową.

CHRONOLOGIA I DZIEJE GRODZISKA W WOKIELACH, ST. 1

RAFAŁ SOLECKI

Dotychczas chronologię grodziska w Wokielach określano jako wczesnośredniowieczną i wiązano je z osadnictwem pruskim. Chronologia ta była ustalona na podstawie opinii H. Crome³⁸, gdyż w trakcie przeprowadzonej w 2004 roku weryfikacji nie pozyskano żadnego materiału zabytkowego³⁹. Takie datowanie i afiliacja kulturowa powielane są w informacjach turystycznych dotyczących tego miejsca. Przykładem może być zapis na tablicy informacyjnej umieszczonej przy grodzisku „Staropruskie grodzisko określone przez miejscową ludność „szwedzkimi szańcami”. O pruskim pochodzeniu grodziska świadczą do dziś zachowane okoliczne nazwy wiosek takie jak: Kumkijmy, Wokiele czy Dulsin. Natomiast nawiązanie nazwy góry do czasów wojen szwedzkich, wiąże się z kompletnym wyludnieniem tych terenów w tamtym czasie i ponownym zasiedleniem nowymi osadnikami. Zerwana ciągłość historyczna spowodowała, że przekaz ustnej tradycji sięgał tylko do XVII wieku”⁴⁰.

Przeprowadzone w ramach projektu Katalog grodzisk Warmii i Mazur w 2019 roku badania archeologiczne wykazały, że możliwe jest wydzielenie co najmniej dwóch horyzontów chronologicznych użytkowania stanowiska. Najstarsze ślady osadnictwa – określone jako Faza I – zostały zidentyfikowane w W1

w postaci nasypu formującego wał oraz jednego dołu posłupowego. Z jednostek stratygraficznych wiązanych z tą fazą pozyskano tylko jeden fragment ceramiki, nieposiadający jednoznacznych cech diagnostycznych. Chronologię tej fazy ustalono natomiast na podstawie analizy radiowęglowej prób węgla. Pierwsza pochodziła w wypełniska dołu posłupowego. Wynik po kalibracji wskazał przedział lat 361–178 p.n.e. z prawdopodobieństwem 95,4%⁴¹. Druga próba pochodziła z nasypu wału. Wynik jej datowania po kalibracji wskazał przedział lat 507–362 p.n.e. z prawdopodobieństwem 95,4%⁴². Wynika stąd, że we wczesnej epoce żelaza, szacunkowo od końca okresu halsztackiego D aż po okres lateński C, na obszarze tym funkcjonowało osiedle obronne. Na obecnym etapie badań nie jest możliwe stwierdzenie, czy było to osadnictwo ciągłe, czy dwa krótsze epizody osadnicze. Nie jest możliwe także odtworzenie formy osiedla, gdyż obiekty i warstwy związane z tym horyzontem chronologicznym zostały silnie zniszczone w młodszych okresach.

Kolejna faza osadnicza widoczna jest w W1 i W2 i należy ją wiązać z wytworzeniem się poziomu użytkowego na obszarze majdanu. Z jednostki stratygraficznej wiązanej z tą fazą nie pozyskano żadnego materiału zabytkowego ani prób węgla, które mogłyby pomóc w określeniu chronologii.

W wyniku czyszczenia powierzchni stanowiska na potrzeby przeprowadzenia geofizycznych badań nieinwazyjnych natrafiono na liczne zabytki metalowe i jeden fragment ceramiki naczyniowej, które można generalnie datować na XIV–XV wiek. Ten horyzont osadniczy można wiązać z lokowaniem w 1339 roku wsi Gałajny⁴³. Nieco młodszą chronologię ma wzmianka datowana na 1415 rok, informująca o czynszu pobieranym z młyna znajdującego się we wsi *Gelien* – zapewne Gałajny, a także informacja z 1437 roku, informująca o czynszu pobieranym z młyna we wsi *Gelyen* oraz wsi *Comekaynen/Kumkeim* – zapewne Kumkijmy. W dokumencie z 1415 i 1437 roku jest także zaznaczone, że młyn

³⁶ Vlierman 1996: 29–42; Ossowski 2010: 45–46.

³⁷ Kola 1985a: 69, 78.

³⁸ Crome 1937: 109.

³⁹ Informacja z KEZA stanowiska Wokiele.

⁴⁰ Cytat z tablicy informacyjnej umieszczonej przy grodzisku Wokiele.

⁴¹ Analiza przeprowadzona w Poznańskim Laboratorium Radiowęglowym, próba nr Poz-118400.

⁴² Analiza przeprowadzona w Poznańskim Laboratorium Radiowęglowym, próba nr Poz-121117.

⁴³ Hein 1944: 183–184, dokument 255. W dokumencie tym wieś wymieniona jest pod nazwą *Gallehnen*.

we wsi *Gelien/Gelyen* stoi pusty⁴⁴. Prawdopodobnie więc w drugiej połowie XIV wieku obszar starszego osiedla obronnego został zadaptowany do pełnienia funkcji młyna wodnego, przynależnego do jednej z dwóch wymienionych wsi. Na taką interpretację wskazuje charakterystyczna forma założenia – grobla przegradzająca dolinę potoku na północny-wschód od stanowiska i spiętrzająca wodę (ryc. 9). Kanał ulgi widoczny jest w mikrotopografii terenu na granicy pomiędzy północnym krańcem grobli i krawędzią doliny (ryc. 10). By usypać wspomnianą groblę zniszczono częściowo wschodnią część starszego osiedla (ryc. 8). Młyn funkcjonował zapewne do początku drugiej dekady XV wieku (przy założeniu, że przynależał do wsi Gałajny) lub do połowy XV wieku (przy założeniu, że przynależał do wsi Kumkiejmy), gdyż nie jest wymieniany w młodszych źródłach. Zniszczeniu mógł ulec w wyniku wojny gło-

dowej z 1414 roku lub wojny trzynastoletniej z lat 1454–1466⁴⁵. Wojny te doprowadziły między innymi do znacznych zniszczeń starszego majątku w Gałajnach, który w połowie XVI wieku został założony powtórnie⁴⁶.

Na obecnym etapie badań nie jest możliwe jednoznaczne ustalenie, czy we wcześnie średniowieczu funkcjonowało w Wokielach grodzisko pruskie. W trakcie badań, w warstwach kulturowych nie natrafiono na materiał zabytkowy, który jednoznacznie można by wiązać z tym okresem. Jedynym wyjątkiem może być brązowe okucie, które jednak jest wyrokiem unikalnym i nie można wykluczyć, że powstało nieco później niż we wcześnie średniowieczu. Prace ziemne związane z aranżacją *plateau* majdanu w fazie II i wytworzeniem się warstwy kulturowej można łączyć z budową młyna w XIV wieku. Taka interpretacja stawiałaby pod znakiem zapytania istnienie grodziska pruskiego w Wokielach.

⁴⁴ *Comekaynen/Kumkeim*, Woria, Krei Balga i *Gelyen/Gelien*, Woria, Krei Balga [w:] Thielen 1958: 39 (dokument 146 i 147), 148, 155; Kubicki 2012: 311, 444, 465.

⁴⁵ Kubicki 2012: 311.

⁴⁶ Petraszko i Wakar 1987b: 288–289.

Woryny, st. 1

Gmina Górowo Iławeckie

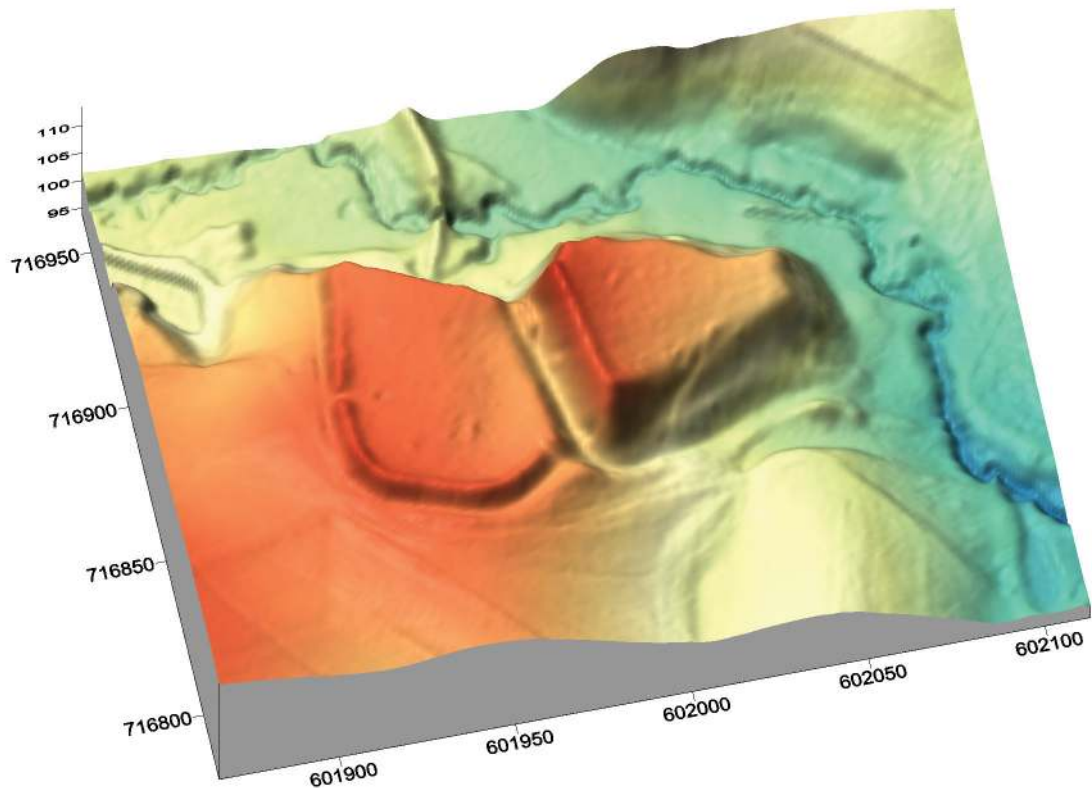
Powiat bartoszycki

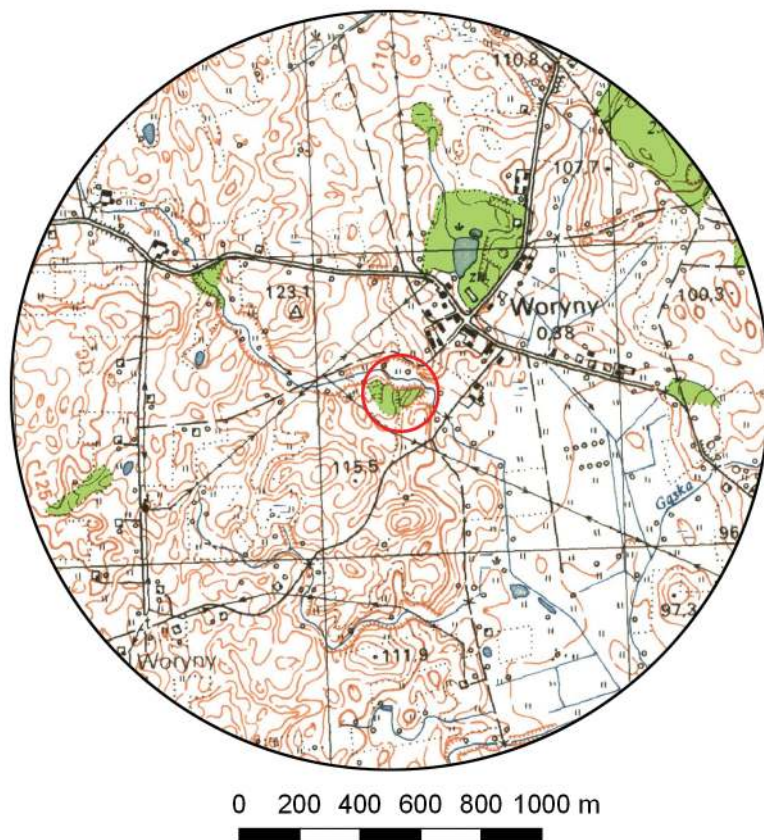
AZP 13-62/2

Współrzędne geograficzne:

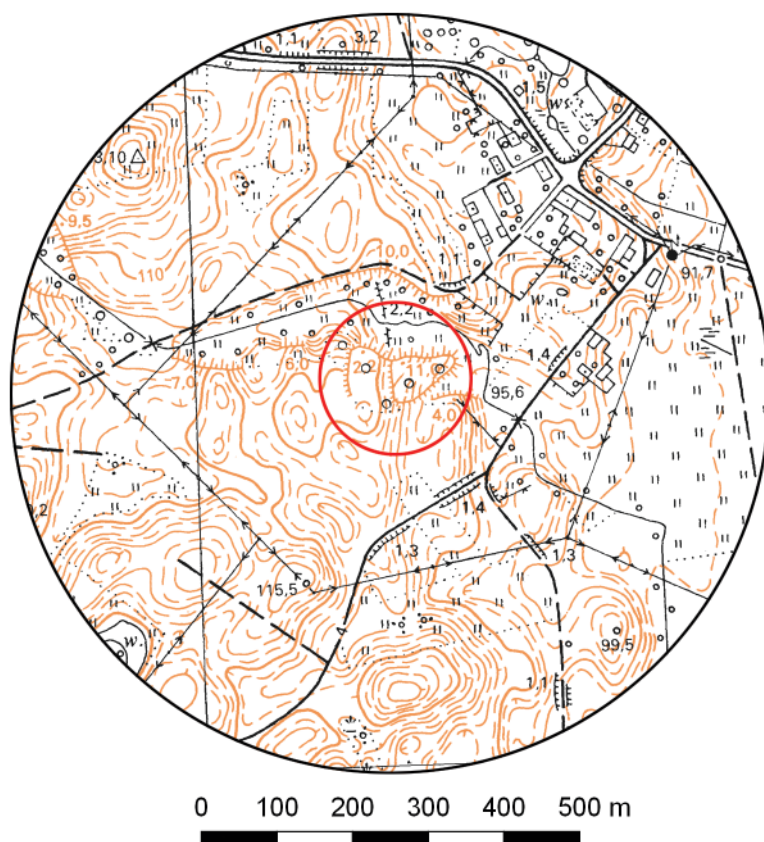
N 54° 18' 20''

E 20° 34' 05''





Ryc. 1. Grodzisko w Worynach, st. 1
na mapie w skali 1:25 000
(na podstawie materiałów GUGiK,
oprac. R. Solecki)



Ryc. 2. Grodzisko w Worynach, st. 1
na mapie w skali 1:10 000
(na podstawie materiałów GUGiK,
oprac. R. Solecki)

POŁOŻENIE GRODZISKA I JEGO FORMA

RAFAŁ SOLECKI

Grodzisko w Worynach (niem. *Worienen*), st. 1 zostało wpisane do rejestru zabytków decyzją C-107 z dnia 4 grudnia 1972 roku¹. Położone jest w odległości około 0,3 km na południowy zachód od wsi, na południowym, wysokim brzegu doliny bezimiennego strumienia, płynącego na wysokość grodziska w kierunku wschodnim i będącego dopływem rzeki Gąski.

Po raz pierwszy weryfikował je porucznik Johann Michael Guise w latach 30. XIX wieku. Na sporządzonym przez siebie szkicu zawarł dwa kwadratowe majdany otoczone wałami, rozzielone fosą, w obrębie której, przy północnym jej krańcu, znajdował się jakby sztuczny łącznik, pomost? (ryc. 3) Grodzisko, jako *Burgwall*, opisał Emil Hollack w swoim katalogu wydanym w 1908 roku, a także oznaczył je na dołączonej do publikacji mapie². Jako *Burgwall* grodzisko jest opisane także na *Mapie Taktycznej Polski* z 1928 roku³. Hans Crome w swej pracy z 1937 roku, opisał stanowisko, jako *Burgwall* i *Schloßberg*, a także przypisał mu chronologię wczesnopruską⁴.

¹ Informacja z Decyzji o wpisie dobra kultury do rejestru zabytków, dotyczącego grodziska we wsi Woryny, pow. bartoszycki.

² Hollack 1908: 187.

³ *Mapa Taktyczna Polski*, 1:100 000, karta Iława Pruska (Pas 31 Słup 31), z 1928 r.

⁴ Crome 1937: 110.

Po zakończeniu II wojny światowej, w 1969 roku, na stanowisku były prowadzone badania powierzchniowo-weryfikacyjne, kierowane przez Dariusza Czlonkowskiego. W 1996 roku plan warstwicowy grodziska wykonał Jacek Błaszczyk, a w 2004 roku KEZA sporządził Grzegorz Stasiełowicz⁵. Stanowisko nie było badane wykopaliskowo i nie pozyskano z jego obszaru żadnego materiału zabytkowego. Dotychczasowe ustalenia dotyczące chronologii były oparte najpewniej na analizie formy terenowej grodziska.

Sama wieś Woryny powstała najpewniej w pierwszej połowie XIV wieku. Poświadczona jest w dokumencie z 1340 roku, jako siedziba komornictwa – *cameratu Worin*⁶. Komornictwo to było częścią komturstwa bałgierskiego, które istniało już w 1251 roku⁷. W wykazie czynszów z 1415 i 1437 roku znajduje się informacja, że w Worynach, zapisywanych jako *Woria*, był pusty młyn⁸. Potwierdzeniem informacji o istnieniu młyna może być fakt, że Woryński Staw, znajdujący się na wschód od centrum wsi, nosił wcześniej nazwę *Mühlen Teich*, czyli staw młynski⁹. Taka nazwa znajduje się między innymi na planie z 1937 roku¹⁰.

⁵ Informacja z Ankiety Weryfikacyjnej NID, sporządzonej przez Hannę Mackiewicz w 2015 roku.

⁶ Hein 1944: 232 (dokument 333); Biskup 1983: 210–211.

⁷ Jóźwiak i Trupinda 2019: 103–107.

⁸ Kubicki 2013: 311, 537; Thielen 1958: 5–6 (dokument 24, 26, 28),

⁹ Leyding 1987: 28.

¹⁰ *Topographische Karte 1:25 000 (Meßtischblatt)*, karta Pr. Eylau (1689), z 1937 r.



Ryc. 3. Grodzisko w Worynach, st. 1 na szkicu J.M. Guise, lata 30. XIX wieku (źródło: Staatliche Museen zu Berlin, Museum für Vor- und Frühgeschichte, PM-IXh 001571)

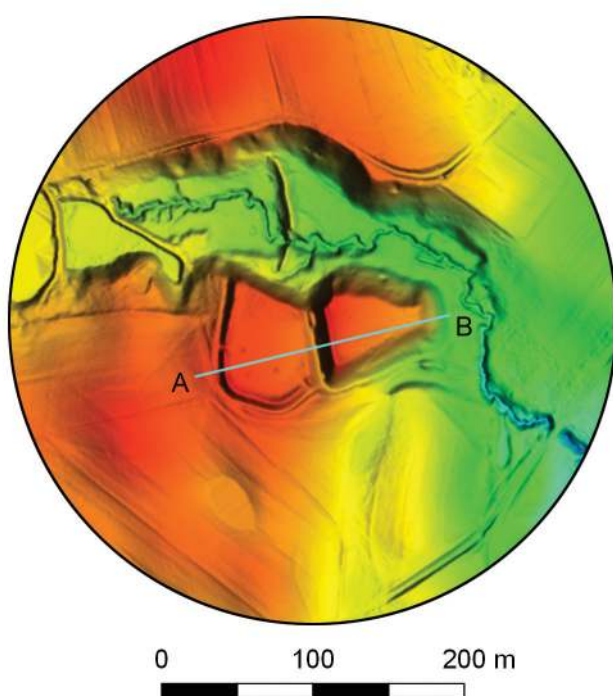
Stanowisko zajmuje cypel, który od północy i wschodu opływany jest wodami bezimiennego strumienia. W topografii wyraźnie czytelne są dwie części (ryc. 4–5):

- Majdan Górnny. Zajmuje on szczyt cypla, ma kształt nieregularnego trójkąta o podstawie około 40 m i wysokości 60 m. Jego powierzchnia wynosi około 17,5 ara. Umocnienia tego majdanu są czytelne tylko od strony zachodniej, gdzie graniczy on z Majdanem Dolnym. Umocnienie ma obecnie formę niedużego wału, którego szerokość u podstawy dochodzi do 4 m, a wysokość do 1 m (ryc. 6).
- Majdan Dolny. Znajduje się u nasady cypla i przylega od zachodu do Majdanu Górnego. Ma nieregularny owalny kształt o średnicy 50–80 m. Jego powierzchnia wynosi 29,5 a. Majdan otoczony jest od zachodu i południa za pomocą niedużego wału, którego szerokość u podstawy dochodzi do 7 m, a wysokość do 0,8 m. W linii tego wału

czytelne są dwie przerwy szerokości 4 m, które być może są śladami po przejściach bramnych. Brama I położona jest w części zachodniej, a Brama II w części południowo-wschodniej (ryc. 7).

Majdan Górnny i Dolny rozdzielone są suchą fosą (ryc. 8), której szerokość u szczytu dochodzi do 20 m. Różnica wysokości pomiędzy dnem fosy a poziomem Majdanu Dolnego dochodzi do 1,8 m, a różnica wysokości pomiędzy dnem fosy a szczytem wału Majdanu Górnego dochodzi do 5 m. W północnej części tej fosy czytelna jest niewielka, prostokątna w planie, górnka o wymiarach 3×8 m i wysokości do 0,5 m. Być może to relikt podstawy rampy łączącej Majdan Górnny i Dolny.

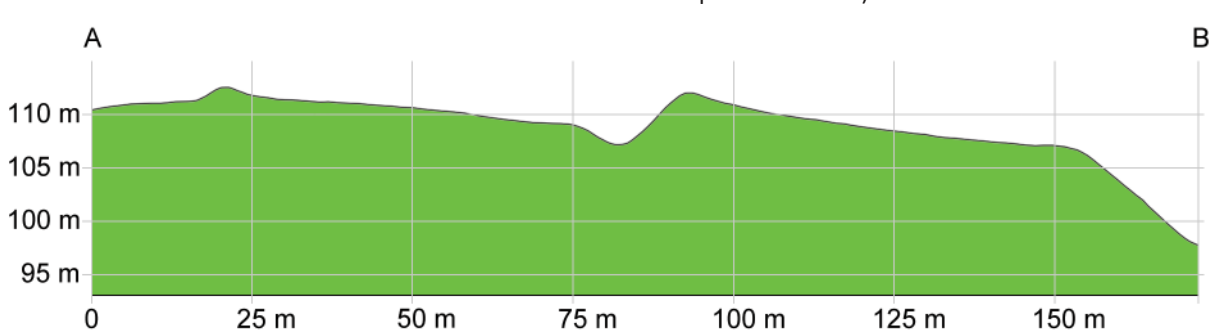
Majdan Dolny i południowy fragment Majdanu Górnego są dodatkowo otoczone suchą fosą i niewielkim wałem zewnętrznym, którego szerokość u podstawy dochodzi do 5 m, a wysokość do 0,4 m.



(po lewej)

Ryc. 4. Grodzisko w Worynach, st. 1

na zobrazowaniu ALS (na podstawie materiałów GUGiK, oprac. R. Solecki)



(u dołu)

Ryc. 5. Przekrój grodziska w Worynach, st. 1

uzyskany z danych ALS

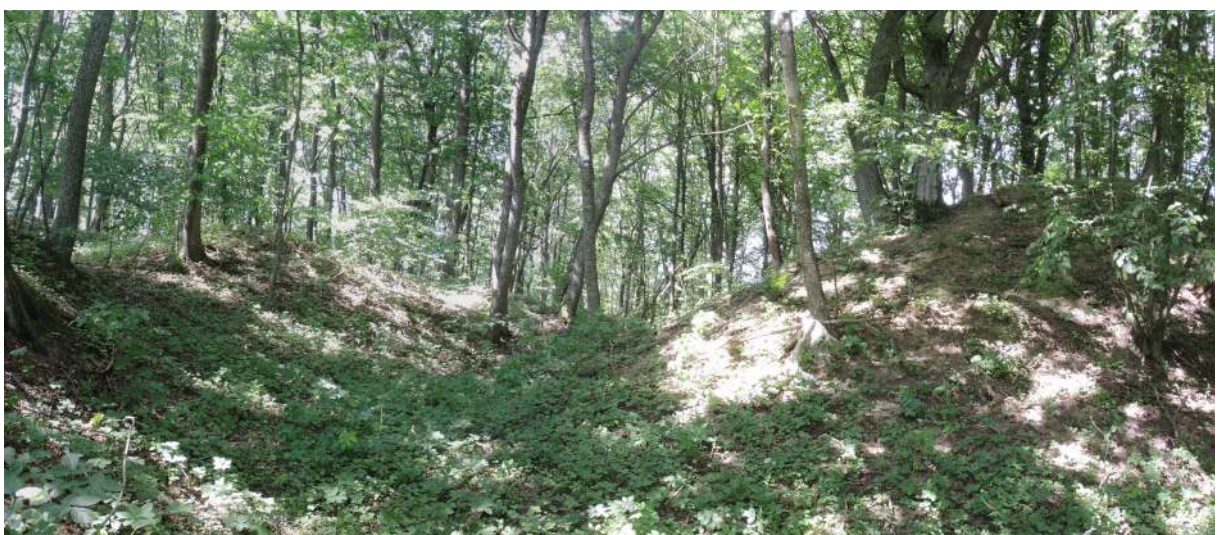
(na podstawie materiałów GUGiK, oprac. R. Solecki)



Ryc. 6. Woryny, st. 1. Widok na Majdan Górnny i jego wał (fot. R. Solecki)



Ryc. 7. Woryny, st. 1. Widok Majdan Dolny, po lewej strzałką oznaczona Brama II, a po prawej Brama I (fot. R. Solecki)

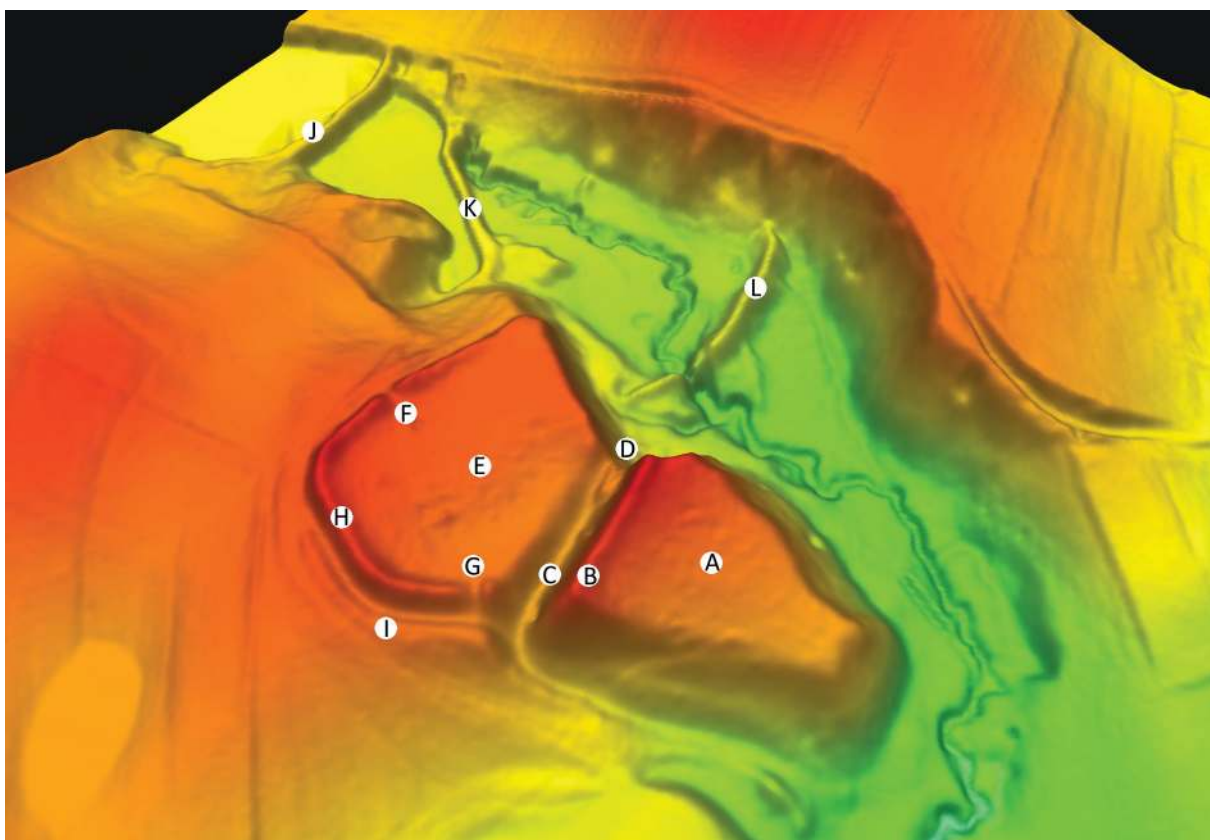


Ryc. 8. Woryny, st. 1. Widok na fosę rozdzielającą Majdan Górnny i Majdan Dolny (fot. R. Solecki)

Istotnym elementem otoczenia grodziska są trzy nasypy, przecinające dolinę strumienia na północ i północny zachód od stanowiska. Są to najpewniej groble usypane na potrzeby spiętrzania wody w celu wykorzystania jej do zasilania młyna. Dwa ze wspomnianych nasypów – środkowy i zachodni – nadal spełniają swoje funkcje, gdyż powyżej nich woda zbiera się, tworząc niewielkie stawy. W li-

nii grobli wschodniej, której szerokość u podstawy dochodzi do 12 m, a wysokość do 2,2 m, widoczne są dwie przerwy, z których jedna pełniła najpewniej funkcję kanału ulgi.

Wszystkie opisane elementy grodziska i jego otoczenia są wyraźnie czytelne w terenie (ryc. 8).



Ryc. 9. Woryny, st. 1. NMT z opisem wydzielonych elementów grodziska i jego otoczenia: A) Majdan Górnny, B) wał Majdanu Górnego, C) fosa rozdzielająca majdany, D) regularny nasyp w fosie rozdzielającej majdany, E) Majdan Dolny, F) Brama I, G) Brama II, H) wał Majdanu Dolnego, I) fosa i wał zewnętrzny, J–L) groble (oprac. R. Solecki)

ŚRODOWISKO FIZYCZNOGEOGRAFICZNE

ANNA LEJZEROWICZ

Według podziału fizycznogeograficznego Polski Jerzego Kondrackiego, grodzisko w Worynach, st. 1 znajduje się w mezoregionie Wzgórz Górowskich, na samej granicy z mezoregionem Nizina Sępopolska¹¹.

Pod względem geologicznym stanowisko znajduje się na synklinzie perybałtyckiej platformy wschodnioeuropejskiej. W podłożu czwartorzędzu występują osady morskie: oligocenu, eocenu, paleogenu i kredy. Najmłodszym na tym terenie zlodowaceniem był stadiał górnego zlodowacenia Wisły. Łądolód pozostawił zwarty poziom glin zwałowych o miąższości nawet do kilkudziesięciu metrów. Podczas deglacacji powstawały formy szczelinowe, kemy i pokrywy sandrowe. Lokalnie z brył martwego lodu spływały osady, które w niektórych miejscach utworzyły pokrywę gliniastą. Na przełomie plejstocenu i holocenełu doszło do erozji i denudacji krawędzi wysoczyzny. Stanowisko znajduje się na obszarze wysoczyzny morenowej falistej, której po-

wierzchnia jest urozmaicona pagórkami moren martwego lodu, kemów i form akumulacji szczelinowej. Według *Szczegółowej Mapy Geologicznej Polski* w skali 1:50.000 (arkusz Wojciech) na obszarze tym występują gliny zwałowe (ryc. 10)¹².

Stanowisko położone jest na wyraźnym wyniesieniu terenu, które otoczone jest strojnymi skarpami, zwłaszcza od strony północnej, wschodniej i południowo-wschodniej. Skarpy pagórka częściowo schodzą w kierunku opływającej stanowisko od północy i od wschodu rzeki. Samo stanowisko można podzielić na dwie części: wschodnią położoną zdecydowanie wyżej nad poziomem morza niż część zachodnia, przy czym obie części mają płaskie powierzchnie. Stanowisko ma lekko wydłużony kształt, o rozciągłości na osi wschód-zachód, rozcięty wąwozem ułożonym na osi północ-południe, który to wąwóz schodzi na północy do opływającej stanowisko rzeki i umożliwia odpływ wód opadowych. Dokładną morfologię obszaru można zaobserwować na obrazowaniu danych ALS i przekroju morfologicznym (ryc. 4, 9 i 12).

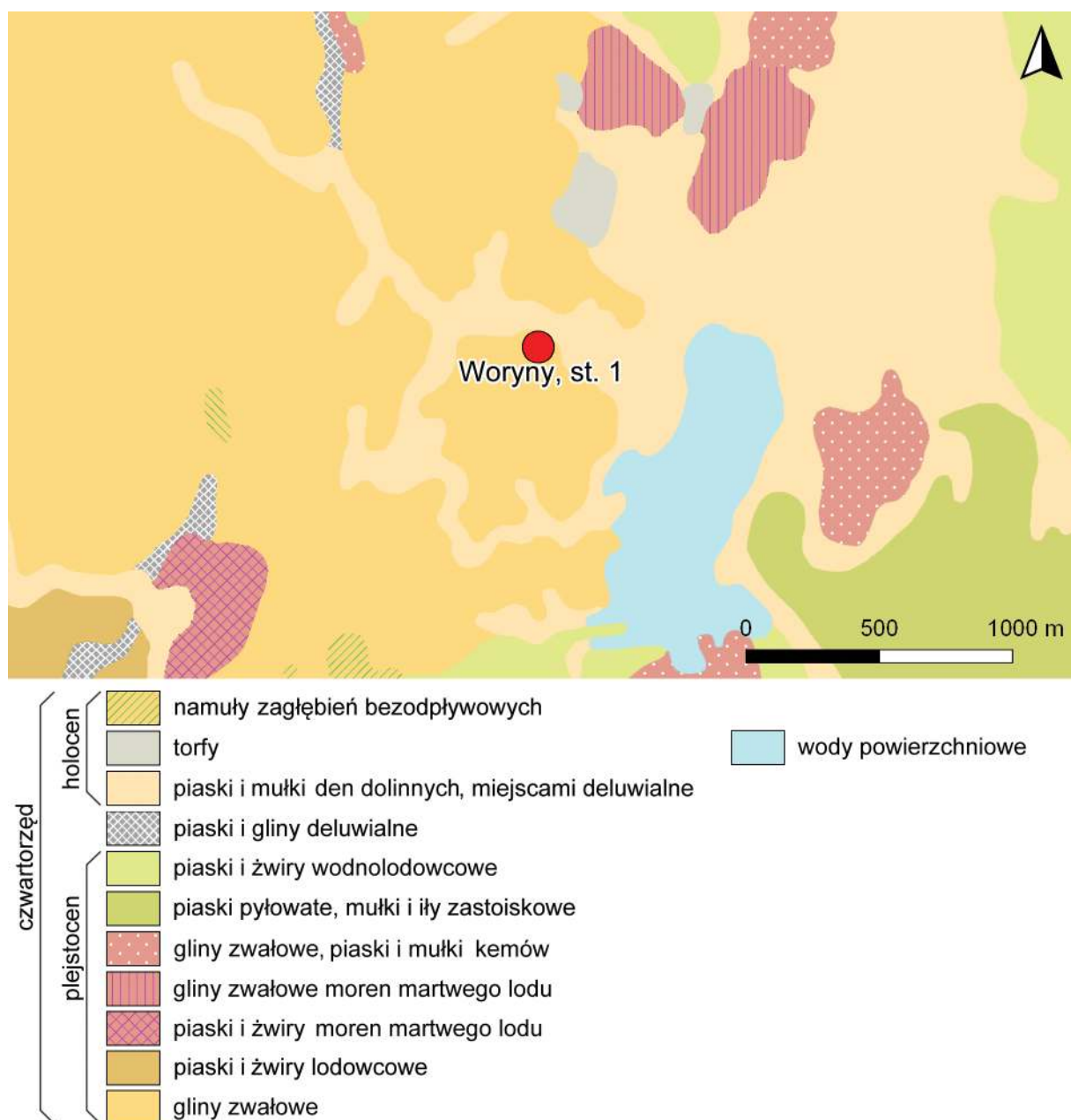
¹¹ Kondracki 2002: 100–102.

¹² Giemza 2015a: 23–28.

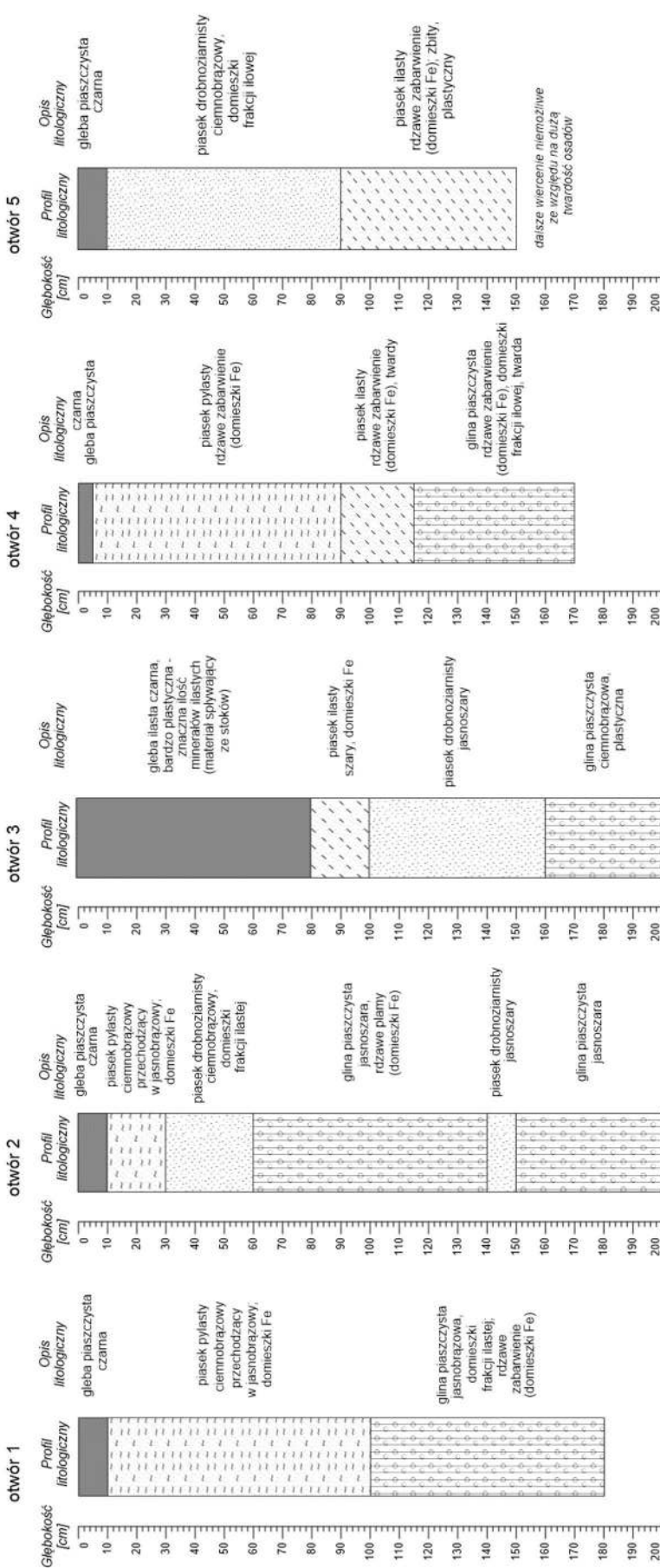
Na obszarze grodziska w Worynach, st. 1, wykonano pięć wierceń sondą ręczną do głębokości 2 m, w celu rozpoznania budowy geologicznej. W wierceniach zaobserwowało się występowanie osadów piaszczystych oraz pylastycznych (piaski drobnoziarniste, piaski ilaste i pylaste), jak również nawiercone gliny piaszczyste oraz osady spływowo bogate we frakcję ilową i organicę. Szczegółowa litologia jest widoczna oraz została opisana na poszczególnych profilach wierceń (ryc. 11). Na podstawie wykonanych wierceń stworzony został schematyczny przekrój geologiczny przez stanowisko (ryc. 12).

Wykonane wiercenia potwierdzają obecność glin piaszczystych (zwałowych), jak

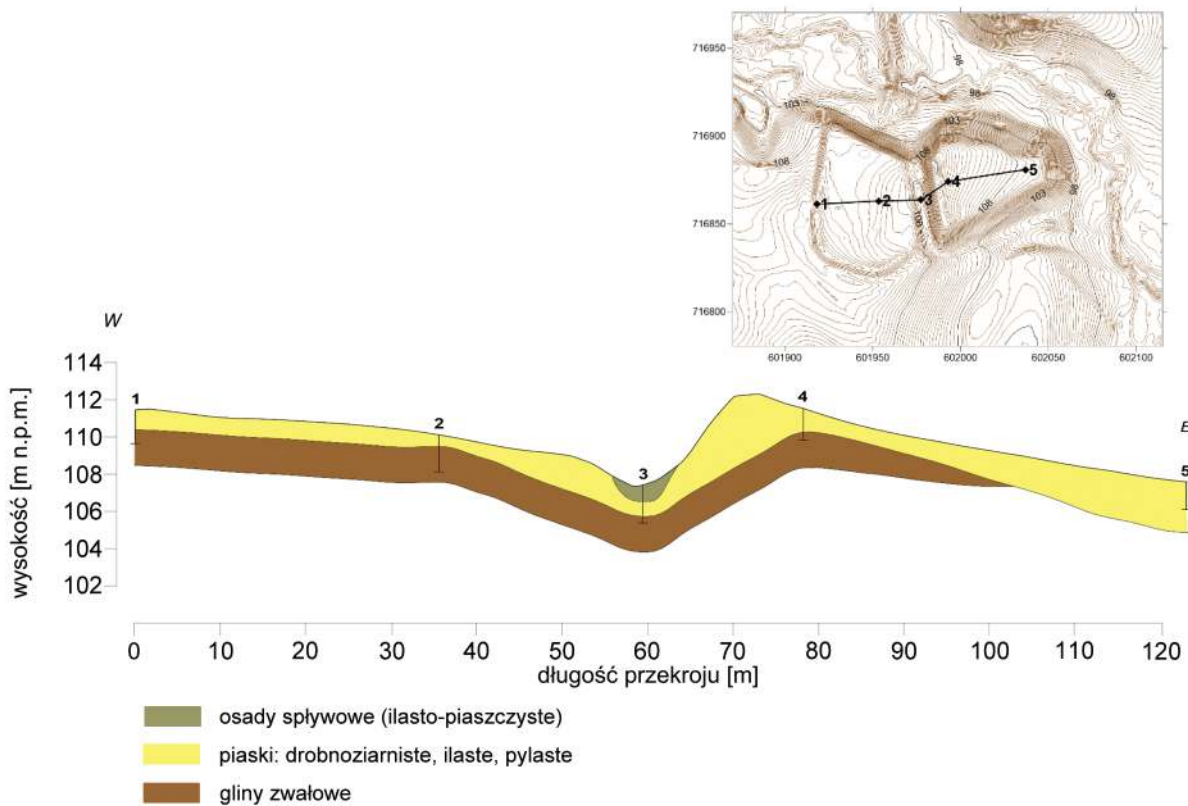
również piasków i żwirów. Lokalnie osady te zawierają związki żelaza, co nadaje im rdzawe zabarwienie. Dodatkowo w obniżeniu rocinającym stanowisko zaobserwowano miąższą warstwę osadów ilasto-piaszczystych ze znaczną zawartością materii organicznej, charakteryzujących się dużą plastycznością (wiercenie nr 3). Osady te najprawdopodobniej powstały w wyniku wymywania przez wody opadowe i spływanie osadów z terenów wyżej położonych do tego obniżenia terenu. Nawiercone w części otworów osady zawierające większą ilość frakcji ilowej charakteryzowały się dużą twardością, co bardzo utrudniało wiercenie i uniemożliwiło dowierczenie się do zaplanowanej głębokości.



Ryc. 10. Wycinek arkusza Szczegółowej Mapy Geologicznej Polski z zaznaczonym stanowiskiem w Worynach, st. 1 (źródło: www.cbdgmapa.pgi.gov.pl/arcgis/services/kartografia/smgp50k/MapServer/WMServer, oprac. A. Lejzerowicz)



Ryc. 11. Profile litologiczne odwiertów wykonanych na obszarze grodziska w Worynach, st. 1
(oprac. A. Lejzerowicz)



Ryc. 12. Schematyczny przekrój geologiczny przez grodzisko w Worynach, st. 1 (oprac. A. Lejzerowicz)

BADANIA ARCHEOLOGICZNE RAFAŁ SOLECKI I FABIAN WELC

Przebieg badań terenowych

Stanowisko porośnięte jest rzadkim lasem liściastym, dzięki czemu możliwe było wytyczenie poligonów do geofizycznych badań nieinwazyjnych. Prospekcji poddano jednak tylko obszar Majdanu Górnego, gdyż na Majdanie Dolnym w wielu miejscach znajdowały się dzikie wysypiska śmieci, w tym metalowych, które generowałyby silne zakłóczenia podczas wykonywania pomiarów, co wpłynęłoby negatywnie na późniejszą interpretację.

Poligon badań nieinwazyjnych miał wymiary 18×30 m (ryc. 13). W jego obrębie wykonano badania z wykorzystaniem metody georadarowej (z wykorzystaniem georadaru Mala Ground Explorer) i magnetycznej (z wykorzystaniem magnetometru transduktorowego Grad 602 firmy Bartington). Pomiarami georadarowymi wykonano z użyciem anteny o częstotliwości 450 MHz, co dało skuteczny zasięg głębokościowy sięgający około 3 m. Dzięki analizie geometrii ramion hiperbol dyfrakcyjnych wyznaczono uśredzoną

prędkość propagacji fali w lokalnym ośrodku geologicznym na 0,1 m/ns. Prędkość taką mają fale przechodzące przez piaski i piaski gliniaste. W ten sposób zadokumentowano 46 równoległych profilów, oddalonych od siebie o stały interwał odległościowy wynoszący 0,4 m.

Badania georadarowe wykazały, że do głębokości około 1 m, jak również i poniżej, znajdują się jedynie chaotycznie rozkładające się strefy wzmacniania sygnału (ryc. 14). Anomalie te są najprawdopodobniej efektem akumulacji materiału gruboziarnistego, w tym szczególnie obecności większych kamieni. Wydłużone anomalie należy wiązać z kolei z obecnością struktur korzeniowych większych drzew, ale mogą być one także efektem działania zwierząt. Szczególnie dotyczy to krótkich, owalnych w kształcie anomalii, które mogą być echem wypełnienia głębokich jam zwierzęcych. Opisane zespoły anomalii kontynuują się do głębokości około 2 m, co zdaje się potwierdzać, że są one efektem procesów geologicznych i naturalnych, i nie można ich wiązać z aktywnością człowieka. W celu zweryfikowania najczytelniejszej z uchwyconych

anomalii (ryc. 14:A) w jej miejscu wytyczono wykop archeologiczny W4.

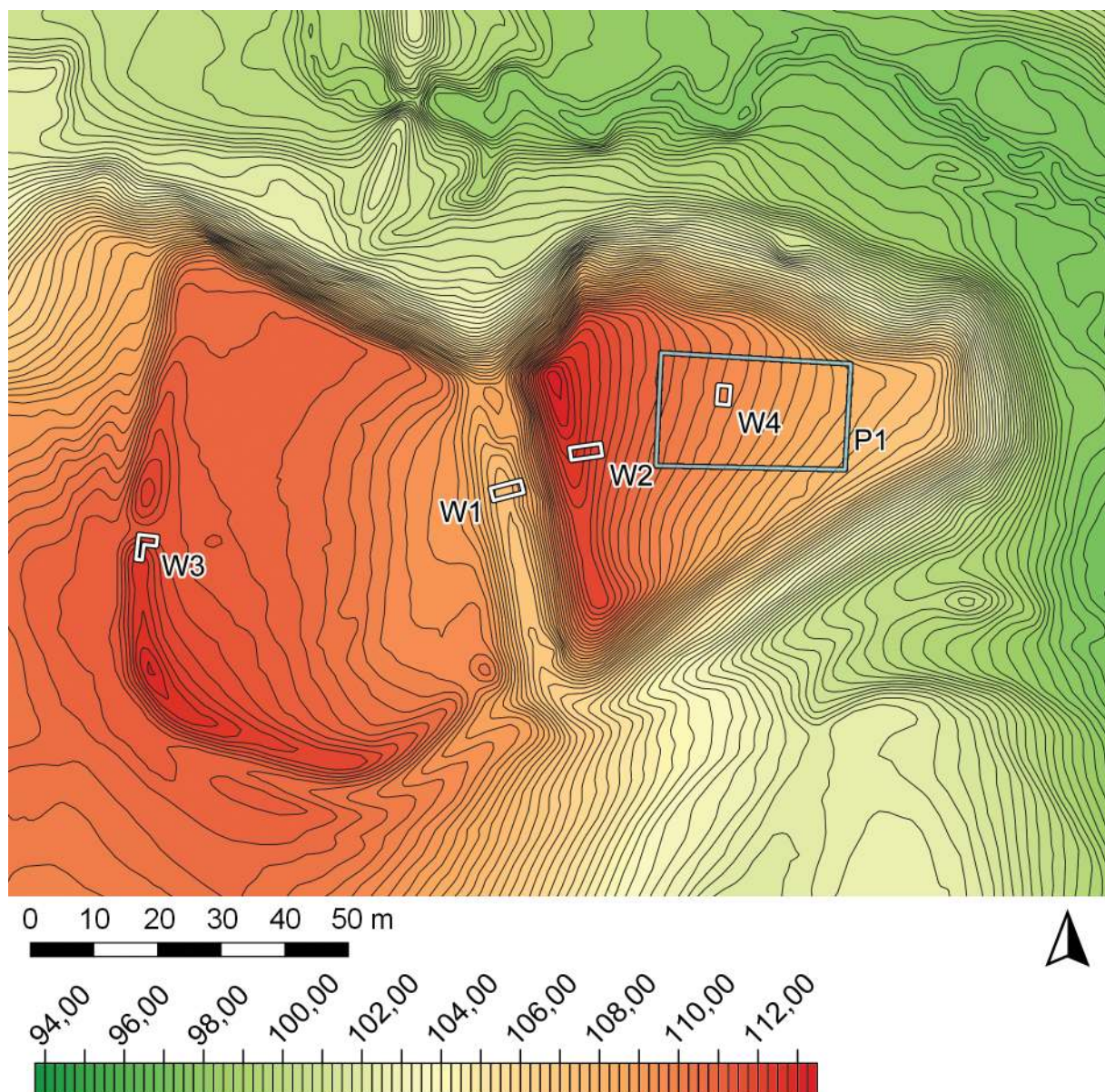
Na otrzymanej mapie rozkładu anomalii magnetycznych (ryc. 15) zwracają uwagę punktowe anomalie dipolowe, układające się w regularny kształt zbliżony do kwadratów. W miejscach tych zarejestrowano wbite w ziemię żelazne, współczesne kołki związane zapewne z wypasem zwierząt. Pozostałe anomalie dipolowe o mniejszej średnicy mogą być generowane przez inne, mniejsze, lub zaledwie głębiej przedmioty metalowe. Ostatnim typem anomalii widocznych na analizowanym planie są ovalne punkty z mniejszą amplitudą natężenia pola magnetycznego, którymi charakteryzują się między innymi wypełnienia organiczne jam – w tym wypadku zapewne zwierzęcych. Brak jest widocz-

nych, jednoznacznych śladów zasiedlenia stanowiska.

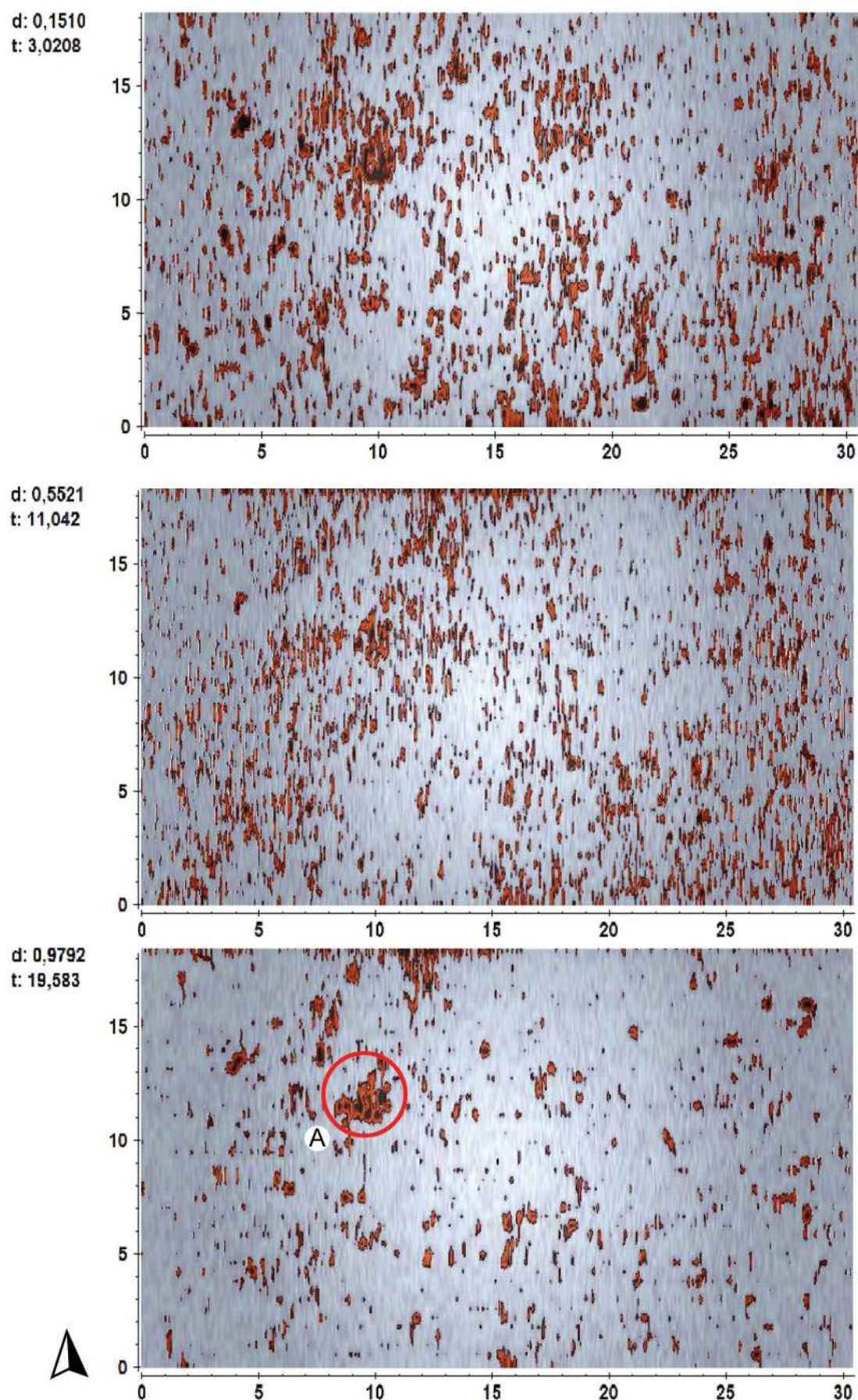
Planując rozpoznanie stanowiska wytyczono cztery wykopy archeologiczne (ryc. 13): pierwszy (W1), o wymiarach 2×5 m, przecinał fosę rozdzielającą Majdan Górnego i Dolny, drugi (W2), o wymiarach 2×5 m, przecinał wał Majdanu Górnego, trzeci (W3), L-kształtny o powierzchni 14 m^2 , umiejscowiony został w obrębie Bramy I, a czwarty (W4), o wymiarach 2×3 m, wytyczono na Majdanie Górnym, w celu rozpoznania kolistej anomalii wykrytej metodą GPR.

Stratygrafia stanowiska

W trakcie omawianych badań archeologicznych wydzielono łącznie 20 jednostek stratygraficznych (tabela 1). Możliwe było ich roz-



Ryc. 13. Woryny, st. 1. Plan grodziska z naniesionymi wykopami archeologicznymi (kolor biały) i poligonom badań nieinwazyjnych (kolor niebieski) (oprac. R. Solecki)



Ryc. 14. Woryny, st. 1. Plany GPR w obrębie poligonu dla przedziału głębokości od 0,15 do 0,97 m
(oprac. F. Welc)

dzielenie pomiędzy warstwy naturalne i trzy fazy „użytkowe”. Diagram Harrisa dla wydzielonych jednostek stratygraficznych przedstawia ryc. 21, a zadokumentowane powierzchnie ryc. 16–20.

Warstwy naturalne

W trakcie badań jako jednostki naturalne zidentyfikowano: w W1 piaszczystą glinę 5, w W2 piaszczystą glinę 11, w W3 ilasty piasek 17 i lekko ilasty piasek 16 z domieszką materii organicznej, a w W4 czarny, twardy piasek 20 i piasek 19 z domieszką żwiru i pojedynczymi, drobnymi kamieniami, tworzący lokalnie występującą soczewkę. We wszystkich tych warstwach czytelne były żelaziste wytrącenia. Warstwa 16 to prawdopodobnie relikt paleogleby z okresu poprzedzającego budowę umocnień. Soczewka 19 wygenerowała z kolei anomalię widoczną na planie GPR (ryc. 14:A).

Faza I

Faza ta wyznacza okres budowy grodu i jego użytkowania w okresie średniowiecza.

W okresie tym najpewniej przeprowadzono duże prace ziemne, które doprowadziły do całkowitej zmiany pierwotnego kształtu cypla, na którym znajduje się gród. W W2 czytelne są warstwy gliny 9 z silnymi, żelazistymi wytrąceniami i przemieszaną, lekko piaszczystą gliną 8, tworzące nasyp wału wyznaczającego zachodnią granicę Majdanu Górnego. Nasyp ten zachował się do wysokości 105 cm. Pierwotnie był zapewne wyższy i być może umocniony konstrukcją drewnianą, gdyż na jego stoku od strony majdanu czy-

telna jest warstwa erozyjna lekko ziemiste-go, ilastego piasku 10, w którym występowały pojedyncze drobiny węgla drzewnego. Próbę tego węgla przekazano do analizy radiowęglowej. Wynik tej analizy dał po kalibracji przedział lat 978–1151 n.e. z prawdopodobieństwem 95,4%¹³. W W3 czytelny z kolei jest nasyp wału wyznaczającego obszar Majdanu Dolnego, który zachował się do wysokości około 100 cm. Tworzył go przemieszany, ilasty piasek 13, w którym natrafiono na pojedyncze drobiny węgli drzewnych. Próbę tego węgla także przekazano do analizy radiowęglowej. Wynik tej analizy dał po kalibracji przedział lat 1179–1278 n.e. z prawdopodobieństwem 95,4%¹⁴.

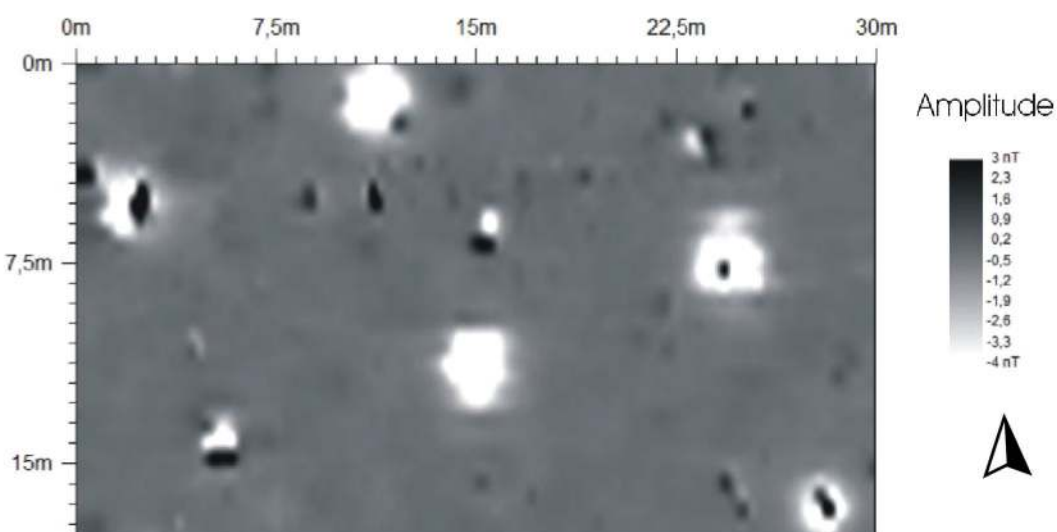
Z użytkowaniem grodu można łączyć warstwy uchwycone w Bramie I: piasek z dużą domieszką materii organicznej 14 o miąższości do 15 cm oraz zalegający w jego obrębie luźny bruk 15 z kamieni o średnicy do 20 cm. Był to zapewne poziom użytkowy.

W W1, w obrębie fosy rozdziały Majdan Górnego i Dolny wydzielono glinę 4 i gliniasty, ziemisty piasek 6 z pojedynczymi kamieniami średnicy do 10 cm. Warstwy te wyznaczały najpewniej poziom użytkowy. W ich obrębie występowały liczne drobne węgle drzewne. Próbę węgla z warstwy 6 przekazano do analizy radiowęglowej. Wynik tej analizy dał po kalibracji przedział lat 1285–1397 n.e. z prawdopodobieństwem 95,4%¹⁵.

¹³ Analiza przeprowadzona w Poznańskim Laboratorium Radiowęglowym, próba nr Poz-127456.

¹⁴ Analiza przeprowadzona w Poznańskim Laboratorium Radiowęglowym, próba nr Poz-127521.

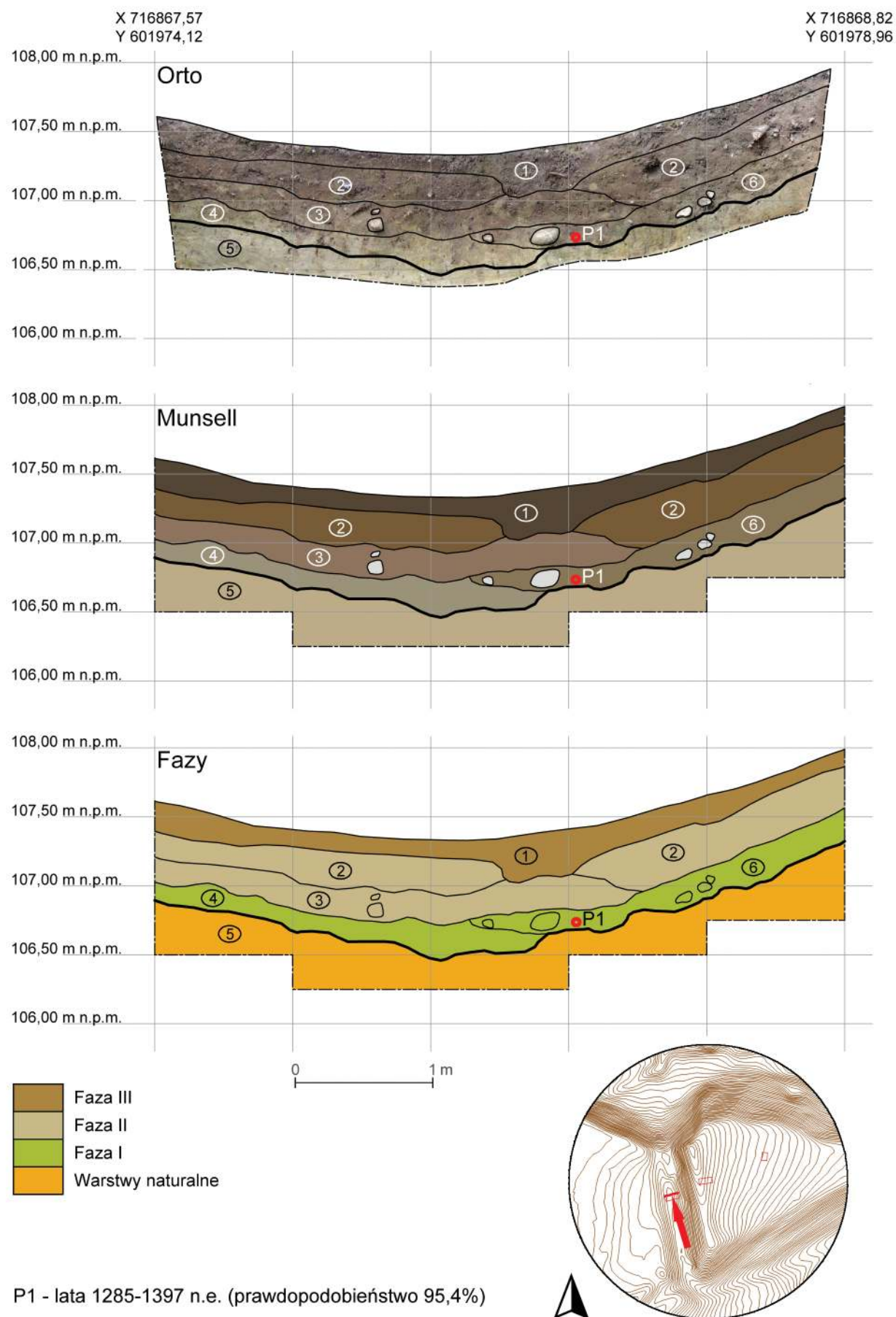
¹⁵ Analiza przeprowadzona w Poznańskim Laboratorium Radiowęglowym, próba nr Poz-127872.



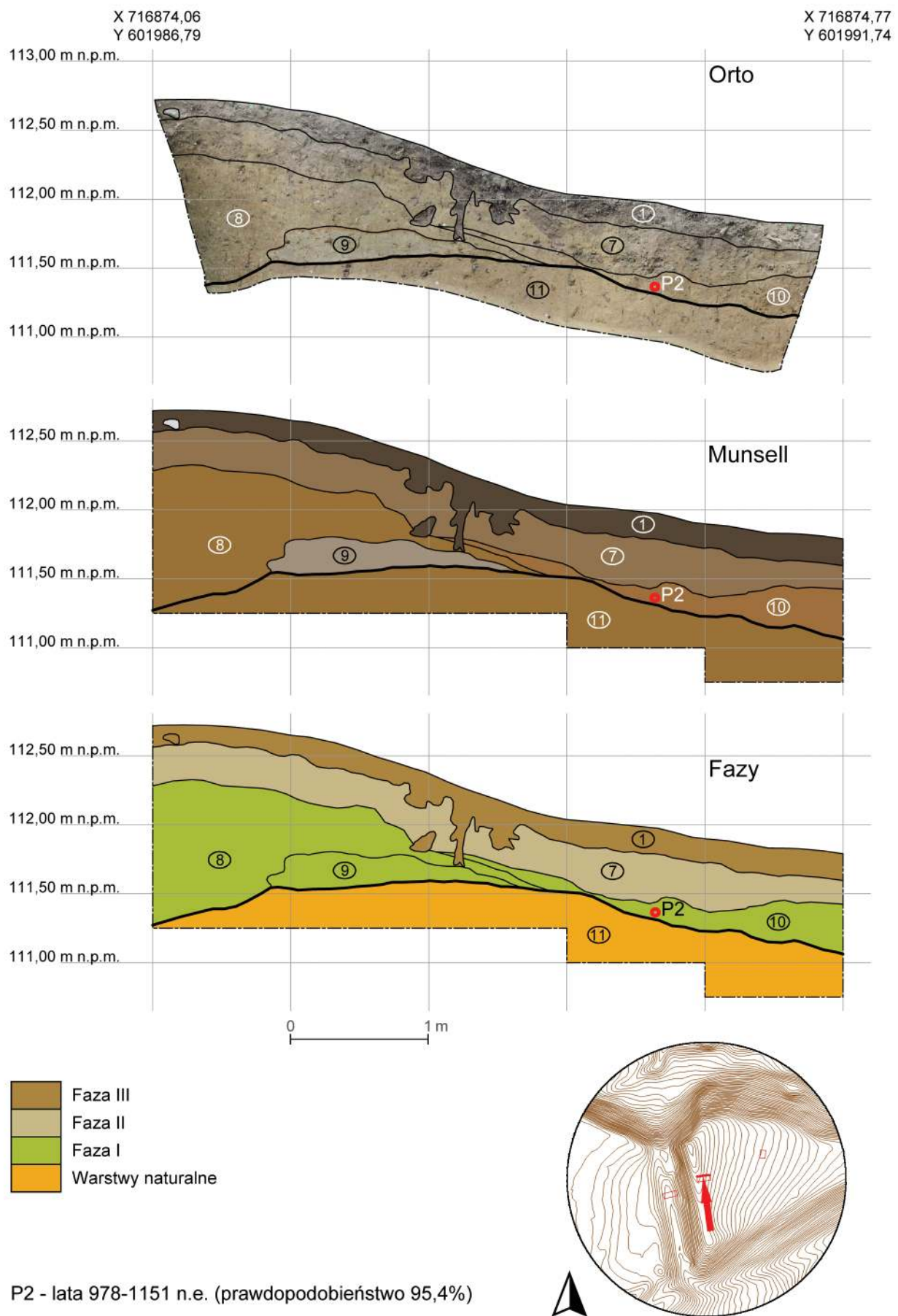
Ryc. 15. Woryny, st. 1. Plan z pozytywowym rozkładem anomalii magnetycznych (oprac. F. Welc)

Tabela 1. Woryny, st. 1. Katalog warstw i obiektów oraz ich zależności stratygraficznych (oprac. R. Solecki i J. Świda)

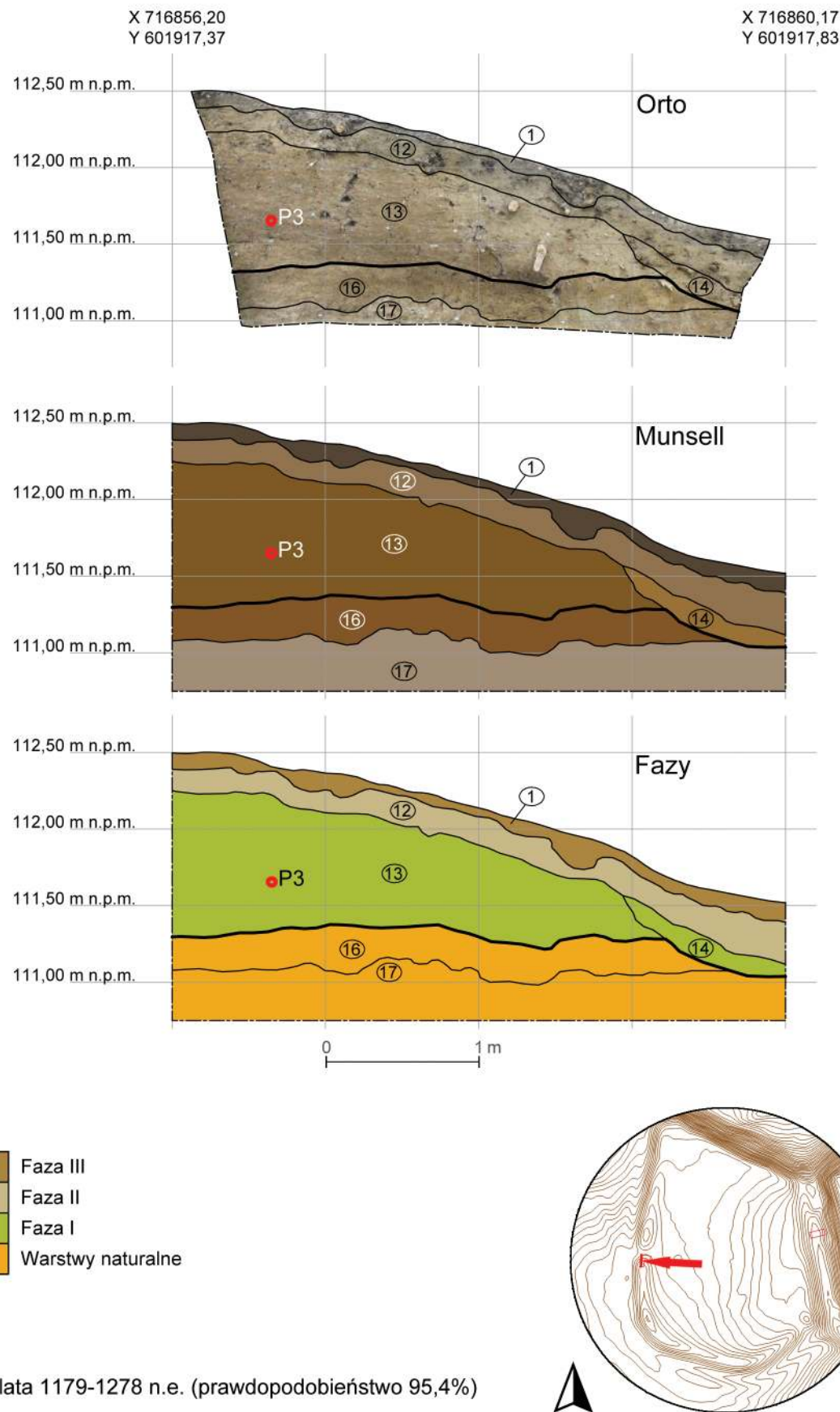
Numer jednostki	Numer obiektu	Numer wykopu	Położenie w obrębie stanowiska	Współrzędne geodezyjne (PUWG 1992)	Opis jednostki stratygraficznej	Barwa (Munsell)	Pozycja stratygraficzna	
							Zdaje się pod	Znajduje się nad
1	-	1, 2, 3, 4	Obszar całego stanowiska	X=716856,0-716884,2; Y=601917,2-602012,7	Ciemna, mocno organiczna, gliniasta ziemia; miąższość do 35 cm; humus leśny	10YR 3/2	-	2, 7, 12, 18
2	-	1	Fosa pomiędzy Majdanem Górnym i Dolnym	X=716865,6-716868,9; Y=601974,0-601979,5	Lekko gliniasty, ziemisty piasek; miąższość do 40 cm; warstwa erozyjna	10YR 4/4	1	3, 6
3	-	1	Fosa pomiędzy Majdanem Górnym i Dolnym	X=716865,6-716868,6; Y=601974,0-601978,4	Lekko gliniasta, lekko piaszczysta ziemia z grudami jasnej gliny; miąższość do 25 cm; warstwa erozyjna	7,5YR 5/3	1, 2	4, 5
4	-	1	Fosa pomiędzy Majdanem Górnym i Dolnym	X=716865,6-716868,5; Y=601974,0-601978,3	Glina z drobinami węgli drzewnych; miąższość do 25 cm; poziom użytkowy w obrębie fosy pomiędzy Majdanem Górnym i Dolnym	5Y 6/2	3, 6	5
5	-	1	Fosa pomiędzy Majdanem Górnym i Dolnym	X=716865,6-716868,9; Y=601974,0-601979,5	Piaszczysta glina ze smugami żelazistych wytrąceń; warstwa naturalna	2,5Y 7/3	4, 6	-
6	-	1	Fosa pomiędzy Majdanem Górnym i Dolnym	X=716865,6-716868,9; Y=601974,0-601979,5	Gliniasty, ziemisty piasek z pojedynczymi kamieniami średnicy do 10 cm; miąższość do 30 cm; poziom użytkowy w obrębie fosy pomiędzy Majdanem Górnym i Dolnym	2,5Y 5/3	2, 3	4, 5
7	-	2	Wał Majdanu Górnego	X=716872,0-716874,8; Y=601986,7-601992,1	Lekko ilasty piasek poprzeraстany korzeniami; miąższość do 35 cm; warstwa erozyjna	10YR 5/4	1	8, 10
8	-	2	Wał Majdanu Górnego	X=716872,0-716874,5; Y=601986,7-601990,6	Przemieszana, lekko piaszczysta glina; miąższość do 105 cm; nasyp wału Majdanu Górnego	10YR 5/6	7, 10	9, 11
9	-	2	Wał Majdanu Górnego	X=716872,0-716874,5; Y=601986,7-601990,6	Glina z silnymi, żelazistymi wytrąceniami; miąższość do 30 cm; nasyp wału Majdanu Górnego	10YR 6/2	8	11
10	-	2	Wał Majdanu Górnego	X=716872,1-716874,8; Y=601987,9-601992,1	Lekko ziemisty, ilasty piasek; miąższość do 40 cm; spływ z wału Majdanu Górnego	7,5YR 5/6	7	8, 11
11	-	2	Wał Majdanu Górnego	X=716872,0-716874,8; Y=601986,7-601992,1	Piaszczysta glina z silnymi żelazistymi wytrąceniami; warstwa naturalna	10YR 5/6	8, 9, 10	-
12	-	3	Wał Majdanu Dolnego	X=716856,0-716860,2; Y=601917,3-601920,8	Ilasty, próchniczy piasek; miąższość do 25 cm; warstwa erozyjna	10YR 5/4	1	13, 14
13	-	3	Wał Majdanu Dolnego	X=716856,0-716859,7; Y=601917,3-601920,3	Przemieszany, ilasty piasek; miąższość do 100 cm; nasyp wału Majdanu Dolnego	10YR 4/6	1, 12, 14	16
14	-	3	Wał Majdanu Dolnego	X=716858,2-716860,2; Y=601917,6-601920,8	Piasek z dużą domieszką materii organicznej; miąższość do 15 cm; poziom użytkowy w obrębie przejścia bramnego	10YR 5/6	12, 15	13
15	-	3	Wał Majdanu Dolnego	X=716858,2-716860,2; Y=601917,6-601920,8	Pojedyncze kamienie średnicy do 20 cm występujące w obrębie warstwy 14; element utwardzenia poziomu użytkowego w obrębie przejścia bramnego	-	12	14
16	-	3	Wał Majdanu Dolnego	X=716856,0-716860,2; Y=601917,3-601920,8	Lekko ilasty piasek z domieszką materii organicznej; miąższość do 30 cm; paleoleba z okresu poprzedzającego usypanie wału wokół Majdanu Dolnego	7,5YR 4/6	13, 14	17
17	-	3	Wał Majdanu Dolnego	X=716856,0-716860,2; Y=601917,3-601920,8	Ilasty piasek z żelazistymi wytrąceniami; warstwa naturalna	7,5YR 6/3	16	-
18	-	4	Majdan Górnny	X=716880,9-716884,2; Y=602010,3-602012,7	Ilasty piasek z dużą domieszką materii organicznej; miąższość do 25 cm; warstwa erozyjna na obszarze Majdanu Górnego	10YR 5/3	1	19
19	-	4	Majdan Górnny	X=716880,9-716884,2; Y=602010,3-602012,7	Piasek z domieszką żwiru i pojedynczymi, drobnymi kamieniami; warstwa naturalna	10YR 5/6	18	20
20	-	4	Majdan Górnny	X=716880,9-716884,2; Y=602010,3-602012,7	Zwarty, twardy piasek; warstwa naturalna	10YR 6/4	19	-



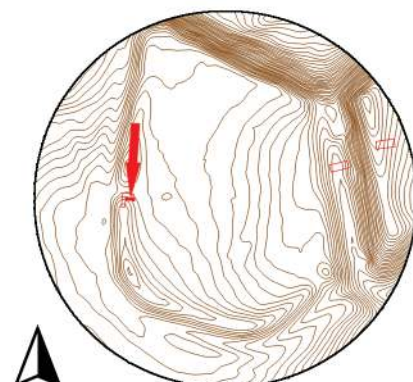
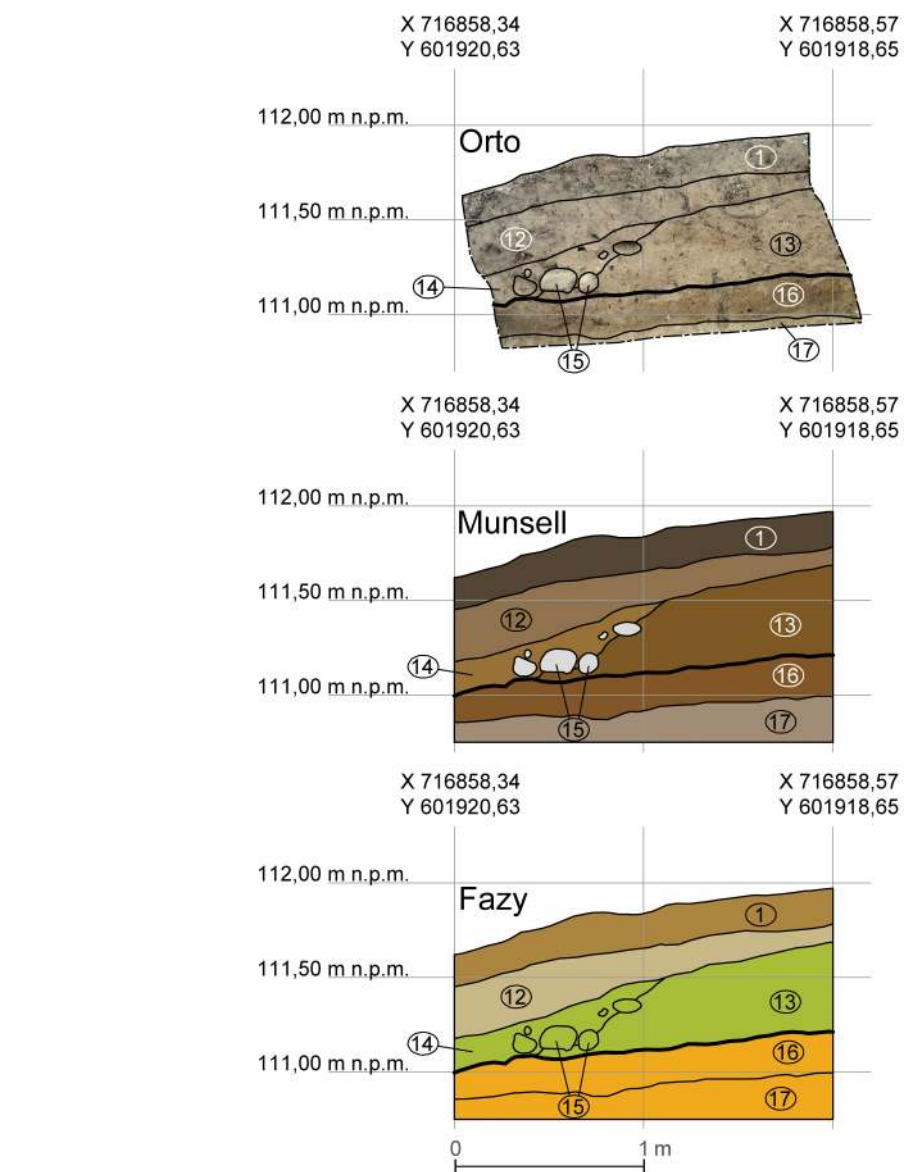
Ryc. 16. Woryny, st. 1. Stratygrafia nawarstwień w obrębie fosy – wykop 1 (oprac. R. Solecki)



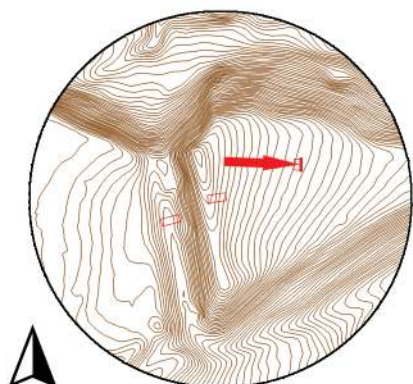
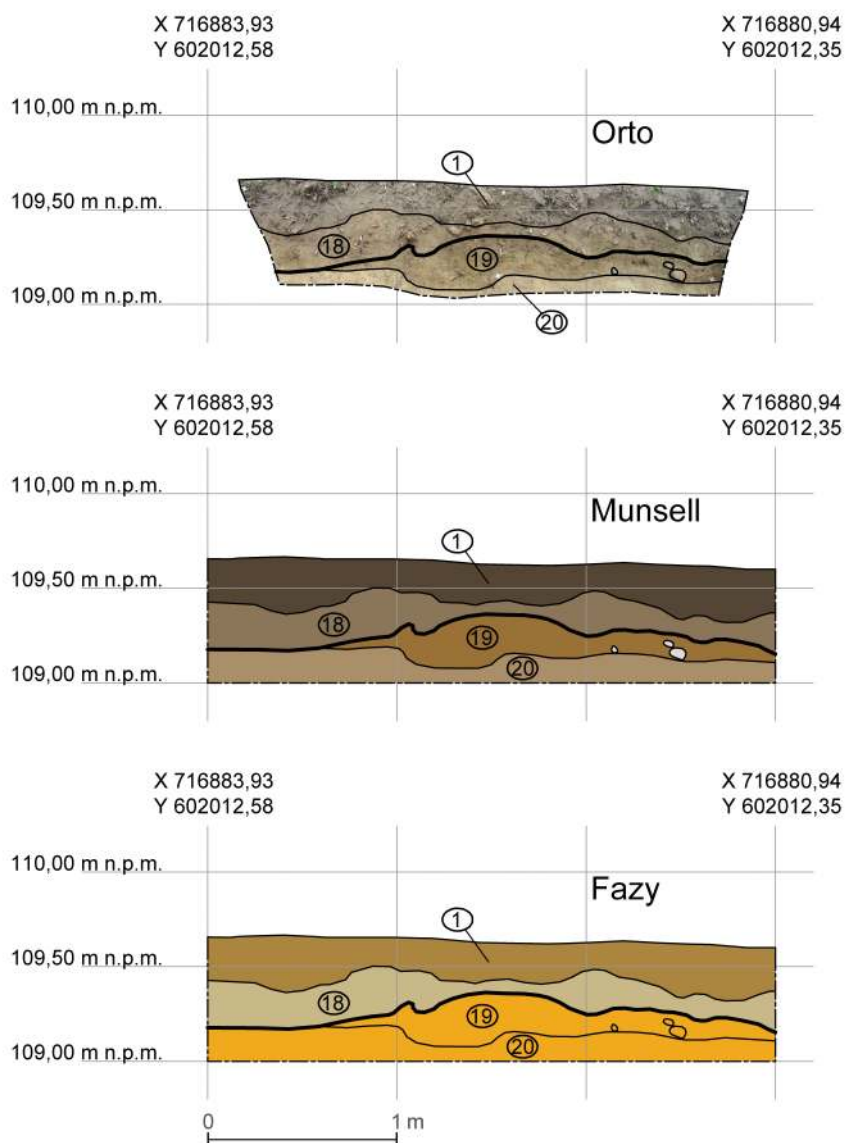
Ryc. 17. Woryny, st. 1. Stratygrafia nawarstwień w obrębie wału Majdanu Górnego – wykop 2 (oprac. R. Solecki)



Ryc. 18. Woryny, st. 1. Stratygrafia nawarstwień w obrębie Bramy I – wykop 3 (oprac. R. Solecki)



Ryc. 19. Woryny, st. 1. Stratygrafia nawarstwień w obrębie Bramy I – wykop 3 (oprac. R. Solecki)



Ryc. 20. Woryny, st. 1. Stratygrafia nawarstwień w obrębie Majdanu Górnego – wykop 4 (oprac. R. Solecki)

Faza II

Faza ta wyznacza okres po opuszczeniu grodu w średniowieczu i rozpoczęcia się procedur postdepozycyjnych.

Z fazą tą należy łączyć erozyjne spływy w obrębie fosy (W1) – lekko gliniasty, ziemisty piasek 2 i lekko gliniasta, lekko piaszczysta ziemia 3 z grudami jasnej gliny. Wały uległy zniszczeniu w wyniku erozji, ale też w wyniku penetracji ich nasypów przez korzenie drzew i krzewów. Taką warstwą jest lekko ilasty piasek 7 widoczny na szczytce wału Majdanu Górnego w W2 i ilasty, próchniczy piasek 12 na szczytce wału Majdanu Dolnego w W3. W ten sam sposób wytworzył się zapewne także ilasty piasek 18 z dużą domieszką materii organicznej uchwycony na obszarze Majdanu Górnego w W4.

Faza III

Faza ta wyznacza współczesny poziom użytkowy stanowiska. Warstwa przypisana do tej fazy to ciemna, mocno organiczna, gliniasta ziemia 1 – dzisiejszy humus leśny.

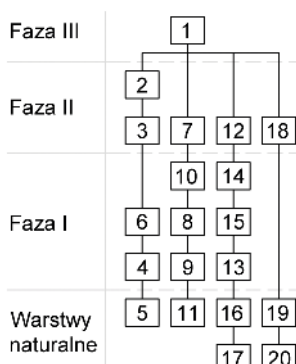
ZNALEZISKA

RAFAŁ SOLECKI

Na materiał zabytkowy pozyskany w trakcie badań archeologicznych grodziska w Worynach, st. 1, w 2020 roku składa się: siedem fragmentów ceramiki, jeden fragment ceramiki budowlanej oraz dwa zabytki metalowe, wydzielone.

Ceramika

W trakcie badań pozyskano tylko siedem fragmentów naczyń ceramicznych i wszystkie znajdowały się w obrębie warstwy 1, czyli współczesnego humusu pokrywającego stanowisko. Wielkość skorup jest niewielka –



Ryc. 21. Woryny, st. 1. Diagram relacji stratygraficznych (oprac. R. Solecki)

długość żadnej nie przekracza 4 cm – przez co nie było możliwe zrekonstruowanie ani jednej pełnej formy naczynia. W wyniku analizy określono, że fragmenty te można przypisać do okresu średniowiecza i wczesnej nowożytności. Na podstawie technologii produkcji wydzielono dwie grupy technologiczno-surowcowe.

Pierwsza grupa, do której zaliczono trzy fragmenty, charakteryzowała się masą ceramiczną z małą ilością drobnej domieszki schudzającej – piasku. Powierzchnia zewnętrzna i wewnętrzna generalnie gładka, ścianki barwy ciemnoszarej. Uformowane z takiej masy naczynia wypalono w atmosferze redukcyjnej. Ceramika tego typu zalicza się do grupy tzw. ceramiki siwej i jest charakterystyczna dla późnego średniowiecza¹⁶.

Druga grupa, do której zaliczono cztery fragmenty, charakteryzuje się wypałem w zaawansowanej technologii utleniającej, dzięki czemu powierzchnia naczyń uzyskała jasną, pomarańczową barwę. Na dwóch fragmentach zanotowano ponadto ślady szkliwienia powierzchni wewnętrznej na kolor brązowy. Jedyny fragment wylewu w tym zbiorze ma charakterystyczny żłobek wykonany po zewnętrznej stronie krawędzi wylewu (ryc. 22). Naczynia wykonane w analogiczny sposób, odnalezione w Elblągu, datowane są od przełomu XV i XVI wieku¹⁷.

Do grupy ceramiki budowlanej zakwalifikowano fragment dachówki w kolorze jasnopomarańczowym, który znaleziono na powierzchni Majdanu Górnego. Z powodu zbyt dużego zniszczenia fragmentu nie jest możliwe pełniejsze scharakteryzowanie.

Zabytki wydzielone

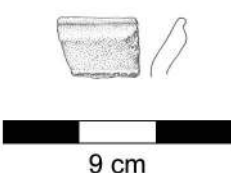
Nieliczną, dwuelementową grupę tworzą zabytki metalowe, które, podobnie jak fragmenty ceramiki, pozyskano z warstwy humusu w trakcie przygotowywania poligonu do badań nieinwazyjnych.

Pierwszy zabytek to medalik szkaplerzny (tabl. 1:1), wykonany z aluminium. Na jego awersie znajduje się wizerunek Jezusa, ponad którym, po półokręgu poprowadzony jest napis „SZKAPLERZ”. Na rewersie znajduje się wizerunek Matki Boskiej z dzieciątkiem. Tego typu zabytek można datować na XX wiek¹⁸.

¹⁶ Kruppé 1981: 56.

¹⁷ Marcinkowski 2013: 245–247.

¹⁸ Wasilewska 2016: 336.



Ryc. 22. Woryny, st. 1. Fragment ceramiki z okresu średniowiecza (rys. B. Karch)

Drugi zabytek to ostrze o formie zbliżonej do topora (tabl. 1:2). Najbliższą analogią jest toporek saperski armii niemieckiej z okresu II wojny światowej. Podobny zabytek znany jest także z Krakowa, lecz posiada szersze ostrze. Tam datowany jest na XIX/XX-XX wiek¹⁹.

Uzupełnieniem grupy zabytków metalowych jest fragment miecza żelaznego (tabl. 2:1), znajdujący się obecnie w zbiorach *Museum für Vor- und Frühgeschichte*, będącego częścią *Staatliche Museen zu Berlin*. Jego aktualny numer to PM Pr 20611. Znajdująca się przy nim oryginalna metryczka zawiera zapis „1938: 345 Fd.-Ort Worinen Kreis Pr. Eylau Fd.- Stelle 3”, który potwierdza znalezienie zabytku w Worynach, na stanowisku 3, w 1938 roku. Przy opisie, w miejscu gdzie powinna znaleźć się informacja o kontekście znaleziska, znajduje się adnotacja, że być może jest to zabytek pochodzący z grobu. Wykorzystanie trybu przypuszczającego może sugerować, że kontekst znaleziska nie jest znany.

Miecz ma ułamaną głownię, której fragment nie został znaleziony oraz złamany, ale obecny trzpień. Zachowane wymiary miecza to długość całkowita 47 cm, długość rękojeści 17 cm, długość głowni 30 cm, szerokość rękojeści do 3,2 cm, szerokość głowni do 5,5 cm i waga 388 g. Głównia obosieczna ze zbroczem szerokości do 1,6 cm, widocznym na całej zachowanej długości głowni. Rękojeść wyraźnie dzieli się na dwa odcinki – bliżej głowni na odcinku około 9 cm jest szersza, a dalsze 8 cm zwęża się. Taka forma może sugerować, że miecz był dwuręczny.

W karcie zabytku w *Museum für Vor- und Frühgeschichte* znajduje się informacja, że zabytek pochodzi z IX-XII wieku. Opisany egzemplarz można jednak przypisać do typu XVIa według klasyfikacji głowni zaproponowanej przez Ewarta Oakeshotta. Typ ten charakterystyczny jest dla XV, a rzadziej XIV wieku²⁰.

¹⁹ Puziuk i Tyniec 2013: 155–158.

²⁰ Oakeshott 1998: 63–65; Głosek 1984: 28–29.

CHRONOLOGIA I DZIEJE GRODZISKA W WORYNACH, ST. 1

RAFAŁ SOLECKI

Przeprowadzone w 2020 roku badania archeologiczne grodziska w Worynach nie pozwalały na pełne omówienie stanowiska, a to z powodu znikomej liczby znalezionejgo materiału zabytkowego, w stosunku do ogromnych rozmiarów całego założenia. Z łącznej liczby dziesięciu zabytków, dwa (szkaplerz i toporek) to przedmioty współczesne, a jeden (fragment dachówki ceramicznej) nie pozwala na określenie chronologii. Pozostałe siedem to bardzo małe fragmenty ceramiki późnośredniowiecznej i wczesnonowożytejnej, które znaleziono w warstwie humusu pokrywającego stanowisko. Te skromne znaleziska, to pierwsze, jakiekolwiek zabytki pochodzące z tego stanowiska. Tak mała liczba znalezisk może sugerować, że stanowisko nie było stale zamieszkałe. Taką tezę mogą potwierdzać wyniki badań nieinwazyjnych na obszarze Majdanu Górnego, które pomimo zastosowania dwóch technik (georadarowej i magnetycznej), nie wykazały istnienia żadnych struktur antropogenicznych, poza współczesnymi kołkami do wypasu zwierząt.

By możliwe było określenie chronologii widocznych w terenie umocnień ziemnych zdecydowano się na analizę radiowęglową prób węgla. Wszystkie próby wskazywały na okres średniowiecza:

- próba węgla z wypełniska fosy (warstwa 6) wskazała po kalibracji przedział lat 1285–1397 n.e. z prawdopodobieństwem 95,4%²¹,
- próba węgla ze spływu wału Majdanu Górnego (warstwa 10) wskazała po kalibracji przedział lat 978–1151 n.e. z prawdopodobieństwem 95,4%²²,
- próba węgla z nasypu wału Majdanu Dolnego (warstwa 13) wskazała po kalibracji przedział lat 1179–1278 n.e. z prawdopodobieństwem 95,4%²³.

W tym miejscu koniecznie trzeba zaznaczyć, że w trakcie badań archeologicznych nie natrafiono na duże fragmenty węgla drzew-

²¹ Analiza przeprowadzona w Poznańskim Laboratorium Radiowęglowym, próba nr Poz-127872.

²² Analiza przeprowadzona w Poznańskim Laboratorium Radiowęglowym, próba nr Poz-127456.

²³ Analiza przeprowadzona w Poznańskim Laboratorium Radiowęglowym, próba nr Poz-127521.



Tablica 1. Woryny, st. 1. Zabytki wydzielone (fot. R. Solecki)



Tablica 2. Woryny, st. 1. Miecz ze zbiorów Staatliche Museen zu Berlin, Museum für Vor- und Frühgeschichte
(fot. Claudia Klein)

nego a jedynie na niewielkie węgielki. Z tego względu nie było możliwe określenie, z której części przekroju pnia pochodziły. W takim przypadku nie można wykluczyć, że wystąpił efektu tzw. starego drewna, który powoduje że otrzymany wynik datowania może być „po-starzony”, w skrajnych przypadkach nawet o kilkaset lat²⁴.

Konfrontując wyniki analiz radiowęglowych z pozyskanym materiałem ceramicznym można założyć, że najbardziej prawdopodobnym okresem powstania umocnień jest schyłek XIII lub XIV wiek. Taką chronologię potwierdzają w pewnym stopniu także informacje z tekstu źródłowych, mówiące, że wieś Woryny poświadczona jest w dokumencie z 1340 roku, jako siedziba komornictwa, wchodzącego w skład komturstwa pokarmińskiego, które funkcjonowało już w 1251 roku²⁵. W tym świetle można przyjąć, że gród w Worynach był budowany, zapewne w pierwszej połowie XIV wieku, jako siedziba komornictwa. Najbliższe zamki podobnej rangi w granicach komornictwa bałgijskiego znajdują się w Pruskiej Iławie (zbudowany po 1325 roku)²⁶ i w Bezławkach (zbudowany po 1377 roku)²⁷. Oba te założenia to zamki o konstrukcji kamiennno-ceglanej, a ich relikty są zachowane do dziś. Jeżeli w Worynach miałby znajdować się zamek o zbliżonych gabarytach, a na to wskazuje przygotowanie platformy ziemnej, to jakiś ślad tej konstrukcji powinien być możliwy do uchwycenia. Tymczasem nie zanotowano śladów gruzu ceglanego, ani na powierzchni (poza jednym ułamkiem dachówki), ani w badanych jednostkach stratygraficznych. Istnienia jakichkolwiek konstrukcji nie potwierdziły także badania nieinwazyjne. Takie obserwacje zdają się sugerować, że budowa zamku rozpoczęła się – przygotowany został obszar, na którym zamek miał stanąć – ale nigdy nie została ukończona. W żadnym z badanych wykopów nie uchwycono wyraźnej warstwy kulturowej. Poziom zinterpretowany, jako użytkowy należy łączyć z okresem, gdy prowadzone były prace ziemne związane z formowaniem powierzchni pod planowany zamek.

²⁴ Schiffer 1986; Pospieszny i Jakubczak 2019: 137.

²⁵ Hein 1944: 232 (dokument 333); Biskup 1983: 210–211; Jóźwiak i Trupinda 2019: 103–107.

²⁶ Komorowski 2007: 19.

²⁷ Wólkowski 2013: 109; Knyżewski 2016: 114–115.

Warto także odnieść się do trzech grobli przecinających dolinę potoku bezpośrednio na północ od grodziska. Taki układ grobli, mających spiętrzać wodę, charakterystyczny jest dla funkcjonowania młynów wodnych. W wykazie czynszów z 1415 i 1437 roku znajduje się informacja, że w Worynach znajdował się pusty młyn²⁸. Nie można zatem wykluczyć, że na omawianym stanowisku znajdował się młyn, lub że budowa młyna była planowana, ale nie doszła do skutku. Faktem jest bowiem, że w Worynach znajduje się jeszcze drugie miejsce, gdzie w przeszłości działał młyn. Woryński Staw, położony na wschód od wsi, nosił jeszcze w okresie międzywojennym nazwę *Mühlen Teich*, czyli staw młyński²⁹.

Badania archeologiczne przeprowadzone w 2020 roku winny być kontynuowane. Udało się co prawda określić prawdopodobną chronologię umocnień ziemnych oraz ustalić hipotezę dotyczącą funkcjonowania stanowiska, ale ustalenia te wymagają dalszych weryfikacji. Ze względu na zanieczyszczenie powierzchni stanowiska współczesnymi śmieciami, tylko w ograniczonym zakresie udało się zrealizować badania nieinwazyjne. Gdyby rozszerzyć ich zakres, być może możliwe byłoby uchwycenie obiektów związanych z planowanym zamkiem?

Być może warto także rozszerzyć zakres rozpoznania poza obszar grodziska, tak aby rozpoznać zaplecze realizowanej inwestycji. Za tym, że warto, może przemawiać znalezisko miecza. Kontekst archeologiczny zabytku nie jest co prawda znany, ale miecze tego typu nie są znajdowane często. Nie będzie zapewne nadinterpretacją wiązanie go z budowaną siedzibą komornictwa.

Serdeczne podziękowania należą się władzom *Staatliche Museen zu Berlin, Museum für Vor- und Frühgeschichte*, za udostępnienie zdjęć miecza na potrzeby niniejszej monografii, a w szczególności Claudiu Klein, za wykonanie rzeczonych zdjęć oraz Katji Vollert, za konsultacje.

²⁸ Kubicki 2013: 311, 537; Thielen 1958: 5–6 (dokument 24, 26, 28).

²⁹ Leyding 1987: 28; *Topographische Karte 1:25 000 (Meßtischblatt)*, karta Pr. Eylau (1689), z 1937 r.

Weryfikacje negatywne

Nowa Wieś Iławecka, st. 1

Gmina Górowo Iławeckie

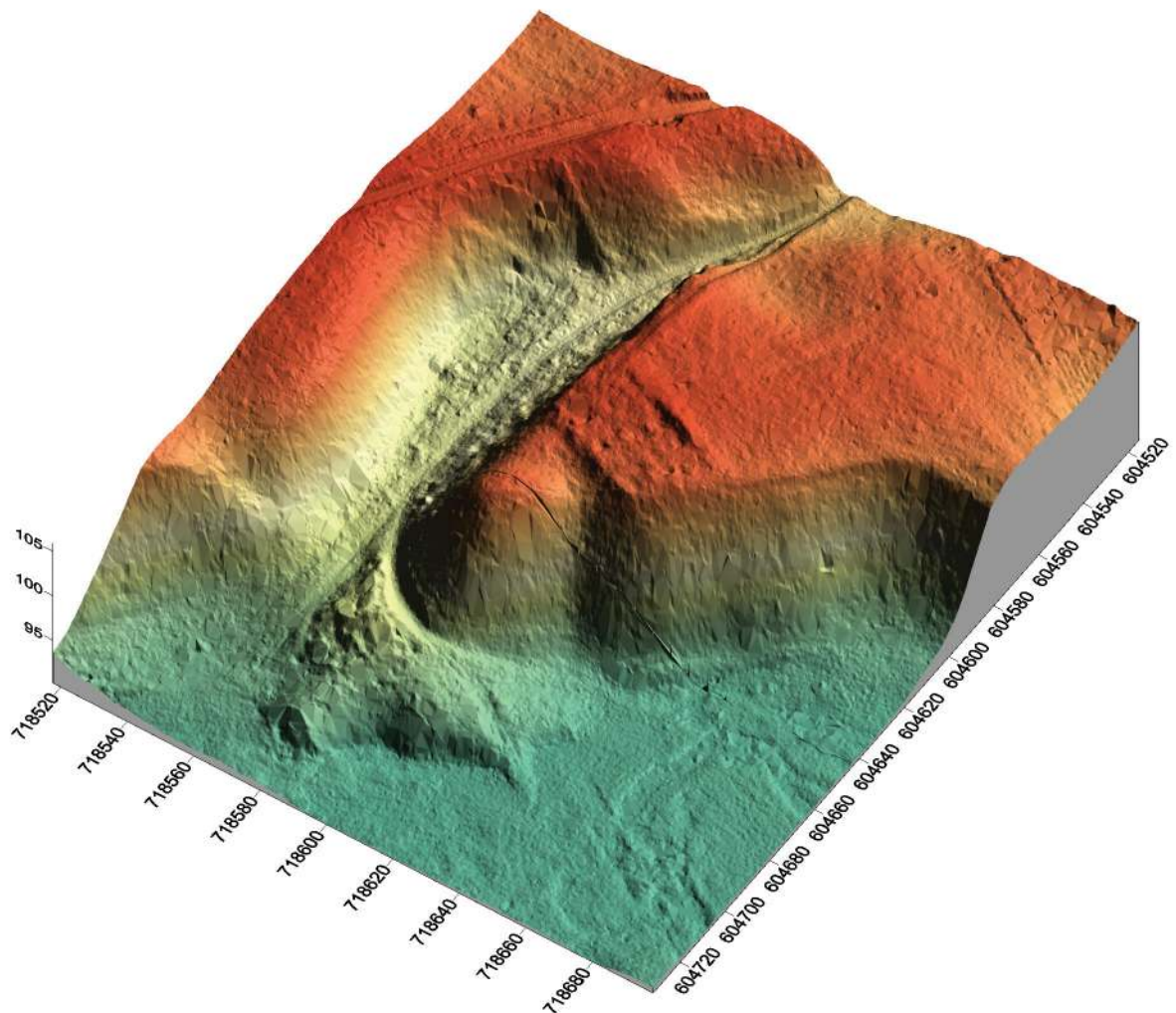
Powiat bartoszycki

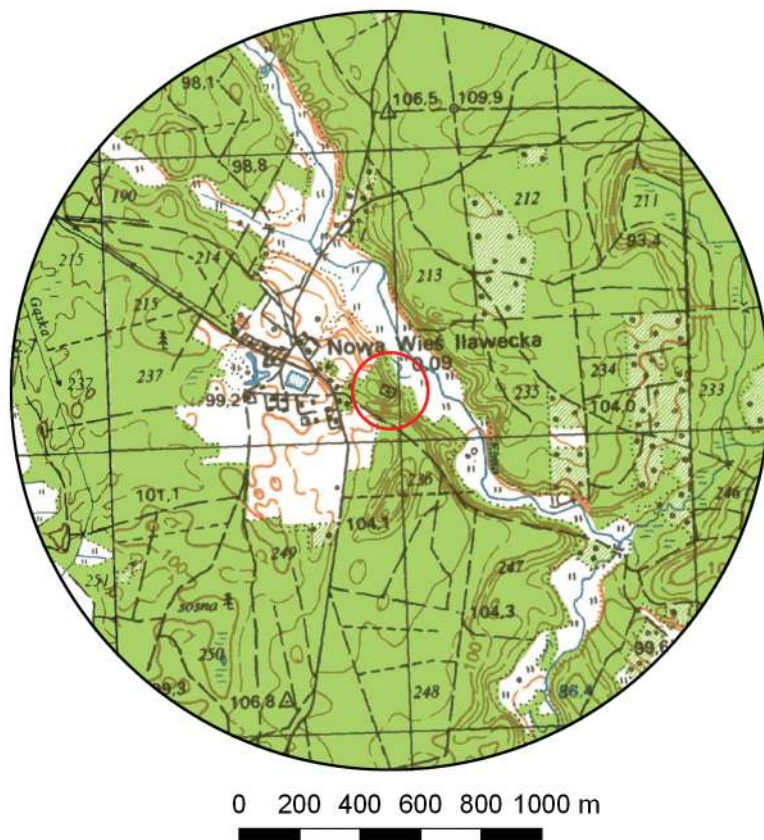
AZP 12-62/2

Współrzędne geograficzne:

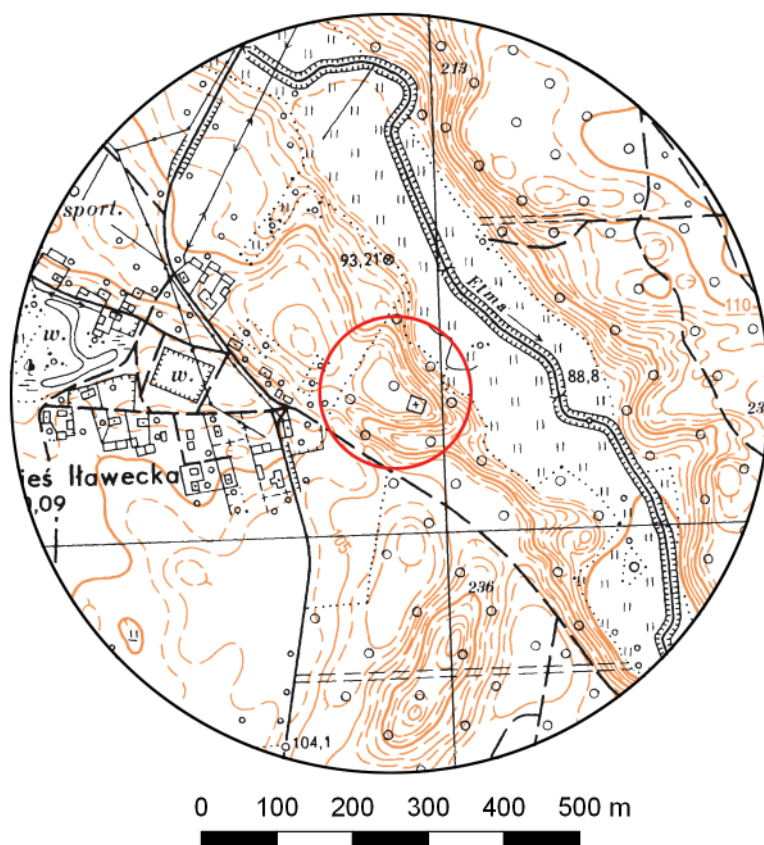
N 54° 19' 15"

E 20° 36' 32"





Ryc. 1. Stanowisko
w Nowej Wsi Iławeckiej, st. 1
na mapie w skali 1:25 000
(na podstawie materiałów GUGiK,
oprac. R. Solecki)



Ryc. 2. Stanowisko
w Nowej Wsi Iławeckiej, st. 1
na mapie w skali 1:10 000
(na podstawie materiałów GUGiK,
oprac. R. Solecki)

WYNIKI BADAŃ ARCHEOLOGICZNYCH

DANIEL SKOCZYLAS / RAFAŁ SOLECKI

Stanowisko archeologiczne w Nowej Wsi Iławeckiej, gm. Górowo Iławeckie, skatalogowano w ramach AZP pod numerem 12-62/2, numer w miejscowości 1. Na Karcie Ewidencji Stanowiska Archeologicznego, sporządzonej 30 maja 2004 roku, w polu „funkcja obiektu” znajduje się opis „grodzisko?”, bez żadnych dodatkowych informacji na temat chronologii lub afiliacji kulturowej. W polu „dane dodatkowe” zawarto uwagę, że we wschodniej części wyniesienia, na którym miałoby znajdować się grodzisko, zlokalizowane są „pozostałości historycznego cmentarza”¹.

Nowa Wieś Iławecka (niem. *Neuendorf*) została założona w pierwszej połowie XVIII wieku². Brak informacji o wcześniejszym osadnictwie na okolicznym obszarze. Warto jednak wspomnieć, że w ramach tzw. osadnictwa szkutułowego zasiedlano najczęściej ziemie, które wcześniej były trudno dostępne, np. nowizny po wyciętych lasach, lub łąki po osuszonych mokradłach³. Na mapie z końca XIX wieku, wieś otoczona jest przez las opisany jako *Pr. Eylauer Forst*⁴. Obecnie miejsco-

wość nadal stanowi enklawę w obrębie dużego kompleksu leśnego.

Stanowisko zajmuje nieduży, trójkątny w planie, cybel, który od strony zachodniej wchodzi w dolinę rzeki Elmy (ryc. 1-3). Długość cypla wynosi 115 m, a jego szerokość w miejscu, gdzie łączy się on z wysoczyzną, dochodzi do 75 m. Plateau cypla znajduje się na poziomie około 103,5–105 m n.p.m. Różnica wysokości pomiędzy powierzchnią cypla a dnem doliny dochodzi do 13 m. W odległości około 25 m od końca cypla czytelne jest niskie podwyższenie, mające formę trapezowej platformy o długości 28–42 m i szerokości 21 m. Krawędź tej platformy wyznacza wał wysokości od 0,5 m. W granicach platformy widoczne są na powierzchni pozostałości nagrobków z końca XIX i pierwszej połowy XX wieku, a zatem można łączyć tę platformę z wydzielonym obszarem współczesnego cmentarza. Do południowo-zachodniego narożnika cmentarzyska prowadzi ścieżka wytyczona w formie rampy po południowym stoku cypla.

Poza opisanymi modyfikacjami mikrotopografii terenu, na powierzchni cypla brak jest jakichkolwiek innych widocznych antropogenicznych form krajobrazu.

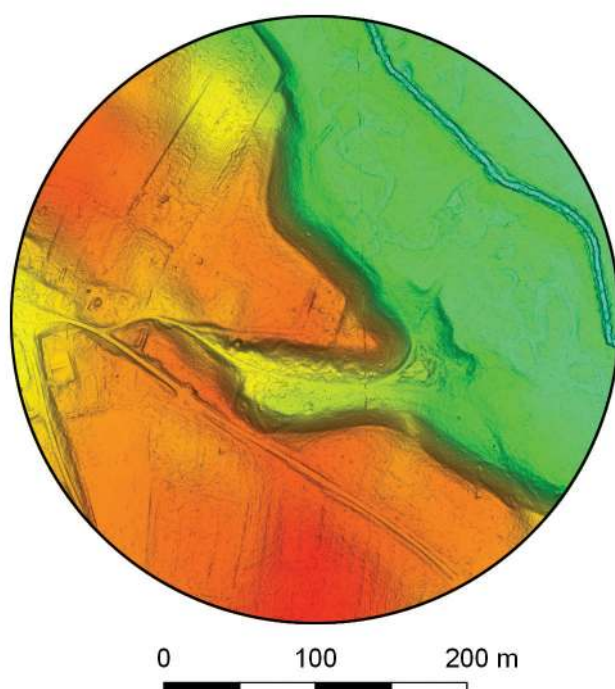
Przystępując do badań wytyczono dwa wykopy w miejscach oddalonych od położonego w centralnej części cypla nowożytnego cmentarza (ryc. 4). Pierwszy wykop (W1) znajdował się na wypłaszczeniu, niemal na końcu cypla i miał wymiary 1×5 m. W trak-

¹ Informacje z KEZA AZP 12-62/2.

² Petraszko i Wakar 1987b: 250, 313.

³ Białyński 2019: 341–342.

⁴ Karte des Deutschen Reiches Generalstabskarte, 1:100 000, karta Pr. Eylau, z około 1889 r.



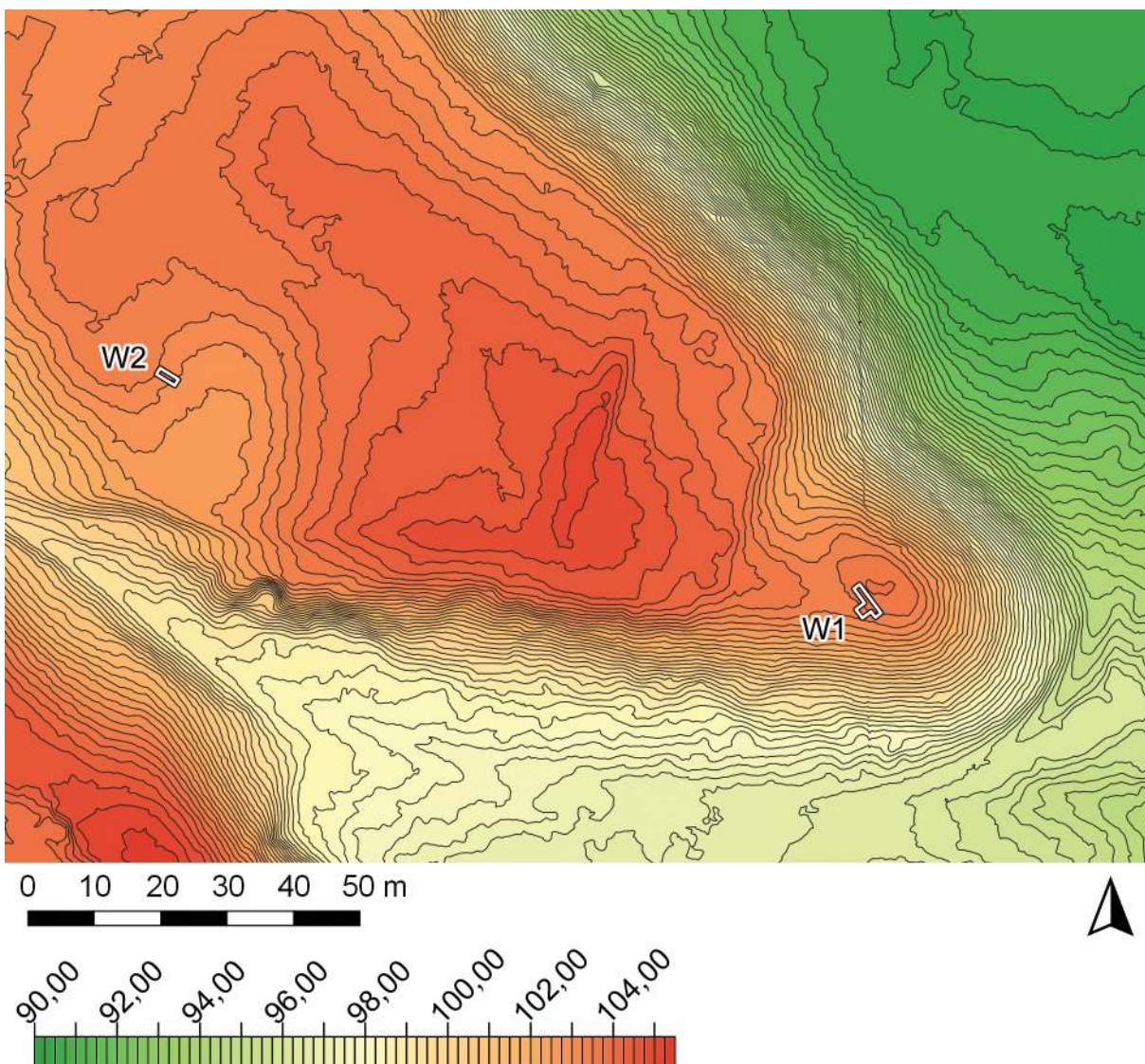
(po lewej)

Ryc. 3. Stanowisko w Nowej Wsi Iławeckiej, st. 1 na zobrazowaniu ALS

(na podstawie materiałów GUGiK,
oprac. R. Solecki)

Tabela 1. Nowa Wieś Iławecka, st. 1. Katalog warstw i obiektów oraz ich zależności stratygraficznych (oprac. D. Skoczyłas)

Numer jednostki	Numer obiektu	Numer wykopu	Położenie w obrębie stanowiska	Współrzędne geodezyjne (PUWG 1992)	Opis jednostki stratygraficznej (rodzaj sedymentu, miąższość, zawartość zabytkowa, przypuszczalna funkcja/proces formowania)	Barwa (Munsell)	Pozycja stratygraficzna	
							Znajduje się pod	Znajduje się nad
1=6	-	1	Całe stanowisko	X=718592,2-718627,2; Y=604546,4-604647,6	Sypki piasek z dużą domieszką materii organicznej, silnie poprzerastany korzeniami; miąższość do 25 cm; humus leśny	10YR 3/2	-	3, 5
2	2	1	Część E cypla	X=718592,9-718593,9; Y=604645,0-604647,1	Wkop, nieregularnie prostokątny w planie, prostokątny w profilu; długość 165 cm, szerokość 75 cm, głębokość 60 cm; jama grobową	-	3, 4	5
3	2	1	Część E cypla	X=718592,9-718593,9; Y=604645,0-604647,1	Lekko przemieszany piasek z domieszką materii organicznej; wypełnisko jamy grobowej	10YR 6/4	1	2, 4, 5
4	2	1	Część E cypla	X=718592,9-718593,9; Y=604645,0-604647,1	Szkielet ludzki	-	3	2, 5
5=7	-	1	Całe stanowisko	X=718592,2-718627,2; Y=604546,4-604647,6	Sypki piasek z rudymi, żelazistymi wytrąceniami; podłoże naturalne	10Y 4/6	1, 2, 3, 4	-
6=1	-	2	Całe stanowisko	X=718592,2-718627,2; Y=604546,4-604647,6	Sypki piasek z dużą domieszką materii organicznej, silnie poprzerastany korzeniami; miąższość do 25 cm; humus leśny	10YR 3/2	-	7
7=5	-	2	Całe stanowisko	X=718592,2-718627,2; Y=604546,4-604647,6	Sypki piasek z rudymi, żelazistymi wytrąceniami; podłoże naturalne	10YR 4/6	5	-



Ryc. 4. Nowa Wieś Iławecka, st. 1. Plan stanowiska z naniesionymi wykopami archeologicznymi (oprac. R. Solecki)

cie prowadzonych prac poszerzono go o kwadrat o boku 1,5 m w kierunku południowo-zachodnim. Wykop drugi (W2), o wymiarach 3×1 m, umiejscowiono u nasady cypla, w miejscu gdzie czytelne było nieduże obniżenie terenu i gdzie podczas prospekcji powierzchniowej z wykorzystaniem wykrywacza metalu uchwycono silny sygnał.

W trakcie badań archeologicznych wydzielono łącznie 7 jednostek stratygraficznych (tabela 1), które można rozdzielić pomiędzy dwie fazy użytkowe. Zadokumentowane powierzchnie W1 przedstawiają ryc. 6–7. W W2, bezpośrednio poniżej współczesnego humusu, występowało podłożę naturalne. Układ stratygraficzny jest analogiczny jak w W1 (jak na ryc. 7 z pominięciem jamy grobowej 2).

Jako naturalne podłożę wydzielono sypki piasek z rudymi, żelazistymi wytrąceniami 5=7.

Z funkcjonowaniem cmentarza (Faza I) należy łączyć jamę grobową 2, którą odkryto w W1. Miała ona w planie kształt nieregularnego prostokąta o długości 165 cm i szerokości 75 cm. W przekroju miała kształt zbliżony do prostokąta, ale czytelne było, że zwężała się ku dołowi. Zanotowana głębokość jamy to 60 cm. Na dnie jamy znajdowały się dobrze zachowane szczątki kostne człowieka. Zmarły ułożony był w pozycji wyprostowanej, na plecach, z rękami złożonymi na łonie, nogi wyprostowane (ryc. 5). Przeprowadzona podczas badań analiza antropologiczna wykazała, że zmarły nieokreślonej płci był w wieku *infans II/iuvenis*. Przy zmarłym nie zanotowano żadnego inwentarza, a w jamie grobowej szczątków trumny. Wypełniskiem jamy grobowej był lekko przemieszany piasek 3 z domieszką materii organicznej.

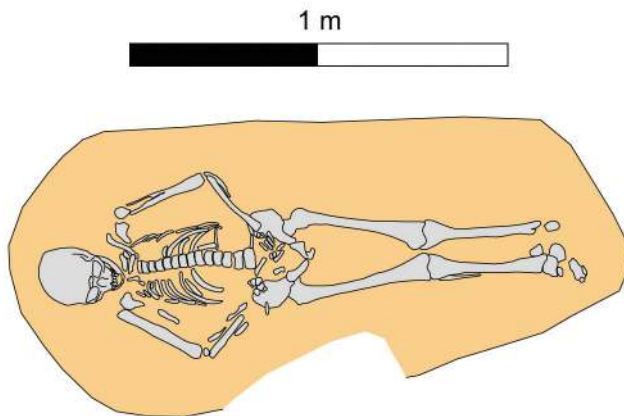
Współczesny poziom użytkowy (Faza II) wyznacza sypki piasek 1=6 z dużą domieszką materii organicznej i silnie poprzerastany

korzeniami, który jest humusem leśnym pokrywającym całą powierzchnię cypla. W jego obrębie natrafiono na pojedyncze gwoździe (które pozostały *in situ*), a w W2, natrafiono na pozostałości współczesnego karabina – prawdopodobnie Carcano model m91⁵, który wykorzystywany był zarówno w trakcie I, jak i II wojny światowej.

Przeprowadzone badania archeologiczne potwierdziły istnienie cmentarzyska i to dwufazowego. Młodsza faza znajduje się w obrębie platformy, przy szczytce cypla, gdzie do chwili obecnej widoczne są nagrobki z końca XIX i pierwszej połowy XX wieku. Wspomniana platforma powstała w wyniku modyfikacji powierzchni cypla, najpewniej około połowy XIX wieku. W trakcie tych prac zniszczony został zapewne starszy cmentarz, który można wiązać z początkami miejscowości, czyli początkiem XVIII wieku. Potwierdzeniem dawnych prac ziemnych może być fakt, że odkryty pochówek znajdował się zaledwie 0,6 m poniżej dzisiejszej powierzchni ziemi. Jego górna partia została najpewniej zniesiona w trakcie przeprowadzanej niwelacji.

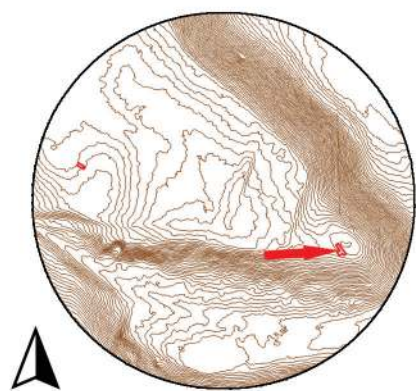
W trakcie badań, zarówno wykopaliskowych, jak i powierzchniowych, nie zarejestrowano istnienia na obszarze cypla warstw kulturowych, które można by wiązać z funkcjonowaniem grodziska. Nie znaleziono także żadnego zabytku o chronologii wcześniejszej niż XIX wiek. Zatem należy przyjąć, że w oznaczonym miejscu nie znajdowało się grodzisko sugerowane w Karcie Ewidencji Stanowiska Archeologicznego.

⁵ Zawadzki 2000: 33-37.

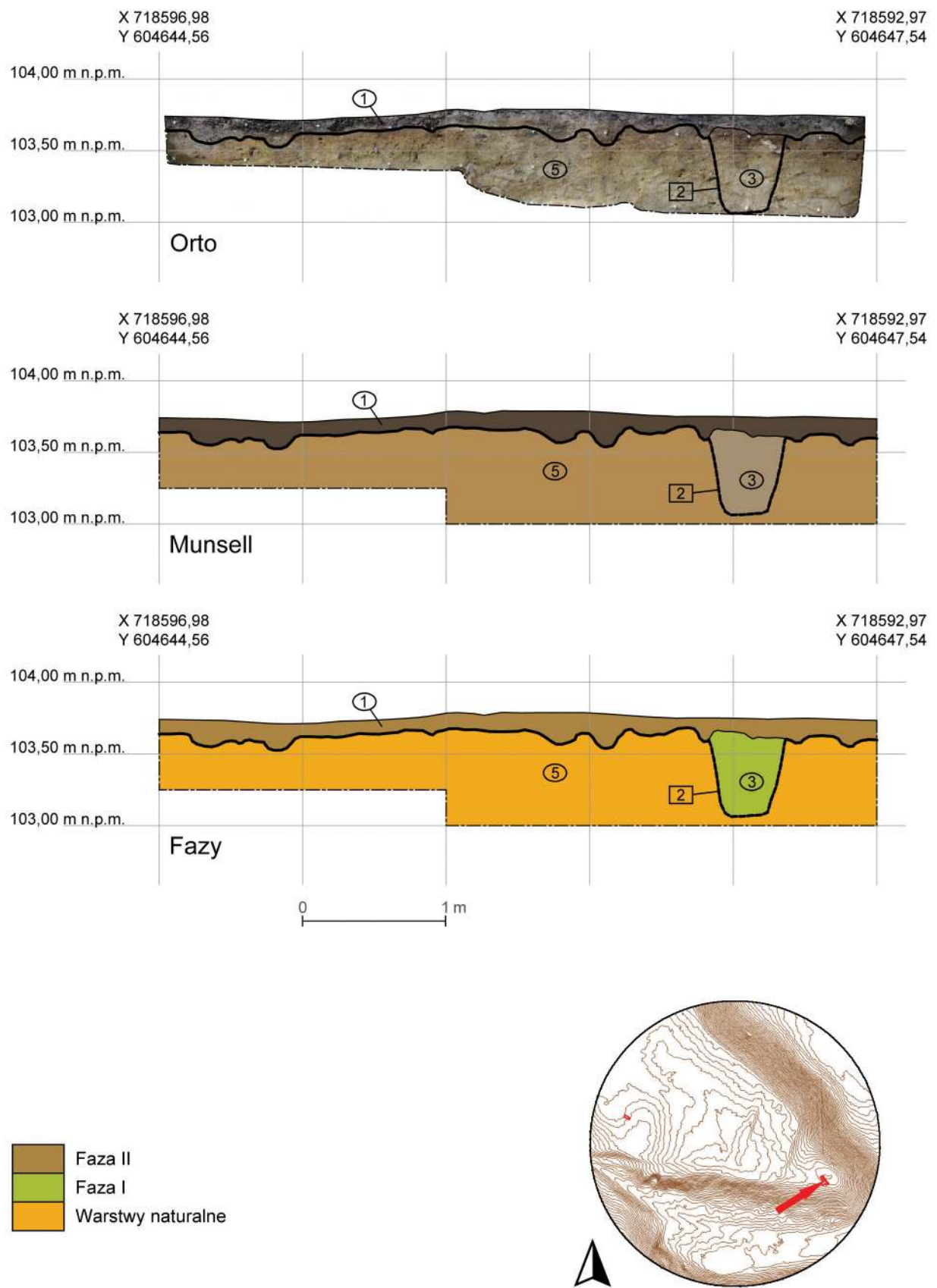


(po lewej)

Ryc. 5. Nowa Wieś Iławecka, st. 1.
Rysunek grobu (oprac. R. Solecki)



Ryc. 6. Nowa Wieś Iławecka, st. 1. Stratygrafia nawarstwień w obrębie cypla – wykop 1 (oprac. D. Skoczylas)



Ryc. 7. Nowa Wieś Iławecka, st. 1. Stratygrafia nawarstwień w obrębie cypla – wykop 1 (oprac. D. Skoczylas)

Zielenica, st. 15

Gmina Górowo Iławeckie

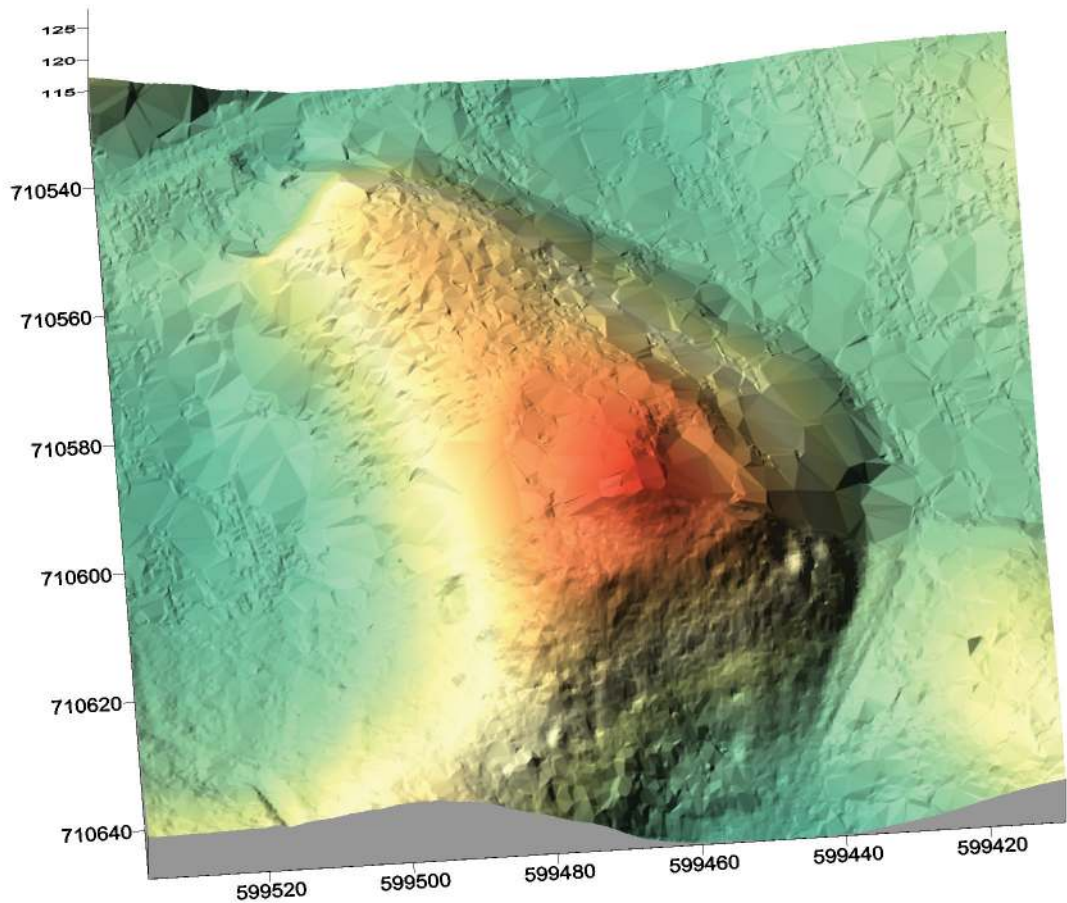
Powiat bartoszycki

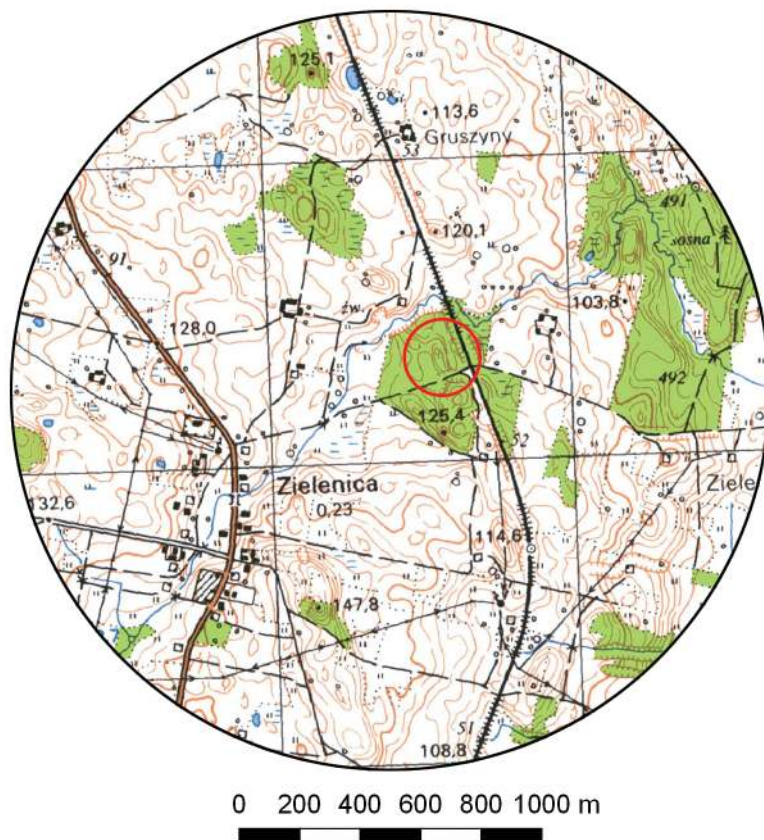
AZP 14-61/27

Współrzędne geograficzne:

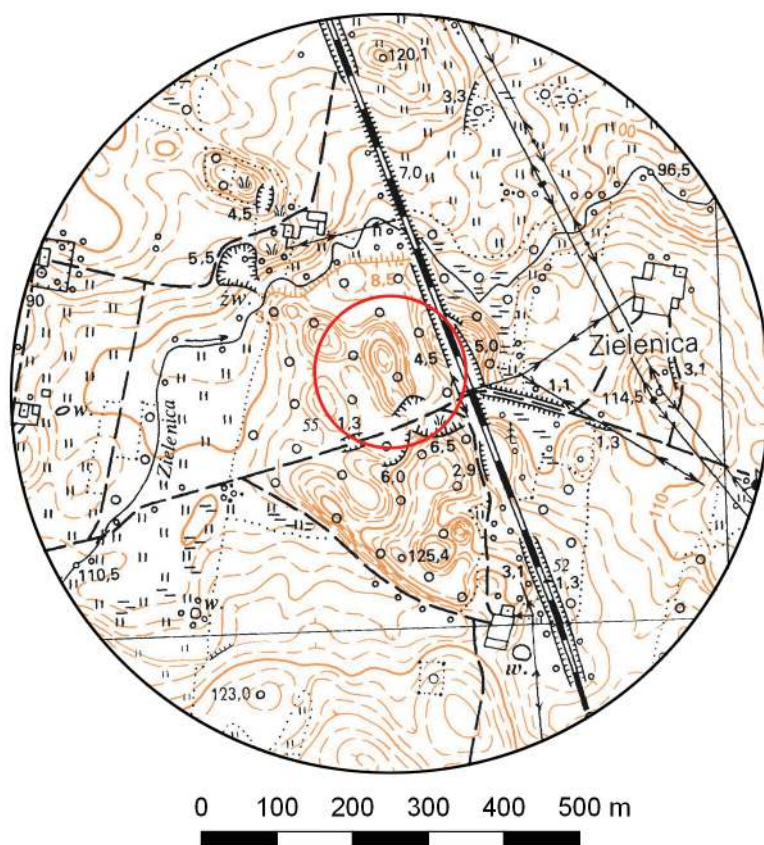
N 54° 14' 59''

E 20° 31' 37''





Ryc. 1. Stanowisko w Zielenicy, st. 15
na mapie w skali 1:25 000
(na podstawie materiałów GUGiK,
oprac. R. Solecki)



Ryc. 2. Stanowisko w Zielenicy, st. 15
na mapie w skali 1:10 000
(na podstawie materiałów GUGiK,
oprac. R. Solecki)

WYNIKI BADAŃ ARCHEOLOGICZNYCH

DANIEL SKOCZYLAS I RAFAŁ SOLECKI

Jako pierwszy na istnienie grodziska w Zielenicy (niem. Grünwalde), gm. Górowo Iławeckie, wskazał w pierwszej połowie XIX wieku Johann Michael Guise. W 1908 roku powołuje się na niego Emil Hollack, oznaczając grodzisko na mapie i opisując, że znajduje się ono na północny wschód od wsi. W odległości około 5 minut marszu od tego grodziska miał się znajdować kurhan z młodszej epoki brązu¹. W publikacji Hansa Crome z 1937 roku znajduje się bardziej precyzyjny opis wskazujący, że grodzisko znajduje się około 800 m na wschód od wsi i zajmuje wyniesienie, które lokalnie nazywane jest *Jungfernberg* i *Sandberg*. Chronologia grodziska wskazana jest jako staropruska². Lokalizacja tego grodziska na podstawie opisu H. Crome znajduje się w karcie z katalogu *Burgwall-kartei* (ryc. 3).

Już po II wojnie światowej, w ramach badań AZP, zostały skatalogowane dwa grodziska w Zielenicy. Pierwsze – AZP 14-61/26, numer w miejscowości 11 – położone jest w odległości około 1300 m na południe od wsi, bezpośrednio na zachód od drogi Górowo Iławeckie – Lidzbark Warmiński. Na karcie stanowiska nie wskazano, by w trakcie przeprowadzonej wizytacji odnaleziono jakikolwiek materiał zabytkowy³. Drugie – AZP

¹ Hollack 1908: 52–53.

² Crome 1937: 109.

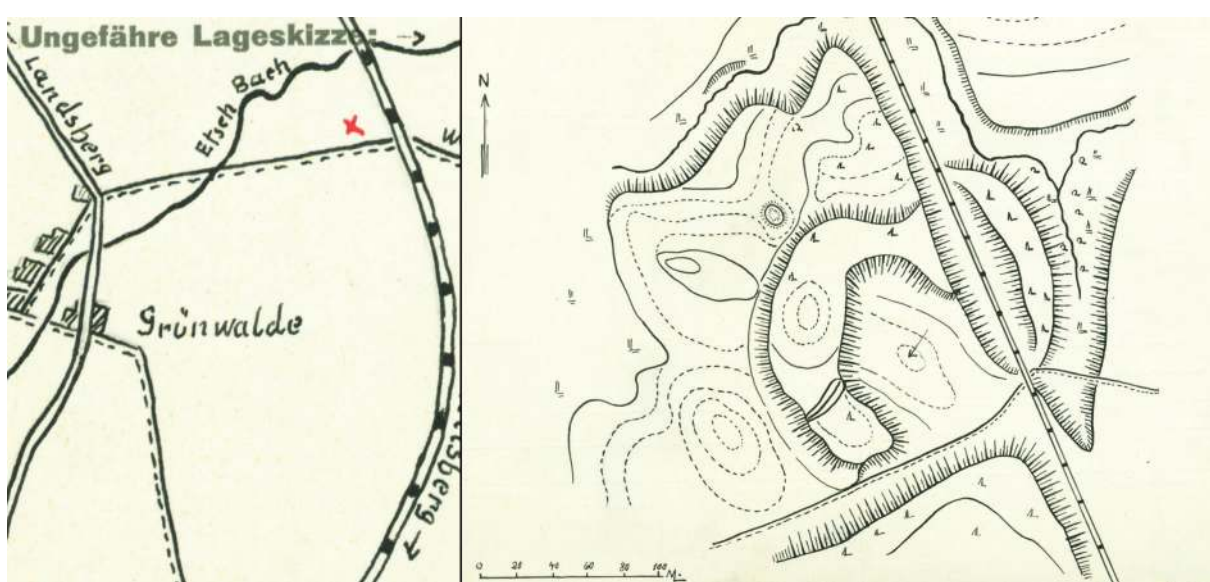
³ Informacje z KESA AZP 14-61/26; Klęczar i Rytyna 2013: 25.

14-62/47, numer w miejscowości 12 – znajduje się na północny wschód od wsi, w odległości około 800 m od jej centrum. Na Karcie Ewidencji Stanowiska Archeologicznego znajduje się zapis, że w oznaczonym miejscu znajduje się „(...) kolisty kopiec, który można interpretować jako niewielki gródek stożkowy (...) średnicy ok. 30 m i zachowanej wysokości ok. 10 m (...) brak śladów elementów obronnych, jak również materiałów zabytkowych”⁴.

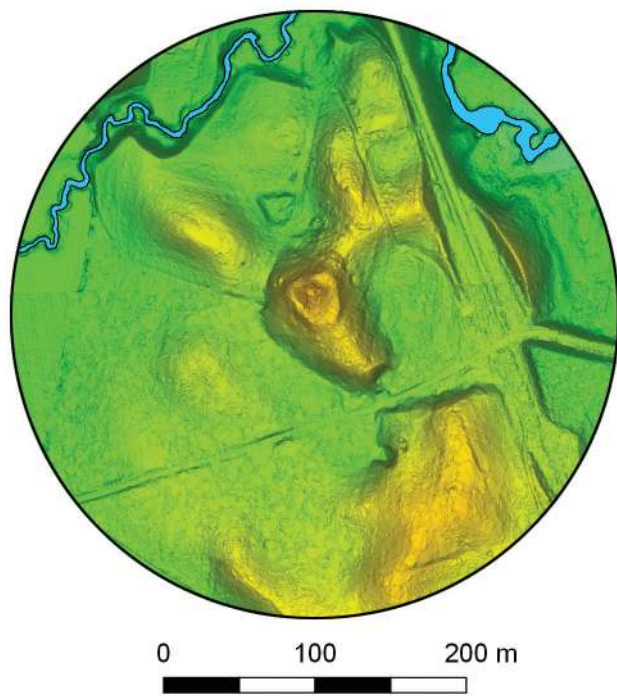
Przystępując do weryfikacji przekazów na temat grodziska w Zielenicy, w pierwszej kolejności postanowiono przeprowadzić rozpoznanie skatalogowanych w ramach AZP grodzisk. W trakcie prospekcji terenowej nie natrafiono na żadne ślady dawnej bytności człowieka we wskazanych miejscach. Odwerty wykonane świdrem geologicznym nie wykazały obecności warstwy kulturowej – na stanowisku AZP 14-61/26 bezpośrednio poniżej humusu leśnego wystąpiły gliny calcowe, a na stanowisku AZP 14-62/47 sypkie piaski. Nie potwierdzono informacji zawartej w KESA, by we wskazanych miejscach miały znajdować się grodziska.

Idąc za wskazaniami położenia grodziska przekazanymi przez H. Crome, niemal dokładnie 800 m na wschód od wsi, licząc od jej północnej granicy, natrafiono na wyniesienie, którego szczyt nosił jednoznaczne oznakiingerencji ludzkiej (ryc. 1–2, 4). Samo wyniesienie ma w podstawie kształt zbliżony do owalu o średnicy 70–100 m i wysokość 13 m. Północna część wyniesienia została uformowana

⁴ Informacje z KESA AZP 14-62/47.

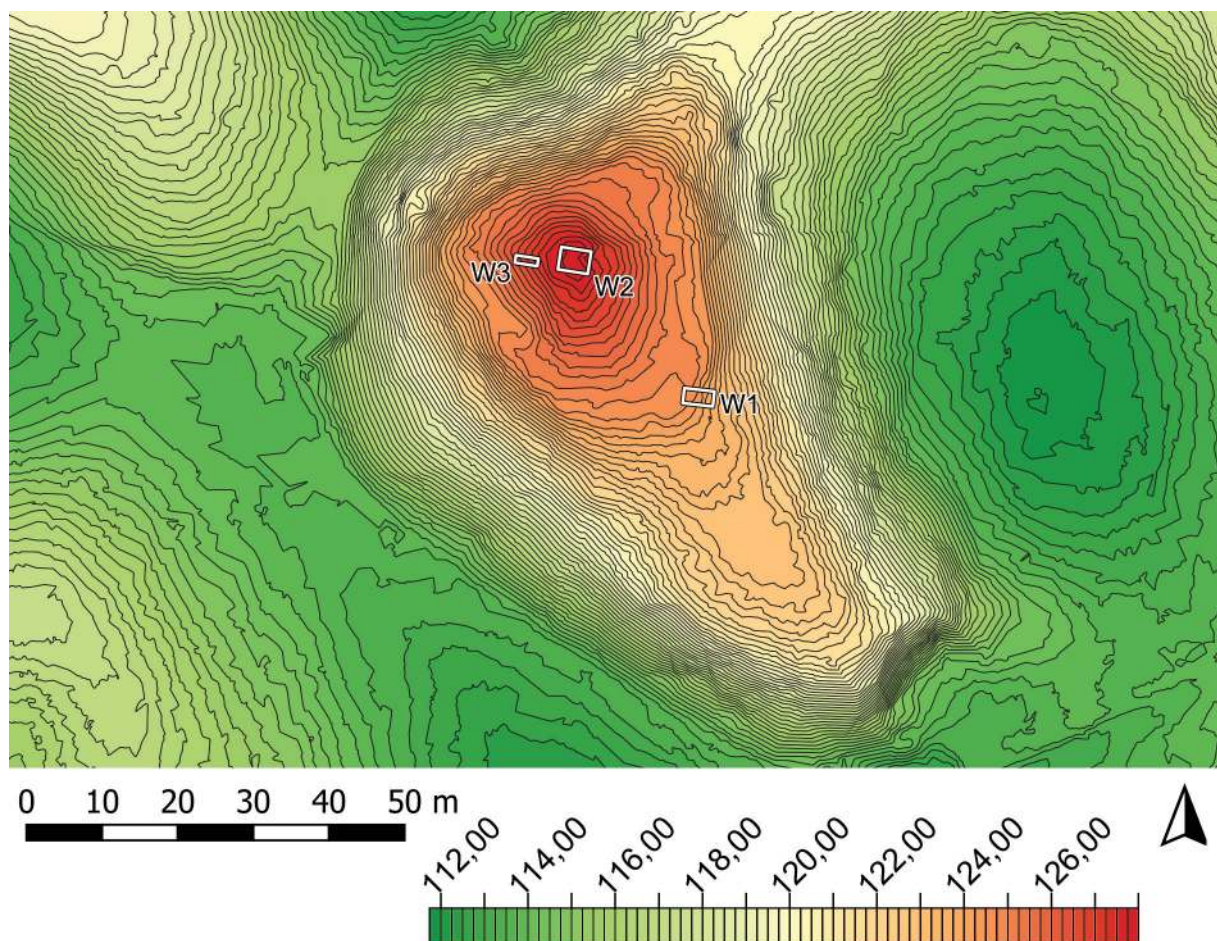


Ryc. 3. Domniemane grodzisko w Zielenicy na karcie ze zbioru *Burgwall-kartei*
(źródło: Staatliche Museen zu Berlin, Museum für Vor- und Frühgeschichte, IXc 90, Bl. 219)



(po lewej)

Ryc. 4. Zielenica, st. 15 na zobrazowaniu ALS
(na podstawie materiałów GUGiK,
oprac. R. Solecki)



Ryc. 5. Zielenica, st. 15. Plan stanowiska z nanesionymi wykopami archeologicznymi
(oprac. D. Skoczylas i R. Solecki)

w *plateau* o średnicy w przedziale 30–35 m, którego powierzchnia znajduje się na poziomie 124,8–125,0 m n.p.m. Centralną część tego tarasu zajmuje kolisty w podstawie kopiec o średnicy 19 m i wysokości do 3 m. Najwyższy zanotowany punkt kopca osiąga poziom 127,85 m n.p.m. Całkowita powierzchnia obszaru stanowiska, liczona po obwodzie sztucznie uformowanego tarasu, wynosi około 17 arów.

Przystępując do badań wytyczono trzy wykopy (ryc. 4). Wykop 1 (W1), o wymiarach 2×4 m, wytyczono w południowej części tarasu, tak by przeciąć jego krawędź. Wykop 2 (W2), o wymiarach 3×4 m, wyznaczono w centralnej części tarasu, przy szczycie kopca. Ostatni wykop (W3), o wymiarach 1×3 m, był przedłużeniem W2 w kierunku zachodnim, ku podstawie kopca.

W trakcie badań archeologicznych wydzielono łącznie 21 jednostek stratygraficznych (tabela 1), które można rozdzielić pomiędzy dwie fazy użytkowe.

Jako naturalne podłożo wydzielono: w W1 glinę z wtrętami ilów 21, w W2 sypki piasek 11, a w W3 glinę z wtrętami ilów 19 oraz sypki piasek 11, widoczny także w W2. Stratygraficznie piasek zalegał ponad gliną.

Faza I związana jest z budową kopca we wczesnej epoce żelaza. Przygotowanie kopca miało prawdopodobnie następujący przebieg – część naturalnego wyniesienia, w miejscu jego szczytu, nadrysano za pomocą ziemi pobieranej z obszaru otaczającego szczyt, a następnie otoczenie utworzonego w ten sposób kopca wyrównano, zsypując część ziemi na stoki wyniesienia i tworząc w ten sposób sztuczną platformę. Zadokumentowanymi warstwami tworzącymi nasyp kopca są w kolejności stratygraficznej: piasek 9 z pojedynczymi żwirkami, glina 3 z przewarstwieniami piasku i ilu oraz zwarty piasek 2 przemieszany z gliną i ilami (ryc. 7). Warstwą niwelacyjną powstałą podczas rówania *plateau* wokół kopca jest lekko przemieszany piasek 20 z domieszką materii organicznej, odsłonięty w W1, na krawędzi platformy (ryc. 6). W W2 poniżej nasypu kopca odsłonięto ilasty piasek 10 z licznymi żwirkami i pojedynczymi kamieniami, miąższości do 35 cm. Jest to prawdopodobnie warstwa naturalna, która obsunęła się w trakcie sypania kopca. W W2, na stropie calca, poniżej nasypów kopca, uchwycono zarys zniszczonego obiektu, który pierwotnie był prawdopodobnie prostokątny w planie,

z płaskim dnem i stromymi ściankami, szerokości do 200 cm i głębokość 45 cm. Jego wypełniskiem był piasek 8 przemieszany z grudami gliny. Obiekt ten należy wiązać z użytkowaniem kopca.

Fazę II należy wiązać z użytkowaniem stanowiska już w czasach współczesnych, w XIX i XX wieku. We wspomnianym horyzoncie chronologicznym najstarszym obiektem jest uchwycony fragmentarnie, regularny, prawdopodobnie prostokątny w profilu wkop 17, którego uchwycone wymiary to szerokość do 75 cm i głębokość co najmniej 40 cm. Jego wypełniskiem był lekko przemieszany piasek 18 z grudami gliny i ilu. Warto tu zauważyć, że znajduje się on bezpośrednio w granicach starszego obiektu 16, związanego z funkcjonowaniem kopca, a jego dno położone jest tylko nieznacznie poniżej dna obiektu 16. Być może należałoby interpretować ten wkop jako sondaż badawczy z badań realizowanych na tym stanowisku przez badaczy niemieckich, lub jako wkop rabunkowy.

Dwa młodsze obiekty to wkop 4, mający kształt rowu, trójkątnego w przekroju, którego uchwycone wymiary to długość co najmniej 3 m, szerokość do 170 cm i głębokość do 110 cm. Jego wypełniskiem w kolejności stratygraficznej były przemieszany piasek 7 z domieszką materii organicznej, piasek 6 przemieszany z gliną i domieszką materii organicznej oraz przemieszany piasek 5 z dużą domieszką materii organicznej i drobinami węgli drzewnych. Tuż obok niego znajdował się regularny, prostokątny w planie, prostokątny w profilu wkop 12, którego uchwycone wymiary to szerokość 75 cm i głębokość 60 cm. Jego wypełniskiem były przemieszany piasek 15 z domieszką materii organicznej, piasek 14 z drobinami węgli drzewnych i domieszką materii organicznej oraz piasek 12 z dużą ilością węgli drzewnych. Obiekt 4 jest najpewniej okopem, który można datować na okres II wojny światowej. Obiekt 12 był z nim w jakiś sposób funkcjonalnie związany.

Najmłodszą jednostką stratygraficzną jest ilasty piasek 1 z dużą domieszką materii organicznej, który jest obecnym poziomem humusu leśnego, pokrywającego całą powierzchnię stanowiska.

W trakcie przeprowadzonych badań pozykano łącznie 44 fragmenty ceramiki. Wszystkie reprezentują tą samą grupę technologiczno-surowcową – wykonane są z niezbyt dobrze przygotowanej masy ceramicznej, w której

Tabela 1. Zielenica, st. 15. Katalog warstw i obiektów oraz ich zależności stratygraficznych (oprac. D. Skoczylas)

Numer jednostki	Numer obiektu	Numer wykopu	Położenie w obrębie stanowiska	Współrzędne geodezyjne (PUWG 1992)	Opis jednostki stratygraficznej (rodzaj sedymetu, miąższość, zawartość zabytkowa, przypuszczalna funkcja/proces formowania)	Barwa (Munsell)	Pozycja stratygraficzna	
							Znajduje się pod	Znajduje się nad
1	-	1, 2, 3	Całe stanowisko	X=710586,6-710607,8; Y=599457,8-599484,4	Ilasty piasek z dużą domieszką materii organicznej; miąższość do 35 cm; współczesny poziom użytkowy w obrębie stanowiska	2.5Y 3/2	-	2, 20, 21
2	-	2	Kopiec	X=710604,1-710607,8; Y=599463,5-599468,1	Zwarty piasek przemieszany z gliną i ilami; miąższość do 15 cm; jeden z nasypów kopca	10YR 5/4	1	3
3	-	2	Kopiec	X=710604,1-710607,8; Y=599463,5-599468,1	Gлина z przewarstwieniami piasku i ilu; miąższość do 30 cm; jeden z nasypów kopca	7.5YR 5/6	2	8, 9, 10, 11, 19
4	4	2	Kopiec	X=710604,1-710607,8; Y=599463,5-599468,1	Wkopal w kształcie rowu, trójkątny w przekroju; uchwycone wymiary to długość co najmniej 3 m, szerokość do 170 cm i głębokość do 110 cm; okop z okresu II wojny światowej	-	5, 7	3, 8, 9
5	4	2	Kopiec	X=710604,1-710607,8; Y=599463,5-599468,1	Przemieszany piasek z dużą domieszką materii organicznej i pojedynczymi drobinami węgli drzewnych; wypełnisko obiektu 4	2.5YR 3/2	1	3, 4, 7
6	4	2	Kopiec	X=710604,1-710607,8; Y=599463,5-599468,1	Piasek przemieszany z gliną i domieszką materii organicznej; wypełnisko obiektu 4	10YR 4/4	5	3, 4, 7, 11
7	4	2	Kopiec	X=710604,1-710607,8; Y=599463,5-599468,1	Przemieszany piasek z domieszką materii organicznej; wypełnisko obiektu 4	10YR 5/4	5	4, 19
8	16	2	Kopiec	X=710604,1-710607,8; Y=599463,5-599468,1	Piasek przemieszany z grudami gliny; wypełnisko obiektu 16	10YR 5/4	3	11, 16
9	-	2	Kopiec	X=710604,1-710607,8; Y=599463,5-599468,1	Piasek z pojedynczymi żwirkami; miąższość do 25 cm; jeden z nasypów kopca	10YR 6/4	3	10
10	-	2	Kopiec	X=710604,1-710607,8; Y=599463,5-599468,1	Ilasty piasek z licznymi żwirkami i pojedynczymi kamieniami; miąższość do 35 cm; warstwa naturalna naruszona w trakcie sypania kopca	10YR 6/3	9	11
11	-	2, 3	Kopiec	X=710604,1-710607,8; Y=599457,8-599468,1	Sypki piasek; podłoże naturalne	10YR 7/3	3, 8, 17, 19	19
12	12	2	Kopiec	X=710604,1-710607,8; Y=599463,5-599468,1	Regularny, prostokątny w planie, prostokątny w profilu wkop; uchwycone wymiary to szerokość 75 cm i głębokość 60 cm; obiekt związany prawdopodobnie z okopem 4	-	13, 14, 15	2
13	12	2	Kopiec	X=710604,1-710607,8; Y=599463,5-599468,1	Piasek z dużą ilością węgli drzewnych; wypełnisko obiektu 12	10YR 2/1	1	14
14	12	2	Kopiec	X=710604,1-710607,8; Y=599463,5-599468,1	Piasek z drobinami węgli drzewnych i domieszką materii organicznej; wypełnisko obiektu 12	10YR 4/3	13	15
15	12	2	Kopiec	X=710604,1-710607,8; Y=599463,5-599468,1	Przemieszany piasek z domieszką materii organicznej; wypełnisko obiektu 12	10YR 5/3	14	11, 12
16	16	2	Kopiec	X=710604,1-710607,8; Y=599463,5-599468,1	Uchwycony fragmentarnie wkop, prostokątny w planie; uchwycone wymiary to szerokość do 200 cm i głębokość 45 cm; być może pozostałość jamy grobowej	-	8	11
17	17	2	Kopiec	X=710604,1-710607,8; Y=599463,5-599468,1	Uchwycony fragmentarnie, regularny, prawdopodobnie prostokątny w profilu wkop; uchwycone wymiary to szerokość do 75 cm, głębokość co najmniej 40 cm; wkop badawczy, lub rabunkowy	-	19	8, 11
18	17	2	Kopiec	X=710604,1-710607,8; Y=599463,5-599468,1	Lekko przemieszany piasek z grudami gliny i ilu; wypełnisko wkopu 17	10YR 5/2	4, 7	8, 11, 17
19	-	3	Kopiec	X=710605,2-710606,7; Y=599457,8-599461,1	Gлина z wtrętami ilów; podłoże naturalne	7.5Y 5/8	3, 11	-
20	-	1	Krawędź S tarasu	X=710586,6-710598,2; Y=599480,0-599484,4	Lekko przemeszany piasek z domieszką materii organicznej; miąższość do 35 cm; warstwa niwelacyjna	10YR 4/2	1	21
21	-	1	Krawędź S tarasu	X=710586,6-710598,2; Y=599480,0-599484,4	Gлина z wtrętami ilów; podłoże naturalne	7.5Y 5/8	1, 20	-

występuje obfita domieszka schudzająca w postaci drobno-, średnio- i gruboziarnistego piasku oraz ziaren tłuczonego kamienia. Naczynia były lepione ręcznie, a następnie wypalone w niezbyt wysokiej temperaturze, za czym może przemawiać fakt, że skorupy szybko nasiąkają wodą i stają się kruche. Ich powierzchnia jest szorstka lub też intencjonalnie chropowacona. Wszystkie analizowane fragmenty są częściami brzuśców, silnie rozdrobnionymi. Tylko 7 fragmentów ma nieco więcej niż 5 cm. Analogiczny typ ceramiki znany jest ze stanowisk kultury kurhanów zachodniobałtyjskich z wczesnej epoki żelaza. Niemal wszystkie fragmenty ceramiki zostały odnalezione w warstwie humusu 1 i na jego styku z zalegającą poniżej warstwą 2. Wszystkie też w granicach W2 i W3. Zostały one najpewniej wyrzucone na powierzchnię w momencie, gdy powstawały wkopy 4 i 17, oba niszczące starszy obiekt 16.

Badane stanowisko nie było do tej pory zewidencjonowane w ramach AZP, ale po-mimo to funkcjonuje w obiegu naukowym. Jego interpretację jako kurhanu podał Miroslaw J. Hoffmann, bazując na przeprowadzonych przez siebie w 1987 roku badaniach powierzchniowo-weryfikacyjnych. Badacz datuje ten kurhan na przedział czasu pomiędzy okresem halsztackim D i okresem lateńskim B (lata 550–120 p.n.e.)¹. Kurhan ten można zaliczyć do typu V według klasyfikacji M.J. Hoffmanna, który autor charakteryzuje jako „Kurhany, do budowy których wykorzystano naturalne wznieśienia morenowe”. W analogiczny sposób – poprzez nadsypanie szczytu wynie-

sienia gliną pobraną z niższych partii stoków – miał być wykonany kurhan nr 3 w miejscowości Surajny, gm. Miłakowo².

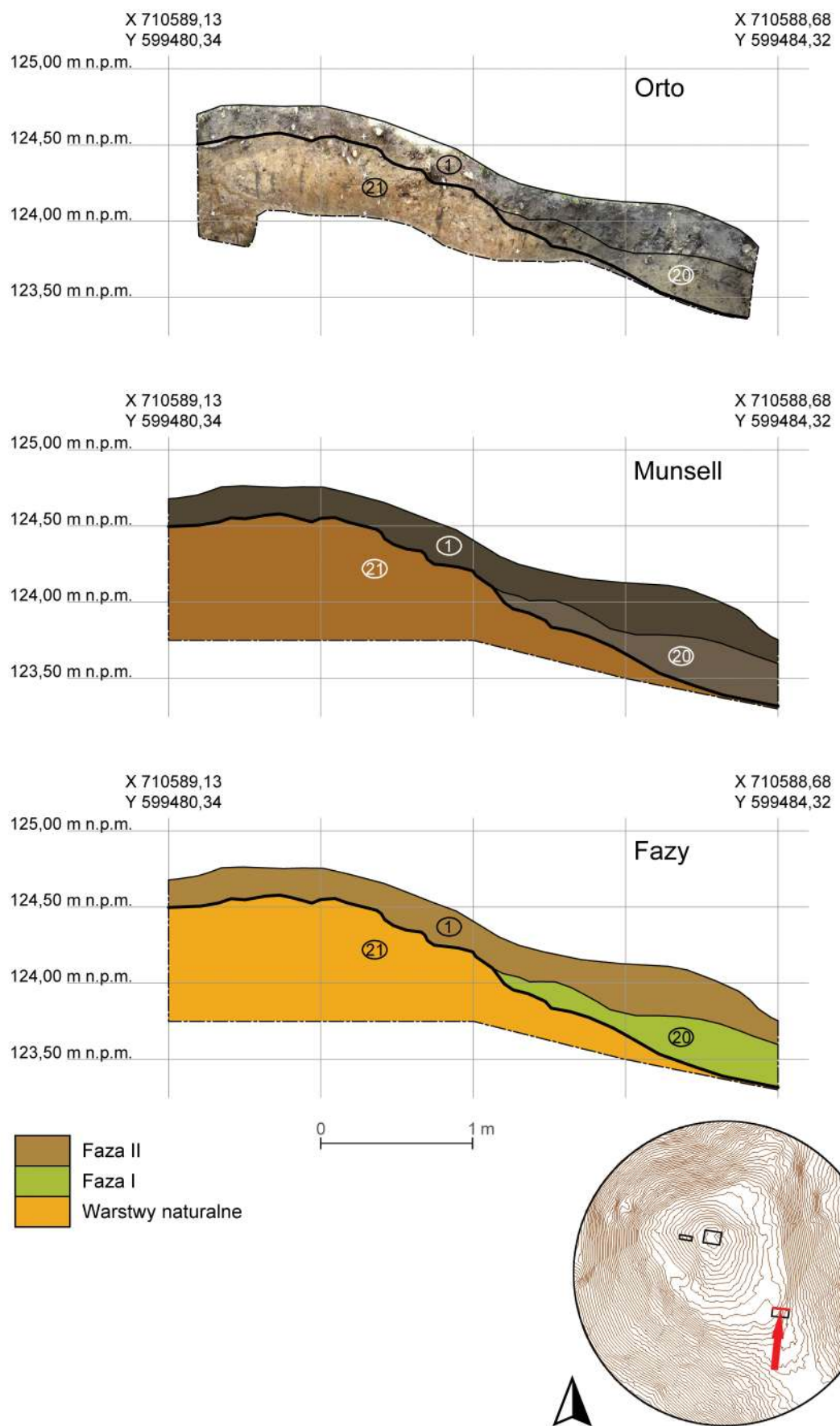
Niejednoznaczna pozostaje kwestia funkcji obiektu 16, który na podstawie analizy stratygrafii powstał w momencie budowy kopca, lub wcześniej. W jego wnętrzu nie natrafiono na zabytki, ani żadne konstrukcje kamienne, a sam obiekt znajduje się w północnej części kopca, należy więc najpewniej wykluczyć, że jest to jama grobowa. W obiekcie ten zostały wkopane dwa inne obiekty – młodszy to okop z II wojny światowej, a starszy to regularny wkop, którego dno znajduje się tylko nieco poniżej stropu calca. Nie można zatem wykluczyć, że ten drugi wkop to pozostałość po dawnym wykopie sondażowym. Jego kształt jest regularny, ściany niemal pionowe i odsłaniają nawarstwienia kulturowe, aż do poziomu naturalnego podłoża. M.J. Hoffmann podaje informację, że E. Hollack prowadził badania wykopaliskowe na grodzisku w Zielenicy, pow. bartoszycki, ale miało ono mieć chronologię wczesnośredniowieczną³. Sam E. Hollack podaje z kolei, że grodzisko w Zielenicy znajdowało się na północny wschód od wsi, a więc szacunkowo w miejscu, gdzie prowadzone były opisywane badania. Być może zadokumentowany obiekt to wkop sondażowy E. Hollacka?

Przeprowadzone badania weryfikacyjne, zarówno powierzchniowe, jak i wykopaliskowe, nie potwierdziły istnienia grodziska w miejscowości Zielenica, gm. Górowo Iławskie.

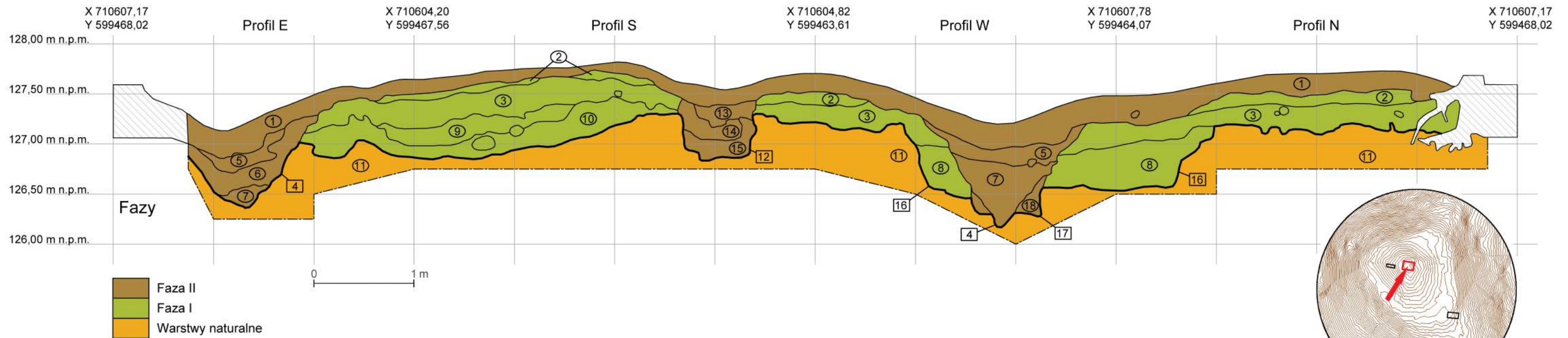
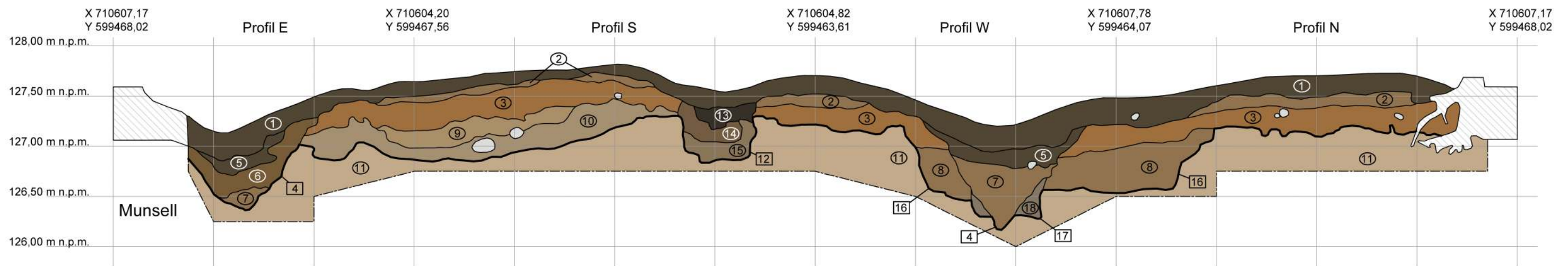
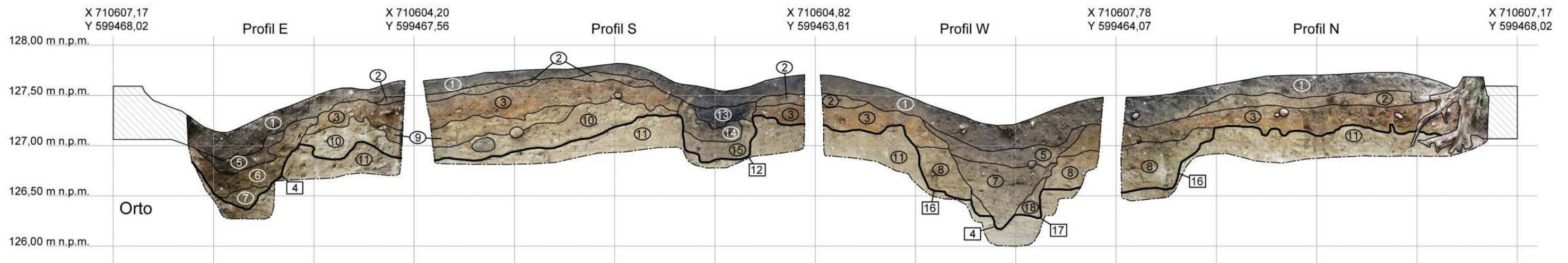
² Hoffmann 2000: 32–35.

³ Hoffmann 2005: 19.

¹ Hoffmann 2000: 7; 1999: 199; 1992: 96.



Ryc. 6. Zielenica, st. 15. Stratygrafia nawarstwień w obrębie krawędzi platformy – wykop 1 (oprac. D. Skoczylas i R. Solecki)



Ryc. 7. Zielenica, st. 15. Stratygrafia nawarstwień w obrębie kopca – wykop 2 (oprac. D. Skoczylas i R. Solecki)

Piaseczno, st. 1

Gmina Górowo Iławeckie

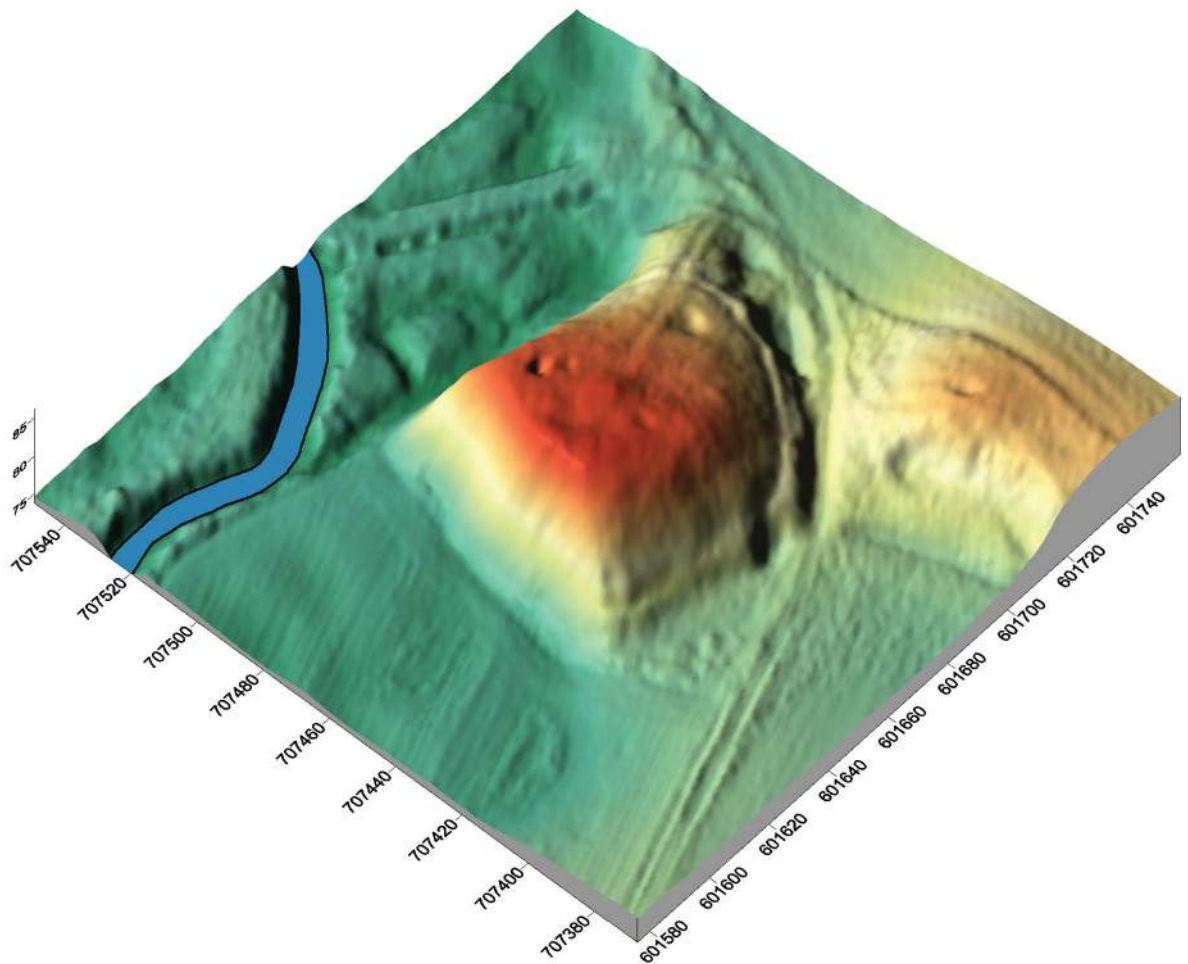
Powiat bartoszycki

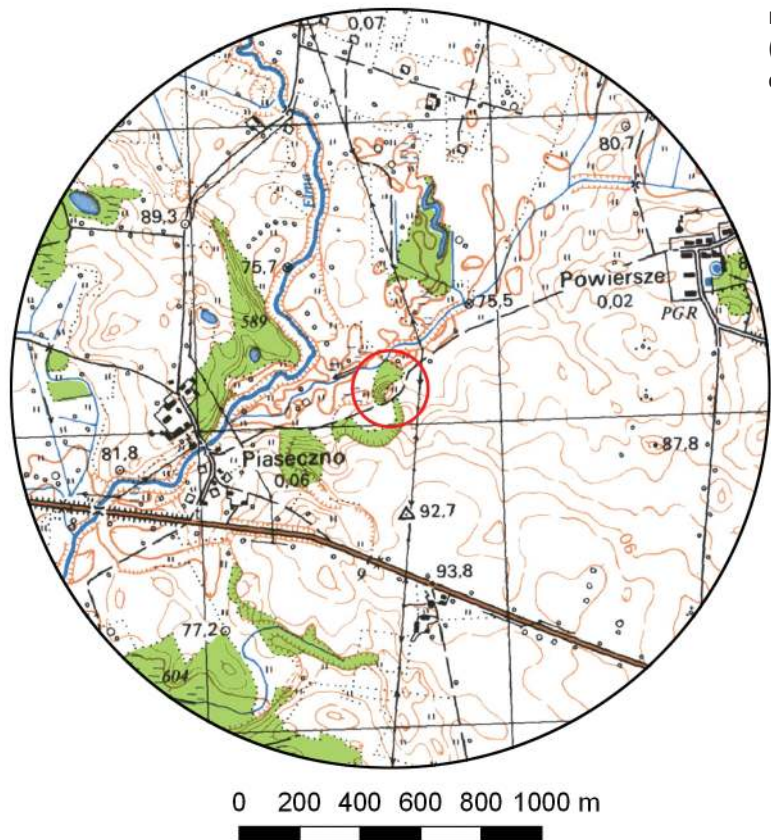
AZP 14-62/1

Współrzędne geograficzne:

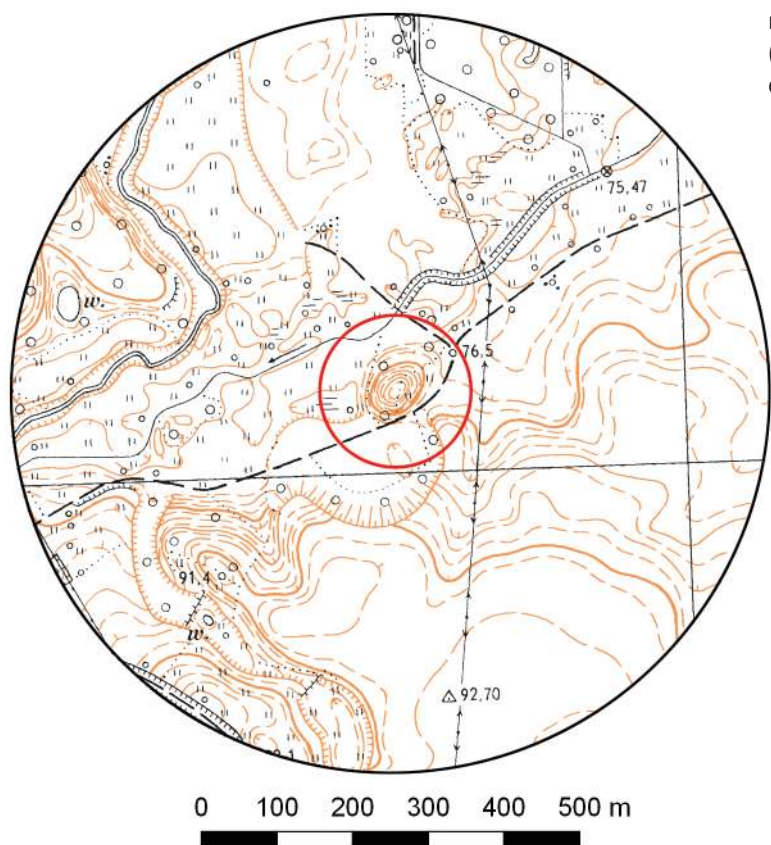
N 54° 13' 16''

E 20° 33' 35''





Ryc. 1. Piaseczno, st. 1
na mapie w skali 1:25 000
(na podstawie materiałów GUGiK,
oprac. R. Solecki)



Ryc. 2. Piaseczno, st. 1
na mapie w skali 1:10 000
(na podstawie materiałów GUGiK,
oprac. R. Solecki)

WYNIKI BADAŃ ARCHEOLOGICZNYCH

DANIEL SKOCZYLAS I RAFAŁ SOLECKI

W ramach projektu Archeologicznego Zdjęcia Polski zostało zewidencjonowane w Piasecznie, gm. Górowo Iławeckie, grodzisko stożkowe wiązane z osadnictwem krzyżackim i datowane na około XIII wiek¹. Decyzją z dnia 29 grudnia 1995 roku stanowisko to zostało także wpisane do rejestru zabytków pod numerem A-A-148. W uzasadnieniu decyzji znalazły się zapisy, że grodzisko jest „prawdopodobnie pozostałością pierwotnej siedziby rycerskiej, która została tu lokowana już w XIII w. jako jedna z najstarszych na terenie ziem Zakonu Krzyżackiego. Pod współczesną powierzchnią gruntu znajdują się skomplikowane struktury przestrzenne (warstwy kulturowe), będące pozostałością wielorakich procesów osadniczych realizowanych w przeszłości przez człowieka na tym terenie”².

Stanowisko to położone jest około 650 m na wschód od centrum wsi, na południowym brzegu doliny rzeki Powierszynka (ryc. 1–2), która w Piasecznie wpada do rzeki Elmy. Zajmuje wyeksponowany cypel, który u podstawy zbliżony jest do prostokąta o bokach w zakresie 60–80 m. Przy szczytcie cypel zbliżony jest do kwadratu o zaokrąglonych narożnikach i boku długości około 50 m. Średnia wy-

sokość cypla wynosi 9,5 m, najwyższy punkt w obrębie cypla osiąga 86,25 m n.p.m., a poziom lustra wody w rzece Powierszynce poniżej grodziska znajduje się na poziomie około 73,8 m n.p.m. Na granicy cypla i wysoczyzny widoczne są na obrazowaniu danych ALS liniowe formy (ryc. 3:1–2). Obiekt oznaczony cyfrą 1 to dawna droga, która przy południowo-wschodniej krawędzi cypla wchodzi z obszaru zalewowego na poziom wysoczyzny, okrąża cypel od zachodu i prowadzi dalej w kierunku przeprawy przez rzekę Powierszynkę. Obiekt oznaczony cyfrą 2 to wąska ścieżka okrążająca cypel u jego podstawy, a od zachodu po jego granicy z wysoczyzną. Podczas badań nie zanotowano, że „na jego krawędzi czytelne są relikty wału pierścieniowego”, która to informacja znalazła się w opisie stanowiska, na decyzji o jego wpisie do rejestru zabytków³.

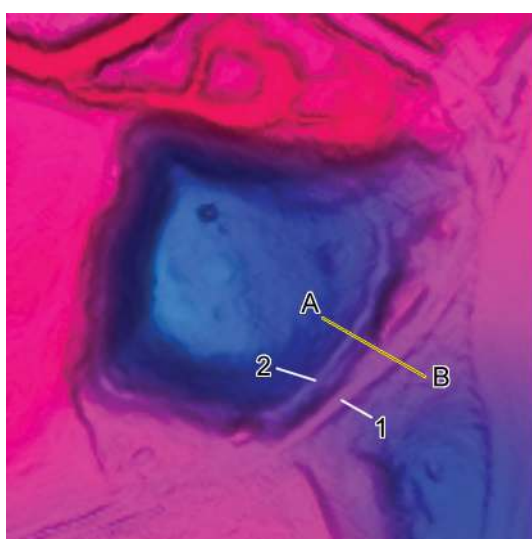
W centralnej części cypla znajduje się nieduża, murowana kaplica w stanie ruiny (ryc. 4) a wokół niej widoczne są płyty nagrobne, być może fragmenty metalowych krzyży oraz zniszczona, zawalona krypta (ryc. 5). Obszar stanowiska pełnił funkcję cmentarza zapewne od 2. połowy XIX, do początku XX wieku. Obecnie relikty cmentarza są niszczone, widoczne są między innymi ślady po ogniskach, a kamienne elementy architektoniczne służą, jako „ławki”.

Miejscowość Piaseczno (niem. *Sieslack*) wymieniana jest w dokumencie z 13 lipca

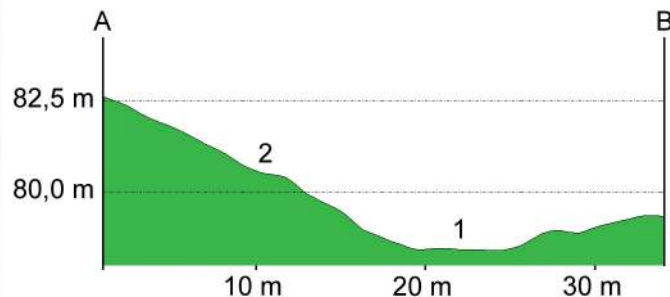
¹ Informacje z KESA AZP 14-62/1, numer w miejscowości 1.

² Informacja z Decyzji z dnia 29 grudnia 1995 r. w sprawie wpisania dobra kultury do rejestru zabytków, nr decyzji PSOZ-2458-IZA-5350-48/95, nr rejestru zabytków A-A-148.

³ Informacja z Decyzji z dnia 29 grudnia 1995 r. w sprawie wpisania dobra kultury do rejestru zabytków, nr decyzji PSOZ-2458-IZA-5350-48/95, nr rejestru zabytków A-A-148.



Ryc. 3. Piaseczno, st. 1. Przedstawienie stanowiska na obrazowaniu danych ALS wraz z ciągiem AB przez wybrane formy terenowe: 1) droga, 2) ścieżka (na podstawie materiałów GUGiK, oprac. R. Solecki)





Ryc. 4. Piaseczno, st. 1. Ruiny kaplicy cmentarnej (fot. R. Solecki)



Ryc. 5. Piaseczno, st. 1. Zawalona krypta (fot. R. Solecki)

1339 roku, pod nazwą *Sixdelawsks*. Kontekstem jest nadanie 6 łanów (*hufen*) we wspomnianej wsi dla Prusa imieniem Segelik⁴. W źródłach z początku XV wieku wymieniana jest jako *Sixdolauken* i *Sijselauken*. Już wtedy miał znajdować się we wsi młyn z jednym kołem⁵. W dokumentach z tego okresu brak jest informacji o innych obiektach/budyn-

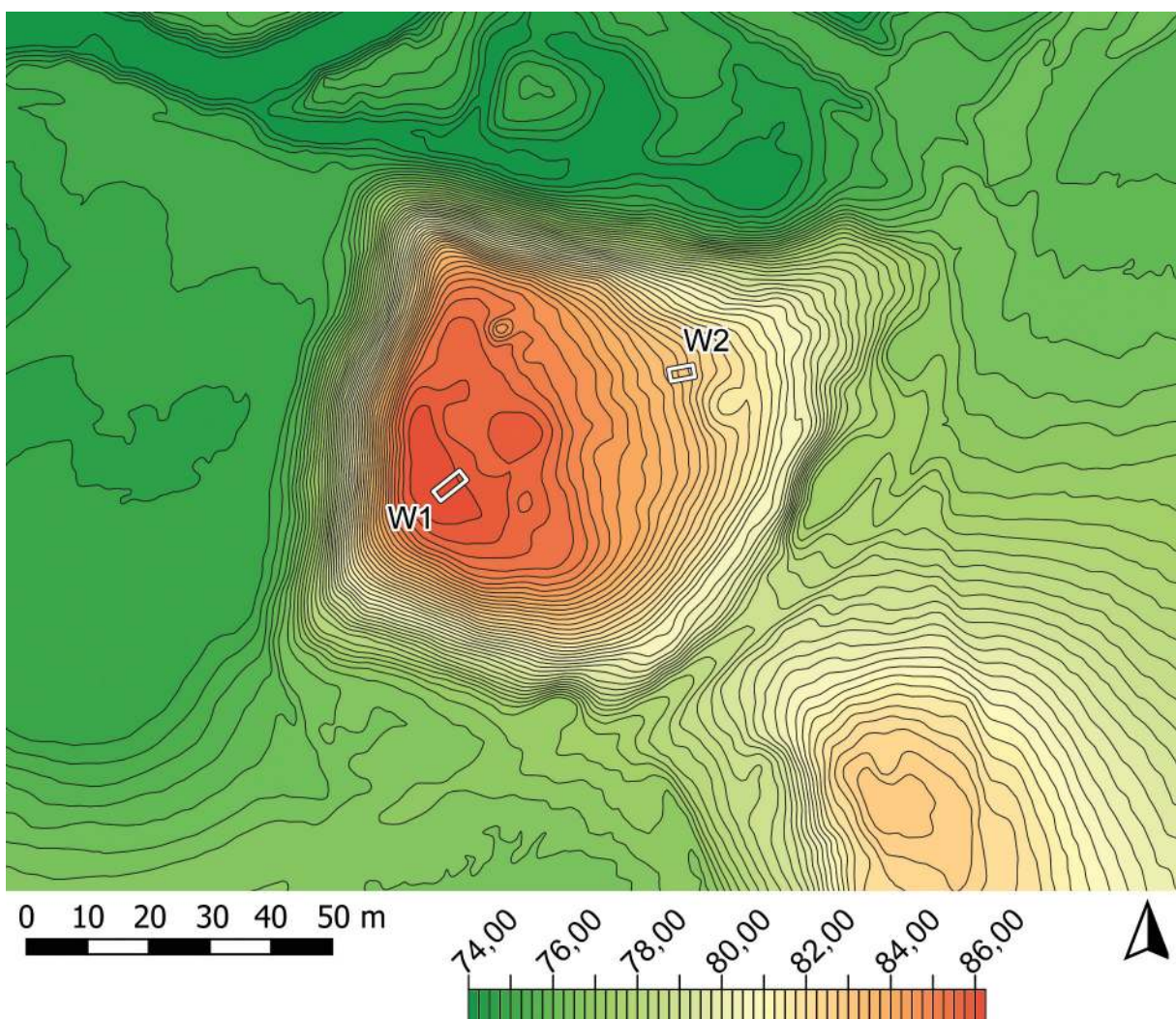
kach, które miałyby znajdować się we wsi. Już w XIX wieku wieś Piaseczno wraz z kilkoma innymi z okolicy, należała do rodziny von Hatten⁶. Rodzinny cmentarz wraz z kaplicą był najpewniej ich fundacją.

Przystępując do badań weryfikacyjnych wytyczono dwa wykopy badawcze: W1 (o wymiarach $2 \times 5,5$ m) i W2 (o wymiarach 2×4 m). W1 znajdował się w południowo-zachodniej części cypla, w obrębie jego kulminacji. W2 miał na celu rozpoznać relikty domniemane-

⁴ Hein 1944: 182 (dokument 254); w odsyłaczku pojawia się także nazwa *Sisselauken*.

⁵ Thielen 1958: 39 (dokument 146), 43 (dokument 155).

⁶ Petraszko i Wakar 1987b: 317.



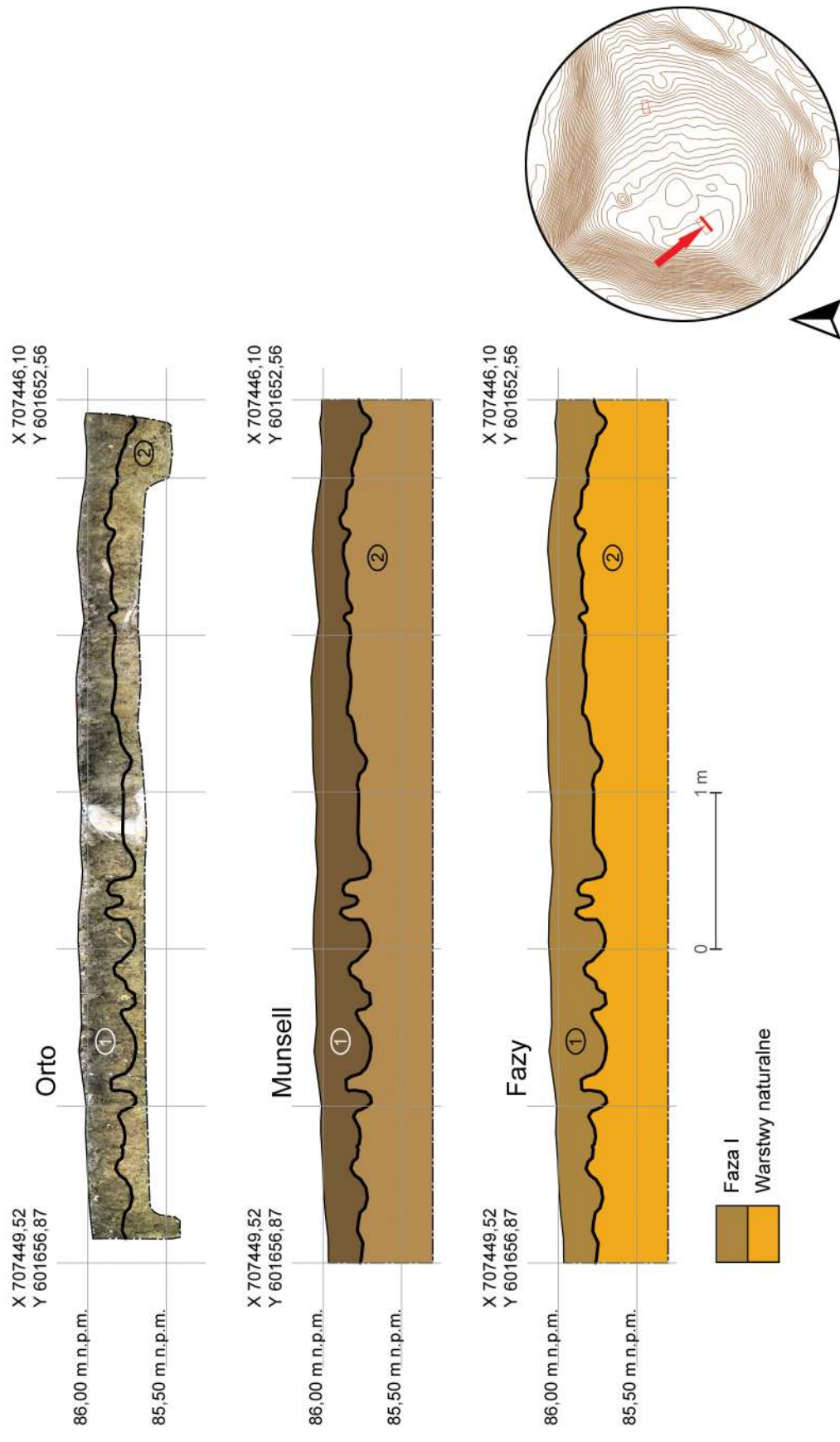
Ryc. 6. Piaseczno, st. 1. Plan stanowiska z naniesionymi wykopami archeologicznymi (oprac. R. Solecki)

go umocnienia na granicy cypla z wysoczyzną (ryc. 6). W żadnym z otworzonych wykopów nie zanotowano warstwy kulturowej starszej niż XIX–XX wiek. Poniżej współczesnego humusu leśnego 1, zarówno w W1 (ryc. 7), jak i w W2 (ryc. 8) występowała zwarta, tłusta glina 2, będąca naturalnym podłożem.

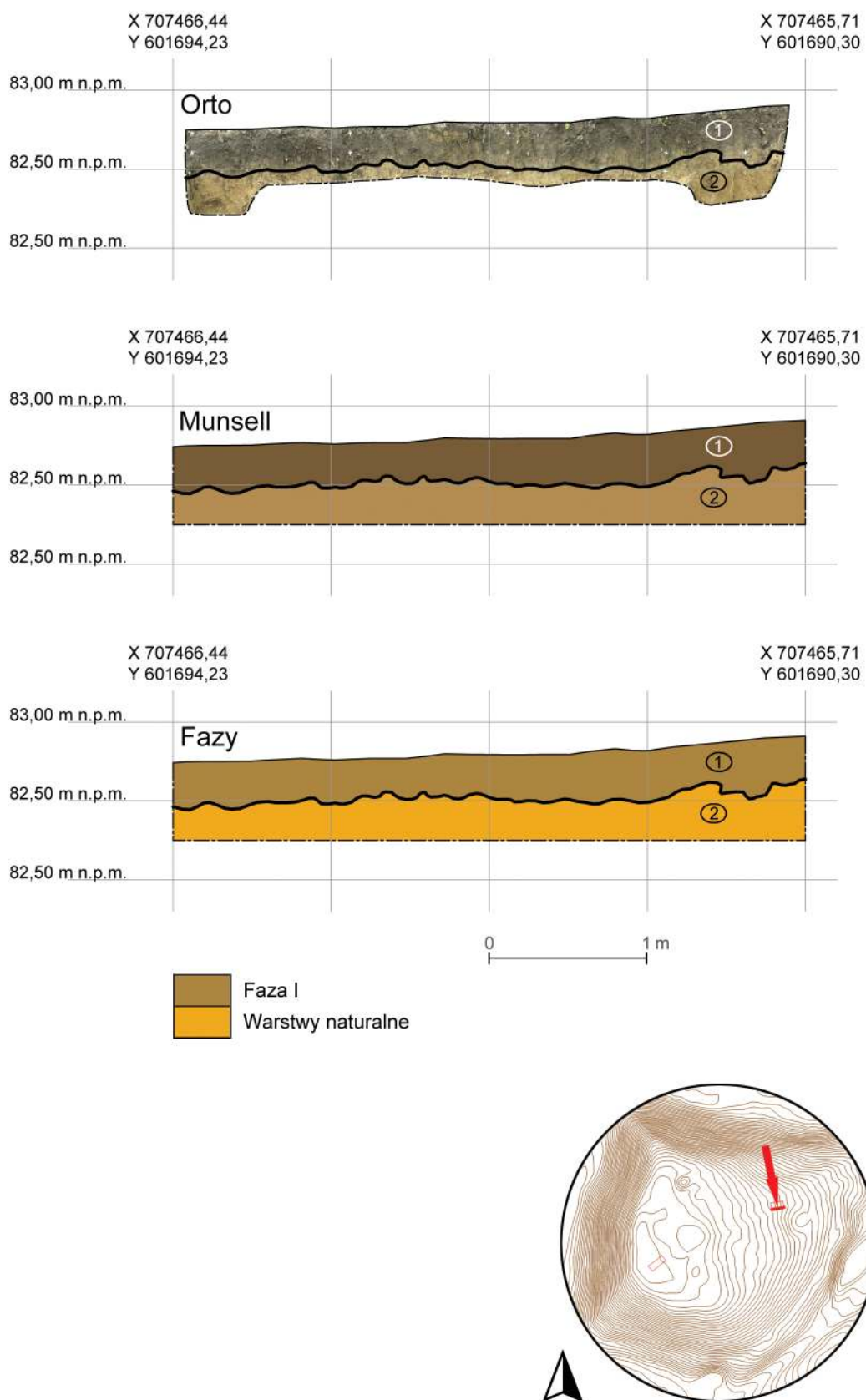
Brak warstwy kulturowej na obszarze cypla, którą można by wiązać z funkcjonowaniem tam grodziska, można interpretować na co najmniej kilka sposobów. Pierwszy to stwierdzenie, że na obszarze cypla nie było grodziska. Cypel mógł być uformowany w charakterystyczny kształt dopiero w XIX wieku, kiedy to zdecydowano się na jego powierzchni urządzić cmentarz związany z majątkiem rodziny von Hatten w Piasecznie. Nie jest to odosobniony przypadek – w zbliżony sposób przetworzony, naturalny cypel, który zadaptowano na potrzeby cmentarza, znajduje się przy pałacu rodziny Dohnów w Gładyszach (ryc. 9). Tam szczyt cypla jest także zbli-

żony do kwadratu o boku około 35 m, a wokół niego znajduje się nieduży nasyp, który jest pozostałością po ogrodzeniu, które wydzielało strefę *sacrum*. Można także przyjąć, że grodzisko na cyplu funkcjonowało w przeszłości, ale uległo zniszczeniu w momencie aranżacji cmentarza. W takim wypadku starsze warstwy kulturowe musiałyby być zsypane ze szczytu cypla, ale na powierzchni gruntu u jego podstawy nie widać takich śladów. Fragmenty ceramiki siwej występują jednak na powierzchni ziemi na południowy wschód i na południe od cypla. Tu jednak można je łączyć z funkcjonowaniem istniejącej od około XV wieku wsi Piaseczno. Z kolei, gdyby wziąć analogię z krzyżackiego grodziska stożkowego, znajdującego się na wyspie Wielka Żuława, na jeziorze Jeziorak, to tam stworzenie cmentarza tylko w nieznaczonym stopniu naruszyło starsze warstwy kulturowe i podczas badań nadal było możliwe ich uchwycenie⁷.

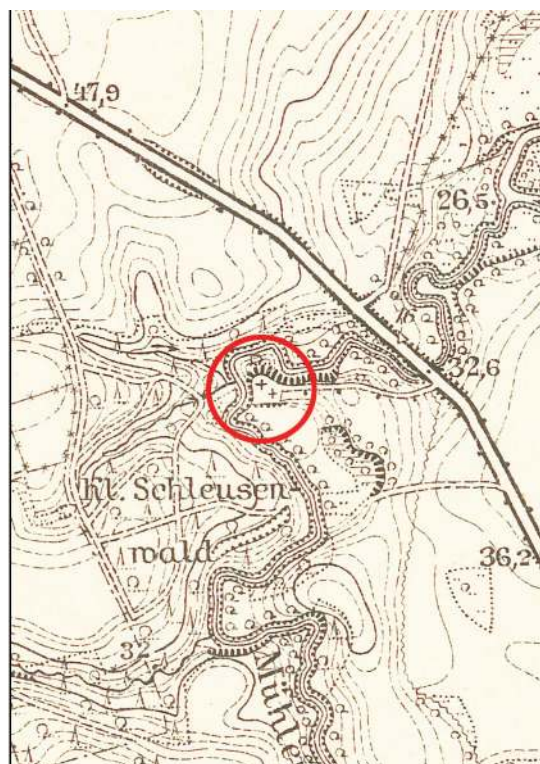
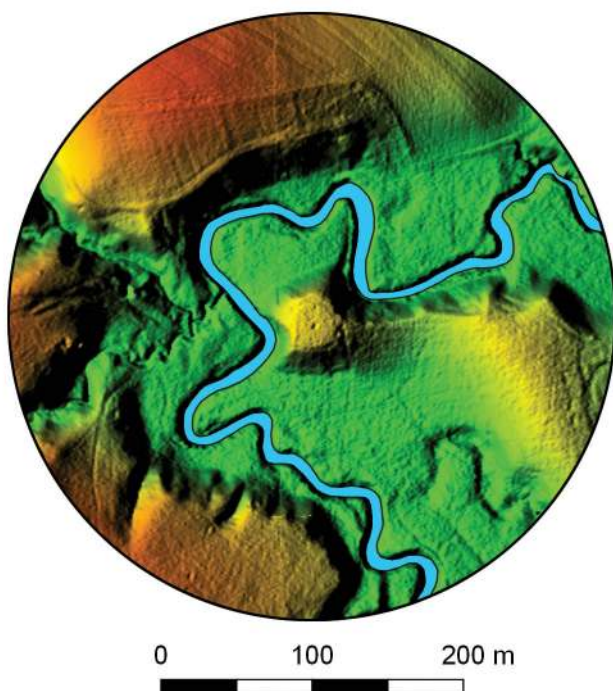
⁷ Rutyna i Wysocki 2017: 315–316.



Ryc. 7. Piaseczno, st. 1. Stratygrafia nawarstwień w obrębie wykopu 1 (oprac. D. Skoczyłas i R. Solecki)



Ryc. 8. Piaseczno, st. 1. Stratygrafia nawarstwień w obrębie wykopu 2 (oprac. D. Skoczylas i R. Solecki)



Ryc. 9. Cmentarz na cyplu przy pałacu Dohnów w Gładyszach, gm. Wilczęta. Po lewej na obrazowaniu danych ALS, po prawej na mapie *Topographische Karte 1:25000, Meßtischblatt, karta Wusen (547)*, z 1913 roku (oprac. R. Solecki; źródło: www.maps.mapywig.org)

Grodzisko w Piasecznie zaczęło funkcjonować w obiegu naukowym. Znalazło się między innymi w wykazie gródków stożkowatych z obszaru państwa Zakonu Krzyżackiego, w granicach województwa warmińsko-mazurskiego⁸. Przeprowadzone badania nie potwierdziły jednak hipotezy, że grodzisko w Piasecznie faktycznie istniało. Nie przemawiają za tym, ani przeprowadzone wstępne

⁸ Radkowski i Wysocki 2016: 351–353.

badania archeologiczne, ani kwerenda w archiwach niemieckich, gdzie brak jest wzmianek o grodzisku w Piasecznie, mimo że obszar ten był weryfikowany i w katalogu *Burgwall-kartei* wymienione są inne grodziska w omawianej okolicy. Sam cypel jednak nadal posiada duże znaczenie dla dziedzictwa ze względu na znajdujące się na nim relikty cmentarza. Wskazane jest by objąć je bardziej skrupulatną ochroną i zabezpieczyć przed postępującym niszczeniem.

Zamkowa Góra w Leśnictwie Orsy

Gmina Górowo Iławeckie

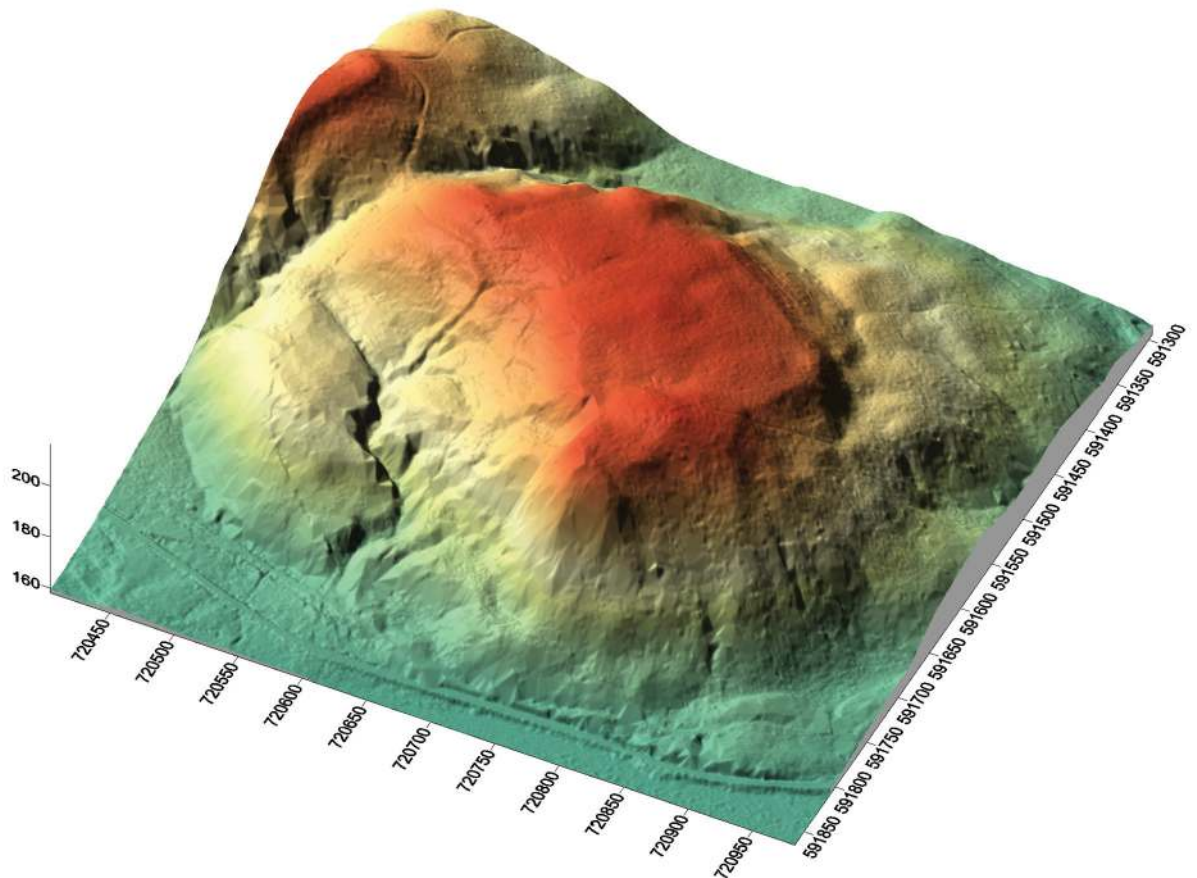
Powiat bartoszycki

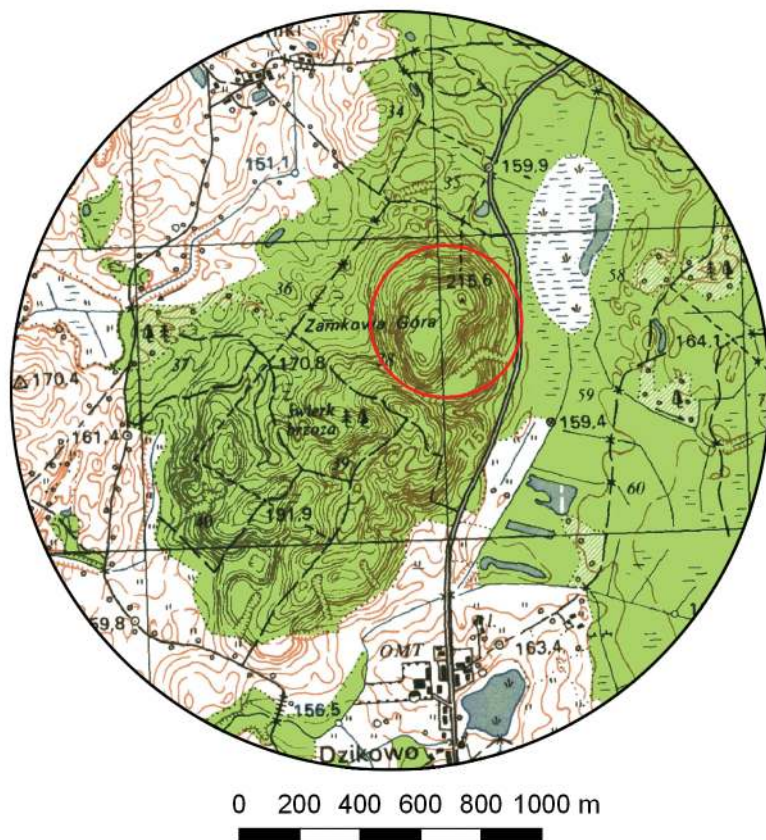
AZP n/d

Współrzędne geograficzne:

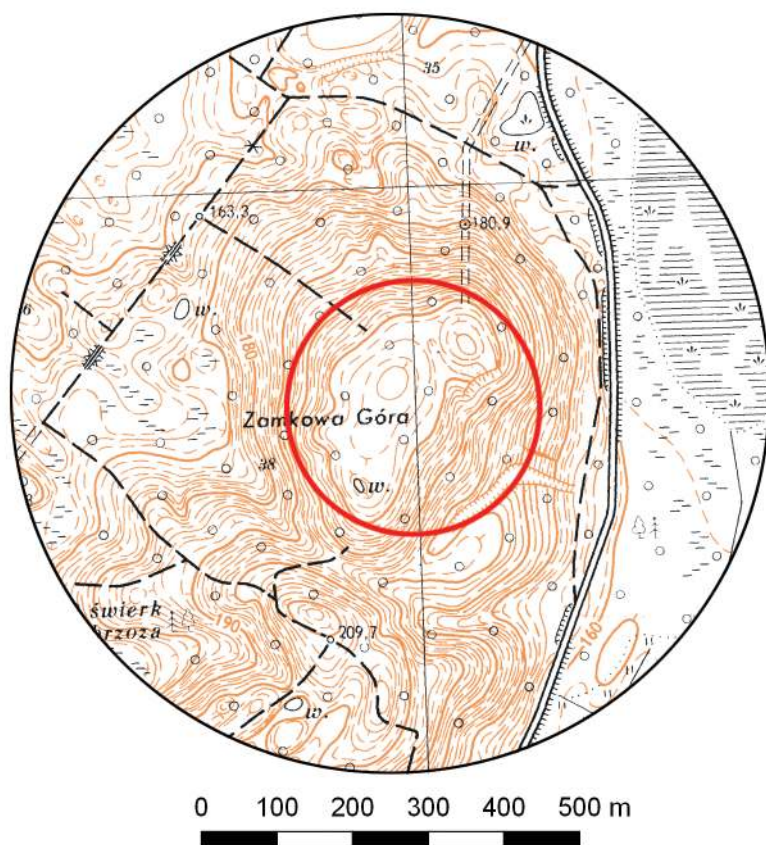
N 54° 20' 34"

E 20° 24' 36"





Ryc. 1. Zamkowa Góra w Leśnictwie
Orsy na mapie w skali 1:25 000
(na podstawie materiałów GUGiK,
oprac. R. Solecki)



Ryc. 2. Zamkowa Góra w Leśnictwie
Orsy na mapie w skali 1:10 000
(na podstawie materiałów GUGiK,
oprac. R. Solecki)

WYNIKI BADAŃ ARCHEOLOGICZNYCH

RAFAŁ SOLECKI I FABIAN WELC

Zamkowa Góra, znajdująca się w gminie Górowo Iławeckie, w obrębie ewidencyjnym Leśnictwo Orsy, jest najwyższym szczytem Wzniesień Górowskich (ryc. 1-2). Jej najwyższy punkt, w zależności od źródła informacji, osiąga 215–216 m n.p.m.¹ Zainteresowanie szczytem wynikło z jego charakterystycznej nazwy, sugerującej że w przeszłości znajdowało się tam założenie obronne. Nazwa ta pojawia się już na starszych mapach tego regionu, między innymi na mapie z około 1889 roku, gdzie szczyt jest opisany jako *Schloss B.* (ryc. 3)². W załączniku do Uchwały nr VIII/48/07 Rady Gminy Górowo Iławeckie z dnia 25 maja 2007 roku znajduje się informacja, że na Zamkowej Górze widoczne są wciąż ślady fortyfikacji i że miejsce to było „do XIII wieku grodziskiem plemienia Warmów”³. Zbliżona informacja – o drewnianym

¹ Kondracki 2002: 101.

² *Karte des Deutschen Reiches Generalstabskarte*, 1:100 000, karta Pr. Eylau, z około 1889 r., ale też *Topographische Karte 1:25 000 (Meßtischblatt)*, karta Canditten (1688), z 1943 r.

³ Załącznik do Uchwały Nr VIII/48/07 Rady Gminy Górowo Iławeckie z dnia 25 maja 2007 roku zatytułowany „Plan rozwoju miejscowości Dzikowo Iławeckie na lata 2007–2013. Gmina Górowo Iławeckie”.



Ryc. 3. Zamkowa Góra w Leśnictwie Orsy na mapie *Karte des Deutschen Reiches Generalstabskarte*, 1:100 000, karta Pr. Eylau, z około 1889 r.
(źródło: www.maps.mapywig.org)

zamku i miejscu pogańskiego kultu – znajduje się w przewodniku po gminie Górowo Iławeckie⁴.

Zamkowa Góra, pod względem geologicznym, leży w ciągu form akumulacji szczelinowej powstały w stadiale górnym zlodowacenia Wisły. Według *Szczegółowej Mapy Geologicznej Polski* w skali 1:50 000 (arkusz Głębock) górę tworzą gliny zwałowe w spływach akumulacji szczelinowej⁵.

Wstępem do archeologicznych badań wykopaliskowych było rozpoznanie z wykorzystaniem georadaru, przeprowadzone na wypłaszczeniu poniżej szczytu. Poligon 1 (P1) miał wymiary 33×13 m (ryc. 4). W jego granicach wykonano 38 równoległych profilowań, oddalonych od siebie o stały interwał odległości wynoszący 0,35 m. Pomiary wykonano z użyciem anteny o częstotliwości 450 MHz, co dało skuteczny zasięg głębokościowy sięgający około 3 m. Począwszy od powierzchni ziemi do głębokości około 1 m plany GPR (ryc. 5) ujawniły chaotycznie rozkładające się strefy tłumienia (jasne) i wzmacnienia sygnału (ciemnoczerwone). Na poziomie około 0,33 m daje się zauważać liniowa anomalia, którą zapewne ma genezę antropogeniczną. Być może jest to echo zewnętrznej krawędzi starej lub współczesnej drogi przecinającej szczyt. Poniżej 1 m widoczne są regularnie i zarazem koncentrycznie układające się strefy wzmacnienia sygnału GPR, które są efektem strefowej akumulacji materiału gruboziarnistego w obrębie osadów piaszczystych. Są to zapewne przewarstwienia i wkładki żwiru lub silnie zażelazione piaski. Te ostatnie należy łączyć z akumulacją materiału drobniejszego w trakcie powstawania formy szczelinowej, jaka buduje Góre Zamkową. Osady tego typu generują silny kontrast stałej dielektrycznej, stąd też tworzą strefy wzmacnienia sygnału GPR na analizowanych przekrojach czasowych. Opisane powyżej zespoły anomalii kontynuują się do głębokości około 2 m, co potwierdza, że są one efektem procesów geologicznych niezwiązanych z aktywnością człowieka w przeszłości. W okresie plejstocenu, w mieście pomiarów znajdowało się zagłębienie, sukcesywnie wypełniane namytnym materiałem gruboziarnistym, w wyniku spływów fluwioglacialnych. W tym wypadku będą to niewielkie kamienie i być może domieszka żwirów. Poniżej 2 m uzyskane przekroje czasowe

⁴ Sowiński 2014: 12, 35–36.

⁵ Honczaruk i Kacprzak 2014: 7–10

nie wykazały obecności anomalii ze względu na tłumienie sygnału GPR. Poligon 2 (P2) miał wymiary 20×4 m (ryc. 4) i został zlokalizowany na północny wschód od P1. Począwszy od powierzchni ziemi do głębokości około 1 m plany GPR (ryc. 6) ujawniły chaotycznie rozkładające się strefy tłumienia i wzmacniania sygnału, które, podobnie jak w przypadku P1, są efektem strefowej akumulacji materiału gruboziarnistego w obrębie osadów piaszczystych. Są to przewarstwienia żwiru lub gruboziarniste, silnie zażelazione piaski. Ponownie, osady tego typu generują silny kontrast stałej dielektrycznej, stąd też tworzą strefy wzmacniania sygnału GPR. Nie są to ślady działalności człowieka.

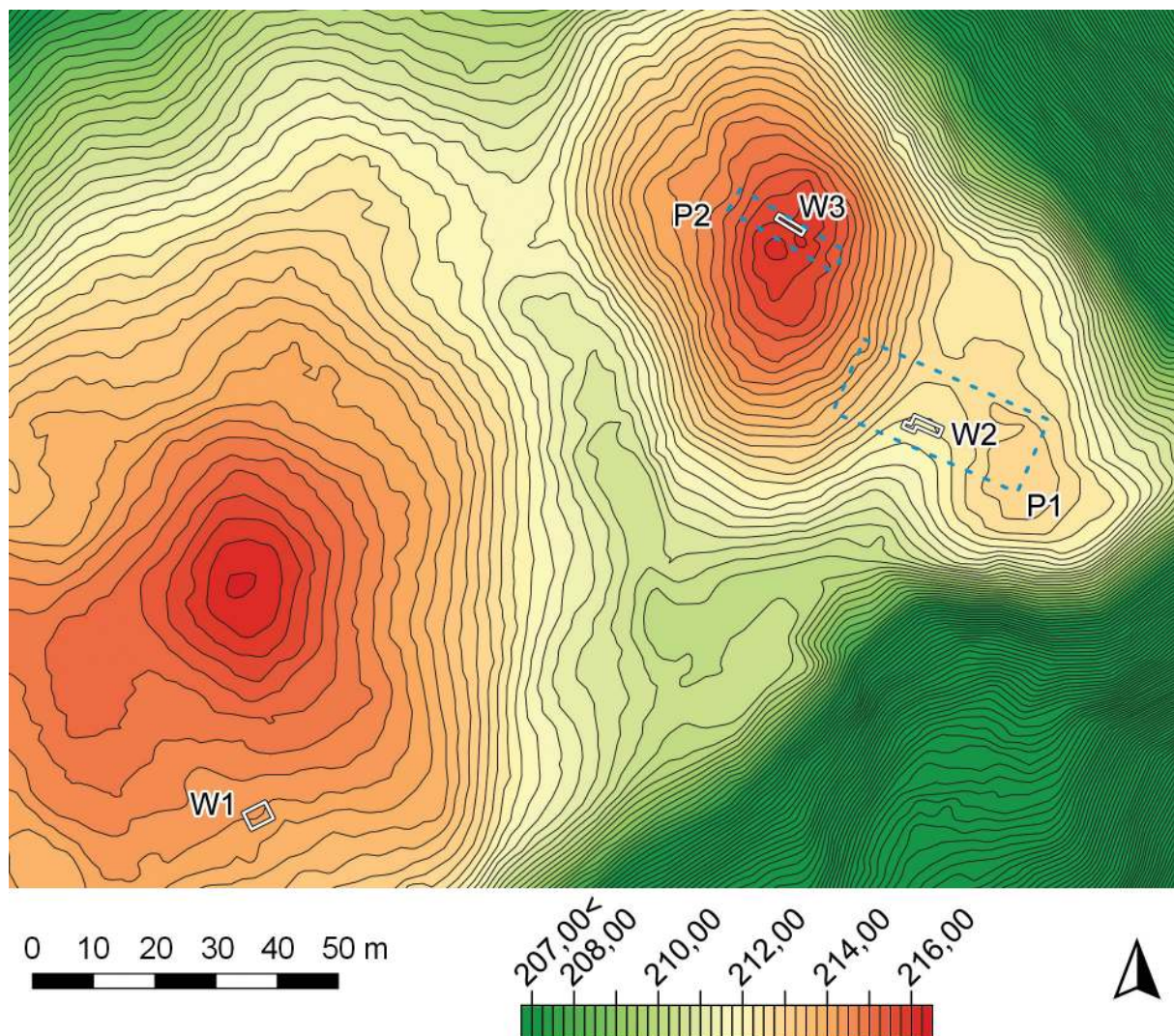
Na podstawie uzyskanych wyników badań nieinwazyjnych wytyczono dwa wykopy – nieregularny wykop 2 (W2) o powierzchni $9,5 \text{ m}^2$ i wykop 3 (W3) o wymiarach 1×5 m (powierzchnia 5 m^2) – zlokalizowane przy szczytce góry. Dodatkowo wytyczono wykop

1 (W1) o wymiarach 3×4 m (powierzchnia 12 m^2) położony na południe od najwyższego wypiętrzenia, w miejscu gdzie na powierzchni widoczne były masywne głazy układające się liniowo (ryc. 4).

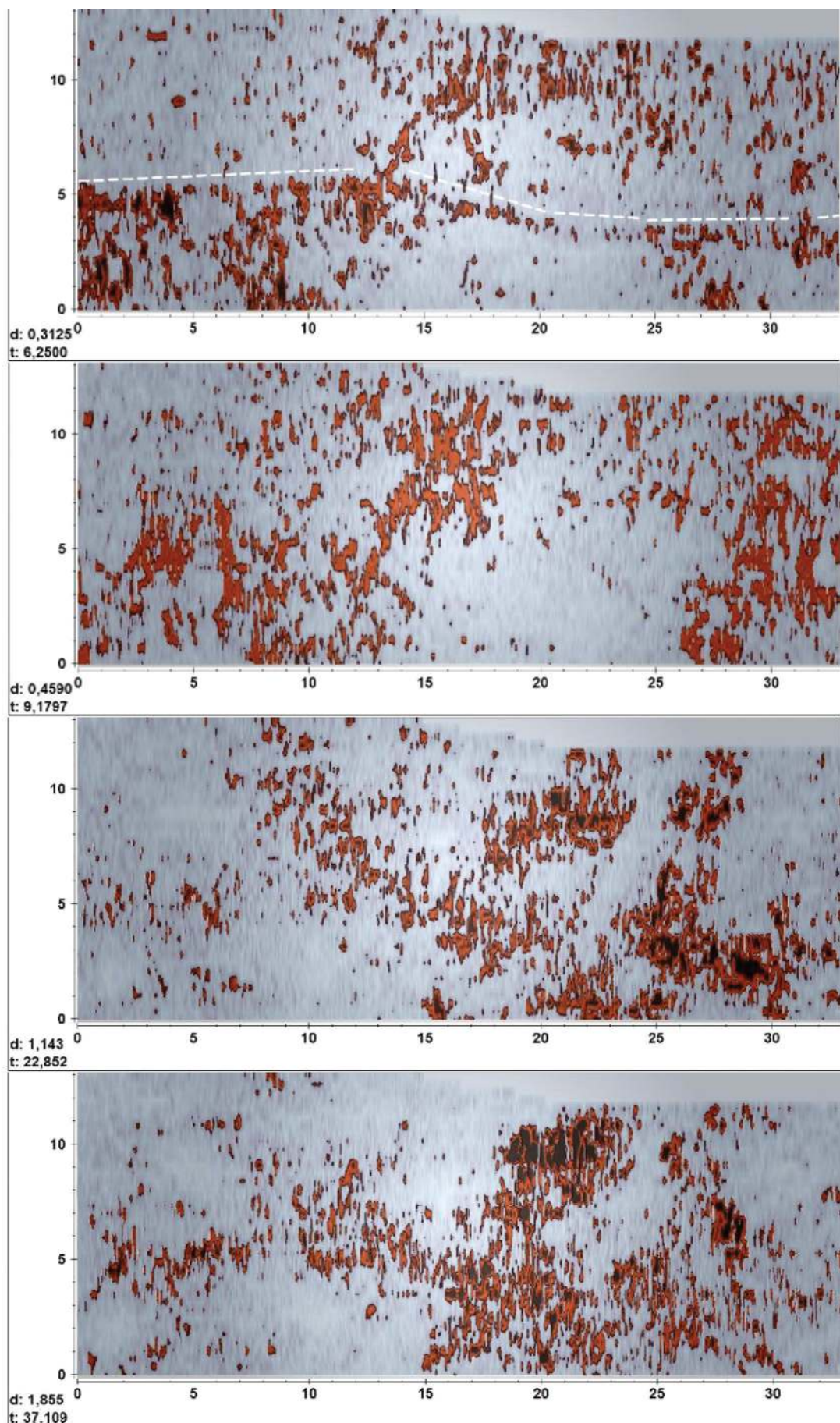
W trakcie badań archeologicznych wydzielono łącznie 7 jednostek stratygraficznych (tabela 1), które zaliczono do jednej fazy użytkowej, obejmującej współczesne użytkowanie tego terenu. Zadokumentowane powierzchnie przedstawiają: w W1 ryc. 8, w W2 ryc. 9 i w W3 ryc. 10.

Jako naturalne podłoże wydzielono: w W1 ilasty piasek 3 z żelazistymi wytrąceniami, w W2 zwarty piasek 5 z lokalnymi, żelazistymi wytrąceniami i pojedynczymi kamieniami o średnicy do 20 cm, a w W3 syphki piasek 7 z rudymi, żelazistymi wytrąceniami o frakcji od drobno- do gruboziarnistej i z bardzo dużą domieszką żwiru oraz kamieni.

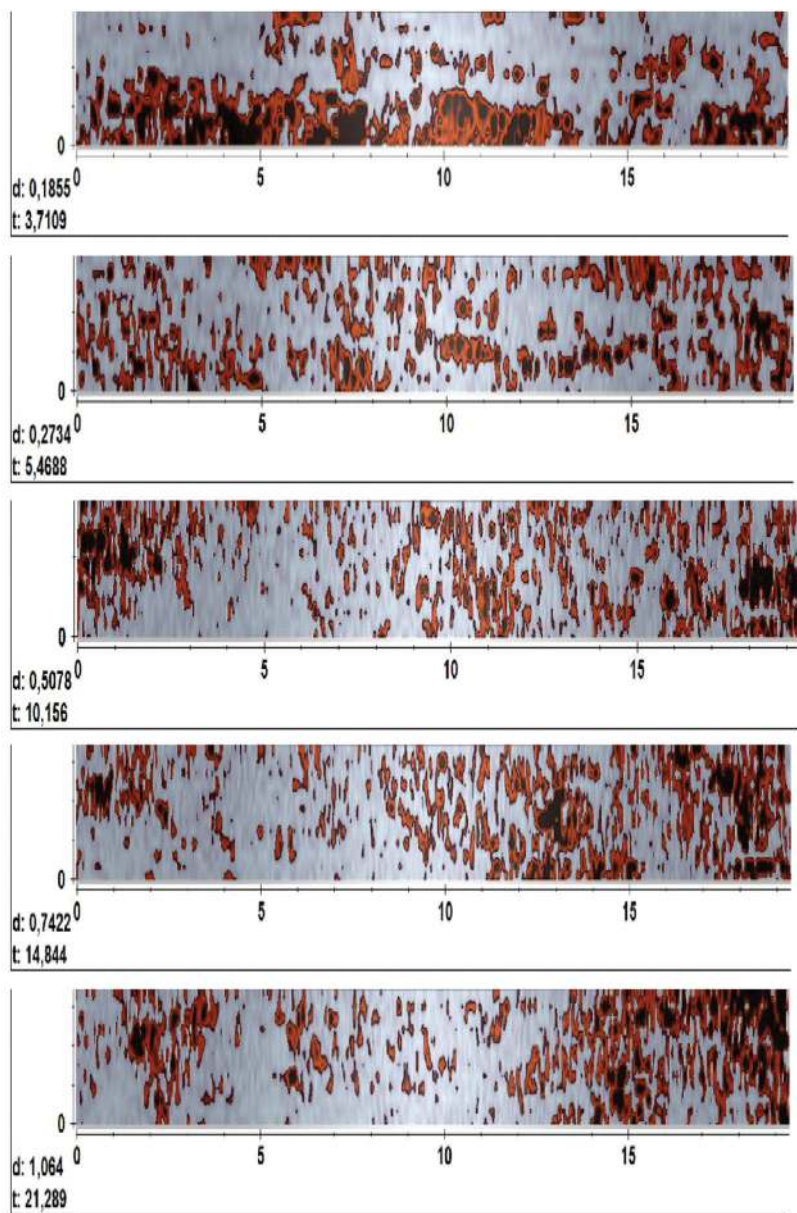
Bezpośrednio ponad naturalnym podłożem wydzielono poziom będący strefą przej-



Ryc. 4. Zamkowa Góra w Leśnictwie Orsy. Plan stanowiska z naniesionymi poligonami badań nieinwazyjnych i wykopami archeologicznymi (oprac. R. Solecki)



Ryc. 5. Zamkowa Góra w Leśnictwie Orsy. Plany GPR Poligonu 1 uzyskane dla głębokości 0,31–1,85 m (oprac. F. Welc)



Ryc. 6. Zamkowa Góra w Leśnictwie Orsy. Plany GPR Poligonu 2 uzyskane dla głębokości 0,31–1,85 m (oprac. F. Welc)

ściową pomiędzy mineralnym calcem a współczesnym poziomem humusu leśnego. W zależności od miejsca miąższość tego poziomu wahała się od 15 do nawet 60 cm. Do poziomu tego zaliczono: w W1 piasek 2 z dużą domieszką materii organicznej, w W2 lekko ilastysty piasek 4 z domieszką materii organicznej, a w W3 piasek 6 z dużą domieszką materii organicznej, żwiru i kamieni. Całą powierzchnię stanowiska pokrywał piasek z dużą domieszką materii organicznej 1, silnie poprzerastały korzeniami, który wyznaczał współczesny poziom użytkowy.

W trakcie przeprowadzonych wykopalißkowych badań archeologicznych w żadnym z wykopów nie natrafiono na warstwy kulturowe starsze niż XX wiek. Podczas czyszczania obszaru poprzedzającego wykonanie ba-

dań geofizycznych natrafiono na powierzchni na liczne przedmioty metalowe – gwoździe, druty, fragmenty pocisków – świadczące o wykorzystaniu tego obszaru w 1. połowie XX wieku, z okresem II wojny światowej. Włącznie. Znalezione przedmioty żelazne należy najpewniej łączyć z wieżą obserwacyjną, która była wybudowana na szczycie Zamkowej Góry i funkcjonowała w okresie międzywojennym (ryc. 7) i/lub z wieżą radionamiernika FuSAN-733 Heinrich Peiler, która miała znajdować się tamże w czasie II wojny światowej⁶. Przedmiotów tych nie zbierano, gdyż ich liczba była zbyt duża. Z tego względu zrezygnowano także z przeprowadzenia prospekcji z wykorzystaniem metody magnetycznej.

⁶ Informacja z przewodnika „Śladami tajemnic poligonu Stabæk”.

Tabela 1. Zamkowa Góra w Leśnictwie Orsy. Katalog warstw i obiektów oraz ich zależności stratygraficznych (oprac. R. Solecki)

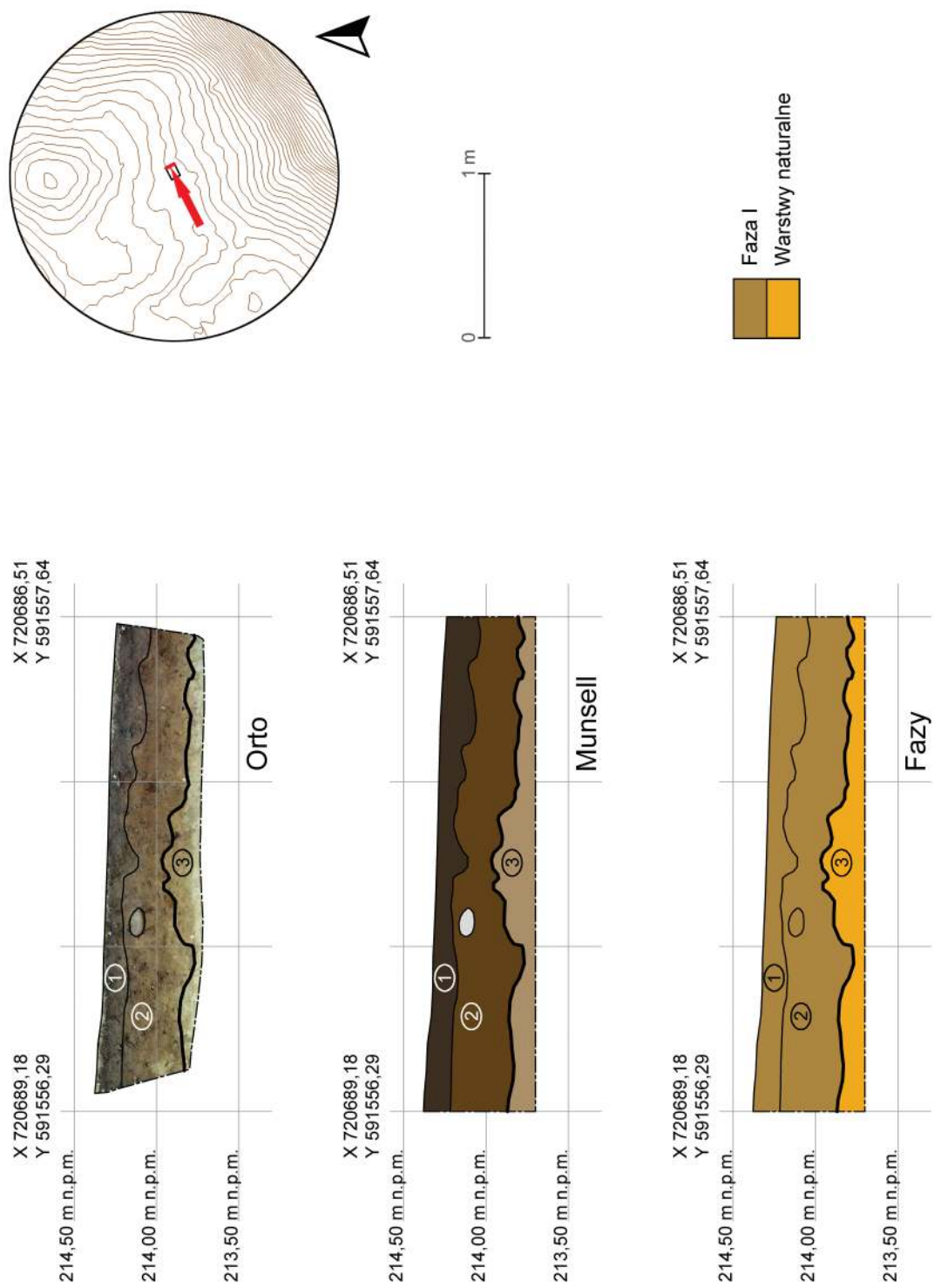
Numer jednostki	Numer obiektu	Numer wykopu	Położenie w obrębie stanowiska	Współrzędne geodezyjne (PUWG 1992)	Opis jednostki stratygraficznej (rodzaj sedymentu, miąższość, zawartość zabytkowa, przypuszczalna funkcja/proces formowania)	Barwa (Munsell)	Pozycja stratygraficzna	
							Znajduje się pod	Znajduje się nad
1	-	1, 2, 3	Cały badany obszar	X=720684,6-720785,5; Y=591552,6-591667,5	Piasek z dużą domieszką materii organicznej, silnie poprzerastany korzeniami; miąższość do 20 cm; humus leśny	10YR 2/2	-	2, 4, 6
2	-	1	Część S badanego obszaru	X=720684,6-720689,2; Y=591552,6-591557,7	Piasek z dużą domieszką materii organicznej; miąższość do 40 cm; gleba leśna	10YR 3/6	1	3
3	-	1	Część S badanego obszaru	X=720684,6-720689,2; Y=591552,6-591557,7	Ilasty piasek z żelazistymi wytrąceniami; poziom naturalny	10YR 6/4	2	-
4	-	2	Część N badanego obszaru	X=720749,0-720752,6; Y=591660,8-591667,5	Lekko ilasty piasek z domieszką materii organicznej; miąższość do 60 cm; gleba leśna	10YR 4/6	1	5
5	-	2	Część N badanego obszaru	X=720749,0-720752,6; Y=591660,8-591667,5	Zwarty piasek z lokalnymi, żelazistymi wytrąceniami i pojedynczymi kamieniami o średnicy do 20 cm; poziom naturalny	10YR 6/3	4	-
6	-	3	Część N badanego obszaru	X=720782,0-720785,5; Y=591639,9-591644,9	Piasek z dużą domieszką materii organicznej, zwiru i kamieni; miąższość do 45 cm; gleba leśna	10YR 4/4	1	7
7	-	3	Część N badanego obszaru	X=720782,0-720785,5; Y=591639,9-591644,9	Sypki piasek z rudymi, żelazistymi wytrąceniami o frakcji od drobno- do gruboziarnistej, z bardzo dużą domieszką zwiru i kamieni; poziom naturalny	10YR 6/6	6	-

Jak zostało już wspomniane badania nie przyniosły odkrycia warstw kulturowych, które można by wiązać z istnieniem w tym miejscu zamku, grodziska, bądź osiedla obronnego. Na szczytce góry widoczne są w wielu miejscach skupiska dużych kamieni. Wyraźne ich zagęszczenia występują szczególnie w obrębie samych szczytów. Badania przeprowadzone przy jednym z takich skupisk (W1) wykazały jednak, że jest to twór naturalny. Brak śladów po dawnych umocnieniach i po długotrwałym pobycie ludzi w tym miejscu nie oznacza jednak, że na szczytce nie ma żadnego stanowiska archeologicznego. Zamkowa Góra jest najwyższym szczytem w okolicy i w przeszłości mogła być wykorzystywana, ale w taki sposób, który nie pozostawił po sobie trwałych śladów w mikrotopografii terenu.

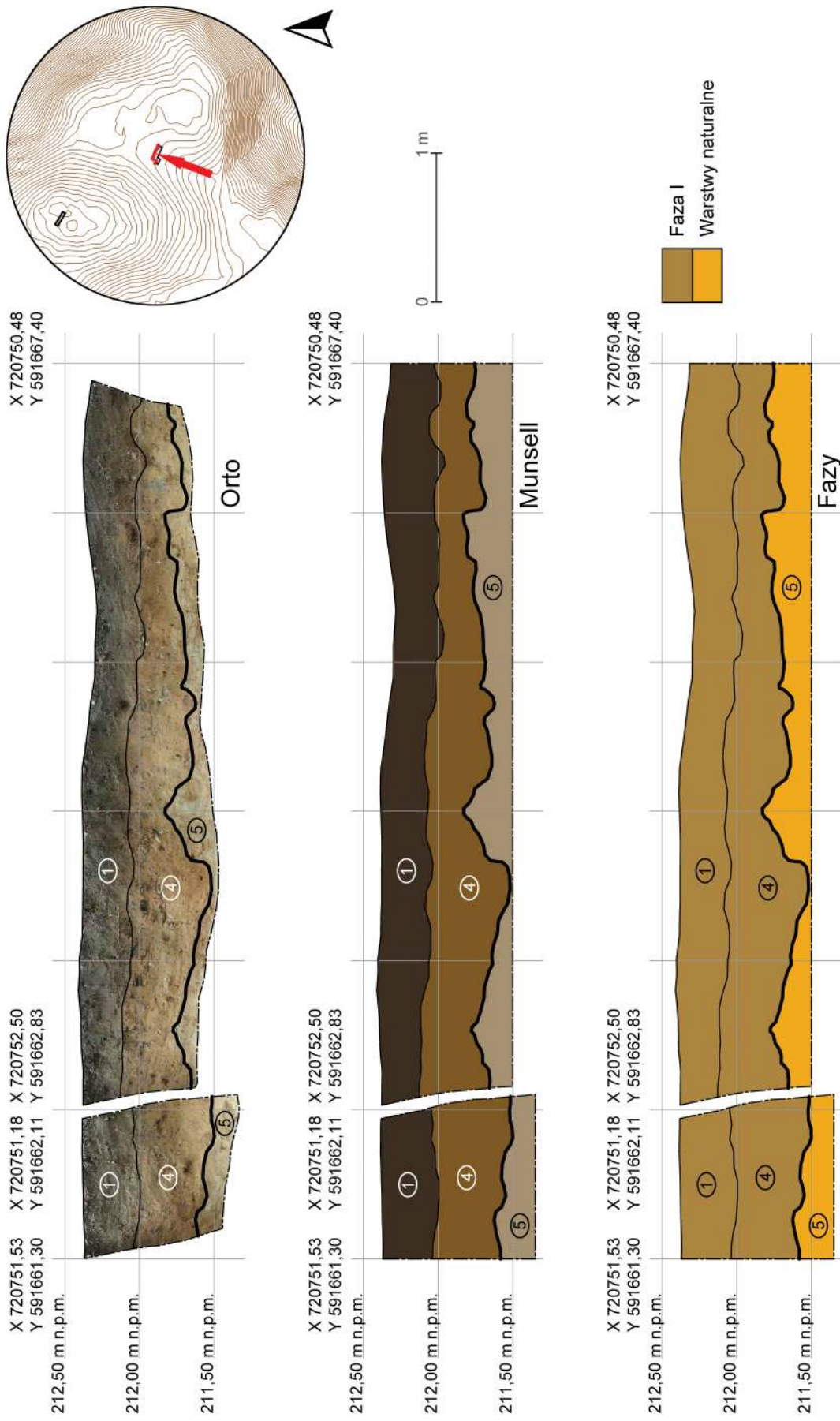
Podziękowania dla *Bildarchiv Ostpreußen* za udostępnienie zdjęcia przedstawiającego wieżę obserwacyjną na Zamkowej Górze.



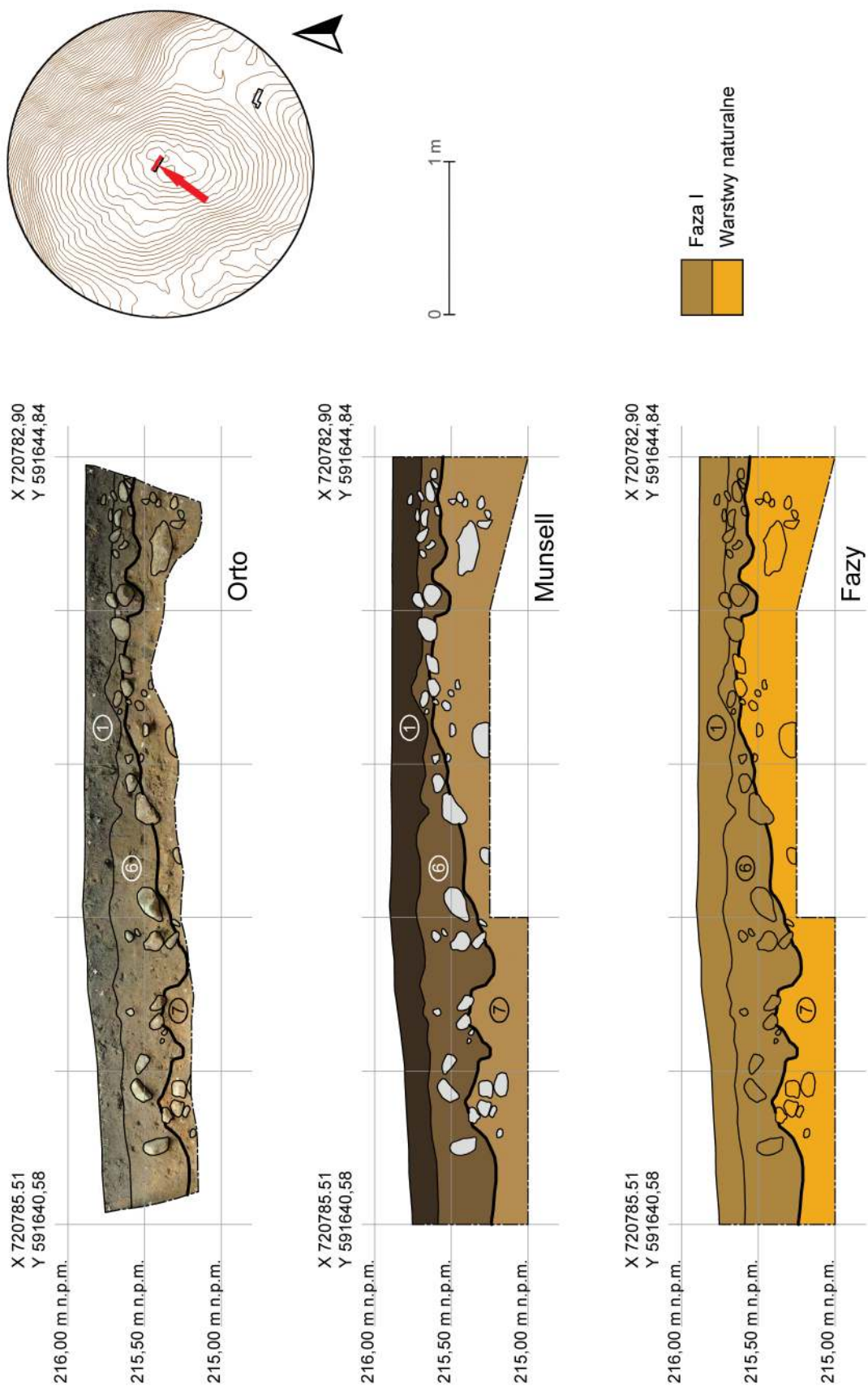
Ryc. 7. Wieża obserwacyjna na szczytce Zamkowej Góry, lata 1905–1920 (źródło: *Bildarchiv Ostpreußen*, www.bildarchiv-ostpreussen.de)



Ryc. 8. Zamkowa Góra w Leśnictwie Orsy. Stratygrafia nawarstwień w obrebie wykopu 1 (oprac. R. Solecki)



Ryc. 9. Zamkowa Góra w Leśnictwie Orsy. Stratygrafia nawarstwień w obrębie wykopu 2 (oprac. R. Solecki)



Ryc. 10. Zamkowa Góra w Leśnictwie Orsy. Stratygrafia nawarstwień w obrebie wykopu 3 (oprac. R. Solecki)

WYKAZ CYTOWANEJ LITERATURY

- Achremczyk, S.
2010. *Historia Warmii i Mazur. Tom I: Pradzieje – 1772*. Olsztyn: Ośrodek Badań Naukowych im. Wojciecha Kętrzyńskiego w Olsztynie.
- Adamiec, J., P. Czernic i K. Zdeb
2019. Dokumentacja wyników badań geofizycznych – georadarowych (GPR) przeprowadzonych na obszarze trzech stanowisk archeologicznych w ramach projektu NPRH „Katalog grodzisk Warmii i Mazur. Część II. Warmia wschodnia i Natangia” – cz. 2 Gładysze. Raport w archiwum Instytutu Archeologii UKSW w Warszawie.
- Antoniewicz, J.
1954. Zagadnienie wczesnożelaznych osiedli obronnych na wschód od dolnej Wisły i w dorzeczu rzeki Pregoły. *Wiadomości Archeologiczne* XX/4: 327–368.
1964. Osiedla obronne okresu wczesnożelaznego w Prusach. *Światowit* 25: 5–211.
- Białyński G.
2019. Zarys dziejów osadnictwa na Mazurach. *Echa Przeszłości* 20/1: 335–348.
- Biermann, F., Ch. Herrmann i A. Koperkiewicz
2019. Alt-Wartenburg. Gründung und Untergang einer Lokationsstadt in der „Großen Wildnis”, [w:] G. Köster i Ch. Link (red.), *Faszination Stadt: die Urbanisierung Europas im Mittelalter und das Magdeburger Recht*: 274–284. Magdeburger Museumschriften 17. Dresden: Sandstein Verlag.
- Biskup, M.
1983. Uwagi o problemie osadnictwa i sieci parafialnej w Prusach Krzyżackich w wiekach XIV–XV. *Komunikaty Mazursko-Warmińskie* 2–3: 199–217.
- Biskup, M. i G. Labuda
1986. *Dzieje Zakonu Krzyżackiego w Prusach*. Gdańsk: Wydawnictwo Morskie.
- Bitner-Wróblewska, A. i A. Piotrowski
1990. Wały podłużne w okolicach Biskupca w woj. olsztyńskim: przyczynek do pochodzenia i chronologii tego typu obiektów na obszarze południowej Warmii. *Komunikaty Mazursko-Warmińskie* 1–4: 133–140.
- Bochnak, T., P. Kotowicz i Z. Opiełowska
2016. Dwa celtyckie depozyty przedmiotów żelaznych z Pakoszówki, pow. sanocki. *Materiały i Sprawozdania Rzeszowskiego Ośrodka Archeologicznego* 37: 209–246. DOI: 10.15584/misroa.2016.37.11
- Buko, A.
1990. Wykorzystanie zjawiska erozji ceramiki w analizach procesów formowania się stanowisk osadniczych. *Sprawozdania Archeologiczne* 42: 349–359.
- Cieśliński, A.
2014. Kopce kultury wielbarskiej z Mazowsza i Podlasia a tzw. typ rostoński – próba nowego spojrzenia na związki cmentarzyków kurhanowych z Północnej i Wschodniej Polski. *Wiadomości Archeologiczne* 65: 45–93.
- Chojnacka-Banaszkiewicz, A.
- 2017a. Stary Folwark, st. 1: znaleziska, [w:] Z. Kobyliński (red.), *Katalog grodzisk Warmii i Mazur. Tom 1*: 129–182. Warszawa: Instytut Archeologii Uniwersytetu Kardynała Stefana Wyszyńskiego w Warszawie i Fundacja Res Publica Multiethnica.
- 2017b. Stary Folwark, st. 1: chronologia stanowiska, [w:] Z. Kobyliński (red.), *Katalog grodzisk Warmii i Mazur. Tom 1*: 191–193. Warszawa: Instytut Archeologii Uniwersytetu Kardynała Stefana Wyszyńskiego w Warszawie i Fundacja Res Publica Multiethnica.
- Chojnacka-Banaszkiewicz, A., i D. Wach
2017. Stary Folwark, st. 1: położenie grodziska i jego forma, badania archeologiczne, [w:] Z. Kobyliński (red.), *Katalog grodzisk Warmii i Mazur 1*: 108–128, Warszawa: Instytut Archeologii Uniwersytetu Kardynała Stefana Wyszyńskiego w Warszawie i Fundacja Res Publica Multiethnica.
- Chudziak, W. i J. Bojarski
2019. (red.) *Wczesnośredniowieczne grodziska w Polsce. Tom 1. Powiat bydgoski*. Wrocław: Instytut Archeologii i Etnologii Polskiej Akademii Nauk, Instytut Archeologii Uniwersytetu Mikołaja Kopernika w Toruniu.
- Chudziak, W. i M. Weinkauf
2019. (red.) *Wczesnośredniowieczne grodziska w Polsce. Tom 7. Powiat toruński*. Toruń: Wydawnictwo Naukowe Uniwersytetu Mikołaja Kopernika
- Chudziakowa, J.
1974. *Kultura lużycka na obszarze międzyrzecza Wisły, Drwęcy i Osy*. Warszawa-Poznań: Państwowe Wydawnictwo Naukowe, Towarzystwo Naukowe w Toruniu.
- Clark, J., G. Egan i N. Griffiths
1995. Harness fittings, [w:] J. Clark (red.), *The medieval horse and its equipment c. 1150 – c. 1450*: 43–74. Medieval Finds from Excavations in London 5. Londyn: Museum of London.
- Crome, H.
1937. Karte und Verzeichnis der vor- und frühgeschichtlichen Wehranlagen in Ostpreussen. *Altpreußen* 2: 97–125.
1940. Verzeichnis der Wehranlagen Ostpreußens. *Prussia: Zeitschrift für Heimatkunde* 34: 83–154.

- Cymbalak, T.
2006. Wybrane znaleziska podkówki do butów z terenu Czech na tle analogii środkowo-europejskich. *Archaeologica Pragensia* 18: 263–282.
- Dąbrowska, T.
1996. Krzesiwa typu skandynawskiego z Kamieńczyka, woj. Ostrołęka, [w:] W. Nowakowski (red.) *Concordia. Studia poświęcone Jerzemu Okuliczowi-Kozarynowi w sześćdziesiątą piątą rocznicę urodzin: 45–49*. Warszawa: Instytut Archeologii Uniwersytetu Warszawskiego.
- Dąbrowski, J.
1997. *Epoka brązu w północno-wschodniej Polsce*. Białystok: Białostockie Towarzystwo Naukowe, Instytut Archeologii i Etnologii Polskiej Akademii Nauk.
- Dembińska, M. i Z. Podwińska
1978. Historia Kultury Materiałnej Polski. Tom I od VII do XII wieku, [w:] W. Hensel i J. Pazardur (red.), *Historia Kultury Materiałnej Polski w zarysie*. Wrocław-Warszawa-Kraków-Gdańsk: Zakład Narodowy imienia Ossolińskich, Wydawnictwo Polskiej Akademii Nauk.
- Dzięgielewski, K., R. Szczerba i B. Chudzińska
2006. Osadnictwo z wczesnej epoki brązu, okresu halsztackiego i starszego okresu przedrzymskiego oraz ślady działalności człowieka w czasach średniowiecznych i nowożytnych na stanowisku 17 w Podłężu, pow. wielicki. *Raport 2005–2006*: 315–348.
- Eckhart, B.
1930. Die Geschichte des Kirchdorfs Schnellwalde [w:] W. Friedrich (red.), *Aus Vergangenheit und Gegenwart des Kreises Mohrungen: Selbstverlag des Kreisausschusses in Mohrungen*: 46–81. Morąg.
- Engel, M. i C. Sobczak
2019. Atlas Grodzisk Jaćwieży. Nowe spojrzenie na Góry Zamkowe, Szwedzkie szańce i Piłokalnie, [w:] K. Chrzan, S. Moździoch i S. Rodek (red.), *Współczesne metody badań wczesnośredniowiecznych grodów Europy Środkowo-Wschodniej*: 63–80. Wrocław: Wydawnictwo Instytutu Archeologii i Etnologii Polskiej Akademii Nauk.
- Filip, J.
1956. *Keltové ve střední Evropě*. Praha: Československá Akademie Věd.
- Gackowski, J.
2017. Osiedla nawodne kultury kurhanów zachodniobałtyjskich w krajobrazie naturalnym i kontekście kulturowym północno-wschodniej Polski. *Komunikaty Mazursko-Warmińskie* 1(295): 3–22.
- Gackowski, J. i Sz. Rosołowski
- 2020a. Katalog zabytków, [w:] J. Gackowski i H.P. Dąbrowski (red.), *Znalezisko gro-* madne przedmiotów metalowych kultury łużyckiej w Brudzyniu, pow. żniński: 57–82. Biskupin-Toruń: Muzeum Archeologiczne w Biskupinie i Polskie Towarzystwo Historyczne.
- 2020b. Wyroby z brązu i żelaza: analiza kulturo-chronologiczna, [w:] J. Gackowski i H.P. Dąbrowski (red.), *Znalezisko gromadne przedmiotów metalowych kultury łużyckiej w Brudzyniu, pow. żniński: 83–114*. Biskupin-Toruń: Muzeum Archeologiczne w Biskupinie i Polskie Towarzystwo Historyczne.
- Gałązka, D.
2009. *Objaśnienia do Szczegółowej Mapy Geologicznej Polski: 1:50 000. Arkusz Lubawa (211)*. Warszawa: Państwowy Instytut Geologiczny.
- Gałązka, D. W. Skrobot i A. Szarzyńska
2015. *Wzgórza Dylewskie. Geologia, krajobraz, antropologia przestrzeni*. Olsztyn: Wydawnictwo Mantis.
- Gawroński, R.
2018. *Roman horsemen against Germanic tribes. The Rhineland frontier cavalry fighting styles 31 BC–AD 256*. Archaeologica Hereditas 12. Warszawa: Instytut Archeologii Uniwersytetu Kardynała Stefana Wyszyńskiego w Warszawie.
- Gedl, M.
1983. *Die Nadeln in Polen I (Frühe und ältere Bronzezeit)*. Prähistorische Bronzefunde XIII/7. München: C.H. Beck-Verlag.
- Giemza, A.
- 2015a. *Objaśnienia do Szczegółowej Mapy Geologicznej Polski: 1:50.000. Arkusz Toprzyny (35)*. Warszawa: Państwowy Instytut Geologiczny.
- 2015b. *Objaśnienia do Szczegółowej Mapy Geologicznej Polski: 1:50.000. Arkusz Wojciechy (63)*. Warszawa: Państwowy Instytut Geologiczny.
- Gierlach, B.
1966. Zabytki metalowe, [w:] J. Gałkowski, B. Gierlach i E. Kowalczyk (red.), *Materiały wykopaliskowe z Zamku Królewskiego w Warszawie. Tom I*: 141–150. Warszawskie Materiały Archeologiczne 1. Warszawa: Prezydium Stołecznej Rady Narodowej – Wydział Kultury, Urząd Konserwatorski M. St. Warszawy – Konserwator Zabytków Archeologicznych.
- Głosek, M.
1984. *Mieczы środkowoeuropejskie z X–XV wieku*. Warszawa: Wydawnictwa Geologiczne.
- Grabarczyk, T. i O. Ławrynowicz
2013. Falchion and its technology in Poland (14th–16th centuries). *Fasciculi Archaeologiae Historicae* 26: 51–61.

- Gajewska, M. i J. Kruppé
1960. Badania archeologiczne w 1958 roku na Wzgórzu Katedralnym we Fromborku. *Rocznik Olsztyński* III: 81–103.
- Grążawski, K.
1988. Średniowieczny gródek rycerski w Bachotku na ziemi chełmińskiej w świetle badań archeologicznych. *Sprawozdania Archeologiczne* 40: 317–341.
2013. Sprawozdanie z archeologicznych badań weryfikacyjnych przeprowadzonych w Radomnie w 2011 roku, [w:] E. Fudzińska (red.), XVIII Sesja Pomoroznawcza. Vol. 1. *Od epoki kamienia do wczesnego średniowiecza. Materiały z konferencji 16–18 listopada 2011*: 125–131, Malbork: Muzeum Zamkowe.
2019. Research in castles located in the Mazovian-Prussian border zone. *Komunikaty Mazursko-Warmińskie* 4(306): 808–824.
- Gula, J.
1975. Badania wykopaliskowe w latach 1968–1969 na terenie zamku w Ostródzie. *Wiadomości Archeologiczne* 39/3: 373–383.
- Hein, M.
1944. *Preußisches Urkundenbuch (1335–1341)*. Bd. 3, Lfg. 1. Königsberg: Gräfe und Unzer.
- Herrmann, J.
2002. Tradition und Neubeginn ur- und frühgeschichtlicher Forschungen an der Berliner Akademie der Wissenschaft 1946–1952. Zum 110. Geburtstag von Wilhelm Unverzagt. *Sitzungsberichte der Leibniz-Sozietät* 54/3: 85–100.
- Heydeck, J.W.
1896. Steinkistengräber im Kreise Pr. Eylau, aufgedeckt im Herbst 1892. *Sitzungsberichte der Altertumsgesellschaft Prussia* 20: 67–74.
- Hoffmann, M.J.
1992. Kurhany z wczesnej epoki żelaza w Zielenicy, gmina Górowo Iławeckie, wojew. Olsztyn. *Zeszyty Muzeum Warmii i Mazur* 1: 91–110.
1999. *Źródła do kultury i osadnictwa południowo-wschodniej strefy nadbałtyckiej w I tysiącleciu p.n.e.* Rozprawy i Materiały Ośrodka Badań Naukowych im. Wojciecha Kętrzyńskiego w Olsztynie 177, Olsztyn: Towarzystwo Naukowe i Ośrodek Badań Naukowych im. Wojciecha Kętrzyńskiego.
2000. *Kultura i osadnictwo południowo-wschodniej strefy nadbałtyckiej w I tysiącleciu p.n.e.* Rozprawy i Materiały Ośrodka Badań Naukowych im. Wojciecha Kętrzyńskiego w Olsztynie 191, Olsztyn: Towarzystwo Naukowe i Ośrodek Badań Naukowych im. Wojciecha Kętrzyńskiego.
2005. Emil Hollack – nauczyciel, historyk i badacz pradziejów ziemi mrągowskiej. W 80. rocznicę śmierci. *Mrągowskie Studia Humanistyczne* 6–7: 17–27.
- Hoffmann, M.J. i A. Mackiewicz
2004. *Średniowieczne założenia obronne powiatu ostródzkiego*. Ostróda: Muzeum w Ostródzie.
- Hollack, E.
1908. *Erläuterungen zur vorgeschichtlichen Übersichtskarte von Ostpreußen. Im Auftrag des ostpreußischen Provinzial Verbandes bearbeitet und herausgegeben*. Glogau-Berlin: Kommissions Verlag von Carl Flemming.
- Holtmann, G.F.W.
1993. *Untersuchung zu mittelalterlichen und frühneuzeitlichen Messern*. Göttingen.
- Honczaruk, M. i L. Kacprzak
2014. *Objaśnienia do Szczegółowej Mapy Geologicznej Polski: 1:50.000*. Arkusz Głobock (34). Warszawa: Państwowy Instytut Geologiczny.
- Jagodziński, M.
1997. *Archeologiczne ślady osadnictwa między Wisłą a Pasłęką we wczesnym średniowieczu. Katalog stanowisk*. Warszawa: Instytut Archeologii i Etnologii Polskiej Akademii Nauk.
- Jaskanis, J.
2012. *Wodzowskie kurhany kultury wielbarskiej na Podlasiu*. Białystok: Muzeum Podlaskie w Białymostku, Instytucja Kultury samorządu Województwa Podlaskiego.
- Jaskanis, J. i J. Okulicz
1981. Kultura wielbarska (faza cecelska), [w:] J. Wielowiejski (red.), *Prahistorya ziem polskich. Tom 5. Późny okres lateński i okres rzymski*, 178–190. Warszawa: Ossolineum.
- Jóźwiak, S.
2000. Powstanie i rozwój struktury administracyjno-terytorialnej Zakonu Krzyżackiego na południowych obszarach Prus Górnych do 1410 r. *Komunikaty Mazursko-Warmińskie* 1: 3–27.
- Jóźwiak, S. i J. Trupinda
2019. Czas powstania krzyżackiego komturstwa w Pokarminie (Brandenburg) a kwestia chronologii wznoszenia tamtejszego zamku. *Studia z Dziejów Średniowiecza* 23: 100–113.
- DOI: 10.26881/sds.2019.23.04
- Kaczyński, B., A. Mackiewicz i I. Zduńska
2018. Badania archeologiczne zamku biskupów chełmińskich w Lubawie w latach 2015–2016, [w:] S. Wadyl, M. Karczewski i M. Hoffmann (red.), *Materiały do archeologii Warmii i Mazur. Tom 2*: 343–358. Warszawa-Białystok-Olsztyn: Instytut Archeologii Uniwersytetu Warszawskiego,

- Wydział Historyczno-Socjologiczny Uniwersytetu w Białymostku, Instytut Historii i Stosunków Międzynarodowych Uniwersytetu Warmińsko-Mazurskiego w Olsztynie.
- Kaniecki, A. i D. Brychcy
2010. Średniowieczne młyny wodne i ich wpływ na przemiany stosunków wodnych na przykładzie zlewni Obry Skwierzyńskiej. *Badania Fizjograficzne Seria A – Geografia Fizyczna* 61: 145–156.
- Karczewski, M.
2000. „Dwustożkowe naczynia zdobione zaszczypywaniem”. Głos w dyskusji nad ceramiką bałtyjską. *Światowit* 2(43)/Fasc. B: 91–96.
- Każmierczyk, J.
1965. Wczesnośredniowieczne wyroby bednarskie z Ostrówka w Opolu. *Kwartalnik Historii Kultury Materialnej* XIII/3: 469–498.
1978. *Podkowy na Śląsku w X–XIV wieku (studia z dziejów kultury materialnej)*. Wrocław–Warszawa–Kraków–Gdańsk: Zakład Narodowy im. Ossolińskich, Wydawnictwo Polskiej Akademii Nauk.
- Kleczar, B. i M. Rutyna
2013. Stan badań grodzisk województwa warmińsko-mazurskiego, [w:] Z. Kobyliński (red.), *Grodziska Warmii i Mazur 1. Stan wiedzy i perspektywy badawcze*: 7–29, Archaeologica Hereditas. Prace Instytutu Archeologii Uniwersytetu Kardynała Stefana Wyszyńskiego w Warszawie 2. Warszawa–Zielona Góra: Wydawnictwo Fundacji Archeologicznej.
- Knyżewski, M.
2016. Kształtowanie się siedzib niższych urzędników krzyżackich w Prusach właściwych. *Acta Universitatis Lodziensis. Folia Archaeologica* 31: 113–133.
DOI: 10.18778/0208-6034.31.06
- Kobylińska, U.
- 2017a. Kamionka, st. 9: znaleziska, [w:] Z. Kobyliński (red.), *Katalog grodzisk Warmii i Mazur. Tom 1*: 375–407. Warszawa: Instytut Archeologii Uniwersytetu Kardynała Stefana Wyszyńskiego w Warszawie i Fundacja Res Publica Multiethnica.
- 2017b. Tątławki, st. 2: znaleziska, [w:] Z. Kobyliński (red.), *Katalog grodzisk Warmii i Mazur. Tom 1*: 118–132. Warszawa: Instytut Archeologii Uniwersytetu Kardynała Stefana Wyszyńskiego w Warszawie i Fundacja Res Publica Multiethnica.
- 2017c. Zajaczki, st. 1: znaleziska, [w:] Z. Kobyliński (red.), *Katalog grodzisk Warmii i Mazur. Tom 1*: 426–459. Warszawa: Instytut Archeologii Uniwersytetu Kardynała Stefana Wyszyńskiego w Warszawie i Fundacja Res Publica Multiethnica.
- 2017d. Stary Folwark, st. 2: chronologia stanowiska, [w:] Z. Kobyliński (red.), *Katalog grodzisk Warmii i Mazur. Tom 1*: 207. Warszawa: Instytut Archeologii Uniwersytetu Kardynała Stefana Wyszyńskiego w Warszawie i Fundacja Res Publica Multiethnica.
- 2017e. Łodygowo, st. 1: znaleziska, [w:] Z. Kobyliński (red.), *Katalog grodzisk Warmii i Mazur. Tom 1*: 19–46, Warszawa: Instytut Archeologii Uniwersytetu Kardynała Stefana Wyszyńskiego w Warszawie i Fundacja Res Publica Multiethnica.
- 2017f. Mozgowo, st. 1: znaleziska, [w:] Z. Kobyliński (red.), *Katalog grodzisk Warmii i Mazur 2*: 189–200. Warszawa: Instytut Archeologii Uniwersytetu Kardynała Stefana Wyszyńskiego w Warszawie i Fundacja Res Publica Multiethnica.
- 2017g. Iława, st. 33 – Wielka Żuława: znaleziska, [w:] Z. Kobyliński (red.), *Katalog grodzisk Warmii i Mazur. Tom 1*: 324–347, Warszawa: Instytut Archeologii Uniwersytetu Kardynała Stefana Wyszyńskiego w Warszawie i Fundacja Res Publica Multiethnica.
- 2017h. Durąg, st. 1: znaleziska, [w:] Z. Kobyliński (red.), *Katalog grodzisk Warmii i Mazur 2*: 272–295. Warszawa: Instytut Archeologii Uniwersytetu Kardynała Stefana Wyszyńskiego w Warszawie i Fundacja Res Publica Multiethnica.
- Kobylińska, U., R. Solecki i J. Wysocki
- 2017a. Wieprz, st. 20: chronologia stanowiska, [w:] Z. Kobyliński (red.), *Katalog grodzisk Warmii i Mazur. Tom 2*: 260. Warszawa: Instytut Archeologii Uniwersytetu Kardynała Stefana Wyszyńskiego w Warszawie i Fundacja Res Publica Multiethnica.
- 2017b. Tątławki, st. 2: chronologia stanowiska, [w:] Z. Kobyliński (red.), *Katalog grodzisk Warmii i Mazur 2*: 135–136. Warszawa: Instytut Archeologii Uniwersytetu Kardynała Stefana Wyszyńskiego w Warszawie i Fundacja Res Publica Multiethnica.
- Kobyliński, Z.
2013. (red.) *Grodziska Warmii i Mazur 1. Stan wiedzy i perspektywy badawcze*. Archaeologica Hereditas. Prace Instytutu Archeologii Uniwersytetu Kardynała Stefana Wyszyńskiego w Warszawie 2. Warszawa–Zielona Góra: Wydawnictwo Fundacji Archeologicznej.
- 2016a. (red.), *Grodziska Warmii i Mazur 2. Nowe badania i interpretacje*. Archaeologica Hereditas. Prace Instytutu Archeologii Uniwersytetu Kardynała Stefana Wyszyńskiego w Warszawie 7. Warszawa: Instytut Archeologii UKSW, Fundacja Res Publica Multiethnica.

- 2016b. Projekt Narodowego Programu Rozwoju Humanistyki Katalog grodzisk Warmii i Mazur. Część I: Pomezania, Pogezania i Warmia: realizacja w latach 2012–2016, [w:] Z. Kobyliński (red.), *Grodziska Warmii i Mazur 2. Nowe badania i interpretacje*: 93–112. Archaeologica Hereditas. Prace Instytutu Archeologii Uniwersytetu Kardynała Stefana Wyszyńskiego w Warszawie 7. Warszawa: Instytut Archeologii UKSW, Fundacja Res Publica Multiethnica.
- 2017a. (red.) *Katalog grodzisk Warmii i Mazur. Tom 1*. Warszawa: Fundacja Res Publica Multiethnica.
- 2017b. (red.) *Katalog grodzisk Warmii i Mazur. Tom 2* (red.). Warszawa: Fundacja Res Publica Multiethnica.
- 2017c. Wprowadzenie, [w:] *Katalog grodzisk Warmii i Mazur. Tom 1*: 5–6. Warszawa: Instytut Archeologii Uniwersytetu Kardynała Stefana Wyszyńskiego w Warszawie i Fundacja Res Publica Multiethnica.
- Kobyliński Z., J. Nitychoruk, K. Rabiega, M. Rutyna, D. Wach, F. Welc, J. Wysocki, K. Zeman-Wiśniewska i M. Żurek
2016. Falsyfikacja domniemanych pradziejowych i średniowiecznych grodzisk w powiecie iławskim i ostródzkim, [w:] Z. Kobyliński (red.) *Grodziska Warmii i Mazur 2. Nowe badania i interpretacje*: 247–293, Archaeologica Hereditas. Prace Instytutu Archeologii Uniwersytetu Kardynała Stefana Wyszyńskiego w Warszawie 7. Warszawa: Instytut Archeologii UKSW i Fundacja Res Publica Multiethnica.
- Kochanowski, M.
1985. Elementy odzieży i sprzęt gospodarstwa domowego z grodziska w Plemiętach, [w:] A. Nadolski (red.), *Plemięta. Średniowieczny gródek w ziemi chełmińskiej*: 165–183. Warszawa-Poznań-Toruń: Państwowe Wydawnictwo Naukowe.
- Kola, A.
- 1985a. Żelazny osprzęt średniowiecznej wieży mieszkalnej w Plemiętach i jej wyposażenia, [w:] A. Nadolski (red.), *Plemięta. Średniowieczny gródek w ziemi chełmińskiej*: 63–83. Warszawa-Poznań-Toruń: Państwowe Wydawnictwo Naukowe.
- 1985b. Narzędzia do obróbki drewna z grodziska w Plemiętach, [w:] A. Nadolski (red.), *Plemięta. Średniowieczny gródek w ziemi chełmińskiej*: 149–157. Warszawa-Poznań-Toruń: Państwowe Wydawnictwo Naukowe.
1989. Północnośredniowieczna chłodnia z Torunia. *Acta Universitatis Nicolai Copernici 200 Archeologia* 16: 103–116.
- Komorowski, J.
2007. Pruska Hawa. *Spotkania z Zabytkami* 7: 19–20.
- Kondracki, J.
2002. *Geografia regionalna Polski*. Wydawnictwo Naukowe PWN, Warszawa
2014. *Geografia regionalna Polski*. Warszawa: Wydawnictwo Naukowe PWN.
- Kontny, B.
1999. Znaleziska toków z obszaru kultury przeworskiej. *Świątowit* 1(42)/Fasc. B: 128–137.
2016. Siekierki tulejkowe z kultur bogaczewskiej i sudowskiej. *Wiadomości Archeologiczne* 67: 37–64.
- Koperkiewicz, A.
2019. Civitas Wartberg. Warmińska kapsuła czasu i problemy konserwatorskie. *Warmińsko-Mazurski Biuletyn Konserwatorski* 11: 57–74.
- Kowalczyk, E.
1987. *Systemy obronne wałów podłużnych we wczesnym średniowieczu na ziemiach polskich*. Wrocław: Zakład Narodowy imienia Ossolińskich. Wydawnictwo Polskiej Akademii Nauk.
2002. Wały podłużne na mapie granicy mazowiecko-pruskiej Samuela Suchodolskiego. *Świątowit* 4 (45)/Fasc. B: 159–164.
2003. *Dzieje granicy mazowiecko-krzyżackiej (Między Drwęcą a Pisą)*. Warszawa: DIG.
- Kruppé, J.
1981. *Garncarstwo późnośredniowieczne w Polsce*. Wrocław-Warszawa-Kraków-Gdańsk-Łódź: Zakład Narodowy im. Ossolińskich. Wydawnictwo Polskiej Akademii Nauk.
- Kubicki, R.
2012. *Młynarstwo w państwie Zakonu Krzyżackiego w Prusach w XIII–XV wieku (do 1454 r.)*. Gdańsk: Wydawnictwo Uniwersytetu Gdańskiego.
2015. Wykaz czynszowy komturstwa tucholskiego z połowy XV w. *Studia Historica Gedanensia* 6: 281–297.
- Kulakov, W. I.
1999. Ирзекапинис. *Stratum Plus* 1999/5: 211–273.
2018. Prussische Tierdarstellungen im Frühmittelalter, [w:] S. Wadyl, M. Karczewski i M. Hoffmann (red.), *Materiały do archeologii Warmii i Mazur 2*: 99–108. Warszawa-Białystok-Olsztyn: Instytut Archeologii Uniwersytetu Warszawskiego, Wydział Historyczno-Socjologiczny Uniwersytetu w Białymostku i Instytut Historii i Stosunków Międzynarodowych Uniwersytetu Warmińsko-Mazurskiego w Olsztynie.
- Kulesz, A., S. Nowak i K. Jarzęcki
2018. Relikty obuwia, [w:] M. Grupa, K. Jarzęcki i W. Nowosad (red.), *Historia kościoła św. Ośwala w Płonkowie – Tom II*, 145–153. Płonkowo: Parafia Rzymskokatolicka p.w. Św. Maksymiliana Marii Kolbego i Św. Benedykta, Jana, Mateusza, Izaaka i Krystyna, Pierwszych Męczenników Polskich.

- Kurpik, W.
1982. Uwagi o niektórych elementach oprawy i ich roli w ochronie książki. *Ochrona Zabytków* 5/3–4 (138–139): 208–214.
- Kurpiewski, A.
2015. A Wielbark culture barrow in Wojsze near Ostrołęka in comparison with other features of that type in right-bank Mazovia and the Podlasie region. *Sprawozdania Archeologiczne* 67: 259–276.
- Liwoch, R.
2013. Szkieletowy grób kamienny z Naczy na Białorusi. *Materiały Archeologiczne* 39: 141–147
- Leyding, G.
- 1973a. Nazwy fizjograficzne, [w:] H. Jaworska i M. Lossman (red.), *Morąg. Z dziejów miasta i powiatu*, 26–38. Olsztyn: Pojezierze.
- 1973b. Z dziejów powiatu, [w:] H. Jaworska i M. Lossman (red.), *Morąg. Z dziejów miasta i powiatu*, 41–95. Olsztyn: Pojezierze.
1987. Nazwy fizjograficzne, [w:] A. Wakar (red.), *Bartoszyce. Z dziejów miasta i okolic*, 22–29. Olsztyn: Wydawnictwo Pojezierze.
- Łapo, J. M.
1998. Budownictwo obronne na ziemiach pruskich w pradziejach i we wczesnym średniowieczu. *Komunikaty Mazursko-Warmińskie* 2: 199–205.
2009. Wokół szwedzkiego szańca. Echa Wojen Szwedzkich w ludowych podaniach historycznych i mikrotoponimii na obszarze dawnych ziem pruskich. *Pruthenia* 4: 241–286.
- Łukomiak, K.
2016. Zamykanie pomieszczeń w późnośredniowiecznych siedzibach mieszkialno-obronnych na podstawie źródeł archeologicznych, [w:] K. Marinow, K. Szadkowski, K. Węgrzyńska (red.), *Varia Mediaevalia. Studia nad średniowieczem w 1050. Rocznice Chrztu Polski*: 141–154. Łódź: Wydawnictwo Uniwersytetu Łódzkiego.
DOI: 10.18778/8088-325-3.14
- Madyda-Legutko, R.
1983. Próba rekonstrukcji pasów z metalowymi częściami na obszarze środkowoeuropejskiego Barbaricum w okresie wpływów rzymskich i we wczesnej fazie okresu wędrówek ludów. *Przegląd Archeologiczny* 31: 91–133.
- Malinowski, T.
2000. O roli krzemienia u niektórych społeczności epok metali. *Przegląd Archeologiczny* 48: 127–139.
- Marciniak-Kajzer, A.
2018. Gródki stożkowate czy zamki typu motte. *Archaeologia Historica Polona* 26: 59–70.
- Marcinkowski, M.
2013. Cechy obce i lokalne w średniowiecznej nowożytnej ceramice elbląskiej. Zarys problematyki na podstawie wybranych przykładów. *Archaeologia Historica Polona* 21: 239–255.
DOI: 10.12775/AHP.2013.011
- Michałik, P.
2007. *Północnośredniowieczne i wczesnonowożytne noże z zamku w Pucku*. Światowit Supplement Series P: Prehistory and Middle Ages 15, Warszawa: Instytut Archeologii Uniwersytetu Warszawskiego.
- Michałowski, A.
2004. Łyżki gliniane z okresu przedrzymskiego z terenów Europy Środkowej, [w:] H. Machajewski (red.), *Kultura jastorfска na Nizinie Wielkopolsko-Kujawskiej*: 123–160. Poznań: Stowarzyszenie Naukowe Archeologów Polskich Oddział w Poznaniu, Instytut Prahistorii Uniwersytetu im. Adama Mickiewicza w Poznaniu.
- Misiewicz, K. i W. Małkowski
2013. Badania nieinwazyjne na stanowisku 4 w Borecznie, woj. warmińsko-mazurskie w 2012 roku, [w:] Z. Kobyliński (red.) *Grodziska Warmii i Mazur 1. Stan wiedzy i perspektywy badawcze*: 413–421. Archaeologica Hereditas. Prace Instytutu Archeologii Uniwersytetu Kardynała Stefana Wyszyńskiego w Warszawie 2. Warszawa-Zielona Góra: Wydawnictwo Fundacji Archeologicznej.
- Mogielnicka-Urban, M.
1984. *Warsztat ceramiczny w kulturze łużyckiej*. Wrocław: Ossolineum.
- Mroczek, R.
2007. Północnośredniowieczne zabytki ruchome z badań na dziedzińcu głównym Pałacu pod Blachą. *Kronika Zamkowa* 1–2(53–54): 39–90.
- Nadolski, A. i M. Lewandowski
1990. Rozdział 3: broń strzelcza, [w:] A. Nadolski (red.), *Uzbrojenie w Polsce średniowiecznej 1350–1450*: 143–153. Łódź: Polska Akademia Nauk.
- Nowakowski, P.
2003. W sprawie datowania munsztuków z ziem polskich. *Kwartalnik Historii Kultury Materialnej* 51/: 41–48.
- Nowakowski, W.
1983. *Kultura bogaczewska na Pojezierzu Mazurskim od schyłku późnego okresu przedrzymskiego do starszej fazy późnego okresu wpływów rzymskich. Próba analizy chronologiczno-kulturowej*. Maszynopis.
2001. Żelazne zapinki kuszarowe z podwinietą nóżką w europejskim Barbaricum. *Wiadomości Archeologiczne* LIV: 129–146.
- Oakeshott, E.
1998. *The sword in the age of chivalry*. Woodbridge: The Boydell Press.

- Okulicz, J.
1973. *Pradzieje ziem pruskich od późnego paleolitu do VII w. n.e.* Wrocław-Warszawa-Kraków-Gdańsk: Zakład Narodowy imienia Ossolińskich, Ośrodek Badań Naukowych imienia Wojciecha Kętrzyńskiego w Olsztynie.
- Okulicz, Ł.
1970. *Kultura kurhanów zachodniobałtyjskich we wczesnej epoce żelaza.* Wrocław: Zakład Narodowy im. Ossolińskich, Wydawnictwo Polskiej Akademii Nauk.
- Oniszczuk, A.
2013. *Życie odbite w naczyniu. Konsumpcja luk-susowa i codzienna w Gdańsku w XVII–XIX wieku na podstawie naczyń ceramicznych z terenu Centrum Dominikańskiego i kwartału Długi Targ–Powroźnicza. Tom I.* Warszawa.
- Ossowski, W.
2010. *Przemiany w szkutnictwie rzecznym w Polsce. Studium archeologiczne.* Gdańsk: Centralne Muzeum Morskie w Gdańsku.
- Pazda, S.
1995. Osada wczesnośredniowieczna na stanowisku nr 8 w Radłowicach gm. Domanów, woj. wrocławskie. *Acta Universitatis Wratislaviensis, Studia Archeologiczne* 26: 209–245.
- Petelski, K. i A. Gondek
2003. *Objaśnienia do Szczegółowej Mapy Geologicznej Polski. 1:50.000. Arkusz Dobry (96).* Warszawa: Państwowy Instytut Geologiczny.
- Petraszko, M. i A. Wakar
- 1987a. Prusowie, [w:] A. Wakar (red.), *Bartoszyce. Z dziejów miasta i okolic*, 30–44. Olsztyn: Wydawnictwo Pojezierze.
- 1987b. Z dziejów wsi, [w:] A. Wakar (red.), *Bartoszyce. Z dziejów miasta i okolic*, 243–353. Olsztyn: Wydawnictwo Pojezierze.
- Pikies, R.
2014. *Objaśnienia do Szczegółowej Mapy Geologicznej Polski. 1:50.000. Arkusz Ostróda (176).* Warszawa: Państwowy Instytut Geologiczny.
- Pospieszny, Ł. i M. Jakubczak
2019. Datowanie bezwzględne cmentarzyska w Kosyniu, [w:] J. Sobieraj (red.), *Początki epoki brązu na Warmii i Mazurach w świetle analiz specjalistycznych*: 133–142. Olsztyn: Muzeum Warmii i Mazur.
- Purowski, T.
2008. Wyniki badań wykopaliskowych osady obronnej w Tarławkach, pow. węgorzewski. *Wiadomości Archeologiczne* LX: 335–360.
- Puziuk, J. i A. Tyniec
2013. Żelazny topór z ul. Miodowej w Krakowie-Kazimierzu. *Materiały Archeologiczne* 39: 155–158.
- Půlpánová-Reszczyńska, A.
2016. New materials from the Migration Period discovered in Zamiechów, site no. 1 in South-Eastern Poland. *Acta Archaeologica Carpathica* 51: 145–167.
- Rabiega, K., F. Welc, R. Solecki i B. Nowacki
2021. Wyniki badań na stanowisku Wysoka Wieś, stan. 8, pow. ostródzki, [w:] R. Solecki (red.), *Interdyscyplinarne badania wielofazowych osiedli obronnych z Pojezierza Iławskiego i Garbu Lubawskiego*: 71–90. *Archaeologica Hereditas. Prace Instytutu Archeologii Uniwersytetu Kardynała Stefana Wyszyńskiego w Warszawie* 18. Warszawa: Wydawnictwo Naukowe Uniwersytetu Kardynała Stefana Wyszyńskiego w Warszawie.
- Rabiega, K., F. Welc, R. Solecki, B. Nowacki i J. Wysocki
2021. Wyniki badań na stanowisku Radomno, stan. 1, pow. nowomiejski, [w:] R. Solecki (red.), *Interdyscyplinarne badania wielofazowych osiedli obronnych z Pojezierza Iławskiego i Garbu Lubawskiego*: 43–70. *Archaeologica Hereditas. Prace Instytutu Archeologii Uniwersytetu Kardynała Stefana Wyszyńskiego w Warszawie* 18. Warszawa: Wydawnictwo Naukowe Uniwersytetu Kardynała Stefana Wyszyńskiego w Warszawie.
- Radkowski, J. i J. Wysocki
2016. Wstęp do problematyki gródków stożkowatych z terenu średniowiecznego państwa zakonu krzyżackiego, znajdujących się na obszarze województwa warmińsko-mazurskiego, [w:] Z. Kobyliński (red.), *Grodziska Warmii i Mazur 2. Nowe badania i interpretacje*: 295–385. *Archaeologica Hereditas. Prace Instytutu Archeologii Uniwersytetu Kardynała Stefana Wyszyńskiego w Warszawie* 7. Warszawa: Instytut Archeologii UKSW, Fundacja Res Publica Multiethnica.
- Rulewicz, M.
1984. Tymczasowe wyniki badań archeologicznych na podzamczu w Szczecinie, prowadzonych w latach 1975–1978. *Sprawozdania Archeologiczne* 36: 151–165.
- Rutyna, M.
2017. Strużyna, st. 21: znaleziska, [w:] Z. Kobyliński (red.), *Katalog grodzisk Warmii i Mazur 2*: 79–88. Warszawa: Instytut Archeologii Uniwersytetu Kardynała Stefana Wyszyńskiego w Warszawie i Fundacja Res Publica Multiethnica.
- Rutyna, M. i J. Wysocki
2017. Iława, st. 33: badania archeologiczne, [w:] Z. Kobyliński (red.), *Katalog grodzisk Warmii i Mazur 1*: 315–324. Warszawa: Instytut Archeologii Uniwersytetu Kardynała Stefana Wyszyńskiego w Warszawie i Fundacja Res Publica Multiethnica.

- Sachenbacher, P.
1993. Völkerwanderungszeitliche Gräber bei Mühlhausen/Thüringen. Zu einigen ausgewählten Problemen des Grabbrauchs und der Grabberaubung anhand neuer Gräber von Ammern, Ldkr. Mühlhausen. *Alt-Thüringen* 27: 153–198.
- Schiffer, M.B.
1986. Radiocarbon Dating and the „Old Wood” Problem: The Case of the Hohokam Chronology. *Journal of Archaeological Science* 13: 13–30.
- Shirokhov, R.
2015. Contacts between Prussians and Curonians in the 11th-early 13th centuries, according to the archaeological data, [w:] S. Wadyl, M. Karczewski i M. Hoffmann (red.), *Materiały do archeologii Warmii i Mazur* 1: 255–273. Warszawa-Białystok: Instytut Archeologii Uniwersytetu Warszawskiego i Instytut Historii i Nauk Politycznych Uniwersytetu w Białymostku.
- Siczek, Ł.
2016. Gwoździe jako zabytek archeologiczny. *Materiały z badań zamku Chojnik. Śląskie Sprawozdania Archeologiczne* 58: 165–179.
DOI: 10.17427/SSA16009
- Skrobot, W.
2015. Antropologia przestrzeni, [w:], D. Gałazka, D. Skrobot i A. Szarzyńska (red.), *Wzgórza Dylewskie. Geologia, krajobraz, antropologia przestrzeni*. : 109–192. Olsztyn: Wydawnictwo Mantis.
- Solecki, R.
2017. „Sprawozdanie z archeologicznych badań wykopaliskowych przeprowadzonych w 2017 roku na obszarze leśnym w granicach Leśnictwa Śródjezierze (nr wydzielenia leśnego 189 a-00) w granicach administracyjnych wsi Winiec gm. Miłomłyn (działka ewidencyjna nr 3189)”. Raport w archiwum WUOZ w Olsztynie, Delegatura w Elblągu.
2021. (red.) *Interdyscyplinarne badania wielofazowych osiedli obronnych z Pojezierza Iławskiego i Garbu Lubawskiego*. Archaeologica Hereditas. Prace Instytutu Archeologii Uniwersytetu Kardynała Stefana Wyszyńskiego w Warszawie 18. Warszawa: Wydawnictwo Naukowe Uniwersytetu Kardynała Stefana Wyszyńskiego w Warszawie.
- Solecki, R., F. Welc i B. Nowacki
2019. Wyniki badań archeologicznych osiedla obronnego z wczesnej epoki żelaza w Wysokiej Wsi, powiat ostródzki, stanowisko 7. *Wiadomości Archeologiczne* LXX: 196–202.
DOI: 10.36154/wa.70.2019.10
2021. Wyniki badań na stanowisku Wysoka Wieś, stan. 7, pow. ostródzki, [w:] R. Solecki (red.), *Interdyscyplinarne badania wielofazowych osiedli obronnych z Pojezierza Iławskiego i Garbu Lubawskiego*: 91–105. Archaeologica Hereditas. Prace Instytutu Archeologii Uniwersytetu Kardynała Stefana Wyszyńskiego w Warszawie 18. Warszawa: Wydawnictwo Naukowe Uniwersytetu Kardynała Stefana Wyszyńskiego w Warszawie.
- Solecki, R. i J. Wysocki
- 2017a. Tątławki, st. 2: położenie grodziska i jego forma, [w:] Z. Kobyliński (red.), *Katalog grodzisk Warmii i Mazur* 2: 111. Warszawa: Instytut Archeologii Uniwersytetu Kardynała Stefana Wyszyńskiego w Warszawie i Fundacja Res Publica Multiethnica.
- 2017b. Wieprz, st. 20: położenie grodziska i jego forma, [w:] Z. Kobyliński (red.), *Katalog grodzisk Warmii i Mazur* 2: 243–244. Warszawa: Instytut Archeologii Uniwersytetu Kardynała Stefana Wyszyńskiego w Warszawie i Fundacja Res Publica Multiethnica.
- Solon, J., J. Borzyszkowski, M. Bidłasik, A. Richling, K. Badura, J. Balon, T. Brzezińska-Wójcik, Ł. Chabudziński, R. Dobrowolski, I. Grzegorczyk, M. Jodłowski, M. Kistowski, R. Kot, P. Krąż, J. Lechnio, A. Macias, A. Majchrowska, E. Malinowska, P. Migoń, U. Myga-Piątek, J. Nita, E. Papińska, J. Rodzik, M. Strzyż, S. Terpiłowski i W. Ziaja
2018. Physico-geographical mesoregions of Poland: Verification and adjustment of boundaries on the basis of contemporary spatial data. *Geographia Polonica* 91/2: 143–170.
DOI: 10.7163/GPol.0115
- Sowiński, T.
2014. *Przewodnik. Śladami Herkusa Monte. Śladami tajemnic poligonu Stabłack. Ścieżki dydaktyczno-historyczne w gminie Górowo Iławskie*. Górowo Iławskie: Wydawnictwo Regionalista.
- Strunk, H.
1931. Flurnamen und Vorgeschichte. *Altpreussische Forschungen* 8: 1–45.
- Szałamacha, B. i B. Trzmiel
2006. *Objaśnienia do szczegółowej mapy geologicznej Polski. 1:50.000. Arkusz Morąg (135)*. Warszawa: Państwowy Instytut Geologiczny.
- Szczepański, S.
2009. Płyta grobowa Johanna von Schönaich z kościoła Podwyższenia Krzyża Św. w Boręcznie (rozważania nad „Skamieniałyim Rycerzem” i rodem von Schönaich). *Studia Angerburgica* 15: 78–91.

2013. „Wykopaliska” w archiwach – archeologia archiwalna na przykładzie wybranych stanowisk Pojezierza Iławskiego, [w:] Z. Kobyliński (red.), *Grodziska Warmii i Mazur 1. Stan wiedzy i perspektywy badawcze*: 233–252, Archaeologica Hereditas. Prace Instytutu Archeologii Uniwersytetu Kardynała Stefana Wyszyńskiego w Warszawie 2. Warszawa-Zielona Góra: Wydawnictwo Fundacji Archeologicznej.
2016. *Pomezania pruska. Dzieje osadnictwa w XIII–XV wieku*. Olsztyn: Ośrodek Badań Naukowych im. W. Kętrzyńskiego.
- Szymański, P.
2013. *Z badań nad chronologią i zróżnicowaniem kulturowym społeczności Mazur w późnej starożytności i u progu wczesnego średniowiecza*. Światowit Supplement Series B: Barbaricum 9. Warszawa: Instytut Archeologii Uniwersytetu Warszawskiego.
- Świętosławski, W.
2008. Północnośredniowieczne militaria z reliktów wieży w Jemiołkowie koło Olsztynka. *Acta Militaria Mediaevalia* 4: 189–198.
- Thielen, P. G.
1958. *Das grosse Zinsbuch des Deutschen Ritterordens (1414–1438)*. Marburg: N.G. Elwert Verlag.
- Trzeciecki, M, M. Auch i K. Stańczuk
2020. *Grodzisko Piotrówka w Radomiu w świetle badań archeologicznych 2010–2013. Część I: stratygrafia i chronologia*. Warszawa: Wydawnictwo Instytutu Archeologii i Etnologii Polskiej Akademii Nauk, Fundacja Przyjaciół Instytutu Archeologii i Etnologii Polskiej Akademii Nauk.
- Wadył, S.
- 2017a. Sprawozdanie z badań wykopaliskowych na grodzisku zwanym „Okrągła Góra” w Pasymiu, pow. Szczytno, stan. 1 w roku 2017. *Komunikaty Mazursko-Warmińskie* 4(298): 717–724.
- 2017b. Grodzisko w Porębku, pow. Kętrzyn, stan. 3. Wstępne wyniki badań wykopaliskowych. *Komunikaty Mazursko-Warmińskie* 4(298): 725–732.
2019. Sprawozdanie z badań wykopaliskowych na grodzisku zwanym „Okrągła Góra” w Pasymiu, pow. Szczytno, stan. 1 w roku 2018. *Komunikaty Mazursko-Warmińskie* 1(303): 153–161.
2020. Wallewona finally found? Stronghold in Porębek in the latest excavations, [w:] A. Dobrosielska, A. Pluskowski i S. Szczępański (red.), *Homini, qui in honore fuit. Księga pamiątkowa poświęcona śp. Profesorowi Grzegorzowi Białuskiemu*: 165–192. Olsztyn: Oficyna Wydawnicza Pruthenia.
- Wadył, S. i J. Łapo
2018. Wyniki badań sondażowych na grodzi-
- sku w Perłach, gm. Węgorzewo, stan. 1 (AZP 13-72), [w:] S. Wadył, M. Karczewski i M. Hoffmann (red.), *Materiały do archeologii Warmii i Mazur. Tom 2*: 377–385. Warszawa-Białystok-Olsztyn: Instytut Archeologii Uniwersytetu Warszawskiego, Wydział Historyczno-Socjologiczny Uniwersytetu w Białymostku, Instytut Historii i Stosunków Międzynarodowych Uniwersytetu Warmińsko-Mazurskiego w Olsztynie.
- Wadył, S. i K. Martyka
2019. Nowy element układanki. Wczesnośredniowieczne grodzisko w Bornitach koło Pienieżna. *Slavia Antiqua* 60: 75–93.
DOI: 10.14746/sa.2019.60.4
- Wadył, S., K. Martyka i D. Malarczyk
2018. Wczesnoabbazydzkie dirhamy z nowoodkrytego grodziska w Bornitach koło Pienieżna. *Wiadomości Numizmatyczne* 62/1–2(205–206): 129–143.
DOI: 10.24425/wn.2018.125040
- Waluś, A.
- 1992a. Zabytki metalowe kultury lateńskiej z Rembielinia, woj. ostrołęckie, [w:] J. Okulicz-Kozaryn i W. Nowakowski (red.), *Studia z archeologii ludów barbarzyńskich z wybrzeży Bałtyku i Dorzecza Wisły*: 89–101. Barbaricum 2. Warszawa: Wydawnictwo i drukarnia Tokawi.
- 1992b. Cmentarzysko kurhanowe w Piórkowie, woj. elbląskie, w świetle prac wykopaliskowych przeprowadzonych w latach 1984–1987. *Świątowit Supplement Series B: Barbaricum* 2: 39–52.
2014. Zabytki metalowe kultury kurhanów zachodniobałtyjskich wczesnej epoki żelaza. *Świątowit Supplement Series B: Barbaricum* 10: 9–197.
- Ward-Perkins, J.B.
1993. *London Museum Medieval Catalogue 1940*. Londyn: Museum of London.
- Wasilewska, J.
2016. Szkaplerz – ikonografia przedstawień. *Archiwa, Biblioteki i Muzea Kościelne* 105: 329–343.
- Welc, F.
2020. „Rozpoznanie za pomocą georadaru (GPR) i metody magnetycznej stanowisk: Augamy, Woryny, Leśnictwo Orsy (Góra Zamkowa) oraz Wiewiórki”. Sprawozdanie w archiwum Instytutu Archeologii UKSW w Warszawie.
- Welc, F., J. Nitychoruk, R. Solecki, K. Rabiega i J. Wysocki
2018. Results of integrated geoarchaeological prospection of unique iron age hillfort located on Radomno Lake island in north-eastern Poland. *Studia Quaternaria* 35/1: 55–71.

Wołagiewicz, R.

1993. *Ceramika kultury wielbarskiej między Bałtykiem a Morzem Czarnym*. Szczecin: Muzeum Narodowe.

Wólkowski, W.

2013. Architektura zamku w Bezławkach, [w:] A. Koperkiewicz (red.), *Bezławki: ocalić od zniszczenia : wyniki prac interdyscyplinarnych prowadzonych w latach 2008–2011*: 109–118. Gdańskie Studia Archeologiczne. Seria Monografie 2. Gdańsk: Instytut Archeologii i Etnologii Uniwersytetu Gdańskiego.

Wrzesiński, J.

1989. Cmentarzysko szkieletowe w Dziekanowicach, gm. Łubowo, st. 2. *Studia Lednickie* 1: 103–146.

Vlierman, K.

1996. *...Van Zintelen, van Zintelroeden ende Mossen...’ Een breeuwmethode als hulpmiddel bij het dateren van scheepswrakken uit de Hanzetijd*. Scheepsarcheologie I, Flavobereicht 386. Lelystad: Nederlands Instituut voor Scheeps- en Onderwater Archeologie.

Zawadzki, P.

2020. *Prace archeologiczne na obszarze dawnego Stalagu VIII A; Dz. nr 306/3, obręb Koźlic, AM-1, gm. Zgorzelec, woj. dolnośląskie. 2018-2019. Sprawozdanie*. Fundacja Łużyce wczoraj i dziś.

Zielonka, B.

1955. Materiały z osiedla obronnego kultury luzyckiej w miejscowości Kamieniec, pow. Toruń. *Wiadomości Archeologiczne* XXII/2: 158–174.

Żórawska, A.

2002. Ponownie „odkryty” grób skrzynkowy z miejscowości Prusy (Jarantowice), powiat wąbrzeski. *Świątowit* IV(XLV), Fasc. B: 249–255.

Żurek, M.

2013. Boreczno, stanowisko 4 (AZP 24-54), gm. Zalewo, woj. warmińsko-mazurskie. Analiza stratygraiczna, [w:] Z. Kobyliński (red.), *Grodziska Warmii i Mazur 1. Stan wiedzy i perspektywy badawcze*: 385–411. Archaeologica Hereditas. Prace Instytutu Archeologii Uniwersytetu Kardynała Stefana Wyszyńskiego w Warszawie 2. Warszawa-Zielona Góra: Wydawnictwo Fundacji Archeologicznej.

2021. *Boreczno i Bałoszyce. Archeologia dworów wczesnonowozytnych w Górnym Prusach*. Archaeologica Hereditas. Prace Instytutu Archeologii Uniwersytetu Kardynała Stefana Wyszyńskiego w Warszawie 19. Warszawa: Wydawnictwo Naukowe Uniwersytetu Kardynała Stefana Wyszyńskiego w Warszawie.

